

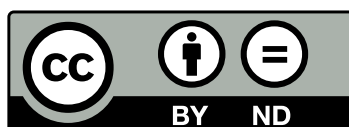
Probabilidade

Leonardo T. Rolla

Bernardo N. B. de Lima

8 de março de 2023

© 2021–2023
Leonardo T. Rolla
Bernardo N. B. de Lima



Todos os direitos reservados. Permitido o uso nos termos licença Creative Commons Atribuição-SemDerivações 4.0 Internacional. Qualquer uso além daquele descrito nessa licença é expressamente proibido. Em particular, é proibido distribuir versões modificadas ou extrair trechos isolados deste material.

8 de março de 2023.

Prefácio

Este livro foi produzido a partir de apostilas e notas manuscritas acumuladas pelos autores ao longo de quase duas décadas lecionando diversas disciplinas de Probabilidade, Medida e Integração, Processos Estocásticos e Teoria Ergódica, em níveis de graduação, mestrado e doutorado, no IMPA, UFMG, PUC-Rio, NYU-Shanghai e Warwick.

O objetivo principal é servir como referência para um curso de Probabilidade em nível de pós-graduação, mas procuramos torná-lo o mais flexível e autocontido possível. Dependendo das seções a serem cobertas, este livro pode ser usado em um curso de início de doutorado, mestrado, ou mesmo no fim da graduação. Em um nível mais básico, o livro pode ser estudado cobrindo-se apenas as seções iniciais dos dez primeiros capítulos.

Os capítulos mais avançados cobrem as Leis 0-1 de Kolmogorov e de Hewitt-Savage, martingales a tempo discreto com teoremas envolvendo amostragem opcional e convergência, noções básicas de Teoria Ergódica e de Grandes Desvios. Alguns tópicos fundamentais não são abordados neste livro, notadamente: convergência de medidas em espaços métricos, cadeias de Markov e processos estocásticos em tempo contínuo.

Ao escrever o livro, os autores tentaram manter um certo nível de modularidade, de forma a permitir que diversas seções possam ser saltadas sem prejudicar a leitura das que vêm depois. Para planejar um curso, pode-se montar uma lista de seções a gosto, e depois percorrer a lista de trás para

frente agregando-se os pré-requisitos indicados na Tabela 1.

Os pré-requisitos para a leitura em um nível mais básico são o cálculo de derivadas e integrais em \mathbb{R}^n , limites de sequências, convergência de séries, e limites laterais de funções. Há uma breve revisão desses conceitos no Apêndice A.1.

Para seguir as algumas demonstrações e tópicos mais avançados, o leitor deve estar familiarizado com ideias de Análise Real, como conjuntos abertos, conjuntos compactos, conjuntos enumeráveis, supremo de conjuntos, \limsup e \liminf . Esses conceitos são listados de forma lacônica no Apêndice A.3.

Os conceitos de Teoria da Medida que servem para dar bases sólidas à Teoria da Probabilidade serão vistos gradualmente nas Seções 1.4, 3.6, 3.7, 5.5, 11.5 e 12.1. As demonstrações mais longas são vistas no Apêndice D.

8 de março de 2023.

Tabela 1. Pré-requisitos do livro

1.1 - A.1	6.3 - 6.1	13.1 - 12.1
1.2 - 1.1	7.1 - 6.3	13.2 - 13.1
1.3 - 1.2	7.2 - 7.1	13.3 - 13.2
1.4 - 1.3, C.2	7.3 - 7.2, 5.3*	13.4 - 13.2
2.1 - 1.3	7.4 - 7.3, 5.3, C.2	13.5 - 13.4
2.2 - 2.1	8.1 - 7.1	14.1 - 12.1
2.3 - 2.2	8.2 - 7.2, 7.3*	14.2 - 14.1
3.1 - 2.2	8.3 - 8.2, 5.3, C.2*	14.3 - 14.2
3.2 - 3.1	9.1 - 8.1, 4.3*	14.4 - 14.3
3.3 - 3.2	9.2 - 3.2, A.2	15.1 - 5.5, 8.2, 10.1
3.4 - 3.3	9.3 - 9.1, 7.4*, A.2	15.2 - 15.1
3.5 - 3.3	9.4 - 9.1, 5.5, 7.4*, A.2	15.3 - 15.2
3.6 - 3.1, 1.4	10.1 - 9.1, 5.3*	A.1 - —
3.7 - 3.6	10.2 - 9.1, 5.3*, A.2	A.2 - A.1
4.1 - 3.3	10.3 - 10.2, 7.4, 5.5	A.3 - A.1
4.2 - 4.1	10.4 - 10.3, 5.5	B - A.2
4.3 - 4.2	11.1 - 5.4, 7.1	C.1 - A.1
4.4 - 4.2	11.2 - 11.1	C.2 - C.1, A.3
4.5 - 4.2	11.3 - 11.2	D.1 - 3.6
5.1 - 4.2	11.4 - 5.5	D.2 - D.1
5.2 - 5.1, C.1	11.5 - 11.4	D.3 - 3.7
5.3 - 5.2, C.2*	11.6 - 11.3, 11.4	D.4 - 5.5, D.1
5.4 - 5.2, 3.4	12.1 - 11.4	D.5 - 11.5
5.5 - 5.3, 3.7	12.2 - 12.1	D.6 - 11.5, D.1
6.1 - 5.2	12.3 - 12.2	D.7 - 5.5
6.2 - 6.1	12.4 - 12.3	

“*” indica que a seção listada não é imprescindível, tampouco seus pré-requisitos.

Sumário

Prefácio	5
1 Espaços de Probabilidade	17
1.1 Alguns modelos probabilísticos	18
1.1.1 Espaço amostral	21
1.1.2 Eventos aleatórios	22
1.1.3 Medida de probabilidade	24
1.2 Contagem e simetria	31
1.3 Formulação axiomática de Kolmogorov	40
1.4 Espaços de medida	43
1.4.1 σ -álgebras e conjuntos borelianos	44
1.4.2 Medidas	46
1.5 Exercícios	47
2 Probabilidade Condicional e Independência	55
2.1 Probabilidade condicional	55
2.1.1 Regra do Produto	57
2.1.2 Lei da Probabilidade Total	59

2.1.3	Fórmula de Bayes	60
2.2	Independência	62
2.3	Processo de Poisson	65
2.4	Exercícios	70
3	Variáveis Aleatórias	77
3.1	Variáveis aleatórias	77
3.1.1	Espaço induzido e lei de uma variável aleatória	79
3.1.2	Função de distribuição	80
3.1.3	Função quantil	83
3.2	Variáveis aleatórias discretas	85
3.3	Variáveis aleatórias absolutamente contínuas	90
3.4	Distribuição condicional dado um evento	95
3.5	Distribuições mistas e singulares	97
3.6	Existência e unicidade de distribuições	99
3.7	Funções mensuráveis	100
3.8	Exercícios	104
4	Vetores Aleatórios	111
4.1	Vetores aleatórios	111
4.2	Vetores aleatórios discretos e contínuos	116
4.3	Soma de variáveis independentes	121
4.4	Método do jacobiano	125
4.5	Sequência de variáveis independentes	128
4.6	Exercícios	130

5	Esperança Matemática	137
5.1	Variáveis aleatórias simples	138
5.2	Esperança matemática	144
5.3	Aproximação e convergência da esperança	154
5.4	Esperança condicional dado um evento	158
5.5	Integral de Lebesgue	160
5.5.1	Construção	161
5.5.2	Principais propriedades	166
5.5.3	Convergência	169
5.5.4	Integral de Riemann e integral imprópria	171
5.5.5	Densidade de medidas	174
5.5.6	Integrais iteradas	177
5.6	Exercícios	183
6	Momentos e Desigualdades	189
6.1	Momentos e variância	189
6.2	Correlação	193
6.3	Desigualdades básicas	198
6.4	Exercícios	203
7	Convergência de Variáveis Aleatórias	207
7.1	Modos de convergência	207
7.2	Lema de Borel-Cantelli	212
7.3	Relações entre os modos de convergência	217
7.4	Mais sobre a convergência em distribuição	222
7.5	Exercícios	225

8 Lei dos Grandes Números	231
8.1 Lei Fraca dos Grandes Números	232
8.2 Lei Forte dos Grandes Números	234
8.3 Leis Fortes de Kolmogorov	237
8.4 Algumas aplicações	241
8.5 Exercícios	245
9 Teorema do Limite Central	249
9.1 Teorema do Limite Central	249
9.2 Teorema de De Moivre-Laplace	252
9.3 Teorema do Limite Central de Lyapunov	256
9.4 Teorema do Limite Central de Lindeberg	259
9.5 Exercícios	267
10 Transformadas	271
10.1 Função geradora de momentos	271
10.2 Função característica	274
10.3 Unicidade e convergência	282
10.4 Fórmula de inversão	287
10.5 Exercícios	291
11 Esperança Condicional	293
11.1 Esperança condicional dada uma partição	293
11.2 Função de probabilidade condicional	298
11.3 Densidade condicional	303
11.4 Esperança condicional dada uma σ -álgebra	308

<i>SUMÁRIO</i>	13
11.5 Existência da esperança condicional	314
11.6 Distribuição condicional regular	317
11.7 Exercícios	323
12 Leis 0-1 e Séries Aleatórias	329
12.1 Álgebras e processos estocásticos	330
12.2 Lei 0-1 de Kolmogorov	333
12.3 Lei 0-1 de Hewitt-Savage	335
12.4 Convergência de séries aleatórias	338
12.5 Exercícios	343
13 Martingales	347
13.1 Definições e exemplos	348
13.2 Tempos de parada	352
13.3 Amostragem opcional	356
13.4 Convergência quase certa	359
13.5 Integrabilidade uniforme	365
13.6 Exercícios	370
14 Teoria Ergódica	373
14.1 Transformações que preservam medida	373
14.2 Teorema Ergódico de Birkhoff	377
14.3 Transformações ergódicas e misturadoras	381
14.4 Convergência em \mathcal{L}^p	390
14.5 Exercícios	391
15 Grandes Desvios	395

15.1	Desigualdade de concentração	396
15.2	Princípio dos Grandes Desvios	397
15.3	Demonstração do Teorema de Cramér	401
A	Preliminares	407
A.1	Cálculo	408
A.2	Expansão de Taylor	412
A.3	Análise Real	413
B	Fórmula de Stirling	415
C	A Reta Real e o Infinito	421
C.1	Reta estendida	421
C.2	Supremo e limite superior	423
D	Elementos de Teoria da Medida	425
D.1	Teorema π - λ de Dynkin	425
D.2	Teorema de Extensão de Carathéodory	428
D.3	Operações com funções borelianas estendidas	434
D.4	Teoremas de Fubini e de Tonelli	437
D.5	Teorema de Radon-Nikodým	442
D.6	Distribuição condicional regular	447
D.7	Desigualdades de Hölder e de Minkowski	451
	Lista de Figuras	455
	Notação	457

<i>SUMÁRIO</i>	15
Bibliografia	459
Tabela Normal	461
Índice Remissivo	463

Capítulo 1

Espaços de Probabilidade

A Teoria da Probabilidade estuda eventos *aleatórios*, isto é, eventos que não possuem *regularidade determinística*, mas possuem *regularidade estatística*. A ausência de regularidade determinística significa que observações feitas nas mesmas condições não dão o mesmo resultado, enquanto a regularidade estatística se manifesta na estabilidade estatística de frequências.

Por exemplo, no lançamento de uma moeda, apesar de a trajetória da moeda ser determinística do ponto de vista da mecânica Newtoniana, é impraticável tentar prever seu resultado: este experimento não possui regularidade determinística. No entanto, esse experimento possui regularidade estatística e o tratamento probabilístico é o mais adequado.

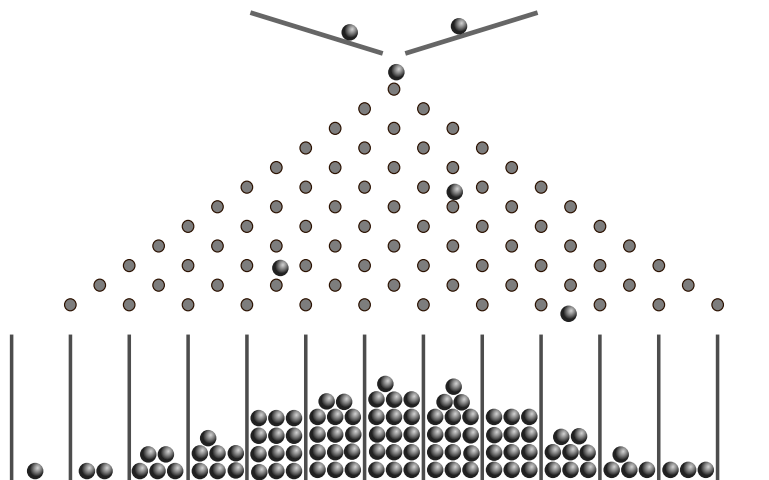
Um exemplo de regularidade estatística extremamente simples e ao mesmo tempo fantástico é o engenhoso Tabuleiro de Galton, ilustrado na Figura 1.1. Cada bolinha faz sua trajetória sem interagir com as demais e, apesar disso, cada vez que repetimos o experimento observamos o mesmo padrão.

Um modelo probabilístico é uma idealização que descreve a realização de um experimento cujo resultado é aleatório. O objeto matemático que representa modelos probabilísticos é um *espaço de probabilidade*. Este capítulo introduz o estudo de espaços de probabilidade e suas principais propriedades.

1.1 Alguns modelos probabilísticos

Antes de darmos qualquer definição formal, vamos tentar analisar algumas situações simples e tentar capturar se há feitos em comum nos exemplos a seguir:

Exemplo 1.1. Sorteamos uma carta de um baralho comum (52 cartas, numeradas $A, 2, 3, \dots, 10, J, Q, K$ e de naipes $\clubsuit, \heartsuit, \spadesuit, \diamond$). Qual a probabilidade de a carta sorteada ser $4\clubsuit, 7\heartsuit, A\spadesuit$ ou $7\diamond$? Nossa primeira tentativa de formalizar este problema seria reescrever a primeira frase da seguinte maneira: sorteamos um elemento do conjunto $\Omega = \{A\diamond, 2\diamond, \dots, K\diamond, A\heartsuit, \dots, A\spadesuit, \dots, A\clubsuit, \dots, K\clubsuit\}$. Assim a pergunta passaria a ser: qual a probabilidade deste elemento pertencer ao subconjunto $A = \{4\clubsuit, 7\heartsuit, A\spadesuit, 7\diamond\}$? Melhor ainda, qual a proporção que o conjunto A ocupa dentro de Ω ? A princípio, é razoável que esta “proporção” entre os



Crédito: Merlijn van Deen em Wikimedia Commons, licença CC-BY, com modificações pelos autores.

Figura 1.1. Tabuleiro de Galton. As bolinhas colidem com pinos, dispostos em 12 níveis, que as defletem para direita ou esquerda. Quando há muitas bolinhas, o padrão observado é sempre o mesmo. Esse padrão é descrito (quando há muitos níveis de pregos) pela chamada curva gaussiana, exibida na página 252.

“tamanhos” dos conjuntos seja dada pela razão¹ entre o número de elementos de A e de Ω , isto é:

$$\mathbb{P}(A) = \frac{\#A}{\#\Omega} = \frac{4}{52} = \frac{1}{13}. \quad \triangle$$

A notação $\#A$ se refere à quantidade de elementos que pertencem ao conjunto A .

Exemplo 1.2. Um baile ocorre em um grande salão, cujo piso é formado por longas tábuas corridas de madeira, todas elas de largura igual a 20 cm. Uma moeda cai do bolso furado de um dos dançarinos. Após a queda, qual a probabilidade de a distância entre o centro da moeda e a linha mais próxima que separa duas das tábuas ser no máximo de 3 cm? Como a largura das tábuas é de 20 cm, a menor distância entre o centro da moeda e as linhas do piso é um número real não-negativo limitado à metade da largura das tábuas. Portanto, a distância em que estamos interessados corresponde ao sorteio de um número real no intervalo $\Omega = [0, 10]$. Então nossa pergunta pode ser reescrita como: se sortearmos um número real no conjunto $\Omega = [0, 10]$, qual a probabilidade de o número sorteado pertencer ao conjunto $A = [0, 3]$? Novamente voltamos à pergunta: qual proporção que o conjunto A ocupa dentro de Ω ? Neste caso, nos parece que a melhor resposta seria a razão entre os comprimentos dos intervalos A e Ω , ou seja:

$$\mathbb{P}(A) = \frac{\text{comprimento de } A}{\text{comprimento de } \Omega} = \frac{\text{comprimento de } [0, 3]}{\text{comprimento de } [0, 10]} = \frac{3}{10}. \quad \triangle$$

Exemplo 1.3. No mês seguinte ao baile anterior, um novo baile é realizado em outro grande salão, cujo piso é formado por azulejos quadrados de 10 cm de lado. Todos os azulejos são idênticos e como na Figura 1.2 abaixo.

Novamente, nosso distraído dançarino deixa outra moeda cair de seu bolso furado. Qual a probabilidade de o centro da moeda cair sobre um ponto preto de um dos azulejos? Já que agora temos uma compreensão melhor, podemos

¹Esse raciocínio, hoje considerado mais ou menos óbvio, foi formalizado na célebre troca de cartas entre Pascal e Fermat ocorrida em 1654. Estas cartas são consideradas um marco na história da Probabilidade.

intuir que uma boa resposta seria a proporção que a região de pontos pretos ocupa em um azulejo, isto é, a razão entre essas áreas. Denotemos por Ω o conjunto dos pontos do quadrado que representa um azulejo e por A o subconjunto de pontos de cor preta. Sendo assim,

$$\mathbb{P}(A) = \frac{\text{área de } A}{\text{área de } \Omega} = \frac{4}{9}. \quad \triangle$$

Um fato comum nos três exemplos acima é que a ideia de probabilidade de um conjunto passa pela ideia de proporção, medida que o conjunto A ocupa dentro de um conjunto maior Ω , conjunto este que congrega todos os resultados possíveis no nosso experimento aleatório.

A questão é que em cada um destes exemplos foi diferente o conceito que utilizamos para “medir” o quanto o conjunto A ocupa dentro do conjunto Ω . Nos exemplos acima, nossas medidas foram as razões entre o número de elementos, o comprimento e a área. Definir probabilidade será um modo de medir conjuntos.

Um modelo probabilístico tem três componentes básicas:

1. Um conjunto Ω formado por todos os resultados possíveis do experimento, chamado *espaço amostral*.
2. Uma classe apropriada \mathcal{F} de subconjuntos do espaço amostral, chamados *eventos aleatórios*. São os conjuntos desta classe apropriada que

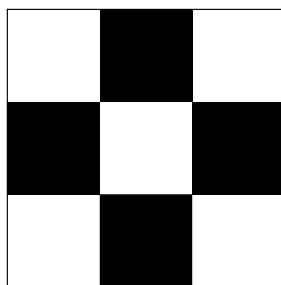


Figura 1.2. Modelo do azulejo usado no Exemplo 1.3.

gostaríamos de “medir”, ou atribuir probabilidade, e também realizar operações elementares de conjuntos.

3. Uma função \mathbb{P} que associa a cada evento aleatório um número real, que representa a ideia de chance, verossimilhança, confiança, ou credibilidade. Esta função é chamada de *probabilidade* ou *medida de probabilidade*.

No restante desta seção, discutiremos com mais detalhes cada um dos três objetos que definem os espaços de probabilidade.

1.1.1 Espaço amostral

Um conjunto não-vazio Ω , cujos elementos representam todos os resultados possíveis de um determinado experimento, é chamado de *espaço amostral*. Uma *realização* do experimento é representada pela escolha de algum dos possíveis $\omega \in \Omega$, e às vezes nos referimos ao próprio ω como sendo a realização do experimento.

Exemplo 1.4. Se o experimento consiste em lançar uma moeda, então $\Omega = \{\text{Cara}, \text{Coroa}\}$ ou $\Omega = \{0, 1\}$, se convencionarmos que 1 representa a face “cara” e 0 representa a face “coroa”. \triangle

Exemplo 1.5. Se o experimento consiste em lançar um dado e observar a face superior, então

$$\Omega = \{1, 2, 3, 4, 5, 6\},$$

onde cada número representa o possível valor da face observada. \triangle

Exemplo 1.6. Se o experimento consiste em lançar uma moeda duas vezes, então

$$\Omega = \{0, 1\}^2 = \{0, 1\} \times \{0, 1\} = \{(0, 0), (0, 1), (1, 0), (1, 1)\},$$

onde a primeira coordenada representa o valor observado no primeiro lançamento, e a segunda coordenada, o do segundo lançamento. \triangle

Exemplo 1.7. Se o experimento consiste em lançar um dado duas vezes e

observar a face superior, então

$$\Omega = \{1, 2, 3, 4, 5, 6\}^2 = \{\omega = (\omega_1, \omega_2) : \omega_1, \omega_2 \in \{1, 2, 3, 4, 5, 6\}\}. \quad \triangle$$

Exemplo 1.8. Lançar uma moeda infinitas vezes, em sequência. Se $\omega_1 \in \{0, 1\}$ denota o resultado do primeiro lançamento da moeda, $\omega_2 \in \{0, 1\}$ o da segunda, e assim por diante, então uma realização desse experimento equivale a sortear um $\omega = (\omega_1, \omega_2, \omega_3, \dots)$ do conjunto

$$\Omega = \{0, 1\}^{\mathbb{N}} = \{\omega = (\omega_n)_{n \in \mathbb{N}} : \omega_n \in \{0, 1\} \text{ para todo } n\}. \quad \triangle$$

A propósito, neste livro, $\mathbb{N} = \{1, 2, 3, \dots\}$ e $\mathbb{N}_0 = \{0, 1, 2, 3, \dots\}$.

Exemplo 1.9. Se o experimento consiste em medir a duração de uma lâmpada, então um possível espaço amostral é dado por $\Omega = [0, \infty)$. \triangle

1.1.2 Eventos aleatórios

Eventos são caracterizados por condições que podem ser cumpridas ou não. Nos exemplos vistos no início deste capítulo, o observador sempre era capaz de responder às seguintes perguntas. A carta sorteada foi uma dentre $4\clubsuit$, $7\heartsuit$, $A\spadesuit$ ou $7\diamondsuit$? A moeda caiu a menos de 3 cm de distância das linhas do chão? A moeda caiu sobre a parte do azulejo pintada de preto? Em um modelo probabilístico, a condição a ser observada é representada pelo conjunto A dos elementos ω para os quais a condição é cumprida.

Um *evento aleatório* é um conjunto $A \subseteq \Omega$ tal que o observador sempre é capaz de dizer, ao final do experimento, se $\omega \in A$ ou $\omega \notin A$. Denotaremos por \mathcal{F} a coleção formada pelos eventos aleatórios. Na Seção 1.3 iremos pedir que a coleção \mathcal{F} satisfaça certas propriedades de modo a nos permitir realizar operações com os conjuntos pertencentes a \mathcal{F} .

Dizemos que o evento A *ocorre* se a realização ω é tal que $\omega \in A$. Vamos traduzir algumas operações sobre conjuntos para a linguagem de eventos.

A união $A \cup B$ é o conjunto $\{\omega \in \Omega : \omega \in A \text{ ou } \omega \in B\}$, ou seja, é o conjunto

das realizações ω tais que pelo menos um dos eventos A ou B ocorre, portanto $A \cup B$ é o evento “ A ou B ”.

Exemplo 1.10. No lançamento de um dado ($\Omega = \{1, 2, 3, 4, 5, 6\}$) considere os eventos $A = \text{“par”} = \{2, 4, 6\}$ e $B = \text{“múltiplo de 3”} = \{3, 6\}$. O evento “ A ou B ” contém todos os resultados que sejam pares ou múltiplos de 3 (ou ambos!), e é dado por $C = A \cup B = \{2, 3, 4, 6\}$. \triangle

Analogamente, a interseção $A \cap B$, que é dada por $\{\omega \in \Omega : \omega \in A \text{ e } \omega \in B\}$, é o conjunto das realizações ω tais que ambos os eventos A e B ocorrem, portanto $A \cap B$ é o evento “ A e B ”.

Exemplo 1.11. Considerando os mesmo eventos do Exemplo 1.10, o evento “ A e B ” contém todos os resultados que sejam ao mesmo tempo pares e múltiplos de 3, e é dado por $A \cap B = \{6\}$. \triangle

Denotamos por A^c o complementar do conjunto A , dado por $A^c = \{\omega \in \Omega : \omega \notin A\}$, ou seja, o conjunto das realizações ω para as quais o evento A não ocorre, portanto A^c é o evento “não A ”. Geralmente é óbvio no contexto qual é o espaço amostral Ω , e por isso optamos por A^c como notação mais compacta que $\Omega \setminus A$.

Exemplo 1.12. Continuando o Exemplo 1.11, considere o evento $A = \text{“par”} = \{2, 4, 6\}$. O evento “não A ” contém todos os resultados que não sejam pares, ou seja, que são ímpares, e é dado por $C = A^c = \{1, 3, 5\}$. \triangle

O conjunto vazio \emptyset é denominado *evento impossível*. O conjunto Ω também é um evento, denominado *evento certo*. Dois eventos A e B são ditos *mutuamente exclusivos*, *incompatíveis* ou *disjuntos* se $A \cap B = \emptyset$, isto é, se o evento “ A e B ” for impossível. De forma mais geral, dizemos que $(A_n)_n$ são disjuntos se A_j e A_k são disjuntos para todos $j \neq k$.

Exemplo 1.13. Continuando o exemplo anterior, considere os eventos $A = \text{“par”} = \{2, 4, 6\}$ e $B = \text{“ímpar”} = \{1, 3, 5\}$. O evento “ A e B ” é o evento impossível porque nenhum número é par e ímpar ao mesmo tempo. Em termos de conjuntos, $A \cap B = \emptyset$. O evento “ A ou B ” é o evento certo, porque todo número é par ou ímpar. Em termos de conjuntos, $A \cup B = \Omega$. \triangle

A relação $A \subseteq B$ significa que $\omega \in A$ sempre implica $\omega \in B$, ou seja, para qualquer realização ω , se o evento A ocorre então necessariamente o evento B ocorre. Portanto, $A \subseteq B$ significa que a ocorrência do evento A implica a ocorrência do evento B .

Mencionamos uma questão técnica. Em princípio gostaríamos de atribuir probabilidade a qualquer subconjunto de Ω , o que equivale a tomar $\mathcal{F} = \mathcal{P}(\Omega)$, isto é, o conjunto de todos os subconjuntos de Ω , chamado de *conjunto das partes de Ω* . Geralmente, isso é possível quando o espaço amostral Ω é um conjunto enumerável.² Entretanto, existem subconjuntos de \mathbb{R} , \mathbb{R}^2 , \mathbb{R}^3 e outros possíveis espaços amostrais importantes aos quais não é possível atribuir uma medida de comprimento, área ou volume. A solução para esse problema envolve considerar uma classe \mathcal{F} que, apesar de não conter todos os subconjuntos de Ω , contém todos os subconjuntos nos quais estaremos interessados.

1.1.3 Medida de probabilidade

Para um determinado experimento aleatório, após definidos o espaço amostral Ω e a classe \mathcal{F} de subconjuntos de Ω aos quais gostaríamos de atribuir uma probabilidade, falta definir a medida de probabilidade propriamente dita. Isto é, precisamos especificar uma função $\mathbb{P} : \mathcal{F} \rightarrow \mathbb{R}$ que atribua a cada evento $A \in \mathcal{F}$ a sua respectiva probabilidade $\mathbb{P}(A)$.

Na Seção 1.3, definiremos de modo preciso quais propriedades a função de probabilidade $\mathbb{P} : \mathcal{F} \rightarrow \mathbb{R}$ deve satisfazer. Porém, antes de tratarmos este problema em total generalidade, gostaríamos de apresentar abaixo algumas situações relativamente simples onde podemos especificar a medida de probabilidade explicitamente.

² Um conjunto Ω é dito *enumerável* se existe uma função injetiva de Ω em \mathbb{N} . Isso quer dizer que os elementos de Ω podem ser indexados por \mathbb{N} , ou seja, listados em uma sequência. Por exemplo, $\mathbb{N} = \{1, 2, 3, \dots\}$, $\mathbb{Z} = \{0, 1, -1, 2, -2, \dots\}$, números pares $\{0, 2, 4, 6, 8, \dots\}$, primos $\{2, 3, 5, 7, 11, 13, \dots\}$, e $\mathbb{Q} = \{0, \frac{1}{1}, \frac{-1}{1}, \frac{1}{2}, \frac{-1}{2}, \frac{2}{1}, \frac{-2}{1}, \frac{1}{3}, \frac{-1}{3}, \frac{2}{2}, \frac{-2}{2}, \frac{3}{1}, \frac{-3}{1}, \frac{1}{4}, \dots\}$. O conjunto dos números reais não é enumerável, pois dada qualquer sequência $(x_n)_{n=1,2,3,\dots}$ de números reais, sempre existirá um número $z \in \mathbb{R}$ que não estará nessa sequência.

Caso equiprovável

Em alguns experimentos, há um número finito de resultados possíveis e estes são todos idênticos no sentido de que trocar a forma como objetos são etiquetados não afeta as chances de cada um deles. Havendo esse tipo de *simetria*, vale a hipótese de *equiprobabilidade*, isto é, todos os elementos $\omega \in \Omega$ têm a mesma chance de ocorrer. Neste caso, a probabilidade de um evento A é simplesmente a razão entre o número de elementos de A e o número de elementos do espaço amostral Ω :

$$\mathbb{P}(A) = \frac{\#A}{\#\Omega}.$$

Foi exatamente isto que fizemos no Exemplo 1.1. Ou seja, quando há equiprobabilidade, a tarefa de calcular a probabilidade resume-se a um problema de contagem: quantos são os elementos de A e de Ω ? Abordaremos a questão de contagem com mais profundidade na próxima seção.

Exemplo 1.14. Um dado comum é lançado. Qual a probabilidade de o valor exibido na face superior ser múltiplo de 3? Podemos modelar esse experimento tomando $\Omega = \{1, 2, 3, 4, 5, 6\}$, e o evento de interesse é $B = \{3, 6\}$. Como as faces do dado podem ser reetiquetadas sem que isso afete as chances de cada resultado, vale a hipótese de equiprobabilidade e, portanto,

$$\mathbb{P}(B) = \frac{\#B}{\#\Omega} = \frac{2}{6} = \frac{1}{3}. \quad \triangle$$

Exemplo 1.15. Lançamos dois dados, um azul e um branco. Qual a probabilidade de que a soma dos valores observados seja igual a 3? Neste caso, podemos tomar $\Omega = \{1, 2, 3, 4, 5, 6\}^2$ e $A = \{(1, 2), (2, 1)\}$. Como as faces de cada dado podem ser reetiquetadas sem que isso afete as chances de cada resultado, vale a hipótese de equiprobabilidade neste espaço, e

$$\mathbb{P}(A) = \frac{\#A}{\#\Omega} = \frac{2}{36} = \frac{1}{18}. \quad \triangle$$

Exemplo 1.16. Retiramos uma carta de um baralho comum, observamos sua face e a retornamos ao baralho, que é novamente embaralhado. Em seguida retiramos outra carta. Qual a probabilidade de as cartas retiradas serem um rei e uma dama do mesmo naipe? Neste caso, podemos tomar

$$\Omega = \{A\Diamond, 2\Diamond, \dots, K\Diamond, A\heartsuit, \dots, A\spadesuit, \dots, A\clubsuit, \dots, K\clubsuit\}^2$$

e

$$A = \{(Q\Diamond, K\Diamond), (Q\heartsuit, K\heartsuit), (Q\spadesuit, K\spadesuit), (Q\clubsuit, K\clubsuit), \\ (K\Diamond, Q\Diamond), (K\heartsuit, Q\heartsuit), (K\spadesuit, Q\spadesuit), (K\clubsuit, Q\clubsuit)\}.$$

Como as cartas podem ser reetiquetadas cada vez que embaralhamos o maço, sem que isso afete as chances de cada possível resultado, vale a hipótese de equiprobabilidade nesse espaço Ω . Logo,

$$\mathbb{P}(A) = \frac{\#A}{\#\Omega} = \frac{8}{52^2} = \frac{1}{338}. \quad \triangle$$

Espaços amostrais enumeráveis

Um contexto que vai além do caso equiprovável e que podemos tratar sem mais complicações técnicas, é quando o espaço amostral Ω é um conjunto enumerável.

Se $\Omega = \{\omega_1, \omega_2, \omega_3, \dots\}$, então a cada possível resultado ω_n é associada uma probabilidade $p(\omega_n)$ de forma que

$$\sum_{n=1}^{\infty} p(\omega_n) = 1.$$

Para um subconjunto $B \subseteq \Omega$ definimos

$$\mathbb{P}(B) = \sum_{\omega \in B} p(\omega).$$

Exemplo 1.17. Lançamos um dado sucessivamente e contamos o número de lançamentos necessários até obtermos o número 3 pela primeira vez. Então podemos tomar como espaço amostral $\Omega = \mathbb{N}$ e $p(n) = \frac{1}{6} (\frac{5}{6})^{n-1}$. Se $A =$ “obter um 3 em no máximo 5 tentativas” e $B =$ “não se obter o 3 nas primeiras 10 tentativas”, então

$$\mathbb{P}(A) = \frac{1}{6} + \frac{1}{6} \times \frac{5}{6} + \cdots + \frac{1}{6} \times (\frac{5}{6})^4 = \frac{\frac{1}{6} - (\frac{5}{6})^5 \frac{1}{6}}{1 - \frac{5}{6}} = 1 - (\frac{5}{6})^5 \approx 0,598.$$

e

$$\mathbb{P}(B) = \frac{1}{6}(\frac{5}{6})^{10} + \frac{1}{6}(\frac{5}{6})^{11} + \frac{1}{6}(\frac{5}{6})^{12} + \cdots = \frac{\frac{1}{6}(\frac{5}{6})^{10}}{1 - (\frac{5}{6})} = (\frac{5}{6})^{10} \approx 0,161. \quad \triangle$$

A agulha de Buffon

Uma agulha é lançada de modo aleatório para cima e cai sobre um piso que é cortado por um feixe de retas paralelas, todas elas espaçadas por uma mesma distância igual ao comprimento da agulha. Qual a probabilidade de a agulha cruzar uma das retas do piso?

Seja ℓ o comprimento da agulha. Inspeccionando a Figura 1.3, podemos

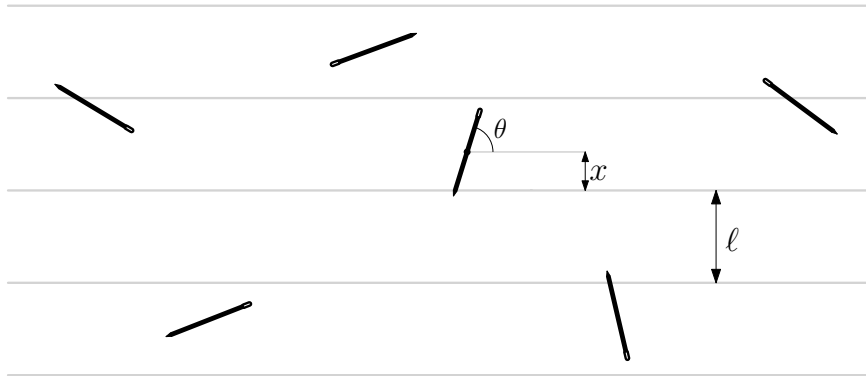


Figura 1.3. Piso indicando várias agulhas de Buffon e as coordenadas θ e x .

verificar que a agulha está perfeitamente localizada em relação às retas do piso se conhecermos as variáveis

θ = menor ângulo formado entre a agulha e as retas do piso

e

x = distância entre o ponto médio da agulha e a reta mais próxima.

Observe que $0 \leq x \leq \frac{\ell}{2}$ e $0 \leq \theta \leq \frac{\pi}{2}$, ou seja, o lançamento da agulha corresponde a um sorteio de um ponto no retângulo $\Omega = [0, \frac{\pi}{2}] \times [0, \frac{\ell}{2}]$. Recorrendo novamente à Figura 1.3, podemos verificar que a agulha cruza uma das retas do piso se e somente se é satisfeita a condição $x < \frac{\ell}{2} \sin \theta$. Sendo assim, nossa pergunta agora é quanto vale $\mathbb{P}(A)$, onde $A = \{(\theta, x) \in \Omega : x < \frac{\ell}{2} \sin \theta\}$. Assim como agimos intuitivamente no Exemplo 1.3, por uma questão de simetria (invariância por rotação e translação), a probabilidade do conjunto A deve ser a razão entre as áreas dos conjuntos A e Ω :

$$\mathbb{P}(A) = \frac{\text{Área } A}{\text{Área } \Omega} = \frac{\int_0^{\frac{\pi}{2}} \frac{\ell}{2} \sin \theta \, d\theta}{\frac{\ell\pi}{4}} = \frac{2}{\pi}.$$

Lançando a agulha muitas vezes, esperamos que a proporção de lançamentos em que a agulha intersecta as linhas do piso se aproxime de $\frac{2}{\pi}$. Este é, pois, um método probabilístico para calcular as casas decimais de π ! Na verdade não é um método muito eficiente, mas impressiona pela audácia.

Espaços contínuos

Gostaríamos de chamar a atenção do leitor para o fato que, no exemplo acima, o espaço amostral $\Omega = [0, \frac{\pi}{2}] \times [0, \frac{\ell}{2}]$ não é enumerável. Por isso, precisamos de uma medida de probabilidade diferente da dos casos anteriores. Intuitivamente, dissemos que a probabilidade do evento A era a razão entre as áreas de A e Ω . Mas quais são os conjuntos que podemos atribuir área?

Como se calcula a área nestes casos?

Neste mesmo problema, qual é a probabilidade de a agulha cair paralela às retas do piso? De modo mais formal, queremos saber quanto vale $\mathbb{P}(B_0)$, onde $B_0 = \{0\} \times [0, \frac{\ell}{2}]$. Como B_0 é um segmento de reta dentro do retângulo Ω , a área de B_0 é zero, logo $\mathbb{P}(B_0) = 0$.

De modo análogo, o evento $B_\alpha = \{\alpha\} \times [0, \frac{\ell}{2}]$ em que a agulha forma um ângulo igual a α com o feixe de retas do piso, também tem a propriedade de que $\mathbb{P}(B_\alpha) = 0$, e isso vale para todo $\alpha \in [0, \frac{\pi}{2}]$. Em particular, $\mathbb{P}(\{(\alpha, z)\}) = 0$ para todo $(\alpha, z) \in \Omega$.

Acabamos de ver algo bastante curioso: há eventos de probabilidade zero que não são o evento impossível! Algo ainda mais curioso ocorre; se não, vejamos. Nos exemplos de Ω enumerável, a medida de probabilidade de um conjunto B era sempre dada por $\mathbb{P}(B) = \sum_{\omega \in B} \mathbb{P}(\{\omega\})$. Vale o mesmo para a agulha de Buffon? Se valesse, teríamos:

$$“1 = \mathbb{P}(\Omega) = \sum_{(\alpha, z) \in \Omega} \mathbb{P}(\{(\alpha, z)\}) = 0”.$$

O absurdo da equação acima é devido ao fato de a soma ser tomada sobre todos os elementos de Ω , que é um conjunto não-enumerável. Somas não-enumeráveis não servem para calcular probabilidades: uma coleção de pontos pode ter área ou comprimento positivo, apesar de que cada um dos seus pontos tenha, sozinho, comprimento zero.

Simetria e equiprobabilidade

Concluimos esta seção com uma discussão mais minuciosa a respeito da hipótese de equiprobabilidade.

Um dado pode ter suas faces etiquetadas com $\{1, 2, 3, 4, 5, 6\}$ ou $\{2, 3, 4, 5, 6, 1\}$. As chances de se observar a etiqueta “2” são as mesmas para ambos os casos, pois as faces do dado que seriam etiquetadas com “2” são idênticas e, uma vez que o dado tenha girado ao redor de seus eixos várias vezes, não há

resquícios da posição inicial que possam fazer com que uma das faces tenha mais chances que as outras. Por outro lado, sair “2” no segundo caso é o mesmo que sair “1” no primeiro caso, e portanto a probabilidade de se observar a face “2” é a mesma que a de se observar a face “1”. Seguindo o mesmo argumento, a chance de sair “2” é a mesma que de sair “3” e assim por diante.

Certamente, há exemplos com finitos resultados possíveis em que a hipótese de equiprobabilidade não é válida. Considere o lançamento simultâneo de dois dados de mesma cor (mais precisamente, idênticos, se é que isso é possível) sobre o mesmo tabuleiro. Qual a probabilidade de que a soma dos valores exibidos em cada face seja 3? Um erro sutil, que inclusive grandes matemáticos já cometeram no passado, é usar um modelo equiprovável sobre os 21 pares não-ordenados possíveis. Neste caso, teríamos a mesma probabilidade de que a soma seja 2 ou 3, pois 2 somente pode ser obtido de uma forma (com um par de “1”s) e 3 também pode ser obtido apenas de uma forma (com um “1” e um “2”). A ideia de considerar os dados como sendo idênticos e definir um espaço amostral com apenas 21 elementos, ao invés de ajudar, atrapalhou. Isso porque não há simetria (isto é, invariância pela forma como as faces são etiquetadas) que nos permita justificar que $\omega = \{1, 1\}$ e $\omega = \{1, 2\}$ tenham a mesma chance. Pelo contrário, podemos pensar que dois dados nunca são idênticos e, ainda que fossem, um deles vai cair mais à esquerda e, ainda que caíam perfeitamente alinhados, é possível escolher um dos dois dados no início e seguir sua trajetória de forma a diferenciá-lo do outro. Felizmente, mesmo que o observador insista na sua incapacidade de distinguir os dados, já sabemos que o modelo com 36 resultados possíveis nos permitiu resolver o problema usando simetria. Portanto, se queremos muito modelar o experimento com um espaço amostral de 21 elementos, a medida de probabilidade deve atribuir peso $\frac{1}{36}$ a cada um dos 6 pares de números idênticos e $\frac{2}{36}$ a cada um dos 15 pares de números diferentes, totalizando $\frac{36}{36}$, como esperado.³

³Quem disse que dois dados podem somar 2 ou 3 com a mesma probabilidade foi ninguém menos que G. Leibniz (o co-inventor do Cálculo) em 1666. Claramente, Leibniz

1.2 Contagem e simetria

O problema de contar quantos são os elementos de um dado conjunto é quase sempre baseado no uso de duas regras básicas. Apesar de simples de serem entendidas, seu uso pode se dar de maneira bastante sofisticada. Estas regras são conhecidas como os *princípios fundamentais da contagem*.

O princípio aditivo diz o seguinte:

Se uma família de objetos pode ser decomposta em duas subfamílias disjuntas, a primeira com m objetos e a segunda com n objetos, então o número total de objetos é $m + n$.

O princípio multiplicativo diz o seguinte:

Se cada objeto de uma família pode ser especificado em duas etapas, de forma que na primeira etapa há m opções e, independentemente do resultado da primeira etapa, na segunda etapa há n opções, então a família tem $m \times n$ elementos.

Exemplo 1.18. Fernanda tem quatro saias: preta, cinza, azul e vermelha, e três camisetas: branca, azul e vermelha. Quantas peças de roupa tem Fernanda? Pelo princípio aditivo, Fernanda tem $4 + 3 = 7$ peças de roupa.

não tinha muita experiência prática lançando dados. Meio século antes, teve lugar uma versão um pouco mais complicada desse problema, o *Problema do Grão-Duque da Toscana*. Considere o lançamento de três dados, e observe que a soma 9 pode ser obtida como $\{1, 2, 6\}$, $\{1, 3, 5\}$, $\{1, 4, 4\}$, $\{2, 2, 5\}$, $\{2, 3, 4\}$ ou $\{3, 3, 3\}$, enquanto a soma 10 pode ser obtida como $\{1, 3, 6\}$, $\{1, 4, 5\}$, $\{2, 2, 6\}$, $\{2, 3, 5\}$, $\{2, 4, 4\}$ ou $\{3, 3, 4\}$. Apesar de que tanto 9 quanto 10 podem ser obtidos a partir de seis listas diferentes, por que somas 10 são mais frequentes que somas 9? Indagado por seu patrono, Galileu responde de modo correto que essas seis listas não são equiprováveis. Analogamente ao lançamento de dois dados, a lista $\{3, 3, 3\}$ é menos provável que $\{3, 3, 4\}$, que por sua vez é menos provável que $\{2, 3, 5\}$. A escolha correta para a medida de probabilidade deve atribuir peso $1/216$ a cada uma das triplas com números idênticos, $3/216$ a cada tripla formada por dois números idênticos e outro distinto e $6/216$ a cada tripla de três números distintos. Portanto, a soma 9 ocorre com probabilidade $25/216$, enquanto uma soma 10 ocorre com probabilidade $27/216$. É muito curioso que o Grão-Duque tenha tido tanta experiência com lançamentos de dados a ponto de perceber empiricamente uma diferença relativa entre as probabilidades inferior a um décimo!

De quantas formas distintas Fernanda pode se vestir? Escolhendo primeiro a saia e depois a camiseta, pelo princípio multiplicativo vemos que Fernanda tem $4 \times 3 = 12$ formas de se vestir. \triangle

Exemplo 1.19. Severino vai a um restaurante onde há duas opções de prato: peixe e carne (bovina). Como opções de vinho, há Merlot e Malbec (tintos), Sauvignon Blanc e Pinot Grigio (brancos). Além disso, há uma opção de cerveja de trigo. Severino não gosta de combinar carne com vinho branco nem peixe com vinho tinto. Escolhendo primeiro o prato e depois a bebida, vemos, pelo princípio multiplicativo, que Severino tem $2 \times 3 = 6$ possibilidades para pedir. Essa solução é mais simples do que se escolhêssemos primeiro a bebida. Se Severino toma cerveja, há 2 opções de prato. Se Severino toma vinho, há 4 opções de vinho, e para cada opção de vinho há 1 opção de prato. Combinando os princípios aditivo e multiplicativo, Severino tem $1 \times 2 + 4 \times 1 = 6$ possibilidades para fazer o pedido. \triangle

Exemplo 1.20 (Sorteio com reposição). Retiramos uma carta do baralho, anotamos o valor, devolvemos a carta, voltamos a embaralhar e voltamos a retirar uma carta. Qual a probabilidade de que pelo menos uma das duas cartas retiradas seja o $4\clubsuit$? Pelo princípio multiplicativo, o número de resultados possíveis desse experimento é 52^2 . Para o evento em questão, há duas possibilidades disjuntas, ou a primeira carta retirada é o $4\clubsuit$, e a segunda carta é qualquer das 52 cartas do baralho, ou a primeira carta retirada é qualquer das outras 51 diferentes e a segunda é um $4\clubsuit$. Combinando os princípios aditivo e multiplicativo, obtemos $\#A = 1 \times 52 + 51 \times 1 = 103$. Como os números das cartas podem ser permutados antes de cada retirada sem que isso afete as chances de cada resultado, vale a hipótese de equiprobabilidade e, portanto, $\mathbb{P}(A) = \frac{103}{2.704}$. \triangle

Exemplo 1.21 (Sorteio sem reposição). Retiramos, sem reposição, duas cartas de um baralho. Qual a probabilidade de que uma das duas cartas retiradas seja o $4\clubsuit$? Para facilitar a contagem, vamos supor que as cartas são retiradas de forma ordenada. Ou seja, primeiro retiramos uma carta do baralho e depois retiramos a outra carta. Pelo princípio multiplicativo, o número de resultados possíveis desse experimento é 52×51 , pois, independentemente de

qual seja a primeira carta retirada, para a segunda retirada sempre haverá 51 cartas restantes no baralho. O evento em questão também pode ser especificado em duas etapas: primeiro escolhemos se o $4\clubsuit$ sai na primeira ou na segunda retirada e, independentemente disso, escolhemos depois qual das outras 51 cartas sai na outra retirada. Pelo princípio multiplicativo, temos $\#A = 2 \times 51 = 102$. Como os números das cartas podem ser permutados antes de cada retirada sem que isso afete as chances de cada resultado, vale a hipótese de equiprobabilidade e, portanto, $\mathbb{P}(A) = \frac{102}{51 \times 52} = \frac{1}{26}$. \triangle

O princípio multiplicativo pode ser estendido para k etapas por indução, se consideramos as etapas $2, \dots, k$ como uma única etapa que consiste em $k - 1$ subetapas.

Exemplo 1.22. Sortear 4 cartas de um baralho comum, com reposição. Neste caso, podemos tomar $\Omega = (\{A, 2, 3, \dots, 9, 10, J, Q, K\} \times \{\clubsuit, \heartsuit, \spadesuit, \diamondsuit\})^4$ e $\#\Omega = 52^4$. Como os números das cartas podem ser permutados antes de cada retirada sem que isso afete as chances de cada resultado, vale a hipótese de equiprobabilidade e, portanto, $\mathbb{P}(D) = \frac{\#D}{52^4}$ para todo $D \subseteq \Omega$.

Qual a probabilidade do evento $A =$ “as quatro cartas são valetes”? Escrevendo $A = (\{J\} \times \{\heartsuit, \diamondsuit, \spadesuit, \clubsuit\})^4$, temos $\#A = 4^4$ e $\mathbb{P}(A) = \frac{4^4}{52^4} = \frac{1}{13^4}$.

Qual a probabilidade do evento $B =$ “todas as cartas têm o mesmo naipe”? Temos 4 escolhas para o naipe, e 13 escolhas para cada uma das cartas retiradas, logo $\#B = 4 \times 13^4$ e portanto $\mathbb{P}(B) = \frac{4 \times 13^4}{52^4} = \frac{1}{4^3}$. \triangle

O princípio aditivo pode ser utilizado de trás para frente.

Exemplo 1.23. No Exemplo 1.18, de quantas formas Fernanda pode se vestir sem que a saia e a camiseta tenham a mesma cor? As formas de Fernanda se vestir, que são 12, podem ser decompostas em dois tipos: com cores iguais, que são 2, ou cores diferentes. Portanto, há 10 combinações que envolvem cores diferentes. \triangle

Outro objeto considerado frequentemente em probabilidade são as *permutações*. Começemos por um assunto familiar: os anagramas.

Exemplo 1.24. Quantos anagramas tem a palavra M-A-R-C-E-L-O? Podemos construir um anagrama escolhendo uma letra de cada vez, e vemos que, independentemente das escolhas anteriores, a k -ésima letra escolhida terá $8 - k$ opções. Pelo princípio multiplicativo, a quantidade de anagramas é dada por $7 \times 6 \times \cdots \times 1 = 7! = 5.040$. Este é o número de *permutações* das letras que compõem a palavra. \triangle

O princípio multiplicativo também pode ser usado de trás para frente, ou seja, quando conhecemos o número total de objetos e queremos saber quantas opções há na primeira etapa.

Exemplo 1.25. Quantos anagramas tem a palavra V-L-A-D-A-S? A mesma solução que usamos para M-A-R-C-E-L-O já não funciona, porque o número de escolhas para a segunda letra depende da primeira letra (se foi A ou não). Para resolver esse problema, vamos supor, artificialmente, que os dois A's da palavra V-L-A-D-A-S são distintos, ou seja, vamos calcular os anagramas de V-L-A₁-D-A₂-S. Pelo método anterior, essa palavra tem $6!$ anagramas. Agora veja que um anagrama de V-L-A₁-D-A₂-S pode ser construído em duas etapas: primeiro escolhemos um anagrama de V-L-A-D-A-S e depois escolhemos uma permutação de A₁A₂. O número de opções da primeira etapa é justamente o que queremos calcular, e a segunda tem $2!$ opções. Portanto, V-L-A-D-A-S tem $\frac{6!}{2!} = 360$ anagramas. \triangle

Exemplo 1.26. Quantos anagramas tem a palavra M-I-S-S-I-S-S-I-P-P-I? Se as letras fossem todas diferentes, seriam $11!$. Podemos proceder como no exemplo anterior, mas agora em quatro etapas: primeiro tomando um anagrama de M-I-S-S-I-S-S-I-P-P-I, depois uma permutação de S₁-S₂-S₃-S₄, depois de I₁-I₂-I₃-I₄, e finalmente uma de P₁-P₂. Portanto, M-I-S-S-I-S-S-I-P-P-I tem $\frac{11!}{4!4!2!} = 34.650$ anagramas. \triangle

Estudaremos agora um objeto tão importante que tem um nome e notação próprios.

Exemplo 1.27. Daniela tem 13 camisas de cores diferentes. Para sua próxima viagem de negócios, ela vai levar 5 camisas. De quantas formas possíveis Daniela pode escolhê-las? Usaremos novamente o princípio multiplicativo de

trás para frente. Uma permutação das 13 camisas pode ser especificada em três etapas: primeiro escolhemos 5 camisas das 13 para ficarem nas 5 primeiras posições, depois permutamos essas 5 camisas, e finalmente permutamos as 8 camisas restantes. Deduzimos que, na primeira etapa, que é a escolha de 5 camisas entre as 13 disponíveis, há $\frac{13!}{5!8!}$ opções. Portanto, Daniela pode fazer a mala de $\frac{13!}{5!8!} = 1.287$ formas diferentes. \triangle

O exemplo acima é um caso particular de um objeto combinatorial muito importante. Dados $n, k \in \mathbb{N}_0$, denotamos por $\binom{n}{k}$ a quantidade de subconjuntos de k elementos que um conjunto qualquer de n elementos possui, e lê-se “combinações de n elementos, k a k ” ou mais vulgarmente “ n escolhe k ”. Analisaremos agora propriedades desses coeficientes a partir dessa definição, com uma abordagem que consideramos mais instrutiva do ponto de vista combinatorial do que ficar cancelando fatoriais.

Estes números especiais são também chamados de *coeficientes binomiais*. Podemos dispor os coeficientes binomiais em uma grande tabela onde na n -ésima linha e k -ésima coluna escrevemos $\binom{n}{k}$. Essa tabela infinita se chama Triângulo de Pascal.⁴ Vejamos algumas das principais propriedades desses números. Primeiro, dado $n \in \mathbb{N}_0$, $\binom{n}{k} = 0$ para $k > n$ pois, dado qualquer conjunto com n elementos, não há subconjuntos com k elementos se $k > n$. Ademais, $\binom{n}{0} = \binom{n}{n} = 1$, pois o único subconjunto com zero elementos é o conjunto vazio e o único subconjunto com n elementos é todo o conjunto.

Uma propriedade fundamental é a *Relação de Stifel*: $\binom{n+1}{k+1} = \binom{n}{k} + \binom{n}{k+1}$.

⁴O Triângulo de Pascal foi um objeto recorrente em diversos trabalhos da Matemática antiga. Suas origens remontam ao tratado de metrificação em sânscrito *Chandas sutra* associado a Pingala, por volta dos séculos III-II a.C., onde havia inclusive uma versão da Relação de Stifel. Posteriormente, aparece também na obra do matemático e poeta persa Omar Khayyan, séculos XI-XII d.C, bem como na Grécia Antiga, na China Antiga, dentre outras manifestações. Mesmo o uso do triângulo no cálculo de probabilidades é anterior a Pascal. No século XVI, Tartaglia já estudava as possíveis combinações de resultados em lançamentos sucessivos de um dado, relacionando-as com esse triângulo. O uso sistemático que Pascal fez do triângulo e suas propriedades na solução de problemas de probabilidade relacionados a jogos de azar, dentre eles o famoso problema dos pontos, fez seu nome definitivamente associado ao triângulo.

Com efeito, um subconjunto de $\{1, \dots, n+1\}$ com $k+1$ elementos pode ser obtido escolhendo-se $k+1$ elementos de $\{1, \dots, n\}$, ou escolhendo-se o elemento $n+1$ e outros k elementos em $\{1, \dots, n\}$.

As propriedades acima nos dizem que, se ignorarmos os termos nulos da nossa tabela de coeficientes binomiais, esta assumirá uma forma triangular, e encontramos o número 1 no início de cada linha do triângulo. Esse formato triangular combinado com a Relação de Stifel nos permite encontrar todos os valores de uma linha a partir da linha anterior.

Os coeficientes binomiais também têm a propriedade de simetria: $\binom{n}{k} = \binom{n}{n-k}$. Com efeito, basta ver que há uma bijeção entre o conjunto de subconjuntos de $\{1, \dots, n\}$ contendo k elementos e o de subconjuntos contendo $n-k$ elementos. Um exemplo de bijeção é simplesmente tomar o complementar de cada conjunto.

O *Teorema das Linhas* diz que $\sum_{k=0}^n \binom{n}{k} = 2^n$, o que é justificado observando-se que ambos os lados da igualdade acima correspondem à quantidade de subconjuntos de $\{1, \dots, n\}$. Para o lado esquerdo, classificamos os subconjuntos pelo seu tamanho e observamos que, para cada k , há $\binom{n}{k}$ subconjuntos com exatamente k elementos e, somando sobre os possíveis valores de k , concluímos pelo princípio aditivo que o número total de subconjuntos é $\sum_{k=0}^n \binom{n}{k}$. Para o lado direito, observamos que um subconjunto $A \subseteq \{1, \dots, n\}$ pode ser especificado em n etapas, onde na k -ésima etapa dizemos se $k \in A$ ou $k \notin A$, totalizando 2^n possibilidades pelo princípio multiplicativo. Portanto, $\sum_{k=0}^n \binom{n}{k} = 2^n$, como queríamos demonstrar.

O *Teorema Binomial* generaliza o Teorema das Linhas, e diz que

$$(a+b)^n = \sum_{k=0}^n \binom{n}{k} a^k b^{n-k}$$

para todos $a, b \in \mathbb{R}$ e $n \in \mathbb{N}_0$. Com efeito, ao expandir o binômio $(a+b)^n = (a+b) \times \dots \times (a+b)$, a operação a ser feita é escolher a ou b em cada um dos n parêntesis acima, multiplicar os valores escolhidos e depois somar

sobre todas as possíveis escolhas. Ao multiplicar, obtemos produtos da forma $a^k b^{n-k}$, onde k é o número de parêntesis na expansão acima em que escolhemos o símbolo a . Ao somar todas as possíveis escolhas, podemos agrupá-las em função dos distintos valores de k . Cada termo da forma $a^k b^{n-k}$ aparecerá uma determinada quantidade de vezes, dada pelo número de possíveis escolhas de k parêntesis dentre os n disponíveis, isto é, $\binom{n}{k}$. Isso prova o teorema.

Para fins de cálculos de probabilidades, há uma fórmula explícita para o coeficiente binomial, que podemos extrair do Exemplo 1.27. Naquele exemplo tínhamos $n = 13$ e $k = 5$ e, aplicando exatamente o mesmo raciocínio para $n \geq k \geq 0$ inteiros, obtemos

$$\binom{n}{k} = \frac{n!}{k!(n-k)!}.$$

Exemplo 1.28. No Exemplo 1.22, qual a probabilidade do evento $C =$ “há um par de cartas de um naipe e um par de cartas de um outro naipe”? Temos $\binom{4}{2}$ escolhas para os naipes. Escolhidos os naipes, temos $\binom{4}{2}$ combinações para quais retiradas correspondem a cada naipe. Escolhidos os naipes e as posições, há 13 escolhas de cartas para cada retirada. Assim, $\#C = \binom{4}{2}\binom{4}{2}13^4 = (\frac{4!}{2!2!})^2 13^4 = 6^2 13^4$ e, portanto, $\mathbb{P}(C) = \frac{6^2 13^4}{52^4} = \frac{6^2}{4^4} = \frac{9}{64}$. \triangle

Exemplo 1.29. No Exemplo 1.27, se Daniela escolhe as camisas ao acaso, qual a probabilidade de que ela leve as camisas azul e vermelha em sua mala? Para isso temos que considerar de quantas formas é possível levar ambas as camisas azul e vermelha. Especificar uma configuração cumprindo essas condições é o mesmo que especificar um conjunto de 3 camisas dentre as 11 que não são nem azul nem vermelha. Novamente, por razões de simetria, a medida de probabilidade correta é $\mathbb{P}(D) = \frac{\#D}{\#\Omega}$ para todo $D \subseteq \Omega$ e, se A denota o evento acima, então

$$\mathbb{P}(A) = \frac{\binom{11}{3}}{\binom{13}{5}} = \frac{\frac{11!}{3!8!}}{\frac{13!}{5!8!}} = \frac{5 \times 4}{13 \times 12} = \frac{5}{39}. \quad \triangle$$

Observação 1.30. O Exemplo 1.21 foi resolvido sem usar o coeficiente binomial, supondo-se que as cartas eram retiradas de forma ordenada. Se considerássemos as cartas retiradas como um subconjunto do baralho contendo dois elementos, sem distinção de ordem, a solução seria

$$\mathbb{P}'(A') = \frac{\#A'}{\#\Omega'} = \frac{51}{\binom{52}{2}} = \frac{1}{26}. \quad \triangle$$

O uso de bijeções pode ser muito poderoso, como veremos a seguir.

Exemplo 1.31 (Princípio da reflexão e números de Catalan). Eva teve quatro filhas, a primeira e a terceira não tiveram filhas, a segunda teve duas filhas (a primeira das quais não teve filhas e a segunda teve uma filha que não teve filhas), e a terceira teve três filhas, que não tiveram filhas. Veja que Eva teve 10 descendentes por linhagem feminina (consideramos apenas a linhagem feminina). Na Figura 1.4, ilustramos a árvore de descendência de Eva, que é uma das possíveis árvores com 10 descendentes. Quantas árvores distintas existem com 10 descendentes? Esse número é conhecido como o décimo *número de Catalan*. Se consideramos o mesmo problema para n descendentes, a solução é o n -ésimo número de Catalan, que denotaremos por C_n .

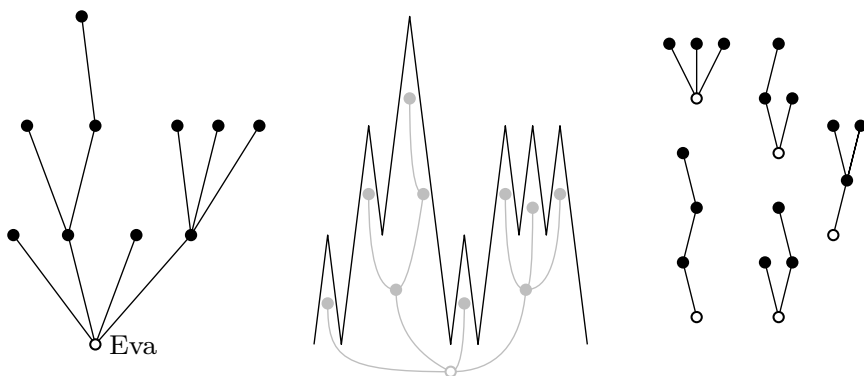


Figura 1.4. A árvore genealógica de Eva e o respectivo caminho gerado. À direita temos os cinco exemplos possíveis de árvores com três descendentes.

Para deixar claro como as árvores são contadas, na Figura 1.4 mostramos todas as árvores com 3 descendentes, e há 5 delas: filha, neta e bisneta; filha e duas netas; três filhas; duas filhas e uma neta através da filha mais velha; duas filhas e uma neta através da filha mais jovem. Portanto, $C_3 = 5$.

Dada a árvore de descendência de Eva, podemos definir um caminho que contorna os elos da árvore no sentido anti-horário. Tal caminho é formado por 10 passos para cima, 10 passos para baixo, termina na altura inicial e nunca fica abaixo desta. Na Figura 1.4 mostramos como construir esse caminho. Observe que é possível reconstruir a árvore a partir do caminho, portanto esses objetos estão em bijeção.

De modo mais geral, quantas são as árvores com n descendentes? Dado $m \in \mathbb{N}$, dizemos que a m -upla $s = (s_1, \dots, s_m) \in \mathbb{Z}^m$ é um *caminho simples de duração m* se $s_k - s_{k-1} = +1$ ou -1 para $k = 1, \dots, m$, com $s_0 = 0$. Assumindo duração sempre de $2n$, temos que C_n é igual ao número de caminhos que voltam à origem no tempo $2n$ e nunca passam por -1 .

Definimos $\tau = \tau(s) = \min\{k \geq 1 : s_k = -1\}$, onde $\min(\emptyset) = +\infty$, como o instante da primeira passagem por -1 , ou seja, $s_j \geq 0$ para $j < \tau$ e $s_j = -1$ para $j = \tau$ caso $\tau < \infty$. Nessa notação, $C_n = \#\{s : s_{2n} = 0, \tau(s) > 2n\}$.

Observe que, se $s_{2n} = 2k$, há exatamente $n + k$ passos para cima e $n - k$

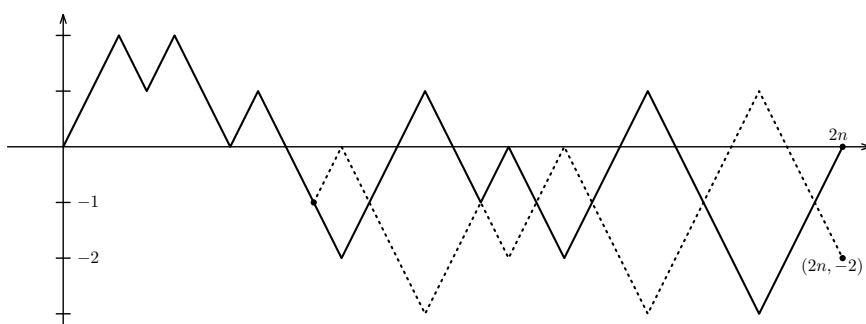


Figura 1.5. Um caminho que passa por -1 e termina na origem e o respectivo caminho refletido, que termina em -2 (passando obrigatoriamente por -1).

passos para baixo, e a quantidade de tais caminhos é $\binom{2n}{n+k}$. Por outro lado, o conjunto de todas as trajetórias que terminam em $s_{2n} = 0$ pode ser particionado pelos conjuntos daquelas que nunca passam por -1 e daquelas que sim passam por -1 . Pelo princípio aditivo, conclui-se que

$$\binom{2n}{n} = C_n + \#\{s : s_{2n} = 0, \tau(s) \leq 2n\}.$$

Portanto, nossa tarefa agora consiste em calcular o último termo da equação acima, o que faremos usando um truque chamado *princípio da reflexão*.

Dado um caminho s de duração $2n$ tal que $\tau(s) \leq 2n$, definimos o caminho s' refletindo, em relação à reta $y = -1$, a parte do caminho posterior à primeira visita a -1 . Ou seja, $s'_j = s_j$ para $j \leq \tau$ e $s'_j = -2 - s_j$ para $j \geq \tau$.

Observe na Figura 1.5 que s' é um caminho de duração $2n$ e $s'_{2n} = -2$. Por outro lado, todo caminho que termina em -2 passa necessariamente por -1 . Além disso, $(s')' = s$, e podemos ver que o mapa $s \mapsto s'$ é uma bijeção entre o conjunto dos caminhos de duração $2n$ que visitam -1 e terminam na origem e o conjunto dos caminhos de duração $2n$ que terminam em -2 . Assim, $\#\{s : s_{2n} = 0, \tau(s) \leq 2n\} = \#\{s : s_{2n} = -2\} = \binom{2n}{n+1}$. Obtemos, assim, a expressão

$$C_n = \binom{2n}{n} - \binom{2n}{n+1}$$

para o n -ésimo número de Catalan. △

1.3 Formulação axiomática de Kolmogorov

Para fazer as operações mais básicas com eventos aleatórios, vamos pedir que nosso espaço de eventos tenha a seguinte estrutura.

Definição 1.32. Dizemos que uma classe \mathcal{F} de subconjuntos de Ω é uma σ -álgebra se \mathcal{F} satisfaz às seguintes propriedades:

- (1) $\Omega \in \mathcal{F}$;
- (2) Para todo $A \in \mathcal{F}$, tem-se que $A^c \in \mathcal{F}$;

(3) Se $A_1, A_2, A_3, \dots \in \mathcal{F}$, então $(\cup_{n=1}^{\infty} A_n) \in \mathcal{F}$.

As três propriedades dizem que o evento certo é um dos elementos de \mathcal{F} , e que a classe \mathcal{F} é fechada pelas operações de tomar o complementar e uniões enumeráveis. Estas propriedades nos garantem que $\emptyset \in \mathcal{F}$, logo \mathcal{F} é fechada também por uniões finitas. Além disso, \mathcal{F} é fechada com respeito a interseções enumeráveis, pois da lei de De Morgan segue que $\cap_{n=1}^{\infty} A_n = (\cup_{n=1}^{\infty} A_n^c)^c$, o que implica que \mathcal{F} também é fechada pela operação de diferença entre conjuntos, pois $A \setminus B = A \cap B^c$. Ou seja, trabalhar com uma σ -álgebra é algo robusto o suficiente que nos permite fazer as operações elementares de conjuntos, uma quantidade enumerável de vezes, sem sair de \mathcal{F} .⁵ Mais propriedades de σ -álgebras serão discutidas na Seção 1.4.

Definição 1.33. Seja Ω um espaço amostral e \mathcal{F} uma σ -álgebra em Ω . Uma *medida de probabilidade* \mathbb{P} , ou simplesmente *probabilidade*, é uma função $\mathbb{P} : \mathcal{F} \rightarrow \mathbb{R}$ satisfazendo às seguintes propriedades:

- (1) $\mathbb{P}(A) \geq 0$ para todo $A \in \mathcal{F}$.
- (2) $\mathbb{P}(\Omega) = 1$.
- (3) Se $(A_n)_n$ são eventos disjuntos, então $\mathbb{P}(\cup_{n=1}^{\infty} A_n) = \sum_{n=1}^{\infty} \mathbb{P}(A_n)$.

Esta última propriedade é chamada *σ -aditividade*.

A partir das propriedades acima, podem-se demonstrar inúmeras outras. Listamos abaixo as mais comuns.

Teorema 1.34. *Sejam \mathbb{P} uma medida de probabilidade, $A, B, A_1, A_2, \dots \in \mathcal{F}$. Então:*

⁵Daqui surge uma pergunta mais que legítima: por que precisamos da definição de σ -álgebra? Quer dizer, não poderíamos simplesmente tomar $\mathcal{F} = \mathcal{P}(\Omega)$ e evitar tudo isso? De fato é sim possível tomar $\mathcal{F} = \mathcal{P}(\Omega)$ para modelos discretos, mas recordemo-nos de alguns exemplos vistos até aqui, mais precisamente os Exemplos 1.2 e 1.3, e o da agulha de Buffon. O problema nesses exemplos é que existem subconjuntos da reta ou do plano que são tão complicados que não é possível atribuir-lhes comprimento ou área. Mais precisamente, não existem um conjunto Ω e uma função \mathbb{P} definida em todos os subconjuntos de Ω , tais que $\mathbb{P}(\{\omega\}) = 0$ para cada ponto $\omega \in \Omega$, e satisfazendo às propriedades fundamentais de uma medida de probabilidade.

- (4) $\mathbb{P}(\emptyset) = 0$.
- (5) $\mathbb{P}(A^c) = 1 - \mathbb{P}(A)$.
- (6) Se $A \subseteq B$, então $\mathbb{P}(A) \leq \mathbb{P}(B)$ e $\mathbb{P}(B \setminus A) = \mathbb{P}(B) - \mathbb{P}(A)$.
- (7) $0 \leq \mathbb{P}(A) \leq 1$.
- (8) $\mathbb{P}(\cup_{n=1}^{\infty} A_n) \leq \sum_{n=1}^{\infty} \mathbb{P}(A_n)$.
- (9) $\mathbb{P}(A \cup B) = \mathbb{P}(A) + \mathbb{P}(B) - \mathbb{P}(A \cap B)$.

Demonstração. Para provar (4), tome $A_1 = \Omega$ e $A_n = \emptyset$ para $n = 2, 3, 4, \dots$. Se $\mathbb{P}(\emptyset)$ fosse estritamente positivo, a equação que define a Propriedade (3) daria 1 no lado esquerdo e $+\infty$ no lado direito. Para provar (5), basta tomar $A_1 = A$, $A_2 = A^c$ e $A_j = \emptyset$ para $j = 3, 4, \dots$, então pelas Propriedades (3) e (4) segue que $1 = \mathbb{P}(\Omega) = \mathbb{P}(A \cup A^c \cup \emptyset \cup \dots \cup \emptyset) = \mathbb{P}(A) + \mathbb{P}(A^c)$.

O item (6) é provado escrevendo $B = A \cup (B \setminus A)$. Com efeito, segue de (3) que $\mathbb{P}(B) = \mathbb{P}(A) + \mathbb{P}(B \setminus A)$, logo $\mathbb{P}(B \setminus A) = \mathbb{P}(B) - \mathbb{P}(A)$, e de (1) concluímos que $\mathbb{P}(B) \geq \mathbb{P}(A)$. Usando essa última propriedade e observando que $\emptyset \subseteq A \subseteq \Omega$, obtemos $0 = \mathbb{P}(\emptyset) \leq \mathbb{P}(A) \leq \mathbb{P}(\Omega) = 1$, o que prova (7).

Para provar (8), defina $B_1 = A_1$ e $B_n = A_n \setminus (\cup_{k=1}^{n-1} A_k)$ para $n \geq 2$. Como os conjuntos B_1, B_2, \dots são disjuntos e $B_n \subseteq A_n$ para todo n , segue de (3) e (6) que $\mathbb{P}(\cup_{n=1}^{\infty} A_n) = \mathbb{P}(\cup_{n=1}^{\infty} B_n) = \sum_{n=1}^{\infty} \mathbb{P}(B_n) \leq \sum_{n=1}^{\infty} \mathbb{P}(A_n)$. Para provar (9), usamos (3) para escrever $\mathbb{P}(A \cup B) = \mathbb{P}(A) + \mathbb{P}(B \setminus A)$ e $\mathbb{P}(B) = \mathbb{P}(A \cap B) + \mathbb{P}(B \setminus A)$, donde $\mathbb{P}(A \cup B) = \mathbb{P}(A) + \mathbb{P}(B) - \mathbb{P}(A \cap B)$. \square

Uma medida de probabilidade \mathbb{P} também tem a propriedade de ser contínua. Dizemos que $A_n \uparrow A$ se $A_1 \subseteq A_2 \subseteq A_3 \subseteq \dots$ e $\cup_{n=1}^{\infty} A_n = A$. Analogamente, $A_n \downarrow A$ se $A_1 \supseteq A_2 \supseteq A_3 \supseteq \dots$ e $\cap_{n=1}^{\infty} A_n = A$.

Teorema 1.35 (Continuidade). *Se $A_n \uparrow A$ ou $A_n \downarrow A$, então $\mathbb{P}(A_n) \rightarrow \mathbb{P}(A)$.*

Demonstração. Suponha que $A_n \uparrow A$. Fixe $A_0 = \emptyset$ e defina $B_n = A_n \setminus A_{n-1}$ para $n \in \mathbb{N}$, de modo que $\cup_{n=1}^{\infty} A_n = \cup_{n=1}^{\infty} B_n$ e a última união é disjunta.

Assim,

$$\begin{aligned}
 \mathbb{P}\left(\bigcup_{k=1}^{\infty} A_k\right) &= \mathbb{P}\left(\bigcup_{k=1}^{\infty} B_k\right) = \sum_{k=1}^{\infty} \mathbb{P}(B_k) \\
 &= \sum_{k=1}^{\infty} \mathbb{P}(A_k \setminus A_{k-1}) = \lim_{n \rightarrow \infty} \sum_{k=1}^n \mathbb{P}(A_k \setminus A_{k-1}) \\
 &= \lim_{n \rightarrow \infty} \sum_{k=1}^n \left(\mathbb{P}(A_k) - \mathbb{P}(A_{k-1})\right) = \lim_{n \rightarrow \infty} \mathbb{P}(A_n),
 \end{aligned}$$

provando o primeiro caso. Suponha agora que $A_n \downarrow A = \bigcap_{n=1}^{\infty} A_n$. Observando que $A_n^c \uparrow \bigcup_{n=1}^{\infty} A_n^c$, pela parte já demonstrada, $\mathbb{P}(A_n) = 1 - \mathbb{P}(A_n^c) \rightarrow 1 - \mathbb{P}(A^c) = \mathbb{P}(A)$. \square

Finalmente introduzimos o conceito de espaço de probabilidade, que nada mais é que a justaposição das noções de espaço amostral, eventos aleatórios e medida de probabilidade.

Definição 1.36 (Espaço de probabilidade). Um *espaço de probabilidade* é um trio $(\Omega, \mathcal{F}, \mathbb{P})$, onde

- (1) Ω é um conjunto não-vazio;
- (2) \mathcal{F} é uma σ -álgebra de subconjuntos de Ω ;
- (3) \mathbb{P} é uma probabilidade definida em \mathcal{F} .

Exemplo 1.37. Lançamento de uma moeda. Este espaço é pequeno o suficiente para que possamos construí-lo explicitamente. Como fizemos anteriormente, as duas faces da moeda serão representadas em $\Omega = \{0, 1\}$. A σ -álgebra \mathcal{F} é dada por $\mathcal{F} = \mathcal{P}(\Omega) = \{\emptyset, \{0\}, \{1\}, \{0, 1\}\}$. A medida de probabilidade $\mathbb{P} : \mathcal{F} \rightarrow \mathbb{R}$ é dada por $\mathbb{P}(\emptyset) = 0$, $\mathbb{P}(\{0\}) = \mathbb{P}(\{1\}) = \frac{1}{2}$, $\mathbb{P}(\{0, 1\}) = 1$. \triangle

1.4 Espaços de medida

Esta seção pode ser omitida em uma primeira leitura. É pré-requisito para as Seções 5.5, 11.4, e portanto para os Capítulos 12–15.

1.4.1 σ -álgebras e conjuntos borelianos

Dada uma σ -álgebra, \mathcal{F} , seus elementos $A \in \mathcal{F}$ serão chamados *conjuntos mensuráveis com respeito a \mathcal{F}* , ou simplesmente *conjuntos mensuráveis* quando \mathcal{F} estiver claro ou implícito no contexto.

Dada uma classe qualquer de subconjuntos de Ω , sempre existe pelo menos uma σ -álgebra contendo tal classe, a saber, $\mathcal{P}(\Omega)$. Existiriam outras σ -álgebras menores com tal propriedade? Esta é uma pergunta importante, pois gostaríamos de poder atribuir probabilidade pelo menos aos conjuntos dessa classe.

Proposição 1.38 (σ -álgebra gerada por uma classe de subconjuntos). *Seja Ω um espaço amostral e \mathcal{E} uma classe de subconjuntos de Ω . Então existe uma única σ -álgebra, chamada a σ -álgebra gerada por \mathcal{E} , denotada por $\sigma(\mathcal{E})$, que satisfaz às seguintes propriedades:*

- (1) $\sigma(\mathcal{E})$ é uma σ -álgebra,
- (2) $\sigma(\mathcal{E}) \supseteq \mathcal{E}$,
- (3) se $\mathcal{F} \supseteq \mathcal{E}$ e \mathcal{F} é uma σ -álgebra, então $\mathcal{F} \supseteq \sigma(\mathcal{E})$.

Daremos a prova no final deste capítulo, em forma de exercício guiado.

Exemplo 1.39. Sejam Ω um espaço amostral, $A \subseteq \Omega$ e $\mathcal{E} = \{A\}$. Afirmamos que a σ -álgebra gerada por \mathcal{E} é $\sigma(\mathcal{E}) = \{\emptyset, \Omega, A, A^c\}$. Com efeito, essa classe é uma σ -álgebra, ela contém \mathcal{E} , e qualquer σ -álgebra que contenha \mathcal{E} tem que contê-la. \triangle

Exemplo 1.40. Seja $\mathcal{E} = \{A_1, \dots, A_n\}$ uma coleção de subconjuntos disjuntos do espaço amostral Ω , tais que $\cup_{k=1}^n A_k = \Omega$. Então a σ -álgebra gerada por \mathcal{E} é $\mathcal{A} = \{\emptyset\} \cup \{A_{j_1} \cup \dots \cup A_{j_m} : j_1, \dots, j_m \in \{1, \dots, n\}\}$. Com efeito, \mathcal{A} é uma σ -álgebra, $\mathcal{A} \supseteq \mathcal{E}$, e qualquer σ -álgebra que contenha \mathcal{E} deve contê-la. \triangle

A σ -álgebra mais importante em \mathbb{R} é a seguinte.

Definição 1.41 (Conjuntos borelianos na reta). Para o espaço $\Omega = \mathbb{R}$, a σ -álgebra de Borel $\mathcal{B}(\mathbb{R})$ é a σ -álgebra gerada por conjuntos abertos de \mathbb{R} .

Quando estiver claro no contexto que $\Omega = \mathbb{R}$, podemos escrever \mathcal{B} ao invés de $\mathcal{B}(\mathbb{R})$. Os conjuntos em \mathcal{B} são chamados *borelianos*.

Qualquer conjunto “razoável” é um boreliano, e na verdade é trabalhoso construir um que não o seja. Mesmo assim, devemos ter em mente que a Teoria da Probabilidade está baseada em σ -álgebras, e \mathcal{B} é a σ -álgebra mais importante em \mathbb{R} .

Observação 1.42. A classe $\mathcal{B}(\mathbb{R})$ também é a σ -álgebra gerada pela classe dos intervalos na reta, e também é a classe gerada pelos intervalos semi-infinitos à esquerda e fechados à direita. \triangle

A prova será feita em forma de exercício guiado.

Definição 1.43 (Conjuntos borelianos na reta estendida). Para a reta estendida $\overline{\mathbb{R}}$, definimos $\mathcal{B}(\overline{\mathbb{R}}) = \{A \subseteq \overline{\mathbb{R}} : A \cap \mathbb{R} \in \mathcal{B}(\mathbb{R})\}$, isto é, permitimos agregar os elementos $-\infty$ e $+\infty$ aos conjuntos de $\mathcal{B}(\mathbb{R})$. Quando estiver claro no contexto que $\Omega = \overline{\mathbb{R}}$, podemos escrever \mathcal{B} ao invés de $\mathcal{B}(\overline{\mathbb{R}})$. Os conjuntos $A \in \mathcal{B}(\overline{\mathbb{R}})$ também são chamados borelianos.

Observamos que $\mathcal{B}(\overline{\mathbb{R}})$ é a σ -álgebra gerada por classes de conjuntos da forma $[-\infty, a]$ para $a \in \mathbb{R}$. Novamente, daremos a prova como exercício guiado.

Dado $J \in \mathcal{B}(\mathbb{R})$ não-vazio, por exemplo $J = [0, 1]$, definimos $\mathcal{B}(J) = \{A \in \mathcal{B}(\mathbb{R}) : A \subseteq J\}$. Observe que $\mathcal{B}(J)$ é uma σ -álgebra no espaço amostral J .

Dado $n \in \mathbb{N}$, denotamos o conjunto das sequências de n números reais por

$$\mathbb{R}^n = \{(x_1, \dots, x_n) : x_k \in \mathbb{R} \text{ para todo } k = 1, \dots, n\}.$$

Há uma σ -álgebra natural associada ao espaço \mathbb{R}^n .

Definição 1.44. Definimos a σ -álgebra de Borel $\mathcal{B}(\mathbb{R}^n)$ como a σ -álgebra em \mathbb{R}^n gerada pela classe dos subconjuntos abertos de \mathbb{R}^n . Os conjuntos em $\mathcal{B}(\mathbb{R}^n)$ são chamados *borelianos em \mathbb{R}^n* .

1.4.2 Medidas

Um *espaço mensurável* é um par (Ω, \mathcal{F}) , onde Ω é um conjunto não-vazio e \mathcal{F} é uma σ -álgebra em Ω .

Definição 1.45 (Medidas e espaços de medida). Seja (Ω, \mathcal{F}) um dado espaço mensurável. Uma função $\mu : \mathcal{F} \rightarrow [0, +\infty]$ é chamada *medida em* (Ω, \mathcal{F}) se

- (1) $\mu(\emptyset) = 0$,
- (2) $\mu(\cup_{n=1}^{\infty} A_n) = \sum_{n=1}^{\infty} \mu(A_n)$ para toda sequência $(A_n)_n$ de conjuntos mensuráveis disjuntos. Esta propriedade chama-se *σ -aditividade*.

O trio $(\Omega, \mathcal{F}, \mu)$ é chamado *espaço de medida*. Dizemos que μ é uma *medida finita* se $\mu(\Omega) < \infty$. Dizemos que μ é uma *medida σ -finita* se existem conjuntos mensuráveis $(A_n)_{n \in \mathbb{N}}$ tais que $\cup_{n \in \mathbb{N}} A_n = \Omega$ e $\mu(A_n) < \infty$ para todo n .

Quando $\mu(\Omega) = 1$, a medida μ é uma medida de probabilidade, como definida na seção anterior. Vejamos alguns exemplos simples de medidas.

Exemplo 1.46 (Massa puntual de Dirac). Sejam (Ω, \mathcal{F}) um espaço mensurável qualquer e $x \in \Omega$. A função $\delta_x : \mathcal{P}(\Omega) \rightarrow \{0, 1\}$ definida por

$$\delta_x(A) = \begin{cases} 1, & \text{se } x \in A \\ 0, & \text{se } x \notin A \end{cases}.$$

é uma medida de probabilidade em (Ω, \mathcal{F}) . \triangle

Exemplo 1.47 (Medida de contagem). Seja (Ω, \mathcal{F}) um espaço mensurável qualquer. A *medida de contagem em* Ω é definida como $\sum_{x \in \Omega} \delta_x$. Observe que a medida de contagem é finita se, e somente se, Ω for um conjunto finito, e é σ -finita se e somente se Ω for um conjunto enumerável. A medida de contagem em \mathbb{R} não é σ -finita. \triangle

Proposição 1.48. Se $(\Omega, \mathcal{F}, \mu)$ é um espaço de medida e $A \in \mathcal{F}$, então a função $\mu|_A$ dada por $\mu|_A(B) = \mu(A \cap B)$ também é uma medida.

Deixamos a prova como exercício.

Proposição 1.49 (Propriedades de uma medida). *Sejam $(\Omega, \mathcal{F}, \mu)$ um espaço de medida e $A_1, A_2, \dots \in \mathcal{F}$. Então:*

- (1) $\mu(\cup_{j=1}^{\infty} A_j) \leq \sum_{j=1}^{\infty} \mu(A_j)$,
- (2) Se $A_n \uparrow A$, então $\mu(A_n) \uparrow \mu(A)$.

Essas propriedades chamam-se σ -subaditividade e continuidade por baixo.

A prova é idêntica àquela já dada para medidas de probabilidade.

Observação 1.50. A “continuidade por cima” pode ser falsa caso $\mu(A_j)$ seja infinita para todo j . Por exemplo, se μ é a medida de contagem em \mathbb{N} e $A_n = \{n, n+1, n+2, \dots\}$, temos que $A_n \downarrow \emptyset$ porém $\mu(A_n) \not\rightarrow \mu(\emptyset)$, pois $\mu(\emptyset) = 0$ e $\mu(A_n) = \infty$ para todo n . \triangle

O teorema a seguir, cuja prova será dada no Apêndice D.2, nos garante a existência de uma importante medida em $(\mathbb{R}, \mathcal{B})$ que generaliza a noção de comprimento de intervalos.

Teorema 1.51. *Existe uma única medida m em $(\mathbb{R}, \mathcal{B})$ tal que*

$$m((a, b]) = b - a$$

para todos $a < b \in \mathbb{R}$. Essa medida m é chamada medida de Lebesgue em \mathbb{R} .

A medida de Lebesgue é σ -finita, pois tomando $A_n = [-n, n]$, temos que $m(A_n) = 2n < \infty$ para todo n e $A_n \uparrow \mathbb{R}$.

1.5 Exercícios

§1.1

1. Considere o experimento resultante do lançamento de dois dados onde se observa o mínimo entre suas faces. Construa um modelo probabilístico associado.

§1.2

2.

- (a) De um baralho comum (52 cartas) são retiradas, sem reposição, uma amostra de 5 cartas. Qual evento é mais provável, sair uma quadra (4 cartas com o mesmo número) ou um *flush* (5 cartas do mesmo naipe, sem formar uma sequência de 5 números consecutivos)?
- (b) Repita o exercício anterior, supondo agora um baralho com apenas as cartas 7, 8, 9, 10, J , Q , K e A (32 cartas).

3. Prove que $\binom{a+b}{n} = \sum_{k=0}^n \binom{a}{k} \binom{b}{n-k}$.

4. Sejam f e g funções n vezes deriváveis. Prove a Fórmula de Leibniz para a n -ésima derivada de $f \cdot g$.

$$\frac{d^n(f \cdot g)}{dx^n} = \sum_{k=1}^n \binom{n}{k} \frac{d^k f}{dx^k} \cdot \frac{d^{n-k} g}{dx^{n-k}}.$$

5. Mostre o Teorema das Colunas do Triângulo de Pascal: para todos n e k inteiros não-negativos, $\sum_{j=0}^k \binom{n+j}{n} = \binom{k+n+1}{n+1}$.

Dica: Use como hipótese de indução em k que a identidade vale para todo n .

6. Mostre, sem utilizar indução, o Teorema das Diagonais do Triângulo de Pascal: para todos n e k inteiros não-negativos, $\sum_{j=0}^k \binom{n+j}{j} = \binom{k+n+1}{k}$.

7. A soma da n -ésima diagonal inversa do Triângulo de Pascal é dada pela expressão $F_n = \sum_{k=0}^n \binom{n-k}{k}$. Calcule F_0, F_1, F_2, F_3 e F_4 . Conjecture, quem é a sequência $(F_n)_n$? Prove sua conjectura.

8. Prove por indução o Teorema das Linhas e o Teorema Binomial.

9. Para um jantar de gala, o cozinheiro preparou $2n$ pratos, sendo n deles com carne mas sem glúten e os outros n pratos vegetarianos mas com glúten. Dos convidados, $a < n$ são vegetarianos, $b < n$ não comem glúten e $2n - a - b$ convidados comem qualquer coisa. Os pratos são servidos aleatoriamente. Calcule a probabilidade de todas as restrições alimentares serem respeitadas.

10. No final da Seção 1.1.3, observamos que há 21 resultados possíveis no lançamento simultâneo de dois dados idênticos, correspondendo aos 21 pares não-ordenados de números entre 1 e 6. Um jogo de dominó para crianças, em que cada metade de peça pode ser pintada com uma de 7 cores do arco-íris, possui 28 peças, correspondendo aos 28 pares não-ordenados de cores do arco-íris. De forma mais geral, o número de pares não-ordenados de um conjunto com n elementos é $\binom{n+1}{2}$. Prove este fato de quatro formas diferentes:

- (a) Por indução em n e usando propriedades do Triângulo de Pascal.
- (b) Decompondo a família de pares não-ordenados em pares de elementos distintos e pares de elementos iguais.
- (c) Descrevendo uma correspondência direta entre pares não-ordenados de $\{1, \dots, n\}$ e subconjuntos de $\{\star, 1, \dots, n\}$ com dois elementos, de forma que o novo elemento \star cumpra um papel especial.
- (d) Descrevendo uma correspondência direta entre pares não-ordenados de $\{1, \dots, n\}$ e palavras compostas por $n - 1$ símbolos “|” e dois símbolos “.”, como por exemplo “|.||||.”.

11. Inspirando-se pelo último item do exercício anterior, mostre que o número de soluções inteiras não-negativas da equação $x_1 + \dots + x_n = k$ é dado por $\binom{n-1+k}{k}$.

12. Oito clientes formam uma fila ao acaso, quatro deles possuem uma única nota de \$10 e os outros quatro com uma única nota de \$20 cada um. O ingresso custa \$10 e o bilheteiro começa a atender os clientes sem troco.

- (a) Qual a probabilidade de o bilheteiro não ter problema de troco?
- (b) Refaça o item (a) supondo que sejam $2n$ clientes, n clientes com notas de \$10 e n com notas de \$20.

13. Sejam Ω o espaço dos caminhos simples de duração $2n$, conforme definido no Exemplo 1.31, e \mathbb{P} a medida de probabilidade que atribui peso 2^{-2n} a cada caminho. O caminho resultante desse experimento é comumente chamado de *passeio aleatório*. Mostre que

$$\mathbb{P}(\{s : \max\{s_0, \dots, s_{2n}\} \geq 5\}) = 2 \mathbb{P}(\{s : s_{2n} \geq 5\}).$$

14. Vamos mostrar que a probabilidade de um passeio aleatório ainda não ter retornado à origem depois de $2n$ passos é igual à probabilidade de estar na origem no tempo $2n$. Ou seja, vamos mostrar que

$$\mathbb{P}(\{s : \tau_0^+ > 2n\}) = \mathbb{P}(\{s : s_{2n} = 0\}),$$

onde $\tau_0^+ = \tau_0^+(s) = \min\{k \geq 1 : s_k = 0\}$ denota o primeiro instante de retorno à origem, com $\min(\emptyset) = +\infty$. Para $k \in \mathbb{N}$, mostre que:

- (a) $\mathbb{P}(s_1 = +1, \tau_0^+ \leq 2n, s_{2n} = 2k) = \mathbb{P}(s_{2n-1} = -2k - 1, s_{2n} = -2k)$.
- (b) $\mathbb{P}(s_1 = +1, s_{2n} = 2k) = \mathbb{P}(s_{2n-1} = 2k - 1, s_{2n} = 2k - 2)$.
- (c) $\mathbb{P}(s_1 = +1, \tau_0^+ > 2n) = \mathbb{P}(s_{2n-1} = +1, s_{2n} = 0)$.
- (d) $\mathbb{P}(\tau_0^+ > 2n) = \mathbb{P}(s_{2n} = 0)$.

§1.3

15. Sejam A e B eventos quaisquer, mostre que:

- (a) $\mathbb{P}(A \cap B) \geq 1 - \mathbb{P}(A^c) - \mathbb{P}(B^c)$.
- (b) $\mathbb{P}(A \cup B)\mathbb{P}(A \cap B) \leq \mathbb{P}(A)\mathbb{P}(B)$. Dê condições necessárias e suficientes para que valha a igualdade.

16. Sejam $(\Omega, \mathcal{F}, \mathbb{P})$ um espaço de probabilidade, A e B eventos quaisquer. Encontre uma expressão para a probabilidade de ocorrer exatamente um dos eventos A ou B .

17. Sejam \mathbb{P}_1 e \mathbb{P}_2 medidas de probabilidade definidas no mesmo espaço (Ω, \mathcal{F}) . A função $\tilde{\mathbb{P}}(A) = \max\{\mathbb{P}_1(A), \mathbb{P}_2(A)\}$ é medida de probabilidade? Prove ou dê contra-exemplo.

18. Sejam A_1, A_2, A_3, \dots eventos aleatórios. Prove que:

- (a) $\mathbb{P}(A_1 \cap \dots \cap A_n) \geq 1 - (\mathbb{P}(A_1^c) + \dots + \mathbb{P}(A_n^c))$.
- (b) $\mathbb{P}(\cap_{n=1}^{\infty} A_n) \geq 1 - \sum_{n=1}^{\infty} \mathbb{P}(A_n^c)$.

19. Suponha que $\mathbb{P}(A_n) = 1$ para todo $n \in \mathbb{N}$. Prove que $\mathbb{P}(\cap_n A_n) = 1$.

20. Dada uma sequência de eventos $(A_n)_n$, definimos os eventos

$$B = \bigcap_{n=1}^{\infty} \bigcup_{k=n}^{\infty} A_k \quad \text{e} \quad C = \bigcup_{n=1}^{\infty} \bigcap_{k=n}^{\infty} A_k.$$

Mostre que, se $B = C$, então $\mathbb{P}(A_n) \rightarrow \mathbb{P}(B)$.

21. Sejam $(\Omega, \mathcal{F}, \mathbb{P})$ um espaço de probabilidade e $(A_n)_n$ e $(B_n)_n$ sequências de eventos tais que $\mathbb{P}(A_n) \rightarrow 1$ e $\mathbb{P}(B_n) \rightarrow \alpha$. É sempre verdadeiro que $\mathbb{P}(A_n \setminus B_n) \rightarrow 1 - \alpha$? Prove ou dê contra-exemplo.

§1.4

22. Sejam Ω um conjunto e \mathcal{A} a classe de todos os subconjuntos que são enumeráveis ou cujo complementar é enumerável. Prove que \mathcal{A} é uma σ -álgebra.

23. Dê um exemplo de um espaço Ω e σ -álgebras \mathcal{F}_1 e \mathcal{F}_2 em Ω tais que $\mathcal{F}_1 \cup \mathcal{F}_2$ não é uma σ -álgebra em Ω .

24. Sejam $f : \Omega_1 \rightarrow \Omega_2$ uma função qualquer e \mathcal{F}_2 é uma σ -álgebra em Ω_2 . Prove que $f^{-1}(\mathcal{F}_2) = \{f^{-1}(A) : A \in \mathcal{F}_2\}$ é uma σ -álgebra em Ω_1 .

25. Neste exercício provaremos a Proposição 1.38.

- (a) Sejam $J \neq \emptyset$ um conjunto qualquer de índices e $(\mathcal{F}_j)_{j \in J}$ uma família de σ -álgebras em um mesmo espaço amostral Ω . Mostre que $\bigcap_{j \in J} \mathcal{F}_j$ é uma σ -álgebra em Ω .
- (b) Sejam \mathcal{E} uma classe qualquer de subconjuntos de Ω e J o conjunto de todas as σ -álgebras em Ω que contêm \mathcal{E} . Justifique que $J \neq \emptyset$.
- (c) Utilize os itens anteriores para provar a existência de uma σ -álgebra satisfazendo aos três itens da proposição.
- (d) Conclua a prova da proposição mostrando a unicidade de $\sigma(\mathcal{E})$. Ou seja, mostre que, se \mathcal{G} e \mathcal{H} satisfazem aos três itens da proposição, então $\mathcal{G} = \mathcal{H}$.

26. Sejam $\Omega = \{1, 2, 3, 4\}$ e $\mathcal{E} = \{\{1\}, \{2\}\}$. Quem é $\sigma(\mathcal{E})$? Prove.

27. Seja $\mathcal{E} = \{\{x\} : x \in \Omega\}$ a classe dos subconjuntos unitários de Ω . Quem é $\sigma(\mathcal{E})$? Prove.

28. Denotemos por $\mathcal{E}_1, \dots, \mathcal{E}_6$ as seguintes classes de subconjuntos de \mathbb{R} , respectivamente:

- \mathcal{E}_1 : Conjuntos fechados de \mathbb{R} .
- \mathcal{E}_2 : Conjuntos abertos de \mathbb{R} .
- \mathcal{E}_3 : Intervalos abertos finitos de \mathbb{R} .
- \mathcal{E}_4 : Intervalos finitos da forma $(a, b]$, $a, b \in \mathbb{R}$.
- \mathcal{E}_5 : Intervalos semi-infinitos da forma $(-\infty, b]$, $b \in \mathbb{R}$.
- \mathcal{E}_6 : Intervalos semi-infinitos da forma $(-\infty, b)$, $b \in \mathbb{R}$.

Mostre que $\sigma(\mathcal{E}_2) \subseteq \sigma(\mathcal{E}_1) \subseteq \sigma(\mathcal{E}_2) \subseteq \sigma(\mathcal{E}_3) \subseteq \sigma(\mathcal{E}_4) \subseteq \sigma(\mathcal{E}_5) \subseteq \sigma(\mathcal{E}_6) \subseteq \sigma(\mathcal{E}_2)$. Dica: O Teorema A.12 ajuda para mostrar a terceira inclusão.

29. Prove que $\mathcal{B}(\overline{\mathbb{R}}) = \sigma(\{[-\infty, a] : a \in \mathbb{R}\})$ seguindo os passos abaixo:

- (a) Seja \mathcal{E} a classe de todos os intervalos de $\overline{\mathbb{R}}$ da forma $[-\infty, a]$. Mostre que $\sigma(\mathcal{E}) \subseteq \mathcal{B}(\overline{\mathbb{R}})$.
- (b) Mostre que $(a, b] \in \sigma(\mathcal{E})$ para todos $a < b \in \mathbb{R}$ e portanto $\mathcal{B}(\mathbb{R}) \subseteq \sigma(\mathcal{E})$.
- (c) Mostre que $\{-\infty\}, \{+\infty\}, \{-\infty, +\infty\} \in \sigma(\mathcal{E})$.
- (d) Conclua que $\sigma(\mathcal{E}) = \mathcal{B}(\overline{\mathbb{R}})$.

30. Seja $(\Omega, \mathcal{F}, \mu)$ um espaço de medida. Prove que são equivalentes:

- (i) A medida μ é σ -finita;
- (ii) Existem $(A_n)_n$ disjuntos tais que $\cup_n A_n = \Omega$ e $\mu(A_n) < \infty$ para todo n .
- (iii) Existem $(A_n)_n$ tal que $A_n \uparrow \Omega$ e $\mu(A_n) < \infty$ para todo n .

31. Seja $(\Omega, \mathcal{F}, \mathbb{P})$, onde Ω é um conjunto qualquer não-enumerável, $\mathcal{F} = \{A \subseteq \Omega : A \text{ é enumerável ou } A^c \text{ é enumerável}\}$ e $\mathbb{P}(A) = 0$, se A for enumerável, ou $\mathbb{P}(A) = 1$, se A for não-enumerável. Mostre que $(\Omega, \mathcal{F}, \mathbb{P})$ é um espaço de probabilidade.

32. Sejam $\mathbb{P}_1, \mathbb{P}_2, \dots$ medidas de probabilidade em (Ω, \mathcal{F}) , e sejam

$p_1, p_2, \dots \in [0, 1]$ tais que $\sum_n p_n = 1$. Prove que

$$\mathbb{P} = \sum_n p_n \mathbb{P}_n$$

é uma medida de probabilidade em (Ω, \mathcal{F}) .

Capítulo 2

Probabilidade Condicional e Independência

A ocorrência de um certo evento pode alterar a chance de outros eventos também ocorrerem. Suponha que um campeonato de futebol está prestes a começar, e temos uma estimativa da probabilidade de determinado time vencer na quarta rodada. Nossa estimativa certamente deverá ser atualizada após observarmos os resultados das três primeiras rodadas.

Caso a ocorrência de um dado evento não modifique as chances de um outro evento também ocorrer, diremos que esses dois eventos são independentes. Por exemplo, imagine que temos dois maços de baralho e retiramos uma carta de cada, neste caso a probabilidade de que as cartas sejam idênticas não é afetada se soubermos que a primeira carta é um $7\heartsuit$.

2.1 Probabilidade condicional

A probabilidade condicional é uma nova medida de probabilidade, de forma a representar melhor as chances de eventos aleatórios a partir da observação da ocorrência ou não de um dado evento.

Definição 2.1 (Probabilidade Condicional). Sejam $(\Omega, \mathcal{F}, \mathbb{P})$ espaço de probabilidade e $A, B \in \mathcal{F}$ eventos, com $\mathbb{P}(B) > 0$, definimos a *probabilidade condicional de A dado B* por

$$\mathbb{P}(A|B) = \frac{\mathbb{P}(A \cap B)}{\mathbb{P}(B)}.$$

Quando $\mathbb{P}(B) = 0$, definimos $\mathbb{P}(A|B) = \mathbb{P}(A)$.

Observe que quando $\mathbb{P}(B) = 0$, a razão $\frac{\mathbb{P}(A \cap B)}{\mathbb{P}(B)}$ seria da forma $\frac{0}{0}$. Alguns livros preferem não definir a probabilidade condicional $\mathbb{P}(A|B)$ quando $\mathbb{P}(B) = 0$, já outros optam por definir $\mathbb{P}(A|B)$ como 0 ou $\mathbb{P}(A)$. Esta última definição faz com que a maioria dos teoremas estabelecidos neste capítulo permaneçam válidos sem que tenhamos que supor que $\mathbb{P}(B) > 0$ ou considerar o caso $\mathbb{P}(B) = 0$ separadamente.

Proposição 2.2. *Dado $B \in \mathcal{F}$, a função que leva A em $\mathbb{P}(A|B)$ é uma medida de probabilidade, isto é, satisfaz às condições da Definição 1.33.*

Demonstração. Se $\mathbb{P}(B) = 0$, não há nada a provar pois temos $\mathbb{P}(A|B) = \mathbb{P}(A)$ e \mathbb{P} é uma medida de probabilidade. Considerando que $\mathbb{P}(B) > 0$, pela definição de probabilidade condicional, $\mathbb{P}(A|B) = \frac{\mathbb{P}(A \cap B)}{\mathbb{P}(B)} \geq 0$, pois o denominador é positivo e o numerador é não-negativo;

$$\mathbb{P}(\Omega|B) = \frac{\mathbb{P}(\Omega \cap B)}{\mathbb{P}(B)} = \frac{\mathbb{P}(B)}{\mathbb{P}(B)} = 1;$$

se $(A_n)_n$ é uma sequência de eventos disjuntos,

$$\begin{aligned} \mathbb{P}(\cup_n A_n|B) &= \frac{\mathbb{P}((\cup_n A_n) \cap B)}{\mathbb{P}(B)} = \frac{\mathbb{P}(\cup_n (A_n \cap B))}{\mathbb{P}(B)} \\ &= \frac{\sum_n \mathbb{P}(A_n \cap B)}{\mathbb{P}(B)} = \sum_n \mathbb{P}(A_n|B), \end{aligned}$$

onde na segunda igualdade utilizamos a distributividade da união com respeito à interseção e na terceira o fato dos eventos $(A_n \cap B)_n$ também serem disjuntos.

Isto conclui que a função que leva A em $\mathbb{P}(A|B)$ é de fato uma medida de probabilidade. \square

Exemplo 2.3. Um dado é lançado. Sabendo-se que o resultado é maior que 3, qual a probabilidade de que seja par? Denotamos o primeiro evento por $B = \{4, 5, 6\}$ e o segundo por $A = \{2, 4, 6\}$. Aplicando a definição, a probabilidade de ser par sabendo-se que o resultado é maior que 3 é dada por

$$\mathbb{P}(A|B) = \frac{\mathbb{P}(A \cap B)}{\mathbb{P}(B)} = \frac{\mathbb{P}(\{4, 6\})}{\mathbb{P}(\{4, 5, 6\})} = \frac{2/6}{3/6} = \frac{2}{3}. \quad \triangle$$

Exemplo 2.4. Suponha que, numa dada população, 30% dos genes de cor de olhos seja para olho claro c , e 70% seja para olhos escuros C . Suponha também que os casais se formam e decidem ter filhos aleatoriamente (sem nenhuma influência da cor dos olhos), de forma que os genes C e c estejam uniformemente espalhados por toda uma população. Assim, um indivíduo escolhido aleatoriamente nesta população terá os genes cc com probabilidade 0,090, ou Cc com probabilidade 0,42, ou CC com probabilidade 0,49. Como ter olhos claros é uma característica genética recessiva, apenas o primeiro grupo terá olhos claros, enquanto os dois últimos terão o mesmo fenótipo, de olhos escuros. Uma pessoa de olhos escuros é selecionada ao acaso. Qual a probabilidade de que essa pessoa tenha o gene recessivo para olhos claros? Denotando $B = \text{“olhos escuros”} = \{Cc, CC\}$ e $A = \text{“tem um gene de olhos claros”} = \{cc, Cc\}$, temos

$$\mathbb{P}(A|B) = \frac{\mathbb{P}(A \cap B)}{\mathbb{P}(B)} = \frac{\mathbb{P}(\{Cc\})}{\mathbb{P}(\{Cc, CC\})} \approx \frac{0,42}{0,91} \approx 0,46,$$

com dois algarismos significativos. \triangle

2.1.1 Regra do Produto

A Regra do Produto permite expressar a probabilidade da ocorrência simultânea de diversos eventos a partir do valor de cada probabilidade

condicional de cada um deles dados os eventos anteriores.

Teorema 2.5 (Regra do Produto). *Dados os eventos A_1, A_2, \dots, A_n ,*

$$\mathbb{P}(A_1 \cap \dots \cap A_n) = \mathbb{P}(A_1) \mathbb{P}(A_2|A_1) \mathbb{P}(A_3|A_1 \cap A_2) \dots \mathbb{P}(A_n|A_1 \cap A_2 \cap \dots \cap A_{n-1}).$$

Demonstração. Vamos provar por indução em n . Para $n = 1$, a igualdade vale trivialmente. Para $n = 2$, se $\mathbb{P}(A_1) > 0$, então

$$\mathbb{P}(A_2|A_1) = \frac{\mathbb{P}(A_2 \cap A_1)}{\mathbb{P}(A_1)},$$

donde

$$\mathbb{P}(A_1 \cap A_2) = \mathbb{P}(A_1) \mathbb{P}(A_2|A_1);$$

se $\mathbb{P}(A_1) = 0$, então $\mathbb{P}(A_1 \cap A_2) = 0$, logo a igualdade acima continua válida. Suponhamos, por hipótese de indução, que o teorema seja válido para $n = m$. Neste caso, para $n = m + 1$ podemos desenvolver

$$\begin{aligned} \mathbb{P}(A_1 \cap \dots \cap A_{m+1}) &= \mathbb{P}(A_1 \cap \dots \cap A_m) \mathbb{P}(A_{m+1}|A_1 \cap \dots \cap A_m) \\ &= \mathbb{P}(A_1) \mathbb{P}(A_2|A_1) \mathbb{P}(A_3|A_1 \cap A_2) \dots \\ &\quad \dots \mathbb{P}(A_m|A_1 \cap \dots \cap A_{m-1}) \mathbb{P}(A_{m+1}|A_1 \cap \dots \cap A_m). \end{aligned}$$

Com efeito, a primeira igualdade corresponde ao caso $n = 2$ já demonstrado, e a segunda corresponde ao caso $n = m$, o que completa a prova. \square

Exemplo 2.6. Um móvel tem duas gavetas, a primeira gaveta contém três bolsas e a segunda contém quatro bolsas. A primeira bolsa da primeira gaveta contém duas bolas vermelhas e uma bola azul, e todas as demais bolsas contém duas bolas azuis. Abre-se uma gaveta, escolhe-se uma bolsa e retira-se uma bola de dentro da bolsa, tudo ao acaso. Qual a probabilidade de que a bola retirada seja vermelha? Denotando A = “abre-se a primeira gaveta”, B = “escolhe-se a primeira bolsa” e C = “retira-se a bola vermelha”,

pela Regra do Produto obtemos

$$\mathbb{P}(A \cap B \cap C) = \mathbb{P}(A)\mathbb{P}(B|A)\mathbb{P}(C|B \cap A) = \frac{1}{2} \times \frac{1}{3} \times \frac{2}{3} = \frac{1}{9}. \quad \triangle$$

Exemplo 2.7. Selecionar 3 cartas de um baralho de 52 cartas, ao acaso e sem reposição. Qual a probabilidade de tirar 3 reis? Seja A_k = “tirar rei na k -ésima retirada” e A = “tirar 3 reis” = $A_1 \cap A_2 \cap A_3$. Temos

$$\mathbb{P}(A) = \mathbb{P}(A_1)\mathbb{P}(A_2|A_1)\mathbb{P}(A_3|A_1 \cap A_2) = \frac{4}{52} \frac{3}{51} \frac{2}{50} = \frac{1}{5525}. \quad \triangle$$

Exemplo 2.8. Continuando o Exemplo 2.4, quando um casal tem um filho, cada um dos pais transmite um dos seus dois genes com mesma probabilidade. Seleciona-se uma criança ao acaso. Qual a probabilidade de a criança e o pai ambos terem olhos claros? Definindo A = “pai tem olhos claros”, B = “filho tem olhos claros”, D = “o gene transmitido pela mãe é c ”, temos

$$\mathbb{P}(A \cap B) = \mathbb{P}(A)\mathbb{P}(B|A) = \mathbb{P}(A)\mathbb{P}(D) \approx 0,090 \times 0,30 = 0,027,$$

com dois algarismos significativos. \triangle

2.1.2 Lei da Probabilidade Total

Dizemos que $B_1, B_2, B_3, \dots \in \mathcal{F}$ formam uma *partição de Ω* se são disjuntos e $\cup_k B_k = \Omega$. Partições são particularmente úteis em contextos onde determinado aspecto divide os resultados possíveis em casos, e é possível expressar determinadas relações em cada um desses casos separadamente.

Teorema 2.9 (Lei da Probabilidade Total). *Sejam A, B_1, B_2, B_3, \dots eventos aleatórios em $(\Omega, \mathcal{F}, \mathbb{P})$ tais que B_1, B_2, B_3, \dots formam uma partição de Ω . Então*

$$\mathbb{P}(A) = \sum_{j=1}^{\infty} \mathbb{P}(B_j)\mathbb{P}(A|B_j).$$

Demonstração. Usando a Regra do Produto,

$$\mathbb{P}(A) = \mathbb{P}\left(\bigcup_{j=1}^{\infty} (A \cap B_j)\right) = \sum_{j=1}^{\infty} \mathbb{P}(A \cap B_j) = \sum_{j=1}^{\infty} \mathbb{P}(B_j) \mathbb{P}(A|B_j).$$

A primeira igualdade vale porque $A = A \cap (\bigcup_{j=1}^{\infty} B_j) = \bigcup_{j=1}^{\infty} (A \cap B_j)$. Na segunda igualdade usamos que esses eventos são disjuntos. Na última igualdade usamos a Regra do Produto. \square

A Lei da Probabilidade Total é particularmente útil quando um experimento tem duas etapas, e é possível expressar as probabilidades condicionais de determinado aspecto da etapa final dados os possíveis resultados da etapa inicial.

Exemplo 2.10. Um armário tem duas gavetas, A e B . A gaveta A tem 2 meias azuis e 3 meias pretas, e a gaveta B tem 3 meias azuis e 3 meias vermelhas. Abre-se uma gaveta ao acaso e retira-se uma meia ao acaso da gaveta escolhida. Qual a probabilidade de a meia escolhida ser azul? Para a solução, comecemos observando os valores conhecidos de probabilidade: $\mathbb{P}(A) = \mathbb{P}(B) = \frac{1}{2}$, $\mathbb{P}(\text{azul}|A) = \frac{2}{5}$ e $\mathbb{P}(\text{azul}|B) = \frac{3}{6}$. Assim,

$$\mathbb{P}(\text{azul}) = \mathbb{P}(A) \mathbb{P}(\text{azul}|A) + \mathbb{P}(B) \mathbb{P}(\text{azul}|B) = \frac{1}{2} \frac{2}{5} + \frac{1}{2} \frac{3}{6} = \frac{9}{20}. \quad \triangle$$

2.1.3 Fórmula de Bayes

A Fórmula de Bayes

$$\mathbb{P}(B|A) = \frac{\mathbb{P}(A|B)}{\mathbb{P}(A)} \cdot \mathbb{P}(B),$$

cuja demonstração é trivialíssima, na verdade reflete uma forma de raciocinar extremamente profunda. Estamos interessados na chance de ocorrência do evento B , quando na verdade temos acesso à ocorrência ou não do evento A . Antes de se observar a ocorrência de A ou A^c , a chance de ocorrência de B ,

chamada de probabilidade *a priori*, é simplesmente $\mathbb{P}(B)$. Uma vez observada a ocorrência de A ou A^c , procedemos a atualizar a chance do evento B , multiplicando-a pelo *fator de Bayes* dado pela razão entre a probabilidade de se observar A (ou A^c) no cenário em que B ocorre e a probabilidade de se observar A (ou A^c) em geral. O produto entre a probabilidade *a priori* e o fator de Bayes resulta no que chamamos de probabilidade *a posteriori*.

Claro que, usando essa fórmula, precisamos saber $\mathbb{P}(A|B)$ para calcular $\mathbb{P}(B|A)$, mas em muitas situações esta é mais fácil de calcular do que aquela. Entre os exemplos mais simples, estão os experimentos em várias etapas em que observamos apenas o resultado final e queremos estimar as chances de distintas possibilidades nas etapas iniciais. Ou seja, quando queremos determinar a probabilidade condicional de eventos que precedem aquele efetivamente observado.

Exemplo 2.11. Continuando o Exemplo 2.8, se selecionamos uma criança de olhos escuros ao acaso, qual a probabilidade de que o pai tenha olhos claros? Tomando A = “a criança tem olhos claros”, B = “o pai tem olhos claros”, e D = “o pai transmite o gene de olhos claros”, temos

$$\mathbb{P}(A|B) = \mathbb{P}(A|D \cap B) = \mathbb{P}(A|D) \approx 0,30$$

que representam a chance de a mãe também transmitir o gene de olhos claros. Pela Fórmula de Bayes,

$$\mathbb{P}(B|A^c) = \frac{\mathbb{P}(A^c|B)}{\mathbb{P}(A^c)} \mathbb{P}(B) \approx \frac{0,70}{0,910} \cdot 0,090 \approx 0,77 \cdot 0,090 \approx 0,069,$$

com dois algarismos significativos. O valor 0,090 é a probabilidade *a priori* de que o pai de uma criança selecionada ao acaso tenha olhos claros. O fator de Bayes resultante da observação de que a criança tem olhos escuros é 0,77, que por ser menor que 1 reduz a probabilidade *a posteriori* para 0,069. \triangle

Um uso particular da Fórmula de Bayes é quando conhecemos as probabilidades de uma sequência dos eventos B_j que particionam Ω e as probabilidades condicionais de um evento A dados os eventos dessa partição. Neste caso,

podemos calcular as probabilidades condicionais de ocorrência de cada B_j sabendo-se da ocorrência ou não do evento A , pela fórmula

$$\mathbb{P}(B_j|A) = \frac{\mathbb{P}(A|B_j)}{\mathbb{P}(A)} \cdot \mathbb{P}(B_j).$$

Os valores originais $\mathbb{P}(B_j)$ são as probabilidades *a priori* dos eventos B_j , e os valores $\mathbb{P}(B_j|A)$ são as probabilidades *a posteriori* desses eventos. Como estamos supondo que é possível calcular $\mathbb{P}(B_k)$ e $\mathbb{P}(A|B_k)$ para todo k , muitas vezes o denominador na Fórmula de Bayes será calculado pela Lei da Probabilidade Total, dando origem à fórmula

$$\mathbb{P}(B_j|A) = \frac{\mathbb{P}(B_j)\mathbb{P}(A|B_j)}{\sum_k \mathbb{P}(B_k)\mathbb{P}(A|B_k)}.$$

Exemplo 2.12. No Exemplo 2.10, sabendo-se que uma meia azul foi retirada, qual a probabilidade de ter sido aberta a gaveta A ? Pela Fórmula de Bayes,

$$\mathbb{P}(A|\text{azul}) = \frac{\mathbb{P}(A)\mathbb{P}(\text{azul}|A)}{\mathbb{P}(A)\mathbb{P}(\text{azul}|A) + \mathbb{P}(B)\mathbb{P}(\text{azul}|B)} = \frac{\frac{1}{5}}{\frac{1}{2} \cdot \frac{2}{5} + \frac{1}{2} \cdot \frac{3}{6}} = \frac{4}{9}. \quad \triangle$$

2.2 Independência

Dois eventos aleatórios são independentes quando a ocorrência de um deles não aumenta nem diminui a chance relativa de que ocorra o outro.

Definição 2.13 (Eventos independentes). Os eventos aleatórios A e B são ditos *independentes* se

$$\mathbb{P}(A \cap B) = \mathbb{P}(A)\mathbb{P}(B).$$

Neste caso, dizemos que A é independente de B .

Dois eventos A e B são independentes se, e somente se, $\mathbb{P}(A|B) = \mathbb{P}(A)$. Deixamos a demonstração como exercício (separe em casos!).

Exemplo 2.14. Uma moeda é lançada duas vezes. Sejam $A =$ “a primeira moeda sai cara” e $B =$ “a segunda moeda sai cara”. Então A e B são independentes, pois

$$\begin{aligned}\mathbb{P}(A) &= \mathbb{P}(\{1\} \times \{0, 1\}) = \frac{2}{4} = \frac{1}{2} \\ \mathbb{P}(B) &= \mathbb{P}(\{0, 1\} \times \{1\}) = \frac{2}{4} = \frac{1}{2} \\ \mathbb{P}(A \cap B) &= \mathbb{P}(\{1\} \times \{1\}) = \frac{1}{4} = \mathbb{P}(A)\mathbb{P}(B). \quad \triangle\end{aligned}$$

Veja que no exemplo acima, já sabíamos de antemão que os eventos deveriam ser independentes, pois cada lançamento da moeda tem não absolutamente nenhuma interferência sobre o outro. Entretanto, independência não significa necessariamente que os eventos não possuam nenhuma relação entre si.

Exemplo 2.15. Dois dados são lançados. Consideramos os eventos $A =$ “o primeiro dado é par” e $C =$ “a soma dos valores dos dados é par”. Então

$$\begin{aligned}\mathbb{P}(A) &= \mathbb{P}(\{2, 4, 6\} \times \{1, 2, 3, 4, 5, 6\}) = \frac{18}{36} = \frac{1}{2}, \\ \mathbb{P}(C) &= \mathbb{P}(\{2, 4, 6\}^2 \cup \{1, 3, 5\}^2) = \frac{18}{36} = \frac{1}{2}, \\ \mathbb{P}(A \cap C) &= \mathbb{P}(\{2, 4, 6\}^2) = \frac{9}{36} = \frac{1}{4} = \mathbb{P}(A)\mathbb{P}(C). \quad \triangle\end{aligned}$$

Proposição 2.16. *Um evento A é independente de si próprio se, e somente se, $\mathbb{P}(A) = 0$ ou 1 .*

Novamente, a demonstração fica como exercício.

Definição 2.17 (Eventos independentes dois a dois). Os eventos aleatórios $(A_j)_{j \in J}$, onde J é um conjunto qualquer de índices, são ditos *independentes dois a dois* se A_k e A_j são independentes para todos $k, j \in J$ com $k \neq j$.

Exemplo 2.18. Dois dados são lançados. Consideramos os eventos $A =$ “o primeiro dado é par”, $B =$ “o segundo dado é par” $C =$ “a soma dos valores

dos dados é par”. Então

$$\begin{aligned}
 \mathbb{P}(A) &= \mathbb{P}(\{2, 4, 6\} \times \{1, 2, 3, 4, 5, 6\}) = \frac{18}{36} = \frac{1}{2}, \\
 \mathbb{P}(B) &= \mathbb{P}(\{1, 2, 3, 4, 5, 6\} \times \{2, 4, 6\}) = \frac{18}{36} = \frac{1}{2}, \\
 \mathbb{P}(C) &= \mathbb{P}(\{2, 4, 6\}^2 \cup \{1, 3, 5\}^2) = \frac{18}{36} = \frac{1}{2}, \\
 \mathbb{P}(A \cap B) &= \mathbb{P}(\{2, 4, 6\}^2) = \frac{9}{36} = \frac{1}{4} = \mathbb{P}(A)\mathbb{P}(B), \\
 \mathbb{P}(A \cap C) &= \mathbb{P}(\{2, 4, 6\}^2) = \frac{9}{36} = \frac{1}{4} = \mathbb{P}(A)\mathbb{P}(C), \\
 \mathbb{P}(B \cap C) &= \mathbb{P}(\{2, 4, 6\}^2) = \frac{9}{36} = \frac{1}{4} = \mathbb{P}(B)\mathbb{P}(C). \quad \triangle
 \end{aligned}$$

Exemplo 2.19. Lançamento de um dado de 4 faces. Considere $A = \text{“par”}$, $B = \text{“menor que 3”}$, $C = \text{“1 ou 4”}$, ou seja, $A = \{2, 4\}$, $B = \{1, 2\}$, $C = \{1, 4\}$. Então A , B e C são independentes dois a dois. Com efeito,

$$\begin{aligned}
 \mathbb{P}(A \cap B) &= \mathbb{P}(\{2\}) = \frac{1}{4} = \mathbb{P}(A)\mathbb{P}(B), \\
 \mathbb{P}(A \cap C) &= \mathbb{P}(\{4\}) = \frac{1}{4} = \mathbb{P}(A)\mathbb{P}(C), \\
 \mathbb{P}(B \cap C) &= \mathbb{P}(\{1\}) = \frac{1}{4} = \mathbb{P}(B)\mathbb{P}(C). \quad \triangle
 \end{aligned}$$

Definição 2.20 (Eventos independentes). Os eventos aleatórios $(A_j)_{j \in J}$ são ditos *independentes* se, dado qualquer conjunto de índices distintos $j_1, j_2, \dots, j_n \in J$, vale

$$\mathbb{P}(A_{j_1} \cap A_{j_2} \cap \dots \cap A_{j_n}) = \mathbb{P}(A_{j_1})\mathbb{P}(A_{j_2}) \dots \mathbb{P}(A_{j_n}).$$

Exemplo 2.21. No lançamento de um dado dodecaédrico (12 faces), considere os eventos $A = \text{“múltiplo de 3”}$, $B = \text{“menor ou igual a 6”}$ e $C = \text{“par”}$, isto é, $A = \{3, 6, 9, 12\}$, $B = \{1, 2, 3, 4, 5, 6\}$ e $C = \{2, 4, 6, 8, 10, 12\}$. Então A , B

e C são independentes, pois

$$\begin{aligned}\mathbb{P}(A \cap B) &= \mathbb{P}(\{3, 6\}) = \frac{1}{6} = \mathbb{P}(A)\mathbb{P}(B), \\ \mathbb{P}(B \cap C) &= \mathbb{P}(\{2, 4, 6\}) = \frac{1}{4} = \mathbb{P}(B)\mathbb{P}(C), \\ \mathbb{P}(A \cap C) &= \mathbb{P}(\{6, 12\}) = \frac{1}{6} = \mathbb{P}(A)\mathbb{P}(C), \\ \mathbb{P}(A \cap B \cap C) &= \mathbb{P}(\{6\}) = \frac{1}{12} = \mathbb{P}(A)\mathbb{P}(B)\mathbb{P}(C). \quad \triangle\end{aligned}$$

Contra-exemplo 2.22. No Exemplo 2.19, os eventos A , B e C não são independentes. Com efeito,

$$\mathbb{P}(A \cap B \cap C) = \mathbb{P}(\emptyset) = 0 \neq \frac{1}{8} = \mathbb{P}(A)\mathbb{P}(B)\mathbb{P}(C). \quad \triangle$$

Contra-exemplo 2.23. No Exemplo 2.18, os eventos A , B e C não são independentes. Com efeito,

$$\mathbb{P}(A \cap B \cap C) = \mathbb{P}(\{2, 4, 6\}^2) = \frac{1}{4} \neq \frac{1}{8} = \mathbb{P}(A)\mathbb{P}(B)\mathbb{P}(C). \quad \triangle$$

2.3 Processo de Poisson

O conteúdo desta seção não será usado no resto do livro, e pode ser omitido. Ela é baseada no Exemplo 8 da Seção 1.3 de James (2004). A ideia é modelar o comportamento de um *processo de chegadas* ao longo do tempo, sejam de clientes em um caixa de supermercado, gols em uma partida de futebol ou, como será nosso modelo, acessos a uma determinada página de internet.

Para cada tempo $t \geq 0$, seja X_t o número de acessos à página durante o intervalo $(0, t]$. Dados $s, t \geq 0$ e $n \in \mathbb{N}_0$, denotamos por $A_{s,t}^n$ o evento em que há exatamente n acessos à página no intervalo $(s, s+t]$.

Gostaríamos de estudar a probabilidade dos eventos $A_{s,t}^n$ para todos os valores de n, s, t . Para isso, assumiremos que o número de acessos à página satisfaz

determinadas hipóteses, que listamos a seguir.

H1 (Incrementos estacionários): Para cada $t \geq 0$ e $n \in \mathbb{N}_0$ fixados, a probabilidade $\mathbb{P}(A_{s,t}^n)$ não depende de s .

Essa hipótese diz que a probabilidade de haver exatamente n acessos no intervalo $(s, s+t]$ depende apenas de sua duração t e não de s , seu início na linha temporal. Sendo assim, $\mathbb{P}(A_{s,t}^n) = \mathbb{P}(A_{0,t}^n)$, que denotaremos pela família de funções dada por $P_n(t) = \mathbb{P}(A_{0,t}^n)$.

H2 (Incrementos independentes): Dados $s, t, u, v \geq 0$ tais que $s+t \leq u$, os eventos $A_{s,t}^n$ e $A_{u,v}^k$ são independentes para todos $n, k \in \mathbb{N}_0$.

H3 (Não simultaneidade): A probabilidade condicional de haver pelo menos dois acessos à página no intervalo $(0, t]$, dado que no mesmo intervalo houve pelo menos um acesso, é pequena se t é pequeno. De modo formal,

$$\lim_{t \rightarrow 0^+} \frac{1 - P_0(t) - P_1(t)}{1 - P_0(t)} = 0.$$

Isto é, quando a duração do intervalo vai a zero, a probabilidade de haver pelo menos um acesso à página vai se concentrando no evento em que há exatamente um acesso. Dessa forma, acessos simultâneos são eventos de probabilidade nula.

É pertinente questionar se as três hipóteses acima são ou não razoáveis na contagem do número de acessos à página (Há menos acessos durante a madrugada? Se eu acesso a página, isto altera a probabilidade de meus amigos também acessem posteriormente?). Ao dimensionarmos a capacidade máxima de acessos à página, estamos interessados em intervalos por volta dos horários de pico, onde nos parece que as hipóteses acima são razoáveis.

A partir de agora, nossa tarefa é encontrar uma família de funções $(P_n(t))_{n \in \mathbb{N}_0}$, e consequentemente $\mathbb{P}(A_{s,t}^n)$, de modo que as hipóteses H1, H2 e H3 sejam satisfeitas.

Começemos com o caso $n = 0$. Observe que, para todo $t > 0$ e $k \in \mathbb{N}$, $A_{0,kt}^0 = A_{0,t}^0 \cap A_{t,t}^0 \cap A_{2t,t}^0 \cap \cdots \cap A_{(k-1)t,t}^0$. Por H1 e H2, obtemos $P_0(kt) =$

$\mathbb{P}(A_{0,kt}^0) = \mathbb{P}(A_{0,t}^0)\mathbb{P}(A_{t,t}^0) \cdots \mathbb{P}(A_{(k-1)t,t}^0) = [P_0(t)]^k$. Daí também segue que $P_0(t) = [P_0(\frac{t}{j})]^j$ para todos $t > 0$ e $j \in \mathbb{N}$. Combinando ambas identidades, obtemos

$$P_0(rt) = [P_0(t)]^r \quad \text{para todos } t > 0 \text{ e } r \in \mathbb{Q} \text{ positivo.}$$

Esta última identidade pode ser estendida para todo $r > 0$ real, observando-se que P_0 é monótona.

Podemos supor que $P_0(1) < 1$, pois do contrário teríamos $P_0(t) = 1$ para todo $t > 0$, o processo onde a página nunca é acessada (veja que H3 já assume isso implicitamente). Observe também que $P_0(1) > 0$, pois do contrário teríamos um modelo em que a página é acessada (infinitas vezes!) em todo intervalo não-degenerado de tempo, o que violaria H3.

Portanto, $P_0(t) = [P_0(1)]^t$ decai exponencialmente e podemos escrever $P_0(t) = e^{-\lambda t}$, com $\lambda = -\log P_0(1)$. O processo $(X_t)_{t \geq 0}$ é chamado de *Processo de Poisson de intensidade λ* . Refere-se ao parâmetro λ como intensidade porque mudar seu valor tem o mesmo efeito que acelerar o tempo na mesma proporção.

Agora, procederemos à determinação de $P_n(t)$ para $n \in \mathbb{N}$. A ideia é tentar descrever a derivada de $P_n(t)$ e resolver a equação diferencial que tenha $P_n(t)$ como solução. Indo direto ao ponto,

$$A_{0,t+\Delta t}^n = \bigcup_{j=0}^n \left(A_{0,t}^j \cap A_{t,\Delta t}^{n-j} \right)$$

para todos $t, \Delta t > 0$ e $n \in \mathbb{N}$, e a união acima é disjunta. Portanto,

$$\begin{aligned} P_n(t + \Delta t) &= \mathbb{P}(A_{0,t+\Delta t}^n) = \sum_{j=0}^n \mathbb{P}\left(A_{0,t}^j \cap A_{t,\Delta t}^{n-j}\right) \\ &= \sum_{j=0}^n \mathbb{P}(A_{0,t}^j) \cdot \mathbb{P}(A_{t,\Delta t}^{n-j}) = \sum_{j=0}^n P_j(t) \cdot P_{n-j}(\Delta t), \end{aligned}$$

onde as duas últimas igualdades seguem das hipóteses H1 e H2.

Para analisar a derivada à direita de P_n , expandimos

$$\begin{aligned} \frac{P_n(t + \Delta t) - P_n(t)}{\Delta t} &= \frac{\sum_{j=0}^n [P_j(t) \cdot P_{n-j}(\Delta t)] - P_n(t)}{\Delta t} = \\ &= \frac{P_n(t) \cdot (P_0(\Delta t) - 1)}{\Delta t} + \frac{P_{n-1}(t) \cdot P_1(\Delta t)}{\Delta t} + \frac{\sum_{j=0}^{n-2} P_j(t) \cdot P_{n-j}(\Delta t)}{\Delta t}. \end{aligned}$$

Calcularemos o limite quando $\Delta t \rightarrow 0^+$ de cada um dos três termos acima separadamente. Para o primeiro termo,

$$\frac{P_n(t) \cdot (P_0(\Delta t) - 1)}{\Delta t} = P_n(t) \frac{e^{-\lambda \Delta t} - 1}{\Delta t} \rightarrow -\lambda P_n(t).$$

Para o segundo,

$$\frac{P_{n-1}(t) \cdot P_1(\Delta t)}{\Delta t} = P_{n-1}(t) \cdot \frac{P_1(\Delta t)}{1 - P_0(\Delta t)} \cdot \frac{1 - P_0(\Delta t)}{\Delta t} \rightarrow \lambda P_{n-1}(t),$$

onde o limite segue de H3. Para o terceiro,

$$\begin{aligned} 0 \leq \frac{\sum_{j=0}^{n-2} P_j(t) \cdot P_{n-j}(\Delta t)}{\Delta t} &\leq \frac{\sum_{j=0}^{n-2} P_{n-j}(\Delta t)}{\Delta t} \leq \frac{1 - P_0(\Delta t) - P_1(\Delta t)}{\Delta t} = \\ &= \frac{1 - P_0(\Delta t) - P_1(\Delta t)}{1 - P_0(\Delta t)} \cdot \frac{1 - P_0(\Delta t)}{\Delta t} \rightarrow 0, \end{aligned}$$

onde, novamente, o limite segue de H3.

Reunindo os limites calculados acima, deduzimos que

$$P'_n(t) = -\lambda P_n(t) + \lambda P_{n-1}(t)$$

para todo $n \in \mathbb{N}$ e $t \geq 0$. Observe também que valem as condições iniciais $P_n(0) = 0$ para todo $n \in \mathbb{N}$.

Concluimos esta seção usando a equação acima para verificar que

$$P_n(t) = \frac{(\lambda t)^n}{n!} e^{-\lambda t}$$

para todo $n \in \mathbb{N}_0$ e $t \geq 0$. Para $n = 0$, já havíamos deduzido anteriormente que $P_0(t) = e^{-\lambda t}$. Seja $n \in \mathbb{N}_0$ e suponha por indução que $P_n(t) = \frac{(\lambda t)^n}{n!} e^{-\lambda t}$ para todo $t \geq 0$. Com essa hipótese, $P_{n+1}(t)$ é solução da equação diferencial

$$p'(t) = -\lambda p(t) + \lambda \frac{(\lambda t)^n}{n!} e^{-\lambda t},$$

com condição inicial $p(0) = 0$. Afirmamos que

$$p(t) = \frac{(\lambda t)^{n+1}}{(n+1)!} e^{-\lambda t}$$

é a única solução da equação acima. Para ver que tal p é solução, basta derivar e ver que a equação é satisfeita. Unicidade segue da teoria de equações diferenciais, vamos aceitar essa propriedade sem demonstração. Com isso verificamos que $P_{n+1}(t)$ é dada pela fórmula acima.

Devemos uma explicação sobre como fizemos para encontrar a solução $p(t)$ acima. Daremos aqui uma versão compacta de um método que normalmente que se ensina em um curso introdutório de equações diferenciais. Ignorando o termo que não envolve p , ficamos com a equação $p'(t) = -\lambda p(t)$. Uma solução não-trivial g dessa equação é dada por $g(t) = e^{-\lambda t}$, que pode ser encontrada dividindo-se ambos os lados da equação por $g(t)$ e integrando-se em t . Depois disso, passamos a buscar uma solução da forma $p(t) = e^{-\lambda t} f(t)$. Substituindo na equação diferencial de p e simplificando, chegamos a

$$f'(t) = \lambda \frac{(\lambda t)^k}{k!}.$$

Integrando em t , chegamos a

$$f(t) = \frac{(\lambda t)^{k+1}}{(k+1)!} + C,$$

com uma constante indeterminada $C \in \mathbb{R}$. Como $p(0) = 0$, concluímos que $C = 0$, e com esse método chegamos à solução acima.

2.4 Exercícios

§2.1

1. São dadas duas urnas, A e B . A urna A contém 1 bola vermelha e 1 azul. A urna B contém 2 bolas vermelhas e 3 azuis. Uma bola é extraída ao acaso de A e colocada em B . Uma bola então é extraída ao acaso de B . Qual a probabilidade de se retirar uma bola vermelha de B ? Qual a probabilidade de ambas as bolas retiradas serem da mesma cor?

2. Paula fez uma prova na semana passada. A probabilidade de aprovação na prova era de $\frac{4}{5}$ caso ela tenha se preparado adequadamente, $\frac{1}{2}$ caso ela tenha estudado apenas na véspera, e $\frac{1}{10}$ caso ela não tenha estudado nada. Sabe-se que as probabilidades de ela ter estudado adequadamente, ter estudado apenas na véspera e não ter estudado nada são $\frac{3}{5}$, $\frac{1}{5}$ e $\frac{1}{5}$, respectivamente. Qual a probabilidade de Paula ter estudado adequadamente dado que ela foi aprovada?

3. Seja p a proporção de indivíduos na população que estão infectados por um determinado vírus. O exame laboratorial que detecta esse vírus apresenta um resultado *falso negativo* (indica que um indivíduo infectado está saudável) com probabilidade $\frac{1}{1.000}$; enquanto resultados do tipo *falso positivo* (indica que um indivíduo saudável está infectado) ocorrem com probabilidade $\frac{1}{50}$.

- (a) Um indivíduo foi escolhido ao acaso e o resultado do exame foi positivo. Calcule $f(p)$, a probabilidade de esse indivíduo estar infectado.
- (b) Quanto valem $\lim_{p \rightarrow 0^+} f(p)$ e o menor valor de p para o qual $f(p) \geq \frac{1}{2}$. Interprete estes resultados.

Nesse problema, o parâmetro p é chamado *prevalência*, $\frac{999}{1.000}$ é a chamada *sensibilidade* e $\frac{49}{50}$ é a chamada *especificidade*.

4. Considere uma questão de múltipla escolha com n opções, e seja p a probabilidade de determinado aluno saber resolver a questão. Se ele sabe resolver, acerta com certeza, e se não sabe, acerta com probabilidade $\frac{1}{n}$. Dado que ele acertou a resposta, qual a probabilidade de que ele sabia resolver? Calcule os limites dessa probabilidade quando $n \rightarrow \infty$ e quando $p \rightarrow 0^+$.

5. Sejam A, B e C eventos quaisquer. Mostre que

$$\mathbb{P}(A|B) = \mathbb{P}(A|B \cap C)\mathbb{P}(C|B) + \mathbb{P}(A|B \cap C^c)\mathbb{P}(C^c|B).$$

6. Zacarias é um sujeito bastante atrapalhado, ele perdeu sua carteira em uma de suas n gavetas, cada uma delas em diferentes níveis de desordem. Seja p_k a probabilidade da carteira estar na k -ésima gaveta. Seja q_k a probabilidade condicional de ele encontrar a carteira na k -ésima gaveta dado que ela lá está e a gaveta foi examinada. Calcule a probabilidade da carteira estar na primeira gaveta, dado que Zacarias abriu apenas a k -ésima gaveta e não encontrou sua carteira.

7. Sandro tem em seus bolsos 5 dados, cada um deles com a forma de um dos Poliedros de Platão e com as faces numeradas de um até o número de faces de cada dado. No bolso esquerdo estão o tetraedro, o cubo e o octaedro, enquanto dodecaedro e icosaedro estão no bolso direito. Sandro deve retirar aleatoriamente uma carta de um baralho comum, se a carta for de copas ele escolhe aleatoriamente um dos dados do bolso esquerdo, caso contrário, ele sorteia o dado do bolso direito. Sandro lançará o dado e ganhará um prêmio se a face sorteada for o número 1. Calcule:

- (a) A probabilidade de sair o número 1.
- (b) A probabilidade condicional de o dado retirado ter sido o cubo dado que saiu o número 1.

8 (Urna de Pólya). Uma urna contém inicialmente p bolas pretas e b bolas brancas. É sorteada uma bola da urna, sua cor é observada, em seguida esta bola é devolvida à urna e também outra bola da mesma cor é adicionada à urna. Repetimos este procedimento indefinidamente. Seja $B_{n,k}$ o evento

em que são retiradas exatamente k bolas brancas nas n primeiras extrações. Mostre que

$$\mathbb{P}(B_{n,k}) = \frac{\binom{b+k-1}{b-1} \binom{p+n-k-1}{p-1}}{\binom{p+b+n-1}{n}}.$$

Dica: Mostre por indução em n , para todo p e b .

9. Um casal tem dois filhos que não são gêmeos. Calcule a probabilidade condicional de esse casal ter dois filhos homens, sabendo-se que:

- (a) O casal tem um filho homem.
- (b) O filho mais velho do casal é homem.
- (c) O casal tem um filho homem que nasceu num sábado.
- (d) O casal tem um filho homem que não nasceu num sábado.

Respostas aproximadas: 0,33, 0,50, 0,48, 0,36. Comente o porquê de o resultado do item (d) ser próximo ao do item (a) e o do item (c) ser próximo ao do item (b).

10. Sejam B_1, B_2, \dots eventos disjuntos, A e C eventos aleatórios, e $\varepsilon \in [0, 1]$. Mostre que:

- (a) Se $\mathbb{P}(A|B_n) \geq \varepsilon$ para todo n , então $\mathbb{P}(A|\cup_n B_n) \geq \varepsilon$.
- (b) Se $\mathbb{P}(A|B_n) = \varepsilon$ para todo n , então $\mathbb{P}(A|\cup_n B_n) = \varepsilon$.
- (c) Se $\mathbb{P}(A|B_n) = \mathbb{P}(C|B_n)$ para todo n , então $\mathbb{P}(A|\cup_n B_n) = \mathbb{P}(C|\cup_n B_n)$.

11. Mostre que, se $A_n \downarrow A$ e $\mathbb{P}(A_{n+1}|A_n) \leq \frac{2}{3}$ para todo n então $\mathbb{P}(A) = 0$.

12. Leonardo prometeu que iria enviar um e-mail para Bernardo até o final do dia. A probabilidade de ele realmente enviar o e-mail conforme prometido é de $\frac{8}{9}$. Cada e-mail enviado tem probabilidade $\frac{3}{4}$ de ser entregue, e probabilidade $\frac{1}{4}$ de ser perdido pelo caminho ou classificado como spam. Dado que Bernardo não recebeu o tal e-mail, calcule a probabilidade de que Leonardo não o tenha enviado.

§2.2

13. Prove que dois eventos A e B são independentes se, e somente se, $\mathbb{P}(A|B) = \mathbb{P}(A)$.

14. Prove que, se A e B são independentes, então B é independente de A^c , e A e A^c são ambos independentes de B^c .

15. Sejam A e B eventos tais que $\mathbb{P}(A|B) = \frac{1}{4}$ e $\mathbb{P}(B|A) = \frac{1}{2}$:

- (a) A e B podem ser independentes?
- (b) A e B são necessariamente independentes?
- (c) A e B podem ser disjuntos?

16. Prove ou dê contra-exemplo:

Para todo espaço de probabilidade $(\Omega, \mathcal{F}, \mathbb{P})$ e todos $A, B, C \in \mathcal{F}$, se $\mathbb{P}(A \cap B \cap C) = \mathbb{P}(A)\mathbb{P}(B)\mathbb{P}(C)$, então A, B e C são independentes.

17. Sejam A_1, \dots, A_n eventos independentes. Sejam B_1, \dots, B_n eventos tais que, para todo $j = 1, \dots, n$, ou $B_j = A_j$ ou $B_j = A_j^c$.

- (a) Mostre que A_1, \dots, A_{n-1}, B_n são independentes.
- (b) Mostre que B_1, \dots, B_{n-1}, B_n são independentes.

18. Sejam A_1, A_2, \dots, A_n eventos independentes e suponha que $\#\Omega < 2^n$. Mostre que $\mathbb{P}(A_k) = 0$ ou 1 para algum $k = 1, \dots, n$.

19. Em uma gaveta existem 2 maços de baralho fechados. Um deles é um baralho comum de 52 cartas, $\{A, 2, 3, \dots, 9, 10, J, Q, K\} \times \{\clubsuit, \heartsuit, \spadesuit, \diamondsuit\}$, e outro é um baralho de truco com 40 cartas (não possui as cartas de números '8', '9' e '10').

Um dos maços é retirado da gaveta ao acaso e depois uma carta é sorteada ao acaso do baralho retirado.

- (a) Calcule a probabilidade de a carta sorteada ser uma das três figuras reais (J, Q ou K).
- (b) Sabendo-se que foi sorteada uma figura real, calcule a probabilidade de o baralho retirado ter sido o baralho comum.
- (c) Calcule a probabilidade de a carta sorteada ser de espadas.
- (d) Sabendo-se que foi sorteada uma carta de espadas, calcule a probabilidade de o baralho retirado ter sido o baralho de truco.

- (e) Sejam $A = \text{"Foi retirado o baralho comum"}$, $B = \text{"Foi sorteada uma figura real"}$ e $C = \text{"Foi sorteada uma carta de espadas"}$. A e B são independentes? A e C são independentes? A , B e C são independentes?
 - (f) Qual a probabilidade de se sortear uma carta de número '5'?
 - (g) Sabendo-se que foi sorteado um número (isto é, não foi sorteado A , J , Q nem K), qual a probabilidade de o baralho retirado ter sido o baralho de truco?
- 20.** Dois dados comuns são lançados. Para $n = 1, \dots, 6$, seja A_n o evento de sair n no primeiro dado. Para $k = 2, \dots, 12$, seja B_k o evento de a soma dos dois dados ser igual a k . Mostre que A_n e B_k são independentes se, e somente se, $k = 7$.
- 21.** Sejam A e $(B_n)_n$ eventos tais que A e B_n são independentes para todo n . Mostre que, se os eventos $(B_n)_n$ são disjuntos, então A e $\cup_n B_n$ são independentes. Exiba um exemplo ilustrando que a hipótese de que os $(B_n)_n$ são disjuntos não pode ser omitida.

§2.3

- 22.** Suponha que numa partida de futebol entre Atlético-MG e Cruzeiro, o número de gols feitos por cada time siga processos de Poisson independentes, (X_t) e (Y_t) , com intensidades α e β , respectivamente. Além disso, considere que o tempo t é medido em unidades de duração de uma partida (ou seja, uma partida inteira dura uma unidade de tempo).
- (a) Calcule a probabilidade de a partida terminar 1-0 para qualquer um dos times.
 - (b) Calcule a probabilidade de não haver gols no segundo tempo.
 - (c) Calcule a probabilidade condicional de o Cruzeiro ter vencido a partida, dado que o placar final foi 1-0 para um dos times.
 - (d) Mostre que o número total de gols ao longo do tempo também é um processo de Poisson. Qual a intensidade?
- 23.** O fluxo de carros pela BR-040 próximo ao trevo de Ouro Preto é de 20 veículos por minuto. Um medidor registra os instantes nos quais passam

veículos pela via. Suponha válidas H_1 , H_2 e H_3 com carros no lugar de acessos a um servidor. Calcule:

- (a) A probabilidade de que 3 ou mais carros sejam registrados durante um certo intervalo de 6 segundos fixo.
- (b) A probabilidade de que nenhum carro seja registrado durante um certo intervalo de 2 minutos fixo.

Capítulo 3

Variáveis Aleatórias

Na realização de um experimento aleatório, muitas vezes estamos interessados em uma ou mais quantidades que podem ser observadas durante a realização do experimento. Por exemplo, sortear 11 cartas do baralho e contar quantas dessas cartas são de espadas, ou sortear dois números reais entre 0 e 1 e considerar o menor deles. A essas quantidades damos o nome de *variáveis aleatórias*. Uma variável aleatória é um observável numérico resultante de um experimento.

3.1 Variáveis aleatórias

Uma quantidade numérica que pode ser observada num certo experimento aleatório é representada por uma função $X : \Omega \rightarrow \mathbb{R}$.

Exemplo 3.1. Lança-se um dado e observa-se a face superior. Neste caso, podemos tomar $\Omega = \{1, 2, 3, 4, 5, 6\}$ e $X(\omega) = \omega$. \triangle

Exemplo 3.2. Lançam-se dois dados e considera-se o maior dos valores. Neste caso, podemos tomar $\Omega = \{1, 2, 3, 4, 5, 6\}^2$ e $X(\omega_1, \omega_2) = \max\{\omega_1, \omega_2\}$. \triangle

Vamos impor uma restrição sobre a função X que permitirá atribuir

probabilidade a eventos como “o valor observado de X é no máximo 5”.

Definição 3.3 (Variável Aleatória). Uma *variável aleatória* X em um espaço de probabilidade $(\Omega, \mathcal{F}, \mathbb{P})$ é uma função real definida no espaço Ω tal que o conjunto $\{\omega \in \Omega : X(\omega) \leq x\}$ é evento aleatório para todo $x \in \mathbb{R}$, isto é, $\{\omega \in \Omega : X(\omega) \leq x\} \in \mathcal{F}$ para todo $x \in \mathbb{R}$.

Daqui para frente, denotaremos o evento $\{\omega \in \Omega : X(\omega) \leq x\}$ simplesmente por $\{X \leq x\}$.

Exemplo 3.4 (Variável aleatória constante). Se $X(\omega) = 5$ para todo $\omega \in \Omega$, então

$$\{X \leq a\} = \{\omega : X(\omega) \leq a\} = \begin{cases} \Omega, & \text{se } a \geq 5, \\ \emptyset, & \text{se } a < 5. \end{cases}$$

Portanto, X é variável aleatória. \triangle

Dizemos que uma variável aleatória X é *degenerada* se existe $c \in \mathbb{R}$ tal que $\mathbb{P}(X = c) = 1$. No exemplo acima, X é degenerada com $c = 5$.

Exemplo 3.5 (Função indicadora). Dado $A \subseteq \Omega$, definimos

$$\mathbb{1}_A(\omega) = \begin{cases} 1, & \omega \in A, \\ 0, & \omega \notin A. \end{cases}$$

Se $A \in \mathcal{F}$ e $X = \mathbb{1}_A$, então

$$\{X \leq a\} = \{\omega : X(\omega) \leq a\} = \begin{cases} \Omega, & \text{se } a \geq 1, \\ A^c, & \text{se } 0 \leq a < 1, \\ \emptyset, & \text{se } a < 0. \end{cases}$$

Portanto, X é variável aleatória. \triangle

Contra-exemplo 3.6. Sejam $\Omega = \{1, 2, 3, 4\}$ e $\mathcal{F} = \{\emptyset, \{1, 2\}, \{3, 4\}, \Omega\}$ e considere os conjuntos $A = \{1, 2\}$ e $B = \{1, 3\}$. Então $\mathbb{1}_A$ é variável aleatória em (Ω, \mathcal{F}) , mas $\mathbb{1}_B$ não é. \triangle

3.1.1 Espaço induzido e lei de uma variável aleatória

A σ -álgebra de Borel na reta \mathbb{R} , denotada por \mathcal{B} , é a menor σ -álgebra que contém todos os intervalos da reta (veja a Seção 1.4.1 para mais detalhes). Os conjuntos $B \subseteq \mathbb{R}$ tais que $B \in \mathcal{B}$ são chamados *borelianos*. Na prática, essa classe contém todos os subconjuntos de \mathbb{R} que nos interessam.

Dado um espaço de probabilidade $(\Omega, \mathcal{F}, \mathbb{P})$ e uma variável aleatória X , definimos o *espaço de probabilidade induzido por X* como $(\mathbb{R}, \mathcal{B}, \mathbb{P}_X)$, onde

$$\mathbb{P}_X(B) = \mathbb{P}(\{\omega : X(\omega) \in B\}), \quad B \in \mathcal{B}.$$

Ou seja, o espaço amostral é o conjunto dos números reais, os eventos aleatórios são os conjuntos borelianos, e a medida de probabilidade é aquela induzida por X . A medida de probabilidade \mathbb{P}_X em \mathbb{R} induzida por X é chamada de *lei da variável aleatória X* ou *distribuição de X* .

A importância teórica e conceitual do espaço de probabilidade induzido por uma variável aleatória X , bem como sua distribuição \mathbb{P}_X , é que ele permite descrever o comportamento estatístico de X abstraindo-se todos os detalhes do espaço de probabilidade original. Mais precisamente, toda pergunta formulada apenas em termos de X pode ser respondida com \mathbb{P}_X ao invés de \mathbb{P} .

Exemplo 3.7. Um dado é lançado três vezes. Seja X o valor obtido no primeiro lançamento. Esse experimento pode ser modelado por $\Omega = \{1, 2, 3, 4, 5, 6\}^3$, $\mathcal{F} = \mathcal{P}(\Omega)$ e $\mathbb{P}(A) = \frac{\#A}{216}$ para todo $A \in \mathcal{F}$, nesse caso $X : \Omega \rightarrow \mathbb{R}$ é dado por $X(\omega) = \omega_1$, onde cada $\omega \in \Omega$ é identificado como uma tripla $(\omega_1, \omega_2, \omega_3)$. O espaço induzido por X é dado por $(\mathbb{R}, \mathcal{B}, \mathbb{P}_X)$, com \mathbb{P}_X dado por

$$\mathbb{P}_X(B) = \frac{\#(B \cap \{1, 2, 3, 4, 5, 6\})}{6}, \quad B \in \mathcal{B}.$$

Para calcular $\mathbb{P}(1, 5 \leq X \leq 3, 4)$, podemos fazer

$$\mathbb{P}(\{\omega : 1, 5 \leq X(\omega) \leq 3, 4\}) = \frac{\#(\{2, 3\} \times \{1, 2, 3, 4, 5, 6\}^2)}{216} = \frac{72}{216} = \frac{1}{3}$$

ou

$$\mathbb{P}_X([1, 5, 3, 4]) = \frac{\#\{2, 3\}}{6} = \frac{1}{3}. \quad \triangle$$

3.1.2 Função de distribuição

Definição 3.8 (Função de distribuição). A *função de distribuição* da variável aleatória X , é a função $F_X : \mathbb{R} \rightarrow [0, 1]$, definida como

$$F_X(x) = \mathbb{P}(X \leq x), \quad x \in \mathbb{R}.$$

Apesar de variáveis aleatórias distintas poderem ter a mesma função de distribuição, a função de distribuição determina o comportamento da variável aleatória. Veremos a demonstração deste fato na Seção 3.6, mas gostaríamos de enunciá-lo precisamente agora.

Teorema 3.9. *Sejam X e Y variáveis aleatórias, então $F_X(t) = F_Y(t)$ para todo $t \in \mathbb{R}$ se, e somente se, $\mathbb{P}_X(B) = \mathbb{P}_Y(B)$ para todo $B \in \mathcal{B}$.*

Por isso a função de distribuição é uma característica fundamental da variável aleatória. Caso $F_X = F_Y$ (e portanto $\mathbb{P}_X = \mathbb{P}_Y$), escrevemos $X \sim Y$.

Exemplo 3.10. Duas moedas honestas são lançadas. Seja a variável X que

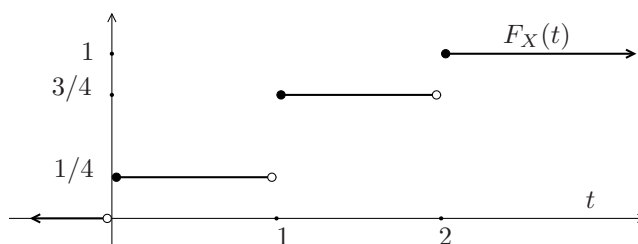


Figura 3.1. Gráfico de uma função de distribuição discreta.

conta o número de caras observadas. Temos que

$$F_X(t) = \mathbb{P}(X \leq t) = \begin{cases} \mathbb{P}(\emptyset) = 0, & t < 0; \\ \mathbb{P}(\{(0, 0)\}) = \frac{1}{4}, & 0 \leq t < 1; \\ \mathbb{P}(\{(0, 0), (0, 1), (1, 0)\}) = \frac{3}{4}, & 1 \leq t < 2; \\ \mathbb{P}(\Omega) = 1, & t \geq 2. \end{cases}$$

Observe que o salto da função de distribuição corresponde à probabilidade de a variável aleatória assumir aquele valor, como se vê na Figura 3.1. \triangle

Exemplo 3.11. Seleccionamos um ponto ao acaso do intervalo $[a, b]$ com $a < b$. Seja X a variável aleatória que representa a coordenada do ponto. Primeiro observamos que, ao seleccionar um ponto ao acaso em um intervalo, estamos dizendo implicitamente que quaisquer subintervalos de mesmo tamanho têm a mesma probabilidade de conter o ponto escolhido. Isso implica que $\mathbb{P}(X \in [c, d]) = \frac{d-c}{b-a}$ para todo $[c, d] \subseteq [a, b]$. Para $t \in [a, b]$, tomando $c = a$ obtemos $\mathbb{P}(X \leq t) = \frac{t-a}{b-a}$. Para $t < a$ temos que $\mathbb{P}(X \leq t) = 0$, e para $t \geq b$ obtemos $\mathbb{P}(X \leq t) = 1$. Portanto,

$$F_X(t) = \mathbb{P}(X \leq t) = \begin{cases} 0, & t \leq a; \\ \frac{t-a}{b-a}, & a \leq t \leq b; \\ 1, & t \geq b; \end{cases}$$

cujos gráficos estão ilustrados na Figura 3.2. \triangle

Variáveis aleatórias diferentes podem ter a mesma função de distribuição. Por exemplo, se X a variável aleatória definida no Exemplo 3.1 e definimos $Y = 7 - X$, então, $X \neq Y$ enquanto $F_X(t) = F_Y(t)$ para todo $t \in \mathbb{R}$.

Proposição 3.12 (Propriedades da função de distribuição). *Se X é uma variável aleatória, sua função de distribuição F_X satisfaz às seguintes propriedades:*

- (1) F_X é não-decrescente, isto é, $x \leq y \Rightarrow F_X(x) \leq F_X(y)$.

- (2) F_X é contínua à direita, isto é, $x_n \downarrow x \Rightarrow F_X(x_n) \rightarrow F_X(x)$.
 (3) $\lim_{x \rightarrow -\infty} F_X(x) = 0$ e $\lim_{x \rightarrow +\infty} F_X(x) = 1$.

Demonstração. Para (1), basta ver que $x \leq y \Rightarrow \{X \leq x\} \subseteq \{X \leq y\} \Rightarrow \mathbb{P}(X \leq x) \leq \mathbb{P}(X \leq y) \Rightarrow F_X(x) \leq F_X(y)$. Para (2), observe que $x_n \downarrow x \Rightarrow \{X \leq x_n\} \downarrow \{X \leq x\} \Rightarrow \mathbb{P}(X \leq x_n) \rightarrow \mathbb{P}(X \leq x) \Rightarrow F_X(x_n) \rightarrow F_X(x)$. Para (3) veja que $x_n \downarrow -\infty \Rightarrow \{X \leq x_n\} \downarrow \{X \leq -\infty\} = \emptyset \Rightarrow \mathbb{P}(X \leq x_n) \rightarrow \mathbb{P}(\emptyset) = 0 \Rightarrow F_X(x_n) \rightarrow 0$ e que $x_n \uparrow +\infty \Rightarrow \{X \leq x_n\} \uparrow \{X < +\infty\} = \Omega \Rightarrow \mathbb{P}(X \leq x_n) \rightarrow \mathbb{P}(\Omega) = 1 \Rightarrow F_X(x_n) \rightarrow 1$. \square

De forma geral, uma *função de distribuição* é qualquer função $F(\cdot)$ satisfazendo às três propriedades acima. Ao final desta seção, mostraremos que dada uma função de distribuição F , sempre existe uma variável aleatória cuja função de distribuição é F .

Segue da definição de função de distribuição que $\mathbb{P}(X > a) = 1 - F_X(a)$ e $\mathbb{P}(a < X \leq b) = F_X(b) - F_X(a)$, para todos $a < b \in \mathbb{R}$. A proposição abaixo nos diz como obter a distribuição em outros tipos de intervalos.

Proposição 3.13. *Sejam $a < b \in \mathbb{R}$, então a função de distribuição de uma variável aleatória X satisfaz: $\mathbb{P}(a < X < b) = F_X(b-) - F_X(a)$, $\mathbb{P}(a \leq X < b) = F_X(b-) - F_X(a-)$, $\mathbb{P}(a \leq X \leq b) = F_X(b) - F_X(a-)$ e $\mathbb{P}(X = a) = F_X(a) - F_X(a-)$. Em particular, $\mathbb{P}(X = a) = 0$ se e somente se F_X é contínua em a .*

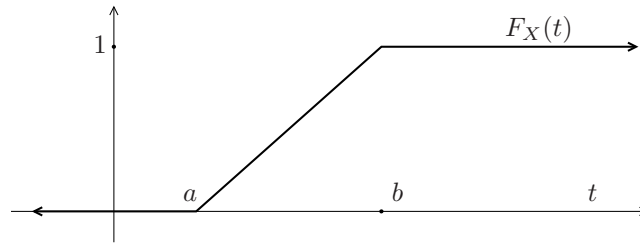


Figura 3.2. Gráfico de uma função de distribuição contínua.

Demonstração. Provaremos apenas a primeira igualdade, as outras são análogas. Observe que $(a, b - \frac{1}{n}] \uparrow (a, b) \Rightarrow (a < X \leq b - \frac{1}{n}) \uparrow (a < X < b)$, logo $F_X(b-) - F_X(a) = \lim_n F_X(b - \frac{1}{n}) - F_X(a) = \lim_n \mathbb{P}(a < X \leq b - \frac{1}{n}) = \mathbb{P}(a < X < b)$. \square

Em palavras, a última afirmação da proposição acima nos diz que o tamanho do salto de uma função de distribuição em um ponto de descontinuidade a é igual a $\mathbb{P}(X = a)$.

3.1.3 Função quantil

Imagine que estamos implementando um algoritmo usando uma certa linguagem de programação e queremos simular uma variável aleatória X com uma dada função de distribuição F . Em geral, as linguagens de programação são capazes de gerar uma variável aleatória U distribuída “uniformemente” no intervalo $(0, 1)$. Veremos na Seção 3.3 o que quer dizer estar distribuída uniformemente em $(0, 1)$, mas por enquanto basta saber que $\mathbb{P}(U \leq u) = u$ para $u \in [0, 1]$. A partir de uma variável U com essa distribuição, é possível obter uma variável X com função de distribuição F ?

Caso o valor de U seja, por exemplo, 0,272106341..., queremos atribuir a X o valor x que ocupa, dentre os possíveis valores assumidos por X , a “posição” correspondente a 0,272106341... numa escala entre 0 e 1. Mais precisamente, buscamos o valor x tal que $\mathbb{P}(X < x) \leq 0,272106341...$ e $\mathbb{P}(X > x) \leq 0,727893658...$. Observe que, ao buscar tal valor de x , estamos tentando inverter a função de distribuição de X .

A *função quantil* de uma variável aleatória é a inversa da sua função de distribuição, no seguinte sentido. Dada uma função de distribuição F , definimos

$$F^{-1}(u) = \min\{x \in \mathbb{R} : F(x) \geq u\},$$

ou seja, $F^{-1}(u)$ é o ponto x mais à esquerda a partir do qual o gráfico de F fica acima da altura u . Caso F seja como o da Figura 3.2, $F^{-1}(u)$ nada mais

é do que a pré-imagem de u . Porém, no exemplo da função F da Figura 3.1, os valores $u = \frac{1}{4}$ e $u = \frac{3}{4}$ têm todo um intervalo como pré-imagem, e qualquer outro $0 < u < 1$ tem pré-imagem vazia. Para $u = \frac{1}{4}$ e $u = \frac{3}{4}$, tomamos o ponto mais à esquerda do intervalo e, para os demais pontos, completamos o gráfico de F com segmentos verticais para definir a inversa.

Mencionamos aqui algumas propriedades da função quantil que podem ser observadas visualmente, e cuja prova será omitida. Para todo $x \in \mathbb{R}$, temos $F^{-1}(F(x)) \leq x$, valendo a igualdade se F é estritamente crescente num intervalo aberto contendo x . Para todo $0 < u < 1$, temos $F(F^{-1}(u)) \geq u$, valendo a igualdade se F é contínua num intervalo aberto contendo $F^{-1}(u)$.

A propriedade que vamos usar é que, dados $x \in \mathbb{R}$ e $0 < u < 1$,

$$F^{-1}(u) \leq x \quad \Longleftrightarrow \quad u \leq F(x). \quad (3.14)$$

Essa propriedade segue da definição de F^{-1} e do fato de F ser não-decrescente e contínua à direita.

A discussão acima culmina com a demonstração formal da existência de variáveis aleatórias com quaisquer distribuições. No mesmo espírito do parágrafo inicial acima, o ponto de partida é a existência de uma variável aleatória uniforme, o que enunciaremos agora.

Teorema 3.15 (Variável aleatória uniforme). *Existe uma variável aleatória U em um espaço de probabilidade $(\Omega, \mathcal{F}, \mathbb{P})$ tal que $F_U(u) = u$ para $u \in [0, 1]$.*

A demonstração exige ferramentas avançadas e será dada na Seção 3.6.

Teorema 3.16. *Dada uma função de distribuição F , existe um espaço de probabilidade e uma variável aleatória cuja função de distribuição é F .*

Demonstração. Seja U uma variável aleatória com distribuição uniforme em $(0, 1)$ e defina $X = F^{-1}(U)$. Para cada $x \in \mathbb{R}$, por (3.14) temos

$$\mathbb{P}(X \leq x) = \mathbb{P}(F^{-1}(U) \leq x) = \mathbb{P}(U \leq F(x)) = F(x),$$

portanto F é a função de distribuição de X , como queríamos demonstrar. \square

3.2 Variáveis aleatórias discretas

Dizemos que uma variável aleatória X , sua função de distribuição F_X e sua lei \mathbb{P}_X são *discretas* se existe um conjunto enumerável $A = \{x_1, x_2, x_3, \dots\} \subseteq \mathbb{R}$ tal que $\mathbb{P}(X \in A) = 1$.

Definimos a *função de probabilidade* de uma variável aleatória X como

$$p_X(x) = \mathbb{P}(X = x).$$

O tratamento de variáveis aleatórias discretas é feito em termos de somatórios com a função de probabilidade. Por exemplo, a lei de uma variável aleatória discreta é dada por

$$\mathbb{P}_X(B) = \sum_{x \in B} p_X(x) \quad \forall B \in \mathcal{B}$$

e sua função de distribuição é dada por

$$F_X(t) = \sum_{x \leq t} p_X(x) \quad \forall t \in \mathbb{R}.$$

Com efeito, esta última equação é um caso particular da anterior tomando-se $B = (-\infty, t]$, e para justificar aquela usamos σ -aditividade da medida de probabilidade \mathbb{P} :

$$\mathbb{P}_X(B) = \mathbb{P}_X(B \cap A) = \mathbb{P}\left(\bigcup_{x \in B \cap A} \{X = x_k\}\right) = \sum_{x \in B \cap A} \mathbb{P}(X = x) = \sum_{x \in B} p_X(x).$$

A primeira e última igualdades valem pois $\mathbb{P}_X(A^c) = 0$ e $p_X(x) = 0$ para todo $x \notin A$.

A função de distribuição de uma variável aleatória discreta tipicamente se

parece à da Figura 3.1, sendo constante por partes e dando um saltos de tamanho $p_X(t)$ em cada ponto $t \in \mathbb{R}$ com $p_X(t) > 0$. Como

$$p_X(t) = F_X(t) - F_X(t-),$$

a função de distribuição determina a função de probabilidade de uma variável aleatória, e pela equação anterior vale a recíproca. Portanto, para determinar o comportamento estatístico de uma variável aleatória discreta, é equivalente especificar p_X , F_X , ou \mathbb{P}_X . A primeira normalmente é mais simples.

De forma geral, uma *função de probabilidade* é qualquer função $p(\cdot)$ satisfazendo

$$p(x) \geq 0 \quad \forall x \in \mathbb{R}, \quad \sum_{x \in \mathbb{R}} p(x) = 1.$$

Dada uma função de probabilidade $p(\cdot)$, existe um espaço de probabilidade onde está definida uma variável aleatória discreta cuja função de probabilidade é $p(\cdot)$. Por certo, basta tomar $\Omega = \mathbb{R}$, $\mathcal{F} = \mathcal{B}$ e $\mathbb{P}(A) = \sum_{\omega \in A} p(\omega)$ e $X(\omega) = \omega$.

Finalizamos esta seção com alguns exemplos conhecidos de variáveis aleatórias discretas.

Distribuição uniforme discreta

Seja $I = \{x_1, x_2, \dots, x_k\}$ um conjunto finito, dizemos que X tem distribuição uniforme discreta (ou equiprovável) em I , quando sua função de probabilidade for constante em I , isto é

$$p_X(x_j) = \frac{1}{k}, \quad \text{para todo } j = 1, 2, \dots, k.$$

Distribuição de Bernoulli

Dado $p \in [0, 1]$, dizemos que $X : \Omega \rightarrow \mathbb{R}$ é uma *variável de Bernoulli com parâmetro p* , o que denotamos $X \sim \text{Bernoulli}(p)$, se $p_X(1) = p$ e $p_X(0) = 1 - p$.

Chamamos de um *ensaio de Bernoulli* à realização sucessiva e independente de um mesmo experimento, sendo que cada realização resulta em “sucesso” com probabilidade p e “fracasso” com probabilidade $1 - p$, e dizemos que p é o parâmetro desses ensaios. O caso mais simples é quando realizamos apenas um ensaio, e tomamos X como sendo a indicadora do evento de sucesso nessa única tentativa, e nesse caso temos $X \sim \text{Bernoulli}(p)$.

Distribuição geométrica

Considere uma sequência de ensaios de Bernoulli, com o mesmo parâmetro p , e seja X o número de ensaios realizados até que se obtenha o primeiro sucesso. Se denotamos por A_n o evento de sucesso na n -ésima tentativa, podemos encontrar a função de probabilidade de X como segue:

$$p_X(n) = \mathbb{P}(X = n) = \mathbb{P}(A_1^c \cap \cdots \cap A_{n-1}^c \cap A_n) = p(1 - p)^{n-1}, \quad n \in \mathbb{N}.$$

Na última igualdade, utilizamos a independência dos eventos $(A_n)_n$. Dizemos que X tem *distribuição geométrica de parâmetro p* , o que denotaremos por $X \sim \text{Geom}(p)$.

Exemplo 3.17. Lançar um par de dados até obter números iguais. Se X denota o número de lançamentos necessários, então $X \sim \text{Geom}(\frac{1}{6})$. \triangle

Distribuição binomial

Agora, consideremos uma repetição de n ensaios de Bernoulli com parâmetro p e seja X o número de sucessos obtidos nesses n ensaios. Para calcularmos sua função de probabilidade, observemos que se há exatamente k sucessos, então há $n - k$ fracassos. Devido à independência dos ensaios, cada uma

das sequências com n sucessos e $n - k$ fracassos ocorre com probabilidade $p^k(1 - p)^{n-k}$. Logo, a probabilidade de haver exatamente k sucessos é $p^k(1 - p)^{n-k}$ vezes o número de sequências binárias de comprimento n onde o 1 aparece k vezes e o 0 aparece $n - k$ vezes. Isto é, a função de probabilidade de X é dada por

$$p_X(k) = \binom{n}{k} p^k (1 - p)^{n-k}, \quad k = 0, 1, 2, \dots, n.$$

Neste caso, dizemos que X tem *distribuição binomial com parâmetros n e p* , o que denotamos por $X \sim \text{Binom}(n, p)$. Pelo Teorema Binomial,

$$\sum_{k=0}^n p_X(k) = [p + (1 - p)]^n = 1.$$

ou seja, p_X definida acima é de fato uma função de probabilidade.

Exemplo 3.18. Lançar um dado 4 vezes e contar o número de vezes que se obtém um número múltiplo de 3. Neste caso, $X \sim \text{Binom}(4, \frac{1}{3})$. A probabilidade de se obter um múltiplo de 3 duas vezes é dada por

$$\mathbb{P}(X = 2) = p_X(2) = \binom{4}{2} \left(\frac{1}{3}\right)^2 \left(\frac{2}{3}\right)^{4-2} = \frac{4!}{2!(4-2)!} \frac{2^2}{3^4} = \frac{8}{27}. \quad \triangle$$

Distribuição de Poisson

Consideremos agora a repetição de n ensaios de variáveis de Bernoulli, todas elas com o mesmo parâmetro p . Suponha que n é um número muito grande, e $p = \frac{\lambda}{n}$, isto é, a probabilidade de sucesso é inversamente proporcional ao número de repetições. Se X é a variável que conta o número de sucessos, então $X \sim \text{Binom}(n, \frac{\lambda}{n})$. O que podemos afirmar sobre a função de probabilidade de X quando $n \rightarrow \infty$? Para todo k fixo, vale

$$p_X(k) = \mathbb{P}(X = k) = \binom{n}{k} \left(\frac{\lambda}{n}\right)^k \left(1 - \frac{\lambda}{n}\right)^{n-k}$$

$$= \frac{\lambda^k}{k!} \left(\frac{n}{n} \frac{n-1}{n} \cdots \frac{n-k+1}{n} \right) \left(1 - \frac{\lambda}{n} \right)^{n-k} \rightarrow \frac{e^{-\lambda} \lambda^k}{k!}$$

quando $n \rightarrow \infty$.

Ademais, podemos observar que $\sum_{k=0}^{\infty} \frac{e^{-\lambda} \lambda^k}{k!} = 1$, de modo que o limite acima define uma função de probabilidade. Dizemos que uma variável aleatória Z tem *distribuição de Poisson com parâmetro λ* , o que denotaremos por $Z \sim \text{Poisson}(\lambda)$, se sua função de probabilidade é dada por

$$p_Z(k) = \frac{e^{-\lambda} \lambda^k}{k!}, \quad \text{para todo } k = 0, 1, 2, 3, \dots$$

Observe que já nos deparamos com essas variáveis aleatórias na Seção 2.3. Lá mostramos que a probabilidade de haver exatamente k “chegadas” de um Processo de Poisson de intensidade λ no intervalo $[0, t]$ é dada por $e^{-\lambda t} \frac{(\lambda t)^k}{k!}$. Isto é, o número de chegadas no intervalo $[0, t]$ tem distribuição $X \sim \text{Poisson}(\lambda t)$.

Exemplo 3.19. A padaria da esquina produz deliciosos panetones, cuja receita leva 50 uvas-passas por panetone, e a produção é feita em larga escala. Patrícia acaba de comprar um destes panetones. Qual a distribuição do número de uvas-passas do panetone adquirido por Patrícia? Se o panetone comprado por Patrícia foi produzido dentro de um lote de n panetones, temos que o número de passas de seu panetone tem distribuição $\text{Binom}(50n, \frac{1}{n})$, pois $50n$ é o número de uvas-passas utilizadas e $\frac{1}{n}$ é a probabilidade de que cada uma dessas uvas-passas esteja justamente na porção da massa que foi para o panetone de Patrícia. Porém, sabendo que a produção é feita em larga escala, o valor n se torna irrelevante e tal distribuição é bem aproximada por uma distribuição $\text{Poisson}(50)$. \triangle

3.3 Variáveis aleatórias absolutamente contínuas

Seja $f_X : \mathbb{R} \rightarrow \mathbb{R}$ uma função não-negativa e contínua por partes. Dizemos que uma variável aleatória X , sua função de distribuição F_X e sua lei \mathbb{P}_X são *absolutamente contínuas com densidade* f_X se

$$\mathbb{P}_X(B) = \mathbb{P}(X \in B) = \int_B f_X(x) \, dx$$

para todo intervalo B . Neste caso, dizemos que f_X é *uma função de densidade de probabilidade de X* , ou simplesmente *uma função de densidade de X* .

No tratamento de variáveis aleatórias que possuem densidade, tudo pode ser feito em termos de integrais. A função de distribuição de uma variável aleatória absolutamente contínua com densidade f_X é dada por

$$F_X(t) = \int_{-\infty}^t f_X(s) \, ds. \quad (3.20)$$

Exemplo 3.21. Sortear um número em $[0, 1]$. Definimos

$$f_X(x) = \begin{cases} 1, & x \in [0, 1] \\ 0, & \text{caso contrário,} \end{cases}$$

e assim

$$F_X(t) = \int_{-\infty}^t f_X(x) \, dx = \begin{cases} 0, & t \leq 0, \\ t, & 0 \leq t \leq 1, \\ 1, & t \geq 1. \end{cases} \quad \triangle$$

Se suspeitamos que uma variável aleatória possui densidade, podemos obter um candidato a densidade calculando

$$f_X(x) = \frac{d}{dx} F_X(x).$$

Depois podemos confirmar se f_X é de fato uma função densidade de X

verificando (3.20). Note que a função F_X pode não ser diferenciável em todos os pontos, como a do exemplo acima que não é diferenciável em $x = 0$ ou $x = 1$, porém o valor de f_X nestes dois pontos não importa pois não afetam o valor da integral. De fato, a função de densidade não é única. No exemplo acima, poderíamos tomar $f_X(x) = \mathbb{1}_{(0,1)}(x)$ ou $f_X(x) = \mathbb{1}_{(0, \frac{1}{2}) \cup (\frac{1}{2}, 1)}(x)$ e todas essas servem para definir a mesma função de distribuição F_X . Por certo, como nos cálculos referentes à variável aleatória X , a função f_X sempre aparece dentro de uma integral, modificar seu valor num conjunto pequeno não produz nenhum efeito perceptível.

Uma função $f(\cdot)$ satisfazendo

$$f(x) \geq 0 \quad \forall x \in \mathbb{R}, \quad \int_{-\infty}^{+\infty} f(x) \, dx = 1,$$

é chamada *função de densidade*. Note que, dada uma função de densidade f_X , sempre podemos definir uma função de distribuição F_X pela fórmula (3.20).

A seguir descreveremos alguns dos exemplos mais importantes de variáveis aleatórias absolutamente contínuas. Obviamente há outras, não descritas aqui e que também são muito importantes, sobretudo em Estatística.

Distribuição uniforme Dizemos que a variável aleatória X tem distribuição uniforme no intervalo $[a, b]$, denotado por $X \sim \mathcal{U}[a, b]$, se

$$f_X(x) = \frac{1}{b-a} \mathbb{1}_{[a,b]}(x) = \begin{cases} \frac{1}{b-a}, & x \in [a, b], \\ 0, & x \notin [a, b]. \end{cases}$$

A distribuição uniforme é a distribuição contínua mais simples. Segundo esta distribuição, a probabilidade de X estar em um dado subintervalo de $[a, b]$ depende apenas do comprimento desse subintervalo.

A distribuição uniforme pode ser pensada como o limite de uma distribuição uniforme discreta em $\{a, a + \frac{b-a}{n}, a + 2\frac{b-a}{n}, \dots, a + (n-2)\frac{b-a}{n}, a + (n-1)\frac{b-a}{n}, b\}$, quando n é muito grande.

Exemplo 3.22. O ponto de ruptura X de algum cabo numa rede elétrica de 5 km pode ser modelado por uma variável aleatória com distribuição uniforme em $[0, 5]$. Neste caso, $f_X = \frac{1}{5}\mathbb{1}_{[0,5]}$. A probabilidade de um determinado cabo se romper nos primeiros 800m da rede é igual a $\int_0^{0,8} \frac{1}{5}dx = \frac{4}{25}$. \triangle

Distribuição exponencial Dizemos que X tem distribuição exponencial com parâmetro $\lambda > 0$, denotado por $X \sim \text{Exp}(\lambda)$, se sua função de distribuição for dada por

$$F_X(x) = \begin{cases} 1 - e^{-\lambda x}, & x \geq 0, \\ 0, & x \leq 0. \end{cases}$$

A distribuição exponencial se caracteriza pela propriedade conhecida por perda de memória,

$$\mathbb{P}(X > t + s | X > s) = \frac{\mathbb{P}(X > t + s)}{\mathbb{P}(X > s)} = \frac{e^{-\lambda(t+s)}}{e^{-\lambda s}} = e^{-\lambda t} = \mathbb{P}(X > t)$$

para todos $t, s > 0$, ou seja, a variável X esquece aquilo que já “viveu”.

Essa é a distribuição adequada para modelar a vida útil de uma lâmpada, ou de inúmeros outros materiais, como óleos isolantes, porque estes deixam de funcionar não por deterioração ao longo do tempo mas sim porque um determinado evento passível de causar a falha pode ocorrer a qualquer instante com uma probabilidade muito pequena. A distribuição exponencial pode ser pensada como o limite de distribuições geométricas com pequenos intervalos de tempo. Isto é, se $X \sim \frac{1}{n} \text{Geom}(\frac{\lambda}{n})$ com n muito grande, então a distribuição de X se aproxima da distribuição exponencial com parâmetro λ .

Distribuição normal Dizemos que a variável aleatória X tem distribuição normal com parâmetros $\mu \in \mathbb{R}$ e $\sigma^2 > 0$, denotado por $X \sim \mathcal{N}(\mu, \sigma^2)$, se X

tem como densidade

$$f_X(x) = \frac{1}{\sqrt{2\pi\sigma^2}} e^{-\frac{(x-\mu)^2}{2\sigma^2}}, \quad x \in \mathbb{R}.$$

O parâmetro μ é o valor central de X , em torno do qual a distribuição é simétrica, e σ é relacionado à dispersão de X em torno de sua média, dado pela distância entre o centro e os pontos de inflexão. Nos Capítulos 5 e 6 veremos que μ e σ são a “média” e o “desvio-padrão” de X . Quando $\mu = 0$ e $\sigma^2 = 1$, a distribuição $\mathcal{N} = \mathcal{N}(0, 1)$ é chamada *normal padrão*.

Exercício 3.23. Mostre que se $X \sim \mathcal{N}(\mu, \sigma^2)$ então a variável aleatória $\frac{X-\mu}{\sigma}$ tem distribuição normal padrão. \triangle

Sendo assim, podemos determinar a função de distribuição de uma variável normal qualquer se conhecermos a função de distribuição de uma normal padrão.

Como veremos ao longo deste livro, a distribuição normal tem um papel fundamental em probabilidade, de modo que com muita frequência precisamos determinar sua função de distribuição, ou seja determinar o valor da integral

$$\Phi(z) = \frac{1}{\sqrt{2\pi}} \int_{-\infty}^z e^{-\frac{x^2}{2}} dx.$$

A integral acima não pode ser expressa como composição de funções elementares. Sendo assim, devemos calcular a integral acima por outros métodos, sem apelar ao Teorema Fundamental do Cálculo. Valores aproximados para a função $\Phi(z)$ podem ser encontrados na tabela na página 462.

Exemplo 3.24. Seja $X \sim \mathcal{N}(2, 5)$, podemos determinar $F_X(3)$ observando que $\frac{X-2}{\sqrt{5}}$ tem distribuição normal padrão, logo

$$F_X(3) = \mathbb{P}(X \leq 3) = \mathbb{P}\left(\frac{X-2}{\sqrt{5}} \leq \frac{3-2}{\sqrt{5}}\right) \approx \Phi(0,447) \approx 0,67. \quad \triangle$$

Apesar de não ser possível expressar a integral indefinida de $e^{-\frac{x^2}{2}}$ como uma

função elementar, podemos mostrar que a função f_X é de fato uma densidade. Supondo que $X = \mathcal{N}$ é uma normal padrão,

$$\begin{aligned} \left(\int_{-\infty}^{+\infty} e^{-\frac{x^2}{2}} dx \right)^2 &= \int_{-\infty}^{+\infty} e^{-\frac{x^2}{2}} dx \int_{-\infty}^{+\infty} e^{-\frac{y^2}{2}} dy = \int_{-\infty}^{+\infty} \int_{-\infty}^{+\infty} e^{-\frac{x^2+y^2}{2}} dx dy \\ &= \int_0^{2\pi} \int_0^{+\infty} r e^{-\frac{r^2}{2}} dr d\theta = 2\pi \left[-e^{-\frac{r^2}{2}} \right]_0^{\infty} = 2\pi, \end{aligned}$$

onde realizamos uma mudança de coordenadas cartesianas para polares. Para o caso $X = \mathcal{N}(\mu, \sigma^2)$, basta fazer a mudança de variáveis $x - \mu = \sigma u$, para reduzirmos ao caso da normal padrão.

Outras distribuições contínuas Veremos agora outras distribuições contínuas de grande importância em aplicações, e que aparecerão em alguns exemplos e exercícios ao longo do livro.

Dizemos que X tem *distribuição Gama com parâmetros* $\alpha > 0$ e $\beta > 0$, notação $X \sim \text{Gama}(\alpha, \beta)$, se admite função densidade dada por

$$f_X(x) = c \beta^\alpha x^{\alpha-1} e^{-\beta x} \mathbb{1}_{(0,+\infty)}(x)$$

onde $c = c(\alpha) = 1 / \int_0^{+\infty} x^{\alpha-1} e^{-x} dx$.

Dizemos que X tem *distribuição de Cauchy com parâmetros* $a \in \mathbb{R}$ e $b > 0$, notação $X \sim \text{Cauchy}(a, b)$, se X possui densidade dada por

$$f_X(x) = \frac{b}{\pi[b^2 + (x - a)^2]}.$$

Dizemos que X tem *distribuição de Laplace com parâmetros* $a \in \mathbb{R}$ e $b > 0$, notação $X \sim \text{Laplace}(a, b)$, se X possui densidade dada por

$$f_X(x) = \frac{1}{2b} e^{-\frac{|x-a|}{b}}.$$

Dizemos que uma X tem *distribuição de Gumbel* se sua função de distribuição

é dada por

$$F_X(x) = e^{-e^{-x}}.$$

Dizemos que X tem *distribuição Beta com parâmetros $a, b > 0$* , notação $X \sim \text{Beta}(a, b)$, se X possui densidade dada por

$$f_X(x) = c x^{a-1} (1-x)^{b-1} \mathbb{1}_{(0,1)}(x),$$

onde $c = c(a, b) = 1 / \int_0^1 x^{a-1} (1-x)^{b-1} dx$.

3.4 Distribuição condicional dado um evento

Esta seção será necessária para o estudo da esperança condicional a ser desenvolvido no Capítulo 11 e, exceto por isso, pode ser omitida. Dado um evento A com $\mathbb{P}(A) > 0$, definimos a *função de distribuição condicional de X dado A* como

$$F_{X|A}(t) = \mathbb{P}(X \leq t | A), \quad t \in \mathbb{R}.$$

Exemplo 3.25. Considere dois lançamentos de uma moeda honesta e seja X o número de “caras” obtidas. Neste caso,

$$F_X(t) = \begin{cases} 0, & t < 0, \\ \frac{1}{4}, & 0 \leq t < 1, \\ \frac{3}{4}, & 1 \leq t < 2, \\ 1, & t \geq 2. \end{cases}$$

Seja A o evento “pelo menos uma moeda deu cara”. Temos

$$F_{X|A}(t) = \begin{cases} 0, & t < 1, \\ \frac{2}{3}, & 1 \leq t < 2, \\ 1, & t \geq 2. \end{cases} \quad \triangle$$

Exemplo 3.26. Se X é uma variável aleatória com distribuição $X \sim \mathcal{U}[0, 1]$ e $A = \{X \leq \frac{1}{2}\}$, então a função de distribuição condicional de X dado A é

$$F_{X|A}(x) = \mathbb{P}(X \leq x|A) = \begin{cases} 0, & x \leq 0, \\ 2x, & 0 \leq x \leq \frac{1}{2}, \\ 1, & x \geq \frac{1}{2}. \end{cases} \quad \triangle$$

Se X é discreta, definimos a *função de probabilidade condicional de X dado A* , denotada por $p_{X|A}(\cdot)$, como a função de probabilidade associada à função de distribuição $F_{X|A}(\cdot)$.

Exemplo 3.27. No Exemplo 3.25,

$$p_{X|A}(x) = \begin{cases} \frac{2}{3}, & x = 1, \\ \frac{1}{3}, & x = 2, \\ 0, & \text{caso contrário.} \end{cases} \quad \triangle$$

Se X tem densidade f_X , podemos tomar

$$f_{X|A}(x) = \frac{d}{dx} F_{X|A}(x)$$

e, caso $f_{X|A}$ seja integrável e satisfaça

$$F_{X|A}(x) = \int_{-\infty}^x f_{X|A}(s) ds \quad \text{para todo } x \in \mathbb{R},$$

dizemos que $f_{X|A}$ é uma *função de densidade condicional de X dado A* . A função de densidade condicional sempre existe, porém a prova deste fato exige ferramentas mais avançadas (ver Seção 11.5), e a função $f_{X|A}$ pode não ser Riemann-integrável (ver Seção 5.5.4).

Exemplo 3.28. No Exemplo 3.26, uma densidade condicional é dada por

$$f_{X|A}(x) = \frac{d}{dx} F_{X|A}(x) = 2 \mathbf{1}_{[0, \frac{1}{2}]},$$

cuja integral de fato coincide com $F_{X|A}$. \triangle

3.5 Distribuições mistas e singulares

Uma variável aleatória discreta X vive em um conjunto enumerável de pontos, cada um dos quais tem probabilidade de ocorrência positiva. Nesse contexto, tudo se expressa em termos de somatórios ponderados pela função p_X .

Uma variável aleatória X com densidade f_X vive em \mathbb{R} , sua distribuição em cada intervalo $(x, x + \Delta x]$ é similar à de uma distribuição uniforme em $(x, x + \Delta x]$, exceto que seu peso é ponderado por um fator $f_X(x) \cdot \Delta x$. Nesse contexto, tudo se expressa em termos de integrais do elemento infinitesimal de probabilidade dado por $f_X(x) dx$.

Existem variáveis aleatórias que são misturas dos tipos discreto e absolutamente contínuo. Mais precisamente, dizemos que X é uma *variável aleatória mista com componentes discreta com função de probabilidade p_X e absolutamente contínua com densidade f_X* se

$$\mathbb{P}(a < X \leq b) = \sum_{a < x \leq b} p_X(x) + \int_a^b f_X(x) dx, \quad a < b.$$

Neste caso, suas propriedades serão determinadas por combinações de somatórios e integrais. Formalmente, se X é absolutamente contínua com densidade f_X , podemos dizer que X é mista tomando $p_X = 0$; analogamente se X é discreta com função p_X , X é um caso particular de variável mista com $f_X = 0$.

Exemplo 3.29. Sejam $X \sim \text{Exp}(\lambda)$ e $Y = \min(X, 1)$. Neste caso, Y é uma variável aleatória mista com função de distribuição dada por

$$F_Y(y) = \begin{cases} 0, & y < 0, \\ 1 - e^{-\lambda y}, & 0 \leq y < 1, \\ 1. & 1 \leq y. \end{cases}$$

Logo, as componentes discreta e absolutamente contínua de Y são as funções

$$p_Y(y) = \begin{cases} e^{-\lambda}, & y = 1, \\ 0, & y \neq 1, \end{cases} \quad f_Y(y) = \begin{cases} \lambda e^{-\lambda y}, & y \in (0, 1), \\ 0, & y \notin (0, 1). \end{cases} \quad \triangle$$

Há uma outra categoria bastante curiosa de variáveis aleatórias. São variáveis aleatórias cuja função de distribuição é contínua, logo não há uma componente discreta, mas tampouco possuem função de densidade, ou seja não há componente absolutamente contínua. Tais variáveis são ditas *singulares*.

Exemplo 3.30 (Distribuição de Cantor). Começamos definindo uma função $\Psi : (0, 1] \rightarrow (0, 1]$ com propriedades diabólicas (que será uma “inversa” da chamada “função de Cantor”). Dado $x \in (0, 1]$, escreva $x = (0, x_1 x_2 x_3 x_4 \dots)_2$ na base 2, ou seja, cada dígito x_j é um número em $\{0, 1\}$. Caso x tenha mais de uma expansão binária, escolhemos a que termina com infinitos dígitos “1” ao invés da expansão finita. O número $y = \Psi(x)$ é definido tomando-se $y_j = 2x_j \in \{0, 2\}$, e escrevendo-se $y = (0, y_1 y_2 y_3 y_4 \dots)_3$ na base 3.

Afirmamos que Ψ é injetiva. Com efeito, suponha que $0 < x < x' \leq 1$. Então existe k tal que $x_k = 0$, $x'_k = 1$, e $x_j = x'_j$ para todo $j < k$. Ademais, existe $l > k$ tal que $x'_l = 1$, pois não temos expansões finitas. Vamos mostrar que $y < y'$, onde $y = \Psi(x)$ e $y' = \Psi(x')$. Como justificado acima, $y_j = y'_j$ para $j < k$, $y_k = 0$, $y'_k = 2$, e $y'_l = 2$. Daí segue que $y' > y$, provando a injetividade. Afirmamos também que Ψ não toma valores em $(\frac{1}{3}, \frac{2}{3}]$. Com efeito, os números $y \in (\frac{1}{3}, \frac{2}{3}]$ são exatamente os números com primeiro dígito $y_1 = 1$ (note que $\frac{1}{3} = (0.0222\dots)_3$ e $\frac{2}{3} = (0.1222\dots)_3$). Logo, a imagem de Ψ está contida em um conjunto de comprimento $\frac{2}{3}$. Da mesma forma, Ψ não toma valores em $(\frac{1}{9}, \frac{2}{9}]$ ou $(\frac{7}{9}, \frac{8}{9}]$, pois estes são os números cujos dois primeiros dígitos são 01 e 21. Logo, a imagem de Ψ , que denotamos $C \subseteq (0, 1]$, está contida em um conjunto de comprimento $(\frac{2}{3})^2$. Procedendo desta maneira, vemos que a C está contido em um conjunto de comprimento $(\frac{2}{3})^k$ para qualquer k e, portanto, C tem “comprimento” zero.

Agora seja X uma variável aleatória com distribuição uniforme em $(0, 1]$, e

tome $Y = \Psi(X)$. Como X é contínua e Ψ é injetiva, $\mathbb{P}(Y = y) = 0$ para qualquer y , ou seja, Y é contínua. Entretanto, $\mathbb{P}(Y \in C) = 1$, e C tem “comprimento” zero, logo Y não pode ter densidade. \triangle

Vemos que a variável aleatória Y do exemplo acima ocupa um lugar estranho entre as discretas e as absolutamente contínuas. Por um lado, nenhum ponto em particular tem probabilidade positiva de ocorrer, isto é $p_Y = 0$, o que afasta operações com somatórios como no caso discreto. Por outro lado, essa variável aleatória vive em um conjunto pequeno da reta (mais precisamente em C , que tem “comprimento” zero), não sendo aplicável tampouco o uso de integrais em $f(x) dx$ para nenhuma f .

3.6 Existência e unicidade de distribuições

Para o leitor que passou pela Seção 1.4, continuamos colecionando ferramentas que serão necessárias para estudar os capítulos mais avançados.

Aqui provamos os Teoremas 3.9 e 3.15. No caminho para a prova daquele, vamos definir π -sistemas e enunciar um teorema sobre unicidade de medidas, que será utilizado em outros capítulos.

Definição 3.31 (π -sistemas). Uma classe \mathcal{C} de conjuntos é chamado um π -sistema se é fechada por interseções, isto é, $A \cap B \in \mathcal{C}$ para todos $A, B \in \mathcal{C}$.

Teorema 3.32 (Unicidade de medidas). *Sejam μ e ν medidas num espaço mensurável (Ω, \mathcal{F}) , e seja $\mathcal{C} \subseteq \mathcal{F}$ um π -sistema. Suponha que $\mu(A_n) = \nu(A_n) < \infty$ para alguma sequência $A_n \uparrow \Omega$ de conjuntos em \mathcal{C} . Se $\mu = \nu$ em \mathcal{C} , então $\mu = \nu$ em $\sigma(\mathcal{C})$.*

A demonstração será dada no Apêndice D.1.

Demonstração do Teorema 3.9. Seja $\mathcal{C} = \{(-\infty, b] : b \in \mathbb{R}\}$ a classe de todos os intervalos fechados e semi-infinitos à esquerda. Observe que \mathcal{C} é um

π -sistema e, pela Observação 1.42, $\sigma(\mathcal{C}) = \mathcal{B}$. Por hipótese,

$$\mathbb{P}_X((-\infty, b]) = F_X(b) = F_Y(b) = \mathbb{P}_Y((-\infty, b]),$$

portanto $\mathbb{P}_X(A) = \mathbb{P}_Y(A)$, para todo $A \in \mathcal{C}$. Além disso, a sequência $(A_n)_n$ dada por $A_n = (-\infty, n]$, satisfaz $A_n \in \mathcal{C}$ e $\mathbb{P}_X(A_n) = \mathbb{P}_Y(A_n) < \infty$ para todo $n \in \mathbb{N}$ e $A_n \uparrow \mathbb{R}$. Pelo Teorema 3.32, segue que $\mathbb{P}_X(C) = \mathbb{P}_Y(C)$, para todo $C \in \sigma(\mathcal{C})$, o que conclui a prova. \square

Concluimos esta breve seção com uma demonstração da existência de uma variável aleatória com distribuição $\mathcal{U}[0, 1]$.

Demonstração do Teorema 3.15. Recordemos que existe uma medida m em $(\mathbb{R}, \mathcal{B})$ tal que $m((a, b]) = b - a$ para todos $a < b \in \mathbb{R}$, como enunciado no Teorema 1.51. Tome $\Omega = \mathbb{R}$, $\mathcal{F} = \mathcal{B}$ e $\mathbb{P} = m|_{[0, 1]}$ e $X(\omega) = \omega$. Então $F_U(u) = m([0, 1] \cap (-\infty, u]) = u$ para tudo $u \in [0, 1]$. \square

3.7 Funções mensuráveis

Esta seção é uma continuação da anterior. Aqui vamos introduzir o conceito de funções mensuráveis e estudar suas principais propriedades.

Definição 3.33 (Função mensurável). Sejam $(\Omega_1, \mathcal{F}_1)$ e $(\Omega_2, \mathcal{F}_2)$ dois espaços mensuráveis. Dizemos que uma função $f : \Omega_1 \rightarrow \Omega_2$ é $\mathcal{F}_1/\mathcal{F}_2$ -mensurável se $f^{-1}(A) \in \mathcal{F}_1$ para todo $A \in \mathcal{F}_2$. Quando as σ -álgebras \mathcal{F}_1 e \mathcal{F}_2 estiverem claras no contexto, podemos reduzir ‘ $\mathcal{F}_1/\mathcal{F}_2$ -mensurável’ para apenas ‘mensurável’ ou ‘ \mathcal{F}_1 -mensurável’.

Como é de se esperar, a composição de funções mensuráveis é mensurável.

Lema 3.34 (Composição de funções mensuráveis). *Sejam $(\Omega_1, \mathcal{F}_1)$, $(\Omega_2, \mathcal{F}_2)$ e $(\Omega_3, \mathcal{F}_3)$ espaços mensuráveis e $f : \Omega_1 \rightarrow \Omega_2$, $g : \Omega_2 \rightarrow \Omega_3$ funções mensuráveis. Então, a composição $g \circ f$ é mensurável.*

Demonstração. Seja $A \in \mathcal{F}_3$. Como g é mensurável, $g^{-1}(A) \in \mathcal{F}_2$. Como f é mensurável, $(g \circ f)^{-1}(A) = f^{-1}(g^{-1}(A)) \in \mathcal{F}_1$. Como isso vale para todo $A \in \mathcal{F}_3$, concluímos que $g \circ f$ é mensurável. \square

Dado um segundo espaço $(\Omega_2, \mathcal{F}_2)$ e uma função $f : \Omega_1 \rightarrow \Omega_2$, podemos construir uma σ -álgebra em Ω_1 induzida por f .

Definição 3.35 (σ -álgebra gerada por uma função f). Sejam Ω_1 um conjunto não-vazio, $(\Omega_2, \mathcal{F}_2)$ um espaço mensurável e $f : \Omega_1 \rightarrow \Omega_2$. A σ -álgebra gerada por f em Ω_1 é definida como $\sigma(f) = \{f^{-1}(A) : A \in \mathcal{F}_2\}$. Observe que $\sigma(f)$ é de fato uma σ -álgebra. Veja que a notação $\sigma(f)$ não deixa explícito o fato de que $\sigma(f)$ também depende de \mathcal{F}_2 .

Definição 3.36. Se f é uma função mensurável de um espaço mensurável $(\Omega_1, \mathcal{F}_1, \mu)$ a $(\Omega_2, \mathcal{F}_2)$, podemos definir a *medida push-forward* $f_*\mu$ em $(\Omega_2, \mathcal{F}_2)$ dada por $(f_*\mu)(A) = \mu(\{\omega \in \Omega_1 : f(\omega) \in A\}) = \mu(f^{-1}(A))$.

Muitas vezes, é inconveniente verificar que $f^{-1}(A) \in \mathcal{F}_1$ para todo $A \in \mathcal{F}_2$, e o lema abaixo simplifica essa tarefa.

Lema 3.37 (Critério de mensurabilidade). *Sejam $(\Omega_1, \mathcal{F}_1)$ e $(\Omega_2, \mathcal{F}_2)$ espaços mensuráveis, $\mathcal{E} \subseteq \mathcal{F}_2$ uma classe de conjuntos que gera \mathcal{F}_2 , e $f : \Omega_1 \rightarrow \Omega_2$. Se $f^{-1}(A) \in \mathcal{F}_1$ para todo $A \in \mathcal{E}$, então f é mensurável.*

Demonstração. É suficiente mostrar que a coleção \mathcal{G} dada por

$$\mathcal{G} = \{A \subseteq \Omega_2 : f^{-1}(A) \in \mathcal{F}_1\}$$

é uma σ -álgebra em Ω_2 , pois por hipótese $\mathcal{E} \subseteq \mathcal{G}$, de forma que $\mathcal{F}_2 = \sigma(\mathcal{E}) \subseteq \mathcal{G}$. Primeiro, $\Omega_2 \in \mathcal{G}$, pois $f^{-1}(\Omega_2) = \Omega_1 \in \mathcal{F}_1$. Segundo, dado $A \in \mathcal{G}$, como $f^{-1}(\Omega_2 \setminus A) = \Omega_1 \setminus f^{-1}(A) \in \mathcal{F}_1$, segue que $A^c \in \mathcal{G}$. Terceiro, dados $A_1, A_2, \dots \in \mathcal{G}$ como $f^{-1}(\cup_{j=1}^{\infty} A_j) = \cup_{j=1}^{\infty} f^{-1}(A_j) \in \mathcal{F}_1$, segue que $\cup_{j=1}^{\infty} A_j \in \mathcal{G}$. Portanto, \mathcal{G} é σ -álgebra sobre Ω_2 . \square

Lema 3.38 (Funções contínuas). *Toda $f : \mathbb{R}^n \rightarrow \mathbb{R}$ contínua é mensurável.*

Demonstração. Tomamos \mathcal{E} como a classe dos conjuntos abertos em \mathbb{R} . Seja $B \in \mathcal{E}$. Pelo Teorema A.13, $f^{-1}(B)$ é aberto, logo $f^{-1}(B) \in \mathcal{B}(\mathbb{R}^n)$. Como $\sigma(\mathcal{E}) = \mathcal{B}(\mathbb{R})$, pelo Lema 3.37, f é mensurável. \square

Lema 3.39 (Funções monótonas). *Toda $f : \mathbb{R} \rightarrow \mathbb{R}$ monótona é mensurável.*

Demonstração. Tomamos \mathcal{E} como a classe dos intervalos (possivelmente vazios) de \mathbb{R} . Como a pré-imagem de um intervalo por uma função monótona é sempre um intervalo, $f^{-1}(B) \in \mathcal{E} \subseteq \mathcal{B}$ para todo $B \in \mathcal{E}$. Pela Observação 1.42, $\sigma(\mathcal{E}) = \mathcal{B}$. Logo, pelo Lema 3.37, f é mensurável. \square

Agora iremos considerar funções tomando valores na reta estendida.

Definição 3.40 (Funções borelianas estendidas). Seja (Ω, \mathcal{F}) um espaço mensurável. Se $f : \Omega \rightarrow \mathbb{R}$ é uma função mensurável, então f é chamada *função boreliana*. Similarmente, uma função mensurável tomando valores em $\overline{\mathbb{R}}$ é chamada uma *função boreliana estendida*.

Uma função boreliana é um caso particular de uma função boreliana estendida que nunca toma valores infinitos. Assim sendo, propriedades de funções borelianas estendidas também valem para funções borelianas.

Lema 3.41. *Seja (Ω, \mathcal{F}) um espaço mensurável e $f : \Omega \rightarrow \overline{\mathbb{R}}$. Se $\{f \leq a\} \in \mathcal{F}$ para todo $a \in \mathbb{R}$, então f é uma função boreliana estendida.*

Demonstração. Sabemos que $\{[-\infty, a] : a \in \mathbb{R}\}$ gera $\mathcal{B}(\overline{\mathbb{R}})$. Portanto, a implicação segue diretamente do Lema 3.37. \square

Como espaços de probabilidade são espaços de medida, podemos reformular conceitos envolvendo variáveis aleatórias na linguagem desta seção. Pelo lema acima, uma função $X : \Omega \rightarrow \mathbb{R}$ é uma variável aleatória se e somente se é uma função boreliana. Ademais, a distribuição de X , que denotamos \mathbb{P}_X é o push-forward da medida \mathbb{P} pela função X , ou seja, $\mathbb{P}_X = X_*\mathbb{P}$.

Definição 3.42 (Variável aleatória estendida). Dado um espaço de probabilidade (Ω, \mathcal{F}, P) , dizemos que $X : \Omega \rightarrow \overline{\mathbb{R}}$ é uma *variável aleatória estendida* se X é uma função boreliana estendida. Neste caso, definimos a distribuição de X como $\mathbb{P}_X = X_*\mathbb{P}$.

Observe que variável aleatória é uma variável aleatória estendida que nunca toma os valores $\pm\infty$.

Uma propriedade que vamos usar inúmeras vezes, quase sempre de forma implícita, é que a mensurabilidade é preservada por vários tipos de operações básicas com funções. As propriedades enunciadas abaixo serão usadas em capítulos subsequentes sem que se faça referência explícita.

As provas dos lemas abaixo encontram-se no Apêndice D.3.

Lema 3.43 (Comparação de funções). *Sejam (Ω, \mathcal{F}) um espaço mensurável e $f, g : \Omega \rightarrow \overline{\mathbb{R}}$ funções borelianas estendidas. Então, os subconjuntos de Ω dados por $\{f < g\}$, $\{f \leq g\}$, $\{f = g\}$, e $\{f \neq g\}$ pertencem à σ -álgebra \mathcal{F} .*

Somas e produtos de funções borelianas f e g definidas em um espaço mensurável (Ω, \mathcal{F}) também são borelianas. No caso de f e g serem funções borelianas estendidas, temos que impor alguma restrição sobre valores infinitos. Mais precisamente, $f + g$ é uma função boreliana estendida se ela é bem definida, isto é, se não existe $\omega \in \Omega$ para o qual $f(\omega) = -g(\omega) = \pm\infty$.

Lema 3.44 (Somas e produtos). *Seja (Ω, \mathcal{F}) um espaço mensurável e $f, g : \Omega \rightarrow \overline{\mathbb{R}}$ funções borelianas estendidas. Então $f \cdot g$ é uma função boreliana estendida. Se $f + g$ está bem definida para todo ω , então é uma função boreliana estendida.*

Lema 3.45 (Máximo e mínimo). *Sejam (Ω, \mathcal{F}) um espaço mensurável e $f, g : \Omega \rightarrow \overline{\mathbb{R}}$ funções borelianas estendidas. Então $\max\{f, g\}$ e $\min\{f, g\}$ são funções borelianas estendidas.*

Operações de limite também preservam mensurabilidade.

Lema 3.46 (Supremos e limites de funções). *Sejam (Ω, \mathcal{F}) um espaço mensurável e $(f_n)_{n \geq 1}$ uma sequência de funções borelianas estendidas. Então, as funções $\sup_{n \geq 1} f_n$, $\inf_{n \geq 1} f_n$, $\limsup_n f_n$, $\liminf_n f_n$ são borelianas estendidas. Em particular, se definimos a função*

$$f(\omega) = \begin{cases} \lim_n f_n(\omega), & \text{caso so limite exista,} \\ 0, & \text{caso contrário,} \end{cases}$$

então f é uma função boreliana estendida.

Corolário 3.47. *Sejam (Ω, \mathcal{F}) um espaço mensurável e $(f_n)_{n \geq 1}$ uma sequência de funções borelianas estendidas não-negativas. Então $\sum_n f_n$ é uma função boreliana estendida não-negativa.*

3.8 Exercícios

§3.1

1. Seja $F(x)$ a função

$$F(x) = \begin{cases} 0, & x < 0, \\ x + \frac{1}{2}, & 0 \leq x \leq \frac{1}{2} \\ 1, & x > \frac{1}{2}. \end{cases}$$

Mostre que F é de fato uma função de distribuição e calcule:

- (a) $\mathbb{P}(X > \frac{1}{8})$
- (b) $\mathbb{P}(\frac{1}{8} < X < \frac{2}{5})$
- (c) $\mathbb{P}(X < \frac{2}{5} \mid X > \frac{1}{8})$

2. Encontre os valores das constantes reais α e β de modo que a função F abaixo seja função de distribuição de alguma variável aleatória definida em

algum espaço de probabilidade:

$$F(x) = \begin{cases} 0, & x \leq 0, \\ \alpha + \beta e^{-x^2/2}, & x > 0. \end{cases}$$

3. Sejam X, Y, Z e W variáveis aleatórias onde X é uma variável qualquer, $Y = \max\{0, X\}$, $Z = \max\{0, -X\}$ e $W = |X|$. Escreva as funções de distribuição F_Y, F_Z e F_W em termos da função de distribuição F_X .

4. Mostre que, se $\mathbb{P}(X = Y) = 1$, então $F_X = F_Y$.

5. Seja X uma variável aleatória. Prove que \mathbb{P}_X é uma medida de probabilidade.

6. Seja X uma variável aleatória contínua e F_X sua função de distribuição. Considere $Y = F_X(X)$. Mostre que Y tem distribuição uniforme em $(0, 1)$,

- (a) supondo que F_X é contínua e estritamente crescente,
- (b) supondo apenas que F_X é contínua.

§3.2

7. Seja X o número de caras obtidas em 4 lançamentos de uma moeda honesta. Escreva a função de probabilidade e a função de distribuição de X e esboce os seus gráficos.

8. Seja X uma variável aleatória com função de probabilidade $\mathbb{P}(X = x) = cx^2$, onde c é uma constante e $x = 1, 2, 3, 4, 5$.

- (a) Encontre $p_X(x)$ e $F_X(x)$.
- (b) Calcule $\mathbb{P}(X \text{ é ímpar})$.

9. Temos duas urnas, em cada uma delas há cinco bolas numeradas de 1 a 5. Retiramos, sem reposição, 3 pares de bolas, onde cada par é sempre formado por uma bola de cada urna. Seja X o quantidade de pares de bolas com o mesmo número. Determine a função de probabilidade de X e desenhe o gráfico de sua função de distribuição.

10. Seja $X \sim \text{Geom}(p)$, mostre que $\mathbb{P}(X \geq m + n | X > n) = \mathbb{P}(X \geq m)$ para todos m e n inteiros não-negativos.

11. Durante a repetição de um ensaio de Bernoulli com probabilidade de sucesso p em cada tentativa, seja Z a variável aleatória que conta o número de tentativas até obtermos o terceiro sucesso, inclusive. Determine a função de probabilidade de Z .

12 (Fósforos de Banach). Um indivíduo tem duas caixas de fósforos, uma em cada bolso e cada uma delas com n palitos. Toda vez que ele precisa de um fósforo, ele escolhe aleatoriamente uma das caixas, retira um palito e a devolve para o mesmo bolso. Ele percebe que uma caixa está vazia somente quando vai pegar um palito e não há nenhum nesta caixa. Seja X o número de palitos na outra caixa quando ele percebe que a primeira está vazia. Mostre que

$$p_X(k) = \frac{1}{2^{2n-k}} \binom{2n-k}{n-k}.$$

13. Considere um jogo de dominó para crianças que contém 28 peças distintas, sendo cada metade de peça é pintada com uma das 7 cores do arco-íris. Júlia recebe 2 peças escolhidas ao acaso. Seja X o número de cores distintas que Júlia observa entre as peças recebidas. Calcule p_X e faça o gráfico de F_X .

14. Sejam $X : \Omega \rightarrow \mathbb{R}$ uma variável aleatória que assume finitos valores, denotados x_1, \dots, x_n . Para cada $k = 1, \dots, n$ seja $p_k = p_X(x_k)$, onde p_X é a função de probabilidade de X . Definimos a *entropia de X* , $H(X)$, como

$$H(X) = - \sum_{k=1}^n p_k \log p_k,$$

com a convenção que $0 \cdot \log 0 = 0$.

- (a) Calcule $H(X)$, se X é a variável degenerada em x_j , ou seja, $p_X(x_k) = \delta_j(k)$ para todo $k = 1, \dots, n$.
- (b) Seja $X \sim \text{Binom}(3, \frac{1}{2})$. Calcule $H(X)$.

- (c) Determine o vetor $p^* = (p_1^*, \dots, p_n^*)$ que resulta e máxima entropia. Para isso pode-se usar a técnica do multiplicador de Lagrange: sujeito à restrição $p_1 + \dots + p_n = 1$, o ponto p^* que maximiza H é o ponto em que $\nabla H(p)$ é ortogonal à superfície $\{p : p_1 + \dots + p_n = 1\}$.
- (d) Observando que $H(X) \geq 0$ para toda variável X e levando em consideração os itens anteriores, tente interpretar o significado de entropia de uma variável aleatória.

§3.3

15. Seja X uma variável aleatória absolutamente contínua com função densidade f_X par, isto é, $f_X(x) = f_X(-x)$ para todo $x \in \mathbb{R}$. Mostre que

- (a) $F_X(x) = 1 - F_X(-x)$.
 (b) $F_X(0) = \frac{1}{2}$.
 (c) $\mathbb{P}(-x < X < x) = 2F_X(x) - 1$, $x > 0$.
 (d) $\mathbb{P}(X > x) = \frac{1}{2} - \int_0^x f_X(t)dt$, $x > 0$.

16. Se $f(t) = c \, 3t^2 e^{-t} \mathbb{1}_{[0,2]}(t)$ é função de densidade, ache c .

17. Esboce os gráficos das funções de densidade e distribuição de uma variável aleatória com distribuição normal de parâmetros μ e σ^2 .

18. Seja $X \sim \mathcal{U}[1, 2]$. Qual a distribuição de $Y = 3 - 2X$?

19. Seja $X \sim \text{Exp}(\lambda)$ e $N = \lceil X \rceil$. Encontre a distribuição de N .

20. Uma pesquisa eleitoral determinou que a intenção de voto do Candidato A é de 46,10%, com margem de erro de 3,00%, para mais ou para menos. Ou seja, a intenção de voto desse candidato tem distribuição normal com média $\mu = 46,10\%$ e desvio-padrão $\sigma = 3,00\%$. Calcule a probabilidade de o Candidato A ter mais da metade das intenções de voto.

21.

- (a) Se $U \sim \mathcal{U}[0, 1]$, encontre uma densidade de $\sqrt{5} \tan(\pi U - \frac{\pi}{2})$.
 (b) Se $X \sim \text{Laplace}(0, 1)$, encontre uma densidade de $|X|$.

(c) Se $Z \sim \mathcal{N}(0, 1)$, encontre uma densidade de Z^2 .

22. Sejam X uma variável aleatória absolutamente contínua com densidade $f_X(x)$, e $Y = aX + b$ com $a > 0$ e $b \in \mathbb{R}$. Mostre que Y é absolutamente contínua com densidade $f_Y(y) = \frac{1}{a}f_X(\frac{y-b}{a})$.

23. Mostre que, se $X \sim \text{Cauchy}(0, 1)$, então $a + bX \sim \text{Cauchy}(a, b)$.

§3.4

24. Se $X \sim \text{Exp}(\lambda)$, mostre que, para todo $s > 0$, a distribuição condicional de X dado que $X > s$ é igual à distribuição de $X + s$.

25. Se Z tem distribuição geométrica, mostre que a distribuição condicional de Z dado que $Z > n$ é igual à distribuição de $Z + n$ para todo $n \in \mathbb{N}$.

26. Seja $X \sim \mathcal{U}[a, b]$. Considere o evento $A = \{c \leq X \leq d\}$, onde $c < d \in \mathbb{R}$. Determine a função de distribuição condicional $F_{X|A}$.

27. Sejam $X \sim \text{Exp}(\lambda)$ e $Y = 5X$, ache a função de distribuição de Y . Ache a função de distribuição condicional e uma densidade condicional de Y dado que $\{X > 3\}$.

§3.5

28. Sejam $X \sim \text{Exp}(1)$ e $Y = \max\{X, 1\}$. Encontre as funções de distribuição, de probabilidade e de densidade de Y .

29. Seja $X \sim \mathcal{U}[0, 3]$. Esboce o gráfico da função de distribuição de $Y = \min(2X, X^2)$. A variável Y tem função de densidade?

30. Sejam $X \sim \mathcal{U}[0, 2]$ e $Y = \max(\lceil X \rceil, \frac{3}{2}X, X^2)$, onde $\lceil z \rceil$ é o menor inteiro maior que ou igual a z .

(a) Esboce o gráfico da função de distribuição de Y .

(b) Encontre as funções de probabilidade e de densidade de Y .

31. Seja Y a variável aleatória definida no Exemplo 3.30.

- (a) Quanto vale $\mathbb{P}(Y \in (\frac{1}{8}, \frac{6}{7}))$?
- (b) Esboce o gráfico de sua função de distribuição F_Y .
- (c) Determine a função de distribuição $F_{2Y|\{Y \leq \frac{1}{3}\}}$.
- (d) Determine a função de distribuição $F_{2^n Y|\{Y \leq \frac{1}{3^n}\}}$ para todo $n \in \mathbb{N}$. Tente interpretar este exercício geometricamente, em termos do gráfico da função de distribuição.

§3.6

- 32.** Dê um exemplo de pelo menos sete π -sistemas de \mathbb{R} que geram $\mathcal{B}(\mathbb{R})$.
- 33.** Em $\Omega = \{1, 2, 3, 4\}$, dê um exemplo de medidas de probabilidade \mathbb{P} e \mathbf{P} tais que a classe $\mathcal{D} = \{A \in \mathcal{P}(\Omega) : \mathbb{P}(A) = \mathbf{P}(A)\}$ gera $\mathcal{P}(\Omega)$ mas não é um π -sistema.

§3.7

- 34.** Sejam (Ω, \mathcal{F}) e (Ω', \mathcal{F}') espaços mensuráveis. Mostre que
- (a) A função identidade $I : \Omega \rightarrow \Omega$, dada por $I(\omega) = \omega$ é \mathcal{F}/\mathcal{F} -mensurável.
 - (b) Se $\mathcal{F} = \mathcal{P}(\Omega)$, então toda função $f : \Omega \rightarrow \Omega'$ é \mathcal{F}/\mathcal{F}' -mensurável.
 - (c) Se $\mathcal{F}' = \{\emptyset, \Omega'\}$, então toda função $f : \Omega \rightarrow \Omega'$ é \mathcal{F}/\mathcal{F}' -mensurável.
 - (d) Se $\Omega' = \{0, 1\}$, $\mathcal{F}' = \mathcal{P}(\Omega')$ e $A \subseteq \Omega$, então a função indicadora $\mathbb{1}_A : \Omega \rightarrow \Omega'$ é \mathcal{F}/\mathcal{F}' -mensurável se, e somente se A é \mathcal{F} -mensurável.
- 35.** Sejam X uma variável aleatória e $g : \mathbb{R} \rightarrow \mathbb{R}$ uma função boreliana. Defina $Y(\omega) = g(X(\omega))$. Mostre que Y é uma variável aleatória.
- 36.** Sejam A e B conjuntos mensuráveis em Ω e $f : \Omega \rightarrow \mathbb{R}$ a função $f = a\mathbb{1}_A + b\mathbb{1}_B$ com $a, b > 0$. Descreva $\sigma(f)$ explicitamente.
- 37.** Sejam μ a medida de contagem em \mathbb{Z} e $f(x) = |x|$. Descreva a medida $f_*\mu$ explicitamente.
- 38.** Sejam X uma variável aleatória, $g : \mathbb{R} \rightarrow \mathbb{R}$ uma função boreliana e $Y(\omega) = g(X(\omega))$. Mostre que $\sigma(Y) \subseteq \sigma(X)$.

39. Seja $(X_n)_n$ uma sequência de variáveis aleatórias estendidas. Defina

$$X = \begin{cases} \lim_n X_n, & \text{se o limite existe,} \\ 0, & \text{caso contrário.} \end{cases}$$

Mostre que X é uma variável aleatória estendida.

40. Considere o espaço mensurável $([0, 1], \mathcal{B}([0, 1]))$, e defina as funções $f, g : [0, 1] \rightarrow \{0, 1, 2, 3\}$ por

$$f(\omega) = \begin{cases} 1, & \omega \in [0, \frac{1}{4}] \\ 2, & \omega \in (\frac{1}{4}, \frac{1}{2}] \\ 3, & \omega \in (\frac{1}{2}, 1] \end{cases} \quad , \quad g(\omega) = \begin{cases} 0, & \omega \in [0, \frac{1}{2}] \\ 1, & \omega \in (\frac{1}{2}, 1] \end{cases} \quad .$$

Verifique explicitamente que $\sigma(g) \subseteq \sigma(f)$.

Capítulo 4

Vetores Aleatórios

Imagine que queiramos produzir duas variáveis aleatórias com distribuição Bernoulli($\frac{1}{2}$). Uma forma seria lançar uma moeda duas vezes e considerar o par $\mathbf{X} = (Z, W)$, onde Z é o resultado do primeiro lançamento e W do segundo. Outras formas seriam lançar a moeda apenas uma vez e copiar o resultado ou trocar o resultado, obtendo os pares $\mathbf{Y} = (Z, Z)$ e $\tilde{\mathbf{Y}} = (Z, 1 - Z)$, respectivamente. Em todos os casos, produziu-se um par de variáveis aleatórias distribuídas como Bernoulli($\frac{1}{2}$). Entretanto, o comportamento *conjunto* dessas variáveis aleatórias é bem diferente nos três casos.

Neste capítulo vamos estudar *vetores aleatórios*, isto é, coleções de variáveis aleatórias em que se considera seu comportamento estatístico conjunto. Vamos estender os conceitos função de probabilidade, função de densidade e função de distribuição, e posteriormente explorar conceitos de independência, entre outros.

4.1 Vetores aleatórios

Começamos introduzindo o conceito que intitula este capítulo.

Definição 4.1 (Vetor aleatório). Dizemos que $\mathbf{X} = (X_1, \dots, X_n)$ é um *vetor aleatório* se X_j for variável aleatória para todo $j = 1, \dots, n$.

Dado um espaço de probabilidade $(\Omega, \mathcal{F}, \mathbb{P})$ e um vetor aleatório \mathbf{X} , definimos o *espaço de probabilidade induzido por \mathbf{X}* como $(\mathbb{R}^n, \mathcal{B}(\mathbb{R}^n), \mathbb{P}_{\mathbf{X}})$, onde

$$\mathbb{P}_{\mathbf{X}}(B) = \mathbb{P}(\{\omega : \mathbf{X}(\omega) \in B\}), \quad B \in \mathcal{B}(\mathbb{R}^n),$$

onde $\mathcal{B}(\mathbb{R}^n)$ é a σ -álgebra de Borel em \mathbb{R}^n , definida na Seção 1.4.1. Ou seja, o espaço amostral é o conjunto \mathbb{R}^n dos vetores n -dimensionais, os eventos aleatórios são os conjuntos borelianos em \mathbb{R}^n , e a medida de probabilidade é aquela induzida por \mathbf{X} . Chamaremos de *distribuição conjunta do vetor aleatório \mathbf{X}* a medida de probabilidade $\mathbb{P}_{\mathbf{X}}$ em \mathbb{R}^n induzida por \mathbf{X} .

Dada $\mathbf{x} \in \mathbb{R}^n$ uma n -upla de números reais, $\mathbf{x} = (x_1, x_2, \dots, x_n)$, denotamos por $\mathbf{x} \leq \mathbf{y}$ o conjunto de desigualdades $x_j \leq y_j, j = 1, \dots, n$, isto é, $\mathbf{x} \leq \mathbf{y}$ se, e somente se, vale a desigualdade para todas as coordenadas simultaneamente.

Definição 4.2 (Função de distribuição conjunta). A *função de distribuição conjunta* de um vetor aleatório \mathbf{X} , denotada por $F_{\mathbf{X}}$, é a função $F_{\mathbf{X}} : \mathbb{R}^n \rightarrow \mathbb{R}$ dada por

$$F_{\mathbf{X}}(\mathbf{x}) = \mathbb{P}(\mathbf{X} \leq \mathbf{x}).$$

Exemplo 4.3. Lançamos duas moedas honestas e consideramos X_1 = quantidade de caras, X_2 = quantidade de coroas, e $\mathbf{X} = (X_1, X_2)$. Os valores de $F_{\mathbf{X}}$ são mostrados na Figura 4.1. \triangle

A prova do teorema abaixo é análoga à do Teorema 3.9, e será dada no Apêndice D.4.

Teorema 4.4. *Se \mathbf{X} e \mathbf{Y} são vetores aleatórios tais que $F_{\mathbf{X}}(\mathbf{t}) = F_{\mathbf{Y}}(\mathbf{t})$ para todo $\mathbf{t} \in \mathbb{R}^n$, então $\mathbb{P}_{\mathbf{X}}(B) = \mathbb{P}_{\mathbf{Y}}(B)$ para todo $B \in \mathcal{B}(\mathbb{R}^n)$.*

Ou seja, como no caso de variáveis aleatórias, a função de distribuição conjunta determina a distribuição conjunta de um vetor aleatório. Entretanto, não é usual ou prático especificar $\mathbb{P}_{\mathbf{X}}$ a partir de uma descrição explícita de $F_{\mathbf{X}}$.

Tampouco existe uma forma natural de simular um vetor aleatório a partir de uma função de distribuição conjunta qualquer usando variáveis uniformes, e não existe uma noção natural de quantil (mediana, quartil, percentil, etc.) de vetores aleatórios. De fato, uma generalização do Teorema 3.16 é complicada e de pouco uso prático. Ainda assim, a função de distribuição conjunta tem propriedades muito úteis, como veremos ao longo desta seção.

A partir da função de distribuição conjunta, pode-se obter o comportamento de cada variável isoladamente. A distribuição de uma das coordenadas obtida a partir da distribuição conjunta é chamada de *distribuição marginal*.

Proposição 4.5. *Seja F_{X_k} a função de distribuição da k -ésima coordenada do vetor $\mathbf{X} = (X_1, \dots, X_n)$. Então*

$$F_{X_k}(x_k) = \lim_{\substack{x_j \rightarrow +\infty \\ j \neq k}} F_{\mathbf{X}}(x_1, \dots, x_n),$$

em que o limite é tomado em todas as coordenadas, exceto a k -ésima.

Demonstração. Reordenando as coordenadas, podemos supor sem perda de generalidade que $k = 1$, e temos que mostrar que

$$F_{X_1}(x_1) = \lim_{x_2 \rightarrow +\infty} \cdots \lim_{x_n \rightarrow +\infty} F_{\mathbf{X}}(x_1, \dots, x_n). \quad (4.6)$$

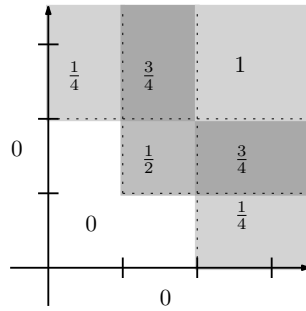


Figura 4.1. Valores de $F_{\mathbf{X}}(t_1, t_2)$ para cada $(t_1, t_2) \in \mathbb{R}^2$ no Exemplo 4.3.

No primeiro limite, dada $(x_n^j)_j$ tal que $x_n^j \uparrow +\infty$, e fixados (x_1, \dots, x_{n-1}) , temos $\{\mathbf{X} \leq (x_1, \dots, x_{n-1}, x_n^j)\} \uparrow \{X_1 \leq x_1, \dots, X_{n-1} \leq x_{n-1}\}$ quando $j \rightarrow \infty$, logo $F_{\mathbf{X}}(x_1, \dots, x_{n-1}, x_n^j) \rightarrow F_{X_1, \dots, X_{n-1}}(x_1, \dots, x_{n-1})$, ou seja,

$$F_{X_1, \dots, X_{n-1}}(x_1, \dots, x_{n-1}) = \lim_{x_n \rightarrow +\infty} F_{\mathbf{X}}(x_1, \dots, x_n).$$

Tomando $(x_{n-1}^j)_j$ tal que $x_{n-1}^j \uparrow +\infty$, de forma análoga chegamos a

$$F_{X_1, \dots, X_{n-2}}(x_1, \dots, x_{n-2}) = \lim_{x_{n-1} \rightarrow +\infty} \lim_{x_n \rightarrow +\infty} F_{\mathbf{X}}(x_1, \dots, x_n).$$

Tomando $(x_{n-2}^j)_j$ tal que $x_{n-2}^j \uparrow +\infty$, e assim sucessivamente, chegamos a (4.6), o que conclui a demonstração. \square

Exemplo 4.7. No Exemplo 4.3, tomando o limite em cada variável temos

$$F_{X_1}(x_1) = \lim_{x_2 \rightarrow +\infty} F_{X_1, X_2}(x_1, x_2) = \begin{cases} 0, & x_1 < 0, \\ \frac{1}{4}, & 0 \leq x_1 < 1, \\ \frac{3}{4}, & 1 \leq x_1 < 2, \\ 1, & x_1 \geq 2, \end{cases}$$

e, similarmente, encontramos a mesma expressão para F_{X_2} . \triangle

Definição 4.8 (Variáveis aleatórias independentes). Dizemos que as variáveis aleatórias X_1, X_2, \dots, X_n são *independentes* se

$$\mathbb{P}(X_1 \in B_1, \dots, X_n \in B_n) = \mathbb{P}(X_1 \in B_1) \cdots \mathbb{P}(X_n \in B_n)$$

para todos $B_1, \dots, B_n \in \mathcal{B}$. Dito de forma mais sofisticada,

$$\mathbb{P}_{\mathbf{X}}(B_1 \times \cdots \times B_n) = \mathbb{P}_{X_1}(B_1) \cdots \mathbb{P}_{X_n}(B_n).$$

Se J é uma família qualquer de índices, dizemos que as variáveis $(X_j)_{j \in J}$ são *independentes* se X_{j_1}, \dots, X_{j_k} são independentes para todo $k \in \mathbb{N}$ e toda escolha $j_1, \dots, j_k \in J$ distintos.

Dada uma família de variáveis aleatórias independentes, qualquer subfamília é também formada por variáveis aleatórias independentes.

Muitas vezes vamos considerar famílias de variáveis aleatórias que, além de serem independentes, têm a mesma distribuição, o que chamamos de *independentes e identicamente distribuídas*, ou simplesmente i.i.d.

Proposição 4.9 (Critério de independência). *Seja $\mathbf{X} = (X_1, \dots, X_n)$ um vetor aleatório. Então X_1, \dots, X_n são independentes se, e somente se, $F_{\mathbf{X}}(\mathbf{x}) = F_{X_1}(x_1) \cdots F_{X_n}(x_n)$ para todo $\mathbf{x} \in \mathbb{R}^n$.*

Demonstração. A ideia da prova é a seguinte: se as X_1, \dots, X_n são independentes, então $F_{\mathbf{X}}$ é dada pelo produto $F_{X_1} \cdots F_{X_n}$ e, por outro lado, o Teorema 4.4 nos diz que $F_{\mathbf{X}}$ determina $\mathbb{P}_{\mathbf{X}}$, logo $\mathbb{P}_{\mathbf{X}}(B_1 \times \cdots \times B_n) = \mathbb{P}_{X_1}(B_1) \cdots \mathbb{P}_{X_n}(B_n)$. A prova completa será dada no Apêndice D.4. \square

Assim como fizemos no caso de independência de eventos, podemos definir independência duas a duas para famílias de variáveis aleatórias.

Definição 4.10. Seja J uma família qualquer de índices e $(X_j)_{j \in J}$ uma família de variáveis aleatórias. Dizemos que as variáveis $(X_j)_{j \in J}$ são *independentes duas a duas* se X_k e X_j são independentes para quaisquer $k \neq j \in J$.

Observe que uma família de variáveis aleatórias independentes também é independente duas a duas. Entretanto não vale a recíproca.

Contra-exemplo 4.11. Sejam X e Y independentes assumindo os valores -1 ou $+1$ com probabilidade $\frac{1}{2}$ cada, e tome $Z = XY$. Então X , Y e Z não são independentes, pois

$$\mathbb{P}(X = 1, Y = 1, Z = 1) = \frac{1}{4} \neq \frac{1}{8} = \mathbb{P}(X = 1)\mathbb{P}(Y = 1)\mathbb{P}(Z = 1).$$

Entretanto, X , Y e Z são independentes duas a duas. \triangle

Concluimos esta seção com a observação seguinte, cuja prova será dada na Seção 12.1.

Observação 4.12. Funções mensuráveis de famílias disjuntas de variáveis aleatórias independentes resultam em variáveis independentes. Por exemplo se X, Y e Z são variáveis aleatórias independentes, então $X + Y$ e Z também são independentes. \triangle

Apesar de que propriedades análogas àsquelas listadas na Proposição 3.12 são satisfeitas pela função de distribuição conjunta, como vemos na Figura 4.1, um análogo do Teorema 3.16 pode falhar, dependendo de como for feita a generalização. Por exemplo, a função $F : \mathbb{R}^2 \rightarrow [0, 1]$ dada por

$$F(x, y) = \begin{cases} 1, & x \geq 0, y \geq 0, x + y \geq 1, \\ 0, & \text{caso contrário,} \end{cases}$$

não pode ser função de distribuição conjunta de nenhum vetor aleatório, apesar de ser monótona e contínua à direita em cada variável, tender a 1 quando todas as coordenadas tendem a $+\infty$, e tender a 0 quando uma delas tende a $-\infty$. Com efeito, se tal F fosse função de distribuição conjunta de algum par (X, Y) , teríamos

$$\mathbb{P}(a < X \leq b, c < Y \leq d) = F(b, d) - F(b, c) - [F(a, d) - F(a, c)]$$

para todos $a < b$ e $c < d$ e, tomando $a = c = 0$ e $b = d = 1$, teríamos $\mathbb{P}(0 < X \leq 1, 0 < Y \leq 1) = -1$, o que seria absurdo.

4.2 Vetores aleatórios discretos e contínuos

Dizemos que um vetor aleatório \mathbf{X} é *discreto* se existe um subconjunto enumerável de \mathbb{R}^n , $\{\mathbf{x}^1, \mathbf{x}^2, \mathbf{x}^3, \dots\}$, tal que $\mathbb{P}(\mathbf{X} \in \{\mathbf{x}^1, \mathbf{x}^2, \mathbf{x}^3, \dots\}) = 1$. Neste caso, a *função de probabilidade conjunta* de \mathbf{X} é dada por

$$p_{\mathbf{X}}(\mathbf{x}) = \mathbb{P}(\mathbf{X} = \mathbf{x}).$$

Um vetor aleatório \mathbf{X} é discreto se e somente se suas coordenadas X_1, \dots, X_n são discretas.

A *função de probabilidade marginal* de uma componente X_k é obtida somando-se nas demais variáveis:

$$\begin{aligned} p_{X_k}(x_k) &= \mathbb{P}(X_k = x_k) \\ &= \sum_{x_1} \cdots \sum_{x_{k-1}} \sum_{x_{k+1}} \cdots \sum_{x_n} p_{\mathbf{X}}(x_1, \dots, x_{k-1}, x_k, x_{k+1}, \dots, x_n). \end{aligned}$$

Para a última igualdade acima basta observar que o evento $\{X_k = x_k\}$ pode ser escrito como a união disjunta

$$\{X_k = x_k\} = \cup_{x_1} \cdots \cup_{x_{k-1}} \cup_{x_{k+1}} \cdots \cup_{x_n} \{(X_1, \dots, X_n) = (x_1, \dots, x_n)\}.$$

Exemplo 4.13. No Exemplo 4.3, vamos obter a função de probabilidade conjunta de \mathbf{X} , e as funções de probabilidade marginais de X_1 e X_2 .

Primeiramente, pela descrição do vetor (X_1, X_2) , sabemos que $p_{X_1, X_2}(0, 2) = p_{X_1, X_2}(2, 0) = \frac{1}{4}$, $p_{X_1, X_2}(1, 1) = \frac{1}{2}$, e p_{X_1, X_2} vale zero fora desses três pontos. Somando em sobre x_2 , encontramos a função de probabilidade marginal, que é dada por $p_{X_1}(0) = p_{X_1}(2) = \frac{1}{4}$ e $p_{X_1}(1) = \frac{1}{2}$.

Observe que os mesmos valores podem ser lidos a partir dos saltos da função de distribuição marginal obtida no Exemplo 4.7. \triangle

Proposição 4.14 (Critério de independência, caso discreto). *Seja $\mathbf{X} = (X_1, \dots, X_n)$ um vetor aleatório discreto. Então X_1, \dots, X_n são independentes se, e somente se, $p_{\mathbf{X}}(\mathbf{x}) = p_{X_1}(x_1) \cdots p_{X_n}(x_n)$ para todo $\mathbf{x} \in \mathbb{R}^n$.*

Demonstração. A implicação direta é trivial. Para a implicação inversa, suponha que $p_{\mathbf{X}}(\mathbf{x}) = p_{X_1}(x_1) \cdots p_{X_n}(x_n)$ para todo $\mathbf{x} \in \mathbb{R}^n$. Neste caso,

$$\mathbb{P}(X_1 \in B_1, \dots, X_n \in B_n) = \sum_{x_1 \in B_1} \cdots \sum_{x_n \in B_n} p_{\mathbf{X}}(\mathbf{x}) =$$

$$= \left[\sum_{x_1 \in B_1} p_{X_1}(x_1) \right] \cdots \left[\sum_{x_n \in B_n} p_{X_n}(x_n) \right] = \mathbb{P}(X_1 \in B_1) \cdots \mathbb{P}(X_n \in B_n),$$

para todos $B_1, \dots, B_n \in \mathcal{B}$, e portanto as X_1, \dots, X_n são independentes. \square

Dados um vetor aleatório \mathbf{X} e uma função boreliana⁶ $f_{\mathbf{X}} : \mathbb{R}^n \rightarrow \mathbb{R}$, dizemos que \mathbf{X} é *absolutamente contínuo com função de densidade conjunta* $f_{\mathbf{X}}$ se

$$\mathbb{P}(a_j < X_j \leq b_j, \ j = 1, \dots, n) = \int_{a_1}^{b_1} \cdots \int_{a_n}^{b_n} f_{\mathbf{X}}(x_1, \dots, x_n) dx_n \cdots dx_1$$

para todas as escolhas de $a_j < b_j$ para $j = 1, \dots, n$.

A função de distribuição conjunta $F_{\mathbf{X}}$ pode ser calculada integrando-se a função de densidade conjunta $f_{\mathbf{X}}$ em cada coordenada:

$$F_{\mathbf{X}}(\mathbf{x}) = \int_{-\infty}^{x_1} \cdots \int_{-\infty}^{x_n} f_{\mathbf{X}}(\mathbf{s}) ds_n \cdots ds_1.$$

Se suspeitamos que um vetor aleatório possui densidade conjunta, podemos obter um candidato a densidade calculando

$$f_{\mathbf{X}}(\mathbf{x}) = \frac{\partial^n}{\partial x_1 \cdots \partial x_n} F_{\mathbf{X}}(x_1, \dots, x_n).$$

Uma vez calculada $f_{\mathbf{X}}$ por essa fórmula, podemos verificar se é de fato uma densidade conjunta mostrando que sua integral coincide com $F_{\mathbf{X}}$.

A *função de densidade marginal* de uma componente X_k é obtida integrando-se nas demais variáveis:

$$f_{X_k}(x_k) = \underbrace{\int_{-\infty}^{+\infty} \cdots \int_{-\infty}^{+\infty}}_{n-1 \text{ vezes}} f_{\mathbf{X}}(x_1, \dots, x_k, \dots, x_n) \underbrace{dx_1 \cdots dx_n}_{\text{exceto } x_k}.$$

⁶Qualquer função que é contínua ou que pode ser aproximada por funções contínuas é uma função boreliana. De fato é muito difícil construir uma função que não é boreliana. Veja a Seção 3.7 para mais detalhes.

Vejam que a densidade marginal f_{X_k} é uma densidade de X_k . Como $f_{\mathbf{X}}$ é não-negativa, segue que f_{X_k} será não-negativa para cada k . Além disso, para todo intervalo B , definindo a região $\mathbf{B} = \{\mathbf{x} \in \mathbb{R}^n : x_k \in B\}$, obtemos

$$\begin{aligned}\mathbb{P}_{X_k}(B) &= \mathbb{P}(X_k \in B) = \mathbb{P}(\mathbf{X} \in \mathbf{B}) = \int_{\mathbf{B}} f_{\mathbf{X}}(\mathbf{x}) d^n \mathbf{x} \\ &= \int_B \underbrace{\int_{-\infty}^{+\infty} \cdots \int_{-\infty}^{+\infty}}_{n-1 \text{ vezes}} f_{\mathbf{X}}(x_1, \dots, x_k, \dots, x_n) \underbrace{dx_1 \cdots dx_n}_{\text{exceto } x_k} dx_k \\ &= \int_B f_{X_k}(x_k) dx_k.\end{aligned}$$

Logo, $f_{X_k}(x_k)$ é uma densidade de X_k .

Exemplo 4.15. Considere o quadrado $Q = \{(x, y) \in \mathbb{R}^2 : |x| + |y| < 1\}$, e suponha que X e Y tenham densidade conjunta dada por $f_{X,Y}(x, y) = \frac{1}{2} \mathbb{1}_Q(x, y)$. Podemos determinar a densidade marginal de X integrando:

$$f_X(x) = \int_{-\infty}^{+\infty} \frac{1}{2} \mathbb{1}_Q(x, y) dy = (1 - |x|) \mathbb{1}_{[-1,1]}(x).$$

Analogamente, se integramos em x obtemos $f_Y(y) = (1 - |y|) \mathbb{1}_{[-1,1]}(y)$. \triangle

Proposição 4.16 (Critério de independência, caso contínuo). *Seja $\mathbf{X} = (X_1, \dots, X_n)$ um vetor aleatório cujas coordenadas X_1, \dots, X_n tenham função de densidade f_{X_1}, \dots, f_{X_n} . Então X_1, \dots, X_n são independentes se, e somente se, a função dada por $f_{\mathbf{X}}(\mathbf{x}) = f_1(x_1) \cdots f_n(x_n)$ é uma densidade conjunta de \mathbf{X} .*

Demonstração. Suponha que $f_{\mathbf{X}}(\mathbf{x}) = f_1(x_1) \cdots f_n(x_n)$ seja uma densidade conjunta de \mathbf{X} . Integrando,

$$F_{\mathbf{X}}(\mathbf{x}) = \int_{-\infty}^{x_1} \cdots \int_{-\infty}^{x_n} f_{X_1}(s_1) \cdots f_{X_n}(s_n) ds_n \cdots ds_1 = F_{X_1}(x_1) \cdots F_{X_n}(x_n)$$

e, pela Proposição 4.9, X_1, \dots, X_n são independentes.

Reciprocamente, suponha que X_1, \dots, X_n são independentes. Neste caso,

$$\begin{aligned} F_{\mathbf{X}}(\mathbf{x}) &= F_{X_1}(x_1) \cdots F_{X_n}(x_n) \\ &= \int_{-\infty}^{x_1} f_{X_1}(t_1) dt \cdots \int_{-\infty}^{x_n} f_{X_n}(t_n) dt \\ &= \int_{-\infty}^{x_1} \cdots \int_{-\infty}^{x_n} (f_{X_1}(t_1) \cdots f_{X_n}(t_n)) dt_n \cdots dt_1 \end{aligned}$$

e, portanto, $f_{X_1}(x_1) \cdots f_{X_n}(x_n)$ é uma densidade conjunta de \mathbf{X} . \square

Observemos que a proposição acima *não* fornece um critério imediato para concluir que X_1, \dots, X_n *não* são independentes, pois densidades conjuntas não são únicas. Para isso, devemos verificar que existe toda uma região não-degenerada $(a_1, b_1] \times \cdots \times (a_n, b_n]$ onde $f_{\mathbf{X}}(\mathbf{x}) \neq f_{X_1}(x_1) \cdots f_{X_n}(x_n)$, para justificar que a Definição 4.8 não é satisfeita.

Exemplo 4.17. No Exemplo 4.15, verifiquemos formalmente que X e Y não são independentes. Para isto, basta observar que $f_{X,Y}(x, y) = \frac{1}{2} \mathbb{1}_Q(x, y) = 0$ para todo $(x, y) \in (\frac{2}{3}, \frac{3}{4}] \times (\frac{2}{3}, \frac{3}{4}]$, enquanto $f_X(x)f_Y(y) = (1-x)(1-y) > 0$. \triangle

Se um vetor aleatório \mathbf{X} possui densidade conjunta, então cada uma das suas componentes X_1, \dots, X_n são variáveis aleatórias que também possuem densidade (a marginal), mas não vale a recíproca! Abaixo temos um exemplo simples de vetor aleatório contínuo que não tem densidade.

Contra-exemplo 4.18 (Inexistência de densidade conjunta). Seja $X \sim \mathcal{U}[0, 1]$, $Y = 1 - X$. Apesar de X e Y serem absolutamente contínuas com densidade $f_X = f_Y = \mathbb{1}_{[0,1]}$, o vetor (X, Y) é singular. Mais precisamente, $\mathbb{P}((X, Y) = (x, y)) = 0$ para todo ponto $(x, y) \in \mathbb{R}^2$, mas (X, Y) não tem densidade conjunta. Para ver que ele não pode ter densidade, observe que (X, Y) assume valores em um segmento de reta, e a integral de qualquer função em um segmento de reta sempre dá zero. É interessante também analisar a

função de distribuição conjunta, dada por

$$F_{X,Y}(x,y) = \begin{cases} 0, & x \leq 0 \text{ ou } y \leq 0 \text{ ou } x+y \leq 1, \\ y, & 0 \leq y \leq 1, x \geq 1, \\ x, & 0 \leq x \leq 1, y \geq 1, \\ x+y-1, & x \leq 1, y \leq 1, x+y \geq 1, \\ 1, & x \geq 1, y \geq 1. \end{cases}$$

Calculando a derivada cruzada, vemos que $\frac{\partial^2}{\partial y \partial x} F_X(x,y) = 0$ para todo par (x,y) no plano \mathbb{R}^2 , exceto em duas retas e um segmento de reta. \triangle

4.3 Soma de variáveis independentes

Trataremos nesta seção de um caso especial de função de vetor aleatório que permeará todo o livro. Somas de variáveis aleatórias independentes aparecem naturalmente em Probabilidade, Estatística e nas Ciências Naturais. Dadas X e Y variáveis aleatórias independentes, qual a distribuição de $X + Y$?

No caso onde o vetor (X, Y) é discreto, $X + Y$ é variável aleatória discreta e sua função de probabilidade p_{X+Y} pode ser calculada via Lei da Probabilidade Total:

$$\begin{aligned} p_{X+Y}(z) &= \sum_x \mathbb{P}(X = x, Y = z - x) = \sum_x \mathbb{P}(X = x) \mathbb{P}(Y = z - x) \\ &= \sum_x p_X(x) p_Y(z - x). \end{aligned}$$

Observe que, como o vetor (X, Y) é discreto, as parcelas da soma acima são não-nulas para no máximo uma quantidade enumerável valores de x .

Exemplo 4.19. Sejam $X \sim \text{Binom}(n, p)$ e $Y \sim \text{Binom}(m, p)$. A função de

probabilidade de $X + Y$ pode ser calculada por

$$\begin{aligned}
 p_{X+Y}(k) &= \sum_{j=0}^{\infty} \mathbb{P}(X = j) \mathbb{P}(Y = k - j) \\
 &= \sum_{j=0}^k \binom{n}{j} p^j (1-p)^{n-j} \binom{m}{k-j} p^{k-j} (1-p)^{m-k+j} \\
 &= p^k (1-p)^{m+n-k} \sum_{j=0}^k \binom{n}{j} \binom{m}{k-j} \\
 &= \binom{n+m}{k} p^k (1-p)^{m+n-k}.
 \end{aligned}$$

Portanto, $X + Y \sim \text{Binom}(n + m, p)$, o que não chega a ser uma surpresa, dada a definição de variável binomial. Indutivamente, podemos generalizar este fato e mostrar que se $X_k \sim \text{Binom}(n_k, p)$ para todo $k = 1, \dots, l$ são independentes, então $\sum_{k=1}^l X_k \sim \text{Binom}(\sum_{k=1}^l n_k, p)$. \triangle

Quando as variáveis X e Y forem independentes e absolutamente contínuas com densidades f_X e f_Y , respectivamente, temos a relação análoga

$$f_{X+Y}(z) = \int_{-\infty}^{+\infty} f_X(x) f_Y(z - x) dx.$$

Para justificá-la, tomamos $B = \{(x, y) : x + y \leq z\}$ e desenvolvemos

$$\begin{aligned}
 F_{X+Y}(z) &= \iint_B f_X(x) f_Y(y) dx dy \\
 &= \int_{-\infty}^{+\infty} \int_{-\infty}^{z-x} f_X(x) f_Y(y) dy dx \\
 &= \int_{-\infty}^{+\infty} \int_{-\infty}^z f_X(x) f_Y(u - x) du dx \\
 &= \int_{-\infty}^z \left(\int_{-\infty}^{+\infty} f_X(x) f_Y(u - x) dx \right) du,
 \end{aligned}$$

para todo $z \in \mathbb{R}$, o que mostra que a expressão acima é de fato uma densidade de $X + Y$.

Soma de normais independentes

O caso quando X e Y são distribuições normais é tão importante que preferimos enunciá-lo como a proposição seguinte.

Proposição 4.20. *Sejam $X_1 \sim \mathcal{N}(\mu_1, \sigma_1^2)$ e $X_2 \sim \mathcal{N}(\mu_2, \sigma_2^2)$ independentes. Então $X_1 + X_2 \sim \mathcal{N}(\mu_1 + \mu_2, \sigma_1^2 + \sigma_2^2)$.*

Demonstração. Como $X_1 - \mu_1 \sim \mathcal{N}(0, \sigma_1^2)$ e $X_2 - \mu_2 \sim \mathcal{N}(0, \sigma_2^2)$, podemos supor sem perda de generalidade que $\mu_1 = \mu_2 = 0$. A densidade de $X + Y$ é então dada por

$$f_{X+Y}(z) = \frac{1}{2\pi\sigma_1\sigma_2} \int_{-\infty}^{+\infty} e^{-\frac{(z-x)^2}{2\sigma_2^2}} e^{-\frac{x^2}{2\sigma_1^2}} dx.$$

Para simplificar, escrevemos $a = 2\sigma_2^2$ e $b = 2\sigma_1^2$. Utilizando a identidade

$$\frac{1}{a}(z-x)^2 + \frac{1}{b}x^2 = \left(\frac{a+b}{ab}\right)\left(x - \frac{bz}{a+b}\right)^2 + \frac{1}{a+b}z^2,$$

válida para todos $a > 0$, $b > 0$, $z \in \mathbb{R}$ e $x \in \mathbb{R}$, obtemos

$$\begin{aligned} f_{X+Y}(z) &= \frac{1}{2\pi\sigma_1\sigma_2} \int_{-\infty}^{+\infty} e^{-\frac{(z-x)^2}{a}} e^{-\frac{x^2}{b}} dx \\ &= \frac{1}{2\pi\sigma_1\sigma_2} e^{-\frac{z^2}{a+b}} \int_{-\infty}^{+\infty} e^{-\left(\frac{a+b}{ab}\right)\left(x - \frac{bz}{a+b}\right)^2} dx \\ &= \frac{1}{2\pi\sigma_1\sigma_2} \cdot \sqrt{\pi \frac{ab}{a+b}} \cdot e^{-\frac{z^2}{a+b}} \\ &= \frac{1}{\sqrt{2\pi(\sigma_1^2 + \sigma_2^2)}} \cdot e^{-\frac{z^2}{2(\sigma_1^2 + \sigma_2^2)}}. \end{aligned}$$

Portanto f_{X+Y} corresponde à densidade de uma distribuição $\mathcal{N}(0, \sigma_1^2 + \sigma_2^2)$, como queríamos demonstrar. \square

Usando a Observação 4.12, pode-se verificar indutivamente que se X_1, \dots, X_n são variáveis aleatórias independentes com $X_k \sim \mathcal{N}(\mu_k, \sigma_k^2)$, então $\sum_{k=1}^n X_k \sim$

$\mathcal{N}(\sum_{k=1}^n \mu_k, \sum_{k=1}^n \sigma_k^2)$. Em palavras, soma de normais independentes é uma variável normal cujos parâmetros são as somas dos respectivos parâmetros.

Exemplo 4.21. Uma fábrica produz parafusos cujos comprimentos são independentes e têm distribuição $\mathcal{N}(\mu, \sigma^2)$. É retirada uma amostra aleatória de n parafusos e calculada a média aritmética dos comprimentos da amostra. Qual a probabilidade da média observada diferir do valor médio teórico, μ , mais que uma tolerância δ ? Sejam X_1, \dots, X_n os comprimentos dos parafusos da amostra e $S_n = \sum_{k=1}^n X_k$, estamos interessados em determinar quanto vale

$$\mathbb{P}(|\frac{S_n}{n} - \mu| < \delta).$$

Como X_1, \dots, X_n são independentes e com distribuição $\mathcal{N}(\mu, \sigma^2)$, segue que $S_n \sim \mathcal{N}(n\mu, n\sigma^2)$, ou seja, $\frac{S_n - n\mu}{\sigma\sqrt{n}}$ tem distribuição $\mathcal{N}(0, 1)$. Desse modo

$$\begin{aligned} \mathbb{P}(|\frac{S_n}{n} - \mu| < \delta) &= \mathbb{P}(|\frac{S_n - n\mu}{\sigma\sqrt{n}}| < \frac{\delta\sqrt{n}}{\sigma}) \\ &= \Phi(\frac{\delta\sqrt{n}}{\sigma}) - \Phi(-\frac{\delta\sqrt{n}}{\sigma}) = 2\Phi(\frac{\delta\sqrt{n}}{\sigma}) - 1. \end{aligned}$$

Por exemplo, se $n = 25$, $\delta = 0,200$ e $\sigma = 0,600$, podemos calcular o valor acima consultando a tabela na página 462 e obter

$$2\Phi(\frac{\delta\sqrt{n}}{\sigma}) - 1 \approx 2\Phi(1,67) - 1 \approx 0,904,$$

com três algarismos significativos.

Outra pergunta que poderíamos fazer é: qual o tamanho mínimo da amostra de modo que a média observada difira de μ por no máximo δ unidades com probabilidade superior a $1 - \alpha$ (nível de confiabilidade). Ou seja, devemos encontrar o menor z_α tal que

$$\mathbb{P}(|\mathcal{N}(0, 1)| \leq z_\alpha) = 2\Phi(z_\alpha) - 1 \geq 1 - \alpha.$$

Novamente com auxílio da tabela da distribuição normal, podemos encontrar z_α de modo que $\Phi(z_\alpha) = 1 - \frac{\alpha}{2}$ e posteriormente escolher n de modo que $\frac{\delta\sqrt{n}}{\sigma} \geq z_\alpha$. Por exemplo, se $\alpha = 0,060$, $\delta = 0,200$ e $\sigma = 0,600$, então $z_\alpha \approx 1,88$

e $n = \lceil z_\alpha^2 \sigma^2 \delta^{-2} \rceil = 32$. Ou seja, um aumento de 25 para 32 no tamanho da amostra aumenta de 0,904 para 0,940 nosso grau de confiança de a média observada diferir de μ menos que $\delta = 0,200$.

Há três variáveis que se relacionam neste problema: n , δ e α . Dadas quaisquer duas delas podemos determinar a terceira. Como exemplo do caso faltante, suponha que uma amostra de tamanho $n = 25$ é retirada, gostaríamos de afirmar que com probabilidade superior a 0,990 nossa média observada tem um grau de precisão δ . Qual o menor valor de δ ? Como no caso anterior, para $\alpha = 0,010$, resolvendo $\Phi(z_\alpha) = 1 - \frac{\alpha}{2}$, obtemos $z_{0,\alpha} \approx 2,58$. Assim, $\delta = z\sigma n^{-1/2} \approx 0,310$. Ou seja, para a amostra de tamanho $n = 25$, a margem de erro aumentou de 0,200 para 0,310 se quisermos aumentar a confiança de 0,904 para 0,990. \triangle

4.4 Método do jacobiano

Seja \mathbf{X} um vetor aleatório com densidade conjunta $f_{\mathbf{X}}$ e que assume valores em um domínio $G_0 \subseteq \mathbb{R}^n$. Suponha que estamos interessados em estudar o vetor aleatório \mathbf{Y} dado por uma transformação $\mathbf{Y} = \mathbf{g}(\mathbf{X})$. Vamos considerar o caso em que $\mathbf{g} : G_0 \rightarrow G$, $G \subseteq \mathbb{R}^n$, é bijetiva e diferenciável, com inversa $\mathbf{g}^{-1} = \mathbf{h} : G \rightarrow G_0$ também diferenciável. Escrevemos a transformação inversa como $\mathbf{X} = \mathbf{h}(\mathbf{Y})$ e definimos os jacobianos:

$$J_{\mathbf{h}}(\mathbf{y}) = \det\left(\frac{\partial \mathbf{x}}{\partial \mathbf{y}}\right) = \det \begin{bmatrix} \frac{\partial x_1}{\partial y_1} & \cdots & \frac{\partial x_1}{\partial y_n} \\ \vdots & \ddots & \vdots \\ \frac{\partial x_n}{\partial y_1} & \cdots & \frac{\partial x_n}{\partial y_n} \end{bmatrix}$$

e

$$J_{\mathbf{g}}(\mathbf{x}) = \det\left(\frac{\partial \mathbf{y}}{\partial \mathbf{x}}\right) = \det \begin{bmatrix} \frac{\partial y_1}{\partial x_1} & \cdots & \frac{\partial y_1}{\partial x_n} \\ \vdots & \ddots & \vdots \\ \frac{\partial y_n}{\partial x_1} & \cdots & \frac{\partial y_n}{\partial x_n} \end{bmatrix}.$$

Do Cálculo em várias variáveis, sabemos que o jacobiano satisfaz à seguinte identidade:

$$J_{\mathbf{h}}(\mathbf{y}) = \frac{1}{J_{\mathbf{g}}(\mathbf{x})}.$$

Proposição 4.22 (Método do jacobiano). *Sejam $G_0, G \subseteq \mathbb{R}^n$, $\mathbf{g} : G_0 \rightarrow G$ uma bijeção e $\mathbf{h} = \mathbf{g}^{-1}$, e suponha que \mathbf{g} e \mathbf{h} sejam diferenciáveis. Se \mathbf{X} é um vetor aleatório absolutamente contínuo com densidade $f_{\mathbf{X}}$ assumindo valores em G_0 , e $\mathbf{Y} = \mathbf{g}(\mathbf{X})$, então uma densidade $f_{\mathbf{Y}}$ pode ser obtida a partir de $f_{\mathbf{X}}$ pela relação*

$$f_{\mathbf{Y}}(\mathbf{y}) = |J_{\mathbf{h}}(\mathbf{y})| \cdot f_{\mathbf{X}}(\mathbf{h}(\mathbf{y})) = \frac{1}{|J_{\mathbf{g}}(\mathbf{h}(\mathbf{y}))|} f_{\mathbf{X}}(\mathbf{h}(\mathbf{y})).$$

Ideia da prova. Do cálculo de várias variáveis, sabemos que se o jacobiano for não-nulo para todo $\mathbf{y} \in G$, vale a fórmula de mudança de variáveis

$$\int_A f(\mathbf{x}) d^n \mathbf{x} = \int_{\mathbf{g}(A)} f(\mathbf{h}(\mathbf{y})) |J_{\mathbf{h}}(\mathbf{y})| d^n \mathbf{y}$$

para qualquer f integrável em A , onde $A \subseteq G_0$. Como $\mathbb{P}(\mathbf{Y} \in \mathbf{g}(A))$ é dada por $\mathbb{P}(\mathbf{X} \in A)$, e esta última é dada pelo lado esquerdo da expressão acima com $f = f_{\mathbf{X}}$, o integrando do lado direito é uma densidade de \mathbf{Y} . \square

Exemplo 4.23. Considere o vetor aleatório $\mathbf{X} = (X_1, X_2)$ com densidade

$$f_{\mathbf{X}}(x_1, x_2) = \begin{cases} 4x_1x_2, & x_1, x_2 \in [0, 1], \\ 0, & \text{caso contrário,} \end{cases}$$

e o vetor \mathbf{Y} dado por $Y_1 = X_1/X_2$ e $Y_2 = X_1X_2$. Escrevendo $\mathbf{y} = \mathbf{g}(\mathbf{x}) = (x_1/x_2, x_1x_2)$,

$$\frac{\partial \mathbf{y}}{\partial \mathbf{x}} = \begin{bmatrix} 1/x_2 & -x_1/x_2^2 \\ x_2 & x_1 \end{bmatrix}$$

e $J_{\mathbf{g}}(\mathbf{x}) = 2x_1/x_2$. Obtendo \mathbf{x} em função de \mathbf{y} , temos que $x_1 = \sqrt{y_1y_2}$,

$x_2 = \sqrt{y_2/y_1}$ e os valores possíveis de \mathbf{y} são

$$G = \left\{ (y_1, y_2) : 0 < y_2 < y_1, 0 < y_2 < \frac{1}{y_1} \right\}.$$

Agora,

$$J_g(\mathbf{h}(\mathbf{y})) = \frac{2\sqrt{y_1 y_2}}{\sqrt{y_2/y_1}} = 2y_1$$

e

$$f_{\mathbf{X}}(\mathbf{h}(\mathbf{y})) = 4\sqrt{y_1 y_2} \sqrt{y_2/y_1} = 4y_2.$$

Portanto,

$$f_Y(\mathbf{y}) = \frac{1}{|J_g(\mathbf{x})|} f_{\mathbf{X}}(\mathbf{h}(\mathbf{y})) = \begin{cases} 2y_2/y_1, & 0 < y_2 < 1, y_2 < y_1 < 1/y_2, \\ 0, & \text{caso contrário.} \end{cases} \quad \triangle$$

Exemplo 4.24. Se X e Y são independentes e distribuídas como $\mathcal{N}(0, 1)$, então $X + Y$ e $X - Y$ são independentes e ambas distribuídas como $\mathcal{N}(0, 2)$.

Com efeito, definindo $\mathbf{Z} = (X, Y)$ e $\mathbf{W} = (X + Y, X - Y)$, temos que $\mathbf{W} = \mathbf{g}(\mathbf{Z})$, onde $\mathbf{g}(x, y) = (x + y, x - y)$. Logo,

$$\frac{\partial \mathbf{w}}{\partial \mathbf{z}} = \begin{bmatrix} 1 & 1 \\ 1 & -1 \end{bmatrix},$$

donde $J_g(\mathbf{z}) = -2$. Escrevendo \mathbf{z} como função de \mathbf{w} , obtemos $x = \frac{w_1 + w_2}{2}$ e $y = \frac{w_1 - w_2}{2}$. Ainda,

$$f_{\mathbf{Z}}(\mathbf{z}) = f_{X,Y}(x, y) = f_X(x)f_Y(y) = \frac{1}{\sqrt{2\pi}} e^{-\frac{x^2}{2}} \cdot \frac{1}{\sqrt{2\pi}} e^{-\frac{y^2}{2}},$$

logo

$$f_{\mathbf{Z}}(\mathbf{h}(\mathbf{w})) = \frac{1}{2\pi} e^{-\frac{\left(\frac{w_1 + w_2}{2}\right)^2}{2}} e^{-\frac{\left(\frac{w_1 - w_2}{2}\right)^2}{2}}$$

$$= \frac{e^{-\frac{w_1^2 + w_2^2 + 2w_1 w_2 + w_1^2 + w_2^2 - 2w_1 w_2}{8}}}{2\pi} = \frac{1}{2\pi} e^{-\frac{w_1^2}{4}} e^{-\frac{w_2^2}{4}}$$

e, substituindo,

$$f_{\mathbf{W}}(\mathbf{w}) = \frac{1}{|J_g(\mathbf{h}(\mathbf{w}))|} f_Z(\mathbf{h}(\mathbf{w})) = \frac{1}{4\pi} e^{-\frac{w_1^2}{4}} e^{-\frac{w_2^2}{4}} = f_{\mathcal{N}(0,2)}(w_1) f_{\mathcal{N}(0,2)}(w_2).$$

Portanto, W_1 e W_2 são independentes e com distribuição $\mathcal{N}(0, 2)$. \triangle

4.5 Sequência de variáveis independentes

No capítulo anterior, mostramos a existência de uma distribuição uniforme (Teorema 3.15) e que a partir desta distribuição uniforme podemos mostrar a existência de uma variável aleatória com qualquer função de distribuição, F , pré-especificada (Teorema 3.16).

Aqui daremos um passo adiante nessa direção. Mostraremos que a partir de uma variável com distribuição uniforme, podemos construir uma sequência de variáveis independentes e cada uma com uma distribuição especificada, que pode ou não ser a mesma para cada variável desta sequência.

Lema 4.25. *O conjunto $\mathbb{N} \times \mathbb{N}$ é enumerável.*

Demonstração. A função $f : \mathbb{N} \times \mathbb{N} \rightarrow \mathbb{N}$ dada por $f(j, k) = 2^{j-1} \cdot (2k - 1)$ é uma bijeção pois todo número natural pode ser fatorado de forma única como uma potência de dois vezes um número ímpar. \square

Dado $x \in [0, 1)$, consideremos a sequência de dígitos $(x_n)_n$ de sua expansão binária $x = \sum_{n=1}^{\infty} \frac{x_n}{2^n}$, com $x_n \in \{0, 1\}$ para todo $n \in \mathbb{N}$. Caso haja duas expansões distintas, uma terminada com infinitos zeros e outra com infinitos uns, consideremos apenas a primeira.

Lema 4.26. *Seja U uma variável aleatória com distribuição uniforme em $[0, 1)$ e defina $(X_n)_n$, tomando valores em $\{0, 1\}$, a sequência de dígitos na*

expansão binária de U . Então, as variáveis $(X_n)_n$ são i.i.d. com distribuição uniforme no conjunto $\{0, 1\}$.

Demonstração. Com efeito, basta observar que $X_1 = x_1, \dots, X_n = x_n$ se, e somente se, $0 \leq U - (\frac{x_1}{2} + \frac{x_2}{2^2} + \dots + \frac{x_n}{2^n}) < 2^{-n}$, donde $\mathbb{P}(X_1 = x_1, \dots, X_n = x_n) = \frac{1}{2^n}$, para todos $n \in \mathbb{N}$ e $x_1, \dots, x_n \in \{0, 1\}$. Logo, a independência segue da Proposição 4.14. \square

O próximo lema é uma espécie de recíproca do lema anterior.

Lema 4.27. *Seja $(X_n)_n$ uma sequência de variáveis aleatórias i.i.d. com distribuição uniforme no conjunto $\{0, 1\}$ e defina $U = \sum_{n=1}^{\infty} \frac{X_n}{2^n}$. Então U tem distribuição uniforme no intervalo $[0, 1]$.*

Demonstração. Sejam $n \in \mathbb{N}_0$ e $k \in \{0, \dots, 2^{n+1} - 1\}$. Escreva $k = \sum_{j=0}^n 2^j x_j$ com $x_j \in \{0, 1\}$ para todo j , isto é, $(x_n, x_{n-1}, \dots, x_1, x_0)$ é a expansão binária de k . Observe que

$$\mathbb{P}(\frac{k}{2^{n+1}} \leq U < \frac{k+1}{2^{n+1}}) = \mathbb{P}((X_0, \dots, X_n) = (x_0, \dots, x_n)) = \frac{1}{2^{n+1}},$$

pois os eventos acima diferem apenas no caso $\{X_j = 1 \text{ para todo } j > n\}$, que tem probabilidade zero. Somando sobre $k = 0, \dots, m-1$, obtemos

$$\mathbb{P}(U < \frac{m}{2^{n+1}}) = \frac{m}{2^{n+1}}$$

para todo $m = 0, \dots, 2^{n+1}$. Finalmente, dado $u \in [0, 1]$ e $n \in \mathbb{N}$, existe m tal que $\frac{m}{2^n} \leq u < \frac{m+1}{2^n}$, de forma que

$$u - \frac{1}{2^n} \leq \frac{m}{2^n} = \mathbb{P}(U < \frac{m}{2^n}) \leq \mathbb{P}(U \leq u) \leq \mathbb{P}(U < \frac{m+1}{2^n}) = \frac{m+1}{2^n} \leq u + \frac{1}{2^n}.$$

Como isso vale para todo n , temos $\mathbb{P}(U \leq u) = u$, portanto $U \sim \mathcal{U}[0, 1]$. \square

Agora, estamos aptos a provar o principal objetivo desta seção.

Teorema 4.28 (Existência de uma sequência independente). *Seja $(F_n)_n$ uma sequência de funções de distribuição. Então, existem um espaço de probabilidade e uma sequência de variáveis aleatórias independentes, $(X_n)_n$, de modo que X_n tenha função de distribuição F_n para todo $n \in \mathbb{N}$.*

Demonstração. Pelo Teorema 3.15, existe um espaço de probabilidade onde podemos definir uma variável aleatória U com distribuição uniforme em $[0, 1]$. Definimos $(Y_n)_n$ como sendo a sequência de dígitos na expansão binária de U . Pelo Lema 4.26, as variáveis $(Y_n)_n$ são i.i.d. com distribuição uniforme no conjunto $\{0, 1\}$. Seja $f : \mathbb{N} \times \mathbb{N} \rightarrow \mathbb{N}$ uma bijeção, o que é garantido pelo Lema 4.25. Definimos a sequência de sequências $((Z_{j,k})_{k \in \mathbb{N}})_{j \in \mathbb{N}}$ por $Z_{j,k} = Y_{f(j,k)}$. Observe que $((Z_{j,k})_{k \in \mathbb{N}})_{j \in \mathbb{N}}$ continua sendo formada por variáveis i.i.d. com distribuição uniforme no conjunto $\{0, 1\}$.

Para cada $j \in \mathbb{N}$ fixo, usamos a sequência $(Z_{j,k})_k$ para definir $U_j = \sum_{k=1}^{\infty} 2^{-k} Z_{j,k}$. Pelo Lema 4.27, U_j tem distribuição uniforme em $[0, 1]$. Além disso, como cada variável da sequência $(U_j)_j$ depende de subconjuntos disjuntos de variáveis da sequência $(Y_n)_n$, concluímos que as variáveis $(U_j)_j$ são independentes⁷, logo, i.i.d. com distribuição uniforme em $[0, 1]$.

Finalmente, tomamos $X_j = F_j^{-1}(U_j)$ para todo j . Como a família $(U_j)_j$ é independente, a família $(X_j)_j$ também será independente. Ademais, $X_j \sim F_j$ para todo j , veja a demonstração do Teorema 3.16. Isso conclui a prova. \square

4.6 Exercícios

§4.1

1. Seja (X, Y) vetor aleatório tal que $(X, Y) \sim (Y, X)$. Mostre que $\mathbb{P}(X \geq Y) = \frac{1 + \mathbb{P}(X=Y)}{2}$.

⁷Esta conclusão bastante intuitiva se deve a uma generalização da Observação 4.12, que será vista na Seção 12.1.

2. Sejam $X \sim \text{Binom}(2, \frac{1}{2})$ e $Y \sim \mathcal{U}[0, 2]$ variáveis aleatórias independentes. Esboce o gráfico da função de distribuição de $\min(X, Y)$.

3. Seja X uma variável aleatória qualquer. Mostre que X é independente de si mesma se, e somente se, existe $c \in \mathbb{R}$ tal que $\mathbb{P}(X = c) = 1$.

4. Sejam X_1, \dots, X_n variáveis aleatórias independentes, com $X_k \sim \text{Exp}(\lambda)$ para todo $k = 1, \dots, n$. Determine a função de distribuição de $Y = \min\{X_1, \dots, X_n\}$. Trata-se de alguma distribuição conhecida? Se sim, qual?

5. Sejam Y e U duas variáveis aleatórias independentes e com leis $Y \sim \mathcal{N}(0, 1)$ e $\mathbb{P}(U = -1) = \mathbb{P}(U = +1) = \frac{1}{2}$. Ache a distribuição de $Z = UY$.

6. Um ponto P é escolhido com distribuição uniforme no círculo unitário $C = \{(x, y) \in \mathbb{R}^2 : x^2 + y^2 < 1\}$. Informalmente, isso quer dizer que a probabilidade de (X, Y) tomar valor em algum conjunto $A \subseteq C$ é dada pela razão entre as áreas de A e de C .

- (a) Sejam (X, Y) as coordenadas cartesianas de P . As variáveis X e Y são independentes? Justifique.
- (b) Sejam (R, θ) as coordenadas polares de P . Determine as funções de distribuição marginal F_R e F_θ bem como a conjunta $F_{R, \theta}$.
- (c) As variáveis R e θ são independentes? Justifique.

7. Dentre as funções abaixo, quais poderiam ser funções de distribuição conjunta de algum vetor aleatório?

(a)

$$F(x, y) = \begin{cases} 1 - \frac{1}{xy}, & x, y \geq 1, \\ 0, & x < 1 \text{ ou } y < 1. \end{cases}$$

(b)

$$F(x, y) = \begin{cases} 1 - e^{-x} - e^{-y} + e^{-x-y}, & x, y \geq 0, \\ 0, & x < 0 \text{ ou } y < 0. \end{cases}$$

(c)

$$F(x, y) = \begin{cases} 1 - e^{-x-y}, & x, y \geq 0, \\ 0, & x < 0 \text{ ou } y < 0. \end{cases}$$

§4.2

8. Suponha que $p_{X,Y}(0, 1) = p_{X,Y}(1, 0) = p_{X,Y}(1, 2) = p_{X,Y}(2, 1) = \frac{1}{4}$.

- (a) Encontre as distribuições marginais de X e Y .
- (b) Determine se X e Y são independentes.

9. Sejam X e Y variáveis aleatórias independentes, discretas e com distribuições $\text{Poisson}(\lambda_1)$ e $\text{Poisson}(\lambda_2)$, respectivamente. Mostre que, dada a ocorrência do evento $\{X + Y = n\}$, a probabilidade condicional de $X = k$ é

$$\mathbb{P}(X = k | X + Y = n) = \binom{n}{k} \left(\frac{\lambda_1}{\lambda_1 + \lambda_2} \right)^k \left(\frac{\lambda_2}{\lambda_1 + \lambda_2} \right)^{n-k}.$$

Interprete essa identidade.

10. Sejam $n \in \mathbb{N}$ e (X, Y) com função de probabilidade conjunta

$$p(j, k) = \begin{cases} c, & \text{se } 1 \leq j = k \leq n \text{ ou } 1 \leq j = n + 1 - k \leq n, \\ 0, & \text{caso contrário.} \end{cases}$$

- (a) Determine o valor da constante c .
- (b) Determine as distribuições marginais de X e Y .
- (c) X e Y são independentes?

11. Seja (X, Y, Z) vetor aleatório com função de densidade conjunta dada por

$$f(x, y, z) = \begin{cases} cxy^2z, & \text{se } 0 < x \leq 1, 0 < y \leq 1 \text{ e } 0 < z \leq \sqrt{2}, \\ 0, & \text{caso contrário.} \end{cases}$$

Encontre o valor de c e a função de densidade marginal de X .

12. Considere um vetor aleatório (Z, W) absolutamente contínuo com densidade

$$f_{Z,W}(z, w) = \begin{cases} c, & 0 < z < 1, 0 < w < z, \\ 0, & \text{caso contrário.} \end{cases}$$

Encontre c e $F_{Z,W}$.

13. Uma densidade conjunta de X e Y é dada por

$$f(x, y) = \begin{cases} \frac{ce^{-y}}{x^3}, & x > 1, y > 0 \\ 0, & \text{caso contrário.} \end{cases}$$

Encontre a constante c . Diga se X e Y são independentes e por quê.

14. Seja (X, Y) um vetor aleatório absolutamente contínuo com função de distribuição conjunta dada por $F_{X,Y}(x, y) = 0$ se $x < 0$ ou $y < 0$ e $F_{X,Y}(x, y) = 1 - e^{-x} + e^{-x-y} - xe^{-x} - e^{-y} + xe^{-x-y}$ caso contrário.

(a) Encontre uma densidade conjunta e diga se X e Y são independentes.

(b) Encontre a distribuição marginal F_Y .

15. Seja $\mathbf{X} = (X_1, X_2)$ um vetor com densidade conjunta dada por

$$f_{\mathbf{X}}(x, y) = \frac{\exp\left\{-\frac{1}{2(1-\rho^2)}\left[\left(\frac{x-\mu_1}{\sigma_1}\right)^2 - 2\rho\left(\frac{x-\mu_1}{\sigma_1}\right)\left(\frac{y-\mu_2}{\sigma_2}\right) + \left(\frac{y-\mu_2}{\sigma_2}\right)^2\right]\right\}}{2\pi\sigma_1\sigma_2\sqrt{1-\rho^2}}.$$

Tal vetor é dito ter *distribuição normal bivariada* com parâmetros $\mu_1, \mu_2 \in \mathbb{R}$, $\sigma_1, \sigma_2 > 0$ e $\rho \in [0, 1)$. Mostre que:

(a) $X_1 \sim \mathcal{N}(\mu_1, \sigma_1^2)$ e $X_2 \sim \mathcal{N}(\mu_2, \sigma_2^2)$.

(b) As variáveis X_1 e X_2 são independentes se, e somente se, $\rho = 0$.

§4.3

16. Sejam $X \sim \text{Poisson}(\lambda)$ e $Y \sim \text{Poisson}(\mu)$ independentes. Qual a distribuição de $X + Y$?

- 17.** Sejam X e Y variáveis aleatórias independentes ambas com distribuição geométrica de parâmetro p . Determine a função de probabilidade de $X - Y$.
- 18.** Sejam X_1, \dots, X_n variáveis aleatórias independentes, com $X_k \sim \mathcal{U}[-k, +k]$ para todo $k = 1, \dots, n$. Calcule $\mathbb{P}(X_1 + \dots + X_n \geq 0)$.
- 19.** Sejam X_1, \dots, X_n variáveis independentes e identicamente distribuídas com distribuição $\text{Exp}(\lambda)$, mostre que $X_1 + \dots + X_n \sim \text{Gama}(n, \lambda)$.
- 20.** Uma caixa contém 10 parafusos, cujos tamanhos são normais independentes, com $\mu = 21,40$ mm e $\sigma = 0,50$ mm. Calcule a probabilidade de que nenhum dos parafusos tenha mais de 22,0 mm.
- 21.** Um elevador pode suportar uma carga de 10 pessoas ou um peso total de 750 kg. Assumindo que apenas homens tomam o elevador e que seus pesos são normalmente distribuídos com $\mu = 74,0$ kg e $\sigma = 2,00$ kg, qual a probabilidade de que o peso limite seja excedido para um grupo de 10 homens escolhidos aleatoriamente?
- 22.** A distribuição dos comprimentos dos elos da corrente de bicicleta é normal, com parâmetros $\mu = 2,00$ cm e $\sigma^2 = 0,01$ cm². Para que uma corrente se ajuste à bicicleta, deve ter comprimento total entre 58,00 e 61,00 cm. Qual é a probabilidade de uma corrente com 30 elos não se ajustar à bicicleta?
- 23.** O peso de uma determinada fruta é uma variável aleatória com distribuição normal $\mu = 200,0$ g e $\sigma = 50,0$ g. Determine a probabilidade de um lote contendo 100 unidades dessa fruta pesar mais que 21,00 kg e diga com quantos algarismos significativos é possível determinar essa probabilidade.

§4.4

- 24.** Sejam X e Y variáveis aleatórias independentes, ambas com distribuição $\text{Exp}(1)$.
- (a) Use o método do jacobiano para determinar a distribuição conjunta de $X + Y$ e $\frac{X}{X+Y}$.

- (b) Diga se $X + Y$ e $\frac{X}{X+Y}$ são independentes.
- (c) Encontre a distribuição de $\frac{X}{X+Y}$.

25. Sejam X e Y independentes com densidades f_X e f_Y . Usando o método do jacobiano, dê uma prova alternativa para a fórmula

$$f_{X+Y}(t) = \int_{-\infty}^{\infty} f_X(t-s)f_Y(s) \, ds \quad \forall t \in \mathbb{R}.$$

Sugestão: Encontre a densidade conjunta de $X + Y$ e Y .

26. Se X e Y são independentes e distribuídas como $\mathcal{N}(0, 1)$, mostre que $4X + 3Y$ e $3X - 4Y$ são independentes e ambas distribuídas como $\mathcal{N}(0, 25)$.

27. Sejam X e Y independentes com distribuição $\mathcal{U}[0, 1]$, e defina $W = X + Y$ e $Z = X - Y$. Calcule a densidade conjunta de W e Z , e determine se elas são independentes.

Capítulo 5

Esperança Matemática

A esperança $\mathbb{E}X$ de uma variável aleatória X é a média dos valores assumidos por X , ponderada pela probabilidade de X assumir esses valores. Podemos pensar em $\mathbb{E}X$ como sendo o “centro de massa” de X . A esperança de X é, em vários sentidos, a melhor aproximação determinística para a variável aleatória X .

Uma das justificativas mais importantes, que veremos mais adiante, é a lei dos grandes números: se X_1, \dots, X_n são independentes e têm a mesma distribuição, então a média observada $\frac{1}{n} \sum_{j=1}^n X_j$ se aproxima de $\mathbb{E}X_1$ quando tomamos n grande.

Começaremos definindo a esperança e estudando suas propriedades básicas, o que cumprimos nas duas primeiras seções. Depois veremos propriedades de convergência da esperança, que serão usadas em algumas passagens específicas dos próximos capítulos, e a definição de esperança condicional dado um evento, que será usada no capítulo de esperança condicional.

Na última seção, que constitui a metade deste capítulo, vamos construir a integral de Lebesgue e estudar algumas das suas propriedades mais importantes. Essa seção será usada nos tópicos mais avançados deste livro.

5.1 Variáveis aleatórias simples

Uma variável aleatória X é dita *simples* se assume apenas finitos valores.

Definição 5.1. Dada uma variável aleatória simples X , definimos a *esperança de X* , ou *média de X* , denotada por $\mathbb{E}X$, por

$$\mathbb{E}X = \sum_x x \cdot \mathbb{P}(X = x).$$

Note que na soma acima há apenas finitos termos não-nulos.

A esperança de X pode ser pensada como o “centro de massa” da variável aleatória X , como ilustrado na Figura 5.1.

Outra interpretação de $\mathbb{E}X$ é dada pelo valor médio após muitas realizações de um mesmo experimento. Sejam a_1, \dots, a_k os possíveis valores recebidos em uma rodada de um jogo e X o resultado efetivamente ganho após a rodada. Suponhamos também que jogaremos esse jogo n vezes, e denotamos o resultado de cada jogada por X_1, \dots, X_n , independentes e com a mesma distribuição de X . A noção intuitiva de probabilidade como frequência relativa diz que a proporção dentre essas n repetições em que o resultado é a_r se aproxima de $\mathbb{P}(X = a_r)$ para n grande, ou seja,

$$\frac{1}{n} \sum_{j=1}^n \mathbb{1}_{\{X_j = a_r\}} \approx \mathbb{P}(X = a_r).$$

Dessa forma, para o ganho total dividido pelo número de jogadas, obtemos

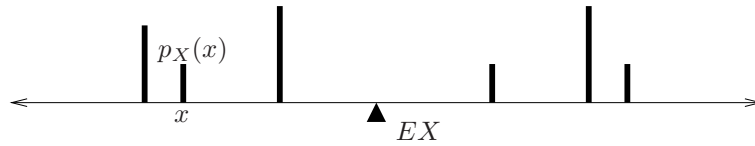


Figura 5.1. A esperança de X como o centro de massa de p_X .

$$\begin{aligned}\frac{1}{n} \sum_{j=1}^n X_j &= \frac{1}{n} \sum_{j=1}^n \sum_{r=1}^k a_r \mathbb{1}_{\{X_j=a_r\}} = \\ &= \sum_{r=1}^k a_r \left(\frac{1}{n} \sum_{j=1}^n \mathbb{1}_{\{X_j=a_r\}} \right) \approx \sum_{r=1}^k a_r \cdot \mathbb{P}(X = a_r) = \mathbb{E}X.\end{aligned}$$

Vejamos alguns exemplos simples.

Exemplo 5.2. Ao lançar um dado, seja X o valor observado em sua face superior. Neste caso,

$$\mathbb{E}X = 1 \times \mathbb{P}(X = 1) + \cdots + 6 \times \mathbb{P}(X = 6) = \frac{1}{6} + \frac{2}{6} + \cdots + \frac{6}{6} = \frac{21}{6} = \frac{7}{2}. \quad \triangle$$

Exemplo 5.3. Lançamos uma moeda 4 vezes, seja X a variável aleatória que conta quantas vezes saem cara. Neste caso,

$$\mathbb{E}X = 0 \times \frac{1}{16} + 1 \times \frac{4}{16} + 2 \times \frac{6}{16} + 3 \times \frac{4}{16} + 4 \times \frac{1}{16} = \frac{32}{16} = 2. \quad \triangle$$

Exemplo 5.4. Seja X dada por $X = \mathbb{1}_A$ para algum $A \in \mathcal{F}$. Neste caso, $\mathbb{E}X = 0 \times \mathbb{P}(A^c) + 1 \times \mathbb{P}(A) = \mathbb{P}(A)$. Ou seja,

$$\mathbb{E}[\mathbb{1}_A] = \mathbb{P}(A).$$

Reciprocamente, se $X \sim \text{Bernoulli}(p)$ então podemos considerar o evento A dado por $A = \{\omega : X(\omega) = 1\}$, de forma que $X = \mathbb{1}_A$ e $\mathbb{E}X = p$. \triangle

Exemplo 5.5. Ao lançar um dado duas vezes, seja X a soma dos valores observados. Neste caso,

$$\begin{aligned}\mathbb{E}X &= 2 \times \frac{1}{36} + 3 \times \frac{2}{36} + 4 \times \frac{3}{36} + 5 \times \frac{4}{36} + 6 \times \frac{5}{36} + 7 \times \frac{6}{36} + \\ &\quad + 8 \times \frac{5}{36} + 9 \times \frac{4}{36} + 10 \times \frac{3}{36} + 11 \times \frac{2}{36} + 12 \times \frac{1}{36} = 7. \quad \triangle\end{aligned}$$

Exemplo 5.6. Retiramos 3 cartas de um baralho comum, seja X o número de

reis retirados. Neste caso,

$$\begin{aligned}\mathbb{E}X &= 0 \times \frac{48 \cdot 47 \cdot 46}{52 \cdot 51 \cdot 50} + 1 \times \frac{3 \cdot 48 \cdot 47 \cdot 4}{52 \cdot 51 \cdot 50} + \\ &\quad + 2 \times \frac{3 \cdot 48 \cdot 4 \cdot 3}{52 \cdot 51 \cdot 50} + 3 \times \frac{4 \cdot 3 \cdot 2}{52 \cdot 51 \cdot 50} = \frac{3}{13}.\end{aligned}\quad \triangle$$

Exemplo 5.7. Se $X \sim \text{Binom}(n, p)$, então

$$\begin{aligned}\mathbb{E}X &= \sum_{k=0}^n k \binom{n}{k} p^k (1-p)^{n-k} = \sum_{k=1}^n n \binom{n-1}{k-1} p^k (1-p)^{n-k} \\ &= n \sum_{j=0}^{n-1} \binom{n-1}{j} p^{j+1} (1-p)^{n-j-1} = np \sum_{j=0}^{n-1} \binom{n-1}{j} p^j (1-p)^{n-1-j} \\ &= np[p + (1-p)]^{n-1} = np.\end{aligned}\quad \triangle$$

Exemplo 5.8. Seja X a variável que denota o produto dos valores observados ao lançarmos um dado duas vezes.

$$\begin{aligned}\mathbb{E}X &= \frac{1}{36} (1 \cdot 1 + 2 \cdot 2 + 3 \cdot 2 + 4 \cdot 3 + 5 \cdot 2 + 6 \cdot 4 + \\ &\quad + 8 \cdot 2 + 9 \cdot 1 + 10 \cdot 2 + 12 \cdot 4 + 15 \cdot 2 + 16 \cdot 1 + \\ &\quad + 18 \cdot 2 + 20 \cdot 2 + 24 \cdot 2 + 25 \cdot 1 + 30 \cdot 2 + 36 \cdot 1) = \frac{49}{4}.\end{aligned}\quad \triangle$$

Uma propriedade fundamental da esperança é a seguinte.

Teorema 5.9 (Linearidade). *Sejam X e Y variáveis aleatórias simples e $a, b \in \mathbb{R}$. Então $\mathbb{E}[aX + bY] = a\mathbb{E}X + b\mathbb{E}Y$.*

Antes da demonstração, vejamos alguns exemplos do uso da linearidade.

Exemplo 5.10. No Exemplo 5.3, podemos escrever $X = X_1 + X_2 + X_3 + X_4$, onde X_k denota a função indicadora de que saiu cara no k -ésimo lançamento. Logo, $\mathbb{E}X = \mathbb{E}X_1 + \mathbb{E}X_2 + \mathbb{E}X_3 + \mathbb{E}X_4 = 4 \cdot \frac{1}{2} = 2$. \triangle

Exemplo 5.11. No Exemplo 5.5, observamos que $X = Y + Z$, onde Y e Z representam os valores observados no primeiro e no segundo lançamentos do

dado. Logo,

$$\mathbb{E}X = \mathbb{E}Y + \mathbb{E}Z = \frac{7}{2} + \frac{7}{2} = 7. \quad \triangle$$

Exemplo 5.12. No Exemplo 5.6, observamos que $X = X_1 + X_2 + X_3$, onde X_k é a indicadora de que a k -ésima carta retirada é rei. Ao contrário dos exemplos anteriores, aqui X_1 , X_2 e X_3 não são independentes. Ainda assim, cada uma individualmente satisfaz $\mathbb{E}X_k = \frac{1}{13}$, e podemos calcular

$$\mathbb{E}X = \mathbb{E}X_1 + \mathbb{E}X_2 + \mathbb{E}X_3 = \frac{3}{13}. \quad \triangle$$

Exemplo 5.13. No Exemplo 5.7, observamos que X tem a mesma distribuição de $X_1 + \cdots + X_n$, com X_k i.i.d. Bernoulli(p), e portanto

$$\mathbb{E}X = \mathbb{E}X_1 + \cdots + \mathbb{E}X_n = np. \quad \triangle$$

Nos exemplos anteriores, é mais curto calcular a esperança usando linearidade do que usando a distribuição de X diretamente. Existem muitos outros casos em que descrever a distribuição de X é muito difícil ou até mesmo impossível, mas ainda assim é possível calcular a esperança usando linearidade.

Exemplo 5.14. Uma gaveta contém 10 pares de meias, todos diferentes. Abre-se a gaveta no escuro e retiram-se 6 meias. Qual é a esperança do número de pares X formados pelas meias retiradas? Se numeramos as meias retiradas, e contamos a quantidade N de meias cujo par também foi retirado, estaremos contando cada par duas vezes, portanto $N = 2X$. A probabilidade de que o par da primeira meia retirada também seja retirado é $\frac{5}{19}$. Somando sobre as 6 meias, obtemos $\mathbb{E}[2X] = \mathbb{E}N = 6 \times \frac{5}{19}$, e portanto $\mathbb{E}X = \frac{15}{19}$. \triangle

Uma prova curta do Teorema 5.9 utiliza a seguinte propriedade.

Teorema 5.15. *Sejam X e Y variáveis aleatórias simples. Então,*

$$\mathbb{E}[g(X, Y)] = \sum_x \sum_y g(x, y) \cdot \mathbb{P}(X = x, Y = y)$$

para qualquer função $g : \mathbb{R}^2 \rightarrow \mathbb{R}$. Em particular,

$$\mathbb{E}[g(X)] = \sum_x g(x) \cdot \mathbb{P}(X = x)$$

para qualquer função $g : \mathbb{R} \rightarrow \mathbb{R}$.

Demonstração. Particionando Ω segundo os valores de X e Y ,

$$\begin{aligned} \mathbb{E}[g(X, Y)] &= \sum_z z \cdot \mathbb{P}(g(X, Y) = z) \\ &= \sum_z z \cdot \sum_x \sum_y \mathbf{1}_{g(x, y) = z} \cdot \mathbb{P}(X = x, Y = y) \\ &= \sum_x \sum_y \left(\sum_z z \cdot \mathbf{1}_{g(x, y) = z} \right) \cdot \mathbb{P}(X = x, Y = y) \\ &= \sum_x \sum_y g(x, y) \cdot \mathbb{P}(X = x, Y = y). \end{aligned}$$

A segunda parte é um caso particular tomando-se Y constante. □

Exemplo 5.16. Se $X \sim \text{Binom}(n, p)$, então

$$\begin{aligned} \mathbb{E}[2^X + X^2 - X] &= \sum_{k=0}^n (2^k + k(k-1)) \cdot \binom{n}{k} p^k (1-p)^{n-k} \\ &= \sum_{k=0}^n \left(\binom{n}{k} (2p)^k (1-p)^{n-k} + n(k-1) \binom{n-1}{k-1} p^k (1-p)^{n-k} \right) \\ &= (2p + 1 - p)^n + \sum_{k=0}^n n(n-1) \binom{n-2}{k-2} p^k (1-p)^{n-k} \\ &= (1+p)^n + n(n-1)p^2 \sum_{j=0}^{n-2} \binom{n-2}{j} p^j (1-p)^{n-2-j} \\ &= (1+p)^n + (np)^2 - np^2. \end{aligned} \quad \triangle$$

Demonstração do Teorema 5.9. Usando o Teorema 5.15 três vezes,

$$\begin{aligned}\mathbb{E}[aX + bY] &= \sum_x \sum_y (ax + by) \cdot \mathbb{P}(X = x, Y = y) \\ &= a \sum_x \sum_y x \cdot \mathbb{P}(X = x, Y = y) + b \sum_x \sum_y y \cdot \mathbb{P}(X = x, Y = y) \\ &= a \mathbb{E}X + b \mathbb{E}Y,\end{aligned}$$

o que conclui a prova. \square

Teorema 5.17. *Se X e Y são simples e independentes, então*

$$\mathbb{E}[XY] = \mathbb{E}X \cdot \mathbb{E}Y.$$

Demonstração. Usando o Teorema 5.15 e a independência,

$$\begin{aligned}\mathbb{E}[XY] &= \sum_x \sum_y xy \cdot \mathbb{P}(X = x, Y = y) \\ &= \sum_x \sum_y xy \cdot \mathbb{P}(X = x) \mathbb{P}(Y = y) \\ &= \left(\sum_x x \cdot \mathbb{P}(X = x) \right) \left(\sum_y y \cdot \mathbb{P}(Y = y) \right) = \mathbb{E}X \cdot \mathbb{E}Y,\end{aligned}$$

o que conclui a prova. \square

Exemplo 5.18. No Exemplo 5.8, observemos que $X = YZ$, onde Y e Z denotam o primeiro e segundo valores observados nos lançamentos do dado. Logo,

$$\mathbb{E}X = \mathbb{E}Y \cdot \mathbb{E}Z = \frac{7}{2} \cdot \frac{7}{2} = \frac{49}{4}.$$

Repare como o cálculo foi simplificado. \triangle

5.2 Esperança matemática

Nesta seção vamos definir a esperança de uma variável aleatória qualquer, e estudar suas principais propriedades. Vimos na seção anterior que $\mathbb{E}X$ representa a média dos valores que X pode tomar, ponderada por sua probabilidade. A generalização dessa mesma ideia seria, por analogia,

$$\mathbb{E}X = \sum_x x \cdot p_X(x)$$

no caso de X ser discreta e

$$\mathbb{E}X = \int_{-\infty}^{+\infty} x \cdot f_X(x) dx$$

no caso de X ter densidade.

As fórmulas acima são a forma correta de pensar na esperança como valor médio, mas elas se restringem ao caso de variáveis discretas ou que tenham densidade. Além disso, dificilmente permitiriam comparar uma variável discreta com uma contínua, e não cobrem o caso de variáveis que não são nem de um tipo nem de outro. Em particular, uma das propriedades fundamentais da esperança, a linearidade, não pode ser demonstrada a partir das fórmulas acima (de fato, a soma de duas variáveis com densidade pode não ser de nenhum desses dois tipos). Por isso, daremos uma definição unificada de $\mathbb{E}X$,

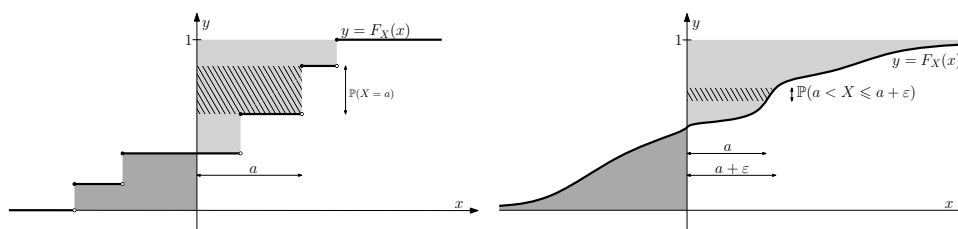


Figura 5.2. No lado esquerdo, a esperança de uma variável aleatória simples, vista como uma área determinada pela função de distribuição. No lado direito, a generalização do mesmo conceito para uma variável aleatória qualquer.

que não usa f_X nem p_X .

Para motivar a definição, reparemos que a esperança de uma variável aleatória simples é dada pela diferença entre as áreas cinza-clara e cinza-escura no lado esquerdo da Figura 5.2. A esperança de uma variável aleatória qualquer é definida por analogia, como mostrado no lado direito da mesma figura.

Definição 5.19. Definimos a *esperança* de uma variável aleatória X por

$$\mathbb{E}X = \int_0^{+\infty} \mathbb{P}(X > x) dx - \int_{-\infty}^0 \mathbb{P}(X < x) dx$$

se pelo menos uma das duas integrais impróprias acima for finita.⁸ Caso contrário, dizemos que $\mathbb{E}X$ *não está definida*. Quando ambas as integrais forem finitas, dizemos que a variável aleatória X é *integrável*.

Pela definição acima, X é integrável quando $\mathbb{E}X$ é um número real. Entretanto, permitimos que $\mathbb{E}X$ assuma os valores $-\infty$ ou $+\infty$ quando apenas uma das integrais acima for finita, e neste caso X não será integrável.

Exemplo 5.20 (Exponencial). Se $X \sim \text{Exp}(\lambda)$, então

$$\mathbb{E}X = \int_0^{+\infty} \mathbb{P}(X > x) dx = \int_0^{+\infty} e^{-\lambda x} dx = \frac{1}{\lambda}.$$

Ou seja, X é integrável e sua esperança é $\frac{1}{\lambda}$. \triangle

Exemplo 5.21 (Normal). Seja $X \sim \mathcal{N}(0, 1)$. Então

$$\begin{aligned} \int_0^{+\infty} \mathbb{P}(X > x) dx &= \int_0^2 \mathbb{P}(X > x) dx + \int_2^{+\infty} \int_x^{+\infty} f_X(t) dt dx \\ &\leq 2 + \int_2^{+\infty} \int_x^{+\infty} f_X(t) dt dx \\ &\leq 2 + \int_2^{+\infty} \int_x^{+\infty} e^{-t} dt dx = 2 + e^{-2} < \infty. \end{aligned}$$

⁸As integrais estão definidas pelos Teoremas A.1 e A.7.

Qualquer que seja o valor dessa integral, é um número finito e, por simetria, será igual a $\int_{-\infty}^0 \mathbb{P}(X < x) dx$. Portanto, X é integrável e $\mathbb{E}X = 0$. \triangle

Exemplo 5.22. Seja X com densidade $f_X(x) = x^{-2} \mathbb{1}_{(-\infty, -2] \cup [2, +\infty)}(x)$. Este exemplo tem simetria como o anterior, porém não podemos chegar à mesma conclusão pois as integrais não são finitas. Com efeito,

$$\int_0^{+\infty} \mathbb{P}(X > x) dx \geq \int_2^{+\infty} \int_x^{+\infty} f_X(t) dt dx = \int_2^{+\infty} x^{-1} dx = +\infty.$$

Uma estimativa idêntica mostra que $\int_{-\infty}^0 \mathbb{P}(X < x) dx = +\infty$. Assim sendo, a esperança de X não está definida, apesar da simetria. \triangle

Exemplo 5.23. Seja X com densidade $f_X(x) = x^{-2} \mathbb{1}_{(-\infty, -2]}(x) + x^{-3} \mathbb{1}_{[1, +\infty)}(x)$. Como no exemplo acima, para a parte negativa temos $\int_{-\infty}^0 \mathbb{P}(X < x) dx = +\infty$. Por outro lado, para a parte positiva,

$$\int_0^{+\infty} \mathbb{P}(X > x) dx = \frac{1}{2} + \int_1^{+\infty} \int_x^{+\infty} f_X(t) dt dx = \frac{1}{2} + \int_1^{+\infty} \frac{x^{-2}}{2} dx = 1$$

e, portanto, $\mathbb{E}X = 1 - (+\infty) = -\infty$. Neste exemplo, X não é integrável. \triangle

Observação 5.24. A esperança de uma variável aleatória depende apenas da sua distribuição. Mais precisamente, se X e Y têm a mesma distribuição e $\mathbb{E}X$ está definida, então $\mathbb{E}Y = \mathbb{E}X$. Em particular, se $\mathbb{P}(X = Y) = 1$ e $\mathbb{E}X$ está definida, então $\mathbb{E}Y = \mathbb{E}X$. \triangle

A seguir veremos as principais propriedades da esperança, fórmulas para calcular $\mathbb{E}X$ no caso de X ser discreta ou absolutamente contínua, bem como a esperança de funções de variáveis aleatórias desses tipos.

Teorema 5.25 (Variáveis aleatórias discretas). *Se X é discreta, então*

$$\mathbb{E}X = \sum_{x < 0} x \cdot p_X(x) + \sum_{x > 0} x \cdot p_X(x)$$

caso uma das duas séries convirja. Caso contrário, $\mathbb{E}X$ não está definida.

Demonstração. Já sabemos que a identidade vale se X assume finitos valores.

Podemos mostrar que também vale para X discreta aproximando-a por variáveis que assumem finitos valores. Uma prova completa será dada na Seção 5.3. \square

Exemplo 5.26 (Poisson). Se $X \sim \text{Poisson}(\lambda)$, então

$$\begin{aligned}\mathbb{E}X &= \sum_{n=0}^{\infty} n \frac{\lambda^n e^{-\lambda}}{n!} = \sum_{n=1}^{\infty} \frac{\lambda^n e^{-\lambda}}{(n-1)!} = \\ &= \lambda e^{-\lambda} \sum_{n=1}^{\infty} \frac{\lambda^{n-1}}{(n-1)!} = \lambda e^{-\lambda} \sum_{n=0}^{\infty} \frac{\lambda^n}{n!} = \lambda e^{-\lambda} e^{\lambda} = \lambda.\end{aligned}$$

Portanto, a esperança de uma variável aleatória Poisson com parâmetro λ é o próprio λ . \triangle

Vejamos agora como calcular a esperança de uma variável com densidade.

Teorema 5.27 (Variáveis aleatórias absolutamente contínuas). *Seja X uma variável aleatória absolutamente contínua com densidade f_X . Então*

$$\mathbb{E}X = \int_0^{+\infty} x \cdot f_X(x) dx + \int_{-\infty}^0 x \cdot f_X(x) dx$$

caso uma das duas integrais seja finita. Caso contrário, $\mathbb{E}X$ não está definida.

Demonstração. A prova completa será dada na Seção 5.5.5, mas aqui damos dois argumentos que ajudam a entender de onde vem a fórmula. O primeiro supõe que podemos inverter as integrais:

$$\begin{aligned}\int_0^{+\infty} \mathbb{P}(X > s) ds &= \int_0^{+\infty} \int_s^{+\infty} f_X(x) dx ds \\ &= \int_0^{+\infty} \int_0^x f_X(x) ds dx = \int_0^{+\infty} x \cdot f_X(x) dx.\end{aligned}$$

Vejamos uma prova mais gráfica supondo que f_X é contínua e vale zero fora

de $[0, M]$ para algum M . Integrando por partes, obtemos

$$\int_0^{+\infty} [1 - F_X(x)] dx = \int_0^{+\infty} x \cdot F'_X(x) dx = \int_0^{+\infty} x \cdot f_X(x) dx.$$

A integral $\int_{-\infty}^0 \mathbb{P}(X < x) dx$ é tratada de forma análoga. \square

Exemplo 5.28 (Uniforme). Se $X \sim \mathcal{U}[a, b]$, então

$$\mathbb{E}X = \int_a^b x \frac{1}{b-a} dx = \frac{a+b}{2}.$$

Isto é, a esperança de uma variável aleatória com distribuição uniforme em um intervalo é o ponto médio deste intervalo. \triangle

Teorema 5.29. *Sejam X e Y variáveis aleatórias e $a, b \in \mathbb{R}$. Então valem as seguintes propriedades:*

- (1) *Unitariedade:* se $X = \mathbf{1}_A$ para algum $A \in \mathcal{F}$, então $\mathbb{E}X = \mathbb{P}(A)$.
- (2) *Monotonicidade:* se $0 \leq X \leq Y$ para todo ω , então $0 \leq \mathbb{E}X \leq \mathbb{E}Y$.
- (3) *Linearidade:* vale $\mathbb{E}[aX + bY] = a\mathbb{E}X + b\mathbb{E}Y$, supondo que Y seja integrável e $\mathbb{E}X$ esteja definida.

Demonstração. Para provar (1), observamos que se $X = \mathbf{1}_A$, então X é uma variável aleatória simples, donde $\mathbb{E}X = 1 \cdot \mathbb{P}(X = 1) = \mathbb{P}(A)$. Para (2), basta desenvolver

$$\mathbb{E}X = \int_0^{+\infty} \mathbb{P}(X > x) dx \leq \int_0^{+\infty} \mathbb{P}(Y > x) dx = \mathbb{E}Y.$$

Já sabemos que (3) vale se X e Y são variáveis aleatórias simples, podemos mostrar que continua válido para X e Y quaisquer aproximando-as por variáveis desse tipo. Uma prova completa será dada na Seção 5.3. \square

Diversas propriedades da esperança decorrem dessas três acima.

Proposição 5.30. *Dada uma variável aleatória X e $a, b, c \in \mathbb{R}$, valem:*

- (1) Se $X = c$ para todo ω , então $\mathbb{E}X = c$.
- (2) Se $a \leq X \leq b$ para todo ω , então $a \leq \mathbb{E}X \leq b$.
- (3) Se $X \geq 0$ para todo ω , então $\mathbb{E}X \geq 0$.
- (4) Se $X \geq 0$ para todo ω e $\mathbb{E}X = 0$, então $\mathbb{P}(X = 0) = 1$.

Demonstração. Vamos mostrar apenas a última, deixando as demais como exercício. Para todo $\varepsilon > 0$, temos $X \geq \varepsilon \cdot \mathbf{1}_{\{X \geq \varepsilon\}}$. Por monotonicidade, $\mathbb{E}X \geq \mathbb{E}[\varepsilon \mathbf{1}_{\{X \geq \varepsilon\}}] = \varepsilon \mathbb{P}(X \geq \varepsilon)$. Logo, $\mathbb{P}(X \geq \varepsilon) = 0$ para todo $\varepsilon > 0$, donde $\mathbb{P}(X > 0) = \lim_k \mathbb{P}(X \geq k^{-1}) = 0$ pois $\{X \geq k^{-1}\} \uparrow \{X > 0\}$. \square

Há situações em que somente podemos afirmar que algo ocorre com probabilidade 1, mesmo que não ocorra para todo ω . Um exemplo é o item (4) da proposição acima. Daqui para frente, diremos que um evento A ocorre *quase certamente*, abreviado por q.c., quando $\mathbb{P}(A) = 1$. Usando a Observação 5.24, podemos obter uma versão mais forte da proposição acima, trocando “para todo ω ” por “quase certamente” em cada item.

Proposição 5.31 (Esperança de variáveis aleatórias independentes). *Se X e Y são independentes e não-negativas, então*

$$\mathbb{E}[XY] = \mathbb{E}X \cdot \mathbb{E}Y.$$

A mesma identidade vale supondo X e Y independentes e integráveis.

Demonstração. Já sabemos que a identidade vale se X e Y assumem finitos valores. Podemos mostrar o caso geral aproximando-as por variáveis desse tipo. Uma prova completa será dada na Seção 5.3. \square

Proposição 5.32. *Se X assume valores em \mathbb{N}_0 , então*

$$\mathbb{E}X = \sum_{n=1}^{\infty} \mathbb{P}(X \geq n).$$

Demonstração. Basta ver que

$$\int_0^n \mathbb{P}(X > x) dx = \sum_{k=1}^n \int_{k-1}^k \mathbb{P}(X > x) dx = \sum_{k=1}^n \mathbb{P}(X \geq k)$$

e tomar o limite com $n \rightarrow \infty$. \square

Exemplo 5.33 (Geométrica). Se $X \sim \text{Geom}(p)$ então

$$\mathbb{E}X = \sum_{n=1}^{\infty} \mathbb{P}(X \geq n) = \sum_{n=1}^{\infty} (1-p)^{n-1} = \sum_{j=0}^{\infty} (1-p)^j = \frac{1}{1-(1-p)} = \frac{1}{p}. \quad \triangle$$

Proposição 5.34 (Critério de integrabilidade). *Uma variável aleatória X é integrável se, e somente se, $\sum_{n=1}^{\infty} \mathbb{P}(|X| \geq n) < \infty$.*

Demonstração. Primeiro, X é integrável se, e somente se, $\mathbb{E}|X| < \infty$, pois

$$\mathbb{E}|X| = \int_0^{+\infty} \mathbb{P}(|X| > x) dx = \int_0^{+\infty} \mathbb{P}(X > x) dx + \int_{-\infty}^0 \mathbb{P}(X < x) dx.$$

Seja $Y = \lfloor |X| \rfloor$. Como $0 \leq Y \leq |X| \leq Y+1$, segue que $\mathbb{E}Y \leq \mathbb{E}|X| \leq 1 + \mathbb{E}Y$. E como Y assume valores em \mathbb{N}_0 , segue da Proposição 5.32 que

$$\sum_{n=1}^{\infty} \mathbb{P}(Y \geq n) \leq \mathbb{E}|X| \leq 1 + \sum_{n=1}^{\infty} \mathbb{P}(Y \geq n).$$

Observando que $\mathbb{P}(Y \geq n) = \mathbb{P}(|X| \geq n)$, concluímos a demonstração. \square

Suponha que queiramos calcular a esperança de uma variável aleatória descrita explicitamente como uma função de outra. Mais precisamente, suponha que $Y = g(X)$, para alguma função g . Certamente, uma forma de obter $\mathbb{E}Y$ é calcular $F_Y(y)$ para todo $y \in \mathbb{R}$, a partir da distribuição de X , e depois calcular a esperança usando os Teoremas 5.25 e 5.27 ou a própria Definição 5.19, aplicados a Y . Entretanto, existe outra maneira, que pode ser mais conveniente.

Teorema 5.35 (Funções de variáveis aleatórias discretas). *Sejam X uma variável aleatória discreta e $g : \mathbb{R} \rightarrow \mathbb{R}$ uma função não-negativa. Então*

$$\mathbb{E}[g(X)] = \sum_x g(x) \cdot p_X(x).$$

Se X toma apenas finitos valores, a identidade acima é a segunda parte do Teorema 5.15. O caso geral será tratado na Seção 5.3.

Exemplo 5.36. Se $X \sim \text{Poisson}(\lambda)$, então

$$\begin{aligned} \mathbb{E}X^2 &= \sum_{n=0}^{\infty} n^2 \frac{\lambda^n e^{-\lambda}}{n!} = \sum_{n=1}^{\infty} n \frac{\lambda^n e^{-\lambda}}{(n-1)!} = \sum_{n=1}^{\infty} \frac{\lambda^n e^{-\lambda}}{(n-1)!} + \sum_{n=2}^{\infty} \frac{\lambda^n e^{-\lambda}}{(n-2)!} \\ &= \lambda e^{-\lambda} \sum_{n=1}^{\infty} \frac{\lambda^{n-1}}{(n-1)!} + \lambda^2 e^{-\lambda} \sum_{n=2}^{\infty} \frac{\lambda^{n-2}}{(n-2)!} = \lambda + \lambda^2. \quad \triangle \end{aligned}$$

Exemplo 5.37. Seja $X \sim \text{Geom}(p)$. Vamos calcular

$$\mathbb{E}X^2 = \sum_{n=1}^{\infty} n^2 (1-p)^{n-1} p$$

derivando séries de potência. Para isso, escrevemos $q = 1 - p$ e

$$\begin{aligned} \mathbb{E}X^2 &= p \sum_{n=1}^{\infty} n q^{n-1} + p q \sum_{n=1}^{\infty} n(n-1) q^{n-2} \\ &= p \frac{d}{dq} \sum_{n=0}^{\infty} q^n + p q \frac{d^2}{dq^2} \sum_{n=0}^{\infty} q^n \\ &= p \frac{1}{(1-q)^2} + p q \frac{2}{(1-q)^3} \\ &= \frac{1}{p} + 2 \cdot \frac{1-p}{p^2} = \frac{2-p}{p^2}. \end{aligned}$$

Admitimos a propriedade de que séries de potência podem ser derivadas termo a termo, dentro do seu raio de convergência, neste caso $|q| < 1$. \triangle

Teorema 5.38 (Funções de variáveis absolutamente contínuas). *Seja X uma*

variável aleatória absolutamente contínua com densidade f_X . Seja g uma função não-negativa e contínua por partes. Então

$$\mathbb{E}[g(X)] = \int_{-\infty}^{+\infty} g(x) f_X(x) dx.$$

Demonstração. Provaremos aqui supondo que g é uma função-degrau que assume finitos valores. A prova do caso geral será dada na Seção 5.5.5. Sejam y_1, \dots, y_n os valores assumidos por g , e $A_k = \{x \in \mathbb{R} : g(x) = y_k\}$. Assim, podemos escrever $g(x) = \sum_k y_k \mathbf{1}_{A_k}(x)$, logo $Y = \sum_{k=1}^n y_k \mathbf{1}_{\{X \in A_k\}}$. Portanto,

$$\mathbb{E}Y = \sum_{k=1}^n y_k \mathbb{P}(X \in A_k) = \sum_{k=1}^n \int_{A_k} y_k f_X(x) dx = \int_{-\infty}^{+\infty} g(x) f_X(x) dx,$$

pois $g(x) = y_k$ para todo $x \in A_k$. □

Exemplo 5.39. Se $X \sim \text{Exp}(\lambda)$, então

$$\mathbb{E}X^2 = \int_0^{+\infty} x^2 \lambda e^{-\lambda x} dx = \frac{2}{\lambda^2}. \quad \triangle$$

Exemplo 5.40. Se $X \sim \mathcal{N}(0, 1)$, então

$$\mathbb{E}X^2 = \int_{-\infty}^{+\infty} x^2 \frac{e^{-x^2/2}}{\sqrt{2\pi}} dx = 1$$

e

$$\mathbb{E}|X| = \int_{-\infty}^{+\infty} |x| \frac{e^{-x^2/2}}{\sqrt{2\pi}} dx = \sqrt{\frac{2}{\pi}}. \quad \triangle$$

Observação 5.41. O teorema anterior tem seu análogo multidimensional. Se um vetor aleatório $\mathbf{X} = (X_1, \dots, X_n)$ possui densidade conjunta $f_{\mathbf{X}}$ e se $g : \mathbb{R}^n \rightarrow \mathbb{R}$ uma função não-negativa e contínua, então

$$\mathbb{E}[g(\mathbf{X})] = \int_{-\infty}^{+\infty} \cdots \int_{-\infty}^{+\infty} g(x_1, \dots, x_n) f_{\mathbf{X}}(x_1, \dots, x_n) dx_1 \cdots dx_n. \quad (5.42)$$

Esta fórmula será usada em alguns exemplos e exercícios e será provada no

final deste capítulo. △

Os Teoremas 5.35 e 5.38 valem supondo que $\mathbb{E}[g(X)]$ está definida, ao invés de g não-negativa. Para justificar essa extensão, basta separar os pontos onde g é positiva e negativa. A *parte positiva* e a *parte negativa* de um número $z \in \overline{\mathbb{R}}$ são denotadas por

$$z^+ = \begin{cases} z, & z \geq 0, \\ 0, & z \leq 0, \end{cases} \quad z^- = \begin{cases} 0, & z \geq 0, \\ -z, & z \leq 0. \end{cases}$$

Com essa definição, $z = z^+ - z^-$ e $|z| = z^+ + z^-$. Da mesma forma, podemos definir $g^+(x) = [g(x)]^+$ e $g^-(x) = [g(x)]^-$ de forma que $g = g^+ - g^-$. Observe que $\mathbb{E}[g^+(X)]$ e $\mathbb{E}[g^-(X)]$ sempre estão definidas. Ademais,

$$\mathbb{E}[g(X)] = \mathbb{E}[g^+(X)] - \mathbb{E}[g^-(X)]$$

se uma das duas for finita, e $\mathbb{E}[g(X)]$ não está definida caso contrário. Em geral, não sabemos de antemão se uma variável aleatória é integrável; assim sendo, a abordagem mais simples é de fato separar as partes positiva e negativa e usar esses dois teoremas tal como foram enunciados.

Existem outras formas de se definir a esperança, todas elas equivalentes. Isso também se reflete em distintas notações, que o leitor poderá encontrar em diferentes bibliografias:

$$\mathbb{E}X = \int_{\Omega} X \, d\mathbb{P}, \quad \mathbb{E}X = \int_{\mathbb{R}} x \, d\mathbb{P}_X, \quad \mathbb{E}X = \int_{\mathbb{R}} x \, dF_X(x).$$

A definição que usamos aqui corresponde à primeira, que se refere à integral de Lebesgue no espaço de probabilidade Ω visto como um espaço de medida. A segunda integral também é uma integral de Lebesgue, porém no espaço de probabilidade $(\mathbb{R}, \mathcal{B}, \mathbb{P}_X)$ onde \mathbb{P}_X é a lei de X . A terceira integral é conhecida como integral de Stieltjes com função integradora dada por F_X .

5.3 Aproximação e convergência da esperança

Em inúmeras situações estaremos interessados no limite de $\mathbb{E}X_n$ para uma sequência X_1, X_2, X_3, \dots de variáveis aleatórias. Mais precisamente, gostaríamos de poder comutar a esperança com um limite em n , e por isso queremos estabelecer condições sob as quais $\mathbb{E}[\lim_n X_n] = \lim_n \mathbb{E}X_n$. Vale lembrar que derivadas e integrais também são limites.

Teorema 5.43 (Teorema da Convergência Monótona). *Sejam X e $(X_n)_n$ variáveis aleatórias não-negativas, tais que, para todo ω , $(X_n(\omega))_n$ é não-decrescente e converge para $X(\omega)$. Então $\mathbb{E}X_n \rightarrow \mathbb{E}X$ quando $n \rightarrow \infty$.*

Demonstração. Como $0 \leq X_n \leq X_{n+1} \leq X$, temos que $\lim_n \mathbb{E}X_n$ existe e $\lim_n \mathbb{E}X_n \leq \mathbb{E}X$, restando mostrar a desigualdade oposta. Seja $M < \mathbb{E}X$ qualquer, e tome K tal que $\int_0^K \mathbb{P}(X > x) dx > M$. Seja $N \in \mathbb{N}$. Escrevemos

$$\begin{aligned} \mathbb{E}X_n &= \int_0^{+\infty} \mathbb{P}(X_n > x) dx \geq \int_0^K \mathbb{P}(X_n > x) dx = \\ &= \sum_{j=1}^N \int_{(j-1)\frac{K}{N}}^{j\frac{K}{N}} \mathbb{P}(X_n > x) dx \geq \sum_{j=1}^N \frac{K}{N} \mathbb{P}(X_n > j\frac{K}{N}) \rightarrow \sum_{j=1}^N \frac{K}{N} \mathbb{P}(X > j\frac{K}{N}), \end{aligned}$$

pois $\{X_n > a\} \uparrow \{X > a\}$. De forma análoga,

$$M \leq \int_0^K \mathbb{P}(X > x) dx \leq \sum_{j=0}^{N-1} \frac{K}{N} \mathbb{P}(X > j\frac{K}{N}) \leq \frac{K}{N} + \sum_{j=1}^N \frac{K}{N} \mathbb{P}(X > j\frac{K}{N}).$$

Combinando as desigualdades acima, $\lim_n \mathbb{E}X_n \geq M - \frac{K}{N}$. Como isso vale para todo $N \in \mathbb{N}$, segue que $\lim_n \mathbb{E}X_n \geq M$. Como isso vale para todo $M < \mathbb{E}X$, segue que $\lim_n \mathbb{E}X_n \geq \mathbb{E}X$, concluindo a prova. \square

Uma primeira aplicação deste teorema é a fórmula para esperança de funções de variáveis aleatórias discretas.

Demonstração do Teorema 5.35. Seja $B = \{x_1, x_2, x_3, \dots\} \subseteq \mathbb{R}$ tal que $\mathbb{P}(X \notin B) = 0$. Podemos supor que $X(\omega) \in B$ para todo $\omega \in \Omega$, pois caso contrário bastaria considerar $\tilde{X} = X\mathbb{1}_{\{X \in B\}}$. Defina $g_n(x) = \sum_{k=1}^n g(x_k)\mathbb{1}_{\{x_k\}}(x)$ e observe que $g_n(x) \uparrow g(x)$ para todo $x \in B$, donde $g_n(X) \uparrow g(X)$. Usando o Teorema 5.15 e o Teorema da Convergência Monótona,

$$\mathbb{E}[g(X)] = \lim_n \mathbb{E}[g_n(X)] = \lim_n \sum_{k=1}^n g(x_k)\mathbb{P}(X = x_k) = \sum_x g(x)\mathbb{P}(X = x),$$

provando o Teorema 5.35. \square

Demonstração do Teoremas 5.25. Como $\mathbb{E}X = \mathbb{E}X^+ - \mathbb{E}X^-$, basta aplicar o Teorema 5.35 com $g(x) = x^+$ e $g(x) = x^-$, respectivamente. \square

Para provar a propriedade de linearidade do Teorema 5.29, usaremos linearidade para variáveis aleatórias simples combinada com o fato de que sempre é possível aproximar variáveis não-negativas por variáveis simples.

Proposição 5.44. *Existe uma sequência de funções não-decrescentes $(\psi_n)_n : \mathbb{R}_+ \rightarrow \mathbb{R}_+$, cada uma das quais assumindo finitos valores, e tais que $\psi_n(x) \uparrow x$ para todo $x \geq 0$.*

Demonstração. Para $n \in \mathbb{N}$, seja ψ_n definida por

$$\psi_n(x) = 2^{-n} \cdot \max\{j \in \{0, 1, \dots, 2^n n\} : 2^{-n}j \leq x\}, \quad (5.45)$$

ilustrada na Figura 5.3. Observe que cada ψ_n assume finitos valores. Ademais, dado $x \geq 0$, temos que $x \geq \psi_{n+1}(x) \geq \psi_n(x)$ para todo $n \in \mathbb{N}$, e para $n \geq x$ temos também $\psi_n(x) \geq x - 2^{-n}$. Portanto, esta sequência de funções satisfaz às propriedades enunciadas. \square

Demonstração do Teorema 5.29. Já provamos unitariedade e monotonicidade. Para a linearidade, primeiro observamos que da definição de esperança

segue que $\mathbb{E}[aX] = a \mathbb{E}X$, restando apenas mostrar que $\mathbb{E}[X + Y] = \mathbb{E}X + \mathbb{E}Y$.

Suponha inicialmente que X e Y sejam não-negativas. Seja $(\psi_n)_n$ a sequência de funções monótonas dadas pela Proposição 5.44. Usando o Teorema 5.9 e o Teorema da Convergência Monótona três vezes,

$$\mathbb{E}[X + Y] = \lim_n \mathbb{E}[\psi_n(X) + \psi_n(Y)] = \lim_n (\mathbb{E}[\psi_n(X)] + \mathbb{E}[\psi_n(Y)]) = \mathbb{E}X + \mathbb{E}Y.$$

Finalmente, sejam X e Y duas variáveis aleatórias quaisquer. Expandindo,

$$(X + Y)^+ - (X + Y)^- = X + Y = X^+ - X^- + Y^+ - Y^-,$$

donde

$$(X + Y)^+ + X^- + Y^- = (X + Y)^- + X^+ + Y^+.$$

Como todas as variáveis aleatórias acima são não-negativas, pelo caso anterior temos

$$\mathbb{E}(X + Y)^+ + \mathbb{E}X^- + \mathbb{E}Y^- = \mathbb{E}(X + Y)^- + \mathbb{E}X^+ + \mathbb{E}Y^+.$$

Como estamos supondo que $\mathbb{E}X$ está definida, temos $\mathbb{E}X^- < \infty$ ou $\mathbb{E}X^+ < \infty$. Suponhamos que valha o primeiro caso (se for o segundo, o argumento será análogo). Como Y é integrável, $\mathbb{E}Y^- < \infty$ e $\mathbb{E}(X + Y)^- \leq \mathbb{E}X^- + \mathbb{E}Y^- < \infty$.

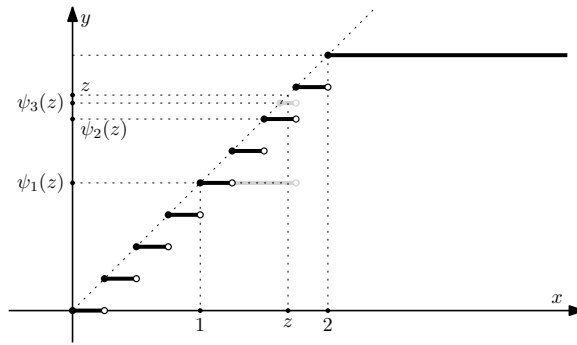


Figura 5.3. Gráfico de ψ_2 e a aproximação $\psi_n(z) \uparrow z$ para um z fixo.

Assim, podemos subtrair esses três termos, obtendo

$$\mathbb{E}(X + Y)^+ - \mathbb{E}(X + Y)^- = (\mathbb{E}X^+ - \mathbb{E}X^-) + (\mathbb{E}Y^+ - \mathbb{E}Y^-),$$

o que conclui a prova da linearidade. \square

Demonstração da Proposição 5.31. Suponha que X e Y são não-negativas. Seja $(\psi_n)_n$ a sequência de funções monótonas dadas pela Proposição 5.44. Usando o Teorema 5.17 e o Teorema da Convergência Monótona três vezes,

$$\mathbb{E}[XY] = \lim_n \mathbb{E}[\psi_n(X)\psi_n(Y)] = \lim_n (\mathbb{E}[\psi_n(X)] \cdot \mathbb{E}[\psi_n(Y)]) = \mathbb{E}X \cdot \mathbb{E}Y.$$

Suponha agora que X e Y são integráveis. Usando o caso anterior,

$$\begin{aligned} \mathbb{E}[XY] &= \mathbb{E}[X^+Y^+ - X^+Y^- - X^-Y^+ + X^-Y^-] \\ &= \mathbb{E}X^+ \cdot \mathbb{E}Y^+ - \mathbb{E}X^+ \cdot \mathbb{E}Y^- - \mathbb{E}X^- \cdot \mathbb{E}Y^+ + \mathbb{E}X^- \cdot \mathbb{E}Y^- \\ &= (\mathbb{E}X^+ - \mathbb{E}X^-)(\mathbb{E}Y^+ - \mathbb{E}Y^-) = \mathbb{E}X \cdot \mathbb{E}Y. \end{aligned} \quad \square$$

Teorema 5.46 (Teorema da Convergência Dominada). *Sejam $(X_n)_n, X$ e Y variáveis aleatórias. Se $\mathbb{P}(X_n \rightarrow X) = 1$ e $\mathbb{P}(|X_n| \leq Y) = 1$ para todo $n \in \mathbb{N}$, com Y integrável, então $\mathbb{E}X_n \rightarrow \mathbb{E}X$ quando $n \rightarrow \infty$.*

Demonstração. A prova usa o seguinte fato. Dada uma sequência $(Z_n)_n$ de variáveis aleatórias não-negativas tais que $\liminf_n Z_n(\omega)$ é finito para todo $\omega \in \Omega$, vale

$$\mathbb{E}[\liminf_n Z_n] \leq \liminf_n \mathbb{E}Z_n. \quad (5.47)$$

Com efeito, tomando $Y_n = \inf_{k \geq n} Z_k$ e definindo $Y = \liminf_n Z_n$, obtemos $0 \leq Y_n \uparrow Y$. Pelo Teorema da Convergência Monótona, $\lim_n \mathbb{E}Y_n = \mathbb{E}Y$. Como $Y_n \leq Z_n$, temos $\liminf_n \mathbb{E}Z_n \geq \liminf_n \mathbb{E}Y_n = \mathbb{E}Y = \mathbb{E}[\liminf_n Z_n]$, provando a desigualdade acima.

Passemos à prova do teorema. Sem perda de generalidade, podemos supor que $X_n \rightarrow X$ e $\sup_n |X_n| \leq Y$ para todo $\omega \in \Omega$ (exercício!). Como $X_n \leq Y$,

temos $Y - X_n \geq 0$, e portanto podemos aplicar (5.47), obtendo

$$\liminf_n \mathbb{E}[Y - X_n] \geq \mathbb{E}[\liminf_n (Y - X_n)] = \mathbb{E}[Y - X]$$

Como Y é integrável, vale $\mathbb{E}[Y - X_n] = \mathbb{E}Y - \mathbb{E}X_n$, $\mathbb{E}[Y - X] = \mathbb{E}Y - \mathbb{E}X$ e

$$\limsup_n \mathbb{E}X_n \leq \mathbb{E}X.$$

Aplicando o mesmo argumento com $-X_n$ no lugar de X_n , obtemos a desigualdade oposta $\liminf_n \mathbb{E}X_n \geq \mathbb{E}X$, e portanto $\mathbb{E}X_n \rightarrow \mathbb{E}X$. \square

Corolário 5.48. *Se $\mathbb{P}(X_n \rightarrow X) = 1$ e existe $M \in \mathbb{R}$ tal que $|X_n| \leq M$ q.c. para todo n , então $\mathbb{E}X_n \rightarrow \mathbb{E}X$.*

Demonstração. Tome $Y = M$ e aplique o Teorema da Convergência Dominada. \square

5.4 Esperança condicional dado um evento

Assim como a Seção 3.4, esta seção será necessária para o estudo da esperança condicional a ser desenvolvido no Capítulo 11 e, exceto por isso, pode ser omitida.

A informação sobre a ocorrência de um certo evento $A \in \mathcal{F}$ com $\mathbb{P}(A) > 0$ leva à definição de uma nova medida \mathbf{P} em (Ω, \mathcal{F}) , dada pela relação $\mathbf{P}(B) = \mathbb{P}(B|A)$, $B \in \mathcal{F}$. A distribuição de qualquer variável aleatória X também é afetada neste caso. Como vimos na Seção 3.4, X passa a ter uma nova função de distribuição $F_{X|A}(\cdot)$, uma nova lei $\mathbb{P}_{X|A}(\cdot)$.

Nesta situação, X também terá uma nova média $\mathbb{E}[X|A]$, dada por

$$\mathbb{E}[X|A] = \int_0^{+\infty} \mathbb{P}(X > x|A) \, dx - \int_{-\infty}^0 \mathbb{P}(X < x|A) \, dx,$$

que pode ser calculada a partir de $F_{X|A}$, $p_{X|A}$ ou $f_{X|A}$ conforme o caso.

Exemplo 5.49. Seja X a variável aleatória que representa o resultado do lançamento de um dado, isto é, $X \sim U_d\{1, 2, 3, 4, 5, 6\}$. Vamos calcular $\mathbb{E}[X \mid X \text{ é par}]$. Primeiro encontramos a função de probabilidade condicional:

$$p_{X|A}(x) = \mathbb{P}(X = x|A) = \frac{1}{3} \mathbf{1}_{\{2,4,6\}}(x)$$

e em seguida a esperança

$$\mathbb{E}[X|A] = \sum_x x \cdot p_{X|A}(x) = 4. \quad \triangle$$

Exemplo 5.50. Sejam X a variável aleatória e A o evento definidos no Exemplo 3.25. Podemos calcular a esperança condicional de X dado A por

$$\mathbb{E}[X|A] = \sum_x x \cdot p_{X|A}(x) = \frac{2}{3} \cdot 1 + \frac{1}{3} \cdot 2 = \frac{4}{3}. \quad \triangle$$

Exemplo 5.51. Assim como fizemos no exemplo anterior, considerando agora X e A como definidos no Exemplo 3.26, podemos calcular esperança condicional como

$$\mathbb{E}[X|A] = \int_0^{+\infty} x f_{X|A}(x) dx = \frac{1}{4}. \quad \triangle$$

A proposição seguinte nos fornece uma definição equivalente de esperança condicional de uma variável aleatória dado um evento. Tal definição será muito útil conforme veremos no Capítulo 11.

Proposição 5.52. *Sejam X uma variável aleatória e A um evento, então podemos escrever*

$$\mathbb{E}[X|A] = \frac{\mathbb{E}[X \cdot \mathbf{1}_A]}{\mathbb{P}(A)}.$$

Demonstração. Basta observar que

$$\mathbb{E}[X|A] = \int_0^{+\infty} \mathbb{P}(X > x|A) dx - \int_{-\infty}^0 \mathbb{P}(X < x|A) dx$$

$$\begin{aligned}
&= \int_0^{+\infty} \frac{\mathbb{P}(\{X > x\} \cap A)}{\mathbb{P}(A)} dx - \int_{-\infty}^0 \frac{\mathbb{P}(\{X < x\} \cap A)}{\mathbb{P}(A)} dx \\
&= \frac{\int_0^{+\infty} \mathbb{P}(X \mathbf{1}_A > x) dx - \int_{-\infty}^0 \mathbb{P}(X \mathbf{1}_A < x) dx}{\mathbb{P}(A)} \\
&= \frac{\mathbb{E}[X \cdot \mathbf{1}_A]}{\mathbb{P}(A)}. \quad \square
\end{aligned}$$

5.5 Integral de Lebesgue

Em Análise Real, primeiro vemos a integral de Riemann, que aproxima a área abaixo de uma curva por retângulos verticais. Entretanto, este não é o procedimento mais adequado quando analisamos sequências de funções. Por exemplo, suponha que queremos mostrar que

$$\lim_{n \rightarrow \infty} \int_0^{+\infty} \frac{e^{-nx^2}}{\sqrt{x}} dx = 0$$

ou

$$\frac{d}{dt} \int_0^{+\infty} e^{tx} f(x) dx = \int_0^{+\infty} x e^{tx} f(x) dx$$

para alguma função contínua e limitada f . Em princípio usar um emaranhado de teoremas do Cálculo Avançado. A integral de Lebesgue, por outro lado, aproxima a área abaixo de uma curva por retângulos horizontais, e essa pequena diferença a torna muitíssimo mais flexível. Por exemplo, as identidades acima ficam muito mais simples se usamos o Teorema da Convergência Dominada, que apresentaremos nesta seção.

O principal motivo para usar a integral de Lebesgue é a forma robusta com que ela comuta com limites, derivadas, séries e outras integrais.

Outra razão para introduzir a integral de Lebesgue é que a maioria dos espaços de medida (incluindo espaços de probabilidade!) não podem ser facilmente particionados em pequenos intervalos ou cubos contíguos como em \mathbb{R}^n , mas ainda assim podemos medir suas partes. Para definir a integral

neste caso, ao invés de particionar o domínio e medir a altura do gráfico no contradomínio, particionamos o contradomínio e medimos pedaços do domínio, como mostrado na Figura 5.4.

5.5.1 Construção

Vamos construir a integral de uma função f com respeito a uma medida μ , denotada

$$\int_{\Omega} f \, d\mu \quad \text{ou} \quad \int_{\Omega} f(\omega) \, \mu(d\omega).$$

Seja $(\Omega, \mathcal{F}, \mu)$ um espaço de medida. Dizemos que $f : \Omega \rightarrow \mathbb{R}$ é uma *função simples* se é mensurável e toma apenas finitos valores.

Se f é uma função simples não-negativa, definimos sua *integral* por

$$\int_{\Omega} f \, d\mu = \sum_x x \cdot \mu(\{\omega \in \Omega : f(\omega) = x\}).$$

Teorema 5.53. *Sejam f e g funções simples não-negativas e $a \in [0, +\infty)$. Então valem as seguintes propriedades:*

- (1) *Unitariedade:* $\int_{\Omega} \mathbb{1}_A \, d\mu = \mu(A)$ para todo $A \in \mathcal{F}$.
- (2) *Monotonicidade:* se $f \geq g \geq 0$, então $\int_{\Omega} f \, d\mu \geq \int_{\Omega} g \, d\mu \geq 0$.
- (3) *Linearidade:* $\int_{\Omega} (af + g) \, d\mu = a \int_{\Omega} f \, d\mu + \int_{\Omega} g \, d\mu$.

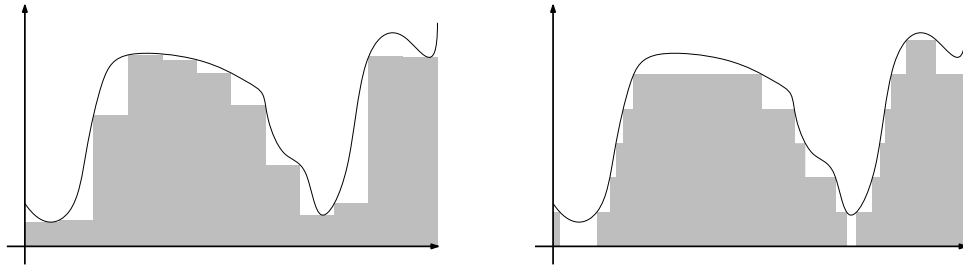


Figura 5.4. Comparação entre a integral de Riemann em \mathbb{R} e a integral de Lebesgue em um espaço de medida.

Demonstração. O operador é unitário por construção. Linearidade é provada de forma idêntica ao Teorema 5.9. Para monotonicidade, observamos que $\int_{\Omega} f \, d\mu = \int_{\Omega} (g + f - g) \, d\mu = \int_{\Omega} g \, d\mu + \int_{\Omega} (f - g) \, d\mu \geq \int_{\Omega} g \, d\mu \geq 0$. \square

O próximo passo é definir a integral de uma função boreliana estendida não-negativa, o que fazemos aproximando-a por baixo por funções simples:

$$\int_{\Omega} f \, d\mu = \sup \left\{ \int_{\Omega} g \, d\mu : 0 \leq g \leq f \text{ e } g \text{ é simples} \right\}. \quad (5.54)$$

Note que para funções não-negativas simples, essa definição coincide com a anterior tomando-se $g = f$.

Teorema 5.55. *Vale o Teorema 5.53 supondo que as funções f e g são borelianas estendidas não-negativas e que $a \in [0, +\infty]$.*

O operador é unitário por construção e é monótono por inclusão: quanto maior f , mais funções simples entram no supremo em (5.54). Falta provar a linearidade. Para isso, usaremos o Teorema da Convergência Monótona, um dos teoremas fulcrais da Teoria da Medida.

Teorema 5.56 (Teorema da Convergência Monótona). *Seja $(f_n)_n$ uma sequência de funções borelianas estendidas não-negativas em $(\Omega, \mathcal{F}, \mu)$ tais que $f_{n+1}(\omega) \geq f_n(\omega)$ para todo $n \in \mathbb{N}$ e $\omega \in \Omega$. Então*

$$\lim_{n \rightarrow \infty} \int_{\Omega} f_n(\omega) \mu(d\omega) = \int_{\Omega} \left(\lim_{n \rightarrow \infty} f_n(\omega) \right) \mu(d\omega).$$

Demonstração. Por monotonicidade, a sequência $\int_{\Omega} f_n \, d\mu$ é não-decrescente e limitada por $\int_{\Omega} f \, d\mu$. Logo, ela tem limite, e

$$\lim_{n \rightarrow \infty} \int_{\Omega} f_n \, d\mu \leq \int_{\Omega} f \, d\mu.$$

Resta mostrar a desigualdade oposta. Seja $0 \leq g \leq f$ simples, tomando valores a_1, \dots, a_k . Seja $0 < \alpha < 1$ e $A_n = \{\omega : f_n(\omega) > \alpha g(\omega)\}$. Como $f \geq g$

e $0 \leq f_n \uparrow f$, para cada ω existe n tal que $f_n(\omega) \geq \alpha g(\omega)$, logo $A_n \uparrow \Omega$ e

$$\begin{aligned} \int_{\Omega} f_n \, d\mu &\geq \int_{\Omega} (f_n \mathbb{1}_{A_n}) \, d\mu \geq \int_{\Omega} (\alpha g \mathbb{1}_{A_n}) \, d\mu = \\ &= \alpha \sum_{j=1}^k a_j \mu(\{\omega \in A_n : g(\omega) = a_j\}) \rightarrow \alpha \sum_{j=1}^k a_j \mu(g = a_j) = \alpha \int_{\Omega} g \, d\mu. \end{aligned}$$

Logo,

$$\lim_{n \rightarrow \infty} \int_{\Omega} f_n \, d\mu \geq \alpha \int_{\Omega} g \, d\mu.$$

Como isso vale para todo $0 < \alpha < 1$, concluímos que

$$\lim_{n \rightarrow \infty} \int_{\Omega} f_n \, d\mu \geq \int_{\Omega} g \, d\mu.$$

Como isso vale para toda função simples g tal que $0 \leq g \leq f$,

$$\lim_{n \rightarrow \infty} \int_{\Omega} f_n \, d\mu \geq \int_{\Omega} f \, d\mu. \quad \square$$

Corolário 5.57. *Seja $(f_n)_n$ uma sequência de funções borelianas estendidas não-negativas em $(\Omega, \mathcal{F}, \mu)$. Então*

$$\int_{\Omega} \left(\sum_n f_n \right) d\mu = \sum_n \int_{\Omega} f_n \, d\mu.$$

Como fizemos para a esperança, inúmeras propriedades da integral de Lebesgue serão demonstradas combinando-se o Teorema da Convergência Monótona com a aproximação por funções simples.

Proposição 5.58. *Dada uma função boreliana estendida não-negativa f , existe uma sequência de funções simples f_n tais que $0 \leq f_n \uparrow f$ para todo ω .*

Demonstração. Seja $\psi_n : [0, +\infty] \rightarrow [0, +\infty)$ a função definida em (5.45) e observamos que $0 \leq \psi_n(x) \uparrow x$ para todo $x \in [0, +\infty]$. Tomando $f_n = \psi_n \circ f$ obtemos a sequência desejada. \square

Agora estamos aptos a terminar a prova do Teorema 5.55.

Demonstração do Teorema 5.55. Falta provar a linearidade. Sejam f e g funções borelianas estendidas não-negativas e $\alpha \in [0, +\infty]$. Se $a \in [0, +\infty)$, temos $\int_{\Omega}(af) \, d\mu = a \int_{\Omega} f \, d\mu$ diretamente de (5.54). Se $a = +\infty$, demonstra-se a mesma igualdade tomando-se $a_n \uparrow +\infty$ e aplicando-se o Teorema da Convergência Monótona. Finalmente, pela Proposição 5.58, existem seqüências de funções simples não-negativas $f_n \uparrow f$ e $g_n \uparrow g$. Usando o Teorema da Convergência Monótona três vezes e linearidade para a integral de funções simples não-negativas,

$$\begin{aligned} \int_{\Omega}(f+g) \, d\mu &= \lim_{n \rightarrow \infty} \int_{\Omega}(f_n + g_n) \, d\mu = \lim_{n \rightarrow \infty} \left(\int_{\Omega} f_n \, d\mu + \int_{\Omega} g_n \, d\mu \right) = \\ &= \lim_{n \rightarrow \infty} \int_{\Omega} f_n \, d\mu + \lim_{n \rightarrow \infty} \int_{\Omega} g_n \, d\mu = \int_{\Omega} f \, d\mu + \int_{\Omega} g \, d\mu, \end{aligned}$$

o que conclui a prova. \square

Dizemos que uma propriedade vale para μ -quase todo $\omega \in \Omega$, ou em μ -quase toda parte, abreviado por μ -q.t.p., se existe um conjunto $A \in \mathcal{F}$ tal que $\mu(A^c) = 0$ e tal que essa propriedade vale para todo $\omega \in A$. Caso μ esteja claro no contexto, podemos dizer simplesmente “q.t.p.” omitindo μ .

Exercício 5.59. Seja f uma função boreliana estendida não-negativa. Mostre que $\int_{\Omega} f \, d\mu = 0$ se e somente se $f = 0$ q.t.p. \triangle

Para uma função boreliana estendida f , denote sua parte positiva por f^+ e sua parte negativa por f^- . Definimos

$$\int_{\Omega} f \, d\mu = \int_{\Omega} f^+ \, d\mu - \int_{\Omega} f^- \, d\mu$$

caso uma das integrais seja finita, caso contrário dizemos que $\int_{\Omega} f \, d\mu$ não está definida. Quando ambas as integrais são finitas, dizemos que f é integrável. Observe que, se f é integrável, então f é finita q.t.p.

Exercício 5.60. Seja f uma função boreliana estendida em $(\Omega, \mathcal{F}, \mu)$. Suponha que $\int_{\Omega} f \, d\mu$ está definida. Mostre que $|\int_{\Omega} f \, d\mu| \leq \int_{\Omega} |f| \, d\mu$. \triangle

Essa definição também dá origem a um operador linear.

Teorema 5.61. *Sejam f e g funções borelianas e $a, b \in \mathbb{R}$. Suponha que g seja integrável. Então valem as seguintes propriedades.*

- (1) *Monotonicidade:* se $f \geq g$ para todo ω , então $\int_{\Omega} f \, d\mu$ está definida e $\int_{\Omega} f \, d\mu \geq \int_{\Omega} g \, d\mu$.
- (2) *Linearidade:* $\int_{\Omega} (af + bg) \, d\mu = a \int_{\Omega} f \, d\mu + b \int_{\Omega} g \, d\mu$, desde que $\int_{\Omega} f \, d\mu$ esteja definida.

Demonstração. Começamos pela linearidade. Mostraremos primeiro que $\int_{\Omega} (af) \, d\mu = a \int_{\Omega} f \, d\mu$. Suponhamos inicialmente que $a > 0$. Desenvolvendo,

$$\begin{aligned} \int_{\Omega} (af) \, d\mu &= \int_{\Omega} (af^+) \, d\mu - \int_{\Omega} (af^-) \, d\mu \\ &= a \int_{\Omega} f^+ \, d\mu - a \int_{\Omega} f^- \, d\mu \\ &= a \left(\int_{\Omega} f^+ \, d\mu - \int_{\Omega} f^- \, d\mu \right) = a \int_{\Omega} f \, d\mu. \end{aligned}$$

Essas expressões não contêm “ $\infty - \infty$ ” porque estamos supondo que $\int_{\Omega} f \, d\mu$ está definida. Para o caso $a \leq 0$ basta considerar $-f$ no lugar de f .

Para terminar a prova da linearidade, resta mostrar que $\int_{\Omega} (f + g) \, d\mu = \int_{\Omega} f \, d\mu + \int_{\Omega} g \, d\mu$. Observamos que

$$(f + g)^+ - (f + g)^- = f + g = f^+ - f^- + g^+ - g^-,$$

donde

$$(f + g)^+ + f^- + g^- = (f + g)^- + f^+ + g^+.$$

Observando que todas as funções acima são borelianas não-negativas, pela

aditividade dada pelo Teorema 5.55 segue que

$$\int_{\Omega} (f+g)^+ d\mu + \int_{\Omega} f^- d\mu + \int_{\Omega} g^- d\mu = \int_{\Omega} (f+g)^- d\mu + \int_{\Omega} f^+ d\mu + \int_{\Omega} g^+ d\mu.$$

Como estamos supondo que $\int_{\Omega} f d\mu$ está definida, temos $\int_{\Omega} f^- d\mu < \infty$ ou $\int_{\Omega} f^+ d\mu < \infty$. Suponhamos que valha o primeiro caso (se for o segundo, o argumento será análogo). Como g é integrável, temos $\int_{\Omega} g^- d\mu < \infty$ e $\int_{\Omega} (f+g)^- d\mu \leq \int_{\Omega} f^- d\mu + \int_{\Omega} g^- d\mu < \infty$. Assim, podemos subtrair esses três termos de ambos os lados, obtendo

$$\int_{\Omega} (f+g)^+ d\mu - \int_{\Omega} (f+g)^- d\mu = \int_{\Omega} f^+ d\mu - \int_{\Omega} f^- d\mu + \int_{\Omega} g^+ d\mu - \int_{\Omega} g^- d\mu,$$

o que conclui a prova da linearidade.

Para monotonicidade, observe que, sendo g integrável e $f \geq g$, temos $f^- \leq g^-$, logo $\int_{\Omega} f^- d\mu < \infty$ e, portanto, $\int_{\Omega} f d\mu$ está definida. Por linearidade,

$$\int_{\Omega} f d\mu = \int_{\Omega} g d\mu + \int_{\Omega} (f - g) d\mu \geq \int_{\Omega} g d\mu,$$

o que conclui a prova. \square

Exercício 5.62. Seja f uma função boreliana estendida. Mostre que $\int_A f d\mu \geq 0$ para todo $A \in \mathcal{F}$ se e somente se $f \geq 0$ q.t.p. \triangle

5.5.2 Principais propriedades

Dado um conjunto mensurável $B \in \mathcal{F}$, a integral de f em B é dada por

$$\int_B f d\mu = \int_{\Omega} (f \mathbf{1}_B) d\mu.$$

A esperança de uma variável aleatória X nada mais é do que a integral de Lebesgue da função boreliana X com respeito à medida \mathbb{P} .

Teorema 5.63. *Seja $(\Omega, \mathcal{F}, \mathbb{P})$ um espaço de probabilidade e X uma variável aleatória. Então a esperança de X é dada por*

$$\mathbb{E}X = \int_{\Omega} X \, d\mathbb{P},$$

desde que uma das duas esteja definida.

Demonstração. Se X é da forma $X = \sum_{k=1}^n a_k \mathbb{1}_{A_k}$, pela unitariedade e linearidade da esperança e da integral, segue que $\mathbb{E}X = \sum_{k=1}^n a_k \mathbb{P}(A_k) = \int_{\Omega} X \, d\mathbb{P}$. Se X é não-negativa, obtemos a identidade usando ambas as versões do Teorema da Convergência Monótona, para a esperança e para a integral. Finalmente, no caso em que X é uma variável aleatória qualquer, basta observar que $\mathbb{E}X = \mathbb{E}X^+ - \mathbb{E}X^- = \int_{\Omega} X^+ \, d\mathbb{P} - \int_{\Omega} X^- \, d\mathbb{P} = \int_{\Omega} X \, d\mathbb{P}$, desde que uma das duas esteja definida. \square

A integral de Lebesgue tem a vantagem adicional de nos permitir estender a noção de esperança para variáveis aleatórias estendidas $X : \Omega \rightarrow \overline{\mathbb{R}}$, via a fórmula $\mathbb{E}X = \int_{\Omega} X \, d\mathbb{P}$.

Seja f uma função mensurável de $(\Omega_1, \mathcal{F}_1)$ em $(\Omega_2, \mathcal{F}_2)$. Dada uma função boreliana estendida $g : \Omega_2 \rightarrow \overline{\mathbb{R}}$, podemos definir o seu *pull-back* em Ω_1 dado pela função $f^*g = g \circ f$ em Ω_1 . Juntamente com $\sigma(f)$ e $f_*\mu$ definidos na Seção 3.7, obtemos o seguinte diagrama:

$$\begin{array}{ccccccc} \Omega_1 & \cdots & \sigma(f) & \cdots & \mu & \cdots & f^*g \\ \downarrow f & & \uparrow f^{-1} & & \downarrow \circ f^{-1} & & \uparrow \circ f \\ \Omega_2 & \cdots & \mathcal{F}_2 & \cdots & f_*\mu & \cdots & g \end{array}$$

Em suma, a partir de uma função que leva pontos $\omega_1 \in \Omega_1$ a pontos $\omega_2 \in \Omega_2$, podemos puxar uma σ -álgebra em Ω_2 de volta para uma σ -álgebra em Ω_1 , e empurrar uma medida em Ω_1 adiante para uma medida em Ω_2 , e puxar um observável definido em Ω_2 de volta para um observável definido em Ω_1 .

Teorema 5.64 (Mudança de variável). *Sejam $(\Omega_1, \mathcal{F}_1, \mu)$ um espaço de medida, $(\Omega_2, \mathcal{F}_2)$ um espaço mensurável, $f : \Omega_1 \rightarrow \Omega_2$ uma função mensurável e $g : \Omega_2 \rightarrow \mathbb{R}$ uma função boreliana estendida não-negativa. Então*

$$\int_{\Omega_2} g \, d(f_*\mu) = \int_{\Omega_1} (f^*g) \, d\mu.$$

Demonstração. Assumindo que g toma valores apenas em $\{0, 1\}$, temos que $g = \mathbb{1}_C$ para algum $C \in \mathcal{F}_2$, e $f^*g = \mathbb{1}_D$ onde $D = f^{-1}(C) \in \mathcal{F}_1$. Substituindo essas identidades, obtemos

$$\int_{\Omega_2} g \, d(f_*\mu) = (f_*\mu)(C) = \mu(f^{-1}(C)) = \mu(D) = \int_{\Omega_1} (f^*g) \, d\mu.$$

Por linearidade, a identidade vale para funções simples não-negativas. Pelo Teorema da Convergência Monótona, vale para funções borelianas estendidas não-negativas. \square

Quando consideramos uma variável aleatória X em um espaço de probabilidade, aplicando o teorema com $g(x) = x^+$ e $g(x) = x^-$, obtemos

$$\mathbb{E}X = \int_{\mathbb{R}} x \, \mathbb{P}_X(dx),$$

que é válido desde que um dos lados esteja bem definido.

Proposição 5.65 (funções iguais q.t.p.). *Sejam $(\Omega, \mathcal{F}, \mu)$ um espaço de medida e $f, g : \Omega \rightarrow \mathbb{R}$ funções borelianas estendidas. Se $f = g$ q.t.p., então*

$$\int_{\Omega} f \, d\mu = \int_{\Omega} g \, d\mu,$$

desde que uma das duas esteja definida.

Demonstração. Tome $A = \{\omega : f(\omega) = g(\omega)\} \in \mathcal{F}$. Defina $f_1 = f\mathbb{1}_A$ e $f_2 = f_1 + \infty \cdot \mathbb{1}_{A^c}$. Então $0 \leq f_1^+ \leq f^+ \leq f_2^+$ e $0 \leq f_1^+ \leq g^+ \leq f_2^+$. Como $\int_{\Omega} f_2 \, d\mu = \int_{\Omega} f_1 \, d\mu + \infty \cdot \mu(A^c) = \int_{\Omega} f_1 \, d\mu$, por monotonicidade obtemos

$\int_{\Omega} f^+ d\mu = \int_{\Omega} g^+ d\mu$. Por um argumento similar, $\int_{\Omega} f^- d\mu = \int_{\Omega} g^- d\mu$. Assumindo que uma dessas duas seja finita, obtemos $\int_{\Omega} f d\mu = \int_{\Omega} g d\mu$. \square

Finalmente, mostraremos que o operador integral é linear não apenas na integrando mas também na medida com respeito à qual se integra.

Proposição 5.66. *Sejam μ_1 e μ_2 medidas em (Ω, \mathcal{F}) e f uma função boreliana estendida não-negativa. Então $\int_{\Omega} f d(\mu_1 + \mu_2) = \int_{\Omega} f d\mu_1 + \int_{\Omega} f d\mu_2$.*

Demonstração. Se $f = \mathbb{1}_A$ para algum $A \in \mathcal{F}$, ambos os lados se reduzem a $\mu_1(A) + \mu_2(A)$ e portanto vale a identidade. A identidade se estende para funções simples não-negativas por linearidade, e para funções borelianas estendidas não-negativas usando-se aproximação por funções simples e o Teorema da Convergência Monótona. \square

5.5.3 Convergência

Pensemos a região abaixo do gráfico de uma função real não-negativa como tendo uma “área”, “volume” ou “massa”. Se a função é dada por $f(x) = n \cdot \mathbb{1}_{(0, \frac{1}{n}]}(x)$, ou por $g(x) = \mathbb{1}_{(n, n+1]}(x)$, essa massa é sempre igual a 1 e, no entanto, desaparece quando tomamos o limite em n . Podemos dizer que a massa “escapou ao infinito”. No primeiro exemplo, escapou verticalmente e, no segundo, horizontalmente. Os três teoremas de convergência explicam o que pode acontecer com a massa no limite.

O Teorema da Convergência Monótona diz que nada de estranho pode acontecer com uma sequência crescente de funções, mais precisamente que não se pode ganhar massa. O próximo teorema nos diz que para uma sequência de funções borelianas não-negativas, até podemos perder massa no limite, mas nunca ganhar.

Teorema 5.67 (Lema de Fatou). *Seja $(\Omega, \mathcal{F}, \mu)$ um espaço de medida e*

$(f_n)_{n \geq 1}$ uma sequência de funções borelianas estendidas não-negativas. Então,

$$\int_{\Omega} (\liminf_{n \rightarrow \infty} f_n(\omega)) \mu(d\omega) \leq \liminf_{n \rightarrow \infty} \int_{\Omega} f_n(\omega) \mu(d\omega).$$

Demonstração. Tomando $g_n(\omega) = \inf_{k \geq n} f_k(\omega)$, temos que

$$0 \leq g_n(\omega) \uparrow \liminf_{n \rightarrow \infty} f_n(\omega).$$

Usando o Teorema da Convergência Monótona, como $g_n(\omega) \leq f_n(\omega)$,

$$\begin{aligned} \liminf_{n \rightarrow \infty} \int_{\Omega} f_n(\omega) \mu(d\omega) &\geq \lim_{n \rightarrow \infty} \int_{\Omega} g_n(\omega) \mu(d\omega) = \\ &= \int_{\Omega} \lim_n g_n(\omega) \mu(d\omega) = \int_{\Omega} (\liminf_{n \rightarrow \infty} f_n(\omega)) \mu(d\omega), \end{aligned}$$

o que conclui a prova. \square

A possibilidade de desigualdade estrita no Lema de Fatou é ilustrada pelos exemplos $n \cdot \mathbb{1}_{(0, \frac{1}{n}]}$ e $\mathbb{1}_{(n, n+1]}$. Um exemplo extremo é $\mathbb{1}_{[n, \infty)}$. Nesses exemplos, a massa escapou ao infinito. Outra situação que leva à desigualdade estrita é quando a massa fica zanzando, como por exemplo a sequência $(f_n)_n$ dada por $f_n = \mathbb{1}_{(0, 1]}$ para n par e $f_n = \mathbb{1}_{(1, 2]}$ para n ímpar.

Observe que o Lema de Fatou quase não tem hipóteses. Vimos algo análogo em (5.47), porém optamos por não dar-lhe nome porque, naquele contexto, vinha com a hipótese (desnecessária) de que $\liminf_n f_n$ fosse finito.

O Teorema da Convergência Dominada diz que se os gráficos das funções da sequência $(f_n)_n$ estão confinados em uma região de massa finita, então não pode haver perda ou ganho de massa no limite. Isso porque o gráfico de f_n divide esta região de massa finita em duas partes e, caso houvesse perda de massa em uma das partes, necessariamente haveria ganho na outra.

Teorema 5.68 (Teorema da Convergência Dominada). *Seja $(\Omega, \mathcal{F}, \mu)$ um espaço de medida e $(f_n)_{n \geq 1}$ uma sequência de funções borelianas estendidas tais que $f_n(\omega) \rightarrow f(\omega)$ quando $n \rightarrow \infty$ para μ -quase todo ω . Suponha que*

existe uma função boreliana estendida integrável g tal que $|f_n| \leq g$ q.t.p. para todo $n \geq 1$. Então f é μ -integrável e

$$\lim_{n \rightarrow \infty} \int_{\Omega} f_n(\omega) \mu(d\omega) = \int_{\Omega} \left(\lim_{n \rightarrow \infty} f_n(\omega) \right) \mu(d\omega).$$

Demonstração. Modificando f_n, f, g num conjunto de medida zero, podemos supor que $f_n(\omega) \rightarrow f(\omega)$ e $|f_n| \leq g$ para todo ω . Como $|f| = \lim_n |f_n| \leq |g|$, temos que f é integrável.

Agora observe que $f_n + g \geq 0$ para todo n . Aplicando o lema de Fatou, obtemos $\int_{\Omega} (f + g) d\mu \leq \liminf_{n \rightarrow \infty} \int_{\Omega} (f_n + g) d\mu$ e, como g é integrável, $\int_{\Omega} f d\mu \leq \liminf_{n \rightarrow \infty} \int_{\Omega} f_n d\mu$. De forma análoga, $-f_n + g \geq 0$ para todo n , o que nos dá $\int_{\Omega} (-f + g) d\mu \leq \liminf_{n \rightarrow \infty} \int_{\Omega} (-f_n + g) d\mu$ e portanto $\int_{\Omega} f d\mu \geq \limsup_{n \rightarrow \infty} \int_{\Omega} f_n d\mu$. Dessas duas desigualdades, obtemos $\lim_{n \rightarrow \infty} \int_{\Omega} f_n d\mu = \int_{\Omega} f d\mu$, o que conclui a prova. \square

5.5.4 Integral de Riemann e integral imprópria

Estamos introduzindo uma nova definição de integral. Por certo, isso gera inquietudes mais que legítimas. Nas definições e teoremas envolvendo variáveis aleatórias absolutamente contínuas, podemos substituir a integral de Riemann pela de Lebesgue? Em outras palavras, esta generaliza aquela? Neste caso, teria esta alguma vantagem? E na direção oposta, teria aquela alguma vantagem sobre esta? Para a penúltima pergunta, basta mencionar os Teoremas da Convergência Monótona e da Convergência Dominada.

Teorema 5.69. *Seja $f : [a, b] \rightarrow \mathbb{R}$ uma função boreliana. Se f é Riemann-integrável então também é Lebesgue-integrável e os valores das integrais coincide:*

$$\int_a^b f(x) dx = \int_{[a,b]} f dm,$$

onde m é a medida de Lebesgue definida na Seção 1.4.2.

Demonstração. Se a integral de Riemann de f em $[a, b]$ é igual $L \in \mathbb{R}$, então

para todo $\varepsilon > 0$, existem funções-degrau g e h tais que $g \leq f \leq h$ e $L - \varepsilon < \int_{[a,b]} g \, dx \leq \int_{[a,b]} h \, dx < L + \varepsilon$. Mas isso implica que g e h (e portanto f) são limitadas, logo $\int_{[a,b]} f \, dm$ está definida e $|\int_{[a,b]} f \, dm - L| < \varepsilon$. Como isso vale para todo $\varepsilon > 0$, concluímos que $\int_{[a,b]} f \, dm = L$. \square

A recíproca é falsa. Uma função pode ser Lebesgue-integrável sem ser Riemann-integrável. Caso f não seja limitada, não será Riemann-integrável mesmo que seja contínua em quase todo ponto.

Exemplo 5.70. Um exemplo simples é $f : [0, 1] \rightarrow \mathbb{R}$ dada por $f = \mathbb{1}_{\mathbb{Q}}$. Como $m(\mathbb{Q}) = 0$, temos $\int_{[0,1]} f \, dm = 0$ mas esta função não é Riemann-integrável. Para verificarmos este fato, considere qualquer partição de $[0, 1]$ em finitos intervalos não-degenerados, e observe que todos os intervalos conterão números racionais e também irracionais, pois tanto os números racionais quanto os irracionais são densos na reta. Logo, toda função-degrau $g \leq f$ deve satisfazer $g \leq 0$ q.t.p, e toda função-degrau $h \geq f$ deve satisfazer $h \geq 1$ q.t.p. Portanto, $\int g \, dx \leq 0$ e $\int h \, dx \geq 1$ e tomando $\varepsilon = \frac{1}{3}$ vemos que não pode haver um número L tal que $L - \varepsilon < \int g \, dx \leq \int h \, dx < L + \varepsilon$. \triangle

Daqui em diante, usaremos a notação

$$\int_a^b f(x) \, dx \quad \text{e} \quad \int_A f(x) \, dx$$

para denotar a integral de f com respeito à medida de Lebesgue no intervalo $[a, b] \subseteq \mathbb{R}$ ou no conjunto $A \in \mathcal{B}$, respectivamente.

Frequentemente afirma-se que existem funções que são Riemann-integráveis mas não são Lebesgue-integráveis. Cita-se o “contra-exemplo”

$$f(x) = \frac{\sin x}{x},$$

argumentando-se que f não é Lebesgue-integrável (prova omitida) mas ainda assim o limite

$$\lim_{z \rightarrow +\infty} \int_0^z f(x) \, dx$$

existe e é finito (prova também omitida).

O limite acima, conhecido como integral de Dirichlet, tem enorme importância em Análise Harmônica (inclusive será usado na Seção 10.4), mas é apenas um limite. Enquanto “contra-exemplo” para a afirmação de que toda função Riemann-integrável é Lebesgue-integrável, tem valor questionável. Primeiramente, observe que o limite é o mesmo independentemente de a integral em $[0, z]$ ser de Lebesgue ou de Riemann. Em todo caso, há um seríssimo problema com a *interpretação* desse limite. No que interessa à Teoria da Medida e à Teoria da Probabilidade, o valor desse limite não tem significado de integral. Aqui *toma-se uma sequência particular* de conjuntos A_n satisfazendo $A_n \uparrow [0, +\infty)$ como domínio de integração. Escolhendo outra sequência, poderíamos obter *qualquer outro número* em \mathbb{R} (prova omitida). Não há interpretação física para este limite em termos de áreas com sinal, centro de massa, etc. Se fôssemos aceitar o valor desse limite como correspondendo a uma integral em $[0, +\infty)$, o Teorema 5.64 não seria válido. Se essa integral correspondesse à esperança de uma variável aleatória, a Lei dos Grandes Números não seria válida.

Pode-se fazer discussão semelhante com respeito a séries condicionalmente convergentes. Observe que a soma de uma família de números estendidos não-negativos, definida em (C.1), coincide com a integral de Lebesgue da função $f(\alpha) = x_\alpha$ com respeito à medida de contagem em Λ . Dessa forma, a soma de uma família de números estendidos indexados por \mathbb{N} é dada por

$$\sum_{k \in \mathbb{N}} x_k = \sum_{k=1}^{\infty} x_k^+ - \sum_{k=1}^{\infty} x_k^-,$$

desde que uma das duas séries do lado direito convirja, e, neste caso,

$$\sum_{k \in \mathbb{N}} x_k = \sum_{k=1}^{\infty} x_k^+ - \sum_{k=1}^{\infty} x_k^- = \lim_k \sum_{j=1}^k x_j^+ - \lim_k \sum_{j=1}^k x_j^- = \lim_k \sum_{j=1}^k x_j = \sum_{k=1}^{\infty} x_k.$$

Novamente, esta definição coincide com a integral de $f(k) = x_k$ com respeito

à medida de contagem em \mathbb{N} . Caso ambas as séries diverjam, dizemos que $\sum_{k \in \mathbb{N}} x_k$ *não está definida*. Com essa definição, a soma $\sum_{k \in \mathbb{N}} (-1)^k \frac{1}{k}$ não está definida, da mesma forma que $\int_{\mathbb{R}} x^{-1} \sin x \, dx$ não está definida. Note que há uma diferença entre “ $\sum_{k \in \mathbb{N}}$ ” definida aqui e “ $\sum_{k=1}^{\infty}$ ” definida no Apêndice A.1, pois a série harmônica alternada $\sum_{k=1}^{\infty} (-1)^k \frac{1}{k}$ converge.

5.5.5 Densidade de medidas

Nesta seção vamos explorar o conceito de densidade e como se aplica a variáveis aleatórias absolutamente contínuas. Dado um espaço de medida e uma função boreliana estendida não-negativa, é possível construir uma nova medida usando a integral de Lebesgue.

Proposição 5.71. *Seja $(\Omega, \mathcal{F}, \mathbb{P})$ um espaço de medida e f uma função boreliana estendida não-negativa. Então,*

$$\nu(A) = \int_A f \, d\mu, \quad \forall A \in \mathcal{F}, \quad (5.72)$$

define uma outra medida em (Ω, \mathcal{F}) .

A demonstração fica como exercício.

Exemplo 5.73. Seja $\Omega = \{1, 2, 3, 4, 5, 6\}$, $\mathcal{F} = \mathcal{P}(\Omega)$ e $\mathbb{P}(A) = \frac{\#A}{6}$. Considere a função $g(n) = \frac{2}{7}n$. Pela Proposição 5.71, a função \mathbf{P} dada por $\mathbf{P}(A) = \int_{\Omega} (g \mathbf{1}_A) d\mathbb{P}$ define uma nova medida em (Ω, \mathcal{F}) . De fato, isso define uma medida de probabilidade (exercício!). \triangle

Proposição 5.74. *Dadas uma medida σ -finita μ e duas funções borelianas estendidas f e g , tais que $\int_{\Omega} f \, d\mu$ e $\int_{\Omega} g \, d\mu$ estão definidas, se $\int_A f \, d\mu = \int_A g \, d\mu$ para todo $A \in \mathcal{F}$, então $f = g$ q.t.p.*

Demonstração. Supomos inicialmente que f e g são não-negativas. Tome $B_n \uparrow \Omega$ tais que $\mu(B_n) < \infty$ para todo n . Defina $A_n = \{\omega \in B_n : 0 \leq g(\omega) \leq n, g(\omega) < f(\omega)\}$. Como $\mu(A_n) \leq \mu(B_n) < \infty$, temos que $g \mathbf{1}_{A_n}$ é finita e

integrável. Logo, $\int_{A_n} (f - g) d\mu = \int_{A_n} f d\mu - \int_{A_n} g d\mu = 0$. Pelo Exercício 5.59, $\mu(A_n) = 0$. Mas $A_n \uparrow \{f > g\}$, logo $\mu(f > g) = 0$. Um argumento idêntico mostra que $\mu(f < g) = 0$, concluindo a prova.

Consideramos agora o caso geral. Como as integrais de f e g estão definidas e coincidem, podemos supor sem perda de generalidade de f^- e g^- são integráveis. Logo, f^- e g^- são finitas para μ -quase todo ω . Modificando f e g em um conjunto de medida nula, podemos supor ademais que f^- e g^- são finitas para todo ω . Aplicando o caso anterior às funções $(f + f^- + g^-)$ e $(g + f^- + g^-)$, podemos concluir que essas duas funções coincidem q.t.p., e portanto $f = g$ q.t.p. \square

Observação 5.75. A proposição é falsa sem a hipótese de que μ é σ -finita. Tomando $\Omega = \{1\}$, $\mu(\{1\}) = +\infty$, $f(1) = 1$ e $g(1) = 2$, podemos ver que $\int_A f d\mu = \int_A g d\mu$ para todo $A \subseteq \Omega$ apesar de que $f \neq g$ em todo ponto. \triangle

Quando duas medidas μ e ν são relacionadas por (5.72), chamamos a função f de *derivada de Radon-Nikodým de ν com respeito a μ* , denotada por $\frac{d\nu}{d\mu}$, de forma que $\nu(A) = \int_A \frac{d\nu}{d\mu}(\omega) \mu(d\omega)$. Neste caso, dizemos que a derivada $\frac{d\nu}{d\mu}$ existe. A proposição acima diz que a derivada de Radon-Nikodým é essencialmente única.

Proposição 5.76 (Regra da cadeia). *Sejam ν, μ medidas em um espaço mensurável (Ω, \mathcal{F}) tais que $\frac{d\nu}{d\mu}$ existe, e seja g uma função boreliana estendida não-negativa. Então,*

$$\int_{\Omega} g d\nu = \int_{\Omega} g(\omega) \frac{d\nu}{d\mu}(\omega) \mu(d\omega).$$

Demonstração. Suponha que $g = \mathbb{1}_A$ para algum $A \in \mathcal{F}$. Neste caso, temos

$$\int_{\Omega} \mathbb{1}_A d\nu = \nu(A) = \int_A \frac{d\nu}{d\mu} d\mu = \int_{\Omega} \mathbb{1}_A \cdot \frac{d\nu}{d\mu} d\mu,$$

como desejado. Por linearidade, a identidade também vale quando g é uma função simples não-negativa. Pelo Teorema da Convergência Monótona, vale para qualquer função boreliana estendida não-negativa. \square

Definição 5.77 (Variáveis aleatórias absolutamente contínuas). Dizemos que uma variável aleatória X em um espaço de probabilidade $(\Omega, \mathcal{F}, \mathbb{P})$ é uma *variável aleatória absolutamente contínua* se $\frac{d\mathbb{P}_X}{dm}$ existe. Neste caso, $f_X = \frac{d\mathbb{P}_X}{dm}$ é uma densidade de X . Veja que f_X é determinada por X e \mathbb{P} , mas este último é omitido na notação.

Pela Proposição 5.74, a densidade de uma variável aleatória absolutamente contínua é única no sentido de que qualquer outra é igual em quase todo ponto. Repare que na Seção 3.3 não demos uma definição geral de distribuição absolutamente contínua, pois nem sempre existe uma densidade Riemann-integrável. Por outro lado, tomando a integral em (5.72) como de Lebesgue, a definição acima é a mais geral possível, como veremos na Seção 11.5.

Recordemos que uma variável aleatória é discreta se existe uma função não-negativa p_X tal que $\mathbb{P}_X(A) = \sum_x p_X(x) \delta_x(A)$ para todo $A \in \mathcal{B}$. Isso é o mesmo que $\frac{d\mathbb{P}_X}{d\nu} = p_X$, onde ν é a medida de contagem em \mathbb{R} . Mais geralmente, X é mista com componentes discreta e absolutamente contínua, como definido na Seção 3.5, se $\mathbb{P}_X = \mu_d + \mu_c$, onde $\frac{d\mu_d}{d\nu} = p_X$ e $\frac{d\mu_c}{dm} = f_X$.

Teorema 5.78 (Esperança de funções de variáveis mistas). *Seja X uma variável aleatória mista com componentes discreta e absolutamente contínua e seja g uma função boreliana estendida não-negativa. Então*

$$\mathbb{E}[g(X)] = \sum_x g(x) \cdot p_X(x) + \int_{\mathbb{R}} g(x) f_X(x) dx.$$

Demonstração. Aplicando os Teoremas 5.63 e 5.64, depois as Proposições 5.66 e 5.76, obtemos

$$\begin{aligned} \mathbb{E}[g(X)] &= \int_{\Omega} g(X) d\mathbb{P} = \int_{\mathbb{R}} g d\mathbb{P}_X = \int_{\mathbb{R}} g d\mu_d + \int_{\mathbb{R}} g d\mu_c \\ &= \int_{\mathbb{R}} g p_X d\nu + \int_{\mathbb{R}} g f_X dm = \sum_x g(x) \cdot p_X(x) + \int_{\mathbb{R}} g f_X dm, \end{aligned}$$

o que prova o teorema. □

Observe que o Teorema 5.38 corresponde a caso particular em que $p_X = 0$. Já o Teorema 5.27 segue do Teorema 5.38 tomando-se $g(x) = x^+$ e $g(x) = x^-$.

5.5.6 Integrais iteradas

Veremos agora condições sob as quais uma função $f(x, y)$ de duas variáveis x e y pode ser integrada com respeito a ambas variáveis, e se o resultado independe da ordem de integração. Para isso precisamos primeiro formalizar o espaço onde estará definida uma função de duas variáveis.

Definição 5.79 (σ -álgebra produto). Sejam $(\Omega_1, \mathcal{F}_1)$ e $(\Omega_2, \mathcal{F}_2)$ dois espaços mensuráveis. Definimos a σ -álgebra produto de \mathcal{F}_1 e \mathcal{F}_2 , denotada por $\mathcal{F}_1 \otimes \mathcal{F}_2$, como sendo a σ -álgebra gerada pela classe⁹

$$\mathcal{F}_1 \times \mathcal{F}_2 = \{A_1 \times A_2 \subseteq \Omega_1 \times \Omega_2 : A_1 \in \mathcal{F}_1, A_2 \in \mathcal{F}_2\}$$

no espaço amostral $\Omega_1 \times \Omega_2$.

Em outras palavras, $\mathcal{F}_1 \otimes \mathcal{F}_2$ é a σ -álgebra gerada pela coleção de todos os “retângulos” cujos “lados” são mensuráveis. Note que $\mathcal{F}_1 \otimes \mathcal{F}_2$ é muito maior do que o $\mathcal{F}_1 \times \mathcal{F}_2$. Por exemplo, em $\mathbb{R}^2 = \mathbb{R} \times \mathbb{R}$, observamos que o círculo

$$\{(x, y) \in \mathbb{R}^2 : x^2 + y^2 < 1\},$$

está em $\mathcal{B}(\mathbb{R}) \otimes \mathcal{B}(\mathbb{R})$, pois é união enumerável de retângulos, mas não está em $\mathcal{B}(\mathbb{R}) \times \mathcal{B}(\mathbb{R})$. Literalmente, o círculo não é um retângulo!

O seguinte teorema garante a existência de uma medida no espaço produto que fatora para retângulos. A prova será dada no Apêndice D.4.

Teorema 5.80 (Medida produto). *Sejam $(\Omega_1, \mathcal{F}_1, \mu_1)$ e $(\Omega_2, \mathcal{F}_2, \mu_2)$ dois espaços de medidas σ -finitas. Então, existe uma única medida ν na σ -álgebra*

⁹Aqui há um pequeno abuso de notação: $\mathcal{F}_1 \times \mathcal{F}_2$ não é exatamente um produto cartesiano, pois é uma coleção de retângulos $A \times B$ e não uma coleção de pares (A, B) .

$\mathcal{F}_1 \otimes \mathcal{F}_2$ tal que

$$\nu(A_1 \times A_2) = \mu_1(A_1) \cdot \mu_2(A_2)$$

para todos $A_1 \in \mathcal{F}_1, A_2 \in \mathcal{F}_2$. Essa medida ν , denotada por $\mu_1 \otimes \mu_2$ é chamada medida produto de μ_1 e μ_2 .

Para que uma integral iterada faça sentido, ao integrar com respeito a uma das variáveis, o resultado deveria ser uma função mensurável da outra variável. O lema abaixo também será provado no Apêndice D.4.

Lema 5.81. *Sejam $(\Omega_1, \mathcal{F}_1, \mu)$ e $(\Omega_2, \mathcal{F}_2, \nu)$ espaços de medidas σ -finitas. Seja $g : \Omega_1 \times \Omega_2 \rightarrow [0, +\infty]$ uma função boreliana estendida não-negativa, com respeito à σ -álgebra produto $\mathcal{F}_1 \otimes \mathcal{F}_2$. Para todo $x \in \Omega_1$ fixo, a função $y \mapsto g(x, y)$ é \mathcal{F}_2 -mensurável. Ademais, a integral $\int_{\Omega_2} g(x, y) \nu(dy)$ define uma função \mathcal{F}_1 -mensurável de x . Analogamente, para todo $y \in \Omega_2$ fixo, a função $x \mapsto g(x, y)$ é \mathcal{F}_1 -mensurável e a integral $\int_{\Omega_1} g(x, y) \mu(dx)$ define uma função \mathcal{F}_2 -mensurável de y .*

Sabendo que a integral com respeito a uma das variáveis resulta em uma função mensurável da outra variável, passamos a estudar integrais iteradas.

Teorema 5.82 (Teorema de Tonelli). *Sejam $(\Omega_1, \mathcal{F}_1, \mu)$ e $(\Omega_2, \mathcal{F}_2, \nu)$ espaços de medidas σ -finitas. Se $g : \Omega_1 \times \Omega_2 \rightarrow [0, +\infty]$ é uma função boreliana estendida não-negativa, então*

$$\int_{\Omega_1} \left(\int_{\Omega_2} g(x, y) \nu(dy) \right) \mu(dx) = \int_{\Omega_2} \left(\int_{\Omega_1} g(x, y) \mu(dx) \right) \nu(dy)$$

e essas integrais são iguais a $\int_{\Omega_1 \times \Omega_2} g d(\mu \otimes \nu)$.

A prova será dada no Apêndice D.4. Uma aplicação do Teorema de Tonelli é uma prova alternativa de que a densidade de uma variável aleatória normal é de fato uma função de densidade.

Exemplo 5.83 (Densidade da normal). Vamos calcular

$$\int_0^{+\infty} \left(\int_0^{+\infty} e^{-u^2} du \right) e^{-y^2} dy.$$

Com uma mudança de variáveis reescrevemos essa integral como

$$\int_0^{+\infty} \left(\int_0^{+\infty} y e^{-x^2 y^2} dx \right) e^{-y^2} dy,$$

que, pelo Teorema de Tonelli, é igual a

$$\int_0^{+\infty} \left(\int_0^{+\infty} y e^{-(1+x^2)y^2} dy \right) dx,$$

pois os integrandos são não-negativos. Como a integral iterada acima é igual a $\frac{\pi}{4}$, concluímos que

$$\int_0^{+\infty} e^{-x^2} dx = \frac{1}{2} \sqrt{\pi}.$$

Com isso provamos que

$$\int_{-\infty}^{+\infty} \frac{1}{\sqrt{2\pi}} e^{-x^2/2} dx = 1$$

sem ter que usar coordenadas polares. △

A teoria acima trata sempre de funções não-negativas. Se consideramos uma função boreliana f qualquer, ainda podemos aplicar o Lema 5.81 e o Teorema de Tonelli às suas partes positiva e negativa. Entretanto, poderá haver valores de x para os quais a integral em y não estará definida e vice-versa. Isso será de fato um problema, a não ser que integral interna esteja definida para quase todo valor da variável externa.

Teorema 5.84 (Teorema de Fubini). *Sejam $(\Omega_1, \mathcal{F}_1, \mu)$ e $(\Omega_2, \mathcal{F}_2, \nu)$ espaços de medidas σ -finitas e $f : \Omega_1 \times \Omega_2 \rightarrow \overline{\mathbb{R}}$ é uma função boreliana estendida. Se*

$$\int_{\Omega_1} \left(\int_{\Omega_2} |f(x, y)| \nu(dy) \right) \mu(dx) < \infty,$$

então: $\int_{\Omega_2} f(x, y) \nu(dy)$ está definida para μ -quase todo x , $\int_{\Omega_1} f(x, y) \mu(dx)$

está definida para ν -quase todo y , vale a igualdade

$$\int_{\Omega_1} \left(\int_{\Omega_2} f(x, y) \nu(dy) \right) \mu(dx) = \int_{\Omega_2} \left(\int_{\Omega_1} f(x, y) \mu(dx) \right) \nu(dy),$$

e essas integrais são iguais a $\int_{\Omega_1 \times \Omega_2} f d(\mu \otimes \nu)$. Nas duas integrais iteradas logo acima, podemos substituir o valor da integral interna por zero no conjunto (de medida nula) de pontos para os quais ela não está definida.

A prova será dada no Apêndice D.4. Em sua versão mais corrente, o enunciado do Teorema de Fubini tem como hipótese que f seja integrável com respeito a $\mu \otimes \nu$, que no enunciado acima foi substituída por outra mais conveniente graças ao Teorema de Tonelli. Vejamos um exemplo de integrais iteradas que não comutam, e o que nos diz o Teorema de Fubini nesse caso.

Exemplo 5.85. Seja $f : (0, 1) \times (0, 1) \rightarrow \mathbb{R}$ definida por

$$f(x, y) = \frac{x - y}{(x + y)^3}.$$

Fazendo $u = x + y$,

$$\int_0^1 \int_0^1 \frac{x - y}{(x + y)^3} dx dy = \int_0^1 \int_y^{1+y} \frac{u - 2y}{u^3} du dy = -\frac{1}{2}.$$

Por outro lado, também substituindo $u = x + y$,

$$\int_0^1 \int_0^1 \frac{x - y}{(x + y)^3} dy dx = \int_0^1 \int_x^{1+x} \frac{2x - u}{u^3} du dx = \frac{1}{2}.$$

Podemos assim concluir que

$$\int_0^1 \int_0^1 |f(x, y)| dx dy = +\infty,$$

pois caso contrário teríamos $\int_0^1 \int_0^1 f(x, y) dx dy = \int_0^1 \int_0^1 f(x, y) dy dx$. \triangle

Como toda soma é uma integral de Lebesgue com respeito à medida de

contagem, podemos obter propriedades muito úteis de somas infinitas iteradas. Por exemplo, o Teorema C.2 segue direto do Teorema de Tonelli.

Teorema 5.86 (Teorema de Fubini para somas). *Seja $(x_{m,n})_{m,n \in \mathbb{N}}$ uma sequência de números reais estendidos duplamente indexada por m e n .*

$$\text{Se } \sum_{m=1}^{\infty} \sum_{n=1}^{\infty} |x_{m,n}| < \infty, \quad \text{então } \sum_{m=1}^{\infty} \sum_{n=1}^{\infty} x_{m,n} = \sum_{n=1}^{\infty} \sum_{m=1}^{\infty} x_{m,n}$$

estão definidas e coincidem.

Demonstração. Segue direto do Teorema de Fubini, pois somas infinitas são integrais com respeito à medida de contagem e, quando são somáveis, coincidem com a respectiva série. \square

Vejamos um exemplo de somas iteradas que não comutam.

Exemplo 5.87. Considere a sequência duplamente indexada

$$x_{m,n} = \begin{pmatrix} 1 & -1 & 0 & 0 & 0 & \dots \\ 0 & 1 & -1 & 0 & 0 & \dots \\ 0 & 0 & 1 & -1 & 0 & \dots \\ 0 & 0 & 0 & 1 & -1 & \dots \\ \vdots & \vdots & \vdots & \vdots & \ddots & \ddots \end{pmatrix}$$

que não é somável. Veja que somando-se colunas e depois linhas obtém-se 1 mas somando-se linhas e depois colunas obtém-se 0. \triangle

Terminamos este capítulo com uma observação sobre esperança de funções de vetores aleatórios com densidade conjunta.

Observação 5.88 (Vetores aleatórios com densidade conjunta). A medida de Lebesgue em \mathbb{R}^n , denotada \mathbf{m} , é definida pode ser definida recursivamente como $\mathbf{m} = m \otimes \dots \otimes m$. Seja h uma função boreliana estendida não-negativa

$h : \mathbb{R}^n \rightarrow \mathbb{R}$. Como $\mathcal{B}(\mathbb{R}^n) = \mathcal{B}(\mathbb{R}) \otimes \cdots \otimes \mathcal{B}(\mathbb{R})$,¹⁰ concluímos que h é mensurável com respeito à σ -álgebra produto. Usando o Teorema de Tonelli recursivamente, $n - 1$ vezes, obtemos

$$\int_{\mathbb{R}^n} h \, d\mathbf{m} = \int_{\mathbb{R}} \cdots \int_{\mathbb{R}} h(x_1, \dots, x_n) \, dx_n \cdots dx_1. \quad (5.89)$$

Munidos da identidade acima, concluímos que a definição de densidade conjunta dada na Seção 4.2 diz simplesmente que

$$\mathbb{P}_{\mathbf{X}}(B) = \int_B f_{\mathbf{X}} \, d\mathbf{m}$$

para todo paralelepípedo $B \subseteq \mathbb{R}^n$, o que implica a mesma identidade para todo boreliano $B \in \mathcal{B}(\mathbb{R}^n)$ usando o Teorema 3.32 (unicidade de medidas). Ou seja, \mathbf{X} ter densidade conjunta $f_{\mathbf{X}}$ é o mesmo que $\frac{d\mathbb{P}_{\mathbf{X}}}{d\mathbf{m}} = f_{\mathbf{X}}$.

Podemos agora justificar a fórmula (5.42). Para isso, observamos que

$$\begin{aligned} \mathbb{E}[g(\mathbf{X})] &= \int_{\Omega} g(\mathbf{X}(\omega)) \, \mathbb{P}(d\omega) \\ &= \int_{\mathbb{R}^n} g(\mathbf{x}) \, \mathbb{P}_{\mathbf{X}}(d\mathbf{x}) \\ &= \int_{\mathbb{R}^n} g(\mathbf{x}) f_{\mathbf{X}}(\mathbf{x}) \, \mathbf{m}(d\mathbf{x}) \\ &= \int_{-\infty}^{+\infty} \cdots \int_{-\infty}^{+\infty} g(x_1, \dots, x_n) f_{\mathbf{X}}(x_1, \dots, x_n) \, dx_n \cdots dx_1 \end{aligned}$$

para qualquer função boreliana não-negativa $g : \mathbb{R}^n \rightarrow \mathbb{R}$. Em particular, pelo Lema 3.38, vale para g contínua e não-negativa. Nas igualdades acima, usamos os Teoremas 5.63 e 5.64, a Proposição 5.76 e a fórmula (5.89), nesta ordem. \triangle

¹⁰O produto de n espaços de medida pode ser definido recursivamente, veja o Apêndice D.4 para uma descrição desse argumento e para a prova de que $\mathcal{B}(\mathbb{R}^n) = \mathcal{B}(\mathbb{R}) \otimes \cdots \otimes \mathcal{B}(\mathbb{R})$.

5.6 Exercícios

§5.1

1. Um método usado por cientistas para estimar a quantidade de animais em determinado local é o de capturar alguns deles ao acaso, marcá-los, soltá-los, voltar a capturar outros tantos, e contar quantos deles estão marcados. Caso sejam poucos os marcados, isso indica que a população é grande. Imagine que há 80 animais de determinada espécie, os cientistas marcam 20 deles ao acaso, e depois capturam 20 deles ao acaso. Calcule a esperança do número de animais que terão a marca.
2. Um baralho tem 52 cartas, sendo 13 de cada naipe. As cartas são embaralhadas e um jogador recebe 10 dessas cartas. Calcule a esperança do número de cartas de espadas recebida pelo jogador.
3. Pedro aprendeu um truque para ganhar dinheiro na roleta, e o vem aplicando com sucesso diário há uma semana. Ele começa com \$31,00 e aposta \$1,00 nos vermelhos contra os pretos. Se ganha, vai embora feliz com \$32,00. Se perde, seu capital baixa a \$30,00, então ele aposta \$2,00 nos vermelhos, podendo ganhar e sair feliz com \$32,00, ou perder e continuar seu método. Nas próximas rodadas, ele aposta \$4,00, \$8,00 e \$16,00, se necessário, até ganhar. Veja que Pedro sempre termina saindo do jogo com \$32,00, a não ser que ele seja tão azarado que todas as rodadas resultem em números pretos. Supondo que não existe a casa verde, de forma que ambos vermelhos e pretos tenham probabilidade $\frac{1}{2}$, calcule a esperança do lucro de Pedro cada vez que ele entra numa casa de jogos determinado a aplicar essa estratégia. Calcule a esperança do número de rodadas que Pedro apostará antes de ir embora e do capital que Pedro terá ao ir embora.
4. Considere o seguinte jogo de azar. Uma urna contém 18 bolas, sendo 9 azuis e 9 brancas. Retiram-se 3 bolas da urna ao acaso. As bolas retiradas são descartadas e o jogador marca 1 ponto se pelo menos 2 dessas 3 bolas forem azuis. Em seguida retiram-se outras 3 bolas da urna ao acaso, as bolas

retiradas são descartadas e o jogador marca 1 ponto se pelo menos 2 dessas 3 bolas forem azuis. Repete-se o procedimento até que a urna esteja vazia. Ao final, o jogador recebe um prêmio X igual ao total de pontos marcados. Calcule $\mathbb{E}X$.

5. Temos duas urnas, a primeira urna contém n bolas brancas numeradas de 1 a n , enquanto a segunda possui n bolas pretas numeradas de 1 a n . Sorteamos uma bola de cada urna e observamos os respectivos números. Dizemos que há uma coincidência se os números sorteados são iguais. Descartamos as bolas sorteadas e repetimos o procedimento até que ambas as urnas fiquem vazias. Calcule a esperança do número total de coincidências.

6. Seja $X \sim \text{Binom}(n, p)$. Calcule $\mathbb{E}X^2$.

7. Temos cinco dados com a forma de cada um dos Poliedros de Platão. O tetraedro tem suas faces numeradas de 1 a 4, o cubo de 1 a 6, o octaedro de 1 a 8, o dodecaedro de 1 a 12 e o icosaedro tem suas faces numeradas de 1 a 20. Lançamos todos os cinco dados simultaneamente. Calcule a esperança do produto do valor exibido pelo icosaedro com a soma dos valores exibidos pelos outros quatro dados.

8. Dois dados são lançados simultaneamente. Calcule a esperança do maior valor exibido.

§5.2

9. Seja $X \sim \mathcal{U}[0, 1]$. Calcule $\mathbb{E}X^t$ para todo $t \in \mathbb{R}$.

10. Sejam $X \sim \mathcal{N}(0, 1)$ e $Y = \max\{0, X\}$. Calcule $\mathbb{E}Y$ e $\mathbb{E}Y^2$.

11. Seja $X \sim \text{Beta}(a, b)$ com $a, b > 0$. Calcule $\mathbb{E}X$.

12. Seja $X \sim \text{Gama}(n, \beta)$, com $n \in \mathbb{N}$. Calcule $\mathbb{E}X$.

13. Seja $X \sim \text{Cauchy}(a, b)$. Mostre que $\mathbb{E}X$ não está definida.

14. Seja X uma variável aleatória tal que $\mathbb{P}(X \geq \mu + x) = \mathbb{P}(X \leq \mu - x)$ para todo $x \in \mathbb{R}$. Mostre que, se X é integrável, então $\mathbb{E}X = \mu$.

- 15.** Sejam X_1, \dots, X_n variáveis aleatórias não-negativas (ou integráveis) independentes. Prove que $\mathbb{E}[\prod_j X_j] = \prod_j \mathbb{E}X_j$.
- 16.** Sejam X_1, X_2, X_3, \dots uma sequência de variáveis independentes com distribuição $\mathcal{U}[0, 1]$ e tome a variável aleatória N como sendo o menor n tal que $X_1 + X_2 + \dots + X_n \geq 1$. Mostre que $\mathbb{E}N = e$.
- 17.** Sejam $X_0, X_1, X_2, X_3, \dots$ uma sequência de variáveis independentes com distribuição $\mathcal{U}[0, 1]$ e tome a variável aleatória N como sendo o menor n tal que $X_n \geq X_0$. Mostre que $\mathbb{E}N = +\infty$.
- 18.** Prove que, se $\mathbb{E}X$ está definida e $A \in \mathcal{F}$, então $\mathbb{E}[X\mathbb{1}_A]$ está definida.
- 19.** Prove que, se X é integrável $A \in \mathcal{F}$, então $X\mathbb{1}_A$ é integrável.
- 20.** Seja X uma variável aleatória tal que $\mathbb{E}X$ está definida. Defina

$$Y = \begin{cases} X, & X \leq a, \\ a, & \text{caso contrário,} \end{cases}$$

onde $a \in \mathbb{R}$ é constante. Mostre que $\mathbb{E}Y \leq \mathbb{E}X$.

- 21.** Seja X uma variável aleatória não-degenerada tal que $\mathbb{P}(a \leq X \leq b) = 1$. Mostre que $a < \mathbb{E}X < b$.
- 22.** Sejam X e Y variáveis aleatórias. Mostre que:
- (a) Se $\mathbb{E}X$ está definida, então $|\mathbb{E}X| \leq \mathbb{E}|X|$;
 - (b) Se X é integrável, então $\mathbb{E}[X - \mathbb{E}X] = 0$;
 - (c) Se $0 \leq |X| \leq Y$ q.c. e Y é integrável, então X é integrável.
- 23.** Sejam X uma variável aleatória e $p > 0$ tais que $z^p \mathbb{P}(|X| > z) \leq M$ para todo $z > 0$. Mostre que $\mathbb{E}|X|^q < \infty$ para todo $q \in [0, p)$. Dê um exemplo ilustrando que é possível termos $\mathbb{E}|X|^p = +\infty$.

§5.3

- 24.** Seja $U \sim \mathcal{U}[0, 1]$ e defina $X_n = n\mathbb{1}_{\{0 < U \leq \frac{1}{n}\}}$.

- (a) A sequência $(X_n)_n$ satisfaz às hipóteses dos Teoremas da Convergência Monótona ou Dominada?
- (b) Calcule $\lim_n \mathbb{E}X_n$ e $\mathbb{E}[\lim_n X_n]$.

25. Sejam X uma variável aleatória integrável e $(A_n)_n$ uma sequência de eventos tal que $A_n \downarrow \emptyset$. Mostre que $\lim_n \mathbb{E}[X\mathbb{1}_{A_n}] = 0$.

26. Sejam $(X_n)_n$ e X variáveis aleatórias tais que $X_n \downarrow X \geq 0$ q.c. e X_1 é integrável. Mostre que $\mathbb{E}X_n \rightarrow \mathbb{E}X$.

27. Dê um exemplo de uma sequência de variáveis aleatórias $(X_n)_n$ tal que

$$\mathbb{E}\left[\sum_{n=1}^{\infty} X_n\right] \neq \sum_{n=1}^{\infty} \mathbb{E}X_n$$

e ambos os lados da equação acima estejam bem definidos.

§5.4

28. Seja $X \sim \mathcal{U}[-1, 1]$. Considerando os eventos $A_1 = \{X \geq 0\}$ e $A_2 = \{X < 0\}$, calcule

- (a) A distribuição condicional de X dado A_1 .
- (b) A distribuição condicional de X dado A_2 .
- (c) $\mathbb{E}[X|A_1]$.
- (d) $\mathbb{E}[X|A_2]$.

29. Seja X uma variável aleatória exponencial com parâmetro λ . Encontre $\mathbb{E}[X | X > 2]$.

30. Se $X \sim \text{Geom}(p)$, encontre $\mathbb{E}[X | X > 5]$.

§5.5

31. Sejam $(\Omega, \mathcal{F}, \mu)$ um espaço de medida e f uma função boreliana estendida. Prove que f é integrável se e somente se $\int_{\Omega} |f| d\mu < \infty$.

- 32.** Sejam $(\Omega, \mathcal{F}, \mu)$ um espaço de medida e f, g funções borelianas estendidas. Suponha que $|f| \leq g$ e g é integrável. Mostre que f é integrável.
- 33.** Sejam $(\Omega, \mathcal{F}, \mu)$ um espaço de medida, f uma função boreliana estendida e $A \in \mathcal{F}$.
- (a) Prove que, se $\int_{\Omega} f \, d\mu$ está definida, então $\int_{\Omega} f \mathbb{1}_A \, d\mu$ está definida.
 - (b) Prove que, se f é integrável, então $f \mathbb{1}_A$ é integrável.
- 34.** Mostre que a família de todas as funções borelianas integráveis em $(\Omega, \mathcal{F}, \mu)$ é um espaço vetorial real.
- 35.** Seja $(X_n)_n$ uma sequência de variáveis aleatórias estendidas não-negativas. Mostre que $\mathbb{E}[\sum_n X_n] = \sum_n \mathbb{E}X_n$.
- 36.** Seja $(X_n)_n$ uma sequência i.i.d. de variáveis aleatórias estendidas não-negativas com $\mathbb{E}X_1 < \infty$. Mostre que $\sum_{n=1}^{\infty} \frac{X_n}{n^2} < \infty$ quase certamente.
- 37.** Seja $(X_n)_n$ uma sequência de variáveis aleatórias estendidas tais que $\sum_n \mathbb{E}|X_n| < \infty$. Mostre que a série $\sum_{n=1}^{\infty} X_n$ converge quase certamente, e $\mathbb{E}[\sum_{n=1}^{\infty} X_n] = \sum_{n=1}^{\infty} \mathbb{E}X_n$.
- 38.** Seja $(X_n)_n$ uma sequência de variáveis aleatórias i.i.d. com $\mathbb{P}(X_1 = -1) = \mathbb{P}(X_1 = 0) = \mathbb{P}(X_1 = +1) = \frac{1}{3}$. Calcule $\mathbb{E}[\liminf_n X_n]$ e $\liminf_n \mathbb{E}X_n$. Existe alguma generalização do Lema de Fatou que poderia aplicar-se aqui?
- 39.** Sejam $(\Omega, \mathcal{F}, \mu)$ espaço de medida onde μ é a medida de contagem e f uma função boreliana. Mostre que, se $\int_{\Omega} f \, d\mu$ é finito, então $\{\omega \in \Omega : f(\omega) \neq 0\}$ é enumerável.
- 40.** Seja Y a variável aleatória definida no Exemplo 3.29. Calcule $\mathbb{E}Y^2$.
- 41.** Sejam μ_1 e μ_2 medidas σ -finitas tais que μ_2 tenha densidade f com respeito a μ_1 . Mostre que, se $f > 0$ q.t.p., então $\frac{1}{f}$ é uma densidade de μ_1 com respeito a μ_2 .
- 42.** Sejam X e Y variáveis aleatórias independentes. Prove que

$$\mathbb{P}(X \leq Y) = \mathbb{E}[F_X(Y)].$$

43. Sejam $(\Omega_1, \mathcal{F}_1, \mu_1)$ e $(\Omega_2, \mathcal{F}_2, \mu_2)$ espaços de medida, onde $\Omega_1 = \Omega_2 = [0, 1]$, $\mathcal{F}_1 = \mathcal{F}_2 = \mathcal{B}([0, 1])$, μ_1 é a medida de Lebesgue e μ_2 é a medida da contagem. Seja $f : \Omega_1 \times \Omega_2 \rightarrow \mathbb{R}$ definida por $f(\omega_1, \omega_2) = \mathbf{1}_{\{\omega_1 = \omega_2\}}$. Calcule

$$\int_{\Omega_1} \int_{\Omega_2} f(\omega_1, \omega_2) \mu_2(d\omega_2) \mu_1(d\omega_1) \quad \text{e} \quad \int_{\Omega_2} \int_{\Omega_1} f(\omega_1, \omega_2) \mu_1(d\omega_1) \mu_2(d\omega_2).$$

Vale o Teorema de Tonelli? Por quê?

Capítulo 6

Momentos e Desigualdades

Neste capítulo introduzimos as noções de momentos de variáveis aleatórias, de variância e covariância, e estudaremos várias desigualdades envolvendo momentos, que serão fundamentais nos capítulos seguintes.

6.1 Momentos e variância

Sejam X e Y variáveis aleatórias com distribuições uniformes em $[-1, +1]$ e $\{-1, +1\}$, respectivamente. Está claro que X tem uma dispersão de seus valores em torno de sua média menor que a de Y . Um dos objetivos desta seção é quantificar o quanto uma variável aleatória se espalha em torno de determinado valor e, em particular, o quanto ela se espalha em torno de sua média.

Definição 6.1. Dada uma variável aleatória X e $k = 1, 2, 3, \dots$, definimos o *k -ésimo momento* de X como $\mathbb{E}X^k$, caso X^k seja integrável. Neste caso, dizemos que X tem *k -ésimo momento finito*, e definimos o *k -ésimo momento central* de X como $\mathbb{E}(X - \mathbb{E}X)^k$.

Observamos que, se X tem k -ésimo momento finito, então X tem j -ésimo

momento finito para $j = 1, \dots, k$ (pois $|X|^j \leq 1 + |X|^k$) e, em particular, o k -ésimo momento central está bem definido.

Exemplo 6.2. Se $X \sim \mathcal{U}[0, 1]$, então

$$\mathbb{E}X = \int_0^1 x \, dx = \frac{1}{2}, \quad \mathbb{E}X^2 = \int_0^1 x^2 \, dx = \frac{1}{3}, \quad \mathbb{E}X^k = \int_0^1 x^k \, dx = \frac{1}{k+1},$$

e o segundo momento central é dado por

$$\mathbb{E}(X - \tfrac{1}{2})^2 = \int_0^1 (x - \tfrac{1}{2})^2 \, dx = \tfrac{1}{12}. \quad \triangle$$

Como veremos a seguir, o segundo momento central é um excelente quantificador da dispersão de variável aleatória X em torno de sua média, com propriedades muito especiais.

Definição 6.3 (Variância). Seja X uma variável aleatória integrável. Define-se a *variância* da variável aleatória X , denotada por $\mathbb{V}X$, como

$$\mathbb{V}X = \mathbb{E}(X - \mathbb{E}X)^2.$$

Exemplo 6.4. Se $X \sim \mathcal{U}[0, 1]$, então $\mathbb{E}X = \frac{1}{2}$ e $\mathbb{V}X = \frac{1}{12}$. \triangle

Proposição 6.5 (Propriedades da variância). *Seja X uma variável aleatória com segundo momento finito. Então:*

- (1) $\mathbb{V}X = \mathbb{E}X^2 - (\mathbb{E}X)^2$. Em particular, $\mathbb{V}X \leq \mathbb{E}X^2$.
- (2) $\mathbb{V}X \geq 0$. Além disso, $\mathbb{V}X = 0$ se e somente se $X = \mathbb{E}X$ q.c.
- (3) $\mathbb{V}[aX + b] = a^2 \mathbb{V}X$.

Demonstração. Para o item (1), basta expandir $\mathbb{V}X = \mathbb{E}(X - \mathbb{E}X)^2 = \mathbb{E}[X^2 - 2X\mathbb{E}X + (\mathbb{E}X)^2] = \mathbb{E}X^2 - (\mathbb{E}X)^2$.

Para o item (2), $\mathbb{V}X \geq 0$ pois $(X - \mathbb{E}X)^2 \geq 0$. Pelo item (4) da Proposição 5.30, $\mathbb{V}X = 0$ implica que $X = \mathbb{E}X$ quase certamente; a recíproca é imediata.

Para provar o item (3), expandimos $\mathbb{V}[aX + b] = \mathbb{E}(aX + b)^2 - (\mathbb{E}[aX + b])^2 = \mathbb{E}[a^2X^2 + 2abX + b^2] - (a\mathbb{E}X + b)^2 = a^2(\mathbb{E}X^2 - (\mathbb{E}X)^2) = a^2\mathbb{V}X$. \square

Exemplo 6.6. Se $X \sim \text{Bernoulli}(p)$, então

$$\mathbb{E}X = p, \quad \mathbb{E}X^2 = p, \quad \mathbb{V}X = \mathbb{E}X^2 - (\mathbb{E}X)^2 = p - p^2 = p(1 - p). \quad \triangle$$

Observe que a variância é máxima no caso simétrico $p = \frac{1}{2}$.

Exemplo 6.7. Seja $X \sim \mathcal{N}(\mu, \sigma^2)$. Sabemos que $X = \sigma Z + \mu$ com $Z \sim \mathcal{N}(0, 1)$ (Exercício 3.23) e que $\mathbb{E}Z^2 = 1$ (Exemplo 5.40). Usando proposição acima, obtemos $\mathbb{V}X = \sigma^2$. \triangle

Exemplo 6.8. Se $X \sim \mathcal{U}[a, b]$ então $X \sim a + (b - a)U$, onde U é uma uniforme no intervalo $[0, 1]$, cuja variância foi calculada no Exemplo 6.4. Logo, segue do item (3) da proposição anterior que $\mathbb{V}X = \frac{(b-a)^2}{12}$. \triangle

Podemos observar que $\mathbb{V}X$ é uma medida da dispersão de X em torno de sua média, mas que dimensionalmente não é expressa nas mesmas unidades de X . Por exemplo, se X for medida em kg então $\mathbb{V}X$ é medida em kg^2 . Para que tenhamos uma medida de dispersão na mesma escala da variável aleatória X , somos motivados a introduzir a próxima definição.

Definição 6.9 (Desvio-padrão). O *desvio-padrão* $\sigma(X)$ da variável aleatória X é dado pela raiz quadrada da variância

$$\sigma(X) = \sqrt{\mathbb{V}X}. \quad ^{11}$$

Exemplo 6.10. Se $X \sim \text{Bernoulli}(\frac{1}{2})$, então

$$\sigma(X) = \sqrt{\mathbb{V}X} = \sqrt{\frac{1}{4}} = \frac{1}{2}.$$

\triangle

¹¹O significado de $\sigma(X)$ neste capítulo, bem como no Capítulo 9, é completamente diferente daquele nas seções mais avançadas dos Capítulos 3, 4 e 5, bem como nos Capítulos 11, 12 e 13. Essa reutilização da letra σ não deve causar confusão.

Exemplo 6.11. Se $X \sim \mathcal{N}(\mu, \sigma^2)$, do Exemplo 6.7, segue que $\sigma(X) = \sigma$. \triangle

Gostaríamos de estudar a dispersão de uma soma de duas ou mais variáveis aleatórias e, se possível, relacioná-la com as respectivas variâncias. Expandindo a fórmula da variância, obtemos

$$\mathbb{V}[X + Y] = \mathbb{V}X + \mathbb{V}Y + 2\mathbb{E}[(X - \mathbb{E}X) \cdot (Y - \mathbb{E}Y)].$$

Ou seja, a variância de $X + Y$ é igual à soma das variâncias de X e de Y , mais um termo cruzado que envolve ambas as variáveis. Isto nos motiva a introduzir o seguinte conceito.

Definição 6.12 (Covariância). Dadas duas variáveis aleatórias X e Y com segundo momento finito, definimos a *covariância de X e Y* como

$$\mathbf{Cov}(X, Y) = \mathbb{E}[(X - \mathbb{E}X)(Y - \mathbb{E}Y)].$$

Observe que $\mathbf{Cov}(X, X) = \mathbb{V}X$, $\mathbf{Cov}(X, Y) = \mathbf{Cov}(Y, X)$ (a covariância é simétrica), e

$$\mathbf{Cov}(X, Y) = \mathbb{E}[XY] - \mathbb{E}X \cdot \mathbb{E}Y.$$

Se $\mathbf{Cov}(X, Y) = 0$, dizemos que X e Y são *não-correlacionadas*, e isso vale se, e somente se, $\mathbb{V}[X + Y] = \mathbb{V}X + \mathbb{V}Y$. Se as variáveis aleatórias X e Y são independentes e têm segundo momento finito então X e Y são não-correlacionadas e $\mathbb{V}[X + Y] = \mathbb{V}X + \mathbb{V}Y$. Entretanto, nem sempre vale a recíproca, pois $\mathbb{E}[XY] = \mathbb{E}X \cdot \mathbb{E}Y$ não implica X e Y independentes.

Exemplo 6.13. Sejam X e Y variáveis aleatórias tomando valores $-1, 0, 1$ com distribuição conjunta dada por $p(-1, -1) = p(-1, 1) = p(1, -1) = p(1, 1) = p(0, 0) = \frac{1}{5}$. Então $\mathbf{Cov}(X, Y) = 0$, mas X e Y não são independentes. \triangle

Outras propriedades importantes da covariância são dadas na proposição abaixo.

Proposição 6.14 (Propriedades da Covariância). *Sejam X, X_1, \dots, X_n e Y, Y_1, \dots, Y_m variáveis aleatórias com segundo momento finito e a_1, \dots, a_n , e b_1, \dots, b_m, c números reais. Então:*

- (1) $\mathbf{Cov}(X, c) = 0$ para todo $c \in \mathbb{R}$;
- (2) $\mathbf{Cov}(\sum_k a_k X_k, \sum_j b_j Y_j) = \sum_k \sum_j a_k b_j \mathbf{Cov}(X_k, Y_j)$;
- (3) $\mathbb{V}[\sum_{k=1}^n X_k] = \sum_{k=1}^n \mathbb{V}X_k + 2 \sum_{1 \leq k < j \leq n} \mathbf{Cov}(X_k, X_j)$.

Demonstração. Expandindo $\mathbf{Cov}(X, c) = \mathbb{E}[cX] - \mathbb{E}X \cdot \mathbb{E}c = c\mathbb{E}X - c\mathbb{E}X = 0$, mostramos o item (1). O item (2) segue da expansão

$$\begin{aligned}
 & \mathbb{E}\left[\left(\sum_k a_k X_k\right)\left(\sum_j b_j Y_j\right)\right] - \mathbb{E}\left[\sum_k a_k X_k\right]\mathbb{E}\left[\sum_j b_j Y_j\right] \\
 &= \mathbb{E}\left[\sum_{k,j} a_k b_j X_k Y_j\right] - \left(\sum_k a_k \mathbb{E}X_k\right)\left(\sum_j b_j \mathbb{E}Y_j\right) \\
 &= \sum_{k,j} a_k b_j \mathbb{E}[X_k Y_j] - \left(\sum_{k,j} a_k b_j \mathbb{E}X_k \cdot \mathbb{E}Y_j\right) \\
 &= \sum_k \sum_j a_k b_j \mathbf{Cov}(X_k, Y_j).
 \end{aligned}$$

Para provar o item (3), expandimos

$$\begin{aligned}
 \mathbb{V}\left[\sum_{k=1}^n X_k\right] &= \mathbf{Cov}\left(\sum_{k=1}^n X_k, \sum_{j=1}^n X_j\right) = \sum_{k=1}^n \sum_{j=1}^n \mathbf{Cov}(X_k, X_j) \\
 &= \sum_{k=1}^n \mathbf{Cov}(X_k, X_k) + \sum_{k=1}^n \sum_{j=1, j \neq k}^n \mathbf{Cov}(X_k, X_j)
 \end{aligned}$$

e observamos que todo par de k e j distintos aparece duas vezes na última soma acima. \square

Pelo último item acima, se as variáveis aleatórias são não-correlacionadas, então a variância da soma é a soma das variâncias.

6.2 Correlação

Nesta seção vamos introduzir o coeficiente de correlação, estudar suas propriedades, e relacioná-lo com o método dos mínimos quadrados. Observamos

que esta seção não será usada no restante do livro.

Dada uma variável aleatória X não-degenerada com segundo momento finito, definimos a *padronização de X* como sendo a variável aleatória

$$\tilde{X} = \frac{X - \mathbb{E}X}{\sqrt{\mathbb{V}X}}.$$

Ou seja, a padronização é a transformação afim crescente que leva X em \tilde{X} com as propriedades que $\mathbb{E}\tilde{X} = 0$ e $\mathbb{V}\tilde{X} = 1$. Observe também que a padronização de X é uma variável aleatória adimensional, pois $\sqrt{\mathbb{V}X}$ é medido na mesma unidade de X .

Definição 6.15 (Coeficiente de correlação). Sejam X e Y variáveis aleatórias com variâncias finitas e positivas, definimos o *coeficiente de correlação* $\rho(X, Y)$ entre X e Y como:

$$\rho(X, Y) = \mathbf{Cov}\left(\frac{X - \mathbb{E}X}{\sigma(X)}, \frac{Y - \mathbb{E}Y}{\sigma(Y)}\right).$$

O coeficiente de correlação é adimensional, pois ele depende apenas das padronizações de X e Y . Outras propriedades do coeficiente de correlação são dadas na proposição a seguir.

Proposição 6.16 (Propriedades do Coeficiente de Correlação). *Dadas X e Y variáveis aleatórias com variâncias finitas e positivas, valem:*

- (1) $\rho(X, Y) = \rho(Y, X)$;
- (2) $\rho(X, Y) = \frac{\mathbf{Cov}(X, Y)}{\sigma(X)\sigma(Y)}$;
- (3) $\rho(X, X) = 1$;
- (4) $\rho(aX + b, Y) = \frac{a}{|a|}\rho(X, Y)$ se $a, b \in \mathbb{R}$, $a \neq 0$;
- (5) $\rho(aX + b, cY + d) = \frac{ac}{|ac|}\rho(X, Y)$ se $a, b, c, d \in \mathbb{R}$ e $a, c \neq 0$.

Demonstração. O item (1) é imediato da definição de coeficiente de correlação e da simetria da covariância. Para o item (2) basta utilizar o item (2) da Proposição 6.14. Do item (2) segue que $\rho(X, X) = \frac{\mathbf{Cov}(X, X)}{(\sigma(X))^2} = \frac{\mathbb{V}X}{(\sigma(X)^2)} = 1$,

o que prova o item (3). Para mostrar o item (4), calculamos

$$\begin{aligned}\rho(aX + b, Y) &= \frac{\mathbf{Cov}(aX + b, Y)}{\sigma(aX + b)\sigma(Y)} = \frac{a \mathbf{Cov}(X, Y) + b \mathbf{Cov}(1, Y)}{|a|\sigma(X)\sigma(Y)} \\ &= \frac{a \mathbf{Cov}(X, Y)}{|a|\sigma(X)\sigma(Y)} = \frac{a}{|a|} \rho(X, Y),\end{aligned}$$

onde a segunda e a terceira igualdades acima seguem dos itens (2) e (1) da Proposição 6.14, respectivamente.

Provamos o item (5) utilizando os itens (1) e (4):

$$\begin{aligned}\rho(aX + b, cY + d) &= \frac{a}{|a|} \rho(X, cY + d) = \frac{a}{|a|} \rho(cY + d, X) \\ &= \frac{ac}{|ac|} \rho(Y, X) = \frac{ac}{|ac|} \rho(X, Y).\end{aligned}\quad \square$$

Exemplo 6.17. Sejam (X, Y) vetor aleatório com densidade conjunta dada por $f_{XY}(x, y) = \mathbb{1}_{[0,1]}(x)\mathbb{1}_{[0,1]}(y)$, $Z = \min\{X, Y\}$ e $W = \max\{X, Y\}$, então:

$$\begin{aligned}\mathbb{E}[ZW] &= \mathbb{E}[XY] = \int_0^1 \int_0^1 xy \, dx dy = \frac{1}{4} \\ \mathbb{E}Z &= \int_0^1 \left[\int_0^x y dy + \int_x^1 x dy \right] dx = \int_0^1 \left(\frac{x^2}{2} + x - x^2 \right) dx = \frac{1}{3} \\ \mathbb{E}W &= \int_0^1 \left[\int_0^x x dy + \int_x^1 y dy \right] dx = \int_0^1 \left(x^2 + \frac{1}{2} - \frac{x^2}{2} \right) dx = \frac{2}{3}\end{aligned}$$

Logo, $\mathbf{Cov}(Z, W) = \mathbb{E}[ZW] - \mathbb{E}Z \cdot \mathbb{E}W = \frac{1}{36}$.

Continuando,

$$\begin{aligned}\mathbb{E}Z^2 &= \int_0^1 \left[\int_0^x y^2 dy + \int_x^1 x^2 dy \right] dx = \int_0^1 \left(\frac{x^3}{3} + x^2 - x^3 \right) dx = \frac{1}{6} \\ \mathbb{V}Z &= \mathbb{E}Z^2 - (\mathbb{E}Z)^2 = \frac{1}{6} - \frac{1}{9} = \frac{1}{18} \\ \mathbb{V}W &= \dots \text{exercício} \dots = \frac{1}{18}\end{aligned}$$

$$\rho(Z, W) = \frac{\mathbf{Cov}(Z, W)}{\sigma(Z)\sigma(W)} = \frac{1/36}{\sqrt{1/18}\sqrt{1/18}} = \frac{1}{2}. \quad \triangle$$

Já sabíamos que o coeficiente de correlação é invariante pela padronização das variáveis. O último item da proposição acima nos diz algo mais forte. O valor absoluto do coeficiente de correlação $\rho(X, Y)$ é preservado por quaisquer transformações afins não-constantes que façamos nas variáveis X e Y .

O coeficiente de correlação é uma medida absoluta do grau de dependência linear entre as variáveis aleatórias X e Y . A proposição a seguir dá ainda mais sentido a esta afirmação.

Proposição 6.18. *Sejam X e Y variáveis aleatórias não-degeneradas com segundo momento finito. Então $-1 \leq \rho(X, Y) \leq 1$. Ademais, $\rho(X, Y) = \pm 1$ se, e somente se, $Y = \pm aX + b$ q.c. para algum $a > 0$ e $b \in \mathbb{R}$.*

Veremos a demonstração na próxima seção, como corolário da Desigualdade de Cauchy-Schwarz.

Correlação e o método dos mínimos quadrados

O leitor talvez se lembre dos laboratórios de ciências naturais, em que escolhiam-se distintos valores x_1, \dots, x_n de uma determinada grandeza, observavam-se valores correspondentes y_1, \dots, y_n de uma outra grandeza que depende da primeira, e tentava-se traçar a reta $y = ax + b$ que melhor se aproximasse dos n pontos $(x_1, y_1), \dots, (x_n, y_n)$ no plano, como ilustrado na Figura 6.1. O critério mais comum para dizer que uma reta $y = ax + b$ se aproxime desses pontos mais que outras é o de minimizar o erro quadrático médio, dado por $\frac{1}{n} \sum_j (ax_j + b - y_j)^2$.

Usando notação $\bar{z} = \frac{1}{n} \sum_j z_j$, queremos minimizar $g(a, b) = \overline{(ax_j + b - y_j)^2}$. O ponto que minimiza g satisfaz $\vec{\nabla} g = \vec{0}$, ou seja, $\frac{\partial g}{\partial a} = \frac{\partial g}{\partial b} = 0$.

Calculando as derivadas parciais, obtemos

$$\frac{\partial}{\partial a} g(a, b) = \overline{2x_j(ax_j + b - y_j)} = 2a \overline{x_j^2} + 2b \overline{x_j} - 2 \overline{x_j y_j},$$

$$\frac{\partial}{\partial b}g(a, b) = 2 \overline{ax_j + b - y_j} = 2a \overline{x_j} + 2b - 2 \overline{y_j}.$$

Resolvendo o sistema linear $\frac{\partial g}{\partial a} = \frac{\partial g}{\partial b} = 0$, obtemos

$$a = \frac{\overline{x_j y_j} - \overline{x_j} \cdot \overline{y_j}}{\overline{x_j^2} - \overline{x_j}^2} \quad \text{e} \quad b = \overline{y_j} - a \overline{x_j}.$$

Agora considere o experimento aleatório que consiste em selecionar um desses n pontos ao acaso, ou seja, assuma que (X, Y) é um vetor aleatório que assume os valores $(x_1, y_1), \dots, (x_n, y_n)$ com probabilidade $\frac{1}{n}$ cada. Neste caso, a solução acima pode ser escrita como

$$a = \frac{\text{Cov}(X, Y)}{\mathbb{V}X} = \rho(X, Y) \frac{\sigma(Y)}{\sigma(X)} \quad \text{e} \quad b = \mathbb{E}Y - a \mathbb{E}X.$$

Ou seja, se padronizamos tanto X quanto Y , a reta passará pela origem e sua inclinação será justamente o coeficiente de correlação.

Ademais, o problema original pode ser reescrito como: encontre a e b tal que

$$\mathbb{E}(aX + b - Y)^2$$

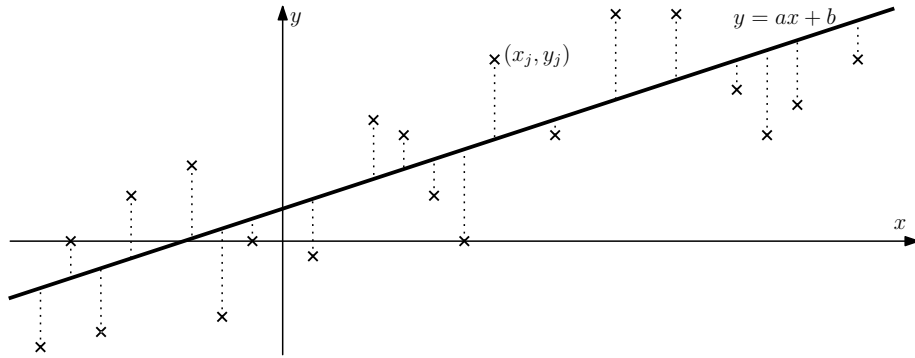


Figura 6.1. Uma coleção de 20 pontos e a reta que minimiza a soma dos quadrados dos comprimentos dos segmentos tracejados.

seja o menor possível. Ou seja, de todas as variáveis aleatórias \hat{Y} que podem ser expressas como $\hat{Y} = aX + b$ para algum a e algum b , encontramos aquela que minimiza $\mathbb{E}(\hat{Y} - Y)^2$.

6.3 Desigualdades básicas

Nesta seção, provaremos uma série de desigualdades de fundamental importância. Todas elas se referem a estimativas para probabilidades de eventos ou esperança de variáveis aleatórias.

O primeiro teorema é emblemático, a simplicidade de sua prova contrasta com sua enorme aplicabilidade, como veremos ao longo deste livro. Repare que começamos a utilizar esperança e momentos para estimar probabilidades.

Teorema 6.19 (Desigualdade de Markov). *Sejam X uma variável aleatória, $\lambda > 0$ e $t > 0$. Então*

$$\mathbb{P}(|X| \geq \lambda) \leq \frac{\mathbb{E}|X|^t}{\lambda^t}.$$

Demonstração. Como $|X|^t \geq \lambda^t \cdot \mathbf{1}_{\{|X|^t \geq \lambda^t\}}$, segue que $\mathbb{E}|X|^t \geq \lambda^t \cdot \mathbb{P}(|X|^t \geq \lambda^t)$. Portanto, $\mathbb{P}(|X| \geq \lambda) = \mathbb{P}(|X|^t \geq \lambda^t) \leq \frac{\mathbb{E}|X|^t}{\lambda^t}$. \square

Teorema 6.20 (Desigualdade de Tchebyshev). *Seja X uma variável aleatória integrável e seja $\lambda > 0$ uma constante. Então*

$$\mathbb{P}(|X - \mathbb{E}X| \geq \lambda) \leq \frac{\mathbb{V}X}{\lambda^2}.$$

Demonstração. Aplicamos a Desigualdade de Markov a $X - \mathbb{E}X$ com $t = 2$:

$$\mathbb{P}(|X - \mathbb{E}X| \geq \lambda) \leq \frac{\mathbb{E}[(X - \mathbb{E}X)^2]}{\lambda^2} = \frac{\mathbb{V}X}{\lambda^2}. \quad \square$$

Exemplo 6.21. Estimar a probabilidade de uma variável aleatória X não diferir de sua média μ por mais que duas vezes o valor do seu desvio-padrão

σ . Usando a Desigualdade de Tchebyshev,

$$\begin{aligned}\mathbb{P}(\mu - 2\sigma < X < \mu + 2\sigma) &= 1 - \mathbb{P}(|X - \mathbb{E}X| \geq 2\sigma) \\ &\geq 1 - \frac{\mathbb{V}X}{(2\sigma)^2} = 1 - \frac{\sigma^2}{4\sigma^2} = \frac{3}{4}. \quad \triangle\end{aligned}$$

Teorema 6.22 (Desigualdade de Cauchy-Schwarz). *Se X e Y têm segundo momento finito, então XY é integrável e*

$$\mathbb{E}[XY] \leq \sqrt{\mathbb{E}X^2} \sqrt{\mathbb{E}Y^2}.$$

Ainda, se $\mathbb{E}[XY] = \sqrt{\mathbb{E}X^2} \sqrt{\mathbb{E}Y^2}$, então existe $c \geq 0$ tal que $\mathbb{P}(Y = cX) = 1$, ou então $\mathbb{P}(X = 0) = 1$.

Demonstração. Primeiro veja que XY é integrável porque $|XY| \leq X^2 + Y^2$. Sejam $a = \sqrt{\mathbb{E}X^2}$ e $b = \sqrt{\mathbb{E}Y^2}$. Se $a = 0$ ou $b = 0$, o teorema vale trivialmente. Assumimos então que $0 < a < \infty$ e $0 < b < \infty$. Observamos que

$$0 \leq \mathbb{E}\left(\frac{X}{a} - \frac{Y}{b}\right)^2 = \mathbb{E}\left(\frac{X^2}{a^2} - 2\frac{XY}{ab} + \frac{Y^2}{b^2}\right) = 2 - \frac{2\mathbb{E}[XY]}{ab},$$

donde

$$\mathbb{E}[XY] \leq ab = \sqrt{\mathbb{E}X^2} \sqrt{\mathbb{E}Y^2}.$$

Se $\mathbb{E}[XY] = ab$, vale a igualdade na equação acima, donde $\mathbb{E}\left(\frac{X}{a} - \frac{Y}{b}\right)^2 = 0$, logo $\mathbb{P}\left(\frac{X}{a} - \frac{Y}{b} = 0\right) = 1$ e portanto $\mathbb{P}(Y = cX) = 1$ com $c = \frac{b}{a}$. \square

Munidos dessa desigualdade, podemos finalmente provar a Proposição 6.18.

Demonstração da Proposição 6.18. Sejam \tilde{X} e \tilde{Y} as padronizações de X e Y , respectivamente. Então,

$$\rho(X, Y) = \mathbf{Cov}(\tilde{X}, \tilde{Y}) = \mathbb{E}[\tilde{X}\tilde{Y}] \leq \sqrt{\mathbb{E}\tilde{X}^2} \sqrt{\mathbb{E}\tilde{Y}^2} = 1,$$

onde a última desigualdade é a Desigualdade de Cauchy-Schwarz. Suponha que $\rho(X, Y) = 1$. Neste caso, vale a igualdade na equação acima. Pela recíproca da Desigualdade de Cauchy-Schwarz, $\tilde{X} = 0$ q.c. ou $\tilde{Y} = c\tilde{X}$ q.c. com $c \geq 0$. Por outro lado, como $\mathbb{V}\tilde{X} = \mathbb{V}\tilde{Y} = 1$, segue que $\tilde{Y} = \tilde{X}$ q.c. e, portanto, $Y = aX + b$ q.c. com algum $a > 0$ e $b \in \mathbb{R}$. Reciprocamente, se $Y = aX + b$ q.c. com algum $a > 0$ e $b \in \mathbb{R}$, então $\tilde{Y} = \tilde{X}$ q.c., donde $\rho(X, Y) = 1$. Repetindo-se o mesmo argumento com $-X$ no lugar de X , obtemos que $\rho(X, Y) \geq -1$ valendo a igualdade se, e somente se, $Y = aX + b$ q.c. com algum $a < 0$ e $b \in \mathbb{R}$. \square

Exemplo 6.23. Sejam $X = \mathbb{1}_A$ e $Y = \mathbb{1}_B$ variáveis aleatórias de Bernoulli com parâmetro p , onde A e B são eventos independentes. Então,

$$\mathbb{E}[XY] = \mathbb{E}[\mathbb{1}_A \mathbb{1}_B] = \mathbb{E}[\mathbb{1}_{A \cap B}] = \mathbb{P}(A \cap B) = \mathbb{P}(A)\mathbb{P}(B) = p^2.$$

Por outro lado,

$$\sqrt{\mathbb{E}X^2} \sqrt{\mathbb{E}Y^2} = \sqrt{\mathbb{E}X} \sqrt{\mathbb{E}Y} = p.$$

Como $p^2 \leq p$, a Desigualdade de Cauchy-Schwarz é satisfeita, valendo a igualdade nos casos extremos $p = 0$ e $p = 1$. \triangle

As desigualdades a seguir cotam as probabilidades de uma variável aleatória ser grande ou pequena em função dos seus dois primeiros momentos. Elas são também conhecidas como método do primeiro e segundo momentos.

Teorema 6.24. *Seja N uma variável aleatória assumindo valores inteiros e não-negativos. Então,*

$$\mathbb{P}(N > 0) \leq \mathbb{E}N.$$

Demonstração. Como $\{N > 0\} = \{N \geq 1\}$, aplicando a Desigualdade de Markov, obtemos $\mathbb{P}(N > 0) = \mathbb{P}(N \geq 1) \leq \mathbb{E}N$. \square

Teorema 6.25 (Desigualdade de Paley-Zygmund). *Seja X uma variável aleatória não-negativa com segundo momento finito. Para todo $0 \leq a < 1$*

vale

$$\mathbb{P}(X > a\mathbb{E}X) \geq (1-a)^2 \frac{(\mathbb{E}X)^2}{\mathbb{E}X^2}.$$

Demonstração. Basta escrever

$$\mathbb{E}X = \mathbb{E}\left[X \cdot \mathbf{1}_{\{X \leq a\mathbb{E}X\}}\right] + \mathbb{E}\left[X \cdot \mathbf{1}_{\{X > a\mathbb{E}X\}}\right] \leq a\mathbb{E}X + \mathbb{E}\left[X \cdot \mathbf{1}_{\{X > a\mathbb{E}X\}}\right].$$

Aplicando a Desigualdade de Cauchy-Schwarz ao último termo, obtemos

$$\mathbb{E}X \leq a\mathbb{E}X + \left(\mathbb{E}X^2 \cdot \mathbb{E}\left[\mathbf{1}_{\{X > a\mathbb{E}X\}}^2\right]\right)^{\frac{1}{2}}.$$

Logo,

$$(1-a)\mathbb{E}X \leq \left(\mathbb{E}X^2 \cdot \mathbb{P}(X > a\mathbb{E}X)\right)^{\frac{1}{2}}.$$

O que conclui a prova do teorema. \square

O caso especial $a = 0$ já é extremamente interessante, pois dá uma cota para que a variável aleatória assuma valores não-nulos a partir da estimativa de seu segundo momento em termos do quadrado do seu primeiro momento.

Terminamos esta seção com uma desigualdade muito útil que diz respeito a funções convexas. Dado um intervalo aberto $I \subseteq \mathbb{R}$, dizemos que $g : I \rightarrow \mathbb{R}$ é uma função *convexa* se

$$g(ax + by) \leq ag(x) + bg(y)$$

para quaisquer $x, y \in I$ e $a, b \in [0, 1]$ com $a + b = 1$. Essa condição de convexidade pode ser reescrita do seguinte maneira: para todos $x < z < y$ em I , vale

$$\frac{g(z) - g(x)}{z - x} \leq \frac{g(y) - g(z)}{y - z}. \quad (6.26)$$

Podemos obter outras caracterizações de convexidade explorando a possível diferenciabilidade de g . Se g' existe e é não-decrescente em todo I , então pelo Teorema do Valor Médio g satisfaz (6.26) e portanto é convexa. Em

particular, se g'' existe e é não-negativa em todo I , então g é convexa. São convexas em \mathbb{R} as funções $g(x) = x$, $g(x) = e^x$ e $g(x) = |x|^p$ com $p \geq 1$. São convexas em $(0, +\infty)$ as funções $g(x) = x^{-1}$, $g(x) = -\sqrt{x}$ e $g(x) = -\log x$.

Teorema 6.27 (Desigualdade de Jensen). *Seja $I \subseteq \mathbb{R}$ um intervalo aberto, $g : I \rightarrow \mathbb{R}$ uma função convexa, e X uma variável aleatória integrável assumindo valores em I . Então*

$$\mathbb{E}[g(X)] \geq g(\mathbb{E}X).$$

Demonstração. A prova é ilustrada na Figura 6.2. Preliminarmente, afirmamos que, para cada $z \in I$ fixo, existe $c \in \mathbb{R}$ tal que

$$g(w) \geq g(z) + c(w - z)$$

para todo $w \in I$ (caso g seja diferenciável, podemos tomar $c = g'(z)$ e estamos falando que o gráfico de g está acima de suas retas tangentes). Com efeito, considerando os possíveis valores dos lados esquerdo e direito de (6.26) e usando o Teorema A.4, obtemos $c \in \mathbb{R}$ tal que $\frac{g(z)-g(x)}{z-x} \leq c \leq \frac{g(y)-g(z)}{y-z}$ para todo $x < z$ e todo $y > z$, provando a afirmação.

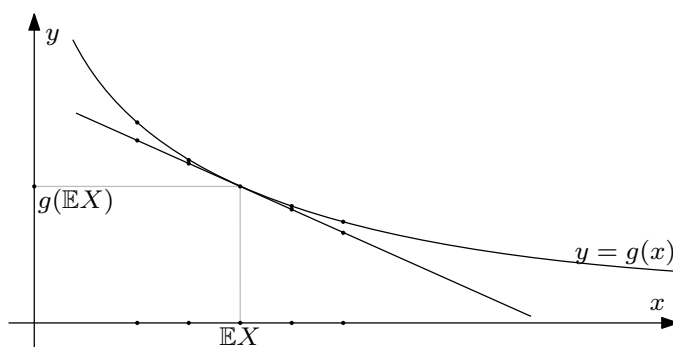


Figura 6.2. Prova da desigualdade de Jensen.

Finalmente, tomando $z = \mathbb{E}X$ e usando X no lugar de w , obtemos

$$\mathbb{E}[g(X)] \geq \mathbb{E}[g(\mathbb{E}X) + c(X - \mathbb{E}X)] = g(\mathbb{E}X) + c\mathbb{E}X - c\mathbb{E}X = g(\mathbb{E}X),$$

o que conclui a demonstração. \square

Vejamos alguns exemplos comuns de uso da Desigualdade de Jensen.

Exemplo 6.28. Se X é integrável e $p \geq 1$, então

$$\mathbb{E}|X|^p \geq (\mathbb{E}|X|)^p \geq |\mathbb{E}X|^p \quad \text{e} \quad \mathbb{E}[e^X] \geq e^{\mathbb{E}X}.$$

Se X é integrável e positiva, então

$$\mathbb{E}\left[\frac{1}{X}\right] \geq \frac{1}{\mathbb{E}X} \quad \text{e} \quad \mathbb{E}[\log X] \leq \log(\mathbb{E}X).$$

Com efeito, a primeira desigualdade é obtida usando-se a desigualdade de Jensen com $|X|$ no lugar de X e $g(x) = |x|^p$, a segunda usa $g(x) = |x|$, e as outras são imediatas da Desigualdade de Jensen. \triangle

O próximo teorema é uma importante aplicação da Desigualdade de Jensen.

Teorema 6.29 (Desigualdade de Lyapunov). *Seja X uma variável aleatória e $0 < q \leq p$. Então*

$$(\mathbb{E}|X|^q)^{\frac{1}{q}} \leq (\mathbb{E}|X|^p)^{\frac{1}{p}}.$$

Demonstração. Se $\mathbb{E}|X|^p = +\infty$ a desigualdade vale trivialmente. Suponha que $\mathbb{E}|X|^p < \infty$. Como $|x|^q \leq 1 + |x|^p$, segue que $|X|^q$ é integrável.

Observando que a função $g(x) = |x|^{p/q}$ é convexa, temos pela Desigualdade de Jensen que $(\mathbb{E}|X|^p) = \mathbb{E}[|X|^q]^{p/q} \geq (\mathbb{E}|X|^q)^{p/q}$. Elevando todos os termos a $1/p$, obtemos a desigualdade desejada. \square

6.4 Exercícios

§6.1

1. Calcule $\mathbb{V}X$, onde:

- (a) $X \sim \text{Geom}(\lambda)$.
- (b) $X \sim \text{Poisson}(\lambda)$.
- (c) $X \sim \text{Exp}(\lambda)$.
- (d) $X \sim \text{Laplace}(a, b)$.

2. Sejam $X \sim \mathcal{U}[0, 3]$ e $Y = \max\{X, 1\}$, calcule $\mathbb{V}Y$.

3. Sejam $X \sim \mathcal{U}[0, 2\pi]$, $Y = \sin X$ e $Z = \cos X$ variáveis aleatórias. Calcule $\mathbf{Cov}(Y, Z)$. As variáveis Y e Z são independentes?

4. Sejam X uma variável aleatória e $a < b$ tais que $\mathbb{P}(a \leq X \leq b) = 1$.

- (a) Mostre que $\mathbb{V}X \leq (\mathbb{E}X - a)(b - \mathbb{E}X)$.
- (b) Mostre que vale a igualdade na desigualdade acima se, e somente se, $\mathbb{P}(X = a) + \mathbb{P}(X = b) = 1$.

Sugestão: Faça primeiro supondo que $a = 0$ e $b = 1$.

5. Mostre que, se X é integrável, então o mínimo de $\mathbb{E}(X - c)^2$ é atingido quando $c = \mathbb{E}X$.

6. Dizemos que o número real m é uma *mediana* para a variável aleatória X , se $\mathbb{P}(X \geq m) \geq \frac{1}{2}$ e $\mathbb{P}(X \leq m) \geq \frac{1}{2}$. Mostre que, se m uma mediana de X , então o mínimo de $\mathbb{E}|X - c|$ é atingido quando $c = m$.

7. Seja X uma variável aleatória discreta com função de probabilidade

$$p_X(n) = \frac{n\lambda^n e^{-\lambda}}{\lambda n!}, \quad n = 0, 1, 2, 3, \dots$$

Calcule $\mathbb{V}X$.

Dica: Desenvolver $(n-1)(n-2+1) + 2(n-1) + 1$.

8. Seja X uma variável aleatória absolutamente contínua com função densidade dada por

$$f_X(x) = \begin{cases} \frac{2}{\pi r^2} \sqrt{r^2 - (x-a)^2}, & \text{se } x \in [a-r, a+r] \\ 0, & \text{se } x \notin [a-r, a+r]. \end{cases}$$

onde r e a são números reais com $r > 0$.

- (a) Calcule $\mathbb{E}X$ e $\mathbb{V}X$.
- (b) Deduza uma fórmula para o k -ésimo momento central de X .

9. Seja (X, Y) um vetor aleatório com distribuição uniforme no círculo unitário $C = \{(x, y) \in \mathbb{R}^2 : x^2 + y^2 < 1\}$, isto é, com densidade conjunta $f_{X,Y}(x, y) = \frac{1}{\pi} \mathbf{1}_C(x, y)$. Calcule $\mathbf{Cov}(X, Y)$.

10. Sejam X e Y variáveis aleatórias independentes com quarto momento finito. Mostre que

$$\mathbb{E}(X + Y - \mathbb{E}[X + Y])^4 = \mathbb{E}(X - \mathbb{E}X)^4 + \mathbb{E}(Y - \mathbb{E}Y)^4 + 6 \cdot \mathbb{V}X \cdot \mathbb{V}Y.$$

11. Sejam X e Y variáveis aleatórias independentes, ambas com distribuição Bernoulli($\frac{1}{2}$)

- (a) Mostre que $X + Y$ e $|X - Y|$ são não-correlacionadas.
- (b) Elas são independentes?

§6.2

12. Sejam X_1, \dots, X_n variáveis aleatórias i.i.d. não degeneradas com segundo momento finito. Calcule $\rho(X_1 + \dots + X_n, X_1)$.

13. Sejam X e Y variáveis aleatórias i.i.d.

- (a) Calcule $\rho(X, 2X)$ e $\rho(X, X + Y)$.
- (b) Saberia explicar, sem fazer o cálculo do item anterior, por quê os valores de $\rho(X, 2X)$ e $\rho(X, X + Y)$ são iguais ou diferentes?

14. Sejam X e Y variáveis aleatórias i.i.d. com distribuição $\mathcal{U}[0, 1]$, $Z = \min\{X, Y\}$ e $W = \max\{X, Y\}$. Calcule $\rho(Z, W)$.

§6.3

15. Prove que $\mathbb{E}|X| \leq \sqrt{\mathbb{E}X^2}$ sem usar as desigualdades de Jensen e Lyapunov.

16. Suponha que X seja uma variável aleatória tal que $\mathbb{E}X = 10$, $\mathbb{P}(X \leq 7) = \frac{2}{10}$ e $\mathbb{P}(X \geq 13) = \frac{3}{10}$. Prove que $\mathbb{V}X \geq \frac{9}{2}$.

17. Considere uma sequência de variáveis aleatórias X_1, X_2, X_3, \dots i.i.d. com distribuição Bernoulli(p). Encontre um número n para o qual a média observada, dada por

$$\bar{X}_n(\omega) = \frac{1}{n} \sum_{j=1}^n X_j(\omega),$$

não difira da média p por mais de 0,01, com probabilidade mínima de 0,95.

18. Suponha que X seja uma variável aleatória tal que $\mathbb{P}(X \geq 0) = 1$ e $\mathbb{P}(X \geq 10) = \frac{1}{5}$. Mostre que $\mathbb{E}X \geq 2$.

19. Se $X \geq 0$ q.c., prove que

$$\mathbb{P}(X = 0) \leq \frac{\mathbb{V}X}{\mathbb{E}X^2} \leq \frac{\mathbb{V}X}{(\mathbb{E}X)^2}.$$

20. Sejam X e Y variáveis aleatórias com $\mathbb{E}X = \mathbb{E}Y = 0$, $\mathbb{V}X = \mathbb{V}Y = 1$ e $\rho = \mathbf{Cov}(X, Y)$.

(a) Mostre que $\mathbb{E}[\max\{X^2, Y^2\}] \leq 1 + \sqrt{1 - \rho^2}$.

(b) (Tchebyshev bi-dimensional). Conclua que, para todo $\varepsilon > 0$,

$$\mathbb{P}(|X| \geq \varepsilon \text{ ou } |Y| \geq \varepsilon) \leq \frac{1 + \sqrt{1 - \rho^2}}{\varepsilon^2}.$$

21. Sejam X e Y variáveis aleatórias. Prove que $[F_{X,Y}(x, y)]^2 \leq F_X(x)F_Y(y)$ para todos $x, y \in \mathbb{R}$.

Capítulo 7

Convergência de Variáveis Aleatórias

Considere uma sequência de variáveis aleatórias X_1, X_2, X_3, \dots . Em inúmeras situações teóricas e práticas, uma pergunta natural é qual o comportamento de longo prazo da sequência $(X_n)_n$. Dito de outra forma: como se comporta X_n quando n é suficientemente grande?

Tratando-se de variáveis aleatórias, o conceito de convergência é uma generalização do conceito de convergência para números reais. Entretanto, existem várias formas de se fazer essa generalização, e cada forma é a mais natural em determinado contexto. No caso de variáveis aleatórias degeneradas, todas as definições serão equivalentes à convergência de números reais.

7.1 Modos de convergência

Sejam X e $(X_n)_{n \in \mathbb{N}}$ variáveis aleatórias definidas num mesmo espaço de probabilidade $(\Omega, \mathcal{F}, \mathbb{P})$.

Definição 7.1 (Convergência em probabilidade). Dizemos que X_n *converge*

em probabilidade para X , denotado por $X_n \xrightarrow{\mathbb{P}} X$, se para todo $\varepsilon > 0$

$$\mathbb{P}(\{\omega \in \Omega : |X_n(\omega) - X(\omega)| \geq \varepsilon\}) \rightarrow 0 \text{ quando } n \rightarrow \infty.$$

Exemplo 7.2. Sejam X_1, X_2, \dots variáveis aleatórias independentes, tais que $X_n \sim \text{Bernoulli}(\frac{1}{n})$. Temos para $\varepsilon < 1$ que

$$\mathbb{P}(|X_n - 0| \geq \varepsilon) = \mathbb{P}(X_n = 1) = \frac{1}{n} \rightarrow 0,$$

e portanto $X_n \xrightarrow{\mathbb{P}} 0$. \triangle

Exemplo 7.3. Sejam X_1, X_2, \dots variáveis aleatórias independentes, identicamente distribuídas com distribuição $\text{Exp}(1)$ e tome

$$Y_n = \frac{X_n}{\log n}.$$

Então

$$\mathbb{P}\left(\left|\frac{X_n}{\log n} - 0\right| \geq \varepsilon\right) = \mathbb{P}(X_n \geq \varepsilon \log n) = n^{-\varepsilon} \rightarrow 0,$$

para todo $\varepsilon > 0$, portanto $\frac{X_n}{\log n} \xrightarrow{\mathbb{P}} 0$. \triangle

Exemplo 7.4 (Onda dançante). Sejam $U \sim U(0, 1]$ e $(I_{n,k})_{n,k}$ a sequência de intervalos dada por $I_{n,k} = (\frac{k}{2^n}, \frac{k+1}{2^n}]$, $n \in \mathbb{N}$, $k = 0, \dots, 2^n - 1$. Definimos as variáveis aleatórias $X_{n,k} = \mathbb{1}_{I_{n,k}}(U)$, que assemelham-se a uma onda dançante (veja Figura 7.1). À medida que n cresce, os intervalos $I_{n,k}$ vão se tornando mais estreitos, de modo que dado qualquer $0 < \varepsilon < 1$,

$$\mathbb{P}(|X_{n,k}| \geq \varepsilon) = \mathbb{P}(U \in I_{n,k}) = 2^{-n} \rightarrow 0 \text{ quando } n \rightarrow \infty.$$

Podemos ordenar os pares da forma (n, k) sequencialmente da seguinte maneira. Para todo $j \in \mathbb{N}$, existe um único par $(n(j), k(j))$ tal que $j = 2^{n-1} + k$. Tomamos $Y_j = X_{n(j), k(j)}$. Assim, $Y_j \xrightarrow{\mathbb{P}} 0$ quando $j \rightarrow \infty$. \triangle

No exemplo acima, para todo $\omega \in \Omega$ fixado, $U(\omega) \in I_{n,k}$ para infinitos valores de índices (n, k) . Com efeito, para cada $n \in \mathbb{N}$ existirá um único valor de

$k \in \{0, \dots, 2^n - 1\}$ tal que $U(\omega) \in I_{n,k}$. Ou seja, $\{\omega \in \Omega : Y_j(\omega) \rightarrow 0\} = \emptyset$ apesar de que $Y_j \xrightarrow{\mathbb{P}} 0$. Isto é, a convergência em probabilidade tem suas debilidades, o que nos motiva a fazer a próxima definição.

Definição 7.5 (Convergência quase certa). Dizemos que X_n converge quase certamente para X , denotado por $X_n \xrightarrow{\text{q.c.}} X$, se

$$\mathbb{P}(\{\omega \in \Omega : X_n(\omega) \rightarrow X(\omega) \text{ quando } n \rightarrow \infty\}) = 1.$$

A convergência quase certa é uma convergência pontual num conjunto de probabilidade 1, ou seja, $X_n(\omega) \rightarrow X(\omega)$ para todo ω , exceto em um conjunto de probabilidade nula. Por outro lado, convergência em probabilidade não diz respeito à convergência pontual. Ela apenas afirma que, para valores grandes de n , as variáveis X_n e X são aproximadamente iguais com probabilidade muito alta, conforme ilustrado no Exemplo 7.4.

Exemplo 7.6. Sejam $U \sim \mathcal{U}[0, 1]$ e $(X_n)_n$ a sequência de variáveis aleatórias dada por $X_n = U + U^n$. Afirmamos que $X_n \xrightarrow{\text{q.c.}} U$. Com efeito,

$$\mathbb{P}(X_n \rightarrow U) = \mathbb{P}(U^n \rightarrow 0) = \mathbb{P}(U \in [0, 1)) = 1$$

e, portanto, $X_n \xrightarrow{\text{q.c.}} U$.

△

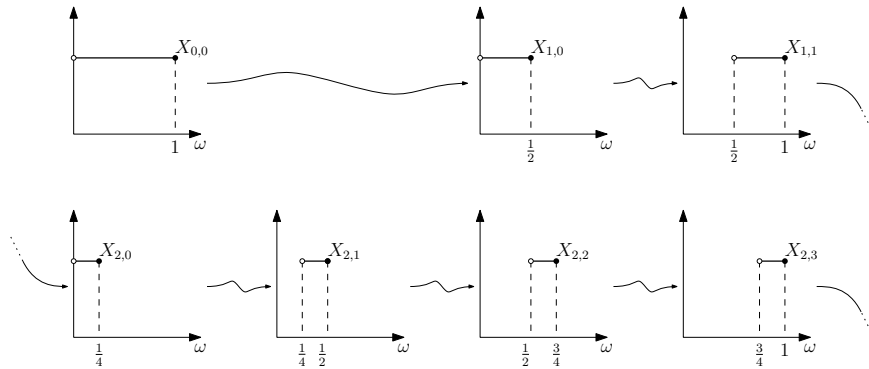


Figura 7.1. Primeiros elementos do contra-exemplo da “onda dançante”.

Definição 7.7 (Convergência em \mathcal{L}^p). Dado $p \geq 1$, dizemos que X_n converge para X em \mathcal{L}^p , que denotamos por $X_n \xrightarrow{\mathcal{L}^p} X$, se $\mathbb{E}|X_n|^p < \infty$ para todo n e

$$\lim_{n \rightarrow \infty} \mathbb{E}|X_n - X|^p = 0.$$

Exemplo 7.8 (Da volta à onda dançante). Seja $(X_{n,k})$ a onda dançante definida no Exemplo 7.4, definimos a “onda dançante crescente” $(\tilde{X}_{n,k})$, onde $\tilde{X}_{n,k} = 2^{n/2} X_{n,k}$, e definimos \tilde{Y}_j como a correspondente sequência, segundo o mesmo ordenamento feito no Exemplo 7.4. Podemos observar que no caso $p = 1$, vale

$$\mathbb{E}|\tilde{X}_{n,k}| = 2^{-n/2} \rightarrow 0 \text{ quando } n \rightarrow \infty,$$

logo $\tilde{Y}_j \xrightarrow{\mathcal{L}^1} 0$ quando $j \rightarrow \infty$. Por outro lado, no caso $p = 2$, vale

$$\mathbb{E}|\tilde{X}_{n,k}|^2 = 1 \not\rightarrow 0,$$

portanto \tilde{Y}_j não converge para 0 em \mathcal{L}^2 quando $j \rightarrow \infty$. \triangle

Proposição 7.9. Se $X_n \xrightarrow{\mathcal{L}^p} X$ para algum $p \geq 1$, então $\mathbb{E}X_n \rightarrow \mathbb{E}X$.

Demonstração. Pela Desigualdade de Lyapunov,

$$|\mathbb{E}X_n - \mathbb{E}X| \leq \mathbb{E}|X_n - X| \leq (\mathbb{E}|X_n - X|^p)^{\frac{1}{p}} \rightarrow 0. \quad \square$$

Definição 7.10 (Convergência em distribuição). Sejam $(X_n)_n$ e X variáveis aleatórias, $(F_{X_n})_{n \geq 1}$ e F_X suas respectivas funções de distribuição. Dizemos que $(X_n)_{n \geq 1}$ converge para X em distribuição, denotado por $X_n \xrightarrow{d} X$, se

$$\lim_{n \rightarrow \infty} F_{X_n}(x) = F_X(x),$$

para todo $x \in \mathbb{R}$ ponto de continuidade da função F_X .

Exemplo 7.11. Seja $(X_n)_n$ uma sequência de variáveis aleatórias com $X_n \sim$

$\text{Geom}(p_n)$, neste caso

$$F_{X_n}(x) = \begin{cases} 0, & \text{se } x < 0, \\ 1 - (1 - p_n)^{\lfloor x \rfloor}, & \text{se } x \geq 0 \end{cases}$$

Além disso, assumamos que $np_n \rightarrow \lambda > 0$, quando $n \rightarrow \infty$. Mostraremos que a sequência $(\frac{X_n}{n})_n$ converge em distribuição para uma distribuição exponencial de parâmetro λ . Para todos $x \in [0, \infty)$ e $n \geq 1$, nós podemos escrever

$$\begin{aligned} F_{\frac{X_n}{n}}(x) &= \mathbb{P}(X_n \leq nx) = \mathbb{P}(X_n \leq \lfloor nx \rfloor) = \\ &= 1 - (1 - p_n)^{\lfloor nx \rfloor} = 1 - \left(1 - \frac{np_n}{n}\right)^{\lfloor nx \rfloor} \left(1 - \frac{np_n}{n}\right)^{\lfloor nx \rfloor - nx}. \end{aligned}$$

Agora, observando que

$$\left(1 - \frac{np_n}{n}\right)^{nx} \rightarrow e^{-\lambda x} \quad \text{e} \quad \left(1 - \frac{np_n}{n}\right)^{\lfloor nx \rfloor - nx} \rightarrow 1,$$

obtemos que $F_{\frac{X_n}{n}}(x) \rightarrow 1 - e^{-\lambda x}$ quando $n \rightarrow \infty$ para todo $x \in \mathbb{R}$. Como já sabemos, o limite acima é a função de distribuição de uma variável exponencial de parâmetro λ . \triangle

Exemplo 7.12. Seja $X_n = \frac{1}{n}$ para $n \geq 1$ e $X = 0$. Então $X_n \xrightarrow{d} X$, embora $\lim_{n \rightarrow \infty} F_n(0) = 0 \neq 1 = F(0)$. Mas como 0 não é ponto de continuidade de F , isto não é problema. \triangle

No exemplo acima, temos variáveis aleatórias degeneradas que assumem os valores $\frac{1}{n}$ e 0. Qualquer critério de convergência minimamente razoável deveria incluir esse caso. Por isso, não poderíamos pedir que $F_{X_n}(x) \rightarrow F_X(x)$ nos pontos de descontinuidade de F_X .

Gostaríamos de ressaltar que, na convergência em distribuição, não é necessário que as variáveis aleatórias $(X_n)_n$ e X estejam definidas no mesmo espaço de probabilidade, pois essa noção de convergência leva em conta apenas as suas respectivas funções de distribuição.

Finalizamos esta seção com um critério para a convergência em distribuição

de variáveis aleatórias assumindo valores em \mathbb{N}_0 .

Proposição 7.13. *Sejam $(X_n)_n$ e X variáveis aleatórias tomando valores em \mathbb{N}_0 . Então $X_n \xrightarrow{d} X$ se, e somente se, $p_{X_n}(k) \rightarrow p_X(k)$ para todo $k \in \mathbb{N}_0$.*

Demonstração. Observemos que $F_{X_n}(x) = \sum_{k=0}^{\lfloor x \rfloor} p_{X_n}(k)$ e $F_X(x) = \sum_{k=0}^{\lfloor x \rfloor} p_X(k)$ para todo $x \in \mathbb{R}$. Supondo que $p_{X_n}(k) \rightarrow p_X(k)$ para todo $k \in \mathbb{N}_0$, isso nos dá $F_n(x) \rightarrow F(x)$ para todo $x \in \mathbb{R}$ e, portanto, $X_n \xrightarrow{d} X$.

Reciprocamente, suponha que $X_n \xrightarrow{d} X$ e seja $k \in \mathbb{N}_0$. Como $k \pm \frac{1}{2}$ são pontos de continuidade de F_X ,

$$p_{X_n}(k) = F_{X_n}(k + \tfrac{1}{2}) - F_{X_n}(k - \tfrac{1}{2}) \rightarrow F_X(k + \tfrac{1}{2}) - F_X(k - \tfrac{1}{2}) = p_X(k)$$

quando $n \rightarrow \infty$, concluindo a prova. \square

Exemplo 7.14. Sejam $(X_n)_n$ e X variáveis aleatórias com $X \sim \text{Poisson}(\lambda)$ e $X_n \sim \text{Binom}(n, \frac{\lambda}{n})$. Conforme vimos na Seção 3.2, $p_{X_n}(k) \rightarrow p_X(k)$ para todo $k \in \mathbb{N}_0$. Logo, pela Proposição 7.13, $X_n \xrightarrow{d} X$. \triangle

7.2 Lema de Borel-Cantelli

Para estudarmos a convergência de variáveis aleatórias, na “maioria” ou em “quase todos” os pontos $\omega \in \Omega$, precisaremos definir certos eventos que nos permitirão representar a convergência $X_n \rightarrow X$ de modo mais tratável.

Definição 7.15 (Limite superior de uma sequência de conjuntos). Seja $(A_n)_n$ uma sequência de subconjuntos de Ω . Definimos o evento $\limsup_{n \rightarrow \infty} A_n$, também denotado por A_n *infinitas vezes*, ou simplesmente A_n *i.v.* como

$$\limsup_{n \rightarrow \infty} A_n = \bigcap_{n=1}^{\infty} \bigcup_{k=n}^{\infty} A_k.$$

Em palavras, o evento definido acima é o conjunto de todos ω tais que, para

todo $n \in \mathbb{N}$ existe $k \geq n$ para o qual $\omega \in A_k$, isto é, $\omega \in A_n$ para infinitos eventos da sequência $(A_n)_n$, daí a nomenclatura A_n infinitas vezes.

Vejam os como a noção de uma sequência de eventos ocorrer infinitas vezes se relaciona com a convergência de variáveis aleatórias. Relembremos que uma sequência de números reais $(x_n)_n$ converge para o número real x se, para todo $\varepsilon > 0$, temos que $|x_n - x| < \varepsilon$ para todo n suficientemente grande, ou de modo equivalente $|x_n - x| < \varepsilon$ para todo n , exceto para uma quantidade finita de valores de n . Portanto, $x_n \not\rightarrow x$ se, e somente se, existe $\varepsilon > 0$ tal que $|x_n - x| \geq \varepsilon$ para infinitos valores do índice n .

Proposição 7.16. *Seja $(X_n)_n$ uma sequência de variáveis aleatórias. Então $X_n \xrightarrow{\text{q.c.}} X$ se, e somente se, para todo $\varepsilon > 0$,*

$$\mathbb{P}(|X_n - X| \geq \varepsilon \text{ infinitas vezes}) = 0.$$

Demonstração. Observemos inicialmente a seguinte igualdade de eventos

$$\{X_n \not\rightarrow X\} = \{\exists k \in \mathbb{N}, |X_n - X| \geq \frac{1}{k} \text{ i.v.}\} = \cup_{k \in \mathbb{N}} \{|X_n - X| \geq \frac{1}{k} \text{ i.v.}\}.$$

Portanto, dada a definição de convergência quase certa, dizer que $X_n \xrightarrow{\text{q.c.}} X$ é equivalente a afirmar que $\mathbb{P}(\cup_{k \in \mathbb{N}} \{|X_n - X| \geq \frac{1}{k} \text{ i.v.}\}) = 0$, o que por sua vez é equivalente a dizer que $\mathbb{P}(|X_n - X| \geq \frac{1}{k} \text{ i.v.}) = 0$ para todo $k \in \mathbb{N}$.

Dado qualquer $\varepsilon > 0$, sempre existe $k \in \mathbb{N}$ tal que $\varepsilon \geq \frac{1}{k}$. Sendo assim, as afirmações $\mathbb{P}(|X_n - X| \geq \frac{1}{k} \text{ i.v.}) = 0$ para todo $k \in \mathbb{N}$ e $\mathbb{P}(|X_n - X| \geq \varepsilon \text{ i.v.}) = 0$ para todo $\varepsilon > 0$ são equivalentes, o que completa esta demonstração. \square

Uma pergunta que surge naturalmente a partir da proposição acima é: como estimar a probabilidade de uma sequência de eventos ocorrer infinitas vezes? O Lema de Borel-Cantelli, que enunciaremos a seguir, fornece respostas precisas para esta pergunta.

Teorema 7.17 (Lema de Borel-Cantelli). *Sejam $(\Omega, \mathcal{F}, \mathbb{P})$ um espaço de probabilidade e $(A_n)_n$ uma sequência de eventos.*

- (a) Se $\sum_{n=1}^{\infty} \mathbb{P}(A_n) < \infty$, então $\mathbb{P}(A_n \text{ i.v.}) = 0$.
 (b) Se $\sum_{n=1}^{\infty} \mathbb{P}(A_n) = +\infty$ e os eventos $(A_n)_n$ são independentes, então $\mathbb{P}(A_n \text{ i.v.}) = 1$.

Demonstração. Para a primeira parte, observe inicialmente que $(\cup_{k=n}^{\infty} A_k) \downarrow \{A_n \text{ i.v.}\}$. Portanto,

$$\begin{aligned} \mathbb{P}(\{A_n \text{ i.v.}\}) &= \mathbb{P}\left(\bigcap_{n=1}^{\infty} \bigcup_{k=n}^{\infty} A_k\right) \\ &= \lim_{n \rightarrow \infty} \mathbb{P}\left(\bigcup_{k=n}^{\infty} A_k\right) \\ &\leq \lim_{n \rightarrow \infty} \sum_{k=n}^{\infty} \mathbb{P}(A_k) = 0. \end{aligned}$$

O último limite é zero devido à convergência da série $\sum_{n=1}^{\infty} \mathbb{P}(A_n)$.

Para a segunda parte, consideremos o evento $\{A_n \text{ i.v.}\}^c$. Pela Lei de De Morgan,

$$\{A_n \text{ i.v.}\}^c = \left(\bigcap_{n=1}^{\infty} \bigcup_{k=n}^{\infty} A_k\right)^c = \bigcup_{n=1}^{\infty} \bigcap_{k=n}^{\infty} A_k^c.$$

Observe inicialmente que $(\cap_{k=n}^{\infty} A_k^c) \uparrow \mathbb{P}(\{A_n \text{ i.v.}\}^c)$, logo

$$\begin{aligned} \mathbb{P}(\{A_n \text{ i.v.}\}^c) &= \mathbb{P}\left(\bigcup_{n=1}^{\infty} \bigcap_{k=n}^{\infty} A_k^c\right) = \lim_{n \rightarrow \infty} \mathbb{P}\left(\bigcap_{k=n}^{\infty} A_k^c\right) \\ &= \lim_{n \rightarrow \infty} \lim_{m \rightarrow \infty} \mathbb{P}\left(\bigcap_{k=n}^m A_k^c\right) = \lim_{n \rightarrow \infty} \lim_{m \rightarrow \infty} \prod_{k=n}^m (1 - \mathbb{P}(A_k)) \\ &\leq \lim_{n \rightarrow \infty} \lim_{m \rightarrow \infty} \prod_{k=n}^m e^{-\mathbb{P}(A_k)} = \lim_{n \rightarrow \infty} \lim_{m \rightarrow \infty} e^{-\sum_{k=n}^m \mathbb{P}(A_k)} = 0, \end{aligned}$$

onde a quarta igualdade é devida à independência de $(A_n)_n$, e por conseguinte de $(A_n^c)_n$, a cota superior segue da desigualdade $1 - x \leq e^{-x}$ para todo $x \in \mathbb{R}$ e a igualdade final segue da hipótese $\sum_{n=1}^{\infty} \mathbb{P}(A_n) = +\infty$. \square

Corolário 7.18 (Lei 0-1 de Borel). *Se $(A_n)_n$ é uma sequência de eventos independentes, então $\mathbb{P}(\{A_n \text{ i.v.}\}) = 0$ ou 1 .*

Observação 7.19. A hipótese de independência é crucial na segunda parte do Lema de Borel-Cantelli. Com efeito, seja A um evento qualquer com $\mathbb{P}(A) \in (0, 1)$ e defina $A_n = A$ para cada $n \in \mathbb{N}$. Neste caso, $\sum_{n=1}^{\infty} \mathbb{P}(A_n) = +\infty$ e $\mathbb{P}(A_n \text{ i.v.}) = \mathbb{P}(A) < 1$. \triangle

Exemplo 7.20. Renato começa com um baralho comum (52 cartas), ele retira de modo equiprovável uma carta do baralho, observa sua face, repõe a carta retirada e acrescenta mais outra carta com um coringa na face. Tal procedimento é repetido indefinidamente: embaralham-se as cartas, uma carta é retirada, sua face é observada, esta retorna ao baralho juntamente com um coringa. De modo que o baralho passa a ter uma carta a mais a cada rodada. Sejam $(A_n)_{n \geq 1}$ e $(B_n)_{n \geq 2}$, sequências de eventos definidos como

$$A_n = \{\text{Renato tira o } 4\clubsuit \text{ na } n\text{-ésima rodada}\} \text{ e } B_n = A_n \cap A_{n-1};$$

observe que $\mathbb{P}(A_n) = \frac{1}{51+n}$ e $\mathbb{P}(B_n) = \frac{1}{(50+n)(51+n)}$. Pelo Lema de Borel-Cantelli,

$$\mathbb{P}(A_n \text{ i.v.}) = 1 \quad \text{e} \quad \mathbb{P}(B_n \text{ i.v.}) = 0$$

Isto é, apesar de Renato retirar o $4\clubsuit$ infinitas vezes com probabilidade um, ele irá retirá-lo duas vezes consecutivas no máximo finitas vezes com probabilidade um. Observe que foi necessário que os eventos $(A_n)_n$ fossem independentes, embora os eventos $(B_n)_n$ não possuam tal propriedade. \triangle

O uso mais frequente que faremos do Lema de Borel-Cantelli será para obter a convergência quase certa. Se conseguirmos mostrar que

$$\sum_{n=1}^{\infty} \mathbb{P}(|X_n - X| \geq \varepsilon) < \infty$$

para todo $\varepsilon > 0$, podemos concluir, pela Proposição 7.16, que $X_n \xrightarrow{\text{q.c.}} X$.

Exemplo 7.21. Sejam $(\Omega, \mathcal{F}, \mathbb{P})$ um espaço de probabilidade e $(X_n)_n$ uma

sequência de variáveis aleatórias i.i.d, com distribuição uniforme em $[0, 1]$. Defina a sequência de variáveis aleatórias $(Y_n)_n$ como

$$Y_n = \min\{X_1, \dots, X_n\}, \quad n \geq 1.$$

Mostraremos que $Y_n \xrightarrow{\text{q.c.}} 0$. Para todos $n \in \mathbb{N}$ e $\varepsilon \in (0, 1)$ temos

$$\begin{aligned} \mathbb{P}(|Y_n| > \varepsilon) &= \mathbb{P}(X_1 > \varepsilon, \dots, X_n > \varepsilon) \\ &= \prod_{k=1}^n \mathbb{P}(X_k > \varepsilon) \\ &= \mathbb{P}(X_1 > \varepsilon)^n \\ &= (1 - \varepsilon)^n, \end{aligned}$$

onde as quatro igualdades acima seguem da definição de Y_n e do fato de que as $(X_n)_n$ são independentes e identicamente distribuídas com distribuição $\mathcal{U}[0, 1]$. Somando as probabilidades,

$$\sum_{n=1}^{\infty} \mathbb{P}(|Y_n| \geq \varepsilon) = \sum_{n=1}^{\infty} (1 - \varepsilon)^n < \infty.$$

Logo, para cada $\varepsilon \in (0, 1)$, segue do Lema de Borel-Cantelli que

$$\mathbb{P}(\{|Y_n| > \varepsilon \text{ i.v.}\}) = 0,$$

e consequentemente $Y_n \xrightarrow{\text{q.c.}} 0$ devido à Proposição 7.16. \triangle

Exemplo 7.22. Sejam $(a_n)_n$ e $(p_n)_n$ sequências tais que $a_n \uparrow \infty$, $p_n \downarrow 0$ e $\sum_n p_n = \infty$, e seja $(X_n)_n$ uma sequência de variáveis aleatórias independentes, distribuídas como

$$\mathbb{P}(X_n = a_n) = p_n \quad \text{e} \quad \mathbb{P}(X_n = 0) = 1 - p_n, \quad n \geq 1.$$

Pelo Lema de Borel-Cantelli, $\mathbb{P}(X_n \rightarrow 0) = 0$, o que contrasta com o fato de que $X_n \xrightarrow{\mathbb{P}} 0$ quando $n \rightarrow \infty$. \triangle

Como já vimos anteriormente, devemos ser sempre cautelosos ao utilizar a segunda parte do Lema de Borel-Cantelli. A hipótese de independência deve sempre ser verificada, conforme ilustrado no próximo exemplo.

Exemplo 7.23. Sejam U e $(X_n)_n$ variáveis aleatórias definidas como $U \sim \mathcal{U}[0, 1]$ e $X_n = \mathbf{1}_{\{U \leq \frac{1}{n}\}}$ para $n \geq 1$. Observe que $X_n \xrightarrow{\text{q.c.}} 0$, pois $\mathbb{P}(X_n \rightarrow 0) = \mathbb{P}(U \in (0, 1]) = 1$. Entretanto, como $\mathbb{P}(X_n = 1) = \frac{1}{n}$ e $\sum_{n=1}^{\infty} \frac{1}{n}$ diverge, poderíamos ser tentados a utilizar a segunda parte do Lema de Borel-Cantelli como no exemplo anterior e concluir que $\mathbb{P}(X_n \rightarrow 0) = 0$, o que obviamente não é verdadeiro. Defina os eventos $A_n = \{X_n = 1\}$ para todo n . Observe que os eventos $(A_n)_n$ não são independentes, logo não podemos utilizar a segunda parte do Lema de Borel-Cantelli. \triangle

Pela segunda parte do Lema de Borel-Cantelli, quando os eventos $(A_n)_n$ são independentes, $\mathbb{P}(A_n \text{ i.v.}) = 0$ implica $\sum_n \mathbb{P}(A_n) < \infty$. Na ausência de independência isso pode ser falso, mas ainda vale que $\mathbb{P}(A_n) \rightarrow 0$.

Proposição 7.24. Se $\mathbb{P}(A_n \text{ i.v.}) = 0$ então $\mathbb{P}(A_n) \rightarrow 0$ quando $n \rightarrow \infty$.

Demonstração. Tome $B_n = \cup_{k \geq n} A_k$. Assim, $B_n \downarrow \{A_n \text{ i.v.}\}$ quando $n \rightarrow \infty$. Como $B_n \supseteq A_n$, vale que $\mathbb{P}(A_n) \leq \mathbb{P}(B_n) \rightarrow \mathbb{P}(A_n \text{ i.v.}) = 0$. \square

7.3 Relações entre os modos de convergência

Veremos nesta seção que alguns dos modos de convergência, definidos na Seção 7.1, são mais fortes que outros. Mostraremos todas as implicações possíveis e ilustraremos com exemplos quando um determinado modo de convergência não implica algum outro.

Proposição 7.25 (q.c. \Rightarrow \mathbb{P}). Se $X_n \xrightarrow{\text{q.c.}} X$, então $X_n \xrightarrow{\mathbb{P}} X$.

Demonstração. Para qualquer $\varepsilon > 0$, pela Proposição 7.16,

$$\mathbb{P}(|X_n - X| \geq \varepsilon \text{ i.v.}) = 0.$$

Pela Proposição 7.24 segue que $\mathbb{P}(|X_n - X| \geq \varepsilon) \rightarrow 0$, ou seja, $X_n \xrightarrow{\mathbb{P}} X$. \square

Contra-exemplo 7.26 ($\mathcal{L}^p \not\Rightarrow$ q.c.). No Exemplo 7.3,

$$\mathbb{P}\left(\frac{X_n}{\log n} \geq \varepsilon \text{ infinitas vezes}\right) = 1$$

para $0 < \varepsilon < 1$. Portanto não vale que $\frac{X_n}{\log n} \xrightarrow{\text{q.c.}} 0$. \triangle

Proposição 7.27 ($\mathcal{L}^p \Rightarrow \mathbb{P}$). Se $X_n \xrightarrow{\mathcal{L}^p} X$ para algum $p \geq 1$, então $X_n \xrightarrow{\mathbb{P}} X$.

Demonstração. Pela desigualdade de Markov,

$$\mathbb{P}(|X_n - X| \geq \varepsilon) \leq \frac{\mathbb{E}|X_n - X|^p}{\varepsilon^p} \rightarrow 0. \quad \square$$

Proposição 7.28 ($\mathcal{L}^q \Rightarrow \mathcal{L}^p$). Se $q \geq p \geq 1$ e $X_n \xrightarrow{\mathcal{L}^q} X$, então $X_n \xrightarrow{\mathcal{L}^p} X$.

Demonstração. Pela Desigualdade de Lyapunov,

$$\left(\mathbb{E}|X_n - X|^p\right)^{\frac{1}{p}} \leq \left(\mathbb{E}|X_n - X|^q\right)^{\frac{1}{q}} \rightarrow 0$$

e $\mathbb{E}|X_n|^p \leq (\mathbb{E}|X_n|^q)^{p/q} < \infty$. \square

Contra-exemplo 7.29 (q.c. $\not\Rightarrow \mathcal{L}^p$). Suponha que $\mathbb{P}(X_n = n^3) = \frac{1}{n^2} = 1 - \mathbb{P}(X_n = 0)$. Então para $\varepsilon > 0$ temos $\mathbb{P}(X_n \geq \varepsilon) \leq \frac{1}{n^2}$, portanto $X_n \xrightarrow{\text{q.c.}} 0$. Entretanto, $\mathbb{E}X_n = n$, logo não podemos ter $X_n \xrightarrow{\mathcal{L}^1} 0$, e pela proposição acima não podemos ter convergência em \mathcal{L}^p para nenhum $p \geq 1$. \triangle

Contra-exemplo 7.30 ($\mathcal{L}^p \not\Rightarrow$ q.c.). No Exemplo 7.2,

$$\mathbb{E}|X_n - 0|^p = \mathbb{E}X_n^p = \mathbb{P}(X_n = 1) = \frac{1}{n} \rightarrow 0,$$

portanto $X_n \xrightarrow{\mathcal{L}^p} 0$ para todo p . No entanto,

$$\mathbb{P}(X_n = 1 \text{ infinitas vezes}) = 1$$

pelo Lema de Borel-Cantelli. Portanto, não vale $X_n \xrightarrow{\text{q.c.}} 0$. \triangle

Exemplo 7.31 (q.c. $\not\Rightarrow \mathcal{L}^1$). Sejam $U \sim \mathcal{U}[0, 1]$ e $X_n = n\mathbb{1}_{\{U \leq \frac{1}{n}\}}$. Então $X_n \rightarrow 0$ q.c., embora X_n não convirja a 0 em \mathcal{L}^p , pois $\mathbb{E}|X_n| = 1$. \triangle

Os Exemplos 7.8 e 7.31 ilustram que convergência q.c. não implica convergência em \mathcal{L}^p e nem convergência em \mathcal{L}^p implica convergência q.c. Observando as Proposições 7.25 e 7.27, convergência em probabilidade não implica convergência q.c. ou \mathcal{L}^p .

Proposição 7.32 (Convergência por subsequências). *Se $X_n \xrightarrow{\mathbb{P}} X$ então existe uma subsequência $n_k \rightarrow \infty$ tal que $X_{n_k} \xrightarrow{\text{q.c.}} X$.*

Demonstração. Como $\mathbb{P}(|X_n - X| \geq \varepsilon) \rightarrow 0$ para todo $\varepsilon > 0$, podemos tomar $n_1 > 0$ tal que $\mathbb{P}(|X_{n_1} - X| \geq 1) < \frac{1}{2}$. Novamente, podemos tomar $n_2 > n_1$ tal que $\mathbb{P}(|X_{n_2} - X| \geq \frac{1}{2}) < \frac{1}{4}$. Sucessivamente, podemos tomar $n_k > n_{k-1}$ tal que $\mathbb{P}(|X_{n_k} - X| \geq \frac{1}{k}) < \frac{1}{2^k}$.

Vamos ver que essa sequência n_k satisfaz $X_{n_k} \xrightarrow{\text{q.c.}} X$. Seja $\varepsilon > 0$. Temos que $\mathbb{P}(|X_{n_k} - X| \geq \varepsilon) \leq \mathbb{P}(|X_{n_k} - X| \geq \frac{1}{k})$ para todo $k \geq \varepsilon^{-1}$. Por outro lado, $\sum_k \mathbb{P}(|X_{n_k} - X| \geq \frac{1}{k}) < \infty$, logo $\sum_k \mathbb{P}(|X_{n_k} - X| \geq \varepsilon) < \infty$. Pelo Lema de Borel-Cantelli, $X_{n_k} - X \xrightarrow{\text{q.c.}} 0$, ou seja, $X_{n_k} \xrightarrow{\text{q.c.}} X$. \square

Teorema 7.33 (Teorema da Convergência Dominada em \mathcal{L}^p). *Seja $p \geq 1$. Se $X_n \xrightarrow{\mathbb{P}} X$ e existe Y tal que $\mathbb{E}Y^p < \infty$ e $|X_n| \leq Y$ q.c. para todo n , então $X_n \xrightarrow{\mathcal{L}^p} X$.*

Demonstração. Suponha inicialmente que $X_n \rightarrow X$ quase certamente. Então $|X| \leq Y$ q.c. e $|X_n - X|^p \leq (|X_n| + |X|)^p \leq (2Y)^p$, que é integrável. Por outro lado, como $|X_n - X|^p \xrightarrow{\text{q.c.}} 0$, pelo Teorema da Convergência Dominada, $\mathbb{E}|X_n - X|^p \rightarrow 0$.

Finalmente, suponhamos que $X_n \rightarrow X$ em probabilidade. Queremos mostrar que a sequência numérica $(\mathbb{E}|X_n - X|^p)_n$ converge para zero. Isto é equivalente a dizer que qualquer subsequência tem uma subsubsequência

que converge a zero (Teorema A.11). Seja $(X_{n_k})_k$ uma subsequência de $(X_n)_n$. Como $\lim_n X_n = X$ em probabilidade, segue que $\lim_k X_{n_k} = X$ em probabilidade, e podemos tomar $X_{n_{k_j}}$ tal que $\lim_j X_{n_{k_j}} = X$ q.c. Aplicando o caso anterior, obtemos $\lim_j \mathbb{E}|X_{n_{k_j}} - X|^p = 0$, concluindo a prova. \square

Proposição 7.34 ($\mathbb{P} \Rightarrow d$). Se $X_n \xrightarrow{\mathbb{P}} X$ então $X_n \xrightarrow{d} X$.

Demonstração. Seja $x \in \mathbb{R}$ ponto de continuidade de F_X . Temos que mostrar que $F_{X_n}(x) \rightarrow F_X(x)$ quando $n \rightarrow \infty$. Seja $\varepsilon > 0$. Tome $\delta > 0$ tal que

$$F_X(x) - \varepsilon < F_X(x - \delta) \leq F_X(x) \leq F_X(x + \delta) < F_X(x) + \varepsilon.$$

Como $\{X_n \leq x\} \subseteq \{|X_n - X| \geq \delta\} \cup \{X \leq x + \delta\}$ e $X_n \xrightarrow{\mathbb{P}} X$, temos, para todo n suficientemente grande,

$$F_{X_n}(x) \leq F_X(x + \delta) + \varepsilon < F_X(x) + 2\varepsilon.$$

Da mesma forma, como $\{X \leq x - \delta\} \subseteq \{|X_n - X| \geq \delta\} \cup \{X_n \leq x\}$ e $X_n \xrightarrow{\mathbb{P}} X$, temos, para todo n suficientemente grande,

$$F_{X_n}(x) \geq F_X(x - \delta) - \varepsilon > F_X(x) - 2\varepsilon.$$

Portanto, $F_{X_n}(x) \rightarrow F_X(x)$, como queríamos demonstrar. \square

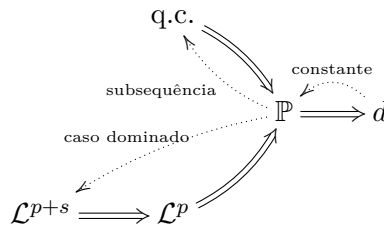


Figura 7.2. Diagrama de implicações entre os tipos de convergência.

A convergência em probabilidade implica a convergência em distribuição, mas a recíproca é falsa. De fato a recíproca nem faz muito sentido já que convergência em distribuição não necessita que as variáveis estejam definidas no mesmo espaço de probabilidade.

Exemplo 7.35 ($d \not\Rightarrow \mathbb{P}$). Sejam $X, (X_n)_n$ variáveis aleatórias i.i.d. com distribuição normal padrão, todas definidas em um mesmo espaço de probabilidade. Observe que $X_n \xrightarrow{d} X$ quando $n \rightarrow \infty$ trivialmente. Por outro lado, como $X_n - X \sim \mathcal{N}(0, 2)$ para todo $n \in \mathbb{N}$,

$$\mathbb{P}(|X_n - X| \geq \varepsilon) = \mathbb{P}(|\mathcal{N}(0, 2)| \geq \varepsilon) > 0, \text{ para todo } \varepsilon > 0.$$

Logo, $(X_n)_n$ não converge em probabilidade para X . \triangle

Conforme vimos nos exemplos acima, em geral convergência quase certa não implica convergência em \mathcal{L}^p , e vice-versa, mas pode valer sob condições particulares. O mesmo vale para a relação entre convergência em distribuição e em probabilidade.

Proposição 7.36. *Seja $(X_n)_n$ uma sequência de variáveis aleatórias definidas no mesmo espaço de probabilidade. Se $X_n \xrightarrow{d} c$ para $c \in \mathbb{R}$ constante, então $X_n \xrightarrow{\mathbb{P}} c$.*

Demonstração. Convergência em distribuição a uma variável constante quer dizer que $\lim_n F_{X_n}(t) = 0$ se $t < c$ e $\lim_n F_{X_n}(t) \rightarrow 1$ se $t > c$. Seja $\varepsilon > 0$. Veja que

$$\begin{aligned} \mathbb{P}(|X_n - c| \geq \varepsilon) &\leq \mathbb{P}(X_n \leq c - \varepsilon) + \mathbb{P}(X_n > c + \frac{\varepsilon}{2}) = \\ &= F_{X_n}(c - \varepsilon) + 1 - F_{X_n}(c + \frac{\varepsilon}{2}) \rightarrow 0 \text{ quando } n \rightarrow \infty. \end{aligned}$$

Como isso vale para todo $\varepsilon > 0$, isso conclui a demonstração. \square

Completamos assim o diagrama de implicações da Figura 7.2.

7.4 Mais sobre a convergência em distribuição

Nesta seção faremos um estudo mais profundo da convergência em distribuição. Os teoremas aqui contidos são de natureza mais técnica e serão usados nas Seções 9.3, 9.4 e 10.3.

O lema abaixo nos fornece uma informação interessante sobre o conjunto dos pontos de descontinuidade de funções monótonas, em particular vale para funções de distribuição.

Lema 7.37. *O conjunto dos pontos de descontinuidade de qualquer função monótona $f : I \rightarrow \mathbb{R}$, onde I é um intervalo não-degenerado da reta, é enumerável. Em particular, qualquer intervalo não-degenerado $J \subseteq I$ contém pontos onde f é contínua.*

Demonstração. Tome uma sequência de intervalos fechados $([a_k, b_k])_k$, tais que $[a_k, b_k] \uparrow I$ quando $k \rightarrow \infty$. Suponhamos que f seja não-decrescente; o caso não-crescente é totalmente análogo. Defina $D = \{x \in \mathbb{R} : f(x+) - f(x-) > 0\}$, o conjunto dos pontos de descontinuidade de f , e $D_{n,k} = \{x \in [a_k, b_k] : f(x+) - f(x-) > \frac{1}{n}\}$ para todo n . Temos que $\#D_{n,k} \leq \frac{f(b_k) - f(a_k)}{\frac{1}{n}}$, logo é finito. Como $D = \bigcup_{n=1}^{\infty} \bigcup_{k=1}^{\infty} D_{n,k}$, segue que D é enumerável, pois é união enumerável de conjuntos enumeráveis. Por outro lado, pelo Corolário A.16, intervalos não-degenerados não são enumeráveis, portanto eles devem conter pontos de continuidade de f . \square

Proposição 7.38 (Unicidade do limite em distribuição). *O limite em distribuição é único, isto é, se $X_n \xrightarrow{d} X$ e $X_n \xrightarrow{d} Y$ então $X \sim Y$.*

Demonstração. Sejam F_X e F_Y as funções de distribuição de X e Y , D_X e D_Y seus respectivos pontos de descontinuidade. Por hipótese, $F_{X_n}(z) \rightarrow F_X(z)$ e $F_{X_n}(z) \rightarrow F_Y(z)$ para todo $z \in (D_X \cup D_Y)^c$, logo $F_X(z) = F_Y(z)$, $\forall z \in (D_X \cup D_Y)^c$. Pelo Lema 7.37, $D_X \cup D_Y$ é enumerável, logo para todo $t \in D_X \cup D_Y$, existem $z_1, \dots, z_n, \dots \in (D_X \cup D_Y)^c$ tais que $z_n \downarrow t$. Como

F_X e F_Y são contínuas à direita,

$$F_X(t) = \lim_{n \rightarrow +\infty} F_X(z_n) = \lim_{n \rightarrow +\infty} F_Y(z_n) = F_Y(t).$$

Portanto $F_X(z) = F_Y(z)$, $\forall z \in \mathbb{R}$. □

Conforme vimos na seção anterior, a convergência em distribuição é a mais fraca de todas, enquanto a convergência quase certa é uma das mais fortes. Sendo assim, o próximo teorema é um tanto surpreendente, pois nos garante que quando há a convergência em distribuição de uma sequência de variáveis aleatórias para uma outra variável limite, existem cópias com as mesmas distribuições da sequência original e da variável limite para as quais a convergência é quase certa.

Teorema 7.39 (Acoplamento de Skorohod). *Se $X_n \xrightarrow{d} X$, então existe um espaço de probabilidade $(\Omega', \mathcal{F}', \mathbb{P}')$ onde estão definidas variáveis aleatórias Y e $(Y_n)_n$ tais que $Y_n \sim X_n$ para todo n , $Y \sim X$, e $Y_n \xrightarrow{q.c.} Y$.*

Demonstração. Usaremos a função quantil F^{-1} definida na Seção 3.1.3, que permite construir uma variável aleatória Y com a distribuição desejada F a partir de uma uniforme U , tomando-se $Y = F^{-1}(U)$. Para construir as variáveis aleatórias como no enunciado do teorema, usaremos uma mesma variável aleatória U para todas as F_{X_n} . Isto é, tomamos $Y = F_X^{-1}(U)$ e $Y_n = F_{X_n}^{-1}(U)$. Vamos mostrar que $F_{X_n}^{-1}(u) \rightarrow F_X^{-1}(u)$ para todo $u \in (0, 1)$ ponto de continuidade de F_X^{-1} . Pelo Lema 7.37, os pontos de descontinuidade de F_X^{-1} são enumeráveis, logo $F_{X_n}^{-1}(U) \xrightarrow{q.c.} F_X^{-1}(U)$, concluindo a prova.

Seja u ponto de continuidade de F_X^{-1} , e seja $\varepsilon > 0$. Defina $x = F_X^{-1}(u)$. Por continuidade, existem v e w tais que $0 < v < u < w < 1$ e $x - \varepsilon < F_X^{-1}(v) \leq x \leq F_X^{-1}(w) < x + \varepsilon$. Pelo Lema 7.37, existem y e z pontos de continuidade de F_X tais que $x - \varepsilon < y < F_X^{-1}(v) \leq x \leq F_X^{-1}(w) < z < x + \varepsilon$. Observe que $F_X(y) < v < u < w \leq F_X(z)$, onde na primeira e última desigualdades utilizamos (3.14). Como $F_{X_n}(y) \rightarrow F_X(y) < u$ e $F_{X_n}(z) \rightarrow F_X(z) > u$, segue que $F_{X_n}(y) < u < F_{X_n}(z)$ para todo n suficientemente grande. Por (3.14),

esta última desigualdade implica que $x - \varepsilon < y < F_{X_n}^{-1}(u) \leq z < x + \varepsilon$. Portanto, $F_{X_n}^{-1}(u) \rightarrow F_X^{-1}(u)$, que é o que queríamos mostrar. \square

Com o acoplamento de Skorohod, estamos aptos a provar de modo simples um critério para convergência em distribuição. Esse critério será usado na demonstração do Teorema do Limite Central que veremos no Capítulo 9.

Teorema 7.40 (Teorema de Helly-Bray). *Sejam $(X_n)_n$ e X variáveis aleatórias definidas em um mesmo espaço de probabilidade. São equivalentes:*

- (i) $X_n \xrightarrow{d} X$
- (ii) $\mathbb{E}[f(X_n)] \rightarrow \mathbb{E}[f(X)]$ para toda função $f : \mathbb{R} \rightarrow \mathbb{R}$ contínua e limitada.
- (iii) $\mathbb{E}[f(X_n)] \rightarrow \mathbb{E}[f(X)]$ para toda função $f : \mathbb{R} \rightarrow \mathbb{R}$ tal que f, f', f'', f''' são contínuas e limitadas.

Demonstração. Começamos por (i) \Rightarrow (ii). Suponha (i) e seja $f : \mathbb{R} \rightarrow \mathbb{R}$ contínua e limitada. Pelo acoplamento de Skorohod, existem $Y \sim X$ e $(Y_n)_n \sim (X_n)_n$ tais que $Y_n \xrightarrow{q.c.} Y$. Como f é contínua, $f(Y_n) \xrightarrow{q.c.} f(Y)$. Como f é limitada, podemos aplicar o Teorema da Convergência Dominada, obtendo

$$\mathbb{E}[f(X_n)] = \mathbb{E}[f(Y_n)] \rightarrow \mathbb{E}[f(Y)] = \mathbb{E}[f(X)],$$

o que prova (ii). A implicação (ii) \Rightarrow (iii) é trivial.

Agora suponha (iii). Seja c um ponto de continuidade de F_X , e seja $\varepsilon > 0$. Tome ε' tal que $F_X(c - \varepsilon') > F_X(c) - \varepsilon$ e $f : \mathbb{R} \rightarrow [0, 1]$ uma função tal que f, f', f'', f''' são contínuas e limitadas, $f(x) = 1$ para todo $x \leq c - \varepsilon'$ e $f(x) = 0$ para todo $x \geq c$ (por exemplo, há um polinômio apropriado de grau 7 em $[c - \varepsilon, c]$). Então

$$\begin{aligned} \liminf_n F_{X_n}(c) &= \liminf_n \mathbb{E}[\mathbb{1}_{(-\infty, c]}(X_n)] \geq \liminf_n \mathbb{E}[f(X_n)] = \\ &= \mathbb{E}[f(X)] \geq \mathbb{E}[\mathbb{1}_{(-\infty, c-\varepsilon')}(X)] = F_X(c - \varepsilon') \geq F_X(c) - \varepsilon. \end{aligned}$$

Como isso vale para todo $\varepsilon > 0$, concluímos que $\liminf_n F_{X_n}(c) \geq F_X(x)$. De forma análoga (trocando $c - \varepsilon'$ por $c + \varepsilon'$, e invertendo as desigualdades), podemos obter $\limsup_n F_{X_n}(c) \leq F_X(x)$, o que prova (i). \square

Observamos que o requisito de tomarmos até a derivada terceira no teorema acima não tem nada de especial. Poderíamos tê-lo feito considerando derivadas até uma determinada ordem n . Escolhemos derivada terceira porque será suficiente quando provarmos as versões do Teorema do Limite Central de Lyapunov e de Lindeberg nas Seções 9.3 e 9.4.

7.5 Exercícios

§7.1

1. Seja $(A_n)_n$ uma sequência de eventos e $(\mathbb{1}_{A_n})_n$ a sequência de variáveis aleatórias indicadoras das ocorrências dos eventos correspondentes. Encontre uma condição sobre as probabilidades $\mathbb{P}(A_n)$ para que $\mathbb{1}_{A_n} \xrightarrow{\mathbb{P}} 0$.
2. Suponha que $\mathbb{E}X_n \rightarrow 0$ e $\mathbb{V}X_n \rightarrow 0$. Prove que $X_n \xrightarrow{\mathbb{P}} 0$.
3. Provar unicidade quase certa do limite quase certo. Isto é, se $X_n \xrightarrow{\text{q.c.}} Y$ e $X_n \xrightarrow{\text{q.c.}} Z$ então $Y = Z$ q.c.
4. Provar unicidade quase certa do limite em probabilidade. Isto é, se $X_n \xrightarrow{\mathbb{P}} Y$ e $X_n \xrightarrow{\mathbb{P}} Z$ então $Y = Z$ q.c.
5. Seja $U \sim \mathcal{U}[0, 1]$ e defina $X_n = n\mathbb{1}_{\{U < \frac{1}{n}\}}$. Verifique respectivamente se existe X tal que $X_n \rightarrow X$
 - (a) em distribuição.
 - (b) em probabilidade.
 - (c) quase certamente.
 - (d) em \mathcal{L}^1 .
 - (e) em \mathcal{L}^2 .

6. Sejam $(X_n)_n$ uma sequência de variáveis aleatórias com $X_n \sim \mathcal{U}[1 + \frac{1}{n}]$ e $X \sim \mathcal{U}[0, 1]$.

- (a) Mostre que $X_n \xrightarrow{d} X$.
- (b) Se $(X_n)_n$ forem independentes, mostre que X_n não converge em probabilidade para X .
- (c) Dê um exemplo mostrando que, se a hipótese de independência for retirada, é possível que $X_n \xrightarrow{\text{q.c.}} X$.

7. Suponha que X_n tem distribuição uniforme no conjunto $\{\frac{1}{n}, \frac{2}{n}, \dots, \frac{n-1}{n}, 1\}$ para todo $n \in \mathbb{N}$. Mostre que $(X_n)_n$ converge em distribuição para uma variável com distribuição uniforme em $[0, 1]$.

8. Sejam $(X_n)_n$ uma sequência de variáveis aleatórias i.i.d. com distribuição $\text{Exp}(1)$ e $Z_n = \max\{X_1, \dots, X_n\} - \log n$. Mostre que Z_n converge em distribuição para uma Gumbel.

9. Seja $(X_n)_n$ uma sequência de variáveis aleatórias independentes com distribuição uniforme em $[0, 1]$, e $Y_n = \max\{X_1, \dots, X_n\}$. Encontre a função de distribuição de Y_n e o limite em distribuição desta sequência.

10. Suponha que $X_n \xrightarrow{\mathcal{L}^1} X$ e $|Z| \leq 1$ q.c. Mostre que $X_n Z \xrightarrow{\mathcal{L}^1} XZ$.

§7.2

11. Seja $(X_n)_{n \in \mathbb{N}}$ uma sequência de variáveis aleatórias independentes tais que $\text{Exp}(\lambda_n)$, onde $\lambda_n = n^3$. Prove que $\mathbb{P}(\sum_{n=1}^{\infty} X_n < \infty) = 1$.

12. Sejam $(a_n)_n$ uma sequência de números reais e $(X_n)_n$ uma sequência de variáveis aleatórias com distribuição dada por $\mathbb{P}(X_n = a_n) = p_n = 1 - \mathbb{P}(X_n = 0)$ para todo $n \in \mathbb{N}$. Mostre que se $\sum_{n=1}^{\infty} p_n < \infty$, então $X_n \xrightarrow{\text{q.c.}} 0$.

13. Sejam X_n , $n \in \mathbb{N}$, variáveis aleatórias independentes tais que $X_n \sim \text{Bernoulli}(p_n)$. Estude as condições sobre (p_n) para que:

- (a) $X_n \xrightarrow{\mathbb{P}} 0$.
- (b) $X_n \xrightarrow{\text{q.c.}} 0$.

14. Definimos o *limite inferior da sequência de conjuntos* $(A_n)_n$ como o conjunto $\liminf_{n \rightarrow \infty} A_n = \bigcup_{n=1}^{\infty} \bigcap_{k=n}^{\infty} A_k$. Mostre que:

- (a) $\liminf_{n \rightarrow \infty} A_n \subseteq \limsup_{n \rightarrow \infty} A_n$.
- (b) Dê um exemplo onde vale a inclusão estrita no item anterior.

15. Seja $(X_n)_n$ uma sequência de variáveis aleatórias independentes com $X_n \sim \mathcal{U}[-n, n]$. Calcule $\mathbb{P}(|X_n| \rightarrow +\infty)$ e $\mathbb{P}(|X_{n^2}| \rightarrow +\infty)$.

16. Seja $(X_n)_n$ uma sequência i.i.d. com distribuição $\mathcal{U}[0, 1]$.

- (a) Mostre que $n^{-X_n} \xrightarrow{\mathbb{P}} 0$.
- (b) Calcule $\mathbb{P}(n^{-X_n} \rightarrow 0)$.

17. Seja $(X_n)_n$ uma sequência i.i.d. Mostre que

$$\frac{X_n}{n} \xrightarrow{\text{q.c.}} 0$$

se e somente se X_1 for integrável.

18. Seja $(X_n)_n$ uma sequência i.i.d. Mostre que

$$\frac{X_n}{\sqrt{n}} \xrightarrow{\text{q.c.}} 0$$

se e somente se $\mathbb{E}X_1^2 < \infty$.

19. Seja $(X_n)_n$ uma sequência i.i.d. com distribuição $\text{Exp}(1)$. Mostre que $\mathbb{P}(X_n \geq 1 \log n \text{ i.v.}) = 1$ e $\mathbb{P}(X_n \geq 2 \log n \text{ i.v.}) = 0$.

20. Seja $(X_n)_n$ uma sequência i.i.d. com distribuição $\text{Poisson}(\lambda)$. Mostre que

$$\frac{X_n}{\log n} \xrightarrow{\text{q.c.}} 0.$$

Sugestão: Mostre antes que $\mathbb{E}[e^{X_1/\varepsilon}] < \infty$.

21. Seja $(X_n)_n$ uma sequência i.i.d. de variáveis aleatórias não-negativas com

$\mathbb{E}X_1^2 < \infty$. Mostre que

$$\mathbb{P}\left(\sum_{n=1}^{\infty} \frac{X_n}{n^2} < \infty\right) = 1$$

22.

- (a) Seja X uma variável aleatória com distribuição normal padrão. Mostre que

$$\frac{\mathbb{P}(X > x)}{\frac{1}{x\sqrt{2\pi}}e^{-x^2/2}} \rightarrow 1 \quad \text{quando } x \rightarrow +\infty.$$

- (b) Seja $(X_n)_n$ uma sequência de variáveis i.i.d. com distribuição normal padrão. Encontre uma sequência de números reais (a_n) tais que

$$\mathbb{P}(X_n \geq (1 - \varepsilon)a_n \text{ i.v.}) = 1 \text{ e } \mathbb{P}(X_n \geq (1 + \varepsilon)a_n \text{ i.v.}) = 0$$

para todo $\varepsilon > 0$.

23. Seja $(X_n)_n$ uma sequência qualquer de variáveis aleatórias. Mostre que sempre existe uma sequência de números reais $(a_n)_n$ tal que $\frac{X_n}{a_n} \xrightarrow{\text{q.c.}} 0$.

§7.3

24. Dê uma solução alternativa ao Exercício 4, usando a Proposição 7.32.

25. Seja $(X_n)_n$ uma sequência de variáveis aleatórias tais que $\mathbb{E}X_n \rightarrow c$ quando $n \rightarrow \infty$, onde $c \in \mathbb{R}$.

- (a) Mostre que, se $\sum_{n=1}^{\infty} \mathbb{V}X_n$ converge, então $X_n \xrightarrow{\text{q.c.}} c$.
 (b) Mostre que, se $\mathbb{V}X_n \rightarrow 0$, então $X_n \xrightarrow{\mathbb{P}} c$.
 (c) Se $\mathbb{V}X_n \rightarrow 0$, então necessariamente $X_n \xrightarrow{\text{q.c.}} c$?

26. Seja $(X_n)_n$ uma sequência de variáveis aleatórias i.i.d. com distribuição $\mathcal{U}[0, 1]$ e $Y_n = n^{-X_n}$ para todo $n \in \mathbb{N}$. Mostre que $Y_n \rightarrow 0$ em probabilidade mas não quase certamente.

27. Seja X uma variável aleatória integrável, e seja $(A_n)_n$ uma sequência de eventos tais que $\mathbb{P}(A_n) \rightarrow 0$. Prove que $\mathbb{E}[X\mathbf{1}_{A_n}] \rightarrow 0$.

§7.4

- 28.** Mostre que, se $X_n \xrightarrow{\text{q.c.}} Y$ e $X_n \xrightarrow{d} Z$, então $Y \sim Z$.
- 29.** Sejam $X, (X_n)_n$ variáveis aleatórias tais que $X_n \xrightarrow{d} X$ e $g : \mathbb{R} \rightarrow \mathbb{R}$ função contínua. Mostre que $g(X_n) \xrightarrow{d} g(X)$.
- 30.** Dê uma prova alternativa da Proposição 7.34 usando o Teorema de Helly-Bray. Sugestão: Primeiro prove supondo convergência quase certa, e depois use um argumento semelhante ao da prova do Teorema 7.33.

Capítulo 8

Lei dos Grandes Números

Um dos principais tópicos da Teoria da Probabilidade é o estudo da chamada Lei dos Grandes Números. Ela diz que a soma de muitas variáveis aleatórias independentes (ou não-correlacionadas, etc.) tende a estar próxima da sua esperança. Mais precisamente, a média observada $\frac{X_1 + \dots + X_n}{n}$, que é aleatória, se aproxima da média teórica $\mathbb{E}[\frac{X_1 + \dots + X_n}{n}]$, que é determinística.

Sua manifestação mais simples é na frequência relativa. Imagine que realizamos o mesmo experimento muitas vezes, sob as mesmas condições, e contamos quantos resultaram em sucesso e quantos resultaram em fracasso. Tomando $X_n = 1$ para indicar sucesso na n -ésima tentativa e $X_n = 0$ para indicar fracasso, a frequência relativa observada é dada justamente por $\frac{X_1 + \dots + X_n}{n}$. Enquanto escreviam este preâmbulo, os autores simularam o lançamento de uma moeda honesta um milhão de vezes, e obtiveram coroa 499.947 vezes. Repetindo o mesmo procedimento, obtiveram coroa 499.508 vezes, depois 500.318 vezes, e depois 500.512 vezes. Como previsto pela Lei dos Grandes Números, a frequência relativa ficou sempre muito próxima da probabilidade de se obter coroa em cada lançamento, que é exatamente $\frac{1}{2}$. Intuitivamente, tendemos a associar probabilidade de sucesso a frequência relativa de sucessos, e essa associação já está quase naturalizada no nosso pensamento. Entretanto, no estudo da Teoria da Probabilidade como uma

teoria axiomática, isso será um *teorema* e não uma *definição*. Se, por um lado, não definimos a probabilidade de se obter coroa no lançamento da moeda como sendo dada pela frequência relativa, por outro lado, é reconfortante que a teoria seja capaz de autojustificar-se ao estabelecer que tal frequência relativa deve se aproximar do valor teórico quando o número de realizações do experimento aumenta.

De forma mais geral, o resultado relevante de cada experimento não precisa ser 0 ou 1 para representar fracasso ou sucesso, de fato pode ser qualquer variável aleatória. Antes de escrever este parágrafo, os autores lançaram um dado dez vezes, e a soma dos valores obtidos foi de 38. Repetindo o mesmo procedimento, obtiveram 33, 28, 37 e por último 43. Não pareceu que esta soma estivesse muito bem concentrada próxima de algum valor determinístico. Entretanto, os autores depois simularam dez mil lançamentos do dado, e a soma dos resultados foi 35.082. Repetindo o mesmo procedimento, obtiveram como soma 34.769, depois 35.419, e depois 34.691. Como previsto pela Lei dos Grandes Números, quando o número de lançamentos foi grande, a média observada se aproximou da média teórica, dada por $\mathbb{E}X_1 = \frac{7}{2}$.

Nas seções seguintes, vamos provar que vale a Lei dos Grandes Números sob diferentes hipóteses, com demonstrações que vão aumentando em nível de complexidade. Ademais, como visto no capítulo anterior, a noção de “aproximar-se” pode ter mais de um significado quando falamos de quantidades aleatórias, o que se traduz em distintas formulações da Lei dos Grandes Números. Estudaremos hipóteses sob as quais essa aproximação se dará em diferentes sentidos. Finalizamos com algumas aplicações na última seção.

8.1 Lei Fraca dos Grandes Números

Sejam X_1, X_2, \dots variáveis aleatórias integráveis em $(\Omega, \mathcal{F}, \mathbb{P})$ e S_1, S_2, \dots suas somas parciais dadas por

$$S_n = X_1 + X_2 + \dots + X_n.$$

Definição 8.1 (Lei Fraca dos Grandes Números). Dizemos que a sequência (X_1, X_2, \dots) satisfaz à *Lei Fraca dos Grandes Números* se, para todo $\varepsilon > 0$, vale

$$\mathbb{P}\left(\left|\frac{S_n - \mathbb{E}S_n}{n}\right| \geq \varepsilon\right) \rightarrow 0, \text{ quando } n \rightarrow \infty,$$

ou seja, se

$$\frac{S_n - \mathbb{E}S_n}{n} \xrightarrow{\mathbb{P}} 0.$$

Teorema 8.2 (Lei dos Grandes Números de Bernoulli). *Considere uma sequência de ensaios independentes tendo a mesma probabilidade p de sucesso em cada ensaio. Se S_n é o número de sucessos nos primeiros n ensaios, então*

$$\frac{S_n}{n} \xrightarrow{\mathbb{P}} p.$$

Não veremos a demonstração original de Bernoulli. A Lei dos Grandes Números de Tchebyshev provada logo abaixo é mais geral.

A Lei dos Grandes Números de Bernoulli tem uma importância histórica inestimável. De certa forma, esse teorema justifica o conceito de probabilidade como sendo a frequência relativa de ocorrência de um evento, isto é,

$$p \approx \frac{\text{quantidade de experimentos em que o evento é observado}}{\text{quantidade total de experimentos realizados}},$$

onde a ideia de aproximação passa a ter um significado mais preciso, o da convergência em probabilidade.

Teorema 8.3 (Lei dos Grandes Números de Tchebyshev). *Sejam X_1, X_2, \dots variáveis aleatórias não-correlacionadas. Suponha que existe M finito tal que $\forall X_n < M$ para todo n . Então (X_1, X_2, \dots) satisfaz à Lei Fraca dos Grandes Números:*

$$\frac{S_n - \mathbb{E}S_n}{n} \xrightarrow{\mathbb{P}} 0.$$

Demonstração. Pela Desigualdade de Tchebyshev,

$$\mathbb{P}\left(\left|\frac{S_n - \mathbb{E}S_n}{n}\right| \geq \varepsilon\right) \leq \frac{\mathbb{V}\left(\frac{S_n}{n}\right)}{\varepsilon^2} = \frac{\mathbb{V}S_n}{\varepsilon^2 n^2} = \frac{\sum_{j=1}^n \mathbb{V}X_j}{\varepsilon^2 n^2} \leq \frac{n \cdot M}{\varepsilon^2 n^2} \rightarrow 0. \quad \square$$

Posteriormente, foi provada por A.Y. Khintchine a versão abaixo que retira a hipótese de variância finita, mas precisa que as variáveis sejam i.i.d.

Teorema 8.4 (Lei dos Grandes Números de Khintchine). *Sejam X_1, X_2, \dots variáveis aleatórias independentes, identicamente distribuídas e integráveis, com média μ . Então (X_1, X_2, \dots) satisfaz à Lei Fraca dos Grandes Números:*

$$\frac{S_n}{n} \xrightarrow{\mathbb{P}} \mu.$$

A demonstração original de Khintchine foi feita usando o método de truncamento, aparentemente introduzido por Markov, e utilizado em seguida por Kolmogorov na prova da Lei Forte dos Grandes Números. Não provaremos este teorema, pois vale a Lei Forte dos Grandes Números sob as mesmas hipóteses. Além disso, uma prova alternativa usando funções características será dada na Seção 10.2.

8.2 Lei Forte dos Grandes Números

Considere uma sequência $(X_n)_n$ de variáveis aleatórias, todas com média μ . A Lei Fraca dos Grandes Números diz que, se tomamos um valor de n grande o suficiente, então, como alta probabilidade, $\frac{S_n}{n}$ estará bem próximo de μ . Observe que essa afirmação diz respeito ao comportamento estatístico de S_n para qualquer valor de n previamente selecionado, desde que seja grande. Mas nada impede que $\frac{S_n}{n}$ esteja longe de μ para infinitos de valores de n posteriores àquele previamente selecionado. Em contraste, a Lei Forte dos Grandes Números, que definimos abaixo, se refere ao comportamento da sequência aleatória $(\frac{S_n}{n})_{n \in \mathbb{N}}$ como um todo. Ela diz que, quase certamente, a

média observada $\frac{S_n}{n}$ se aproxima de μ quando n cresce, não deixando aberta a possibilidade de que ela siga oscilando indefinidamente.

Definição 8.5 (Lei Forte dos Grandes Números). Dizemos que (X_1, X_2, \dots) satisfaz à *Lei Forte dos Grandes Números* se

$$\mathbb{P}\left(\lim_n \frac{S_n - \mathbb{E}S_n}{n} = 0\right) = 1,$$

ou seja, se

$$\frac{S_n - \mathbb{E}S_n}{n} \xrightarrow{\text{q.c.}} 0.$$

Na Seção 7.3, vimos que convergência quase certa implica convergência em probabilidade. Portanto, a Lei Forte implica a Lei Fraca.

Teorema 8.6 (Lei dos Grandes Números de Borel). *Considere uma sequência de ensaios independentes tendo a mesma probabilidade p de sucesso em cada ensaio. Se S_n é o número de sucessos nos primeiros n ensaios, então*

$$\frac{S_n}{n} \xrightarrow{\text{q.c.}} p.$$

Não veremos a demonstração original de Borel. A seguir, enunciaremos e provaremos a Lei dos Grandes Números de Cantelli que é mais geral que a de Borel.

Teorema 8.7 (Lei dos Grandes Números de Cantelli). *Sejam X_1, X_2, \dots variáveis aleatórias independentes com quarto momento limitado. Então $(X_n)_n$ satisfaz à Lei Forte dos Grandes Números:*

$$\frac{S_n - \mathbb{E}S_n}{n} \xrightarrow{\text{q.c.}} 0.$$

Demonstração. Podemos supor que $\mathbb{E}X_n = 0$ (senão consideramos $X_n - \mathbb{E}X_n$, usamos $|x| \leq 1 + x^4$ e $|x - c|^4 \leq 16x^4 + 16c^4$). Observe que

$$\begin{aligned}
S_n^4 &= (X_1 + \dots + X_n)^4 = \sum_{r,j,k,l} X_r X_j X_k X_l = \sum_r X_r^4 + \frac{4!}{2!2!} \sum_{r < j} X_r^2 X_j^2 + \\
&\quad + \frac{4!}{3!} \sum_{r \neq k} X_r^3 X_k + \frac{4!}{2!} \sum_{\substack{j < k \\ r \neq j,k}} X_r^2 X_j X_k + 4! \sum_{r < j < k < l} X_r X_j X_k X_l.
\end{aligned}$$

Por independência,

$$\begin{aligned}
\mathbb{E}S_n^4 &= \sum_r \mathbb{E}X_r^4 + 6 \sum_{r < j} \mathbb{E}[X_r^2 X_j^2] + \\
&\quad + \sum_k \mathbb{E} \left[4 \sum_r X_r^3 + 12 \sum_r X_r^2 X_j + 24 \sum_r X_r X_j X_l \right] \mathbb{E}X_k.
\end{aligned}$$

Como assumimos que $\mathbb{E}X_k = 0$, a segunda linha é igual a zero. Tome M tal que $\mathbb{E}X_k^4 \leq M$ para todo k . Pela Desigualdade de Cauchy-Schwarz, $\mathbb{E}[X_r^2 X_j^2] \leq \sqrt{M} \sqrt{M} = M$. Assim,

$$\mathbb{E}S_n^4 \leq nM + 6 \binom{n}{2} M = (3n^2 - 2n)M \leq 3n^2 M.$$

Pela Desigualdade de Markov,

$$\mathbb{P} \left(\left| \frac{S_n}{n} \right| \geq \varepsilon \right) \leq \frac{\mathbb{E}S_n^4}{\varepsilon^4 n^4} \leq \frac{3M}{\varepsilon^4 n^2},$$

e pelo Lema de Borel-Cantelli segue que $\frac{S_n}{n} \xrightarrow{\text{q.c.}} 0$. □

Teorema 8.8 (Lei dos Grandes Números de Kolmogorov). *Sejam X_1, X_2, \dots variáveis aleatórias independentes, identicamente distribuídas e integráveis. Então (X_1, X_2, \dots) satisfaz à Lei Forte dos Grandes Números:*

$$\frac{S_n}{n} \xrightarrow{\text{q.c.}} \mathbb{E}X_1.$$

O teorema como enunciado acima é um caso particular do Teorema 8.13, visto na Seção 8.3, ou do Teorema Ergódico de Birkhoff, visto na Seção 14.3.

Enfatizamos que a hipótese de X_1 ser integrável é a mais fraca possível para que valha a Lei Forte dos Grandes Números quando a sequência $(X_n)_n$ for i.i.d. Isto é, X_1 ser integrável é equivalente a $\frac{X_1 + \dots + X_n}{n} \xrightarrow{\text{q.c.}} \mu$ para algum $\mu \in \mathbb{R}$, conforme mostramos na seguinte proposição.

Proposição 8.9. *Seja $(X_n)_n$ uma sequência de variáveis aleatórias i.i.d. tal que $\frac{X_1 + \dots + X_n}{n} \xrightarrow{\text{q.c.}} \mu$, onde μ é um número real. Então $\mathbb{E}|X_1| < \infty$ e $\mu = \mathbb{E}X_1$.*

Demonstração. Observe que, por hipótese,

$$\frac{X_n}{n} = \frac{X_1 + \dots + X_n}{n} - \frac{n-1}{n} \cdot \frac{X_1 + \dots + X_{n-1}}{n-1} \xrightarrow{\text{q.c.}} 0.$$

Pela Proposição 7.16, $\mathbb{P}(\{|X_n| \geq n \text{ i.v.}\}) = 0$. Como a sequência $(X_n)_n$ é independente, segue do Lema de Borel-Cantelli que $\sum_n \mathbb{P}(|X_n| \geq n) < \infty$. Como $(X_n)_n$ é identicamente distribuída, $\sum_n \mathbb{P}(|X_1| \geq n) < \infty$. Isso que garante a integrabilidade de X_1 pela Proposição 5.34. \square

8.3 Leis Fortes de Kolmogorov

Nesta seção provaremos outras duas versões de Leis Forte dos Grandes Números com hipóteses mais generosas que aquelas dos Teoremas 8.7 e 8.8.

A Primeira Lei Forte de Kolmogorov, provada em 1930, permite que as variáveis não tenham a mesma distribuição, mas tem uma condição sobre as variâncias. A chamada Lei Forte de Kolmogorov, provada em 1933, estabelece que a hipótese de integrabilidade é suficiente no caso de variáveis i.i.d., e é baseada na Primeira Lei Forte combinada com o método de truncamento.

A prova que daremos para a Primeira Lei Forte de Kolmogorov usa a elegante ideia, introduzida por Etemadi em 1981, de considerar variáveis não-negativas e estudar uma subsequência que cresce exponencialmente rápido porém com expoente pequeno. Com essa ideia precisamos apenas que as variáveis sejam independentes duas a duas, mas temos que supor uma condição sobre o

primeiro momento que não era usada na demonstração original. Isso também permite provar a Lei Forte de Kolmogorov supondo apenas que as variáveis sejam independentes duas a duas.

Teorema 8.10 (Primeira Lei Forte dos Grandes Números). *Sejam $(Y_n)_n$ variáveis independentes duas a duas tais que $\sup_n \mathbb{E}|Y_n| < \infty$ e $\sum_{n=1}^{\infty} \frac{\mathbb{E}Y_n^2}{n^2} < \infty$. Então a sequência $(Y_n)_n$ satisfaz à Lei Forte dos Grandes Números:*

$$\frac{Y_1 + \cdots + Y_n - \mathbb{E}[Y_1 + \cdots + Y_n]}{n} \xrightarrow{\text{q.c.}} 0.$$

Demonstração. Utilizando a decomposição $Y_n = Y_n^+ - Y_n^-$, podemos supor, sem perda de generalidade, que Y_n é não-negativa para todo $n \in \mathbb{N}$. Denotamos as somas por $T_n = Y_1 + \cdots + Y_n$. Mostraremos primeiro que

$$\frac{T_{k_n} - \mathbb{E}T_{k_n}}{k_n} \xrightarrow{\text{q.c.}} 0$$

para uma família especial de subsequências $(k_n)_n$. Seja $\alpha > 1$. Defina $k_n = \lfloor \alpha^n \rfloor$. Note que $k_n^{-2} \leq 4\alpha^{-2n}$ e $\frac{k_{n+1}}{k_n} \rightarrow \alpha$. Para cada $r > 1$, escrevemos $n_r = \min\{n : k_n \geq r\} = \lceil \log_{\alpha} r \rceil$.

Estimando a partir da Desigualdade de Tchebyshev, obtemos

$$\begin{aligned} \sum_{n=1}^{\infty} \mathbb{P}(|T_{k_n} - \mathbb{E}T_{k_n}| \geq \varepsilon k_n) &\leq \sum_{n=1}^{\infty} \frac{\mathbb{V}T_{k_n}}{\varepsilon^2 k_n^2} = \varepsilon^{-2} \sum_{n=1}^{\infty} k_n^{-2} \sum_{r=1}^{k_n} \mathbb{V}Y_r = \\ &= \varepsilon^{-2} \sum_{r=1}^{\infty} \mathbb{V}Y_r \sum_{n: k_n \geq r} k_n^{-2} = \varepsilon^{-2} \sum_{r=1}^{\infty} \mathbb{V}Y_r \sum_{n=n_r}^{\infty} k_n^{-2} \leq \\ &\leq \varepsilon^{-2} \sum_{r=1}^{\infty} \mathbb{V}Y_r \frac{4\alpha^{-2n_r}}{1 - \alpha^{-2}} \leq \frac{4\varepsilon^{-2}}{1 - \alpha^{-2}} \sum_{r=1}^{\infty} \frac{\mathbb{V}Y_r}{r^2} < \infty, \end{aligned}$$

onde na primeira igualdade usamos a hipótese de que as variáveis $(Y_n)_n$ são independentes duas a duas. Pelos Lema de Borel-Cantelli e Proposição 7.16,

$$\frac{T_{k_n} - \mathbb{E}T_{k_n}}{k_n} \xrightarrow{\text{q.c.}} 0. \quad (8.11)$$

Para concluir a prova, falta preencher as lacunas, controlando a diferença

$$\frac{T_r - \mathbb{E}T_r}{r}$$

para todo $r \in \mathbb{N}$ grande e não apenas na subsequência k_n . É aqui que usamos a hipótese de que as Y_n são não-negativas. Para cada $r \geq \alpha$, tomamos $n = n_r - 1$, de forma que $1 \leq k_n < r \leq k_{n+1}$. Usando o fato de que T_r e $\mathbb{E}T_r$ são não-decrescentes e $M = \sup_r \mathbb{E}Y_r < \infty$, vamos trabalhar a expressão acima para reduzir o problema a (8.11). Para isso, primeiro majoramos, depois alinhamos os índices do numerador, e finalmente os do denominador:

$$\begin{aligned} \frac{T_r - \mathbb{E}T_r}{r} &\leq \frac{T_{k_{n+1}} - \mathbb{E}T_{k_n}}{r} \leq \frac{T_{k_{n+1}}}{k_n} - \frac{\mathbb{E}T_{k_n}}{k_{n+1}} \\ &= \frac{T_{k_{n+1}}}{k_n} - \frac{\mathbb{E}T_{k_{n+1}}}{k_n} + \left(\frac{1}{k_n} - \frac{1}{k_{n+1}}\right)\mathbb{E}T_{k_{n+1}} + \frac{\mathbb{E}[T_{k_{n+1}} - T_{k_n}]}{k_{n+1}} \\ &\leq \frac{k_{n+1}}{k_n} \cdot \frac{T_{k_{n+1}} - \mathbb{E}T_{k_{n+1}}}{k_{n+1}} + \left(\frac{1}{k_n} - \frac{1}{k_{n+1}}\right)k_{n+1}M + \frac{k_{n+1} - k_n}{k_{n+1}}M. \end{aligned}$$

Usando (8.11), vemos que $\limsup_r \frac{T_r - \mathbb{E}T_r}{r} \leq \alpha \cdot 0 + (\alpha - 1)M + (1 - \alpha^{-1})M$ q.c. Como isso vale para todo $\alpha > 1$, $\limsup_r \frac{T_r - \mathbb{E}T_r}{r} \leq 0$ q.c. De forma análoga, mostramos que $\liminf_r \frac{T_r - \mathbb{E}T_r}{r} \geq 0$ q.c., o que conclui a prova. \square

Lema 8.12. *Seja $(X_n)_n$ uma sequência de variáveis aleatórias identicamente distribuídas e integráveis. Para cada $n \in \mathbb{N}$, defina $Y_n = X_n \mathbb{1}_{\{|X_n| \leq n\}}$. Então $\sum_{n=1}^{\infty} \frac{\mathbb{E}Y_n^2}{n^2} < \infty$.*

Demonstração. Escrevendo $X = |X_1|$ por simplicidade,

$$\begin{aligned} \sum_{n=1}^{\infty} n^{-2} \mathbb{E}Y_n^2 &= \sum_{n=1}^{\infty} n^{-2} \mathbb{E}[X_n^2 \mathbb{1}_{\{|X_n| \leq n\}}] = \sum_{n=1}^{\infty} n^{-2} \mathbb{E}[X^2 \mathbb{1}_{\{X \leq n\}}] = \\ &= \mathbb{E}\left[X^2 \sum_{n=1}^{\infty} n^{-2} \mathbb{1}_{\{X \leq n\}}\right] \leq \mathbb{E}\left[X^2(X^{-1} + X^{-2})\right] = 1 + \mathbb{E}X < \infty, \end{aligned}$$

onde usamos o Teorema da Convergência Monótona para comutar soma e esperança, além da estimativa $\sum_{n \geq \lceil x \rceil} n^{-2} \leq x^{-1} + x^{-2}$ para $x > 0$. \square

Teorema 8.13 (Segunda Lei Forte dos Grandes Números). *Seja $(X_n)_n$ sequência de variáveis aleatórias, independentes duas a duas, identicamente distribuídas e integráveis. Então a sequência $(X_n)_n$ satisfaz à Lei Forte dos Grandes Números:*

$$\frac{X_1 + \cdots + X_n}{n} \xrightarrow{\text{q.c.}} \mathbb{E}X_1.$$

Demonstração. Seja $Y_n = X_n \mathbf{1}_{\{|X_n| \leq n\}}$ para cada $n \in \mathbb{N}$. Combinando o Lema 8.12 com a Primeira Lei Forte dos Grandes Números, obtemos

$$\frac{Y_1 + \cdots + Y_n - \mathbb{E}[Y_1 + \cdots + Y_n]}{n} \xrightarrow{\text{q.c.}} 0.$$

Por outro lado, do Teorema da Convergência Dominada,

$$\mathbb{E}Y_n = \mathbb{E}[X_n \mathbf{1}_{\{|X_n| \leq n\}}] = \mathbb{E}[X_1 \mathbf{1}_{\{|X_1| \leq n\}}] \rightarrow \mathbb{E}X_1$$

e, por conseguinte,

$$\frac{\mathbb{E}[Y_1 + \cdots + Y_n]}{n} \rightarrow \mathbb{E}X_1.$$

Combinando estes limites, obtemos

$$\frac{Y_1 + \cdots + Y_n}{n} \xrightarrow{\text{q.c.}} \mathbb{E}X_1.$$

Finalmente, escrevemos $X_n = Y_n + Z_n$, onde $Z_n = X_n \mathbf{1}_{\{|X_n| > n\}}$. Veja que

$$\sum_{n=1}^{\infty} \mathbb{P}(Z_n \neq 0) = \sum_{n=1}^{\infty} \mathbb{P}(|X_n| > n) = \sum_{n=1}^{\infty} \mathbb{P}(|X_1| > n) < \infty$$

pela Proposição 5.34. Pelo Lema de Borel-Cantelli, $\mathbb{P}(Z_n \neq 0 \text{ i.v.}) = 0$, logo $Z_n \xrightarrow{\text{q.c.}} 0$ e portanto

$$\frac{Z_1 + \cdots + Z_n}{n} \xrightarrow{\text{q.c.}} 0,$$

concluindo a prova. \square

8.4 Algumas aplicações

Nesta seção faremos três aplicações da Lei dos Grandes Números. Elas podem ser lidas em qualquer ordem. A segunda é aplicação da Lei Fraca, a última da Lei Forte. A primeira é na verdade uma aplicação da Desigualdade de Tchebyshev, como feito na demonstração da Lei Fraca.

Teorema de Weierstrass

Como certamente já observado pelo leitor, Análise Real e Teoria da Medida são ferramentas mais que importantes para o estudo de Probabilidade. Porém, um fato notável é que temos uma via de mão dupla. Há teoremas da Análise que podem ser obtidos com demonstrações probabilísticas. O Teorema de Weierstrass diz que toda função $f : [a, b] \rightarrow \mathbb{R}$ contínua, por mais complicada que seja, pode ser aproximada uniformemente por uma sequência de polinômios.¹² Observe que trata-se de um teorema puramente de Análise Real.

Teorema 8.14 (Teorema de Weierstrass). *Seja $f : [a, b] \rightarrow \mathbb{R}$ função contínua e $\varepsilon > 0$. Existe um polinômio g tal que $|g(x) - f(x)| < \varepsilon$ para todo $x \in [a, b]$.*

Seja f e ε como no enunciado. Podemos supor que $a = 0$ e $b = 1$, pois há uma bijeção entre $[0, 1]$ e $[a, b]$ em forma de polinômio. Como f é contínua no intervalo fechado $[0, 1]$, existe M tal que $|f(p)| \leq M$ para todo $p \in [0, 1]$. Ademais, existe $\delta > 0$ tal que $|f(p) - f(q)| < \frac{\varepsilon}{2}$ para todos $p, q \in [0, 1]$ tais que $|p - q| < \delta$, porque f é uniformemente contínua – ver Apêndice A.3.

O polinômio que vai aproximar f será a esperança de uma variável aleatória cuja distribuição é parametrizada por p .

¹²O Teorema 8.14 foi provado originalmente por Weierstrass em 1885. A demonstração probabilística que fornecemos é devida a Bernstein, publicada em 1912.

Fixe algum $n > \frac{M}{\varepsilon\delta^2}$. Para $p \in [0, 1]$, defina uma variável aleatória $Z_p \sim \text{Binom}(n, p)$ e $X_p = \frac{Z_p}{n}$. Note que X_p toma valores em $[0, 1]$ e tem média p . O polinômio desejado será dado por

$$g(p) = \mathbb{E}[f(X_p)] = \sum_{k=0}^n f\left(\frac{k}{n}\right) \binom{n}{k} p^k (1-p)^{n-k},$$

que é chamado *polinômio de Bernstein*.

Estimamos $g(p) - f(p)$ usando a Desigualdade de Tchebyshev:

$$\begin{aligned} |g(p) - f(p)| &= |\mathbb{E}[f(X_p) - f(p)]| \leq \mathbb{E}|f(X_p) - f(p)| \\ &= \mathbb{E}[|f(X_p) - f(p)| \mathbf{1}_{\{|X_p - p| < \delta\}}] + \mathbb{E}[|f(X_p) - f(p)| \mathbf{1}_{\{|X_p - p| \geq \delta\}}] \\ &\leq \frac{\varepsilon}{2} + 2M\mathbb{P}(|X_p - p| \geq \delta) \leq \frac{\varepsilon}{2} + 2M \frac{\mathbb{V}X_p}{\delta^2} \\ &= \frac{\varepsilon}{2} + 2M \frac{p(1-p)}{n\delta^2} \leq \frac{\varepsilon}{2} + \frac{M}{2n\delta^2} < \varepsilon, \end{aligned}$$

o que conclui a prova do Teorema de Weierstrass.

Método de Monte Carlo

No problema da agulha de Buffon (Seção 1.1.3), vimos que ao lançarmos aleatoriamente uma agulha de comprimento ℓ sobre um piso cortado por um feixe de retas paralelas e equidistantes também de ℓ , a probabilidade de a agulha cruzar uma das retas do piso é de $\frac{2}{\pi}$. Sendo assim, se lançarmos uma agulha sucessivas vezes e de modo independente, a Lei Forte dos Grandes Números nos diz que

$$\frac{X_1 + \cdots + X_n}{n} \xrightarrow{\text{q.c.}} \frac{2}{\pi},$$

onde X_k é a função indicadora do evento que a agulha cruza alguma reta do piso na k -ésima tentativa. Portanto, a Lei dos Grandes Números pode ser usada em simulações de lançamentos de agulha para estimarmos o valor de π . Isto é, $\frac{2n}{X_1 + \cdots + X_n}$ se aproxima de π quando o número de tentativas, n , é

grande. Mais que isto, a Desigualdade de Tchebyshev nos diz que

$$\mathbb{P}\left(\left|\frac{X_1 + \cdots + X_n}{n} - \frac{2}{\pi}\right| > \varepsilon\right) \leq \frac{\mathbb{V}X_1}{n\varepsilon^2} < \frac{1}{4n\varepsilon^2}.$$

Ou seja, temos inclusive um certo controle do quão grande deve ser o número de lançamentos, n , para que uma aproximação com margem de erro ε tenha determinado nível de confiabilidade (no caso, $1 - \frac{1}{4n\varepsilon^2}$).¹³

Esta mesma ideia pode ser utilizada para se estimar, via Lei dos Grandes Números, diversas outras quantidades como no exemplo a seguir.

Exemplo 8.15. Seja $f : [0, 1] \rightarrow [0, 1]$ uma função integrável, gostaríamos de determinar quanto vale a integral $\int_0^1 f(x)dx$. Sejam $(X_n)_n$ e $(Y_n)_n$ duas sequências variáveis aleatórias independentes, todas elas com distribuição uniforme no intervalo $[0, 1]$ e $(Z_n)_n$ a sequência dada por $Z_n = \mathbb{1}_{\{f(X_n) > Y_n\}}$. Isto é, para todo $n \in \mathbb{N}$, (X_n, Y_n) são as coordenadas de um ponto sorteado uniformemente no quadrado $[0, 1]^2$ e Z_n é a variável que indica se tal ponto se encontra abaixo do gráfico da função f . Como a sequência $(Z_n)_n$ é i.i.d., pela Lei Forte dos Grandes Números,

$$\frac{Z_1 + \cdots + Z_n}{n} \xrightarrow{\text{q.c.}} \mathbb{E}Z_1 = \int_0^1 f(x)dx.$$

Ou seja, simulando distribuições uniformes no intervalo $[0, 1]$, podemos aproximar a integral definida $\int_0^1 f(x)dx$ por mais complicada que seja a função f . \triangle

Damos o nome de *Método de Monte Carlo* a qualquer cálculo que façamos via simulação (seja com computadores, lançando agulhas, dados, etc.), onde utilizamos a Lei dos Grandes Números para justificar o referido cálculo, como no exemplo acima. Tal ideia é utilizada em diversos campos do conhecimento, podendo ser aplicada desde o cálculo de velocidade de moléculas a probabilidades relacionadas a campeonatos de futebol.

¹³Este experimento já foi realizado por diversas personalidades ao longo do tempo, sendo que a provável primeira aproximação foi realizada pelo astrônomo suíço R. Wolf em 1850 que ao lançar uma agulha 5.000 vezes encontrou a aproximação $\pi \approx 3,1596$.

Números normais

Suponha que x tenha sido sorteado de modo uniforme em $[0, 1)$, o que podemos dizer sobre a frequência relativa com que cada dígito aparece na expansão decimal de x ?

De modo mais formal, seja U uma variável aleatória com distribuição uniforme em $[0, 1)$ e defina $(X_n)_n$, tomando valores em $\{0, 1, \dots, 9\}$, a sequência de dígitos na expansão decimal de U .

Como vimos no Lema 4.26 e na observação contida no último parágrafo da Seção 4.5, $(X_n)_n$ é uma sequência i.i.d. com distribuição uniforme no conjunto $\{0, 1, \dots, 9\}$. Portanto, para todo dígito $k \in \{0, 1, \dots, 9\}$, a sequência $(Z_n^k)_n$, onde $Z_n^k = 1_{\{X_n=k\}}$, também é i.i.d. com distribuição Bernoulli($\frac{1}{10}$). Pela Lei Forte dos Grandes Números,

$$\frac{Z_1^k + \dots + Z_n^k}{n} \xrightarrow{\text{q.c.}} \frac{1}{10}, \text{ para todo } k \in \{0, 1, \dots, 9\}.$$

Dizemos que um número é *normal na base 10* se todos os dígitos de sua expansão decimal aparecem com frequência relativa igual a $\frac{1}{10}$. Pela Lei Forte dos Grandes Números, um número sorteado uniformemente em $[0, 1)$ é normal na base 10, quase certamente. Observe que todo número racional é normal se, e somente se, sua dízima periódica contém todos os 10 dígitos e todos eles a mesma frequência de $\frac{1}{10}$. É sempre possível criarmos exemplos de números normais, o difícil é provar que um dado número é normal, por exemplo, acredita-se que e , π e $\sqrt{2}$ sejam normais apesar de não haver ainda uma prova.

Dado um número natural $b \geq 2$, podemos proceder de modo totalmente análogo e dizer que um número é *normal na base b* se todos os dígitos de sua expansão na base b aparecem com frequência relativa igual a $\frac{1}{b}$. Por exemplo, nenhum número do conjunto de Cantor (o conjunto C do Exemplo 3.30) é normal na base 3, pois todos esses têm a propriedade de não possuir o dígito 1 em sua expansão ternária. Assim como fizemos para a base 10, podemos

concluir que “quase todo” número é normal na base b .

Dizemos que um número é *absolutamente normal* se ele é normal em toda base b . Observe que um número sorteado uniformemente em $[0, 1)$ é absolutamente normal quase certamente, pois o evento de ser absolutamente normal é interseção enumerável de eventos com probabilidade 1.

8.5 Exercícios

§8.1

1. Se, no jogo de roleta, apostamos 1 ficha no número 27, o nosso ganho esperado é de $-\frac{2}{38}$ fichas. O que diz a Lei dos Grandes Números sobre o ganho acumulado de um jogador que repete esta aposta indefinidamente? E se ele variar o número apostado?

2. Temos dois dados honestos, um cúbico numerado de 1 a 6 e um octaédrico numerado de 1 a 8. Um destes dados é escolhido aleatoriamente e lançado n vezes.

- (a) A Lei dos Grandes Números pode ser usada para prever o frequência relativa com que aparece o número 6?
- (b) Descreva um critério que permita inferir qual dado foi escolhido sabendo-se apenas a frequência relativa do número 6.
- (c) Encontre um valor de n para o qual seja possível afirmar que a probabilidade de que o critério descrito no item anterior acerte seja de pelo menos $\frac{9}{10}$.

3. Exiba um exemplo de sequência de variáveis aleatórias ilustrando que a hipótese de variáveis não-correlacionadas não pode ser retirada na Lei Fraca de Tchebyshev.

4. Seja $(X_n)_n$ uma sequência de variáveis aleatórias independentes com $X_n \sim \mathcal{U}[0, n]$ para todo $n \in \mathbb{N}$. Defina a sequência $(Y_n)_n$, dada por $Y_n = \mathbb{1}_{\{X_{2n} > X_{2n-1}\}}$. Calcule o limite em probabilidade da sequência $(\frac{S_n}{n})$ quando $n \rightarrow \infty$, onde $S_n = Y_1 + \cdots + Y_n$.

5. Exiba um exemplo de sequência de variáveis aleatórias ilustrando que a hipótese de variâncias limitadas não pode ser retirada na Lei Fraca de Tchebyshev. Dica: Tente com variáveis normais.

§8.2

6. Sejam $(X_n)_n$ uma sequência de variáveis aleatórias i.i.d. com distribuição normal padrão. Calcule quanto vale quase certamente o limite

$$\lim_{n \rightarrow \infty} \frac{(aX_1 + b)^2 + \cdots + (aX_n + b)^2}{X_1^2 + \cdots + X_n^2}, \quad a, b \in \mathbb{R}.$$

7. Sejam $(X_n)_n$ uma sequência de variáveis aleatórias i.i.d. com distribuição $\mathcal{U}[0, 1]$, calcule o limite quase certo da média geométrica

$$\sqrt[n]{X_1 \cdots X_n}.$$

8. Seja $(X_n)_n$ uma sequência de variáveis aleatórias independentes com $X_n \sim \mathcal{U}[0, n]$. Defina $Z_n = \mathbb{1}_{\{X_{2n} > X_{2n+1}\}}$ e $S_n = Z_1 + \cdots + Z_n$.

- (a) Calcule $\lim_{n \rightarrow \infty} \frac{S_n}{n}$.
- (b) A convergência acima vale quase certamente ou apenas em probabilidade? Justifique.

9. Seja $(X_n)_n$ uma sequência de variáveis aleatórias independentes com $\mathbb{P}(X_n = n^2) = \frac{1}{n^3} = 1 - \mathbb{P}(X_n = 0)$ para todo $n \in \mathbb{N}$. Essa sequência satisfaz à Lei dos Grandes Números?

10. Seja $(X_n)_n$ uma sequência de variáveis aleatórias independentes com $\mathbb{P}(X_n = n^2) = \frac{1}{n^2} = 1 - \mathbb{P}(X_n = 0)$ para todo $n \in \mathbb{N}$. Essa sequência satisfaz à Lei dos Grandes Números?

11. Seja $(X_n)_n$ uma sequência de variáveis aleatórias independentes com $\mathbb{P}(X_n = n) = \mathbb{P}(X_n = -n) = \frac{1}{2n \log n}$ e $\mathbb{P}(X_n = 0) = 1 - \frac{1}{n \log n}$ para todo $n \in \mathbb{N}$. Mostre que $(X_n)_n$ satisfaz à Lei Fraca dos Grandes Números mas não satisfaz à Lei Forte.

§8.3

12. Seja $(X_n)_n$ uma sequência de variáveis aleatórias independentes duas a duas. Diga se vale a Lei Fraca ou Forte dos Grandes Números nos seguintes casos:

- (a) $\mathbb{P}(X_n = n) = \mathbb{P}(X_n = -n) = \frac{1}{2}$.
- (b) $\mathbb{P}(X_n = 2^n) = \mathbb{P}(X_n = -2^n) = 2^{-2n-1}$ e $\mathbb{P}(X_n = 0) = 1 - 2^{-2n}$.
- (c) $\mathbb{P}(X_n = n^{\frac{3}{8}}) = \mathbb{P}(X_n = -n^{\frac{3}{8}}) = \frac{1}{2}$.
- (d) $\mathbb{P}(X_n = n^{\frac{1}{4}}) = \mathbb{P}(X_n = -n^{\frac{1}{4}}) = \mathbb{P}(X_n = 0) = \frac{1}{3}$.

13. Seja $(X_n)_n$ uma sequência de variáveis aleatórias i.i.d. tais que $\mathbb{E}X_1 = +\infty$. Mostre que $\frac{S_n}{n} \xrightarrow{\text{q.c.}} +\infty$.

14 (Lei Forte para segundo momento uniformemente limitado). Seja $(X)_n$ uma sequência de variáveis aleatórias não-correlacionadas, tais que $\mathbb{E}X_n^2 < C$ para algum $C > 0$, para todo $n \in \mathbb{N}$. Vamos mostrar que

$$\frac{S_n - \mathbb{E}S_n}{n} \xrightarrow{\text{q.c.}} 0,$$

onde $S_n = X_1 + \cdots + X_n$ para todo $n \in \mathbb{N}$, seguindo os passos abaixo.

- (a) Mostre que, sem perda de generalidade, podemos supor que $\mathbb{E}X_n = 0$ para todo $n \in \mathbb{N}$.
- (b) Mostre que $\frac{S_{m^2}}{m^2} \xrightarrow{\text{q.c.}} 0$ quando $m \rightarrow \infty$.
- (c) Dado $n \in \mathbb{N}$, seja m o único número $m \in \mathbb{N}$ tal que $m^2 \leq n < (m+1)^2$ e defina $r_n = m^2$. Mostre que $\frac{S_{r_n}}{n} \xrightarrow{\text{q.c.}} 0$.
- (d) Mostre que

$$\mathbb{E}\left(\frac{S_n - S_{r_n}}{n}\right)^2 \leq \frac{2C}{n^{3/2}} + \frac{C}{n^2}.$$

- (e) Mostre que $\frac{S_n - S_{r_n}}{n} \xrightarrow{\text{q.c.}} 0$.
- (f) Conclua o exercício.

Capítulo 9

Teorema do Limite Central

Seja $(X_n)_n$ uma sequência i.i.d. de variáveis aleatórias. Pela Lei dos Grandes Números sabemos que a média observada $\frac{S_n}{n} = \frac{X_1 + \dots + X_n}{n}$ se aproxima de sua média μ para valores grandes de n , isto é,

$$\frac{S_n}{n} \approx \mu.$$

Porém, não é razoável esperar que $\frac{S_n}{n}$ seja exatamente igual a μ . Então a primeira pergunta que surge é sobre a flutuação da média observada, $\frac{S_n}{n}$, em torno de sua média μ . Tipicamente, essa diferença $\frac{S_n}{n} - \mu$ ocorre em qual escala? Nessa escala, podemos dizer como se distribui essa flutuação?

9.1 Teorema do Limite Central

Continuando a discussão do preâmbulo deste capítulo, não é difícil adivinhar a escala em que ocorre essa flutuação. De fato, sabemos que $\mathbb{E}S_n = n \mathbb{E}X_1 = n\mu$ e, denotando $\sigma^2 = \mathbb{V}X_1$, temos $\mathbb{V}S_n = n \mathbb{V}X_1 = n\sigma^2$, logo

$$\sigma(S_n) = \sigma\sqrt{n}.$$

Ou seja, a esperança da média observada é μ e seu desvio-padrão é $\frac{\sigma}{\sqrt{n}}$. Isso é uma indicação de que tipicamente as flutuações assumem valores da ordem $\frac{\sigma}{\sqrt{n}}$. Vamos supor que esse argumento está correto para tentar entender qual poderia ser o comportamento estatístico das flutuações nessa escala. Primeiro escrevemos

$$\frac{S_n}{n} = \mu + \frac{\sigma}{\sqrt{n}} Y_n,$$

de forma que $\mathbb{E}Y_n = 0$ e $\mathbb{V}Y_n = 1$. Será que a distribuição de Y_n se aproxima de alguma distribuição que não depende de n ? Observe que, se $X_n \sim \mathcal{N}(\mu, \sigma^2)$, vimos na Seção 4.3 que $S_n \sim \mathcal{N}(n\mu, n\sigma^2)$, logo $Y_n \sim \mathcal{N}(0, 1)$. Ou seja, pelo menos neste caso, $Y_n \xrightarrow{d} \mathcal{N}(0, 1)$. Uma das razões pelas quais a distribuição normal é tão importante é que essa aproximação vale para qualquer distribuição com segundo momento finito.

Teorema 9.1 (Teorema do Limite Central, caso i.i.d.). *Seja $(X_n)_{n \in \mathbb{N}}$ uma sequência de variáveis aleatórias i.i.d. não-degeneradas com segundo momento finito. Tome $S_n = X_1 + X_2 + \cdots + X_n$. Então,*

$$\frac{S_n - \mathbb{E}S_n}{\sqrt{\mathbb{V}S_n}} \xrightarrow{d} \mathcal{N}(0, 1). \quad (9.2)$$

Podemos reescrever o limite acima e obter

$$\frac{S_n}{n} \approx \mu + \frac{\sigma}{\sqrt{n}} \mathcal{N}(0, 1).$$

Ou seja, a escala em que a média observada $\frac{S_n}{n}$ flutua em torno de sua média μ é de fato dada por $\frac{\sigma}{\sqrt{n}}$. Ademais, seu comportamento nessa escala possui forte regularidade estatística, e sua distribuição se aproxima de uma normal padrão. Dito de outra forma, a distribuição de S_n pode ser aproximada por uma normal com mesma média e variância: $S_n \approx \mathcal{N}(\mathbb{E}S_n, \mathbb{V}S_n)$.

Enfatizamos que o teorema acima é muito abrangente, pois ele vale para *qualquer distribuição com segundo momento finito*. Ainda assim, ele não dá uma ideia do verdadeiro nível de generalidade com que o fenômeno

de aproximação à normal é observado na prática. Apesar de a hipótese $\mathbb{E}X_k^2 < \infty$ ser necessária para que (9.2) faça sentido, e abandonar a hipótese de independência estaria acima dos nossos objetivos, podemos questionar a necessidade de as variáveis da sequência $(X_n)_n$ terem a mesma distribuição.

Como regra geral, se n é grande e cada uma das X_k é pequena se comparada a $\sqrt{\mathbb{V}S_n}$, então a distribuição de $\frac{S_n - \mathbb{E}S_n}{\sqrt{\mathbb{V}S_n}}$ é aproximadamente uma normal padrão. Esse fenômeno ocorre em diversas situações, quando uma grandeza é determinada pela contribuição de muitíssimos fatores, cada um deles pequeno se comparado com o todo, e ocorre mesmo que esses fatores não tenham a mesma distribuição. Por isso a distribuição normal surge em tantos contextos: erros de medidas em experimentos feitos com cuidado profissional, altura das pessoas em uma população homogênea em sexo e etnia, erros de horário em relógios de alto padrão, etc...

O enunciado abaixo, ainda simples, vai além do caso de distribuições idênticas, aceitamos em troca a hipótese de terceiros momentos limitados.

Teorema 9.3. *Seja $(X_n)_{n \in \mathbb{N}}$ uma sequência de variáveis aleatórias independentes tais que, para algum $\varepsilon > 0$ e algum $M < \infty$, vale $\mathbb{E}|X_n^3| \leq M$ e $\mathbb{V}X_n \geq \varepsilon$ para todo n . Então,*

$$\frac{S_n - \mathbb{E}S_n}{\sqrt{\mathbb{V}S_n}} \xrightarrow{d} \mathcal{N}(0, 1).$$

O enunciado acima é um corolário do Teorema do Limite Central de Lyapunov, que será visto na Seção 9.3. Esse teorema é suficiente para a grande maioria das aplicações práticas. Sua prova é simples e bastante transparente.

Ainda sem questionar a hipótese de independência, poderíamos perguntar-nos se as hipóteses do Teorema de Lyapunov com respeito a variância e terceiro momento são realmente necessárias. A resposta é dada pelo Teorema do Limite Central de Lindeberg, visto na Seção 9.4. Ali vamos demonstrar o limite (9.2) sob hipóteses mínimas.

Se ao Teorema 9.1 agregarmos a hipótese de terceiro momento finito, ele

passa a ser um corolário do Teorema 9.3. Sem essa hipótese, será obtido como aplicação do Teorema do Limite Central de Lindeberg na Seção 9.4, ou como aplicação do Teorema da Continuidade de Lévy para funções características, que será vista mais adiante, no Capítulo 10.

O caso mais simples do Teorema do Limite Central é para distribuição de Bernoulli, conhecido como Teorema de De Moivre-Laplace. Sua demonstração requer apenas conhecimentos de Cálculo e alguma perseverança com contas, e este será o primeiro que veremos neste capítulo.

As três seções seguintes são independentes entre si, é possível ler qualquer uma delas mesmo tendo saltado as anteriores.

9.2 Teorema de De Moivre-Laplace

O exemplo mais simples da aproximação $S_n \approx \mathcal{N}(n\mu, n\sigma^2)$ é quando lançamos uma moeda honesta n vezes e contamos o número S_n de caras. Neste caso S_n tem distribuição $\text{Binom}(n, \frac{1}{2})$. Na Figura 9.1 vemos como essa distribuição,

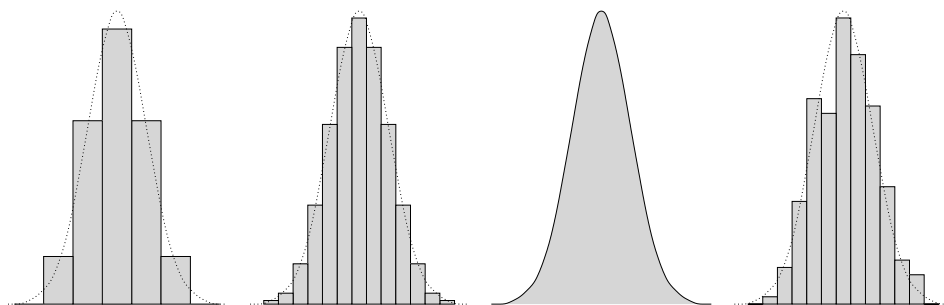


Figura 9.1. Função de probabilidade de $\frac{S_n - n\mu}{\sigma\sqrt{n}}$ para S_n com distribuições $\text{Binom}(4, \frac{1}{2})$ e $\text{Binom}(16, \frac{1}{2})$ para valores entre -3 e 3 . A área de cada retângulo é dada pela função de probabilidade. O terceiro gráfico é a função de densidade de uma normal padrão, assim como as linhas pontilhadas. O quarto gráfico representa as frequências relativas de $\frac{S_n - n\mu}{\sigma\sqrt{n}}$ para S_n com distribuição $\text{Binom}(16, \frac{1}{2})$, em um experimento real com 200 amostras.

devidamente normalizada, se aproxima da distribuição normal padrão.

Teorema 9.4 (Teorema de De Moivre-Laplace). *Seja $(X_n)_{n \in \mathbb{N}}$ uma sequência de variáveis aleatórias independentes, com distribuição Bernoulli(p), onde $p = 1 - q \in (0, 1)$, e tome $S_n = X_1 + \cdots + X_n$. Então para todos $a < b$*

$$\mathbb{P}\left(a < \frac{S_n - np}{\sqrt{npq}} \leq b\right) \rightarrow \frac{1}{\sqrt{2\pi}} \int_a^b e^{-\frac{x^2}{2}} dx.$$

O teorema foi provado inicialmente por De Moivre supondo que $p = \frac{1}{2}$ e generalizado por Laplace para $0 < p < 1$. De fato, ele segue de uma aproximação muito mais fina.¹⁴

$$\frac{n!}{k!(n-k)!} p^k q^{n-k} \asymp \frac{1}{\sqrt{2\pi npq}} e^{-\frac{x_k^2}{2}}, \quad (9.5)$$

onde

$$x_k = x_{n,k} = \frac{k - np}{\sqrt{npq}}.$$

Nesta seção, denotaremos por $a_{n,k} \asymp b_{n,k}$ a propriedade de que

$$\max_{k: |x_k| \leq M} \frac{a_{n,k}}{b_{n,k}} \rightarrow 1 \quad \text{e} \quad \min_{k: |x_k| \leq M} \frac{a_{n,k}}{b_{n,k}} \rightarrow 1$$

quando $n \rightarrow \infty$, para todo $M < \infty$ fixo.

Essa aproximação é muito mais fina porque diz não apenas que a probabilidade de a flutuação estar dentro de um certo intervalo é bem aproximada pela normal, mas também que a função de probabilidade de cada um dos possíveis valores dentro de um intervalo fixo é aproximada pela densidade da normal.

Para entender de onde vem essa aproximação, primeiro precisamos de uma expressão mais palpável para $n!$. Qual a probabilidade de obtermos

¹⁴Essa aproximação é conhecida como Teorema do Limite Local e é aparentemente a primeira vez na Matemática em que aparece a famosa função $e^{-x^2/2}$.

exatamente 60 caras se lançamos uma moeda 120 vezes? A resposta é fácil:

$$\mathbb{P}(S_{120} = 60) = \frac{120!}{60!60!} \times \frac{1}{2^{120}}.$$

Essa expressão é simples e matematicamente perfeita. Porém, quanto vale essa probabilidade? Mais de 0,15? Menos de 0,05? Entre 0,05 e 0,10? Boas calculadoras científicas não têm capacidade de calcular 120!. Num computador esse cálculo resulta em 0,072684979. Mas e se fossem 40.000 lançamentos da moeda? E se estivéssemos interessados em calcular $\mathbb{P}(S_{40.001} \leq 19.750)$, faríamos um cálculo semelhante 250 vezes para depois somar? As expressões com fatorial são perfeitas para a combinatória, mas impraticáveis para se fazer estimativas. Nosso socorro será a *fórmula de Stirling*

$$n! \asymp n^n e^{-n} \sqrt{2\pi n},$$

provada no Apêndice B. Essa aproximação de $n!$ pela fórmula de Stirling é muito boa mesmo sem tomar n grande. Ela aproxima $1!$ por 0,92, $2!$ por 1,92, $4!$ por 23,5, e a partir de $9! = 362.880$, que é aproximado por 359.537, o erro é menor que 1%. À primeira vista $n^n e^{-n} \sqrt{2\pi n}$ não parece mais agradável do que $n!$. Mas vejamos como isso ajuda com o cálculo anterior. Temos:

$$\frac{(2k)!}{k!k!} \times \frac{1}{2^{2k}} \asymp \frac{(2k)^{2k} e^{-2k} \sqrt{4\pi k}}{(k^k e^{-k} \sqrt{2\pi k})^2} \times \frac{1}{2^{2k}} = \frac{1}{\sqrt{\pi k}}$$

que para $k = 60$ pode até ser calculado à mão, obtendo-se 0,0728... Mais do que isso, acabamos de obter a aproximação (9.5) no caso particular em que $p = q = \frac{1}{2}$ e $x_k = 0$.

Vamos mostrar (9.5) para M fixo. Aplicando a fórmula de Stirling obtemos

$$\begin{aligned} \frac{n!}{k!(n-k)!} p^k q^{n-k} &\asymp \frac{n^n e^{-n} \sqrt{2\pi n} p^k q^{n-k}}{k^k e^{-k} \sqrt{2\pi k} (n-k)^{n-k} e^{k-n} \sqrt{2\pi(n-k)}} \\ &= \frac{\left(\frac{np}{k}\right)^k \left(\frac{nq}{n-k}\right)^{n-k}}{\sqrt{2\pi k(n-k)/n}}. \end{aligned}$$

Observe que, com a restrição $|x_k| < M$, vale

$$k = np + \sqrt{npq} x_k \asymp np \quad \text{e} \quad n - k = nq - \sqrt{npq} x_k \asymp nq.$$

Daí obtemos

$$\frac{n!}{k!(n-k)!} p^k q^{n-k} \asymp \frac{\left(\frac{np}{k}\right)^k \left(\frac{nq}{n-k}\right)^{n-k}}{\sqrt{2\pi npq}} = \frac{f(n, k)}{\sqrt{2\pi npq}}.$$

Vamos estudar $\log f(n, k)$. Reescrevendo cada termo,

$$\frac{np}{k} = 1 - \frac{\sqrt{npq} x_k}{k} \quad \text{e} \quad \frac{nq}{n-k} = 1 + \frac{\sqrt{npq} x_k}{n-k}.$$

A expansão de Taylor de $\log(1+x)$ até o termo de segunda ordem nos dá

$$\log(1+x) = x - \frac{x^2}{2} + r(x), \quad \text{onde } \frac{r(x)}{x^2} \rightarrow 0 \text{ quando } x \rightarrow 0.$$

Assim,

$$\begin{aligned} \log f(n, k) = & k \left(-\frac{\sqrt{npq} x_k}{k} - \frac{npq x_k^2}{2k^2} + r\left(\frac{\sqrt{npq} x_k}{k}\right) \right) + \\ & + (n-k) \left(\frac{\sqrt{npq} x_k}{n-k} - \frac{npq x_k^2}{2(n-k)^2} + r\left(\frac{\sqrt{npq} x_k}{n-k}\right) \right). \end{aligned}$$

Note que os primeiros termos se cancelam e, quando $n \rightarrow \infty$,

$$\log f(n, k) \asymp -\frac{npq x_k^2}{2k} - \frac{npq x_k^2}{2(n-k)} \asymp -\frac{qx_k^2}{2} - \frac{px_k^2}{2} = -\frac{x_k^2}{2}.$$

Daí segue que

$$f(n, k) \asymp e^{-\frac{x_k^2}{2}}$$

pois, sob a restrição $|x_k| < M$, podemos tomar a exponencial de ambos os lados e ainda manter a equivalência assintótica. Isso termina a prova de (9.5).

Somando sobre os possíveis valores de S_n , obtemos

$$\mathbb{P}\left(a < \frac{S_n - np}{\sqrt{npq}} \leq b\right) = \sum_{a < x_k \leq b} \mathbb{P}(S_n = k) = \sum_{a < x_k \leq b} \frac{n!}{k!(n-k)!} p^k q^{n-k},$$

onde os somatórios são sobre k com a condição sobre x_k , que é dado por $x_k = \frac{k - np}{\sqrt{npq}}$. Observando que

$$x_{k+1} - x_k = \frac{1}{\sqrt{npq}},$$

e substituindo (9.5), obtemos

$$\mathbb{P}\left(a < \frac{S_n - np}{\sqrt{npq}} \leq b\right) \asymp \sum_{a < x_k \leq b} \frac{e^{-\frac{x_k^2}{2}}}{\sqrt{2\pi npq}} = \frac{1}{\sqrt{2\pi}} \sum_{a < x_k \leq b} e^{-\frac{x_k^2}{2}} \cdot [x_{k+1} - x_k].$$

Finalmente, observamos que o somatório acima é uma soma de Riemann. Pelo Teorema A.6, ela se aproxima de $\frac{1}{\sqrt{2\pi}} \int_a^b e^{-\frac{x^2}{2}} dx$ quando $n \rightarrow \infty$. Isso termina a prova do Teorema 9.4.

9.3 Teorema do Limite Central de Lyapunov

Nesta seção apresentaremos uma versão de Teorema do Limite Central que, ainda sob a hipótese de independência, é a primeira versão que permite variáveis aleatórias com distribuições diferentes.

Teorema 9.6 (Teorema do Limite Central de Lyapunov). *Sejam $(X_n)_n$ variáveis aleatórias independentes com terceiros momentos finitos satisfazendo*

$$\frac{\sum_{j=1}^n \mathbb{E}|X_j - \mathbb{E}X_j|^3}{\left(\sum_{j=1}^n \mathbb{V}X_j\right)^{3/2}} \rightarrow 0, \text{ quando } n \rightarrow \infty.$$

Então,

$$\frac{S_n - \mathbb{E}S_n}{\sqrt{\mathbb{V}S_n}} \xrightarrow{d} \mathcal{N}(0, 1).$$

Pelo Teorema de Helly-Bray, basta mostrar que

$$\mathbb{E} \left[f \left(\frac{S_n - \mathbb{E}S_n}{\sqrt{\mathbb{V}S_n}} \right) \right] \rightarrow \int_{-\infty}^{\infty} f(x) \frac{e^{-x^2/2}}{\sqrt{2\pi}} dx \text{ quando } n \rightarrow \infty$$

para qualquer f tal que f, f', f'' e f''' sejam limitadas.

Podemos assumir, sem perda de generalidade, que $\mathbb{E}X_k = 0$. Escreva $\sigma_k = \sqrt{\mathbb{V}X_k}$. Considere $(Y_n)_n$ independentes, e também independentes de $(X_n)_n$, com a distribuição $\mathcal{N}(0, \sigma_k^2)$. (Aceitaremos sem prova existência de tal sequência no mesmo espaço de probabilidade.)

Escreva

$$W_n = \frac{Y_1 + \cdots + Y_n}{\sqrt{\mathbb{V}S_n}} \sim \mathcal{N}(0, 1) \quad \text{e} \quad Z_n = \frac{X_1 + \cdots + X_n}{\sqrt{\mathbb{V}S_n}}.$$

Fixe n , defina $Z^0 = W_n$ e, para $k = 1, \dots, n$, defina

$$U^k = Z^{k-1} - \frac{Y_k}{\sqrt{\mathbb{V}S_n}} \quad \text{e} \quad Z^k = U^k + \frac{X_k}{\sqrt{\mathbb{V}S_n}},$$

de modo que $Z^n = Z_n$. Agora,

$$\mathbb{E}[f(Z_n)] - \mathbb{E}[f(W_n)] = \mathbb{E}[f(Z^n)] - \mathbb{E}[f(Z^0)] = \sum_{k=1}^n \mathbb{E}[f(Z^k)] - \mathbb{E}[f(Z^{k-1})].$$

Usando a expansão de Taylor de f com resto de Lagrange,

$$\begin{aligned} f(Z^k) &= f\left(U_k + \frac{X_k}{\sqrt{\mathbb{V}S_n}}\right) = f(U^k) + f'(U^k) \frac{X_k}{\sqrt{\mathbb{V}S_n}} + \\ &\quad + \frac{f''(U_k)}{2} \frac{X_k^2}{\mathbb{V}S_n} + \frac{f'''(\theta^k)}{6} \frac{X_k^3}{(\mathbb{V}S_n)^{3/2}}, \end{aligned}$$

$$f(Z^{k-1}) = f(U_k + \frac{Y_k}{\sqrt{\mathbb{V}S_n}}) = f(U^k) + f'(U^k) \frac{Y_k}{\sqrt{\mathbb{V}S_n}} + \\ + \frac{f''(U_k)}{2} \frac{Y_k^2}{\mathbb{V}S_n} + \frac{f'''(\tilde{\theta}^k)}{6} \frac{Y_k^3}{(\mathbb{V}S_n)^{3/2}},$$

onde θ_k e $\tilde{\theta}_k$ vêm da expansão de Taylor e dependem de U_k , X_k e Y_k .

Observe que $\mathbb{E}X_k = \mathbb{E}Y_k$, $\mathbb{E}X_k^2 = \mathbb{E}Y_k^2$, que U_k é independente de X_k e Y_k , e recordemos que f e suas três primeiras derivadas são limitadas. Queremos tomar a esperança acima e subtrair. Como f é limitada, $f(U^k)$ é integrável e este primeiro termo se cancela. Além disso, $f'(U^k)$ é integrável e, usando a independência,

$$\mathbb{E}[f'(U^k)X_k] = \mathbb{E}[f'(U^k)] \cdot \mathbb{E}X_k = \mathbb{E}[f'(U^k)] \cdot \mathbb{E}Y_k = \mathbb{E}[f'(U^k)Y_k],$$

de forma que este termo também se cancela, bem como o terceiro termo pelo mesmo motivo. Portanto,

$$\mathbb{E}[f(Z^k)] - \mathbb{E}[f(Z^{k-1})] = \frac{\mathbb{E}[f'''(\theta_k)X_k^3] - \mathbb{E}[f'''(\tilde{\theta}_k)Y_k^3]}{6(\mathbb{V}S_n)^{3/2}}.$$

Tomando $C = \sup_x |f'''(x)|$, podemos estimar

$$\begin{aligned} \left| \mathbb{E}[f(Z^k)] - \mathbb{E}[f(Z^{k-1})] \right| &\leq \frac{C\mathbb{E}|X_k|^3 + C\mathbb{E}|Y_k|^3}{6(\mathbb{V}S_n)^{3/2}} \\ &\leq C \frac{\mathbb{E}|X_k|^3}{(\mathbb{V}S_n)^{3/2}}, \end{aligned}$$

onde na última desigualdade usamos que $\mathbb{E}|Y_k|^3 = \frac{4\sigma_k^3}{\sqrt{2\pi}} \leq 2\sigma_k^3$ e que

$$\sigma_k = (\mathbb{E}|X_k|^2)^{\frac{1}{2}} \leq (\mathbb{E}|X_k|^3)^{\frac{1}{3}}$$

pela desigualdade de Lyapunov. Finalmente, somando sobre k ,

$$\left| \mathbb{E}[f(Z^n)] - \mathbb{E}[f(Z^0)] \right| \leq \sum_{k=1}^n \left| \mathbb{E}[f(Z^k)] - \mathbb{E}[f(Z^{k-1})] \right| \leq C \frac{\sum_{k=1}^n \mathbb{E}|X_k|^3}{(\sum_{k=1}^n \mathbb{V}X_k)^{3/2}} \rightarrow 0$$

quando $n \rightarrow \infty$ por hipótese, o que conclui a prova do teorema.

9.4 Teorema do Limite Central de Lindeberg

Nesta seção provaremos a versão mais geral do Teorema do Limite Central no contexto de sequências de variáveis independentes, o chamado Teorema de Lindeberg.

Ao longo desta seção, sempre suporemos que $(X_n)_n$ é sequência de variáveis aleatórias definidas em um mesmo espaço de probabilidade, para cada $n \in \mathbb{N}$ denotamos $S_n = \sum_{k=1}^n X_k$, $\mu_k = \mathbb{E}X_k$, $\sigma_n^2 = \mathbb{V}X_n$, $s_n^2 = \mathbb{V}S_n$ e assumiremos que $s_n \rightarrow +\infty$.

Definição 9.7 (Condição de Lindeberg). Dizemos que a sequência de variáveis aleatórias $(X_n)_n$ satisfaz à *condição de Lindeberg* se

$$\lim_{n \rightarrow \infty} \frac{1}{s_n^2} \sum_{k=1}^n \int_{|X_k - \mu_k| > \varepsilon s_n} (X_k - \mu_k)^2 d\mathbb{P} = 0.$$

para todo $\varepsilon > 0$.

Agora estamos prontos para enunciar o Teorema de Lindeberg.

Teorema 9.8 (Teorema de Lindeberg). *Seja $(X_n)_n$ uma sequência de variáveis aleatórias independentes. Se a condição de Lindeberg é satisfeita, então*

$$\frac{S_n - \mathbb{E}S_n}{\sqrt{\mathbb{V}S_n}} \xrightarrow{d} \mathcal{N}(0, 1).$$

Ao final desta seção, enunciaremos uma versão mais geral, em que as variáveis

X_1, \dots, X_n que compõem S_n serão denotadas $X_{n,1}, \dots, X_{n,n}$ porque podem ser diferentes para cada n .

Demonstração do Teorema 9.1. Basta verificar que, no caso i.i.d. com segundo momento finito, a condição de Lindeberg é satisfeita. Escrevemos $\mu = \mathbb{E}X_1$ e $\sigma^2 = \mathbb{V}X_1$, assim $s_n^2 = n\sigma^2$. Usando o Teorema da Convergência Dominada,

$$\frac{1}{s_n^2} \sum_{k=1}^n \int_{|X_k - \mu| > \varepsilon s_n} (X_k - \mu)^2 d\mathbb{P} = \frac{1}{\sigma^2} \int_{|X_1 - \mu| > \varepsilon \sigma \sqrt{n}} (X_1 - \mu)^2 d\mathbb{P} \rightarrow 0,$$

pois $\{|X_1 - \mu| > \varepsilon \sigma \sqrt{n}\} \downarrow \emptyset$ quando $n \rightarrow \infty$. \square

Para o Teorema do Limite Central de Lyapunov, obtemos a versão abaixo que é mais geral do que aquela considerada na Seção 9.3.

Corolário 9.9 (Teorema do Limite Central de Lyapunov). *Seja $(X_n)_n$ uma sequência de variáveis aleatórias independentes. Se existe $\delta > 0$ tal que*

$$\lim_{n \rightarrow \infty} \frac{1}{s_n^{2+\delta}} \sum_{k=1}^n \mathbb{E}|X_k - \mu_k|^{2+\delta} = 0,$$

então

$$\frac{S_n - \mathbb{E}S_n}{\sqrt{\mathbb{V}S_n}} \xrightarrow{d} \mathcal{N}(0, 1).$$

Demonstração. Observe que

$$\begin{aligned} \frac{1}{s_n^{2+\delta}} \sum_{k=1}^n \mathbb{E}|X_k - \mu_k|^{2+\delta} &\geq \frac{1}{s_n^{2+\delta}} \sum_{k=1}^n \int_{|X_k - \mu_k| > \varepsilon s_n} |X_k - \mu_k|^{2+\delta} d\mathbb{P} \\ &= \frac{1}{s_n^{2+\delta}} \sum_{k=1}^n \int_{|X_k - \mu_k| > \varepsilon s_n} (X_k - \mu_k)^2 |X_k - \mu_k|^\delta d\mathbb{P} \\ &\geq \frac{\varepsilon^\delta}{s_n^2} \sum_{k=1}^n \int_{|X_k - \mu_k| > \varepsilon s_n} (X_k - \mu_k)^2 d\mathbb{P} \end{aligned}$$

para todo $\varepsilon > 0$ e, portanto, vale a condição de Lindeberg. \square

Apesar de ser mais simples de ser verificada na prática, a condição de Lyapunov é mais restritiva que a de Lindeberg, como vemos no seguinte exemplo.

Exemplo 9.10. Seja $(X_n)_n$ uma sequência de variáveis aleatórias i.i.d. com distribuição comum $\mathbb{P}(X = k) = \frac{C}{k^3 \log^2 k}$ para todo $k \in \mathbb{N}$, onde C é a constante tal que $C^{-1} = \sum_{k=1}^{\infty} \frac{1}{k^3 \log^2 k}$. Podemos verificar que $\mathbb{E}X^2 < \infty$, logo a sequência $(X_n)_n$ satisfaz à condição de Lindeberg conforme visto na demonstração do Teorema 9.1. Por outro lado, $\mathbb{E}|X|^{2+\delta} = +\infty$ para todo $\delta > 0$, portanto a condição de Lyapunov nunca é satisfeita. \triangle

A condição de Lindeberg é uma forma de quantificar a ideia de que a contribuição de cada parcela $\frac{X_k - \mu_k}{s_n}$ na soma $\frac{S_n - \mathbb{E}S_n}{s_n}$ é pequena e uniformemente limitada quando n se torna grande. Mais precisamente, ela diz que as contribuições para a esperança desvio quadrático, mesmo quando somadas, provêm de desvios relativamente pequenos se comparados com o desvio-padrão de S_n . A proposição abaixo diz que, neste caso, a contribuição de cada parcela na variância de S_n é desprezível.

Proposição 9.11. *Seja $(X_n)_n$ uma sequência de variáveis aleatórias satisfazendo à condição de Lindeberg. Então, $\frac{\sigma_n^2}{s_n^2} \rightarrow 0$.*

Omitimos a prova pois será um caso particular da Proposição 9.14.

Exemplo 9.12. Seja $(X_n)_n$ uma sequência de variáveis independentes, com $X_1 \sim \mathcal{N}(0, 1)$ e $X_n \sim \mathcal{N}(0, 2^{n-2})$ para todo $n \geq 2$. Como $s_n^2 = 2^{n-1}$,

$$\lim_{n \rightarrow \infty} \frac{\sigma_n^2}{s_n^2} = \lim_{n \rightarrow \infty} \frac{2^{n-2}}{2^{n-1}} = \frac{1}{2}.$$

Pela Proposição 9.11, a condição de Lindeberg não é satisfeita. Entretanto, vale (9.2), pois S_n tem distribuição normal para todo n . \triangle

O exemplo acima ilustra que a condição de Lindeberg não é necessária para que valha a conclusão do Teorema do Limite Central. O Teorema de Feller, que enunciaremos abaixo sem prova, diz que esse tipo de exemplo somente

pode ocorrer quando σ_n^2 é responsável por uma fração não-desprezível de s_n^2 . O leitor interessado na prova deste teorema pode consultá-la na Seção III.4 de Shiryaev (1996) ou na Seção XV.6 de Feller (1971).

Teorema 9.13 (Teorema de Feller). *Seja $(X_n)_n$ uma sequência de variáveis aleatórias independentes. Se $\frac{S_n - \mathbb{E}S_n}{\sqrt{\mathbb{V}S_n}} \xrightarrow{d} \mathcal{N}(0, 1)$ e $\frac{\sigma_n^2}{s_n^2} \rightarrow 0$ quando $n \rightarrow \infty$, então a condição de Lindeberg é satisfeita.*

Concluimos esta seção com a versão do Teorema de Lindeberg para arranjos triangulares de variáveis aleatórias. Para isto, a partir de agora consideremos uma sequência triangular de variáveis aleatórias $(X_{k,n})$, $n \in \mathbb{N}$ e $k = 1, \dots, n$. Definimos $\mu_{k,n} = \mathbb{E}X_{k,n}$, $\sigma_{k,n}^2 = \mathbb{V}X_{k,n}$, $S_n = \sum_{k=1}^n X_{k,n}$ e $s_n^2 = \mathbb{V}S_n$.

Dizemos que o arranjo $(X_{k,n})_{n,k}$ satisfaz à *condição de Lindeberg* se

$$\lim_{n \rightarrow \infty} \frac{1}{s_n^2} \sum_{k=1}^n \int_{|X_{k,n} - \mu_{k,n}| > \varepsilon s_n} (X_{k,n} - \mu_{k,n})^2 d\mathbb{P} = 0$$

para todo $\varepsilon > 0$.

Observe que, dada uma sequência $(X_n)_n$ de variáveis aleatórias satisfazendo à condição de Lindeberg para sequências, definida no início desta seção, podemos definir o arranjo triangular $(Z_{k,n})_{n,k}$ por $Z_{k,n} = X_k$, e esse arranjo satisfará à condição de Lindeberg para arranjos, definida logo acima. Assim, o Teorema 9.8 é corolário desse que enunciaremos e provaremos abaixo. Para isso, vamos precisar da seguinte generalização da Proposição 9.11.

Proposição 9.14. *Seja $(X_{k,n})_{n,k}$ um arranjo triangular de variáveis aleatórias satisfazendo à condição de Lindeberg. Então,*

$$\lim_{n \rightarrow \infty} \max_{1 \leq k \leq n} \frac{\sigma_{k,n}^2}{s_n^2} = 0.$$

Demonstração. Defina $Y_{k,n} = \frac{X_{k,n} - \mu_{k,n}}{s_n}$ para $k = 1, \dots, n$. Dado qualquer

$\varepsilon > 0$,

$$\begin{aligned}
\max_{1 \leq k \leq n} \frac{\sigma_{k,n}^2}{s_n^2} &= \max_{1 \leq k \leq n} \mathbb{E} Y_{k,n}^2 \\
&\leq \varepsilon^2 + \max_{1 \leq k \leq n} \int_{|Y_{k,n}| > \varepsilon} Y_{k,n}^2 d\mathbb{P} \\
&\leq \varepsilon^2 + \sum_{k=1}^n \int_{|Y_{k,n}| > \varepsilon} Y_{k,n}^2 d\mathbb{P} \\
&= \varepsilon^2 + \frac{1}{s_n^2} \sum_{k=1}^n \int_{|X_{k,n} - \mu_{k,n}| > \varepsilon s_n} (X_{k,n} - \mu_{k,n})^2 d\mathbb{P}.
\end{aligned}$$

Como a condição de Lindeberg é satisfeita,

$$\limsup_{n \rightarrow \infty} \max_{1 \leq k \leq n} \frac{\sigma_{k,n}^2}{s_n^2} \leq \varepsilon^2, \text{ para todo } \varepsilon > 0.$$

O que conclui a prova dessa proposição. \square

Teorema 9.15 (Teorema de Lindeberg para arranjos triangulares). *Seja $(X_{k,n})_{n,k}$, $n \in \mathbb{N}$ e $k = 1, \dots, n$, um arranjo triangular de variáveis aleatórias independentes. Se a condição de Lindeberg é satisfeita, então*

$$\frac{S_n - \mathbb{E}S_n}{\sqrt{\mathbb{V}S_n}} \xrightarrow{d} \mathcal{N}(0, 1).$$

Demonstração. Sem perda de generalidade, podemos supor que $\mu_{k,n} = 0$ e $s_n = 1$ para todos $n \in \mathbb{N}$ e $k = 1, \dots, n$. Queremos mostrar que $S_n \xrightarrow{d} \mathcal{N}(0, 1)$. Pelo Teorema de Helly-Bray, é suficiente mostrar que $\mathbb{E}[f(S_n)] \rightarrow \mathbb{E}[f(N)]$, para toda função $f: \mathbb{R} \rightarrow \mathbb{R}$ tal que f, f', f'', f''' são contínuas e limitadas, onde $N \sim \mathcal{N}(0, 1)$. Fixe f com tais propriedades.

Seja $(N_{k,n})_{n,k}$, $n \in \mathbb{N}$ e $k = 1, \dots, n$ arranjo triangular de variáveis aleatórias independentes entre si, independentes de $(X_{k,n})_{n,k}$ e $N_{k,n} \sim \mathcal{N}(0, \sigma_{k,n}^2)$ (tomando um espaço-produto, podemos supor que todas essas variáveis

estão definidas no mesmo espaço de probabilidade). Observe que

$$\sum_{k=1}^n N_{k,n} \sim \mathcal{N}(0, 1),$$

logo

$$\mathbb{E} \left[f \left(\sum_{k=1}^n N_{k,n} \right) \right] = \mathbb{E}[f(N)].$$

Fixado $n \in \mathbb{N}$, para cada $k = 1, \dots, n$, definimos a variável

$$Z_{k,n} = \sum_{j=1}^{k-1} X_{j,n} + \sum_{j=k+1}^n N_{j,n}$$

e observe que $Z_{n,n} + X_{n,n} = S_n$ e $Z_{1,n} + N_{1,n} \sim \mathcal{N}(0, 1)$. Observando também que $Z_{k,n} + X_{k,n} = Z_{k+1,n} + N_{k+1,n}$, obtemos

$$\begin{aligned} |\mathbb{E}[f(S_n)] - \mathbb{E}[f(N)]| &= |\mathbb{E}[f(Z_{n,n} + X_{n,n})] - \mathbb{E}[f(Z_{1,n} + N_{1,n})]| \\ &= \left| \sum_{k=1}^n \mathbb{E}[f(Z_{k,n} + X_{k,n})] - \mathbb{E}[f(Z_{k,n} + N_{k,n})] \right| \\ &\leq \sum_{k=1}^n \left| \mathbb{E}[f(Z_{k,n} + X_{k,n})] - \mathbb{E}[f(Z_{k,n} + N_{k,n})] \right|. \end{aligned}$$

A ideia é mostrar que, ao trocarmos as variáveis $(X_{k,n})$ por $(N_{k,n})$, uma de cada vez para $k = 1, \dots, n$, a distância entre $Z_{k,n} + X_{k,n}$ e $Z_{k,n} + N_{k,n}$ será pequena, mesmo depois de somar sobre k .

Defina $g : \mathbb{R} \rightarrow \mathbb{R}$ como

$$g(h) = \sup_{x \in \mathbb{R}} \left| f(x) - f(x+h) - f'(x)h - \frac{f''(x)h^2}{2} \right|.$$

Pela Fórmula de Taylor com resto de Lagrange de terceira ordem,

$$f(x) - f(x+h) - f'(x)h - \frac{f''(x)}{2}h^2 = \frac{f'''(y)}{3!}h^3,$$

para algum $y \in (x-h, x+h)$. Como f''' é limitada, existe constante $C > 0$, tal que $g(h) \leq C|h|^3$ para todo $h \in \mathbb{R}$.

Agora, pela fórmula de Taylor com resto de Lagrange de segunda ordem,

$$f(x) - f(x+h) - f'(x)h - \frac{f''(x)}{2}h^2 = \frac{f''(y) - f''(x)}{2}h^2,$$

para algum $y \in (x-h, x+h)$. Novamente, como f'' é limitada, existe uma outra constante $M > 0$ tal que $g(h) \leq M|h|^2$ para todo $h \in \mathbb{R}$. Essa cota é melhor que a anterior quando h não é muito pequeno.

Por outro lado, a partir da definição de g , podemos verificar que

$$\left| f(x+h_1) - f(x+h_2) - f'(x)(h_2-h_1) - \frac{f''(x)(h_2^2-h_1^2)}{2} \right| \leq g(h_1) + g(h_2).$$

Aplicando à diferença das esperanças que queremos estimar, usaremos as cotas acima com $x = Z_{k,n}$, $h_1 = X_{k,n}$, e $h_2 = N_{k,n}$. Da desigualdade acima,

$$\begin{aligned} |\mathbb{E}[f(Z_{k,n} + X_{k,n}) - f(Z_{k,n} + N_{k,n})]| &\leq \mathbb{E}[g(X_{k,n}) + g(N_{k,n})] + \\ &+ |\mathbb{E}[f'(Z_{k,n})(X_{k,n} - N_{k,n})]| + \left| \mathbb{E}\left[\frac{1}{2}f''(Z_{k,n})(X_{k,n}^2 - N_{k,n}^2)\right] \right|. \end{aligned}$$

Observe que $Z_{k,n}$ é independente de $X_{k,n}$ e $N_{k,n}$. Como $\mathbb{E}[X_{k,n} - N_{k,n}] = \mathbb{E}[X_{k,n}^2 - N_{k,n}^2] = 0$, as parcelas envolvendo f' e f'' na estimativa acima são nulas. Portanto,

$$|\mathbb{E}[f(S_n)] - \mathbb{E}[f(N)]| \leq \sum_{k=1}^n (\mathbb{E}[g(X_{k,n})] + \mathbb{E}[g(N_{k,n})]).$$

Dessa forma, para concluir a demonstração basta mostrar que

$$\lim_{n \rightarrow \infty} \sum_{k=1}^n \mathbb{E}[g(X_{k,n})] = 0 \quad \text{e} \quad \lim_{n \rightarrow \infty} \sum_{k=1}^n \mathbb{E}[g(N_{k,n})] = 0.$$

Começemos pelo primeiro limite. Seja $\varepsilon > 0$. Vamos estimar separando valores de X pequenos dos demais:

$$\begin{aligned} \mathbb{E}[g(X_{k,n})] &= \int_{|X_{k,n}| \leq \varepsilon} g(X_{k,n}) \, d\mathbb{P} + \int_{|X_{k,n}| > \varepsilon} g(X_{k,n}) \, d\mathbb{P} \\ &\leq C \int_{|X_{k,n}| \leq \varepsilon} |X_{k,n}|^3 \, d\mathbb{P} + M \int_{|X_{k,n}| > \varepsilon} X_{k,n}^2 \, d\mathbb{P} \\ &\leq \varepsilon C \int_{\Omega} X_{k,n}^2 \, d\mathbb{P} + M \int_{|X_{k,n}| > \varepsilon} X_{k,n}^2 \, d\mathbb{P} \\ &\leq \varepsilon C \sigma_{k,n}^2 + M \int_{|X_{k,n}| > \varepsilon} X_{k,n}^2 \, d\mathbb{P}. \end{aligned}$$

Na primeira desigualdade, utilizamos a cota $g(h) \leq C|h|^3$ para a primeira integral e $g(h) \leq Mh^2$ para a segunda. Somando em k , tomando o limite $n \rightarrow \infty$ e usando a condição de Lindeberg, obtemos

$$\limsup_{n \rightarrow \infty} \sum_{k=1}^n \mathbb{E}[g(X_{k,n})] \leq \varepsilon C + M \lim_{n \rightarrow \infty} \sum_{k=1}^n \int_{|X_{k,n}| > \varepsilon} X_{k,n}^2 \, d\mathbb{P} = \varepsilon C.$$

Como a desigualdade acima é válida para todo $\varepsilon > 0$,

$$\lim_{n \rightarrow \infty} \sum_{k=1}^n \mathbb{E}[g(X_{k,n})] = 0.$$

Para a estimativa do segundo limite, com $N_{k,n}$ no lugar de $X_{k,n}$, procedemos de modo idêntico e obtemos

$$\lim_{n \rightarrow \infty} \sum_{k=1}^n \mathbb{E}[g(N_{k,n})] \leq \varepsilon C + M \lim_{n \rightarrow \infty} \sum_{k=1}^n \int_{|N_{k,n}| > \varepsilon} N_{k,n}^2 \, d\mathbb{P}.$$

Apesar de não sabermos de antemão se $(N_{k,n})_{n,k}$ satisfaz à condição de Lindeberg, podemos fazer a seguinte estimativa

$$\begin{aligned} \sum_{k=1}^n \int_{|N_{k,n}| > \varepsilon} N_{k,n}^2 \, d\mathbb{P} &\leq \frac{1}{\varepsilon} \sum_{k=1}^n \mathbb{E}|N_{k,n}|^3 = \frac{\mathbb{E}|N|^3}{\varepsilon} \sum_{k=1}^n \sigma_{k,n}^3 \\ &\leq \frac{\mathbb{E}|N|^3}{\varepsilon} \left(\max_{1 \leq k \leq n} \sigma_{k,n} \right) \sum_{k=1}^n \sigma_{k,n}^2 = \frac{\mathbb{E}|N|^3}{\varepsilon} \left(\max_{1 \leq k \leq n} \sigma_{k,n} \right) \rightarrow 0, \end{aligned}$$

pois como vale a condição de Lindeberg para $(X_{k,n})_{n,k}$, podemos evocar a Proposição 9.14. Isto mostra que

$$\lim_{n \rightarrow \infty} \sum_{k=1}^n \mathbb{E}[g(N_{k,n})] = 0,$$

o que conclui a prova do Teorema de Lindeberg. \square

Observamos que na maioria dos livros-texto em que se demonstra o Teorema de Lindeberg, usam-se funções características. Um dos poucos que conhecemos em que se faz a prova de maneira semelhante à aqui apresentada, é Billingsley, 1968, e apenas na primeira edição.

9.5 Exercícios

§ 9.1

1. Um par de dados honestos é lançado 180 vezes por hora.

- (a) Qual a probabilidade aproximada de que 25 ou mais lançamentos tenham tido soma 7 na primeira hora?
- (b) Qual a probabilidade aproximada de que entre 700 e 750 lançamentos tenham tido soma 7 durante 24 horas?

2. Imagine um modelo idealizado com M eleitores, dos quais M_A pretendem votar no candidato A . Suponha que seja possível sortear um desses eleitores

ao acaso, e de forma equiprovável. Definimos

$$X = \begin{cases} 1, & \text{caso o eleitor sorteado vá votar no candidato } A, \\ 0, & \text{caso contrário.} \end{cases}$$

Deseja-se estimar a proporção $p = \frac{M_A}{M}$ de eleitores do candidato A , que é desconhecida. Para isso, repete-se este processo N vezes, obtendo-se X_1, \dots, X_N . Para estimar o valor de p considera-se

$$\hat{p}_N = \frac{X_1 + \dots + X_N}{N}.$$

Supomos *a priori* que p é bem próximo de $\frac{1}{2}$, de forma que $\mathbb{V}X \approx \frac{1}{4}$. Se entrevistamos $N = 2500$ eleitores, calcule aproximadamente a probabilidade de essa pesquisa cometer um erro $|\hat{p}_N - p|$ maior que 0,01.

3. A quantidade de uvas-passas encontradas em cada panetone de uma determinada marca é independente dos demais panetones e segue a distribuição de Poisson com parâmetro $\lambda = 25$ (ou seja, têm esperança igual à variância, igual a λ). Um grupo de estudantes de férias resolve estimar o valor de λ , uma vez que o mesmo é desconhecido para eles. Para isso, vão contar as uvas-passas de uma amostra de $N = 625$ panetones e registrar o resultado de cada contagem X_1, \dots, X_N . A estimativa $\hat{\lambda}_N$ para o valor de λ que os estudantes vão adotar será dada por

$$\hat{\lambda}_N = \frac{X_1 + \dots + X_N}{N}.$$

- (a) Qual é o valor aproximado da probabilidade de que o valor $\hat{\lambda}_N$ esteja entre 24,8 e 25,4?
- (b) Para que o erro $|\hat{\lambda}_N - \lambda|$ fosse menor que 0,075 com probabilidade pelo menos igual a 0,8664, qual deveria ser o número N de panetones examinados?

4. Use o Teorema do Limite Central para verificar que

$$\lim_{n \rightarrow \infty} e^{-n} \sum_{k=0}^n \frac{2n^k}{k!} = 1.$$

5. Se lançamos 10.000 vezes uma moeda honesta, calcule aproximadamente a probabilidade de que o número de vezes que se obtém coroa seja no mínimo 4.893 e no máximo 4.967.

§ 9.2

6. Sejam $(X_n)_n$ i.i.d. com $\mathbb{P}(X_1 = +1) = \mathbb{P}(X_1 = -1) = \frac{1}{2}$ e considere o passeio aleatório dado por $S_0 = 0$ e $S_n = X_1 + \cdots + X_n$. Seja Z_n o número de vezes que o passeio aleatório retorna ao ponto inicial $x = 0$ até o tempo n . Mostre que $\lim_n \mathbb{E}Z_n = +\infty$.

7. Seja τ o primeiro tempo de retorno à origem do passeio aleatório simples simétrico definido no exercício acima. Mostre que, quando $n \rightarrow \infty$,

$$\mathbb{P}(\tau > 2n) \asymp \frac{1}{\sqrt{\pi n}} \quad \text{e} \quad \mathbb{P}(\tau = 2n) \asymp \frac{1}{2\sqrt{\pi n^{\frac{3}{2}}}}.$$

Dica: No Capítulo 1, provamos que $\mathbb{P}(\tau > 2n) = \mathbb{P}(S_{2n} = 0)$.

§ 9.3

8. Seja $(X_n)_n$ uma sequência de variáveis aleatórias independentes, mostre que vale (9.2) nos seguintes casos:

- (a) $X_n \sim \mathcal{U}[0, n]$;
- (b) $\mathbb{P}(X_n = n) = \mathbb{P}(X_n = -n) = \frac{1}{2}$.

9. Seja $(X_n)_n$ uma sequência de variáveis aleatórias independentes tais que $X_n \sim \mathcal{U}[0, 1]$ para n par e $X_n \sim \mathcal{U}[0, 2]$ para n ímpar. Mostre que vale (9.2).

10. Seja $(Y_n)_n$ uma sequência de variáveis aleatórias independentes, com $Y_n \sim \mathcal{U}[-n, n]$ e defina $X_n = \sin Y_n$. Vale (9.2)?

§ 9.4

11. Sejam X_1, \dots, X_n, \dots variáveis aleatórias independentes tais que

$$\mathbb{P}(X_n = n^\alpha) = \mathbb{P}(X_n = -n^\alpha) = \frac{1}{6n^{2(\alpha-1)}} \quad \text{e} \quad \mathbb{P}(X_n = 0) = 1 - \frac{1}{3n^{2(\alpha-1)}}.$$

Mostre que a sequência $(X_n)_n$ satisfaz à condição de Lindeberg se, e somente se, $\alpha < \frac{3}{2}$.

12. Dê um exemplo de uma sequência $(X_n)_n$ de variáveis aleatórias independentes, para a qual vale (9.2) mas não vale a condição de Lindeberg.

Dica: Tente com variáveis normais.

13. Dê um exemplo de uma sequência $(X_n)_n$ de variáveis aleatórias independentes com média zero e variância um, para a qual não vale (9.2).

Dica: Tente com $\mathbb{P}(X_n^2 = n^2) = n^{-2}$.

Capítulo 10

Transformadas

A função geradora de momentos e a função característica estão entre os exemplos mais importantes de *transformadas*. A ideia geral de transformada é mapear certos objetos em objetos de outro tipo e outras propriedades, onde determinadas análises são possivelmente mais fáceis. Isso ficará claro nos exemplos e aplicações. A função geradora de momentos é a instância da *transformada de Laplace* de uma distribuição em \mathbb{R} , e a função característica é a *transformada de Fourier*.

10.1 Função geradora de momentos

Definição 10.1. Seja X uma variável aleatória. Define-se a *função geradora de momentos de X* como a função $M_X : \mathbb{R} \rightarrow [0, +\infty]$ dada por

$$M_X(t) = \mathbb{E}[e^{tX}].$$

Pelo Teorema 5.35, podemos calcular a função geradora de momentos por

$$M_X(t) = \sum_x e^{tx} \cdot \mathbb{P}(X = x)$$

se X é discreta. Pelo Teorema 5.38,

$$M_X(t) = \int_{-\infty}^{\infty} e^{tx} f_X(x) dx$$

se X é absolutamente contínua com densidade f_X .

Exemplo 10.2 (Bernoulli). Se $X \sim \text{Bernoulli}(p)$, então

$$M_X(t) = pe^t + 1 - p = 1 + p(e^t - 1). \quad \triangle$$

Exemplo 10.3 (Geométrica). Se $X \sim \text{Geom}(p)$, então

$$M_X(t) = \sum_{n=1}^{\infty} e^{tn} p(1-p)^{n-1} = \begin{cases} \frac{p}{e^{-t} + p - 1}, & t < \log \frac{1}{1-p}, \\ +\infty, & t \geq \log \frac{1}{1-p}. \end{cases} \quad \triangle$$

Exemplo 10.4 (Poisson). Se $X \sim \text{Poisson}(\lambda)$, então

$$M_X(t) = \sum_{n=0}^{\infty} e^{tn} \frac{e^{-\lambda} \lambda^n}{n!} = e^{-\lambda} \sum_{n=0}^{\infty} \frac{(\lambda e^t)^n}{n!} = e^{-\lambda} e^{\lambda e^t} = e^{\lambda(e^t - 1)}. \quad \triangle$$

Proposição 10.5. Se X e Y são independentes, então

$$M_{X+Y}(t) = M_X(t) \cdot M_Y(t)$$

para todo t onde ambas M_X e M_Y estejam definidas.

Demonstração. Como X e Y são independentes, e^{tX} e e^{tY} também o são. Logo podemos escrever

$$M_{X+Y}(t) = \mathbb{E}[e^{t(X+Y)}] = \mathbb{E}[e^{tX} \cdot e^{tY}] = \mathbb{E}[e^{tX}] \mathbb{E}[e^{tY}] = M_X(t) \cdot M_Y(t). \quad \square$$

Exemplo 10.6 (Binomial). Se $X \sim \text{Binom}(n, p)$, então X é distribuída como a soma de n variáveis X_1, \dots, X_n independentes com distribuição Bernoulli(p). Portanto,

$$M_X(t) = M_{X_1}(t) \cdots M_{X_n}(t) = [1 + p(e^t - 1)]^n. \quad \triangle$$

Proposição 10.7. *Se M_X é finita em algum intervalo $(-\varepsilon, +\varepsilon)$, então os momentos de X podem ser obtidos através das derivadas de M_X por*

$$\mathbb{E}X^k = M_X^{(k)}(0), \quad k = 1, 2, 3, \dots$$

Demonstração. Para lembrar da fórmula é interessante entender a ideia da prova:

$$\frac{d^k}{dt^k} M_X(t) = \frac{d^k}{dt^k} \mathbb{E}[e^{tX}] = \mathbb{E}\left[\frac{d^k}{dt^k} e^{tX}\right] = \mathbb{E}[X^k e^{tX}].$$

No caso de X ser uma variável aleatória simples, essa é a demonstração, pois a esperança é uma soma finita e podemos derivar dentro da soma. No caso geral, há que se justificar a derivada dentro da esperança.

Para continuar a demonstração, o leitor tem que ter passado pela Seção 5.3.

Vamos mostrar que a fórmula acima para todo $t \in (-\varepsilon, +\varepsilon)$, por indução em k . Para $k = 0$, a identidade vale trivialmente. Suponhamos a identidade acima válida para $k \in \mathbb{N}_0$. Escrevemos $g_x(t) = x^k e^{tx}$ e $g'_x(t) = x^{k+1} e^{tx}$. Temos

$$\frac{d}{dt} M_X^{(k)}(t) = \frac{d}{dt} \mathbb{E}[g_X(t)] = \lim_{h \rightarrow 0} \mathbb{E}\left[\frac{g_X(t+h) - g_X(t)}{h}\right].$$

Se pudermos comutar a esperança e o limite, teremos

$$M_X^{(k+1)}(t) = \mathbb{E}\left[\lim_{h \rightarrow 0} \frac{g_X(t+h) - g_X(t)}{h}\right] = \mathbb{E}[g'_X(t)] = \mathbb{E}[X^{k+1} e^{tX}].$$

Para aplicar o Teorema da Convergência Dominada, tomamos uma sequência qualquer $h_n \rightarrow 0$, e basta dominar o termo aleatório $|\frac{g_X(t+h) - g_X(t)}{h}|$ por uma variável aleatória integrável. Ora, pelo Teorema do Valor Médio,

$$\frac{g_x(t+h) - g_x(t)}{h} = g'_x(\theta),$$

onde $\theta \in [t, t+h]$ depende de x, t e h . Tomando $\delta = \frac{\varepsilon - |t|}{3}$, para $|h| < \delta$ temos

$$|g'_x(\theta)| \leq |x|^{k+1} e^{(\varepsilon - 2\delta)|x|} \leq C e^{(\varepsilon - \delta)|x|} \quad \text{para todo } x \in \mathbb{R},$$

onde C depende de ε e t . Da hipótese segue que $\mathbb{E}[e^{(\varepsilon-\delta)|X|}] < \infty$, concluindo a demonstração. \square

Nos exemplos abaixo, ilustramos como calcular $\mathbb{E}X$ e $\mathbb{V}X$ para algumas distribuições cujas funções geradoras de momento já nos são conhecidas.

Exemplo 10.8 (Geométrica). Se $X \sim \text{Geom}(p)$, então

$$\mathbb{E}X = M'_X(0) = \frac{1}{p}, \quad \mathbb{E}X^2 = M''_X(0) = \frac{2}{p^2} - \frac{1}{p}, \quad \mathbb{V}X = \mathbb{E}X^2 - (\mathbb{E}X)^2 = \frac{1-p}{p^2}. \quad \triangle$$

Exemplo 10.9 (Poisson). Se $X \sim \text{Poisson}(\lambda)$, então

$$\mathbb{E}X = M'_X(0) = \lambda, \quad \mathbb{E}X^2 = M''_X(0) = \lambda^2 + \lambda, \quad \mathbb{V}X = \mathbb{E}X^2 - (\mathbb{E}X)^2 = \lambda. \quad \triangle$$

Teorema 10.10 (Unicidade). *Dadas X e Y variáveis aleatórias, se existe $\varepsilon > 0$ tal que $M_X(t) = M_Y(t) < \infty$ para todo $t \in (-\varepsilon, +\varepsilon)$, então $X \sim Y$.*

A demonstração envolve aspectos técnicos acima dos nossos objetivos, e de fato é difícil encontrá-la em livros-texto.¹⁵

Exemplo 10.11 (Soma de variáveis Poisson Independentes). Se $X \sim \text{Poisson}(\lambda)$ e $Y \sim \text{Poisson}(\mu)$ são independentes, então

$$M_{X+Y}(t) = M_X(t) \cdot M_Y(t) = e^{\lambda(e^t-1)} e^{\mu(e^t-1)} = e^{(\lambda+\mu)(e^t-1)} = M_Z(t),$$

onde $Z \sim \text{Poisson}(\lambda + \mu)$. Portanto, $X + Y \sim \text{Poisson}(\lambda + \mu)$. \triangle

10.2 Função característica

Do ponto de vista teórico, a função característica é bem mais robusta e funcional que a função geradora de momentos: está definida para qualquer distribuição; sempre determina a distribuição; determina também a

¹⁵Veja [Billingsley, P. *Probability and Measure*. Third edition. Wiley Series in Probability and Mathematical Statistics, 1995, section 30] ou [Curtiss, J. H. *A note on the theory of moment generating functions*. Ann. Math. Statistics 13:430-433, 1942].

convergência em distribuição; não bastasse, ainda gera momentos. Entretanto, a função característica envolve a manipulação de números complexos. Ressaltamos, porém, que o estudo de funções características não requer conhecimentos de cálculo em uma *variável* complexa. Isso porque as integrais são calculadas em dx para $x \in \mathbb{R}$ e não em dz para caminhos $\gamma \subseteq \mathbb{C}$.

Definição 10.12 (Variável aleatória complexa). Uma *variável aleatória complexa* Z é uma função $Z : \Omega \rightarrow \mathbb{C}$ tal que $Z = X + iY$, onde X e Y são variáveis aleatórias reais. Se X e Y são integráveis, dizemos que Z é integrável e definimos

$$\mathbb{E}Z = \mathbb{E}X + i\mathbb{E}Y.$$

A integração de funções complexas em domínios reais pode ser feita, para todos os fins práticos, como no caso real. Ou seja, se $F : \mathbb{R} \rightarrow \mathbb{C}$ satisfaz $\frac{d}{dx}F(x) = f(x)$ para $x \in [a, b]$, então

$$\int_a^b f(x) dx = F(b) - F(a). \quad (10.13)$$

Vamos utilizar a *fórmula de Euler*

$$e^{iy} = \cos(y) + i \sin(y), \quad |e^{iy}| = 1,$$

e usaremos sem demonstração os seguintes fatos:

$$e^z = \sum_n \frac{z^n}{n!}, \quad e^{z+w} = e^z e^w,$$

$$(e^g)' = e^g g', \quad \left(1 + \frac{z_n}{n}\right)^n \rightarrow e^z \text{ se } z_n \rightarrow z.$$

Proposição 10.14. Se Z e W são variáveis aleatórias complexas integráveis, então $Z + W$ é integrável com $\mathbb{E}[Z + W] = \mathbb{E}Z + \mathbb{E}W$, e para $z \in \mathbb{C}$ tem-se zZ integrável com $\mathbb{E}[zZ] = z\mathbb{E}Z$. Se, além disso, Z e W são independentes, então ZW é integrável com $\mathbb{E}[ZW] = \mathbb{E}Z \cdot \mathbb{E}W$.

Demonstração. Sejam $z = x + iy \in \mathbb{C}$, com $x, y \in \mathbb{R}$, e $Z = X + iY$, $W = A + iB$ com X, Y, A e B variáveis aleatórias reais integráveis, então $Z + W = (X + A) + i(Y + B)$ e $zZ = (xX - yY) + i(xY + yX)$. Logo, a integrabilidade de $Z + W$ e zZ segue da integrabilidade de suas respectivas partes real e imaginária. Portanto,

$$\mathbb{E}[Z + W] = \mathbb{E}[X + A] + i\mathbb{E}[Y + B] = (\mathbb{E}X + i\mathbb{E}Y) + (\mathbb{E}A + i\mathbb{E}B) = \mathbb{E}Z + \mathbb{E}W$$

e

$$\mathbb{E}[zZ] = \mathbb{E}[xX - yY] + i\mathbb{E}[xY + yX] = (x + iy)\mathbb{E}X + i(x + iy)\mathbb{E}Y = z\mathbb{E}Z.$$

Se Z e W são independentes, então (X, Y) e (A, B) são independentes. Logo

$$\begin{aligned}\mathbb{E}[ZW] &= \mathbb{E}[XA - YB] + i\mathbb{E}[XB + YA] \\ &= (\mathbb{E}X \cdot \mathbb{E}A - \mathbb{E}Y \cdot \mathbb{E}B) + i(\mathbb{E}X \cdot \mathbb{E}B + \mathbb{E}Y \cdot \mathbb{E}A) \\ &= (\mathbb{E}X + i\mathbb{E}Y)(\mathbb{E}A + i\mathbb{E}B) = \mathbb{E}Z \cdot \mathbb{E}W.\end{aligned}$$

A hipótese de independência foi usada na segunda igualdade. \square

Proposição 10.15. $|\mathbb{E}Z| \leq \mathbb{E}|Z|$

Demonstração. Fazendo $\mathbb{E}Z = re^{i\theta}$, com $r = |\mathbb{E}Z|$, obtemos $\mathbb{E}[e^{-i\theta}Z] = e^{-i\theta}\mathbb{E}[Z] = r \in \mathbb{R}$, logo $r = \mathbb{E}[\Re(e^{-i\theta}Z)] \leq \mathbb{E}|e^{-i\theta}Z| = \mathbb{E}|Z|$. \square

A seguir definiremos a função característica de uma variável aleatória.

Definição 10.16 (Função característica). A *função característica* de uma variável aleatória X , denotada por φ_X , é a função $\varphi_X : \mathbb{R} \rightarrow \mathbb{C}$ definida como

$$\varphi_X(t) = \mathbb{E}[e^{itX}] = \mathbb{E}[\cos(tX)] + i\mathbb{E}[\sin(tX)], \quad t \in \mathbb{R}.$$

Observe que a função característica de uma variável aleatória depende de fato apenas de sua distribuição. Quando a variável for absolutamente contínua com

função densidade f , sua função característica é simplesmente a transformada de Fourier da função f .

Observação 10.17. Como $|e^{itX}| = 1$, $\varphi_X(t)$ está definida para todo $t \in \mathbb{R}$. \triangle

Exemplo 10.18 (Uniforme). Se $X \sim \mathcal{U}[a, b]$, então

$$\begin{aligned}\varphi_X(t) &= \mathbb{E}[e^{itX}] = \mathbb{E}[\cos(tX)] + i\mathbb{E}[\sin(tX)] \\ &= \int_a^b \cos(tx) \frac{1}{b-a} dx + i \int_a^b \sin(tx) \frac{1}{b-a} dx \\ &= \frac{\sin(tb) - \sin(ta)}{t(b-a)} - i \frac{\cos(tb) - \cos(ta)}{t(b-a)} \\ &= \frac{-ie^{itb} + ie^{ita}}{t(b-a)} = \frac{e^{itb} - e^{ita}}{it(b-a)}.\end{aligned}$$

Ou, usando (10.13):

$$\varphi_X(t) = \int_a^b \frac{e^{itx}}{b-a} dx = \frac{e^{itb} - e^{ita}}{it(b-a)}. \quad \triangle$$

Exemplo 10.19 (Poisson). Se $X \sim \text{Poisson}(\lambda)$, então:

$$\varphi_X(t) = \mathbb{E}[e^{itX}] = \sum_{n=0}^{\infty} e^{itn} \frac{e^{-\lambda} \lambda^n}{n!} = e^{-\lambda} \sum_{n=0}^{\infty} \frac{(e^{it} \lambda)^n}{n!} = e^{-\lambda} e^{e^{it} \lambda} = e^{\lambda(e^{it}-1)}. \quad \triangle$$

Exemplo 10.20 (Geométrica). Se $X \sim \text{Geom}(p)$, então

$$\varphi_X(t) = \sum_{n=1}^{\infty} e^{itn} \cdot p(1-p)^{n-1} = e^{it} p \sum_{m=0}^{\infty} [(e^{it})(1-p)]^m = \frac{p}{e^{-it} + p - 1}. \quad \triangle$$

Proposição 10.21. Para todo $t \in \mathbb{R}$, vale $|\varphi_X(t)| \leq 1$. Além disso, $\varphi(0) = 1$. Ademais, $\varphi_{aX+b}(t) = e^{itb} \varphi_X(at)$ para $a, b \in \mathbb{R}$.

Demonstração. Basta observar que

$$|\varphi_X(t)| = |\mathbb{E}[e^{itX}]| \leq \mathbb{E}|e^{itX}| = \mathbb{E}[\sin^2(tX) + \cos^2(tX)] = 1,$$

$$\varphi_X(0) = \mathbb{E}[e^0] = 1,$$

e

$$\varphi_{aX+b}(t) = \mathbb{E}[e^{it(aX+b)}] = e^{itb} \mathbb{E}[e^{itaX}] = e^{itb} \varphi_X(at). \quad \square$$

Proposição 10.22 (Independência). *Se X e Y são independentes, então*

$$\varphi_{X+Y}(t) = \varphi_X(t) \cdot \varphi_Y(t)$$

para todo $t \in \mathbb{R}$.

Demonstração. Observe que, se X e Y são independentes, então e^{itX} e e^{itY} também o são. Logo podemos escrever

$$\varphi_{X+Y}(t) = \mathbb{E}[e^{it(X+Y)}] = \mathbb{E}[e^{itX} e^{itY}] = \varphi_X(t) \cdot \varphi_Y(t),$$

onde a independência foi utilizada na última igualdade. \square

Proposição 10.23 (Cálculo de Momentos). *Se $\mathbb{E}|X^k| < \infty$ então φ_X tem k -ésima derivada, e ademais*

$$\varphi_X^{(k)}(0) = i^k \mathbb{E}X^k.$$

Demonstração. Assim como fizemos para a função geradora de momentos, gostaríamos de derivar dentro da esperança de modo que possamos escrever

$$\varphi_X^{(k)}(t) = \mathbb{E}\left[\frac{d^k}{dt^k} e^{itX}\right] = \mathbb{E}[i^k X^k e^{itX}], \quad (10.24)$$

obtendo assim $\varphi_X^{(k)}(0) = i^k \mathbb{E}X^k$. Nossa tarefa é mostrar a primeira igualdade da equação acima. Observe inicialmente que, pela desigualdade de Lyapunov, $\mathbb{E}|X|^j < \infty$ para todo $j \leq k$. Faremos apenas o caso $k = 1$, os demais seguem por indução utilizando argumento análogo ao que faremos agora.

Primeiro expandimos o quociente

$$\frac{\varphi_X(t+h) - \varphi_X(t)}{h} = \mathbb{E} \left[\frac{e^{i(t+h)X} - e^{itX}}{h} \right] = \mathbb{E} \left[e^{itX} \cdot \frac{e^{ihX} - 1}{h} \right].$$

Agora considere a variável aleatória $Y_h = \left[e^{itX} \cdot \frac{e^{ihX} - 1}{h} \right]$. Observe que

$$|Y_h| = \left| e^{itX} \cdot \frac{e^{ihX} - 1}{h} \right| = \left| \frac{e^{ihX} - 1}{h} \right| \leq |X|,$$

pois a última desigualdade segue da estimativa

$$\left| \frac{e^{ihx} - 1}{h} \right| = \left| \frac{\int_0^h ixe^{iux} du}{h} \right| = |x| \cdot \left| \frac{\int_0^h e^{iux} du}{h} \right| \leq |x|.$$

Logo, as variáveis aleatórias $(Y_h)_h$ estão dominadas pela variável aleatória $|X|$, que é integrável por hipótese. Então podemos aplicar o Teorema da Convergência Dominada e concluir que

$$\frac{d}{dt} \varphi_X(t) = \lim_{h \rightarrow 0} \mathbb{E} Y_h = \mathbb{E} [\lim_{h \rightarrow 0} Y_h] = \mathbb{E} [iX e^{itX}]. \quad \square$$

Exemplo 10.25 (Normal). Se $X \sim \mathcal{N}(0, 1)$, então $\varphi_X(t) = e^{-\frac{t^2}{2}}$. Usando (10.24), podemos derivar dentro da integral, e integrando por partes obtemos

$$\varphi'_X(t) = \int_{-\infty}^{+\infty} \frac{ixe^{itx - \frac{x^2}{2}}}{\sqrt{2\pi}} dx = \int_{-\infty}^{+\infty} \frac{i^2 t e^{itx - \frac{x^2}{2}}}{\sqrt{2\pi}} dx = -t \varphi_X(t)$$

Separando os termos com φ_X e com t , obtemos

$$\frac{\varphi'_X(t)}{\varphi_X(t)} = -t$$

donde

$$\log \varphi_X(t) = -\frac{t^2}{2} + C.$$

Avaliando $t = 0$, obtemos $\varphi_X(t) = e^{-\frac{t^2}{2}}$, como anunciado acima.

Ademais, se $X \sim \mathcal{N}(\mu, \sigma^2)$, então $\varphi_X(t) = e^{it\mu - \frac{\sigma^2 t^2}{2}}$ pela Proposição 10.21, pois escrevendo $X \sim \mu + \sigma Z$ obtemos $Z \sim \mathcal{N}(0, 1)$. \triangle

Corolário 10.26 (Expansão de Taylor). *Se $\mathbb{E}|X^k| < \infty$, então*

$$\begin{aligned}\varphi_X(t) &= \varphi_X(0) + \varphi'_X(0) \cdot t + \varphi''_X(0) \frac{t^2}{2} + \varphi'''_X(0) \frac{t^3}{6} + \cdots + \varphi_X^{(k)}(0) \frac{t^k}{k!} + r_k(t) \\ &= 1 + i\mathbb{E}X \cdot t - \frac{\mathbb{E}X^2}{2}t^2 - i\frac{\mathbb{E}X^3}{6}t^3 + \cdots + i^k \frac{\mathbb{E}X^k}{k!}t^k + r_k(t),\end{aligned}$$

onde o resto $r_k(t)$ é pequeno: $\frac{r_k(t)}{t^k} \rightarrow 0$ quando $t \rightarrow 0$.

Demonstração. Imediato da Proposição 10.23 e Teorema A.9. \square

Exemplo 10.27 (Poisson). Calculando os momentos da Poisson: $\mathbb{E}X = -i\varphi'_X(0) = \lambda$, $\mathbb{E}X^2 = -\varphi''_X(0) = \lambda^2 + \lambda$, $\mathbb{V}X = \mathbb{E}X^2 - (\mathbb{E}X)^2 = \lambda$. \triangle

Outra grande utilidade da função característica é que permite determinar a distribuição de determinada variável aleatória. Enunciaremos agora este fato, mas sua prova será dada na seção seguinte.

Teorema 10.28 (Teorema de Unicidade). *Se duas variáveis aleatórias têm a mesma função característica, então têm a mesma distribuição.*

Exemplo 10.29 (Soma de variáveis Poisson Independentes). Se $X \sim \text{Poisson}(\lambda)$ e $Y \sim \text{Poisson}(\mu)$ são independentes, então

$$\varphi_{X+Y}(t) = \varphi_X(t) \cdot \varphi_Y(t) = e^{\lambda(e^{it}-1)} e^{\mu(e^{it}-1)} = e^{(\lambda+\mu)(e^{it}-1)} = \varphi_Z(t),$$

onde $Z \sim \text{Poisson}(\lambda + \mu)$. Portanto, $X + Y \sim \text{Poisson}(\lambda + \mu)$. \triangle

A seguir enunciaremos uma versão simplificada do mais importante teorema deste capítulo, o Teorema da Continuidade de Lévy, que relaciona convergência de funções características com a convergência em distribuição estudada no Capítulo 7. Daremos alguns exemplos de sua grande aplicabilidade. Na

Seção 10.3, enunciaremos e provaremos uma versão um pouco mais geral que a enunciada abaixo.

Teorema 10.30 (Teorema da Continuidade de Lévy). *Sejam X e $(X_n)_{n \in \mathbb{N}}$ variáveis aleatórias. Então X_n converge em distribuição para X se, e somente se, $\varphi_{X_n}(t) \rightarrow \varphi_X(t)$ para todo $t \in \mathbb{R}$.*

Como exemplos da força do Teorema da Continuidade, forneceremos novas provas da convergência de binomial a Poisson, da Lei Fraca dos Grandes Números e do Teorema do Limite Central para o caso i.i.d.

Exemplo 10.31 (Binomial Converte para Poisson). Seja $\lambda > 0$ e para $n > \lambda^{-1}$ considere $X_n \sim \text{Binom}(n, \frac{\lambda}{n})$. Então $X_n \xrightarrow{d} \text{Poisson}(\lambda)$. Com efeito, analisando a função característica das X_n obtemos $\varphi_{X_n}(t) = [1 + \frac{\lambda}{n}(e^{it} - 1)]^n \rightarrow e^{\lambda(e^{it} - 1)} = \varphi_X(t)$ onde $X \sim \text{Poisson}(\lambda)$. \triangle

Exemplo 10.32 (Lei Fraca dos Grandes Números para o caso i.i.d.). Faremos uma demonstração curta do Teorema 8.4. Como as X_n são i.i.d.,

$$\varphi_{\frac{S_n}{n}}(t) = \varphi_{S_n}(\frac{t}{n}) = \varphi_{X_1}(\frac{t}{n}) \cdots \varphi_{X_n}(\frac{t}{n}) = [\varphi_{X_1}(\frac{t}{n})]^n = \left[1 + i\frac{\mu t}{n} + r_1(\frac{t}{n})\right]^n,$$

onde $r_1(\cdot)$ é tal que $\frac{r_1(w)}{w} \rightarrow 0$ quando $w \rightarrow 0$. Segue que $\varphi_{\frac{S_n}{n}}(t) \rightarrow e^{it\mu}$ quando $n \rightarrow \infty$, para todo $t \in \mathbb{R}$. Pelo Teorema da Continuidade de Lévy, $\frac{S_n}{n} \xrightarrow{d} \mu$. Como μ é constante, segue da Proposição 7.36 que $\frac{S_n}{n} \xrightarrow{\mathbb{P}} \mu$. \triangle

Exemplo 10.33 (Teorema do Limite Central). Faremos uma demonstração curta do Teorema 9.1. Supomos sem perda de generalidade que $\mu = 0$. Como as X_n são i.i.d.,

$$\varphi_{\frac{S_n}{\sigma\sqrt{n}}}(t) = \varphi_{S_n}(\frac{t}{\sigma\sqrt{n}}) = \left[\varphi_{X_1}\left(\frac{t}{\sigma\sqrt{n}}\right)\right]^n = \left[1 - \frac{t^2}{2n} + r_2\left(\frac{t}{\sigma\sqrt{n}}\right)\right]^n,$$

onde $r_2(\cdot)$ é tal que $\frac{r_2(w)}{w^2} \rightarrow 0$ quando $w \rightarrow 0$. Segue que $\varphi_{\frac{S_n}{\sigma\sqrt{n}}}(t) \rightarrow e^{-\frac{t^2}{2}}$ quando $n \rightarrow \infty$, para todo $t \in \mathbb{R}$. Como $e^{-t^2/2}$ é a função característica de

uma normal padrão (Exemplo 10.25), pelo Teorema da Continuidade de Lévy, segue que $\frac{S_n}{\sigma\sqrt{n}} \xrightarrow{d} \mathcal{N}(0, 1)$. \triangle

10.3 Unicidade e convergência

Nesta seção provaremos o Teorema da Unicidade e o Teorema da Continuidade de Lévy. A maior parte desta seção será uma continuação da Seção 7.4, em que vamos estabelecer propriedades de convergência em distribuição de variáveis aleatórias análogas às de convergência de números reais.

Dada uma sequência de números $(x_n)_n$, sempre podemos selecionar uma subsequência $(x_{n_k})_k$ tal que $\lim_k x_{n_k}$ existe, mas o limite pode ser infinito. Se pudermos mostrar que a sequência é limitada, há uma subsequência $(x_{n_k})_k$ que converge. Se mostramos também que existe $x \in \mathbb{R}$ tal que $\lim_k x_{n_k} = x$ para toda subsequência convergente, então $x_n \rightarrow x$.

Ademais, dada uma família $\{g_\alpha\}_\alpha$ de funções reais e uma sequência convergente $(x_j)_j$, gostaríamos de poder afirmar que $x_j \rightarrow x$ sabendo apenas que $\lim_j g_\alpha(x_j) = g_\alpha(x)$ para todo α . Se as funções g_α forem contínuas e a família $\{g_\alpha\}_\alpha$ for capaz de distinguir pontos (isto é, dados $x \neq y$ existe α tal que $g_\alpha(x) \neq g_\alpha(y)$), podemos de fato concluir que $x_j \rightarrow x$.

Passemos aos análogos desses enunciados para sequências de variáveis aleatórias, começando pela existência de subsequências convergentes.

Teorema 10.34 (Teorema da Seleção de Helly). *Dada uma sequência $(F_n)_n$ de funções de distribuição, existem uma subsequência $(F_{n_k})_k$ e uma função $F : \mathbb{R} \rightarrow [0, 1]$ não-decrescente e contínua à direita tal que $F_{n_k}(x) \rightarrow F(x)$ quando $k \rightarrow \infty$, para todo x ponto de continuidade de F .*

Demonstração. Seja $B = \{r_1, r_2, r_3, \dots\}$ um conjunto denso em \mathbb{R} . Como $(F_n(r_1))_n$ é uma sequência limitada ao intervalo $[0, 1]$, existe uma subsequência $(n_j^1)_j$ de \mathbb{N} tal que $F_{n_j^1}(r_1) \rightarrow G(r_1)$ para algum número $G(r_1) \in [0, 1]$. Da mesma maneira, existe uma subsequência $(n_j^2)_j$ de $(n_j^1)_j$ tal que

$F_{n_j^2}(r_2) \rightarrow G(r_2)$ para algum número $G(r_2) \in [0, 1]$. Por conveniência, podemos supor que $n_1^2 = n_1^1$ e $n_2^2 = n_2^1$. Prosseguindo recursivamente, para todo $k \in \mathbb{N}$ existe $(n_j^k)_j$ subsequência de $(n_j^{k-1})_j$ tal que $n_l^k = n_l^{k-1}$ para $l = 1, \dots, k$ e tal que $F_{n_j^k}(r_k) \rightarrow G(r_k)$ para algum número $G(r_k) \in [0, 1]$. A subsequência $(n_j)_j$ desejada é definida tomando-se $n_j = n_j^j$ para todo $j \in \mathbb{N}$. Observe que, para cada $k \in \mathbb{N}$, $(n_j)_j$ é subsequência de $(n_j^k)_j$, logo $F_{n_j}(r_k) \rightarrow G(r_k)$. Ademais, $G : B \rightarrow [0, 1]$ é não-decrescente.

Defina $F(x) = \inf\{G(r) : r \in B, r > x\}$. Note que F é não-decrescente por inclusão, e é contínua à direita pois $\inf A_n \downarrow \inf A$ sempre que $A_n \uparrow A \subseteq \mathbb{R}$. Resta mostrar que $F_{n_j}(x) \rightarrow F(x)$ para todo ponto x onde F é contínua. Seja $\varepsilon > 0$ e $x \in \mathbb{R}$ ponto de continuidade. Tome $\delta > 0$ tal que $F(x) - \varepsilon < F(x - \delta) \leq F(x + \delta) < F(x) + \varepsilon$, e tome $r', r'' \in B$ tais que $x - \delta < r' < x < r'' < x + \delta$. Pela definição de F e como G é não-decrescente, $F(x - \delta) \leq G(r') \leq F(x) \leq G(r'') \leq F(x + \delta)$. Daí segue que, para todo j suficientemente grande, $F(x) - \varepsilon < F_{n_j}(r') \leq F_{n_j}(r'') < F(x) + \varepsilon$ e, como a função F_{n_j} é não-decrescente, $F(x) - \varepsilon < F_{n_j}(x) < F(x) + \varepsilon$. \square

Observe que o Teorema de Seleção de Helly não garante que a função limite F seja uma função de distribuição. Intuitivamente, isso pode falhar porque é possível deixar massa escapar ao infinito. Por exemplo, se $X_n \sim \mathcal{U}[-n, 2n]$, então $F_{X_n} \rightarrow \frac{1}{3}$ para todo $x \in \mathbb{R}$. A função limite F é não-decrescente e contínua à direita, mas não é função de distribuição pois $\lim_{x \rightarrow +\infty} F(x) = \frac{1}{3}$. Nesse exemplo, podemos pensar que $\frac{1}{3}$ da massa escapou para $-\infty$ e $\frac{2}{3}$ da massa escaparam para $+\infty$. Por isso introduzimos a seguinte definição.

Definição 10.35. Dada uma sequência $(X_n)_n$ de variáveis aleatórias, dizemos que a sequência está *confinada* se, para todo $\varepsilon > 0$, existe um conjunto compacto K tal que $\mathbb{P}(X_n \notin K) < \varepsilon$ para todo $n \in \mathbb{N}$.

Podemos agora enunciar o seguinte corolário do Teorema de Seleção de Helly.

Corolário 10.36. *Seja $(X_n)_n$ uma sequência confinada de variáveis aleatórias. Então existe uma subsequência $(X_{n_k})_k$ e uma variável aleatória X tais que $X_{n_k} \xrightarrow{d} X$.*

Demonstração. Sejam $(F_n)_n$ as respectivas funções de distribuição de $(X_n)_n$. Pelo Teorema da Seleção de Helly, existem uma subsequência $(F_{n_k})_k$ e uma função $F : \mathbb{R} \rightarrow [0, 1]$ não-decrescente e contínua à direita tais que $F_{n_k}(x) \rightarrow F(x)$ para todo x ponto de continuidade de F . Para que F seja de fato uma função de distribuição, basta que ela satisfaça $\lim_{x \rightarrow +\infty} (F(x) - F(-x)) = 1$. Seja $\varepsilon > 0$. Tome M tal que $\mathbb{P}(|X_n| > M) \leq \varepsilon$ para todo n e tal que $\pm M$ sejam pontos de continuidade de F . Então $F(M) - F(-M) = \lim_n F_n(M) - F_n(-M) \geq 1 - \varepsilon$, o que conclui a prova. \square

Como no caso de sequências de números determinísticos, podemos usar o corolário acima para obter outro que permitirá estabelecer convergência de uma sequência olhando para subsequências.

Corolário 10.37. *Seja $(X_n)_n$ uma sequência confinada de variáveis aleatórias. Suponha que existe X tal que $X_{n_k} \xrightarrow{d} X$ para qualquer subsequência $(X_{n_k})_k$ que convirja em distribuição. Então $X_n \xrightarrow{d} X$.*

Demonstração. Seja $g : \mathbb{R} \rightarrow \mathbb{R}$ contínua e limitada. Pelo Teorema de Helly-Bray, basta mostrar que a sequência numérica $(\mathbb{E}[g(X_n)])_n$ converge para $\mathbb{E}[g(X)]$. Para isso, basta mostrar que toda subsequência $(\mathbb{E}[g(X_{n_k})])_k$ tem uma subsubsequência $(\mathbb{E}[g(X_{n_{k_j}})])_j$ que converge para $\mathbb{E}[g(X)]$ – Teorema A.11. Seja $(n_k)_k$ uma tal subsequência. Pelo Corolário 10.36, existe uma subsubsequência $(n_{k_j})_j$ tal que $(X_{n_{k_j}})_j$ converge em distribuição para alguma variável aleatória. Por hipótese, essa variável aleatória é X , ou seja, $X_{n_{k_j}} \xrightarrow{d} X$. Pelo Teorema de Helly-Bray, $(\mathbb{E}[g(X_{n_{k_j}})])_j \rightarrow \mathbb{E}[g(X)]$, como queríamos demonstrar. \square

De volta à função característica, gostaríamos de um critério para mostrar que uma dada sequência de variáveis aleatórias está confinada.

Lema 10.38. *Seja X uma variável aleatória. Para todo $\delta > 0$, vale a estimativa $\mathbb{P}(|X| \geq \frac{2}{\delta}) \leq \frac{2}{\delta} \int_0^\delta \mathbb{E}[1 - \cos(tX)] dt$.*

Demonstração. Comutando a esperança e a integral,

$$\begin{aligned} \frac{1}{\delta} \int_0^\delta \mathbb{E}[1 - \cos(tX)] dt &= \mathbb{E} \left[\frac{1}{\delta} \int_0^\delta [1 - \cos(tX)] dt \right] = \\ &= \mathbb{E} \left[1 - \frac{\sin(\delta X)}{\delta X} \right] \geq \mathbb{E} \left[\left(1 - \frac{\sin(\delta X)}{\delta X} \right) \mathbf{1}_{\{|X| \geq \frac{2}{\delta}\}} \right] \geq \frac{1}{2} \mathbb{P}(|X| \geq \frac{2}{\delta}), \end{aligned}$$

pois $1 - \frac{\sin u}{u} \geq 0$ para todo $u \neq 0$ e $1 - \frac{\sin u}{u} \geq \frac{1}{2}$ se $|u| \geq 2$. Comutar a esperança e a integral está justificado pelo Teorema de Tonelli. \square

Para que a função característica possa cumprir o papel da família $\{g_\alpha\}_\alpha$, vamos combinar o Teorema da Unicidade com a proposição abaixo.

Proposição 10.39. *Se $X_n \xrightarrow{d} X$, então $\varphi_{X_n}(t) \rightarrow \varphi_X(t)$ para todo $t \in \mathbb{R}$.*

Demonstração. Seja $t \in \mathbb{R}$. Como $\sin(tx)$ e $\cos(tx)$ são funções contínuas e limitadas de x , segue do Teorema de Helly-Bray que $\mathbb{E}[\cos(tX_n)] \rightarrow \mathbb{E}[\cos(tX)]$ e $\mathbb{E}[\sin(tX_n)] \rightarrow \mathbb{E}[\sin(tX)]$, donde $\varphi_{X_n}(t) \rightarrow \varphi_X(t)$. \square

Agora estamos prontos para mostrar o Teorema da Continuidade de Lévy. Na verdade enunciaremos e provaremos abaixo uma versão um pouco mais forte que aquela enunciada na seção anterior. Ela nos diz que basta que a sequência de funções características $(\varphi_{X_n})_n$ convirja para uma função que seja contínua em $t = 0$, e isto já será suficiente para garantir que o limite das funções características também seja uma função característica. Esta última será a função característica de uma variável aleatória X que será o limite em distribuição da sequência $(X_n)_n$.

Teorema 10.40 (Teorema da Continuidade de Lévy). *Sejam $(X_n)_{n \in \mathbb{N}}$ variáveis aleatórias e $(\varphi_{X_n})_{n \in \mathbb{N}}$ suas respectivas funções características. Se existe $\lim_n \varphi_{X_n}(t) = \varphi(t)$ para todo t real e φ é contínua em $t = 0$, então existe uma variável aleatória X , tal que $\varphi = \varphi_X$ e $X_n \xrightarrow{d} X$.*

Demonstração. Do Lema 10.38 e do Teorema da Convergência Dominada,

$$\begin{aligned}\mathbb{P}(|X_n| \geq \tfrac{2}{\delta}) &\leq \tfrac{2}{\delta} \int_0^\delta [1 - \cos(tX_n)] dt = \\ &= \tfrac{2}{\delta} \int_0^\delta [1 - \Re \varphi_{X_n}(t)] dt \rightarrow \tfrac{2}{\delta} \int_0^\delta [1 - \Re \varphi(t)] dt\end{aligned}$$

para todo $\delta > 0$. Seja $\varepsilon > 0$. Como φ é contínua em $t = 0$, podemos tomar $\delta_0 > 0$ tal que $|1 - \Re \varphi(t)| < \frac{\varepsilon}{2}$ para todo $t \in [0, \delta_0]$. Assim podemos tomar n_0 tal que $\mathbb{P}(|X_n| \geq 2\delta_0^{-1}) < \varepsilon$ para todo $n > n_0$. Para cada $n \leq n_0$, sempre existe $\delta_n > 0$ tal que $\mathbb{P}(|X_n| \geq 2\delta_n^{-1}) < \varepsilon$. Tomando $\delta = \min\{\delta_0, \delta_1, \dots, \delta_{n_0}\}$, obtemos $\mathbb{P}(|X_n| \geq 2\delta^{-1}) < \varepsilon$ para todo $n \in \mathbb{N}$. Portanto, a sequência $(X_n)_n$ está confinada.

Pelo Corolário 10.36, existem uma variável aleatória X e uma subsequência $(X_{n_k})_k$ tais que $X_{n_k} \xrightarrow{d} X$. Pela Proposição 10.39, $\varphi_X = \varphi$. Agora seja $X_{n'_k}$ outra subsequência que converge em distribuição para alguma X' . Novamente, pela Proposição 10.39, $\varphi_{X'} = \varphi$ e, pelo Teorema de Unicidade, $X' \sim X$. Pelo Corolário 10.37, $X_n \xrightarrow{d} X$, concluindo a prova. \square

Ficou faltando apenas demonstrar o Teorema de Unicidade.

Prova do Teorema de Unicidade. Basta mostrar que, dados $a, b \in \mathbb{R}$, vale $\mathbb{P}(a \leq X \leq b) = \mathbb{P}(a \leq Y \leq b)$, pois segue que $F_X = F_Y$ tomando-se $a \downarrow -\infty$. Para isso, vamos aproximar $\mathbf{1}_{[a,b]}$ por uma combinação de funções trigonométricas e usar a hipótese de que $\varphi_X = \varphi_Y$.

Sejam $-\infty < a < b < \infty$ e $\varepsilon > 0$. Tome $f^\varepsilon(x) : \mathbb{R} \rightarrow [0, 1]$ contínua tal que $f^\varepsilon(x) = 1$ para $x \in [a, b]$ e $f^\varepsilon(x) = 0$ para $x \notin [a - \varepsilon, b + \varepsilon]$. Seja $n > |a| + |b| + \varepsilon$. Note que f^ε é uma função contínua em $[-n, n]$ e $f^\varepsilon(-n) = f^\varepsilon(n) = 0$.

Pela versão trigonométrica do Teorema de Weierstrass (Teorema A.20), f^ε pode ser aproximada em $[-n, n]$ por polinômios trigonométricos. Em

particular, existem $m \in \mathbb{N}$ e $a_{-m}, \dots, a_m \in \mathbb{C}$ tais que a função

$$f_n^\varepsilon(x) = \sum_{k=-m}^m a_k e^{i \frac{k\pi}{n} x}$$

assume valores reais e satisfaz

$$\sup_{x \in [-n, n]} |f_n^\varepsilon(x) - f^\varepsilon(x)| \leq \frac{1}{n} \quad \text{e} \quad \sup_{x \in \mathbb{R}} |f_n^\varepsilon(x)| \leq 2.$$

Tomando-se a esperança,

$$\mathbb{E}[f_n^\varepsilon(X)] = \sum_{k=1}^m a_k \varphi_X\left(\frac{k\pi}{n}\right) = \sum_{k=1}^m a_k \varphi_Y\left(\frac{k\pi}{n}\right) = \mathbb{E}[f_n^\varepsilon(Y)].$$

Desenvolvendo,

$$\begin{aligned} \mathbb{P}(a \leq X \leq b) &\leq \mathbb{E}[f^\varepsilon(X)] \leq \mathbb{E}[f_n^\varepsilon(X)] + \frac{1}{n} + 2\mathbb{P}(|X| \geq n), \\ \mathbb{P}(a - \varepsilon \leq Y \leq b + \varepsilon) &\geq \mathbb{E}[f^\varepsilon(Y)] \geq \mathbb{E}[f_n^\varepsilon(Y)] - \frac{1}{n} - 2\mathbb{P}(|Y| \geq n). \end{aligned}$$

Substituindo a identidade anterior, tomando $n \rightarrow \infty$ e depois $\varepsilon \downarrow 0$, chegamos a $\mathbb{P}(a \leq X \leq b) \leq \mathbb{P}(a \leq Y \leq b)$. De forma idêntica provamos a desigualdade oposta, donde segue que $F_X = F_Y$, concluindo a prova. \square

10.4 Fórmula de inversão

A prova do Teorema de Unicidade que demos na seção anterior é muito instrutiva. Ela está baseada no fato de que, se duas distribuições são indistinguíveis quando testadas em funções trigonométricas, então elas são as mesmas.

Entretanto, aquela prova não é auto-contida pois usa a versão trigonométrica do Teorema de Weierstrass. Para o leitor que ficou incomodado com este fato, daremos nesta seção uma prova auto-contida, que terá seus pontos altos

como transformada de Fourier inversa e cálculo da integral de Dirichlet sem usar Análise Complexa.

Enunciamos e provamos agora a fórmula de inversão, que tem o Teorema de Unicidade como corolário. Se bem nem o enunciado nem as técnicas de prova serão usadas no restante desse livro, sua leitura envolve um uso mais engenhoso da integral de Lebesgue, o que pode causar certa satisfação.

Teorema 10.41 (Fórmula de inversão). *Seja X uma variável aleatória e $a < b$ dois pontos de continuidade de F_X . Então*

$$F_X(b) - F_X(a) = \lim_{c \rightarrow +\infty} \frac{1}{2\pi} \int_a^b \int_{-c}^{+c} e^{-ixt} \varphi_X(t) dt dx.$$

Informalmente, se X tem densidade suave e com cauda leve,

$$\varphi_X(t) = \int_{-\infty}^{+\infty} e^{itx} f_X(x) dx$$

cuja transformada de Fourier inversa¹⁶ é dada por

$$f_X(x) = \frac{1}{2\pi} \int_{-\infty}^{+\infty} e^{-ixt} \varphi_X(t) dt.$$

Integrando em $[a, b]$ obtemos a fórmula de inversão. Havendo motivado a fórmula, passemos à demonstração, sem supor suavidade de nenhum tipo.

Sejam $-\infty < a < b < \infty$. Para cada $c > 0$, definimos

$$A_c = \frac{1}{2\pi} \int_a^b \int_{-c}^{+c} e^{-ixt} \varphi_X(t) dt dx.$$

¹⁶Se o leitor nunca tinha ouvido falar de transformada de Fourier inversa, agora ouviu, mas não vamos usar para nada além de fazer a fórmula de inversão parecer menos artificial. Em Análise, o sinal de menos no expoente aparece na transformada e não na sua inversa, e usa-se $\sqrt{2\pi}$ em ambas ao invés de 2π na inversa.

Usando o Teorema de Fubini para inverter as integrais,

$$A_c = \frac{1}{2\pi} \mathbb{E} \left[\int_{-c}^{+c} \int_a^b e^{-ixt} e^{itX} dx dt \right],$$

que se justifica porque $\int_a^b \int_{-c}^c |e^{-itx} e^{itX}| dt dx = 2c(b-a) < \infty$.

A partir da expressão acima, definimos

$$g_c(z) = \int_{-c}^{+c} \int_a^b e^{-ixt} e^{itz} dx dt.$$

Integrando, expandindo, usando que o cosseno é par, e substituindo, obtemos

$$g_c(z) = \int_{-c(z-a)}^{+c(z-a)} \frac{\operatorname{sen} v}{v} dv - \int_{-c(z-b)}^{+c(z-b)} \frac{\operatorname{sen} v}{v} dv.$$

Observe que a função $h(r, s) = \int_r^s \frac{\operatorname{sen} v}{v} dv$ é limitada e tende a algum número positivo $\lambda > 0$ quando $s \rightarrow -\infty$ e $r \rightarrow +\infty$. Mais abaixo vamos descobrir o valor desse limite λ .

De volta às funções g_c , separando em casos, obtemos

$$\lim_{c \rightarrow +\infty} g_c(z) = 2\lambda \left[\mathbb{1}_{(a,b)}(z) + \frac{1}{2} \mathbb{1}_{\{a,b\}}(z) \right].$$

Como g_c é limitada, pelo Teorema da Convergência Dominada,

$$\lim_{c \rightarrow +\infty} A_c = \lim_{c \rightarrow +\infty} \frac{1}{2\pi} \mathbb{E}[g_c(X)] = \frac{\lambda}{\pi} \mathbb{P}(a < X < b) + \frac{1}{2} \frac{\lambda}{\pi} \mathbb{P}(X \in \{a, b\}).$$

Repare que o enunciado do teorema é para pontos a e b onde F_X é contínua. Usando o fato de que $\int_{-c}^{+c} \frac{\operatorname{sen} v}{v} dv \rightarrow \pi$, isso completa a prova do teorema.

Provaremos agora que $\lambda = \pi$, isto é, $\int_{-c}^{+c} \frac{\operatorname{sen} v}{v} dv \rightarrow \pi$. Esta integral, condicionalmente convergente, é conhecida como integral de Dirichlet.

Consideramos o caso $X \sim \mathcal{N}(0, 1)$, que, convenientemente, tem como função

característica um múltiplo da sua densidade. Pela fórmula de inversão,

$$\begin{aligned}
 \frac{\lambda}{\pi} [F_X(b) - F_X(a)] &= \lim_{c \rightarrow +\infty} \frac{1}{2\pi} \int_a^b \int_{-c}^{+c} e^{-ixt} \varphi_X(t) dt dx. \\
 &= \lim_{c \rightarrow +\infty} \int_a^b \frac{1}{\sqrt{2\pi}} \left(\int_{-c}^{+c} e^{-itx} \frac{e^{-t^2/2}}{\sqrt{2\pi}} dt \right) dx \\
 &= \int_a^b \frac{1}{\sqrt{2\pi}} \left(\int_{-\infty}^{+\infty} e^{-itx} \frac{e^{-t^2/2}}{\sqrt{2\pi}} dt \right) dx \\
 &= \int_a^b \frac{1}{\sqrt{2\pi}} e^{-x^2/2} dx \\
 &= F_X(b) - F_X(a),
 \end{aligned}$$

donde concluímos que $\lambda = \pi$. Nas igualdades acima usamos o Teorema da Convergência Dominada (a densidade é integrável e $|e^{-itx}| = 1$), e o valor da integral correspondente à função característica da normal.

Essa prova de que $\int_{-c}^{+c} \frac{\text{sen } v}{v} dv \rightarrow \pi$ ilustra a técnica de aceitar um resultado parcial com constante indeterminada e descobrir a constante após aplicar o argumento a um caso concreto. Outra prova de $\int_{-c}^{+c} \frac{\text{sen } v}{v} dv \rightarrow \pi$, que tampouco usa Análise Complexa, consiste em escrever

$$\begin{aligned}
 \int_0^{+c} \frac{\text{sen } v}{v} dv &= \int_0^{+c} \int_0^{+\infty} e^{-xv} \text{sen } v dx dv = \int_0^{+\infty} \int_0^{+c} e^{-xv} \text{sen } v dv dx \\
 &= \int_0^{+\infty} \frac{1 - e^{-cx} (\cos c + x \text{sen } c)}{1 + x^2} dx \rightarrow \int_0^{+\infty} \frac{1}{1 + x^2} dx = \frac{\pi}{2}
 \end{aligned}$$

quando $c \rightarrow +\infty$. Comutar as integrais é justificado pelo Teorema de Fubini pois $\int_0^c |\frac{\text{sen } v}{v}| dv \leq 1 + [\log c]^+ < \infty$, enquanto o limite é justificado pelo Teorema da Convergência Dominada pois o numerador é dominado por $1 + 1 + e^{-1}$ para todo $x \geq 0$ e $c \geq 1$.

Assim completamos a prova de que $\int_{-c}^{+c} \frac{\text{sen } v}{v} dv \rightarrow \pi$ e, com isso, provamos a fórmula de inversão.

10.5 Exercícios

§10.1

1. Seja $X \sim \mathcal{N}(\mu, \sigma^2)$.

- (a) Mostre que, se $\mu = 0$ e $\sigma = 1$, então $M_X(t) = e^{\frac{t^2}{2}}$.
- (b) Mostre que $M_X(t) = e^{\frac{\sigma^2 t^2}{2} + \mu t}$.
- (c) Use a função geradora de momentos para calcular $\mathbb{E}X$ e $\mathbb{V}X$.

Dica: $2tx - x^2 = t^2 - (x - t)^2$.

2. Seja $X \sim \mathcal{U}[a, b]$.

- (a) Mostre que $M_X(t) = \frac{e^{tb} - e^{ta}}{t(b-a)}$.
- (b) Use a função geradora de momentos para calcular $\mathbb{E}X$ e $\mathbb{V}X$.

3. Seja $X \sim \text{Exp}(\lambda)$.

- (a) Mostre que $M_X(t) = \frac{\lambda}{\lambda - t}$ para $t < \lambda$ e $+\infty$ para $t \geq \lambda$.
- (b) Use a função geradora de momentos para calcular $\mathbb{E}X$ e $\mathbb{V}X$.

4. Seja Y uma variável aleatória absolutamente contínua com função de densidade dada por

$$f_Y(y) = \begin{cases} ye^{-y}, & y > 0, \\ 0, & \text{caso contrário.} \end{cases}$$

Ache a função geradora de momentos de Y e use-a para calcular $\mathbb{E}Y$ e $\mathbb{V}Y$.

5. Seja X uma variável aleatória. Mostre que o conjunto $\{t \in \mathbb{R} : M_X(t) < \infty\}$ é um intervalo que contém o ponto $t = 0$.

§10.2

6. Seja $X \sim \text{Exp}(\lambda)$, calcule $\varphi_X(t)$.

7. Sejam $X_1 \sim \mathcal{N}(\mu_1, \sigma_1^2)$ e $X_2 \sim \mathcal{N}(\mu_2, \sigma_2^2)$ independentes. Utilize funções características para mostrar que $X_1 + X_2 \sim \mathcal{N}(\mu_1 + \mu_2, \sigma_1^2 + \sigma_2^2)$.

8. Suponha que $\varphi_X(t) = e^{-|t|}$. Mostre que X não é integrável.
9. Mostre que uma variável aleatória X é simétrica, isto é, $X \sim -X$ se, e somente se, sua função característica é uma função real.
10. Dado $a > 0$, qual é a variável aleatória cuja função característica é $\cos(at)$? Qual a variável aleatória cuja função característica é $\cos^2 t$?

§10.3

11. Sejam X uma variável aleatória e φ sua respectiva função característica.
- (a) Mostre que se existe $t_0 \neq 0$ tal que $|\varphi(t_0)| = 1$, então existe $a \in \mathbb{R}$ de modo que a distribuição de X esteja concentrada nos números da forma $a + \frac{2\pi n}{t_0}$, $n \in \mathbb{Z}$. Isto é, $\sum_{n \in \mathbb{Z}} \mathbb{P}(X = a + \frac{2\pi n}{t_0}) = 1$.
- (b) Mostre que, se $|\varphi(t)| = 1$ para todo $t \in \mathbb{R}$, então X é degenerada.
12. Sejam $(X_n)_n$ e $(\varphi_n)_n$ uma sequência de variáveis aleatórias e suas respectivas funções características. Mostre que $X_n \xrightarrow{d} 0$ se, e somente se, existe $\varepsilon > 0$ tal que $\varphi_n(t) \rightarrow 1$, quando $n \rightarrow \infty$, para todo $t \in (-\varepsilon, \varepsilon)$.

§10.4

13. Suponha que $\int_{\mathbb{R}} |\varphi_X(t)| dt < \infty$. Prove que X é absolutamente contínua com densidade $f_X(x) = \frac{1}{2\pi} \int_{\mathbb{R}} e^{-itx} \varphi_X(t) dt$.
14. Sejam X, Y independentes com distribuição $\text{Exp}(1)$ e defina $Z = X - Y$.
- (a) Mostre que $\varphi_Z(t) = \varphi_X(t)\varphi_Y(-t)$ para todo $t \in \mathbb{R}$.
- (b) Encontre φ_Z .
- (c) Encontre f_Z .
- (d) Prove que $\frac{1}{2\pi} \int_{\mathbb{R}} e^{-itx} \frac{1}{1+t^2} dt = \frac{e^{-|x|}}{2}$.
15. Suponha que $X \sim \text{Cauchy}(0, 1)$. Prove que $\varphi_X(t) = e^{-|t|}$.

Capítulo 11

Esperança Condicional

Em inúmeras situações queremos estudar o comportamento de uma dada variável aleatória X em termos de outra variável aleatória Y , seja porque dispomos de informação acerca de Y , seja porque é mais conveniente fazer cálculos primeiro tendo seu valor congelado e depois integrando sobre seus possíveis valores.

De forma mais abstrata, podemos estar interessados no comportamento de uma variável aleatória X tendo acesso a determinado tipo de informação, não necessariamente representada por outra variável aleatória. No caso mais geral, essa informação é representada pela σ -álgebra dos eventos cuja ocorrência podemos observar a priori. Começaremos por um caso mais simples.

11.1 Esperança condicional dada uma partição

Muitas vezes conseguimos dividir Ω em poucas classes que podem ser estudadas separadamente para depois ver-se o todo. Nesta seção vamos trabalhar com *partições finitas*, isto é, partições da forma $\mathcal{D} = \{D_1, D_2, \dots, D_m\}$ para algum $m \in \mathbb{N}$.

Exemplo 11.1. Sejam X_1, X_2, X_3, \dots variáveis aleatórias assumindo valores

em $\{-1, 1\}$. O espaço Ω pode ser dividido em quatro eventos onde ambas X_1 e X_2 são constantes. \triangle

Recordemos a definição de esperança condicional de uma variável aleatória simples X dado um evento A , vista na Seção 5.4:

$$\mathbb{E}[X|A] = \sum_x x \cdot \mathbb{P}(X = x|A).$$

Definição 11.2 (Esperança condicional dada uma partição). Sejam X uma variável aleatória simples e \mathcal{D} uma partição finita de Ω . Definimos a *esperança condicional de X dado \mathcal{D}* , denotada por $\mathbb{E}[X|\mathcal{D}]$, como sendo a variável aleatória dada por

$$\mathbb{E}[X|\mathcal{D}](\omega) = \sum_k \mathbb{E}[X|D_k] \mathbf{1}_{D_k}(\omega).$$

Ou seja, para cada $D \in \mathcal{D}$, a variável aleatória $\mathbb{E}[X|\mathcal{D}]$ assume o valor $\mathbb{E}[X|D]$ quando D ocorre.

A esperança condicional $\mathbb{E}[X|\mathcal{D}]$ é a uma aproximação para X que depende apenas da informação relacionada à partição \mathcal{D} . Ela é grosseira o suficiente para atender à restrição de ser constante nos eventos de \mathcal{D} , mas fina o suficiente para ser a melhor entre todas as aproximações sujeitas a essa restrição. Veja a Figura 11.1.

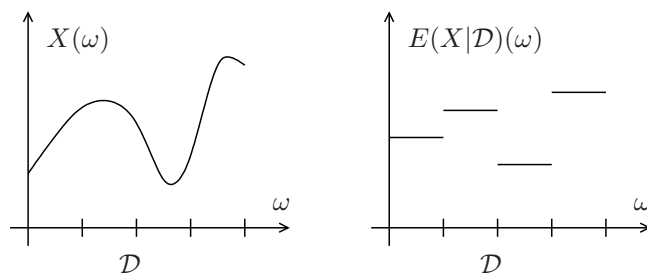


Figura 11.1. Ilustração da definição de esperança condicional.

Exemplo 11.3. Um dado honesto é lançado. Seja X o valor exibido pelo dado e defina a partição $\mathcal{D} = \{\{X \text{ é par}\}, \{X \text{ é ímpar}\}\}$. Neste caso,

$$\mathbb{E}[X|\mathcal{D}](\omega) = \begin{cases} \mathbb{E}[X|X \text{ é par}], & \text{se } X(\omega) \text{ é par,} \\ \mathbb{E}[X|X \text{ é ímpar}], & \text{se } X(\omega) \text{ é ímpar.} \end{cases}$$

Assim,

$$\mathbb{E}[X|\mathcal{D}](\omega) = \begin{cases} 4, & \text{se } X(\omega) \text{ é par,} \\ 3, & \text{se } X(\omega) \text{ é ímpar.} \end{cases} \quad \triangle$$

Proposição 11.4 (Propriedades da esperança condicional). *Sejam X e Y variáveis aleatórias simples, \mathcal{D} uma partição finita de Ω e $a, b \in \mathbb{R}$. Então valem as seguintes propriedades:*

- (1) $\mathbb{E}[a|\mathcal{D}] = a$.
- (2) Se $X \leq Y$, então $\mathbb{E}[X|\mathcal{D}] \leq \mathbb{E}[Y|\mathcal{D}]$.
- (3) $\mathbb{E}[aX + bY|\mathcal{D}] = a\mathbb{E}[X|\mathcal{D}] + b\mathbb{E}[Y|\mathcal{D}]$.

Demonstração. A prova é baseada no fato de que essas mesmas propriedades valem quando condicionamos a um evento D fixo. Com efeito, $\mathbb{E}[a|\mathcal{D}] = \sum_k \mathbb{E}[a|D_k] \mathbf{1}_{D_k} = a \sum_k \mathbf{1}_{D_k} = a$, $\mathbb{E}[aX + bY|\mathcal{D}] = \sum_k \mathbb{E}[aX + bY|D_k] \mathbf{1}_{D_k} = a \sum_k \mathbb{E}[X|D_k] \mathbf{1}_{D_k} + b \sum_k \mathbb{E}[Y|D_k] \mathbf{1}_{D_k} = a\mathbb{E}[X|\mathcal{D}] + b\mathbb{E}[Y|\mathcal{D}]$ e, se $X \leq Y$, vale $\mathbb{E}[X|\mathcal{D}] = \sum_k \mathbb{E}[X|D_k] \mathbf{1}_{D_k} \leq \sum_k \mathbb{E}[Y|D_k] \mathbf{1}_{D_k} = \mathbb{E}[Y|\mathcal{D}]$. \square

Teorema 11.5 (Esperança iterada). *Sejam X uma variável aleatória simples e \mathcal{D} uma partição finita. Então*

$$\mathbb{E}X = \mathbb{E}[\mathbb{E}[X|\mathcal{D}]].$$

Demonstração. Expandindo a definição de $\mathbb{E}[X|\mathcal{D}]$, obtemos

$$\begin{aligned} \mathbb{E}[\mathbb{E}[X|\mathcal{D}]] &= \mathbb{E}[\sum_k \mathbb{E}[X|D_k] \mathbf{1}_{D_k}] = \sum_k \mathbb{E}[X|D_k] \mathbb{P}(D_k) \\ &= \sum_k \mathbb{E}[X \cdot \mathbf{1}_{D_k}] = \mathbb{E}[X \cdot \sum_k \mathbf{1}_{D_k}] = \mathbb{E}X, \end{aligned}$$

sendo que a terceira igualdade segue da Proposição 5.52. \square

Exemplo 11.6. No lançamento do dado considerado no Exemplo 11.3,

$$\mathbb{E}X = \mathbb{E}[\mathbb{E}[X|\mathcal{D}]] = \frac{1}{2}4 + \frac{1}{2}3 = \frac{7}{2}. \quad \triangle$$

Definição 11.7. Seja $\mathcal{D} = \{D_1, \dots, D_m\}$ uma partição finita e X uma variável aleatória simples. Dizemos que X é \mathcal{D} -mensurável se existem números x_1, \dots, x_m , não necessariamente distintos, tais que

$$X = \sum_k x_k \mathbb{1}_{D_k}.$$

A equação acima diz que X é constante nos eventos de \mathcal{D} , o que também interpretamos como que a informação sobre \mathcal{D} determina o valor de X .

Observe que $\mathbb{E}[X|\mathcal{D}]$ sempre é \mathcal{D} -mensurável.

O teorema a seguir diz que, se uma dada variável aleatória é \mathcal{D} -mensurável, então ela sai da esperança condicional como se fosse uma constante.

Teorema 11.8. *Sejam X e Y variáveis aleatórias simples e \mathcal{D} uma partição finita. Se Y é \mathcal{D} -mensurável, então*

$$\mathbb{E}[XY|\mathcal{D}] = Y \cdot \mathbb{E}[X|\mathcal{D}]$$

e, em particular, $\mathbb{E}[Y|\mathcal{D}] = Y$.

Demonstração. Escrevendo $Y = \sum_j y_j \mathbb{1}_{D_j}$, para cada j fixado, vale a identidade

$$\mathbb{E}[XY|D_j] = \mathbb{E}[y_j X|D_j] = y_j \mathbb{E}[X|D_j],$$

donde $\mathbb{E}[XY|\mathcal{D}] = Y \cdot \mathbb{E}[X|\mathcal{D}]$ para todo $\omega \in D_j$. Como isso vale para todo j , vale a identidade para todo $\omega \in \Omega$. \square

Observação 11.9 (Melhor aproximação na média quadrática). Vejamos que $\mathbb{E}[X|\mathcal{D}]$ é a melhor aproximação \mathcal{D} -mensurável para X , no sentido de que, dentre todas as variáveis aleatórias Z que são \mathcal{D} -mensuráveis, é a que minimiza o erro quadrático médio $\mathbb{E}|Z - X|^2$. Com efeito, tomando $W = \mathbb{E}[X|\mathcal{D}]$, mostraremos que $\mathbb{E}|X - W|^2 \leq \mathbb{E}|X - Z|^2$ para toda variável Z , \mathcal{D} -mensurável. Expandindo e usando o Teorema 11.8 duas vezes,

$$\begin{aligned} & \mathbb{E}[(X - Z)^2|\mathcal{D}] - \mathbb{E}[(X - W)^2|\mathcal{D}] - \mathbb{E}[(Z - W)^2|\mathcal{D}] \\ &= 2\mathbb{E}[(X - W)(W - Z)|\mathcal{D}] \\ &= 2(W - Z)(\mathbb{E}[X|\mathcal{D}] - \mathbb{E}[W|\mathcal{D}]) \\ &= 2(W - Z)(\mathbb{E}[X|\mathcal{D}] - W) = 0, \end{aligned}$$

pois $W - Z$ e W são \mathcal{D} -mensuráveis. Tomando esperança na equação acima,

$$\mathbb{E}(X - Z)^2 = \mathbb{E}(X - W)^2 + \mathbb{E}(Z - W)^2 \geq \mathbb{E}(X - W)^2. \quad \triangle$$

Observamos que a esperança condicional $\mathbb{E}[X|\mathcal{D}]$ é a *única* variável aleatória \mathcal{D} -mensurável tal que

$$\mathbb{E}[\mathbb{E}[X|\mathcal{D}]\mathbf{1}_B] = \mathbb{E}[X\mathbf{1}_B] \quad (11.10)$$

para todo $B \in \mathcal{D}$. A unicidade aqui é no sentido de que qualquer outra variável aleatória cumprindo essas duas condições tem que ser necessariamente igual a $\mathbb{E}[X|\mathcal{D}]$ exceto nos eventos de \mathcal{D} que tenham probabilidade zero.

As principais propriedades da esperança condicional podem ser obtidas diretamente a partir desta caracterização de $\mathbb{E}[X|\mathcal{D}]$. Veremos como essa definição alternativa ajuda na prova do teorema abaixo.

Dadas duas partições \mathcal{C} e \mathcal{D} , dizemos que \mathcal{D} é *mais fina* que \mathcal{C} , denotado por $\mathcal{D} \succ \mathcal{C}$, se para todo $D \in \mathcal{D}$ existe $C \in \mathcal{C}$ tal que $D \subseteq C$. Isso significa que \mathcal{D} tem “mais informação” do que \mathcal{C} , pois os eventos de \mathcal{D} formam uma subdivisão dos eventos de \mathcal{C} .

Teorema 11.11 (Esperança condicional iterada). *Sejam X uma variável*

aleatória simples e \mathcal{C} e \mathcal{D} partições finitas de Ω . Se $\mathcal{D} \succcurlyeq \mathcal{C}$, então

- (1) $\mathbb{E}[\mathbb{E}[X|\mathcal{C}]|\mathcal{D}] = \mathbb{E}[X|\mathcal{C}]$ quase certamente,
- (2) $\mathbb{E}[\mathbb{E}[X|\mathcal{D}]|\mathcal{C}] = \mathbb{E}[X|\mathcal{C}]$ quase certamente.

Demonstração. Para clarificar a notação, denotamos $Y = \mathbb{E}[X|\mathcal{D}]$ e $Z = \mathbb{E}[X|\mathcal{C}]$. Para o item (1), como Z é \mathcal{C} -mensurável e $\mathcal{D} \succcurlyeq \mathcal{C}$, segue que Z é \mathcal{D} -mensurável, donde $\mathbb{E}[Z|\mathcal{D}] = Z$. Provemos agora o item (2). Seja $A \in \mathcal{C}$. Pela definição de Z , temos $\mathbb{E}[Z\mathbb{1}_A] = \mathbb{E}[X\mathbb{1}_A]$. Por outro lado, $A = B_1 \cup \dots \cup B_k$, com $B_1, \dots, B_k \in \mathcal{D}$ e, pela definição de Y , temos $\mathbb{E}[X\mathbb{1}_{B_j}] = \mathbb{E}[Y\mathbb{1}_{B_j}]$ para $j = 1, \dots, k$. Somando sobre j , obtemos $\mathbb{E}[X\mathbb{1}_A] = \mathbb{E}[Y\mathbb{1}_A]$. Como Z é \mathcal{C} -mensurável e $\mathbb{E}[Z\mathbb{1}_A] = \mathbb{E}[Y\mathbb{1}_A]$ para todo $A \in \mathcal{C}$, concluímos que $Z = \mathbb{E}[Y|\mathcal{C}]$ q.c. pela observação acima. Como Z é \mathcal{C} -mensurável e $\mathbb{E}[Z\mathbb{1}_A] = \mathbb{E}[Y\mathbb{1}_A]$ para todo $A \in \mathcal{C}$, concluímos que Z é q.c. igual a $\mathbb{E}[Y|\mathcal{C}]$. \square

11.2 Função de probabilidade condicional

Consideramos agora o caso em que a partição é dada pelos valores assumidos por uma outra variável aleatória.

Definição 11.12 (Partição induzida por uma variável aleatória). Seja Y uma variável aleatória simples. Sejam a_1, \dots, a_m os distintos valores assumidos por Y e $D_j = \{Y = a_j\}$, de forma que $Y = \sum_{k=1}^m a_k \mathbb{1}_{D_k}$. Definimos a *partição induzida por Y* como $\mathcal{D}_Y = \{D_1, D_2, \dots, D_m\}$.

Observe que Y sempre é \mathcal{D}_Y -mensurável. Ademais, se $X = g(Y)$ para alguma função $g: \mathbb{R} \rightarrow \mathbb{R}$, então X também é \mathcal{D}_Y -mensurável. Reciprocamente, se X é \mathcal{D}_Y -mensurável, então $X = g(Y)$ para alguma $g: \mathbb{R} \rightarrow \mathbb{R}$.

Definição 11.13 (Esperança condicional dada uma variável aleatória). Sejam X e Y variáveis aleatórias simples. Definimos a *esperança condicional de X dado Y* como sendo a variável aleatória

$$\mathbb{E}[X|Y] = \mathbb{E}[X|\mathcal{D}_Y].$$

Ou seja, $\mathbb{E}[X|Y]$ assume o valor $\mathbb{E}[X|Y = y]$ no evento $\{Y = y\}$.

Neste contexto, a Observação 11.9 nos diz que $\mathbb{E}[X|Y]$ é, dentre todas as variáveis aleatórias Z que podem ser expressas como $Z = g(Y)$ para alguma $g : \mathbb{R} \rightarrow \mathbb{R}$, a que minimiza $\mathbb{E}(Z - X)^2$.

Na prática, podemos calcular $\mathbb{E}[X|Y]$ da seguinte maneira. Primeiro definimos a *função de probabilidade condicional de X dado Y* como

$$p_{X|Y}(x|y) = \frac{p_{X,Y}(x,y)}{p_Y(y)} \quad (11.14)$$

para todo y tal que $p_Y(y) > 0$. Nos pontos y tais que $p_Y(y) = 0$ podemos definir $p_{X|Y}(x|y) = p_X(x)$. Depois calculamos

$$\mathbb{E}[X|Y = y] = \sum_x x \cdot p_{X|Y}(x|y). \quad (11.15)$$

Exemplo 11.16. Seja (X, Y) vetor aleatório com função de probabilidade conjunta dada por $p_{X,Y}(0,0) = \frac{2}{5}$, $p_{X,Y}(0,1) = \frac{1}{5}$, $p_{X,Y}(1,0) = \frac{1}{10}$ e $p_{X,Y}(1,1) = \frac{3}{10}$. Então, a função de probabilidade marginal de Y , p_Y , é dada por

$$p_Y(0) = \frac{1}{2} \quad \text{e} \quad p_Y(1) = \frac{1}{2},$$

o que por sua vez nos permite calcular a função de probabilidade condicional de X dado Y , $p_{X|Y}(x|y)$, através de (11.14), obtendo

$$p_{X|Y}(0|0) = \frac{4}{5}, \quad p_{X|Y}(1|0) = \frac{1}{5}, \quad p_{X|Y}(0|1) = \frac{2}{5}, \quad p_{X|Y}(1|1) = \frac{3}{5},$$

isto é,

$$p_{X|Y}(0|y) = \frac{4-2y}{5} \quad \text{e} \quad p_{X|Y}(1|y) = \frac{1+2y}{5}.$$

Portanto, podemos calcular, via (11.15), que

$$\mathbb{E}[X|Y = y] = \frac{1+2y}{5}, \quad \text{para } y = 0 \text{ ou } y = 1,$$

logo $\mathbb{E}[X|Y] = \frac{1+2Y}{5}$ quase certamente. \triangle

Exemplo 11.17. Sejam $X \sim \text{Binom}(n, p)$ e $Z \sim \text{Binom}(m, p)$ variáveis independentes e $Y = X + Z$. Conforme visto no Exemplo 4.19, $Y \sim \text{Binom}(n + m, p)$, logo, $p_Y(y) = \binom{m+n}{y} p^y (1-p)^{n+y}$. Agora podemos calcular

$$\begin{aligned} p_{X|Y}(x|y) &= \frac{p_{X,Y}(x, y)}{p_Y(y)} = \frac{p_{X,Z}(x, y-x)}{p_Y(y)} = \frac{p_X(x)p_Z(y-x)}{p_Y(y)} \\ &= \frac{\binom{n}{x} p^x (1-p)^{n-x} \binom{m}{y-x} p^{y-x} (1-p)^{m-y+x}}{\binom{n+m}{y} p^y (1-p)^{n+m-y}} = \frac{\binom{n}{x} \binom{m}{y-x}}{\binom{n+m}{y}}, \end{aligned}$$

onde na terceira igualdade utilizamos o fato de X e Z serem independentes. Portanto, para todo $y = 0, \dots, n + m$,

$$\begin{aligned} \mathbb{E}[X|Y = y] &= \sum_{x=0}^{n \wedge y} x \frac{\binom{n}{x} \binom{m}{y-x}}{\binom{n+m}{y}} = \frac{n \sum_{x=1}^{n \wedge y} \binom{n-1}{x-1} \binom{m}{y-x}}{\binom{n+m}{y}} \\ &= \frac{n \binom{n+m-1}{y-1}}{\binom{n+m}{y}} = \frac{ny}{n+m}. \end{aligned}$$

Logo, $\mathbb{E}[X|Y] = \frac{n}{m+n} Y$ quase certamente. \triangle

Nos exemplos acima, $p_{X|Y}$ foi calculado a partir de $p_{X,Y}$ via (11.14). Isso é útil quando literalmente podemos observar Y e queremos atualizar nossas expectativas com respeito à distribuição de X . Há também o caso em que $p_{X|Y}$, ao invés de calculado, é especificado ou deduzido por primeiros princípios, e serve para aplicar (11.15) entre outras ferramentas.

Exemplo 11.18. Um jogador lança um dado, e Y denota o número observado. Em seguida lança uma moeda honesta Y vezes, e X denota o número de coroas obtidas. Queremos calcular $\mathbb{E}[X|Y]$ e $\mathbb{E}X$. Para cada $y = 1, \dots, 6$ e $x = 0, \dots, y$, temos $p_{X|Y}(x|y) = \binom{y}{x} 2^{-y}$. Calculamos então $\mathbb{E}[X|Y = y] = \sum_x x \cdot \binom{y}{x} 2^{-y} = \frac{y}{2}$. Portanto, $\mathbb{E}[X|Y] = \frac{Y}{2}$ e, tomando a esperança iterada, $\mathbb{E}X = \mathbb{E}[\mathbb{E}[X|Y]] = \mathbb{E}[\frac{Y}{2}] = \frac{7}{4}$. \triangle

A partir da função de probabilidade condicional de X dado Y , podemos

também estudar a *distribuição condicional de X dado Y* , definida por

$$\mathbb{P}_{X|Y}(B|y) = \sum_{x \in B} p_{X|Y}(x|y) \quad (11.19)$$

para todo evento B .

Exemplo 11.20. Jogamos n moedas honestas, as que exibem cara permanecem como estão e as que exibem coroa são novamente lançadas. Sejam Y o número de coroas obtidas após a primeira rodada de lançamentos e X o número de coroas restantes após a segunda rodada de lançamentos. Neste caso, $p_{X|Y}(x|y) = \binom{y}{x} 2^{-y}$. Sendo assim, a distribuição condicional $\mathbb{P}_{X|Y}(\cdot|y)$ corresponde à distribuição Binom($y, \frac{1}{2}$). \triangle

O comportamento conjunto de X e Y , ou de X isoladamente, pode ser estudado a partir dessa distribuição condicional, calculando-se a média sobre y . Mais precisamente,

$$\mathbb{P}(X \in B, Y \in C) = \sum_{y \in C} \mathbb{P}_{X|Y}(B|y) p_Y(y) \quad (11.21)$$

para quaisquer subconjuntos $B, C \subseteq \mathbb{R}$.

Exemplo 11.22. Sejam X e Y as variáveis aleatórias definidas no Exemplo 11.20. Observando que quase certamente as variáveis X e Y assumem valores no conjunto $\{0, \dots, n\}$, podemos calcular a distribuição de X utilizando (11.21), com $B = \{k\}$ e $C = \{0, \dots, n\}$, isto é,

$$\begin{aligned} \mathbb{P}(X = k) &= \mathbb{P}(X = k, Y \in \{0, \dots, n\}) = \sum_{y=0}^n \mathbb{P}_{X|Y}(\{k\}|y) p_Y(y) \\ &= \sum_{y=0}^n \binom{y}{k} 2^{-y} \binom{n}{y} 2^{-n} = 2^{-n} \sum_{y=0}^n \binom{n}{k} \binom{n-k}{n-y} 2^{-y} \\ &= 2^{-n} \binom{n}{k} \sum_{j=0}^n \binom{n-k}{j} 2^{j-n} = 4^{-n} \binom{n}{k} \sum_{j=0}^{n-k} \binom{n-k}{j} 2^j 1^{n-k-j} \\ &= 4^{-n} \binom{n}{k} (2+1)^{n-k} = \binom{n}{k} \left(\frac{1}{4}\right)^k \left(\frac{3}{4}\right)^{n-k}, \end{aligned}$$

onde utilizamos o Teorema Binomial. Portanto, $X \sim \text{Binom}(n, \frac{1}{4})$. \triangle

A proposição abaixo diz que, se uma variável Y não nos dá informação alguma acerca de outra variável X , então a melhor aproximação para o valor de X sabendo-se o valor de Y nada mais é do que a própria esperança de X , não importando o valor de Y .

Proposição 11.23 (Variáveis independentes). *Sejam X e Y variáveis aleatórias simples. Se X e Y são independentes, então $\mathbb{E}[X|Y] = \mathbb{E}X$.*

Demonstração. Imediato pois

$$\mathbb{E}[X|Y = y] = \sum_x x \cdot p_{X|Y}(x|y) = \sum_x x \cdot p_X(x) = \mathbb{E}X$$

para todo $y \in \mathbb{R}$. \square

Exemplo 11.24. Sejam X_1, \dots, X_m variáveis com a mesma esperança, e N uma variável aleatória assumindo valores em $\{1, \dots, m\}$ independente de X_1, \dots, X_m . Definimos

$$S_N = X_1 + \dots + X_N,$$

a soma dos N primeiros termos da sequência. Ou seja, S_N é a soma de uma quantidade aleatória de variáveis aleatórias. Mais formalmente, definimos $S_n = X_1 + \dots + X_n$, para todo n , e então definimos $S_N = \sum_k S_k \mathbf{1}_{\{N=k\}}$. Vamos mostrar que

$$\mathbb{E}[S_N|N] = N \cdot \mathbb{E}X_1,$$

e, portanto, pelo Teorema 11.5,

$$\mathbb{E}[S_N] = \mathbb{E}N \cdot \mathbb{E}X_1,$$

isto é, o valor médio de uma soma aleatória é o valor médio do número de

parcelas vezes o valor médio de cada parcela. Com efeito,

$$\begin{aligned}
 \mathbb{E}[S_N|N] &= \sum_{k=1}^m \mathbb{E}[(X_1 + \cdots + X_k)\mathbb{1}_{\{N=k\}}|N] \\
 &= \sum_{k=1}^m \mathbb{1}_{\{N=k\}} \mathbb{E}[(X_1 + \cdots + X_k)|N] \\
 &= \sum_{k=1}^m \mathbb{1}_{\{N=k\}} \sum_{j=1}^k \mathbb{E}[X_j|N] \\
 &= \sum_{k=1}^m \mathbb{1}_{\{N=k\}} \sum_{j=1}^k \mathbb{E}[X_j] \\
 &= \mathbb{E}X_1 \cdot \sum_{k=1}^m k \mathbb{1}_{\{N=k\}} \\
 &= N \cdot \mathbb{E}X_1.
 \end{aligned}$$

Na segunda igualdade usamos o Teorema 11.8. Na quarta, usamos que X_j é independente de N , donde podemos aplicar a Proposição 11.23. Na quinta, usamos o fato de as variáveis $(X_j)_j$ terem a mesma esperança. \triangle

11.3 Densidade condicional

Dadas duas variáveis aleatórias simples X e Y , na seção anterior definimos a variável aleatória $\mathbb{E}[X|Y]$, que assume o valor $\mathbb{E}[X|Y=y]$ no evento $\{Y(\omega) = y\}$. Naquele contexto, o valor $\mathbb{E}[X|Y=y]$ para y tal que $\mathbb{P}(Y=y) > 0$ pode ser calculado a partir da distribuição condicional

$$\mathbb{P}_{X|Y}(B|y) = \mathbb{P}(X \in B | Y = y) = \frac{\mathbb{P}(X \in B, Y = y)}{\mathbb{P}(Y = y)}, \quad (11.25)$$

como feito nas Seções 3.4 e 5.4. Entretanto, quando Y é uma variável aleatória contínua, a fórmula (11.25) resulta na forma indeterminada $\frac{0}{0}$. Gostaríamos de poder definir $\mathbb{P}_{X|Y}(B|y)$ de forma tal que permita recuperar

as propriedades vistas na seção anterior.

Nesta seção consideraremos o caso em que X e Y têm densidade conjunta. Faremos uma apresentação informal buscando motivar as definições e propriedades mais importantes. Uma justificativa mais rigorosa das propriedades aqui enunciadas será dada na Seção 11.6.

Por analogia a (11.14) definimos a *densidade condicional de X dado Y* por

$$f_{X|Y}(x|y) = \frac{f_{X,Y}(x,y)}{f_Y(y)} \quad (11.26)$$

para todo y tal que $f_Y(y) > 0$. Os valores de y onde f_Y vale zero não importam, e nesse caso podemos definir, por exemplo, $f_{X|Y}(x|y) = f_X(x)$.

Observe-se que, se multiplicamos a equação acima por Δx , obtemos

$$\begin{aligned} f_{X|Y}(x|y) \Delta x &= \frac{f_{X,Y}(x,y) \Delta x \Delta y}{f_Y(y) \Delta y} \approx \frac{\mathbb{P}(x \leq X \leq x + \Delta x, y \leq Y \leq Y + \Delta y)}{\mathbb{P}(y \leq Y \leq Y + \Delta y)} \\ &= \mathbb{P}(x \leq X \leq x + \Delta x | y \leq Y \leq Y + \Delta y). \end{aligned}$$

Ou seja, coerentemente com a ideia de que $f_X(x) \Delta x$ representa a probabilidade de que X estar em $[x, x + \Delta x]$, aqui $f_{X|Y}(x|y) \Delta x$ representa a probabilidade condicional de tal evento dado que Y está em $[y, y + \Delta y]$.

A densidade condicional de X dado Y define uma distribuição parametrizada por y , à que chamamos *distribuição condicional de X dado Y* , dada por

$$\mathbb{P}_{X|Y}(B|y) = \int_B f_{X|Y}(x|y) dx \quad (11.27)$$

para todo intervalo $B \subseteq \mathbb{R}$. Repare na semelhança com (11.19).

Assim como vimos no caso discreto, a distribuição conjunta de X e Y , ou de X isoladamente, pode ser calculada a partir dessa distribuição condicional, tomando-se a média sobre y , isto é,

$$\mathbb{P}(X \in B, Y \in C) = \int_C \mathbb{P}_{X|Y}(B|y) f_Y(y) dy, \quad (11.28)$$

para quaisquer intervalos B e C , veja a semelhança com (11.21).

Observe que logramos obter expressões úteis envolvendo probabilidades condicionais, apesar de estarmos condicionando em um evento de medida zero. Essas expressões justificam-se mutuamente, pois

$$\iint_{B \times C} f_{X,Y}(x,y) dx dy = \int_C \left(\int_B \frac{f_{X,Y}(x,y)}{f_Y(y)} dx \right) f_Y(y) dy. \quad (11.29)$$

Exemplo 11.30. Sejam X e Y com densidade conjunta

$$f_{X,Y}(x,y) = \begin{cases} 6xy(2-x-y), & 0 < x < 1, 0 < y < 1, \\ 0, & \text{caso contrário.} \end{cases}$$

Vamos determinar a densidade condicional de X dado Y . Primeiramente,

$$f_Y(y) = \int_{-\infty}^{+\infty} f_{X,Y}(x,y) dx = \int_0^1 6xy(2-x-y) dx = 4y - 3y^2$$

se $y \in (0,1)$ e 0 caso contrário. Para $y \in [0,1]$, calculamos

$$f_{X|Y}(x|y) = \frac{f_{X,Y}(x,y)}{f_Y(y)} = \frac{6x(2-x-y)}{4-3y} \mathbb{1}_{[0,1]}(x)$$

Para $y \notin [0,1]$, tomamos, por exemplo, $f_{X|Y}(x|y) = 6x(1-x)\mathbb{1}_{[0,1]}(x)$. \triangle

Exemplo 11.31. Sejam X e Y com densidade conjunta

$$f_{X,Y}(x,y) = \begin{cases} \frac{1}{2}ye^{-xy}, & 0 < x < \infty \text{ e } 0 < y < 2, \\ 0, & \text{caso contrário.} \end{cases}$$

Vamos determinar a densidade condicional de X dado Y . Temos

$$f_Y(y) = \int_{-\infty}^{+\infty} f_{X,Y}(x,y) dx = \frac{1}{2} \int_0^{\infty} ye^{-xy} dx = \frac{1}{2}$$

para $0 < y < 2$. Logo $Y \sim \mathcal{U}[0, 2]$. Assim, para $y \in (0, 2)$ temos

$$f_{X|Y}(x|y) = \frac{f_{X,Y}(x,y)}{f_Y(y)} = \begin{cases} ye^{-xy}, & x > 0, \\ 0, & x \leq 0. \end{cases} \quad \triangle$$

Uma situação muito comum na prática é quando são especificadas f_Y e $f_{X|Y}$. Neste caso, podemos estudar a variável X a partir de Y e da informação sobre como esta influencia aquela. Mais precisamente, podemos usar

$$f_{X,Y}(x,y) = f_{X|Y}(x|y) f_Y(y)$$

e

$$f_X(x) = \int_{-\infty}^{+\infty} f_{X|Y}(x|y) f_Y(y) dy.$$

Exemplo 11.32. Sejam X e Y variáveis aleatórias tais que $Y \sim \mathcal{U}[0, 2]$ e, condicionado a que $Y = y$, X tem distribuição uniforme em $[0, y]$. Isto é,

$$f_{X|Y}(x|y) = \begin{cases} \frac{1}{y}, & 0 < x < y < 2, \\ 0, & \text{caso contrário.} \end{cases}$$

Sendo assim, podemos calcular as densidades conjunta e marginal utilizando as fórmulas acima.

$$f_{X,Y}(x,y) = f_{X|Y}(x|y) f_Y(y) = \begin{cases} \frac{1}{2y}, & 0 < x < y < 2, \\ 0, & \text{caso contrário.} \end{cases}$$

e

$$f_X(x) = \int_{-\infty}^{+\infty} f_{X|Y}(x|y) f_Y(y) dy = \int_{x \wedge 2}^2 \frac{1}{2y} \frac{1}{2} dy = -\frac{1}{2} \log \frac{x}{2} \mathbf{1}_{(0,2]}(x). \quad \triangle$$

Exemplo 11.33. Sejam X e Y variáveis aleatória, onde $Y \sim \text{Gama}(2, \lambda)$ e condicionado que $Y = y$, X tem distribuição $\mathcal{U}[0, y]$. Isto é, a densidade condicional $f_{X|Y}$ é especificada e vale $\frac{1}{y} \mathbf{1}_{[0,y]}(x)$. Sendo assim, podemos

determinar a densidade de X como

$$\begin{aligned} f_X(x) &= \int_{-\infty}^{+\infty} f_{X|Y}(x|y) f_Y(y) \, dy = \mathbb{1}_{[0,+\infty)}(x) \int_x^{+\infty} \frac{1}{y} \lambda^2 y e^{-\lambda y} \, dy \\ &= \lambda e^{-\lambda x} \mathbb{1}_{(0,+\infty)}(x). \end{aligned}$$

Isto é, $X \sim \text{Exp}(\lambda)$. \triangle

A partir da distribuição condicional de X dado Y , podemos calcular a esperança condicional de X dado Y . Por analogia a (11.15), definimos

$$\mathbb{E}[X|Y = y] = \int_{-\infty}^{+\infty} x \cdot f_{X|Y}(x|y) \, dx. \quad (11.34)$$

Exemplo 11.35. Se X e Y são as variáveis do Exemplo 11.32, podemos calcular

$$\mathbb{E}[X|Y = y] = \int_{-\infty}^{+\infty} x \cdot f_{X|Y}(x|y) \, dx = \int_0^y \frac{x}{y} \, dx = \frac{y}{2},$$

o que já era de se esperar dado que, condicionado ao evento $\{Y = y\}$, a variável X tem distribuição uniforme em $[0, y]$. \triangle

Como na seção anterior, definimos $\mathbb{E}[X|Y]$ como a variável aleatória que toma valor $\mathbb{E}[X|Y = y]$ no evento $\{Y = y\}$. Observe que $\mathbb{E}[X|Y]$ é uma variável aleatória que pode ser expressada como uma função de Y .

Exemplo 11.36. No Exemplo 11.31, calculemos $\mathbb{E}[X^2|Y]$ e $\mathbb{E}[X^2|Y = 1]$.

Considerando a densidade condicional já calculada no Exemplo 11.31, temos

$$\mathbb{E}[X^2|Y = y] = \int_0^{+\infty} x^2 y e^{-xy} \, dx = \frac{2}{y} \int_0^{+\infty} e^{-yx} \, dx = \frac{2}{y^2}.$$

Logo,

$$\mathbb{E}[X^2|Y] = \frac{2}{Y^2} \quad \text{e} \quad \mathbb{E}[X^2|Y = 1] = 2. \quad \triangle$$

Como no Teorema 11.5, vale a propriedade da esperança iterada:

$$\mathbb{E}X = \mathbb{E}[\mathbb{E}[X|Y]]. \quad (11.37)$$

No contexto da seção anterior, esta fórmula toma a forma

$$\mathbb{E}X = \sum_y \mathbb{E}[X|Y = y] p_Y(y),$$

enquanto que no contexto desta seção temos,

$$\mathbb{E}X = \int_{-\infty}^{+\infty} \mathbb{E}[X|Y = y] f_Y(y) dy.$$

Exemplo 11.38. Continuando os Exemplos 11.32 e 11.35,

$$\mathbb{E}X = \int_{-\infty}^{+\infty} \mathbb{E}[X|Y = y] f_Y(y) dy = \int_0^2 \frac{y}{2} \frac{1}{2} dy = \frac{1}{2}. \quad \triangle$$

11.4 Esperança condicional dada uma σ -álgebra

Na Seção 11.1, mencionamos que partições mais finas que outras codificam uma situação em que se tem acesso a mais informação. Pensamos em “informação” como a família de eventos cuja ocorrência é acessível a um determinado observador. A forma mais geral de representar informação, quando tem-se acesso a infinitos eventos, é através de uma σ -álgebra. Sejam $(\Omega, \mathcal{F}, \mathbb{P})$ um espaço de probabilidade, X uma variável aleatória e \mathcal{G} uma σ -álgebra mais grosseira que \mathcal{F} , isto é, $\mathcal{G} \subseteq \mathcal{F}$. Não há motivo algum para que X seja também mensurável com respeito à σ -álgebra \mathcal{G} . Em outras palavras, não há motivo para que a informação codificada por \mathcal{G} , que é mais grosseira que \mathcal{F} , seja suficiente para determinar o valor de X . Uma pergunta natural surge: qual seria a melhor variável aleatória \mathcal{G} -mensurável que poderia aproximar X em algum sentido? Reformulando a pergunta: qual a melhor aproximação para X quando temos acesso à informação codificada por \mathcal{G} ? Nesta seção, daremos esta resposta. Trata-se de um conceito bastante

abstrato, porém dos mais úteis e importantes em Probabilidade.

Definição 11.39 (Esperança condicional dada uma σ -álgebra). Sejam $(\Omega, \mathcal{F}, \mathbb{P})$ um espaço de probabilidade, X uma variável aleatória estendida integrável ou não-negativa, e $\mathcal{G} \subseteq \mathcal{F}$ uma σ -álgebra. Dizemos que uma variável aleatória estendida Z é a *esperança condicional de X dado \mathcal{G}* , denotada $Z = \mathbb{E}[X|\mathcal{G}]$, se Z é \mathcal{G} -mensurável e

$$\int_A Z \, d\mathbb{P} = \int_A X \, d\mathbb{P} \quad \text{para todo } A \in \mathcal{G}. \quad (11.40)$$

Tomando $A = \Omega$ acima, obtemos a propriedade da *esperança iterada*:

$$\mathbb{E}[\mathbb{E}[X|\mathcal{G}]] = \mathbb{E}X.$$

A existência de uma variável aleatória estendida $Z = \mathbb{E}[X|\mathcal{G}]$ satisfazendo a essas propriedades é garantida pelo teorema de Radon-Nikodým. Trataremos disso na próxima seção. Além disso, a esperança condicional $Z = \mathbb{E}[X|\mathcal{G}]$ é única quase certamente, pois isso é assegurado pela Proposição 5.74. Como a definição acima é insensível ao que acontece em conjuntos de medida nula, somente podemos esperar unicidade quase certa. Por isso, há *versões* de $\mathbb{E}[X|\mathcal{G}]$, e toda afirmação a seu respeito virá com um quantificador de que vale quase certamente.

Uma vantagem da definição de esperança condicional de uma variável aleatória estendida X dada uma σ -álgebra \mathcal{G} é a sua generalidade, pois, como dissemos acima, σ -álgebras são a ferramenta ideal para codificar informação. Com efeito, os objetos definidos nas duas seções anteriores são casos particulares da definição abaixo, como será justificado na Seção 11.6. A esperança condicional dada uma partição também é um caso particular, o que segue de (11.10).

Definição 11.41. Dadas duas variáveis aleatórias estendidas X e Y tais que X é integrável ou não-negativa, definimos a *esperança condicional de X dada Y* por

$$\mathbb{E}[X|Y] = \mathbb{E}[X|\sigma(Y)],$$

ou seja, é a esperança condicional dada a σ -álgebra gerada por Y .

Teorema 11.42 (Propriedades da esperança condicional). *Sejam $(\Omega, \mathcal{F}, \mathbb{P})$ um espaço de probabilidade, X e Y variáveis aleatórias integráveis, $\mathcal{G} \subseteq \mathcal{F}$ uma σ -álgebra e $a, b, c \in \mathbb{R}$. Então:*

- (1) $\mathbb{E}[c|\mathcal{G}] = c$ q.c.
- (2) Se $X \leq Y$ q.c., então $\mathbb{E}[X|\mathcal{G}] \leq \mathbb{E}[Y|\mathcal{G}]$ q.c.
- (3) $\mathbb{E}[aX + bY|\mathcal{G}] = a\mathbb{E}[X|\mathcal{G}] + b\mathbb{E}[Y|\mathcal{G}]$ q.c.

Essas propriedades também valem para variáveis aleatórias estendidas não-negativas X e Y com constantes $a, b, c \in [0, +\infty]$.

Demonstração. Para o item (1), observe que a variável constante $X(\omega) = c$ é \mathcal{G} -mensurável e $\int_A X \, d\mathbb{P} = \int_A c \, d\mathbb{P}$ para todo $A \in \mathcal{G}$.

Se $X \leq Y$, então $X\mathbb{1}_A \leq Y\mathbb{1}_A$ para todo $A \in \mathcal{G}$, logo

$$\int_A X \, d\mathbb{P} = \int_{\Omega} X\mathbb{1}_A \, d\mathbb{P} \leq \int_{\Omega} Y\mathbb{1}_A \, d\mathbb{P} = \int_A Y \, d\mathbb{P}$$

e, portanto,

$$\int_A \mathbb{E}[X|\mathcal{G}] \, d\mathbb{P} \leq \int_A \mathbb{E}[Y|\mathcal{G}] \, d\mathbb{P}, \text{ para todo } A \in \mathcal{G}.$$

Pelo Exercício 5.62, $\mathbb{E}[X|\mathcal{G}] \leq \mathbb{E}[Y|\mathcal{G}]$ q.c., o que mostra o item (2).

Para o item (3), observe que

$$\begin{aligned} \int_A (aX + bY) \, d\mathbb{P} &= a \int_A X \, d\mathbb{P} + b \int_A Y \, d\mathbb{P} = a \int_A \mathbb{E}[X|\mathcal{G}] \, d\mathbb{P} + b \int_A \mathbb{E}[Y|\mathcal{G}] \, d\mathbb{P} \\ &= \int_A (a\mathbb{E}[X|\mathcal{G}] + b\mathbb{E}[Y|\mathcal{G}]) \, d\mathbb{P}, \end{aligned}$$

para todo $A \in \mathcal{G}$, ou seja, $\mathbb{E}[aX + bY|\mathcal{G}] = a\mathbb{E}[X|\mathcal{G}] + b\mathbb{E}[Y|\mathcal{G}]$ q.c. \square

O teorema seguinte nos diz que, se o valor de uma variável aleatória estendida

é determinado pela a informação codificada pela σ -álgebra em questão, então ela sai da esperança condicional como se fosse uma constante. O Teorema 11.8 é um caso particular.

Teorema 11.43. *Se Y é \mathcal{G} -mensurável, $\mathbb{E}|X| < \infty$ e $\mathbb{E}|XY| < \infty$, então*

$$\mathbb{E}[XY|\mathcal{G}] = Y \cdot \mathbb{E}[X|\mathcal{G}] \text{ q.c.}$$

O mesmo vale se X e Y são não-negativas.

Demonstração. Separando $X = X^+ - X^-$ e $Y = Y^+ - Y^-$, podemos supor que X e Y são não-negativas. Seja $A \in \mathcal{G}$. Se $Y = \mathbb{1}_B$ para algum $B \in \mathcal{G}$,

$$\int_A XY \, d\mathbb{P} = \int_{A \cap B} X \, d\mathbb{P} = \int_{A \cap B} \mathbb{E}[X|\mathcal{G}] \, d\mathbb{P} = \int_A Y \cdot \mathbb{E}[X|\mathcal{G}] \, d\mathbb{P}.$$

Por linearidade, se Y_n é uma variável aleatória simples \mathcal{G} -mensurável, vale

$$\int_A XY_n \, d\mathbb{P} = \int_A Y_n \cdot \mathbb{E}[X|\mathcal{G}] \, d\mathbb{P}.$$

Tomando $0 \leq Y_n \uparrow Y$, pelo Teorema da Convergência Monótona obtemos

$$\int_A XY \, d\mathbb{P} = \int_A Y \cdot \mathbb{E}[X|\mathcal{G}] \, d\mathbb{P},$$

o que conclui a prova. □

O teorema seguinte generaliza o Teorema 11.11.

Teorema 11.44 (Esperança condicional iterada). *Seja \mathcal{H} uma σ -álgebra tal que $\mathcal{H} \subseteq \mathcal{G} \subseteq \mathcal{F}$, e X uma variável aleatória estendida integrável ou não-negativa. Então valem as seguintes identidades:*

- (1) $\mathbb{E}[\mathbb{E}[X|\mathcal{H}|\mathcal{G}] = \mathbb{E}[X|\mathcal{H}]$ q.c.
- (2) $\mathbb{E}[\mathbb{E}[X|\mathcal{G}|\mathcal{H}] = \mathbb{E}[X|\mathcal{H}]$ q.c.

Demonstração. Para clarificar, escrevemos $Y = \mathbb{E}[X|\mathcal{G}]$ e $Z = \mathbb{E}[X|\mathcal{H}]$. Para

a primeira igualdade, basta observar que Z é \mathcal{G} -mensurável, donde $\mathbb{E}[Z|\mathcal{G}] = Z$ q.c. Provemos agora a segunda igualdade. Seja $A \in \mathcal{H}$. Pela definição de Z , temos $\int_A Z \, d\mathbb{P} = \int_A X \, d\mathbb{P}$. Por outro lado, como $A \in \mathcal{G}$, pela definição de Y temos $\int_A X \, d\mathbb{P} = \int_A Y \, d\mathbb{P}$. Como Z é \mathcal{H} -mensurável e $\int_A Z \, d\mathbb{P} = \int_A Y \, d\mathbb{P}$ para todo $A \in \mathcal{H}$, concluimos que $Z = \mathbb{E}[Y|\mathcal{H}]$ q.c. \square

Definição 11.45. Dizemos que uma variável aleatória estendida X é independente da σ -álgebra \mathcal{G} se $\{X \in \mathcal{B}\}$ e A são independentes para todos $B \in \mathcal{B}(\mathbb{R})$ e $A \in \mathcal{G}$.

Proposição 11.46. Se X é uma variável aleatória estendida integrável ou não-negativa, e X é independente de \mathcal{G} , então $\mathbb{E}[X|\mathcal{G}] = \mathbb{E}X$ q.c.

Demonstração. Pela independência de X e \mathcal{G} , temos, para todo $A \in \mathcal{G}$,

$$\int_A X \, d\mathbb{P} = \mathbb{E}[X\mathbf{1}_A] = \mathbb{E}X \cdot \mathbb{E}[\mathbf{1}_A] = \int_A (\mathbb{E}X) \, d\mathbb{P}$$

e, sendo constante, $\mathbb{E}X$ é \mathcal{G} -mensurável, o que conclui a prova. \square

Os teoremas de convergência da esperança, vistos na Seção 5.5, também têm seus análogos no contexto de esperança condicional. Nos três teoremas abaixo, $(X_n)_n$, X e Y denotam variáveis aleatórias definidas num mesmo espaço de probabilidade.

Teorema 11.47 (Convergência Monótona). *Sejam $(X_n)_n$ e X variáveis aleatórias estendidas não-negativas tais que $0 \leq X_n \uparrow X$ q.c. Seja \mathcal{G} uma sub- σ -álgebra de \mathcal{F} . Então $\mathbb{E}[X_n|\mathcal{G}] \rightarrow \mathbb{E}[X|\mathcal{G}]$ q.c.*

Demonstração. Como $\mathbb{E}[X_n|\mathcal{G}] \leq \mathbb{E}[X_{n+1}|\mathcal{G}]$ q.c., segue que $\mathbb{E}[X_n|\mathcal{G}] \uparrow Y$ q.c. para alguma Y não-negativa \mathcal{G} -mensurável. Para $A \in \mathcal{G}$,

$$\int_A X_n \, d\mathbb{P} = \int_A \mathbb{E}[X_n|\mathcal{G}] \, d\mathbb{P}$$

e, aplicando o Teorema da Convergência Monótona em ambos os lados,

$$\int_A X d\mathbb{P} = \int_A Y d\mathbb{P},$$

donde $\mathbb{E}[X|\mathcal{G}] = Y$ q.c. □

Teorema 11.48 (Lema de Fatou). *Sejam $(X_n)_n$ uma sequência de variáveis aleatórias estendidas não-negativas e \mathcal{G} uma sub- σ -álgebra de \mathcal{F} . Então $\mathbb{E}[\liminf_n X_n|\mathcal{G}] \leq \liminf_n \mathbb{E}[X_n|\mathcal{G}]$ q.c.*

A demonstração é idêntica à do Teorema 5.67.

Teorema 11.49 (Convergência Dominada). *Sejam $(X_n)_n$, X e Y variáveis aleatórias estendidas e \mathcal{G} uma sub- σ -álgebra de \mathcal{F} . Se $X_n \rightarrow X$ q.c. e $|X_n| < Y$ q.c. para alguma Y integrável, então $\mathbb{E}[X_n|\mathcal{G}] \rightarrow \mathbb{E}[X|\mathcal{G}]$ q.c.*

A demonstração é idêntica à do Teorema 5.68.

Teorema 11.50 (Desigualdade de Jensen). *Sejam $\mathcal{G} \subseteq \mathcal{F}$ uma σ -álgebra, I um intervalo aberto, $g : I \rightarrow \mathbb{R}$ uma função convexa, e X uma variável aleatória que assume valores em I . Suponha que X e $g(X)$ sejam integráveis. Então*

$$g(\mathbb{E}[X|\mathcal{G}]) \leq \mathbb{E}[g(X)|\mathcal{G}].$$

Demonstração. A prova é análoga à da Seção 6.3, porém há que se contornar algumas complicações técnicas. Para cada $z \in I$ fixo, existe $c = c(z) \in \mathbb{R}$ tal que $g(x) \geq g(z) + c(z) \cdot (x - z)$ para todo $x \in I$. Como a função que leva z em $c(z)$ é não-decrescente, também é mensurável.

Suponhamos inicialmente que essa função c seja limitada. Tomando $Z = \mathbb{E}[X|\mathcal{G}]$, e observando que Z e $g(Z)$ são \mathcal{G} -mensuráveis, obtemos

$$\begin{aligned} \mathbb{E}[g(X)|\mathcal{G}] &\geq \mathbb{E}[g(Z) + c(Z) \cdot (X - Z)|\mathcal{G}] = \\ &= g(Z) + c(Z) \cdot \mathbb{E}[X|\mathcal{G}] - c(Z) \cdot Z = g(Z). \end{aligned}$$

Consideremos agora o caso geral. Somando uma constante a X , podemos supor que $0 \in I$. Subtraindo $c(0) \cdot x$, podemos supor que $g(x) \geq 0$ para todo $x \in I$. Tome $[a_n, b_n] \uparrow I$ com $a_n < 0 < b_n$. Para cada n fixo, definimos $g_n(x) = g(x)$ para $x \in [a_n, b_n]$, $g_n(x) = g(b_n) + c(b_n) \cdot (x - b_n)$ para $x \geq b_n$ e $g_n(x) = g(a_n) + c(a_n) \cdot (x - a_n)$ para $x \leq a_n$. Observe que as funções g_n são convexas, não-negativas, e satisfazem $g_n \uparrow g$. Ademais, suas respectivas c_n são limitadas a $[c(a_n), c(b_n)]$, donde $\mathbb{E}[g_n(X)|\mathcal{G}] \geq g_n(\mathbb{E}[X|\mathcal{G}])$. Como $g_n(\mathbb{E}[X|\mathcal{G}]) \uparrow g(\mathbb{E}[X|\mathcal{G}])$, pelo Teorema da Convergência Monótona, $\mathbb{E}[g_n(X)|\mathcal{G}] \uparrow \mathbb{E}[g(X)|\mathcal{G}]$, concluímos que $\mathbb{E}[g(X)|\mathcal{G}] \geq g(\mathbb{E}[X|\mathcal{G}])$. \square

Teorema 11.51 (Contração em \mathcal{L}^p). *Se $p \geq 1$ e $|X|^p$ é integrável, então*

$$\mathbb{E}[|\mathbb{E}[X|\mathcal{G}]|^p] \leq \mathbb{E}[|X|^p].$$

Demonstração. Primeiro, X é integrável pela Desigualdade de Lyapunov. Pela desigualdade de Jensen, $|\mathbb{E}[X|\mathcal{G}]|^p \leq \mathbb{E}[|X|^p|\mathcal{G}]$ pois $g(x) = |x|^p$ é convexa. Tomando esperança iterada, segue a desigualdade desejada. \square

11.5 Existência da esperança condicional

Esta seção é de natureza um pouco mais abstrata, onde mostraremos a existência da esperança condicional de uma variável aleatória dada uma σ -álgebra. Para isto faremos uso de uma das mais importantes ferramentas da Teoria da Medida, o Teorema de Radon-Nikodým, que será enunciado aqui e demonstrado no Apêndice D.5.

Sejam μ medida definida em (Ω, \mathcal{F}) e $f : \Omega \rightarrow \overline{\mathbb{R}}_+$ função boreliana. Se definirmos a função $\nu : \mathcal{F} \rightarrow [0, +\infty]$ por $\nu(A) = \int_A f \, d\mu$, então ν também é uma medida definida em (Ω, \mathcal{F}) . Além disso, pela Proposição 5.65, $\nu(A) = 0$ para todo $A \in \mathcal{F}$ tal que $\mu(A) = 0$.

A próxima definição será crucial no papel de comparar medidas.

Definição 11.52 (Medidas absolutamente contínuas). Sejam ν e μ medidas definidas em um mesmo espaço mensurável (Ω, \mathcal{F}) . Dizemos que a medida ν é *absolutamente contínua com respeito à medida μ* , o que denotamos por $\nu \ll \mu$, se $\nu(A) = 0$ para todo $A \in \mathcal{F}$ tal que $\mu(A) = 0$.

Gostaríamos de saber se a recíproca seria verdadeira, isto é, se $\nu \ll \mu$, então a medida ν poderia ser expressa como a integral de Lebesgue de alguma função $f : \Omega \rightarrow \mathbb{R}_+$, mensurável, no espaço $(\Omega, \mathcal{F}, \mu)$?

O próximo teorema nos fornece a resposta. O Teorema de Radon-Nikodým nos diz quando uma medida ν pode ser expressa em termos de uma outra medida μ , ponderada por uma função, que denotaremos por $\frac{d\nu}{d\mu}$ e chamaremos de derivada de Radon-Nikodým de ν com respeito a μ , conforme introduzido na Seção 5.5.5.

Teorema 11.53 (Teorema de Radon-Nikodým). *Sejam ν e μ medidas σ -finitas definidas em um mesmo espaço mensurável (Ω, \mathcal{F}) . Então, $\nu \ll \mu$ se e somente se existe uma função boreliana f tal que*

$$\nu(A) = \int_A f \, d\mu, \quad \forall A \in \mathcal{F}.$$

A prova será dada no Apêndice D.5.

Na Seção 3.5 demos a entender que, se uma variável aleatória que não tem densidade, então existe um conjunto $B \in \mathcal{B}$ tal que $m(B) = 0$ e $\mathbb{P}(X \in B) > 0$. Naquele ponto não tínhamos as ferramentas para provar essa propriedade, mas agora vemos que isso decorre do Teorema de Radon-Nikodým. Com efeito, a inexistência de tal conjunto B é equivalente a $\mathbb{P}_X \ll m$, o que por sua vez é equivalente à existência de uma densidade $\frac{d\mathbb{P}_X}{dm}$.

No final da Seção 3.4, dissemos que, dada uma variável aleatória absolutamente contínua X e um evento $A \in \mathcal{F}$ tal que $\mathbb{P}(A) > 0$, sempre existe a densidade condicional $f_{X|A}$. Isso também pode ser demonstrado usando-se o Teorema de Radon-Nikodým. Com efeito, se X é absolutamente contínua, então para todo $B \in \mathcal{B}$ tal que $m(B) = 0$, temos $\mathbb{P}(X \in B|A) \leq \frac{\mathbb{P}(X \in B)}{\mathbb{P}(A)} = 0$,

logo X também será absolutamente contínua sob a medida $\mathbb{P}(\cdot|A)$, o que implica a existência de $f_{X|A}$ tal que $F_{X|A}(x) = \int_{-\infty}^x f(s) ds$.

O Teorema de Radon-Nikodým é fundamental em Teoria da Medida e Teoria da Probabilidade. A seguir, uma de suas aplicações mais importantes.

Teorema 11.54. *Sejam $(\Omega, \mathcal{F}, \mathbb{P})$ um espaço de probabilidade, X uma variável aleatória estendida integrável ou não-negativa, e $\mathcal{G} \subseteq \mathcal{F}$ uma σ -álgebra. Então existe $\mathbb{E}[X|\mathcal{G}]$.*

Demonstração. Consideremos inicialmente o caso onde X é não-negativa e integrável. Definimos a medida ν no espaço mensurável (Ω, \mathcal{G}) como

$$\nu(A) = \int_A X d\mathbb{P} \quad \text{para cada } A \in \mathcal{G}.$$

Como $\nu(\Omega) = \mathbb{E}X < \infty$, temos que ν é σ -finita. E como $\nu \ll \mathbb{P}$, pelo Teorema de Radon-Nikodým, a derivada $\frac{d\nu}{d\mathbb{P}}$ existe e é uma função boreliana definida no espaço (Ω, \mathcal{G}) . Observando que $Z = \frac{d\nu}{d\mathbb{P}}$ é mensurável e satisfaz (11.40), concluímos que $Z = \mathbb{E}[X|\mathcal{G}]$.

Supomos agora que X seja integrável. Pelo caso anterior, existem variáveis aleatórias integráveis $\mathbb{E}[X^+|\mathcal{G}]$ e $\mathbb{E}[X^-|\mathcal{G}]$ tais que $\int_A \mathbb{E}[X^\pm|\mathcal{G}] d\mathbb{P} = \int_A X^\pm d\mathbb{P}$ para todo $A \in \mathcal{G}$. Definindo $Z = \mathbb{E}[X^+|\mathcal{G}] - \mathbb{E}[X^-|\mathcal{G}]$, obtemos,

$$\begin{aligned} \int_A Z d\mathbb{P} &= \int_A \mathbb{E}[X^+|\mathcal{G}] d\mathbb{P} - \int_A \mathbb{E}[X^-|\mathcal{G}] d\mathbb{P} = \\ &= \int_A X^+ d\mathbb{P} - \int_A X^- d\mathbb{P} = \int_A X d\mathbb{P} \end{aligned}$$

para todo $A \in \mathcal{G}$, o que está bem definido pois todas as variáveis aleatórias envolvidas são integráveis. Portanto Z cumpre a definição de $\mathbb{E}[X|\mathcal{G}]$, concluindo esta demonstração deste caso.

Por último, supomos que X seja não-negativa mas não necessariamente integrável. Tomamos uma sequência $0 \leq X_n \uparrow X$ onde X_n são variáveis aleatórias simples não-negativas. Pelo caso anterior, existe $\mathbb{E}[X_n|\mathcal{G}]$ para

todo n . Como na demonstração do Teorema 11.47, $\mathbb{E}[X_n|\mathcal{G}] \uparrow Z$ para alguma variável aleatória estendida Z que é \mathcal{G} -mensurável e satisfaz $\int_A X d\mathbb{P} = \int_A Y d\mathbb{P}$, para todo $A \in \mathcal{G}$. Ou seja, Z cumpre a definição de $\mathbb{E}[X|\mathcal{G}]$, concluindo a demonstração do teorema. \square

11.6 Distribuição condicional regular

Na Seção 11.4 definimos $\mathbb{E}[X|Y]$ para quaisquer variáveis aleatórias X e Y com X integrável, mas não dissemos como calculá-la. A Seção 11.2 se restringe ao caso em que ambas as variáveis são discretas, enquanto a Seção 11.3 descreve o caso de variáveis com densidade conjunta porém sem fornecer demonstrações rigorosas das propriedades enunciadas. O objetivo agora é dar significado à noção de distribuição condicional de X dado Y no caso geral, unificando a abordagem das seções anteriores.

Definição 11.55. Sejam X e Y variáveis aleatórias definidas em um mesmo espaço de probabilidade. Uma *distribuição condicional regular de X dado Y* é qualquer função de $\mathcal{B} \times \mathbb{R}$ em $[0, 1]$, que a cada $B \in \mathcal{B}$ e $y \in \mathbb{R}$ associa um número, denotado $\mathbb{P}_{X|Y}(B|y)$, satisfazendo:

- (1) Para todo $y \in \mathbb{R}$ fixo, a função que leva $B \in \mathcal{B}$ em $\mathbb{P}_{X|Y}(B|y)$ é uma medida de probabilidade em $(\mathbb{R}, \mathcal{B})$;
- (2) Para todo $B \in \mathcal{B}$ fixo, a função que leva $y \in \mathbb{R}$ em $\mathbb{P}_{X|Y}(B|y)$ é uma função boreliana;
- (3) Para todos $B, C \in \mathcal{B}$, vale $\mathbb{P}(X \in B, Y \in C) = \int_C \mathbb{P}_{X|Y}(B|y) \mathbb{P}_Y(dy)$.

Antes de prosseguir, é oportuno fazer algumas observações.

Primeiro, caso X e Y sejam discretas, a equação acima se reduz a (11.21), portanto a definição de distribuição condicional regular generaliza (11.19).

Segundo, quando Y é absolutamente contínua, a equação acima se reduz a (11.28) pela regra da cadeia. Se X e Y têm densidade conjunta, podemos deduzir, a partir de (11.29), que vale (11.28) para todos $B, C \in \mathcal{B}$, e portanto a definição (11.27) resulta em uma distribuição condicional regular.

Por último, a definição acima pode parecer bastante abstrata, e talvez inútil, pois mesmo sabendo que sempre existe uma distribuição condicional regular, isso não diz como encontrá-la. Mencionamos de passagem que uma forma explícita de se obter uma distribuição condicional regular seria a seguinte. Primeiro calculamos

$$F_{X|Y}(x|y) = \lim_{z \downarrow x} \lim_{n \rightarrow \infty} \mathbb{P}\left(X \leq z \mid Y \in [y - \frac{1}{n}, y + \frac{1}{n}]\right) \quad (11.56)$$

para os valores $y \in \mathbb{R}$ onde a expressão acima está bem definida e resulta em uma função de distribuição na variável x .¹⁷ Depois definimos $\mathbb{P}_{X|Y}(\cdot|y)$ como sendo a única medida tal que $\mathbb{P}_{X|Y}((-\infty, x]|y) = F_{X|Y}(x|y)$ para todo x . Entretanto, essa forma não é a mais recomendada, nem do ponto de vista teórico nem do prático. Isso porque a fórmula (11.56) está na forma “diferencial” já que o limite em n nos dá uma “derivada” na variável y , enquanto a fórmula em (3) está na forma integral, o que é bem mais robusto. Na prática, é melhor encontrar um candidato *ad hoc* para a distribuição condicional regular e verificar que ele satisfaz à definição (o limite acima pode nos ajudar a adivinhar quem deveria ser o candidato). Foi exatamente o que fizemos no parágrafo anterior, para justificar a fórmula (11.26)!

Os dois próximos teoremas serão demonstrados no Apêndice D.6.

Teorema 11.57. *Dadas duas variáveis aleatórias quaisquer X e Y , sempre existe uma distribuição condicional regular de X dado Y .*

Vamos definir $\mathbb{E}[X|Y = y]$ a partir de $\mathbb{P}_{X|Y}$, e depois usá-la para construir $\mathbb{E}[X|Y]$ explicitamente de forma a satisfazer à Definição 11.39. Ademais, o faremos de forma que seja coerente com as fórmulas (11.15) e (11.34).

Teorema 11.58. *Sejam X e Y variáveis aleatórias e $\mathbb{P}_{X|Y}$ uma distribuição condicional regular. Então, para toda função boreliana estendida não-negativa*

¹⁷É importante tomar o limite primeiro em n e depois em z , caso contrário $F_{X|Y}(\cdot|y)$ pode não ser uma função de distribuição para nenhum $y \in \mathbb{R}$, como podemos ver tomando $X = Y \sim \mathcal{N}(0, 1)$, caso em que teríamos $F_{Y|Y}(y|y) = \frac{1}{2}$ para todo y .

$g : \mathbb{R}^2 \rightarrow [0, +\infty]$, vale

$$\mathbb{E}[g(X, Y)] = \int_{\mathbb{R}} \left(\int_{\mathbb{R}} g(x, y) \mathbb{P}_{X|Y}(\mathrm{d}x|y) \right) \mathbb{P}_Y(\mathrm{d}y), \quad (11.59)$$

sendo que a integral interna fornece uma função mensurável de y .

Agora vamos supor que X é integrável ou não-negativa. Tomando $g(x, y) = |x|$ no teorema acima, observamos que $\int_{\mathbb{R}} x \mathbb{P}_{X|Y}(\mathrm{d}x|y)$ está definida para \mathbb{P}_Y -quase todo y . Definimos

$$\mathbb{E}[X|Y = y] = \int_{\mathbb{R}} x \mathbb{P}_{X|Y}(\mathrm{d}x|y) \quad (11.60)$$

nos pontos y para os quais a integral está definida, e $\mathbb{E}[X|Y = y] = 0$ caso contrário. Pela regra da cadeia, a fórmula acima se reduz a (11.34) caso X e Y tenham densidade conjunta, ou (11.15) caso sejam discretas.

Definimos $\mathbb{E}[X|Y]$ como a variável aleatória que assume o valor $\mathbb{E}[X|Y = y]$ no evento $\{Y = y\}$, como havíamos feito nas Seções 11.2 e 11.3.

Proposição 11.61. *Se X é integrável ou não-negativa, então a variável aleatória $\mathbb{E}[X|Y]$, como definida acima, satisfaz à Definição 11.39.*

Demonstração. Seja $A \in \sigma(Y)$. Por definição, $A = \{Y \in C\}$ para algum $C \in \mathcal{B}$. Relembrando que $x^+ = \max\{0, x\}$ e tomando $g(x, y) = x^+ \cdot \mathbf{1}_C(y)$, pelo Teorema 11.58,

$$\mathbb{E}[X^+ \mathbf{1}_A] = \int_{\mathbb{R}} \left(\int_{\mathbb{R}} x^+ \mathbb{P}_{X|Y}(\mathrm{d}x|y) \right) \mathbf{1}_C(y) \mathbb{P}_Y(\mathrm{d}y),$$

procedendo de modo idêntico com a parte negativa e observando que a diferença está bem definida \mathbb{P}_Y -para quase todo y podemos escrever,

$$\begin{aligned} \mathbb{E}[X \mathbf{1}_A] &= \int_{\mathbb{R}} \mathbf{1}_C(y) \mathbb{E}[X|Y = y] \mathbb{P}_Y(\mathrm{d}y) \\ &= \mathbb{E}[\mathbf{1}_C(Y) \cdot \mathbb{E}[X|Y]] \end{aligned}$$

$$= \mathbb{E}[\mathbb{E}[X|Y]\mathbb{1}_A],$$

o que conclui a prova. \square

Portanto, $\mathbb{E}[X|Y]$ goza de todas as propriedades enunciadas na Seção 11.4. Em particular, $\mathbb{E}X = \mathbb{E}[\mathbb{E}[X|Y]]$ e com isso justificamos também (11.37).

Veremos como se apresenta a distribuição condicional regular de X dado Y em alguns casos especiais, além dos casos quando ambas são discretas ou possuem densidade conjunta, que vimos nas Seções 11.2 e 11.3.

Caso em que Y é discreta

O caso em que Y é uma variável aleatória discreta generaliza a abordagem da Seção 11.1. Neste caso, não precisamos da teoria de distribuição condicional regular, e somos obrigados a tomar literalmente

$$\mathbb{P}_{X|Y}(B|y) = \frac{\mathbb{P}(X \in B, Y = y)}{\mathbb{P}(Y = y)}$$

para todo y tal que $\mathbb{P}(Y = y) > 0$. Os valores y tais que $\mathbb{P}(Y = y) = 0$ são irrelevantes, e para ter uma definição completa podemos tomar, por exemplo, $\mathbb{P}_{X|Y}(B|y) = \mathbb{P}_X(B)$.

Verifiquemos as condições da Definição 11.55. A condição (1) vale trivialmente. Defina $D = \{s : \mathbb{P}_Y(s) > 0\}$ e observe que D é enumerável. A condição (2) vale pois, para cada $B \in \mathcal{B}$ fixo, podemos expressar $\mathbb{P}_{X|Y}(B|y)$ como soma enumerável de funções borelianas $\sum_{s \in D} \mathbb{P}_{X|Y}(B|s)\mathbb{1}_{\{s\}}(y) + \mathbb{P}_X(B)\mathbb{1}_{D^c}(y)$. Já a condição (3) vale pois $\mathbb{P}(X \in B, Y \in C) = \sum_{y \in C} \mathbb{P}(X \in B, Y = y) = \sum_{y \in C} \mathbb{P}_{X|Y}(B|y)p_Y(y) = \int_C \mathbb{P}_{X|Y}(B|y)\mathbb{P}_Y(dy)$.

Caso em que X e Y são independentes

Se X e Y são independentes, esse é o caso mais simples, pois o conhecimento de Y não afeta a variável X . Neste caso, podemos tomar

$$\mathbb{P}_{X|Y}(B|y) = \mathbb{P}_X(B).$$

Verifiquemos a Definição 11.55. As condições (1) e (2) valem trivialmente. A condição (3) vale pois $\int_C \mathbb{P}_{X|Y}(B|y) \mathbb{P}_Y(dy) = \int_C \mathbb{P}_X(B) \mathbb{P}_Y(dy) = \mathbb{P}_X(B) \int_C \mathbb{P}_Y(dy) = \mathbb{P}(X \in B) \mathbb{P}(Y \in C) = \mathbb{P}(X \in B, Y \in C)$.

Caso de variável discreta com parâmetro contínuo desconhecido

Suponha que Y seja discreta, X seja absolutamente contínua, e que uma distribuição condicional regular $\mathbb{P}_{Y|X}$ seja conhecida. Seja $p_{Y|X}(y|x)$ uma função de probabilidade condicional associada.

Neste caso, uma distribuição condicional regular de X dado Y tem densidade dada por

$$f_{X|Y}(x|y) = \frac{p_{Y|X}(y|x)}{p_Y(y)} \cdot f_X(x)$$

se $p_Y(y) > 0$, e $f_{X|Y}(x|y) = f_X(x)$ caso contrário.

Mais precisamente, definimos $\mathbb{P}_{X|Y}(B|y) = \int_B f_{X|Y}(x|y) dx$. Para verificar a condição (2), definimos o conjunto enumerável $D = \{s : p_Y(s) > 0\}$, e observamos que, para cada $B \in \mathcal{B}$ fixo, podemos expressar $\mathbb{P}_{X|Y}(B|y)$ como soma enumerável das funções borelianas

$$\sum_{s \in D} \frac{\int_B p_{Y|X}(y|x) f_X(x) dx}{p_Y(y)} \mathbf{1}_{\{s\}}(y) + \mathbf{1}_{D^c}(y) \cdot \int_B f_X(x) dx.$$

O numerador acima é uma função boreliana de y pelo Lema 5.81, pois é dado pela integral em x de uma função boreliana de x e y . Para verificar a condição (1), note que $\mathbb{P}_{X|Y}(B|y)$ é não-negativa por definição, e é σ -aditiva

em B como consequência da σ -aditividade da integral. Ademais,

$$\mathbb{P}_{X|Y}(\mathbb{R}|y) = \int_{\mathbb{R}} \frac{p_{Y|X}(y|x)f_X(x)}{p_Y(y)} dx = \frac{\int_{\mathbb{R}} \mathbb{P}_{Y|X}(\{y\}|x)\mathbb{P}_X(dx)}{p_Y(y)} = 1$$

se $p_Y(y) > 0$, e $\mathbb{P}_{X|Y}(\mathbb{R}|y) = \int_{\mathbb{R}} f_X(x) dx = 1$ caso contrário. Finalmente, para verificar condição (3) desenvolvemos

$$\begin{aligned} \int_C \mathbb{P}_{X|Y}(B|y)\mathbb{P}_Y(dy) &= \sum_{y \in C} \left(\int_B \frac{p_{Y|X}(y|x)}{p_Y(y)} \cdot f_X(x) dx \right) p_Y(y) \\ &= \sum_{y \in C} \int_B p_{Y|X}(y|x) \cdot f_X(x) dx \\ &= \sum_{y \in C} \int_B \mathbb{P}_{Y|X}(\{y\}|x)\mathbb{P}_X(dx) \\ &= \sum_{y \in C} \mathbb{P}(Y = y, X \in B) \\ &= \mathbb{P}(Y \in C, X \in B). \end{aligned}$$

Exemplo 11.62 (Ensaio de Bernoulli com parâmetro dado por uma Beta). Sejam X e Y , variáveis aleatórias tais que $X \sim \beta(a, b)$ e, a distribuição condicional de Y dado que $X = x$ é $\text{Binom}(n, x)$. Neste caso,

$$f_{X|Y}(x|y) = \frac{\binom{n}{y} x^y (1-x)^{n-y}}{p_Y(y)} f_X(x) = \frac{x^{y+a-1} (1-x)^{n-y+b-1}}{c},$$

onde $c = \int_0^1 x^{y+a-1} (1-x)^{n-y+b-1} dx$ pois $f_{X|Y}(\cdot|y)$ é uma função de densidade. Portanto, a distribuição condicional de X dado que $Y = y$ é uma distribuição Beta de parâmetros $a + y$ e $b + (n - y)$. \triangle

Caso em que $\mathbb{P}_{X|Y}$ é especificado

Os Exemplos 11.18, 11.20, 11.32 e 11.33 ilustraram o caso em que $\mathbb{P}_{X|Y}$ é especificado, juntamente com \mathbb{P}_Y . Tal especificação deve satisfazer as

condições (1) e (2), enquanto equação em (3) serve para determinar a distribuição conjunta $\mathbb{P}_{X,Y}$, cuja marginal serve para determinar \mathbb{P}_X , e a integral (11.60) serve para calcular $\mathbb{E}[X|Y]$. O seguinte exemplo não se enquadra nos contextos das Seções 11.2 ou 11.3.

Exemplo 11.63. Seja $Y \sim \mathcal{U}[0, 1]$. Se $Y = y$, então uma moeda com probabilidade y de sair cara é lançada n vezes independentemente. Seja X a variável aleatória que representa o número de caras obtidas.

A distribuição condicional de X dado que $Y = y$ é $\text{Binom}(n, y)$. Portanto, $\mathbb{E}[X | Y = y] = ny$, ou seja, $\mathbb{E}[X | Y] = nY$, logo

$$\mathbb{E}[\mathbb{E}[X|Y]] = \mathbb{E}[nY] = \frac{n}{2}. \quad \triangle$$

11.7 Exercícios

§11.1

1. Seja X uma variável aleatória simples definida em $(\Omega, \mathcal{F}, \mathbb{P})$ e \mathcal{D} uma partição finita de Ω . Definimos a *variância condicional de X dada a partição \mathcal{D}* como:

$$\mathbb{V}[X|\mathcal{D}] = \mathbb{E}[(X - \mathbb{E}[X|\mathcal{D}])^2|\mathcal{D}].$$

Mostre que

$$\mathbb{V}[X|\mathcal{D}] = \mathbb{E}[X^2|\mathcal{D}] - (\mathbb{E}[X|\mathcal{D}])^2$$

e

$$\mathbb{V}X = \mathbb{E}[\mathbb{V}[X|\mathcal{D}]] + \mathbb{V}[\mathbb{E}[X|\mathcal{D}]].$$

2. Sejam X e Y variáveis aleatórias simples definidas em $(\Omega, \mathcal{F}, \mathbb{P})$ e \mathcal{D} uma partição. Mostre que

$$\mathbb{E}[X \cdot \mathbb{E}[Y|\mathcal{D}]] = \mathbb{E}[Y \cdot \mathbb{E}[X|\mathcal{D}]].$$

3. Sejam X e Y variáveis aleatórias simples definidas em $(\Omega, \mathcal{F}, \mathbb{P})$ e \mathcal{D} uma

partição finita de Ω . Mostre que, se

$$\mathbb{E}[Y^2 | \mathcal{D}] = X^2 \quad \text{e} \quad \mathbb{E}[Y | \mathcal{D}] = X,$$

então $\mathbb{P}(X = Y) = 1$.

Dica: Desenvolva $\mathbb{E}(X - Y)^2$.

§11.2

4. Prove que, se X_1, \dots, X_m são simples e i.i.d., e N toma valores em $\{0, \dots, m\}$ e é independente de X_1, \dots, X_m , então

$$\mathbb{V}S_N = \mathbb{E}N \cdot \mathbb{V}X_1 + (\mathbb{E}X_1)^2 \mathbb{V}N.$$

5. Sejam X e Y variáveis aleatórias simples e i.i.d. Mostre que

$$\mathbb{E}[X | X + Y] = \mathbb{E}[Y | X + Y] = \frac{X + Y}{2}.$$

6. Dê um exemplo de variáveis aleatórias simples X e Y que não são independentes mas mesmo assim $\mathbb{E}[X | Y] = \mathbb{E}X$.

7. Dadas duas variáveis aleatórias simples X e Y , e $g : \mathbb{R} \rightarrow \mathbb{R}$, mostre que $\mathbb{E}[g(Y)\mathbb{E}[X | Y]] = \mathbb{E}[Xg(Y)]$.

§11.3

8. Um número não-negativo Y é escolhido com densidade $f_Y(y) = ye^{-y}$ para $y > 0$. Se $Y = y$, um número X é escolhido no intervalo $[0, y]$.

- (a) Descreva $f_{X|Y}$.
- (b) Encontre $f_{X,Y}$.
- (c) Encontre f_X .
- (d) Encontre $f_{Y|X}$.
- (e) Calcule $\mathbb{P}(X + Y \leq 2)$.

9. Para X e Y definidas no Exemplo 11.30, calcule $\mathbb{E}[X | Y]$.

10. Seja (X, Y) um vetor aleatório com densidade conjunta dada por

$$f_{X,Y}(x, y) = \begin{cases} \frac{e^{-y}}{y}, & \text{se } 0 < x < y, \\ 0, & \text{caso contrário.} \end{cases}$$

Calcule $\mathbb{E}[X^2|Y = y]$.

§11.4

11. Refaça os exercícios de §11.1 acima, supondo que X e Y têm segundo momento finito e usando uma σ -álgebra \mathcal{G} no lugar de uma partição \mathcal{D} .

12.

(a) Suponha que $(X, Y) \sim (Y, X)$ e que X seja integrável. Mostre que

$$\mathbb{E}[X|X+Y] = \mathbb{E}[Y|X+Y].$$

(b) Sejam X_1, \dots, X_n i.i.d. e integráveis, e $S_n = \sum_{k=1}^n X_k$. Mostre que

$$\mathbb{E}[X_1|S_n] = \frac{S_n}{n}.$$

Dica: Expresse as esperanças como integrais de Lebesgue em \mathbb{R}^2 ou \mathbb{R}^n .

13. Mostre que, se X é integrável, então $\mathbb{E}[\mathbb{E}[X|\mathcal{G}]] \leq \mathbb{E}[X]$.

14. Sejam X e Y variáveis aleatórias com segundo momento finito. Mostre que $\mathbf{Cov}(X, \mathbb{E}[Y|X]) = \mathbf{Cov}(X, Y)$.

15. Sejam X_1, X_2, \dots variáveis aleatórias i.i.d. positivas. Suponha que X_1 e $\frac{1}{X_1}$ são integráveis, de defina $S_n = X_1 + \dots + X_n$.

(a) Mostre que $\frac{1}{S_n}$ é integrável.

(b) Calcule $\mathbb{E}[\frac{X_1}{S_n}]$.

(c) Calcule $\mathbb{E}[\frac{S_m}{S_n}]$ para $1 \leq m \leq n$.

§11.5

16. Considere o espaço mensurável $(\mathbb{N}, \mathcal{P}(\mathbb{N}))$ e seja δ_k a medida de Dirac no ponto $k \in \mathbb{N}$, como definida no Exemplo 1.46. Determine uma função $f : \mathbb{N} \rightarrow [0, \infty]$ que corresponda à derivada de Radon-Nikodým $\frac{d\delta_k}{d\nu}$, onde ν denota a medida de contagem em \mathbb{N} .

17. Sejam λ, ν e μ medidas σ -finitas definidas no mesmo espaço mensurável (Ω, \mathcal{F}) . Mostre que

(a) Se $\lambda \ll \mu$ e $\nu \ll \mu$, então $(\lambda + \nu) \ll \mu$ e

$$\frac{d(\lambda + \nu)}{d\mu} = \frac{d\lambda}{d\mu} + \frac{d\nu}{d\mu}.$$

(b) Se $\nu \ll \mu$ e $c > 0$, então $(c\nu) \ll \mu$ e

$$\frac{d(c\nu)}{d\mu} = c \frac{d\nu}{d\mu}.$$

(c) Se $\lambda \ll \nu$ e $\nu \ll \mu$, então $\lambda \ll \mu$ e

$$\frac{d\lambda}{d\mu} = \frac{d\lambda}{d\nu} \cdot \frac{d\nu}{d\mu}.$$

18. Sejam μ e ν medidas definidas no mesmo espaço mensurável (Ω, \mathcal{F}) .

(a) Suponha que, para todo $\varepsilon > 0$, existe $\delta > 0$ tal que $\nu(A) < \varepsilon$ para todo $A \in \mathcal{F}$ com $\mu(A) < \delta$. Mostre que $\nu \ll \mu$.

(b) Mostre que a recíproca também é válida se $\nu(\Omega) < \infty$.

Dica: Suponha que a propriedade ε - δ não é válida, tome uma sequência adequada $(A_k)_k$ de subconjuntos, defina $B_n = \cup_{k \geq n} A_k$ e $A = \cap_n B_n$ para mostrar $\nu \not\ll \mu$.

(c) Mostre que a recíproca pode ser falsa sem a hipótese de que $\nu(\Omega) < \infty$.

Sugestão: Considere $\Omega = \mathbb{N}$, $\nu = \sum_n \delta_n$ e $\mu = \sum_n n^{-2} \delta_n$.

§11.6

19. Rita lança uma moeda, cuja probabilidade de sair cara é p , indefinidamente até obter a primeira cara; após isto ela irá receber uma quantia cuja

distribuição é exponencial com parâmetro igual ao número de lançamentos da moeda. Calcule a esperança da quantia recebida por Rita.

20. Joga-se um dado, depois uma moeda, depois o dado novamente e segue-se alternando entre o dado e a moeda. Quando se obtém cara na moeda, o jogo é imediatamente interrompido e conta-se o total Z de pontos obtidos nos lançamentos do dado. Calcule $\mathbb{E}Z$.

21. O número de passageiros que chegam ao ponto do ônibus 409 durante o intervalo de tempo $[0, t]$ tem distribuição de Poisson com parâmetro λt . O tempo T de chegada do próximo ônibus tem distribuição exponencial com parâmetro α . Mas precisamente, a distribuição condicional do número N de passageiros que chegam ao ponto antes do próximo ônibus dado que $T = t$ é Poisson(λt). Mostre que $N + 1 \sim \text{Geom}(\frac{\alpha}{\lambda + \alpha})$.

22. Suponha que $\mathbb{P}_{X|Y}(B|y) = \mathbb{P}_X(B)$ para todo $B \in \mathcal{B}$ e todo $y \in \mathbb{R}$. Mostre que X e Y são independentes.

23 (Princípio da substituição). Seja $\mathbb{P}_{X|Y}$ uma distribuição condicional regular e $f : \mathbb{R}^2 \rightarrow \mathbb{R}$ uma função boreliana. Defina $Z = f(X, Y)$. Mostre que

$$\mathbb{P}_{Z|Y}(B|y) = \mathbb{P}_{X|Y}(\{x : f(x, y) \in B\}|y)$$

é uma distribuição condicional regular de Z dado Y .

Dica: use $g(x, y) = \mathbb{1}_B(f(x, y)) \cdot \mathbb{1}_C(y)$.

24 (Princípio da substituição). Seja $\mathbb{P}_{X|Y}$ uma distribuição condicional regular e $f : \mathbb{R}^2 \rightarrow \mathbb{R}$ uma função boreliana não-negativa. Mostre que

$$\mathbb{E}[f(X, Y)|Y] = \int_{\mathbb{R}} f(x, Y) \mathbb{P}_{X|Y}(dx|Y)$$

quase certamente.

Dica: use $g(x, y) = f(x, y) \cdot \mathbb{1}_C(y)$.

25. Sejam X e Y variáveis aleatórias independentes. Prove que

$$\mathbb{P}(X \leq Y) = \mathbb{E}[F_X(Y)].$$

Dica: use o exercício anterior e esperança iterada.

26. Sejam X e Y variáveis aleatórias, onde X é discreta e Y tem função de densidade $f_Y(y)$. Seja $f_{Y|X}(y|x)$ uma densidade condicional regular de Y dado X , isto é, $f_{Y|X} : \mathbb{R}^2 \rightarrow \mathbb{R}$ é mensurável, e $\mathbb{P}_{Y|X}(B|x) = \int_B f_{Y|X}(y|x)dy$ define uma distribuição condicional regular. Defina a função

$$p_{X|Y}(x|y) = \frac{f_{Y|X}(y|x)}{f_Y(y)} \cdot p_X(x)$$

para todo y tal que $f_Y(y) > 0$, e $p_{X|Y}(x|y) = p_X(x)$ se $f_Y(y) = 0$. Mostre que $\mathbb{P}_{X|Y}$, definida como $\mathbb{P}_{X|Y}(B|y) = \sum_{x \in B} p_{X|Y}(x|y)$, resulta em uma distribuição condicional regular.

Capítulo 12

Leis 0-1 e Séries Aleatórias

De modo geral, dizemos que vale uma lei 0-1 quando podemos estabelecer que um dado evento, ou todos os eventos de uma dada classe, têm probabilidade zero ou um. Já nos deparamos com duas situações com esta característica ao longo deste texto, a Proposição 2.16 (um evento é independente de si mesmo se e somente se sua probabilidade é zero ou um) e o Corolário 7.18 (a probabilidade de ocorrência de infinitos dentre uma família de eventos independentes é zero ou um). Leis 0-1 são muito úteis em probabilidade, pois excluem a possibilidade de valores de probabilidade no interior do intervalo $[0, 1]$, e, dessa forma, podemos concluir que a probabilidade é 1 verificando que não é 0, e vice-versa. Estudaremos as duas principais leis desse tipo: a Lei 0-1 de Kolmogorov e a Lei 0-1 de Hewitt-Savage.

Uma consequência da Lei 0-1 de Kolmogorov é que uma série de números aleatórios independentes será convergente com probabilidade zero ou um. Na última seção deste capítulo daremos condições necessárias e suficientes para que essa probabilidade seja um.

Os enunciados e demonstrações dos principais teoremas deste capítulo dependem de alguns conceitos técnicos dos quais ainda não dispomos. Começaremos com uma seção cujo objetivo é introduzir definições e

ferramentas que serão usadas nas seções e capítulos seguintes.

12.1 Álgebras e processos estocásticos

Um processo estocástico nada mais é do que uma família de variáveis aleatórias indexadas por um conjunto de índices qualquer, normalmente \mathbb{N} , \mathbb{Z} , ou $[0, +\infty)$.

Começemos pelo espaço de sequências infinitas. Denotamos o conjunto de todas as sequências de números reais por

$$\mathbb{R}^{\mathbb{N}} = \{\mathbf{x} = (x_1, x_2, x_3, \dots) : x_n \in \mathbb{R} \text{ para todo } n \in \mathbb{N}\}.$$

Dizemos que um conjunto $A \subseteq \mathbb{R}^{\mathbb{N}}$ é um conjunto *cilíndrico* se

$$A = \{\mathbf{x} = (x_n)_n \in \mathbb{R}^{\mathbb{N}} : (x_1, x_2, \dots, x_k) \in B\}$$

para algum $k \in \mathbb{N}$ e $B \in \mathcal{B}(\mathbb{R}^k)$.

Definição 12.1 (Conjuntos borelianos em $\mathbb{R}^{\mathbb{N}}$). Definimos a σ -álgebra de Borel em $\mathbb{R}^{\mathbb{N}}$, denotada por $\mathcal{B}(\mathbb{R}^{\mathbb{N}})$, como a σ -álgebra gerada pela classe dos conjuntos cilíndricos.

Observe que a projeção de $\mathbb{R}^{\mathbb{N}}$ em \mathbb{R} que leva \mathbf{x} em sua n -ésima coordenada x_n é uma função boreliana em $\mathbb{R}^{\mathbb{N}}$, pois $\{\mathbf{x} : x_n \in B\}$ é um conjunto cilíndrico.

Definição 12.2. Dado um espaço amostral Ω e uma família de funções $(f_\lambda)_{\lambda \in \Lambda}$ de Ω em \mathbb{R} , dizemos que $A \subseteq \Omega$ é *cilíndrico com respeito a $(f_\lambda)_{\lambda \in \Lambda}$* se existem $k \in \mathbb{N}$, $\lambda_1, \dots, \lambda_k \in \Lambda$ e $B \in \mathcal{B}(\mathbb{R}^k)$ tais que $A = \{\omega \in \Omega : (f_{\lambda_1}(\omega), \dots, f_{\lambda_k}(\omega)) \in B\}$. Definimos $\sigma((f_\lambda)_{\lambda \in \Lambda})$ como a σ -álgebra gerada pelos conjuntos cilíndricos com respeito a $(f_\lambda)_{\lambda \in \Lambda}$.

Observe que $\sigma((f_\lambda)_{\lambda \in \Lambda})$ é a menor σ -álgebra em Ω para a qual todas as f_λ são mensuráveis.

Definição 12.3. Seja $(\Omega, \mathcal{F}, \mathbb{P})$ um espaço de probabilidade. Dizemos que duas sub- σ -álgebras \mathcal{G}_1 e \mathcal{G}_2 contidas em \mathcal{F} são *independentes* se $\mathbb{P}(A \cap B) = \mathbb{P}(A) \cdot \mathbb{P}(B)$ para todos $A \in \mathcal{G}_1$ e $B \in \mathcal{G}_2$.

Recordando-nos da Definição 11.45, uma variável X é independente de uma σ -álgebra \mathcal{G} se, e somente se, $\sigma(X)$ é independente de \mathcal{G} . A propriedade abaixo talvez seja óbvia, mas daremos uma prova completa.

Proposição 12.4. *Sejam $X_1, \dots, X_n, Y_1, \dots, Y_m$ variáveis aleatórias independentes. Então $\sigma(X_1, \dots, X_n)$ é independente de $\sigma(Y_1, \dots, Y_m)$.*

Demonstração. Sejam $A_1 \in \sigma(X_1, \dots, X_n)$ e $A_2 \in \sigma(Y_1, \dots, Y_m)$. Então $A_1 = \{(X_1, \dots, X_n) \in B_1\}$ e $A_2 = \{(Y_1, \dots, Y_m) \in B_2\}$ para algum $B_1 \in \mathcal{B}(\mathbb{R}^n)$ e $B_2 \in \mathcal{B}(\mathbb{R}^m)$. Pelo Teorema de Tonelli,

$$\begin{aligned} \mathbb{P}(A_1 \cap A_2) &= \int_{\Omega} \mathbb{1}_{B_1}(\mathbf{X}) \mathbb{1}_{B_2}(\mathbf{Y}) \, d\mathbb{P} \\ &= \int_{\mathbb{R}^{m+n}} \mathbb{1}_{B_1}(\mathbf{x}) \mathbb{1}_{B_2}(\mathbf{y}) \, \mathbb{P}_{\mathbf{X}, \mathbf{Y}}(d\mathbf{x} d\mathbf{y}) \\ &= \int_{\mathbb{R}^{m+n}} \mathbb{1}_{B_1}(\mathbf{x}) \mathbb{1}_{B_2}(\mathbf{y}) \, (\mathbb{P}_{\mathbf{X}} \otimes \mathbb{P}_{\mathbf{Y}})(d\mathbf{x} d\mathbf{y}) \\ &= \int_{\mathbb{R}^m} \left(\int_{\mathbb{R}^n} \mathbb{1}_{B_1}(\mathbf{x}) \mathbb{1}_{B_2}(\mathbf{y}) \, \mathbb{P}_{\mathbf{X}}(d\mathbf{x}) \right) \mathbb{P}_{\mathbf{Y}}(d\mathbf{y}) \\ &= \int_{\mathbb{R}^m} \mathbb{1}_{B_2}(\mathbf{y}) \left(\int_{\mathbb{R}^n} \mathbb{1}_{B_1}(\mathbf{x}) \, \mathbb{P}_{\mathbf{X}}(d\mathbf{x}) \right) \mathbb{P}_{\mathbf{Y}}(d\mathbf{y}) \\ &= \left(\int_{\mathbb{R}^n} \mathbb{1}_{B_1}(\mathbf{x}) \, \mathbb{P}_{\mathbf{X}}(d\mathbf{x}) \right) \int_{\mathbb{R}^m} \mathbb{1}_{B_2}(\mathbf{y}) \, \mathbb{P}_{\mathbf{Y}}(d\mathbf{y}) \\ &= \mathbb{P}(\mathbf{X} \in B_1) \cdot \mathbb{P}(\mathbf{Y} \in B_2), \end{aligned}$$

o que conclui a prova. \square

A proposição acima admite uma extensão para famílias de variáveis aleatórias.

Proposição 12.5. *Seja $(X_{\lambda})_{\lambda \in \Lambda}$ uma família de variáveis aleatórias independentes. Suponha que $\Lambda = \Lambda_1 \cup \Lambda_2$ e que a união seja disjunta. Então $\sigma((X_{\lambda})_{\lambda \in \Lambda_1})$ e $\sigma((X_{\lambda})_{\lambda \in \Lambda_2})$ são σ -álgebras independentes.*

Para provar esta e muitas outras proposições, vamos introduzir o conceito de álgebra. É muito útil poder trabalhar com álgebras por pelo menos dois motivos: os elementos de uma álgebra costumam ser muito mais simples de descrever e estudar, e algumas classes importantes de conjuntos são álgebras mas não são σ -álgebras. Por exemplo, a classe dos conjuntos cilíndricos com respeito a $(f_\lambda)_{\lambda \in \Lambda}$ é uma álgebra mas não é uma σ -álgebra, assim como a classe dos conjuntos cilíndricos de $\mathbb{R}^{\mathbb{N}}$.

Definição 12.6 (Álgebra). Uma classe \mathcal{A} de subconjuntos de Ω é chamada uma *álgebra em Ω* se

- (1) $\Omega \in \mathcal{A}$,
- (2) $A^c \in \mathcal{A}$ para todo $A \in \mathcal{A}$,
- (3) $A \cup B \in \mathcal{A}$ para todos $A, B \in \mathcal{A}$.

Mas o que significa poder trabalhar com álgebras? Significa que eventos de uma σ -álgebra podem ser aproximados, em um sentido bastante forte, por eventos de uma álgebra, como veremos a seguir. Logo, é de grande utilidade termos uma forma de descrever como dois eventos A e B diferem.

Definição 12.7 (Diferença simétrica). Dados dois conjuntos A e B , a sua *diferença simétrica* $A \triangle B$ é definida como $A \triangle B = (A \setminus B) \cup (B \setminus A)$.

Observe que a diferença simétrica satisfaz um análogo da desigualdade triangular: $A \triangle C \subseteq (A \triangle B) \cup (B \triangle C)$, e também satisfaz $A^c \triangle B^c = A \triangle B$. Ademais, $(\cup_n A_n) \triangle (\cup_n B_n) \subseteq \cup_n (A_n \triangle B_n)$.

Teorema 12.8 (Aproximação por álgebras). *Sejam $(\Omega, \mathcal{F}, \mathbb{P})$ um espaço de probabilidade e $\mathcal{A} \subseteq \mathcal{F}$ uma álgebra. Então, dados quaisquer $B \in \sigma(\mathcal{A})$ e $\varepsilon > 0$, existe $A \in \mathcal{A}$ tal que $\mathbb{P}(A \triangle B) < \varepsilon$.*

Demonstração. Seja \mathcal{C} a classe dos conjuntos que satisfazem à afirmação do lema: $\mathcal{C} = \{B \in \mathcal{F} : \forall \varepsilon > 0, \exists A \in \mathcal{A} \text{ com } \mathbb{P}(A \triangle B) < \varepsilon\}$. Observe que $\mathcal{A} \subseteq \mathcal{C}$, pois $\mathbb{P}(A \triangle A) = \mathbb{P}(\emptyset) = 0$. Logo, basta mostrar que \mathcal{C} é uma σ -álgebra. É imediato que $\emptyset \in \mathcal{C}$, pois $\mathbb{P}(\emptyset \triangle \emptyset) = 0$. Se $C \in \mathcal{C}$, então dado

$\varepsilon > 0$, existe $A \in \mathcal{A}$ tal que $\mathbb{P}(A \Delta C) < \varepsilon$; como $A^c \Delta C^c = A \Delta C$ e $A^c \in \mathcal{A}$, segue que $C^c \in \mathcal{C}$. Para concluir que \mathcal{C} é uma σ -álgebra, falta mostrar que \mathcal{C} é fechado por uniões enumeráveis. Sejam $C_1, \dots, C_n, \dots \in \mathcal{C}$ e $\varepsilon > 0$. Defina $C = \bigcup_{n=1}^{+\infty} C_n$ e tome $n \in \mathbb{N}$ tal que $\mathbb{P}(C \setminus (\bigcup_{k=1}^n C_k)) < \frac{\varepsilon}{2}$. Tome $A_1, A_2, \dots, A_n \in \mathcal{A}$ tais que $\mathbb{P}(A_k \Delta C_k) < \frac{\varepsilon}{2n}$, $\forall k = 1, \dots, n$. Observando que

$$(\bigcup_{k=1}^n A_k) \Delta (\bigcup_{k=1}^{+\infty} C_k) \subseteq (\bigcup_{k=1}^n (A_k \Delta C_k)) \cup (C \setminus (\bigcup_{k=1}^n C_k)),$$

por subaditividade obtemos

$$\mathbb{P}\left((\bigcup_{k=1}^n A_k) \Delta (\bigcup_{k=1}^{+\infty} C_k)\right) \leq \sum_{k=1}^n \mathbb{P}(A_k \Delta C_k) + \mathbb{P}(C \setminus (\bigcup_{k=1}^n C_k)) < \varepsilon.$$

Portanto, $C \in \mathcal{C}$, o que completa a prova de que \mathcal{C} é uma σ -álgebra. \square

Demonstração da Proposição 12.5. Sejam A e B conjuntos tais que $A \in \sigma((X_\lambda)_{\lambda \in \Lambda_1})$ e $B \in \sigma((X_\lambda)_{\lambda \in \Lambda_2})$. Pelo Teorema 12.8, existem eventos A_n cilíndricos com respeito a $(X_\lambda)_{\lambda \in \Lambda_1}$ e B_n cilíndricos com respeito a $(X_\lambda)_{\lambda \in \Lambda_2}$, tais que $\mathbb{P}(A_n \Delta A) \rightarrow 0$ e $\mathbb{P}(B_n \Delta B) \rightarrow 0$. Como consequência dessas aproximações, temos também $\mathbb{P}(A_n) \rightarrow \mathbb{P}(A)$, $\mathbb{P}(B_n) \rightarrow \mathbb{P}(B)$ e $\mathbb{P}(A_n \cap B_n) \rightarrow \mathbb{P}(A \cap B)$, o que deixamos como exercício. Pela Proposição 12.4, $\mathbb{P}(A_n \cap B_n) = \mathbb{P}(A_n)\mathbb{P}(B_n)$, o que conclui a prova. \square

12.2 Lei 0-1 de Kolmogorov

Nesta seção vamos estudar eventos caudais com respeito a uma sequência de variáveis aleatórias, e a Lei 0-1 de Kolmogorov.

Sejam $(\Omega, \mathcal{F}, \mathbb{P})$ um espaço de probabilidade e $\mathbf{X} = (X_n)_n$ uma sequência de variáveis aleatórias. Definimos as seguintes sub- σ -álgebras de \mathcal{F} :

$$\mathcal{F}_n^\infty = \sigma((X_j)_{j \geq n}), \quad \mathcal{X} = \bigcap_n \mathcal{F}_n^\infty.$$

Em palavras, os eventos da σ -álgebra \mathcal{F}_{n+1}^∞ são aqueles cuja ocorrência, apesar de ser determinada por \mathbf{X} , não depende dos valores das n primeiras variáveis aleatórias X_1, \dots, X_n , enquanto os eventos $A \in \mathcal{X}$ são aqueles cuja ocorrência não depende das k primeiras variáveis aleatórias X_1, \dots, X_k , qualquer que seja $k \in \mathbb{N}$, isto é, A não depende do conhecimento de nenhuma quantidade finita das variáveis aleatórias $(X_k)_k$, apenas do comportamento remoto desta sequência.

Definição 12.9. Dizemos que um evento A é *caudal* com respeito à sequência \mathbf{X} se $A \in \mathcal{X}$. Chamamos \mathcal{X} de σ -álgebra dos eventos caudais com respeito à sequência \mathbf{X} , ou simplesmente σ -álgebra caudal.

Exemplo 12.10. São exemplos de eventos caudais com respeito a \mathbf{X} :

- (a) $\{\frac{X_1 + \dots + X_n}{n} \text{ converge}\};$
- (b) $\{X_n \in B \text{ i.v.}\}$ para um $B \in \mathcal{B}$ dado;
- (c) $\{\limsup_n \frac{X_1 + \dots + X_n}{n} < C\}$ para um $C \in \mathbb{R}$ dado;
- (d) $\{\sum_{n=1}^\infty X_n \text{ converge}\}.$ \triangle

Exemplo 12.11. Dados $B \in \mathcal{B}$ e $C \in \mathbb{R}$, em geral os eventos abaixo não são caudais com respeito a \mathbf{X} :

- (a) $\{X_1 + \dots + X_n \in B \text{ i.v.}\};$
- (b) $\{\limsup_n X_1 + \dots + X_n < C\}.$ \triangle

A primeira das leis 0-1 que vamos estudar, conhecida como a Lei 0-1 de Kolmogorov, tem um enunciado bem simples. Se as variáveis aleatórias $(X_n)_n$ são independentes, então todo evento caudal tem probabilidade 0 ou 1.

Teorema 12.12 (Lei 0-1 de Kolmogorov). *Se $(X_n)_n$ é uma sequência de variáveis aleatórias independentes, então $\mathbb{P}(A) = 0$ ou 1 para todo $A \in \mathcal{X}$.*

Demonstração. Seja $A \in \mathcal{X}$. No espírito da Proposição 2.16, vamos mostrar que A é independente de si mesmo. Para isso vamos considerar uma aproximação para A que é independente de A .

Como os eventos cilíndricos com respeito à sequência \mathbf{X} formam uma álgebra, pelo Teorema 12.8, existem eventos $A_n \in \sigma(X_1, \dots, X_n)$ tais que

$$\mathbb{P}(A \Delta A_n) \rightarrow 0$$

quando $n \rightarrow \infty$. Daí pode-se verificar que

$$\mathbb{P}(A_n) \rightarrow \mathbb{P}(A) \quad \text{e} \quad \mathbb{P}(A \cap A_n) \rightarrow \mathbb{P}(A),$$

o que deixamos como um instrutivo exercício sobre aproximações.

Por outro lado, como $A \in \mathcal{X}$, segue que $A \in \sigma(X_{n+1}, X_{n+2}, \dots)$ para todo $n \in \mathbb{N}$. Logo, pela Proposição 12.5, A é independente de A_n , ou seja,

$$\mathbb{P}(A \cap A_n) = \mathbb{P}(A) \cdot \mathbb{P}(A_n).$$

Tomando o limite em n , obtemos

$$\mathbb{P}(A) = \mathbb{P}(A) \cdot \mathbb{P}(A),$$

ou seja, $\mathbb{P}(A) = 0$ ou 1 . □

Corolário 12.13. *Se Z é uma variável aleatória \mathcal{X} -mensurável, então Z é uma variável aleatória degenerada.*

Demonstração. Por hipótese, $F_Z(z) = \mathbb{P}(Z \leq z) = 0$ ou 1 . Tomando $C = \sup\{z \in \mathbb{R} : F_Z(z) = 0\}$, obtemos $\mathbb{P}(Z = C) = 1$ q.c. □

12.3 Lei 0-1 de Hewitt-Savage

No Exemplo 12.11 foram exibidos alguns exemplos de eventos que não são caudais. Todavia, se a sequência $(X_n)_n$ associada a tais eventos for i.i.d., tais eventos satisfarão a outra importante lei 0-1, a Lei 0-1 de Hewitt-Savage.

Dizemos que uma função $\pi : \mathbb{N} \rightarrow \mathbb{N}$ é uma *permutação finita* se, π é uma

bijecção e $\pi(n) \neq n$ para no máximo finitos valores de $n \in \mathbb{N}$. Dada uma sequência $\mathbf{x} \in \mathbb{R}^{\mathbb{N}}$, definimos a sequência permutada $\pi(\mathbf{x}) = (x_{\pi(n)})_n$.

Definição 12.14 (Evento simétrico). Seja $(\Omega, \mathcal{F}, \mathbb{P})$ um espaço de probabilidade e $\mathbf{X} = (X_n)_n$ uma sequência de variáveis aleatórias. Dizemos que um conjunto $B \in \mathcal{B}(\mathbb{R}^{\mathbb{N}})$ é *simétrico* se $\pi^{-1}(B) = B$ para toda permutação finita π . Dizemos que um evento $A \in \mathcal{F}$ é *simétrico com respeito à sequência \mathbf{X}* se $A = \{\omega : X(\omega) \in B\}$ para um conjunto simétrico $B \in \mathcal{B}(\mathbb{R}^{\mathbb{N}})$.

Teorema 12.15 (Lei 0-1 de Hewitt-Savage). *Sejam $(X_n)_n$ uma sequência de variáveis aleatórias independentes e identicamente distribuídas, e A um evento simétrico com respeito à sequência $(X_n)_n$. Então $\mathbb{P}(A) = 0$ ou 1 .*

Demonstração. Novamente, a ideia é mostrar que A é independente de si mesmo. De forma um pouco mais elaborada do que fizemos na Lei 0-1 de Kolmogorov, desta vez vamos considerar diferentes aproximações para A que são independentes entre si.

Tome $B \in \mathcal{B}(\mathbb{R}^{\mathbb{N}})$ simétrico tal que $A = \{\omega : \mathbf{X}(\omega) \in B\}$. Vamos mostrar que $\mathbb{P}_{\mathbf{X}}(B) = 0$ ou 1 . Pelo Teorema 12.8, existem $C_n \in \mathcal{B}(\mathbb{R}^n)$ tais que

$$\mathbb{P}_{\mathbf{X}}(B \triangle B_n) \rightarrow 0,$$

onde $B_n = \{\mathbf{x} \in \mathbb{R}^{\mathbb{N}} : (x_1, \dots, x_n) \in C_n\}$.

Vamos agora definir outra aproximação independente desta. Para cada $n \in \mathbb{N}$, seja $\pi_n : \mathbb{N} \rightarrow \mathbb{N}$ a permutação finita que troca de lugar os blocos $(1, \dots, n)$ e $(n+1, \dots, 2n)$, isto é,

$$\pi_n(j) = \begin{cases} j+n, & \text{se } 1 \leq j \leq n, \\ j-n, & \text{se } n+1 \leq j \leq 2n, \\ j, & \text{se } j > 2n, \end{cases}$$

e defina

$$\tilde{B}_n = \pi_n^{-1}(B_n) = \{\mathbf{x} \in \mathbb{R}^{\mathbb{N}} : (x_{n+1}, \dots, x_{2n}) \in C_n\}.$$

Vejamos primeiro que \tilde{B}_n aproxima B . Como a sequência \mathbf{X} é i.i.d., temos

$$\mathbb{P}_{\mathbf{X}} = \mathbb{P}_{\pi_n(\mathbf{X})}$$

para cada $n \in \mathbb{N}$. Assim,

$$\mathbb{P}_{\mathbf{X}}(B \triangle B_n) = \mathbb{P}_{\pi_n(\mathbf{X})}(B \triangle B_n) = \mathbb{P}_{\mathbf{X}}(\pi_n^{-1}(B) \triangle \pi_n^{-1}(B_n)) = \mathbb{P}_{\mathbf{X}}(B \triangle \tilde{B}_n),$$

onde na última igualdade usamos que B é simétrico. Logo,

$$\mathbb{P}_{\mathbf{X}}(B \triangle \tilde{B}_n) = \mathbb{P}_{\mathbf{X}}(B \triangle B_n) \rightarrow 0.$$

Daí pode-se verificar que

$$\mathbb{P}_{\mathbf{X}}(B_n \cap \tilde{B}_n) \rightarrow \mathbb{P}_{\mathbf{X}}(B), \quad \mathbb{P}_{\mathbf{X}}(B_n) \rightarrow \mathbb{P}_{\mathbf{X}}(B) \quad \text{e} \quad \mathbb{P}_{\mathbf{X}}(\tilde{B}_n) \rightarrow \mathbb{P}_{\mathbf{X}}(B),$$

o que novamente deixamos como exercício sobre aproximações.

Por outro lado, como (X_1, \dots, X_n) é independente de (X_{n+1}, \dots, X_{2n}) , obtemos, como na prova da Proposição 12.4, que

$$\begin{aligned} \mathbb{P}_{\mathbf{X}}(B_n \cap \tilde{B}_n) &= \mathbb{P}((X_1, \dots, X_n) \in C_n, (X_{n+1}, \dots, X_{2n}) \in C_n) \\ &= \mathbb{P}((X_1, \dots, X_n) \in C_n) \cdot \mathbb{P}((X_{n+1}, \dots, X_{2n}) \in C_n) \\ &= \mathbb{P}_{\mathbf{X}}(B_n) \cdot \mathbb{P}_{\mathbf{X}}(\tilde{B}_n) \end{aligned}$$

e, tomando o limite em n , obtemos

$$\mathbb{P}_{\mathbf{X}}(B) = \mathbb{P}_{\mathbf{X}}(B) \cdot \mathbb{P}_{\mathbf{X}}(B).$$

Portanto, $\mathbb{P}(A) = 0$ ou 1 , o que conclui esta demonstração. \square

Corolário 12.16. *Sejam $(X_n)_n$ uma sequência de variáveis aleatórias i.i.d. e $S_n = X_1 + \dots + X_n$ para todo $n \in \mathbb{N}$. Então, $\mathbb{P}(A) = 0$ ou 1 para todo evento A caudal com respeito à sequência $(S_n)_n$.*

Demonstração. Em geral, o evento A não é caudal com respeito à sequência $(X_n)_n$. Porém, observe que se A é caudal com respeito à sequência $(S_n)_n$, então A é um evento simétrico com respeito à sequência $(X_n)_n$. \square

Exemplo 12.17 (De volta ao Exemplo 12.11). São exemplos de eventos simétricos com respeito à sequência $(X_n)_n$:

- (a) $\{X_1 + \cdots + X_n \in B \text{ i.v.}\}$ para todo $B \in \mathcal{B}$;
- (b) $\{\limsup_n X_1 + \cdots + X_n < C\}$ para todo $C \in \mathbb{R}$.

Portanto, se a sequência $(X_n)_n$ for i.i.d., vale a Lei 0-1 de Hewitt-Savage para os eventos acima. \triangle

Contra-exemplo 12.18. Seja $(X_n)_n$ uma sequência de variáveis aleatórias independentes com distribuição $\mathbb{P}(X_n = 0) = 1 - \mathbb{P}(X_n = 1) = 2^{-n}$ para todo $n \in \mathbb{N}$. Observe que o evento $A = \{\lim_n (Z_1 \times \cdots \times Z_n) = 1\}$ é simétrico com respeito à sequência $(X_n)_n$. Porém, $\mathbb{P}(A) = \prod_{n=1}^{\infty} (1 - 2^{-n}) \in (0, 1)$. Assim vemos que hipótese de as variáveis $(X_n)_n$ terem a mesma distribuição é crucial para a validade da Lei 0-1 de Hewitt-Savage, apesar de desnecessária para a Lei 0-1 de Kolmogorov. \triangle

12.4 Convergência de séries aleatórias

Seja $(X_n)_n$ uma sequência de variáveis aleatórias independentes. Conforme vimos na seção anterior o evento $\{\omega : \sum_{n=1}^{\infty} X_n(\omega) \text{ converge}\}$ é caudal, logo pela Lei 0-1 de Kolmogorov, sua probabilidade é zero ou um. Isto é, $\sum_{n=1}^{\infty} X_n$ converge quase certamente ou diverge quase certamente. Nesta seção estudamos critérios que nos permitem determinar qual dos casos acima ocorre quase certamente.

Exemplo 12.19. Seja $(X_n)_n$ uma sequência de variáveis aleatórias independentes, com distribuição $\mathbb{P}(X_n = 1) = 1 - \mathbb{P}(X_n = 0) = 2^{-n}$ para todo $n \in \mathbb{N}$. Pelo Lema de Borel-Cantelli, $\mathbb{P}(X_n \neq 0 \text{ i.v.}) = 0$ e portanto $\sum_{n=1}^{\infty} X_n$ converge quase certamente. \triangle

No exemplo acima foi relativamente fácil concluir que a série converge quase certamente. Suponha agora que $(Z_n)_n$ é i.i.d. com distribuição $\mathbb{P}(Z_n = 1) = \mathbb{P}(Z_n = -1) = \frac{1}{2}$ e considere a série harmônica com sinal aleatório $\sum_{n=1}^{\infty} \frac{Z_n}{n}$. Esta série converge ou diverge quase certamente? Não podemos proceder como no exemplo acima, e precisamos de critérios mais efetivos.

Lema 12.20. *Uma sequência $(X_n)_{n \in \mathbb{N}}$ converge quase certamente se, e somente se, $\lim_n \mathbb{P}(\sup_{k \in \mathbb{N}} |X_{n+k} - X_n| > \varepsilon) = 0$, para todo $\varepsilon > 0$.*

Demonstração. Observamos que uma sequência $(x_n)_n$ de números reais converge se, e somente se, $\lim_n (\sup_{k \geq n} x_k - \inf_{k \geq n} x_k) = 0$. Logo, $(X_n)_n$ converge q.c. se, e somente se, $\sup_{k \geq n} X_k - \inf_{k \geq n} X_k \xrightarrow{\text{q.c.}} 0$. Seja $Z_n = \sup_{k \geq n} X_k - \inf_{k \geq n} X_k$. Como $(Z_n)_n$ é uma sequência monótona, segue das Proposições 7.25 e 7.32 que $Z_n \xrightarrow{\text{q.c.}} 0$ se e somente se $Z_n \xrightarrow{\mathbb{P}} 0$. Mas como $\sup_{k \in \mathbb{N}} |X_{n+k} - X_n| \leq \sup_{k \geq n} X_k - \inf_{k \geq n} X_k \leq 2 \sup_{k \in \mathbb{N}} |X_{n+k} - X_n|$, concluímos que $Z_n \xrightarrow{\mathbb{P}} 0$ se e somente se $\sup_{k \in \mathbb{N}} |X_{n+k} - X_n| \xrightarrow{\mathbb{P}} 0$, o que prova o lema. \square

A seguir provaremos dois lemas. O primeiro é uma interessante desigualdade envolvendo o segundo momento da soma de variáveis aleatórias, pois vai na direção oposta à de Tchebyshev; enquanto o segundo lema é uma versão mais forte da Desigualdade de Tchebyshev.

Lema 12.21. *Seja $(X_n)_n$ uma sequência de variáveis aleatórias independentes tais que $\mathbb{E}X_n = 0$ e $\mathbb{P}(|X_n| \leq c) = 1$ para algum $c > 0$ para todo $n \in \mathbb{N}$. Então, para todo $\varepsilon > 0$, vale*

$$\mathbb{P}(S_n^2 \geq \varepsilon \mathbb{V}S_n) \geq \frac{(1 - \varepsilon)^2}{3 + \frac{c^2}{\mathbb{V}S_n}},$$

onde $S_n = \sum_{k=1}^n X_k$.

Demonstração. Pela Desigualdade de Paley-Zygmund,

$$\mathbb{P}(S_n^2 \geq \varepsilon \mathbb{E}S_n^2) \geq (1 - \varepsilon)^2 \frac{(\mathbb{E}S_n^2)^2}{\mathbb{E}S_n^4}.$$

Para estimar o quociente, expandimos como na demonstração do Teorema 8.7 e majoramos

$$\begin{aligned} \mathbb{E}S_n^4 &= \sum_{j=1}^n \mathbb{E}X_j^4 + 3 \sum_{j=1}^n \sum_{k=1}^n \mathbb{1}_{k \neq j} \mathbb{E}X_j^2 \cdot \mathbb{E}X_k^2 \\ &\leq c^2 \sum_{j=1}^n \mathbb{E}X_j^2 + 3 \left(\sum_{j=1}^n \mathbb{V}X_j \right)^2 = (3 + \frac{c^2}{\mathbb{V}S_n}) (\mathbb{V}S_n)^2, \end{aligned}$$

o que conclui a prova. \square

Uma prova alternativa do lema seguinte será dada no final da Seção 13.2.

Lema 12.22 (Desigualdade Maximal de Kolmogorov). *Sejam X_1, \dots, X_n variáveis aleatórias independentes com média zero e segundo momento finito. Então, para todo $\varepsilon > 0$,*

$$\mathbb{P}\left(\max_{1 \leq k \leq n} |S_k| \geq \varepsilon\right) \leq \frac{\mathbb{V}S_n}{\varepsilon^2},$$

onde $S_k = \sum_{j=1}^k X_j$.

Demonstração. Defina $B_k = \cup_{j=1}^k \{|S_j| \geq \varepsilon\}$ e $A_k = B_k \setminus B_{k-1}$. Observe que $\sum_{k=1}^n \mathbb{1}_{A_k} = \mathbb{1}_{B_n}$ e $\mathbb{E}S_n^2 = \sum_{k=1}^n \mathbb{E}X_k^2$. Expandindo $(S_k + S_n - S_k)^2$,

$$\begin{aligned} \mathbb{E}S_n^2 &\geq \sum_{k=1}^n \mathbb{E}[S_n^2 \mathbb{1}_{A_k}] \\ &= \sum_{k=1}^n (\mathbb{E}[S_k^2 \mathbb{1}_{A_k}] + 2 \cdot \mathbb{E}[S_k \mathbb{1}_{A_k}] \cdot \mathbb{E}[S_n - S_k] + \mathbb{E}[(S_n - S_k)^2 \mathbb{1}_{A_k}]) \\ &\geq \sum_{k=1}^n \mathbb{E}[\varepsilon^2 \mathbb{1}_{A_k}] = \varepsilon^2 \cdot \mathbb{P}(B_n), \end{aligned}$$

onde utilizamos que $S_n - S_k$ tem média zero e é independente de $S_k \mathbb{1}_{A_k}$. \square

Teorema 12.23 (Teorema de Uma Série). *Seja $(X_n)_{n \in \mathbb{N}}$ uma sequência de variáveis aleatórias independentes com $\mathbb{E}X_n = 0$ para todo $n \in \mathbb{N}$. Então*

- (a) *Se $\sum_{n=1}^{\infty} \mathbb{E}X_n^2 < \infty$, então $\mathbb{P}(\sum_{n=1}^{\infty} X_n \text{ converge}) = 1$.*
- (b) *Se $\mathbb{P}(\sum_{n=1}^{\infty} X_n \text{ converge}) = 1$ e existe $c > 0$ tal que $\mathbb{P}(|X_n| \leq c) = 1$ para todo n , então $\sum_{n=1}^{\infty} \mathbb{E}X_n^2 < \infty$.*

Demonstração. Queremos estudar a convergência de $S_n = X_1 + \cdots + X_n$.

(a) Suponha que $\sum_n \mathbb{E}X_n^2 < \infty$. Pela Desigualdade Maximal de Kolmogorov,

$$\begin{aligned} \mathbb{P}\left(\sup_{k \in \mathbb{N}} |S_{n+k} - S_n| > \varepsilon\right) &= \lim_m \mathbb{P}\left(\max_{k \leq m} |S_{n+k} - S_n| > \varepsilon\right) \leq \\ &\leq \lim_m \frac{\sum_{k=n}^{n+m} \mathbb{E}X_k^2}{\varepsilon^2} = \frac{\sum_{k=n}^{\infty} \mathbb{E}X_k^2}{\varepsilon^2} \rightarrow 0 \end{aligned}$$

para todo $\varepsilon > 0$ e, pelo Lema 12.20, S_n converge quase certamente.

(b) Vamos mostrar a contrapositiva. Suponha que $\forall S_n \rightarrow +\infty$ e que existe $c > 0$ tal que $|X_n| \leq c$ q.c. para todo n . Pelos Lema de Fatou e Lema 12.21,

$$\mathbb{P}(S_n^2 \geq \tfrac{1}{2} \mathbb{E}S_n^2 \text{ i.v.}) \geq \limsup_n \mathbb{P}(S_n^2 \geq \tfrac{1}{2} \mathbb{E}S_n^2) \geq \tfrac{1}{12},$$

donde concluímos que $\mathbb{P}(S_n \text{ diverge}) > 0$. □

Exemplo 12.24 (p -série aleatória). Sejam $(Z_n)_n$ uma sequência de variáveis aleatórias i.i.d. com distribuição $\mathbb{P}(Z_n = 1) = \mathbb{P}(Z_n = -1) = \frac{1}{2}$ para todo $n \in \mathbb{N}$, $p > 0$ e considere a p -série aleatória $\sum_{n=1}^{\infty} \frac{Z_n}{n^p}$. Como as variáveis $(\frac{Z_n}{n^p})_n$ são uniformemente limitadas quase certamente e $\mathbb{E}[\frac{Z_n}{n^p}] = 0$ para todo $n \in \mathbb{N}$, segue do Teorema de Uma Série que $\sum_{n=1}^{\infty} \frac{Z_n}{n^p}$ converge quase certamente se, e somente se $\sum_{n=1}^{\infty} \mathbb{E}(\frac{Z_n}{n^p})^2 = \sum_{n=1}^{\infty} \frac{1}{n^{2p}}$ converge. Portanto, $\sum_{n=1}^{\infty} \frac{Z_n}{n^p}$ converge quase certamente se $p > \frac{1}{2}$ e (pela Lei 0-1 de Kolmogorov) diverge quase certamente se $0 < p \leq \frac{1}{2}$. Em particular, a série harmônica com sinal aleatório, mencionada no início desta seção, converge quase certamente. △

O próximo teorema é um refinamento do anterior, que retira a hipótese de $\mathbb{E}X_n = 0$. Em troca, teremos que verificar a convergência de duas séries de

números reais ao invés de uma.

Teorema 12.25 (Teorema das Duas Séries). *Seja $(X_n)_{n \in \mathbb{N}}$ uma sequência de variáveis aleatórias independentes. Valem as seguintes proposições:*

- (a) *Se $\sum_{n=1}^{\infty} \mathbb{E}X_n$ e $\sum_{n=1}^{\infty} \mathbb{V}X_n$ convergem, então $\mathbb{P}(\sum_{n=1}^{\infty} X_n \text{ converge}) = 1$.*
- (b) *Se $\mathbb{P}(\sum_{n=1}^{\infty} X_n \text{ converge}) = 1$ e existe $c > 0$ tal que $\mathbb{P}(|X_n| \leq c) = 1$ para todo $n \in \mathbb{N}$, então $\sum_{n=1}^{\infty} \mathbb{E}X_n$ e $\sum_{n=1}^{\infty} \mathbb{V}X_n$ convergem.*

Demonstração. (a) Como $\sum_{n=1}^{\infty} \mathbb{V}X_n = \sum_{n=1}^{\infty} \mathbb{E}[X_n - \mathbb{E}X_n]^2$ converge, pelo item (a) do Teorema de Uma Série, $\sum_{n=1}^{\infty} (X_n - \mathbb{E}X_n)$ converge q.c. Por hipótese, $\sum_{n=1}^{\infty} \mathbb{E}X_n$ também converge, logo $\sum_{n=1}^{\infty} X_n$ converge q.c.

(b) Seja $(Y_n)_n$ uma sequência de variáveis aleatórias independentes entre si e independentes de $(X_n)_n$, tais que $Y_n \sim X_n$ para todo $n \in \mathbb{N}$ (para construir tal sequência é suficiente tomar o produto de $(\Omega, \mathcal{F}, \mathbb{P})$ consigo mesmo). Se $\sum_{n=1}^{\infty} X_n$ converge q.c., então $\sum_{n=1}^{\infty} Y_n$ converge q.c. e consequentemente, $\sum_{n=1}^{\infty} (X_n - Y_n)$ também converge quase certamente.

Por hipótese, $\mathbb{P}(|X_n| > c) = 0$ para todo $n \in \mathbb{N}$, logo $\mathbb{P}(|X_n - Y_n| > 2c) = 0$. Como $\mathbb{E}[X_n - Y_n] = 0$, pelo Teorema de Uma Série, $\sum_{n=1}^{\infty} \mathbb{E}[X_n - Y_n]^2$ converge. Por outro lado, como X_n e Y_n são independentes,

$$\mathbb{E}(X_n - Y_n)^2 = \mathbb{V}[X_n - Y_n] = 2\mathbb{V}X_n.$$

Logo, $\sum_{n=1}^{\infty} \mathbb{V}X_n$ converge e, utilizando novamente o Teorema de Uma Série, $\sum_{n=1}^{\infty} (X_n - \mathbb{E}X_n)$ converge q.c. Como $\sum_{n=1}^{\infty} X_n$ converge q.c., concluímos que $\sum_{n=1}^{\infty} \mathbb{E}X_n$ converge. \square

O próximo teorema nos fornece uma condição equivalente à convergência quase certa de uma série de variáveis independentes. Em compensação, ganhamos uma terceira série de números reais para analisar.

Sejam X uma variável aleatória e $c > 0$. Definimos

$$X^c(\omega) = \begin{cases} X(\omega), & \text{se } \omega \in (|X| \leq c), \\ 0, & \text{se } \omega \in (|X| > c). \end{cases}$$

Teorema 12.26 (Teorema das Três Séries). *Sejam $(X_n)_n$ uma sequência de variáveis aleatórias independentes e $(X_n^c)_n$ a sequência truncada em $c > 0$.*

- (a) *Se existe $c > 0$ tal que as três séries $\sum_{n=1}^{\infty} \mathbb{E}X_n^c$, $\sum_{n=1}^{\infty} \mathbb{V}X_n^c$ e $\sum_{n=1}^{\infty} \mathbb{P}(|X_n| > c)$ convergem, então $\mathbb{P}(\sum_{n=1}^{\infty} X_n \text{ converge}) = 1$.*
- (b) *Reciprocamente, se $\mathbb{P}(\sum_{n=1}^{\infty} X_n \text{ converge}) = 1$, então as três séries $\sum_{n=1}^{\infty} \mathbb{E}X_n^c$, $\sum_{n=1}^{\infty} \mathbb{V}X_n^c$ e $\sum_{n=1}^{\infty} \mathbb{P}(|X_n| > c)$ convergem para todo $c > 0$.*

Demonstração. (a) Pelo Teorema das Duas Séries, $\sum_{n=1}^{\infty} X_n^c$ converge q.c. Por outro lado, pelo Lema de Borel-Cantelli,

$$\mathbb{P}(X_n \neq X_n^c \text{ i.v.}) = \mathbb{P}(|X_n| > c \text{ i.v.}) = 0.$$

Isto é, quase certamente, X_n e X_n^c diferem para finitos valores do índice n . Como $\sum_{n=1}^{\infty} X_n^c$ converge quase certamente, segue que $\sum_{n=1}^{\infty} X_n$ também converge quase certamente.

(b) Seja $c > 0$. Como $\sum_{n=1}^{\infty} X_n$ converge quase certamente, $X_n \xrightarrow{\text{q.c.}} 0$. Pela Proposição 7.16, $\mathbb{P}(|X_n| > c \text{ i.v.}) = 0$, logo $\sum_{n=1}^{\infty} X_n^c$ converge q.c. Adicionalmente, como as variáveis $(X_n)_n$ são independentes, o Lema de Borel-Cantelli assegura que $\sum_{n=1}^{\infty} \mathbb{P}(|X_n| > c)$ converge. Como $\sum_{n=1}^{\infty} X_n^c$ converge q.c., pelo Teorema das Duas Séries, $\sum_{n=1}^{\infty} \mathbb{E}X_n^c$ e $\sum_{n=1}^{\infty} \mathbb{V}X_n^c$ convergem. \square

12.5 Exercícios

§12.1

1. Sejam $\{\mathcal{F}_n\}_n$ σ -álgebras em Ω tais que $\mathcal{F}_k \subseteq \mathcal{F}_{k+1}$ para todo k . Prove que $\mathcal{A} = \cup_n \mathcal{F}_n$ é uma álgebra. Prove que essa propriedade pode falhar sem a suposição de que $\mathcal{F}_k \subseteq \mathcal{F}_{k+1}$.

2. Sejam $A, B \in \mathcal{F}$ eventos e sejam $(A_n)_n$ e $(B_n)_n$ seqüências de eventos tais que $\mathbb{P}(A_n \triangle A) \rightarrow 0$ e $\mathbb{P}(B_n \triangle B) \rightarrow 0$. Prove que:

- (a) $\mathbb{P}(A_n) \rightarrow \mathbb{P}(A)$ e $\mathbb{P}(B_n) \rightarrow \mathbb{P}(B)$.
- (b) $\mathbb{P}(A_n \cap B_n) \rightarrow \mathbb{P}(A \cap B)$.
- (c) $\mathbb{P}(A \cap A_n) \rightarrow \mathbb{P}(A)$.
- (d) Se $A = B$, então $\mathbb{P}(A_n \triangle B_n) \rightarrow 0$.

§12.2

3. Prove que os eventos do Exemplo 12.10 são caudais com respeito à seqüência $(X_n)_n$.

4. Dado $0 < \alpha < 1$, dê um exemplo de uma seqüência $(X_n)_n$ de variáveis aleatórias independentes tais que $\mathbb{P}(X_n = X_1 \text{ i.v.}) = \alpha$.

5. Dê um exemplo de uma seqüência de variáveis aleatórias $(X_n)_n$ e um evento A , caudal com respeito à seqüência $(X_n)_n$, tais que $\mathbb{P}(A) \in (0, 1)$.

§12.3

6. Prove que os eventos do Exemplo 12.11 são simétricos com respeito à seqüência $(X_n)_n$.

7. Sejam $(X_n)_n$ uma seqüência de variáveis aleatórias e $S_n = \sum_{k=1}^n X_k$ para todo $n \in \mathbb{N}$. Mostre que se A é um evento caudal com respeito à seqüência $(S_n)_n$, então A é um evento simétrico com respeito à seqüência $(X_n)_n$.

8. Seja \mathcal{S} a classe de todos os eventos simétricos com respeito às variáveis aleatórias $(X_n)_n$. A classe \mathcal{S} é uma σ -álgebra? Justifique.

9. Sejam B, B_n e \tilde{B}_n tais que $\mathbb{P}(B \triangle B_n) \rightarrow 0$ e $\mathbb{P}(B \triangle \tilde{B}_n) \rightarrow 0$.

- (a) Mostre que $B \cup B_n \cup \tilde{B}_n \subseteq (B \cap B_n \cap \tilde{B}_n) \cup (B \triangle B_n) \cup (B \triangle \tilde{B}_n)$.
- (b) Mostre que $\mathbb{P}(B_n \cap \tilde{B}_n) \rightarrow \mathbb{P}(B)$ e $\mathbb{P}(B_n) \rightarrow \mathbb{P}(B)$.

§12.4

10. Seja $(X_n)_n$ uma sequência de variáveis aleatórias independentes. Determine se $\sum_{n=1}^{\infty} X_n$ converge ou diverge quase certamente nos casos abaixo. Quando a resposta for converge quase certamente, determine o valor da soma se possível.

- (a) $\mathbb{P}(X_n = 2^{-n}) = \mathbb{P}(X_n = 0) = \frac{1}{2}$ para todo $n \in \mathbb{N}$.
- (b) $\mathbb{P}(X_n = 1) = 1 - \mathbb{P}(X_n = 0) = \frac{1}{n}$ para todo $n \in \mathbb{N}$.
- (c) $\mathbb{P}(|X_n| \leq \frac{1}{n^2}) \geq 1 - \frac{1}{n^2}$ para todo $n \in \mathbb{N}$.
- (d) $\mathbb{P}(X_n = \frac{1}{2^n}) = \mathbb{P}(X_n = -\frac{1}{2^n}) = \frac{1}{2}$ para todo $n \in \mathbb{N}$.

11. Seja $(Z_n)_n$ uma sequência de variáveis aleatórias independentes, com $\mathbb{E}Z_n = 0$ para todo $n \in \mathbb{N}$.

- (a) Mostre que $\sum_{n=1}^{\infty} \mathbb{E}\left[\frac{Z_n^2}{1+|Z_n|}\right]$ converge se, e somente se,

$$\sum_{n=1}^{\infty} \mathbb{E}\left[Z_n^2 \mathbf{1}_{\{|Z_n| \leq 1\}} + |Z_n| \mathbf{1}_{\{|Z_n| > 1\}}\right] \text{ converge.}$$

- (b) Mostre que, se $\sum_{n=1}^{\infty} \mathbb{E}\left[\frac{Z_n^2}{1+|Z_n|}\right]$ converge, então $\sum_{n=1}^{\infty} \mathbb{E}Z_n^c$ e $\sum_{n=1}^{\infty} \mathbb{V}Z_n^c$ convergem quando truncadas em $c = 1$.
- (c) Utilize o Teorema das Três Séries para concluir que, se $\sum_{n=1}^{\infty} \mathbb{E}\left[\frac{Z_n^2}{1+|Z_n|}\right]$ converge, então $\sum_{n=1}^{\infty} Z_n$ converge quase certamente.

12. Dê um exemplo de uma sequência $(X_n)_n$ de variáveis aleatórias independentes e uma constante $c > 0$ tais que $\sum_{n=1}^{\infty} \mathbb{E}X_n^c$ e $\sum_{n=1}^{\infty} \mathbb{V}X_n^c$ convirjam, e $\sum_{n=1}^{\infty} \mathbb{P}(|X_n| > c)$ divirja.

13. Dê um exemplo de uma sequência $(X_n)_n$ de variáveis aleatórias independentes e uma constante $c > 0$ tais que $\sum_{n=1}^{\infty} \mathbb{P}(|X_n| > c)$ e $\sum_{n=1}^{\infty} \mathbb{V}X_n^c$ convirjam, e $\sum_{n=1}^{\infty} \mathbb{E}X_n^c$ divirja.

Capítulo 13

Martingales

Uma pergunta que os autores ouvem frequentemente é: qual a melhor estratégia que posso adotar em um cassino? A resposta curta é: não apostar. Os estudo de martingales explica, entre muitas outras coisas, como qualquer receita para lucrar em cassinos é, na verdade, uma receita para ir à falência.¹⁸

Considere um apostador que participa de um determinado jogo, e que a cada rodada ele vence com probabilidade $p \in [0, \frac{1}{2}]$. Em caso de vitória, ele ganha o montante apostado e, em caso de derrota, ele perde a mesma quantia. Se X_n representa o resultado obtido (+1 para vitória ou -1 para derrota) e C_n representa o valor apostado na n -ésima rodada, então $S_n = S_{n-1} + C_n X_n$ é o capital acumulado ao final da n -ésima rodada. Aqui C_n deve ser uma função determinística de X_1, \dots, X_{n-1} e representa a estratégia desse apostador. Efetivamente, o apostador tem todo o direito de utilizar a informação passada para decidir se e quanto vai apostar, mas deve decidi-lo sem saber qual será o resultado da próxima rodada. Analogamente, um investidor decide comprar uma ação sem saber se seu preço vai subir ou cair.

Observe que $S_{n+1} - S_n$ não precisa ser independente de S_0, \dots, S_n . Sequências cujos incrementos não são independentes surgem naturalmente em várias situações, tanto teóricas quanto práticas. Alguns casos especiais têm sua

própria teoria, incluindo as cadeias de Markov, que não são abordadas nesse livro, os processos estacionários, estudados no Capítulo 14, e os martingales, que são tema deste capítulo.

13.1 Definições e exemplos

Em um espaço de probabilidade $(\Omega, \mathcal{F}, \mathbb{P})$, uma *filtração* é uma sequência de σ -álgebras $(\mathcal{F}_n)_{n \in \mathbb{N}_0}$ contidas em \mathcal{F} tais que $\mathcal{F}_n \subseteq \mathcal{F}_{n+1}$ para todo $n \in \mathbb{N}_0$. Uma coleção crescente de σ -álgebras representa um experimento em que tem-se acesso a mais e mais informação. Aqui, pensamos em “informação” como a família de eventos cuja ocorrência é acessível a um determinado observador. Por essa família de eventos estar indexada por n , pensamos que ao passar do tempo esse observador passa a ter acesso à ocorrência de outros eventos. Por exemplo, imagine que uma moeda será lançada muitas vezes, e acabamos de observar o resultado do primeiro lançamento. Neste caso, particionamos Ω em dois eventos, e nossa informação até este momento é codificada pela σ -álgebra formada pelos quatro eventos: cara, coroa, o evento certo, e o evento impossível. Após o lançamento da segunda moeda, devemos particionar Ω em quatro eventos, e a σ -álgebra que codifica a informação observada terá $2^4 = 16$ eventos. Após o lançamento da terceira moeda, a σ -álgebra terá 2^{2^3} eventos.

Um *processo estocástico* é uma coleção indexada de variáveis aleatórias, o índice pode representar uma posição no espaço ou, mais frequentemente, um instante de tempo. Dizemos que o processo $(Z_n)_{n \in \mathbb{N}_0}$ é *adaptado à filtração* $(\mathcal{F}_n)_{n \in \mathbb{N}_0}$ se, para todo $n \in \mathbb{N}_0$, Z_n é \mathcal{F}_n -mensurável. Em muitos casos, queremos que Z_{n+1} seja independente de \mathcal{F}_n e, para simplificar, usaremos a

¹⁸Uma conhecida exceção é a do jogo de *blackjack* com poucos maços de baralho e regras de pagamento generosas (ambos raros hoje em dia), em que, após um período de lucro médio negativo, um apostador extremamente habilidoso poderia haver adquirido suficiente informação sobre as cartas restantes no baralho para começar a ter lucro médio ligeiramente positivo e, caso não fosse expulso em poucos minutos, poderia teoricamente compensar o período inicial e esperar algum lucro resultante positivo no final.

seguinte definição. A *filtração natural do processo* $(Z_n)_{n \in \mathbb{N}_0}$ é a filtração dada por $\mathcal{F}_n = \sigma(Z_0, Z_1, \dots, Z_n)$. Em palavras, no instante n temos a informação dada por Z_0, Z_1, \dots, Z_n e nada mais. Essa é a menor filtração à qual o processo $(Z_n)_n$ é adaptado.

Todas as definições e enunciados deste capítulo pressupõem que há um espaço de probabilidade e uma filtração subjacentes, mesmo que não se lhes faça referência explícita. Em alguns exemplos pediremos explicitamente que a filtração seja aquela natural de algum processo, como forma de assegurar independência de certos eventos ocorridos no futuro.

Definição 13.1 (Martingale). Dizemos que um processo adaptado $(M_n)_n$ é um *martingale* se, para todo $n \in \mathbb{N}_0$, M_n é integrável e

$$\mathbb{E}[M_{n+1} | \mathcal{F}_n] = M_n \quad (13.2)$$

quase certamente. Note que esta definição pressupõe um espaço $(\Omega, \mathcal{F}, \mathbb{P})$ e uma filtração $(\mathcal{F}_n)_n$ fixos. Se porventura for necessário especificar a filtração, diremos que $(M_n)_n$ é um *martingale com respeito à filtração* $(\mathcal{F}_n)_n$.

Da equação (13.2) surge a interpretação de que um martingale reflete os ganhos obtidos em um jogo justo: a esperança condicional do capital após a próxima rodada, dada a informação obtida até o presente momento, é igual ao capital acumulado até agora.

Exemplo 13.3 (Repetindo sempre a mesma aposta). Seja $(X_n)_n$ uma sequência de variáveis aleatórias integráveis e independentes tais que $\mathbb{E}X_n = 0$. Considere a filtração natural desse processo. Defina

$$S_n = X_1 + \dots + X_n.$$

Então $(S_n)_n$ é um martingale (subentende-se que o é com respeito à única filtração mencionada neste exemplo: a filtração natural de $(X_n)_n$). Veja que S_n é \mathcal{F}_n -mensurável pois é dado pela soma de variáveis \mathcal{F}_n -mensuráveis, S_n é integrável pois é soma de variáveis integráveis, restando mostrar (13.2).

Utilizando as propriedades da esperança condicional com respeito a σ -álgebras vistas no capítulo anterior, obtemos

$$\mathbb{E}[S_{n+1}|\mathcal{F}_n] = \mathbb{E}[X_{n+1}|\mathcal{F}_n] + \mathbb{E}[S_n|\mathcal{F}_n] = \mathbb{E}[X_{n+1}] + S_n = S_n.$$

As igualdades acima valem porque a esperança condicional é linear, S_n é \mathcal{F}_n -mensurável, e X_{n+1} é independente de \mathcal{F}_n . \triangle

No exemplo acima, assim como em várias passagens deste capítulo, usamos implicitamente que X_{n+1} é independente de $\sigma(X_1, \dots, X_n)$ – Proposição 12.4.

Exemplo 13.4 (Apostando todo o capital no mesmo jogo). Sejam $(X_n)_n$ variáveis aleatórias integráveis e independentes tais que $\mathbb{E}X_n = 1$ e considere a sua filtração natural. Defina

$$M_n = X_1 \times \dots \times X_n.$$

Então $(M_n)_n$ é um martingale. Novamente, M_n é \mathcal{F}_n -mensurável pois é produto de variáveis \mathcal{F}_n -mensuráveis, e é integrável pois é produto de variáveis independentes e integráveis. Para mostrar (13.2), veja que

$$\mathbb{E}[M_{n+1}|\mathcal{F}_n] = \mathbb{E}[X_{n+1}M_n|\mathcal{F}_n] = M_n\mathbb{E}[X_{n+1}|\mathcal{F}_n] = M_n\mathbb{E}[X_{n+1}] = M_n,$$

onde a segunda igualdade vale porque M_n é \mathcal{F}_n -mensurável e a terceira porque X_{n+1} é independente de \mathcal{F}_n . \triangle

Exemplo 13.5 (Filtrando uma variável aleatória). Sejam X uma variável aleatória integrável e $(\mathcal{F}_n)_n$ uma filtração qualquer. Defina $X_n = \mathbb{E}[X|\mathcal{F}_n]$ para todo $n \in \mathbb{N}$. Nesse caso, X_n é integrável e \mathcal{F}_n -mensurável pela definição de esperança condicional. Para verificar (13.2), veja que

$$\mathbb{E}[X_{n+1}|\mathcal{F}_n] = \mathbb{E}\left[\mathbb{E}[X|\mathcal{F}_{n+1}]\middle|\mathcal{F}_n\right] = \mathbb{E}[X|\mathcal{F}_n] = X_n.$$

A segunda igualdade acima segue da Esperança Condicional Iterada, observando que $\mathcal{F}_n \subseteq \mathcal{F}_{n+1}$. Portanto, $(X_n)_n$ é um martingale. \triangle

Assim como podemos interpretar um martingale como um jogo justo, a definição abaixo nos diz o que seria o análogo de um jogo favorável ou desfavorável ao apostador.

Definição 13.6 (Submartingale, Supermartingale). Dizemos que um processo $(M_n)_n$ é um *submartingale* se $(M_n)_n$ é adaptado e, para todo $n \in \mathbb{N}_0$, M_n é integrável e

$$\mathbb{E}[M_{n+1}|\mathcal{F}_n] \geq M_n \quad (13.7)$$

quase certamente. Novamente, deixamos o espaço de probabilidade e a filtração implícitos. Dizemos que $(X_n)_n$ é um *supermartingale* se $(-X_n)_n$ for um submartingale. Observe que um martingale é um caso particular de submartingale.

Exemplo 13.8 (O passeio aleatório em \mathbb{Z}). Sejam $k \in \mathbb{Z}$ e $(X_n)_n$ uma sequência de variáveis aleatórias i.i.d. com distribuição comum $\mathbb{P}(X_n = +1) = 1 - \mathbb{P}(X_n = -1) = p$, e considere sua filtração natural. Defina $S_n = k + \sum_{j=1}^n X_j$ para todo $n \in \mathbb{N}_0$. A sequência $(S_n)_n$ é chamada de *passeio aleatório em \mathbb{Z}* . Assim como procedemos no Exemplo 13.3, S_n é \mathcal{F}_n -mensurável, integrável, e

$$\mathbb{E}[S_{n+1}|\mathcal{F}_n] = S_n + \mathbb{E}X_{n+1} = S_n + 2p - 1.$$

Portanto, $(S_n)_n$ é um martingale no caso simétrico $p = \frac{1}{2}$, um submartingale se $p \geq \frac{1}{2}$ e um supermartingale se $p \leq \frac{1}{2}$. \triangle

Observe que o exemplo acima é um caso particular do jogo mencionado no início deste capítulo, onde o valor apostado é igual a um em todas as rodadas.

Proposição 13.9. *Sejam $(X_n)_n$ um martingale e $g : \mathbb{R} \rightarrow \mathbb{R}$ convexa tal que $g(X_n)$ é integrável para todo $n \in \mathbb{N}$. Então $(g(X_n))_n$ é um submartingale.*

Demonstração. Basta verificar (13.7), que segue de

$$\mathbb{E}[g(X_{n+1})|\mathcal{F}_n] \geq g(\mathbb{E}[X_{n+1}|\mathcal{F}_n]) = g(X_n),$$

onde utilizamos a Desigualdade de Jensen para Esperança Condicional. \square

Exemplo 13.10. Se $(X_n)_n$, é um martingale, então os processos $(X_n^+)_n$, $(X_n^-)_n$, $(|X_n|)_n$ e $(X_n^2)_n$ são submartingales (com respeito à mesma filtração!). \triangle

Proposição 13.11. *Sejam $(X_n)_n$ um submartingale e $g : \mathbb{R} \rightarrow \mathbb{R}$ convexa não-decrescente tal que $g(X_n)$ é integrável para todo $n \in \mathbb{N}$. Então $(g(X_n))_n$ é um submartingale.*

Demonstração. Como $\mathbb{E}[X_{n+1}|\mathcal{F}_n] \geq X_n$ e g é não-decrescente, obtemos

$$\mathbb{E}[g(X_{n+1})|\mathcal{F}_n] \geq g(\mathbb{E}[X_{n+1}|\mathcal{F}_n]) \geq g(X_n),$$

onde utilizamos a Desigualdade de Jensen para Esperança Condicional. \square

Exemplo 13.12. Se $(X_n)_n$ é um submartingale e $a \in \mathbb{R}$, então $([X_n - a]^+)_n$ também o é, pois a função $g(x) = [x - a]^+$ é convexa e não-decrescente. \triangle

13.2 Tempos de parada

Ao participar de rodadas sucessivas de um jogo de azar, ou mesmo ao investir dinheiro em um determinado ativo financeiro, surge perguntas bastante naturais. Em que momento devemos parar de jogar? Em que momento devemos vender o ativo? A resposta óbvia seria quando obtivermos o maior lucro possível! A questão é que para sabermos que estamos passando por este momento, devemos ter informação acerca do futuro, pois se hoje é o dia que obterei o maior lucro com meu ativo financeiro é porque amanhã ele se desvalorizará. Ou seja, há tempos aleatórios que somente conseguimos determinar se olharmos para o futuro. A seguinte definição caracteriza aqueles tempos aleatórios factíveis, isto é, aqueles que conseguimos determinar apenas com a informação contida até o presente.

Definição 13.13. Seja τ uma variável aleatória estendida que toma valores em $\mathbb{N}_0 \cup \{+\infty\}$. Dizemos que a variável τ é um *tempo de parada* com respeito

à filtração $(\mathcal{F}_n)_{n \in \mathbb{N}_0}$ se $\{\tau \leq n\} \in \mathcal{F}_n$ para todo $n \in \mathbb{N}_0$.

Alguns livros definem tempo de parada pedindo que $\{\tau = n\} \in \mathcal{F}_n$ para todo $n \in \mathbb{N}_0$, o que é equivalente. Se interpretamos que a σ -álgebra \mathcal{F}_n carrega toda a informação disponível até o tempo n , temos que, τ ser um tempo de parada significa que o evento $\{\tau = n\}$ pode ser determinado com base na informação contida apenas até este tempo n .

Exemplo 13.14. Sejam $(X_n)_n$ um processo adaptado e $B \in \mathcal{B}$. É frequente estarmos interessados no primeiro tempo de passagem pelo conjunto B (por exemplo, gostaríamos de vender determinado ativo financeiro quando ele atinge determinado preço pela primeira vez). Isto é, estamos interessados na variável aleatória

$$\tau_B = \inf\{n : X_n \in B\},$$

com a convenção $\inf \emptyset = +\infty$. Como

$$\{\tau_B \leq n\} = \cup_{k=0}^n \{X_k \in B\} \in \mathcal{F}_n$$

para todo $n \in \mathbb{N}_0$, segue que τ_B é um tempo de parada. \triangle

Dados $(X_n)_n$ um processo adaptado e τ um tempo de parada com respeito à filtração $(\mathcal{F}_n)_n$, definimos a variável aleatória

$$X_\tau = \sum_{n=0}^{\infty} X_n \cdot \mathbb{1}_{\{\tau \geq n\}}.$$

Se $(X_n)_n$ um processo adaptado e τ um tempo de parada, definimos o *processo parado em τ* como $(X_{n \wedge \tau})_n$, onde $a \wedge b = \min\{a, b\}$. Trata-se de um processo que para de evoluir quando uma determinada condição é cumprida.

Teorema 13.15 (Teorema do Martingale Parado). *Sejam $(X_n)_n$ um submartingale e τ um tempo de parada, com respeito à mesma filtração. Então o processo parado $(X_{n \wedge \tau})_n$ também é um submartingale. Em particular, se $(X_n)_n$ é um martingale, então $(X_{n \wedge \tau})_n$ também é martingale.*

Demonstração. Como

$$X_{\tau \wedge n} = X_n \cdot \mathbf{1}_{\{\tau \geq n\}} + \sum_{k=0}^{n-1} X_k \cdot \mathbf{1}_{\{\tau = k\}},$$

e todas as variáveis na equação acima são \mathcal{F}_n -mensuráveis, $X_{n \wedge \tau}$ é \mathcal{F}_n -mensurável, e como $|X_{n \wedge \tau}| \leq |X_1| + \cdots + |X_n|$, também é integrável. Para verificar (13.7), veja que

$$\begin{aligned} \mathbb{E}[X_{\tau \wedge (n+1)} - X_{\tau \wedge n} | \mathcal{F}_n] &= \mathbb{E}[(X_{n+1} - X_n) \cdot \mathbf{1}_{\{\tau > n\}} | \mathcal{F}_n] = \\ &= \mathbf{1}_{\{\tau > n\}} \cdot \mathbb{E}[(X_{n+1} - X_n) | \mathcal{F}_n] \geq 0. \end{aligned}$$

Na segunda igualdade utilizamos o fato que $\{\tau > n\} \in \mathcal{F}_n$, pois τ é tempo de parada. Na desigualdade usamos a propriedade de submartingale. \square

Exemplo 13.16 (O segundo valete). Retiramos cartas do baralho ao acaso e sucessivamente, até que não reste nenhuma carta. Sabemos que, para cada $n = 1, \dots, 52$, a probabilidade de que a n -ésima carta retirada seja um valete é igual a $\frac{1}{13}$. Uma propriedade talvez surpreendente é que, definindo τ como o número de cartas retiradas até que saia um valete, a probabilidade de que a $(\tau + 1)$ -ésima carta também seja valete é de $\frac{1}{13}$. Ou seja, a probabilidade de os dois primeiros valetes aparecerem juntos também é $\frac{1}{13}$!

Observe que essa não é uma probabilidade condicional. Uma vez que tenhamos observado o valor de τ , a probabilidade condicional deste evento será $\frac{3}{52-\tau}$. É a probabilidade não condicional, ou seja, integrando sobre τ , em princípio dada por $\sum_k \frac{3}{52-k} \mathbb{P}(\tau = k)$, que é igual a $\frac{1}{13}$.

Para justificar essa afirmação, definimos Y_n como a indicadora do evento em que a n -ésima carta retirada é um valete, e queremos mostrar que $\mathbb{E}[Y_{\tau+1}] = \frac{1}{13}$. Observe que as Y_n não são independentes, e $Y_1 + \cdots + Y_{52} = 4$. Definimos X_n como a proporção de valetes restantes no baralho após a n -ésima retirada, isto é, $X_n = \frac{4-Y_1-\cdots-Y_n}{52-n} = \frac{Y_{n+1}+\cdots+Y_{52}}{52-n}$.

Tomamos $(\mathcal{F}_n)_n$ como a filtração natural de $(Y_n)_n$, e observamos que $(X_n)_n$

é um martingale com respeito a essa filtração. Pelo Teorema do Martingale Parado, $\mathbb{E}X_\tau = \mathbb{E}X_{51 \wedge \tau} = \mathbb{E}X_0 = \frac{1}{13}$. Isto é, a esperança da fração de valetes após a retirada do primeiro valet é $\frac{1}{13}$.

Para concluir, verificamos que $\mathbb{E}Y_{\tau+1} = \mathbb{E}X_\tau$. Observe que a probabilidade condicional de que a próxima carta seja um valet é igual à proporção de valetes restantes no baralho, ou seja, $\mathbb{E}[Y_{n+1}|\mathcal{F}_n] = X_n$. Multiplicando por $\mathbb{1}_{\{\tau=n\}}$, tomando a esperança e somando sobre n , obtemos $\mathbb{E}[Y_{\tau+1}] = \mathbb{E}X_\tau$. \triangle

O Teorema do Martingale Parado permite estender estimativas sobre o comportamento de X_n para estimativas sobre toda a trajetória X_1, \dots, X_n .

Teorema 13.17. *Seja $(X_n)_n$ um submartingale. Então, para cada $\lambda > 0$ valem*

$$\mathbb{P}(X_j \geq \lambda \text{ para algum } j = 1, \dots, n) \leq \frac{\mathbb{E}X_n^+}{\lambda}$$

e

$$\mathbb{P}(X_j \leq -\lambda \text{ para algum } j = 1, \dots, n) \leq \frac{\mathbb{E}X_n^+ - \mathbb{E}X_1}{\lambda}.$$

Demonstração. Seja $\tau = \min\{j = 1, \dots, n : X_j \geq \lambda \text{ ou } j = n\}$. Então τ é tempo de parada e $\tau \wedge n = \tau$. Pela Proposição 13.11, X_n^+ também é submartingale. Pelo Teorema do Martingale Parado, $\mathbb{E}X_\tau^+ \leq \mathbb{E}X_n^+$, logo

$$\lambda \mathbb{P}(X_\tau \geq \lambda) \leq \mathbb{E}X_\tau^+ \leq \mathbb{E}X_n^+.$$

Se definimos $\tau = \min\{j = 1, \dots, n : X_j \leq -\lambda \text{ ou } j = n\}$, obtemos

$$\mathbb{E}X_1 \leq \mathbb{E}X_\tau = \mathbb{E}X_\tau^+ - \mathbb{E}X_\tau^- \leq \mathbb{E}X_n^+ - \lambda \mathbb{P}(X_\tau \leq -\lambda)$$

onde a primeira desigualdade é novamente dada pelo Teorema do Martingale Parado. \square

Corolário 13.18. *Seja $(X_n)_n$ um martingale. Então, para cada $\lambda > 0$ vale*

$$\mathbb{P}(|X_j| \geq \lambda \text{ para algum } j = 1, \dots, n) \leq \frac{\mathbb{E}|X_n|^p}{\lambda^p}.$$

Demonstração. Caso $\mathbb{E}|X_n|^p = \infty$, a desigualdade vale trivialmente. Caso contrário, como a função $|\cdot|^p$ é convexa, $(|X_n|^p)_n$ é um submartingale e aplicamos o teorema anterior com λ^p no lugar de λ . \square

13.3 Amostragem opcional

Se $(X_n)_n$ é um martingale, então $\mathbb{E}X_n = \mathbb{E}X_0$ para todo $n \in \mathbb{N}$. Isso é natural, pois se a sequência representa os ganhos em um jogo justo, o valor médio deve ser preservado ao longo das rodadas. Porém se τ é um tempo aleatório, pense por exemplo em τ como sendo o tempo em que o martingale atinge seu máximo, muito provavelmente $\mathbb{E}X_\tau \neq \mathbb{E}X_0$. Isso também é natural, pois neste caso precisamos de informação acerca do futuro para determinar quando estamos passando pelo tempo τ . Mas e se τ for um tempo de parada, será que poderíamos afirmar que $\mathbb{E}X_\tau = \mathbb{E}X_0$?

Exemplo 13.19 (A famosa estratégia que deu origem ao termo Martingale). Seja $(Z_n)_n$ uma sequência de variáveis independentes com $\mathbb{P}(Z_n = +1) = \mathbb{P}(Z_n = -1) = \frac{1}{2}$ e considere sua filtração natural. Tome $X_n = \sum_{k=1}^n 2^{k-1} Z_k$ para todo n . O martingale $(X_n)_n$ reflete o ganho acumulado de um jogador que aposta nos vermelhos, em um jogo de roleta justo,¹⁹ e vai dobrando o valor. Seja $\tau = \inf\{n : Z_n = +1\}$, isto é, τ é a rodada em que o jogador ganha pela primeira vez, recuperando todas as perdas anteriores e ainda tirando \$1 de lucro. Neste caso, $X_\tau = +1$ q.c. e $X_0 = 0$, logo $\mathbb{E}X_\tau \neq \mathbb{E}X_0$. Veja que essa estratégia exige que o jogador tenha um capital infinito.²⁰ \triangle

Portanto, queremos saber sob que hipóteses a propriedade de ser martingale ou supermartingale é preservada quando o processo é observado em um tempo

¹⁹Em um jogo de roleta justo, que não existe na prática, os vermelhos e pretos têm chance $\frac{1}{2}$, isto é, não existem as casas verdes 0 e 00.

de parada τ . O teorema a seguir nos fornece vários critérios que asseguram essa propriedade.

Teorema 13.20 (Teorema da Amostragem Opcional). *Sejam $(X_n)_{n \in \mathbb{N}_0}$ um supermartingale e τ um tempo de parada finito. Então $\mathbb{E}X_\tau \leq \mathbb{E}X_0$ se pelo uma das condições abaixo for satisfeita para algum $K > 0$:*

- (1) $\tau \leq K$ q.c.;
- (2) $|X_{n \wedge \tau}| \leq K$ q.c. para todo n ;
- (3) $\mathbb{E}[|X_{n+1} - X_n| | \mathcal{F}_n] \leq K$ q.c. para todo n e $\mathbb{E}\tau < \infty$;
- (4) $X_n \geq 0$ q.c. para todo n .

Em particular, se $(X_n)_n$ é um martingale e vale alguma das três primeiras condições acima, então $\mathbb{E}X_\tau = \mathbb{E}X_0$.

Demonstração. Usando o Teorema do Martingale Parado, $\mathbb{E}X_{n \wedge \tau} \leq \mathbb{E}X_0$. Supondo (1), basta tomar algum $n \geq K$ para ter $X_\tau = X_{n \wedge \tau}$. Para os outros casos, observe que, como τ é finito, $X_{n \wedge \tau} \rightarrow X_\tau$ q.c. Supondo (4), temos que $\mathbb{E}X_\tau \leq \liminf \mathbb{E}X_{n \wedge \tau} \leq \mathbb{E}X_0$ diretamente pelo Lema de Fatou.

Para (2) e (3), bastará mostrar que $\mathbb{E}X_{n \wedge \tau} \rightarrow \mathbb{E}X_\tau$. Usando o Teorema da Convergência Dominada, basta mostrar que $|X_{n \wedge \tau}| \leq Z$ com Z integrável. Para (2), tomamos $Z = K$ constante.

Para (3), escrevemos $Y_n = X_{n \wedge \tau}$, definimos $Z_0 = |Y_0|$ e $Z_n = Z_{n-1} + |Y_n - Y_{n-1}|$, observamos que $|X_{n \wedge \tau}| = |Y_n| \leq Z_n \uparrow Z$, e estimamos

$$\begin{aligned} \mathbb{E}|Z_{n+1}| - \mathbb{E}|Z_n| &= \mathbb{E}[|X_{n+1} - X_n| \cdot \mathbf{1}_{\{\tau > n\}}] \\ &= \mathbb{E}\left[\mathbb{E}[|X_{n+1} - X_n| \cdot \mathbf{1}_{\{\tau > n\}} | \mathcal{F}_n]\right] \\ &= \mathbb{E}\left[\mathbf{1}_{\{\tau > n\}} \cdot \mathbb{E}[|X_{n+1} - X_n| | \mathcal{F}_n]\right] \\ &\leq \mathbb{E}[K \cdot \mathbf{1}_{\{\tau > n\}}] = K \cdot \mathbb{P}(\tau > n). \end{aligned}$$

²⁰Há muitos relatos de apostadores que começaram com um grande capital e, depois de um longo período de lucro obtido com a aplicação sistemática dessa estratégia, terminaram perdendo todo o lucro e mais o capital que haviam levado consigo. Já o nome dessa estratégia se deve à sua popularidade da região francesa de Martigues no século XVIII.

Somando em $n \in \mathbb{N}_0$, obtemos $\mathbb{E}Z \leq \mathbb{E}|Y_0| + K \mathbb{E}\tau < \infty$. \square

Podemos ver que o Exemplo 13.19 viola cada uma das hipóteses acima:

- O tempo de parada τ não é limitado.
- O lucro (ou prejuízo!) acumulado $|X_{n \wedge \tau}|$ não é limitado.
- No evento $\{\tau > n\} \in \mathcal{F}_n$, temos que $|X_{n+1} - X_n| = 2^n$, portanto $\mathbb{E}[|X_{n+1} - X_n| | \mathcal{F}_n]$ não é limitado.
- O lucro acumulado X_n pode tomar valores negativos.

Exemplo 13.21 (Problema da ruína do apostador). Considere $(S_n)_{n \in \mathbb{N}_0}$ o passeio aleatório começando de $S_0 = x$. Seja $N \in \mathbb{N}$ fixo e suponha que $x \in \{0, \dots, N\}$. Defina o tempo de parada $\tau = \inf\{n \in \mathbb{N}_0 : S_n = 0 \text{ ou } S_n = N\}$, e observe que $\tau < \infty$ q.c. (exercício!). Queremos calcular $\alpha(x) = \mathbb{P}(S_\tau = N)$, isto é, a probabilidade de que um passeio aleatório, começando em x , chegue a N antes de 0.

Podemos interpretar este exemplo como um jogador que dispõe de um capital inicial x e tem como adversário um outro jogador cujo capital inicial é de $N - x$. Em cada rodada o primeiro jogador ganha $+1$ com probabilidade p e -1 com probabilidade $1 - p$, até que um dos dois perca todo o capital.

Consideramos primeiro o caso $p = \frac{1}{2}$, em que $(S_n)_n$ é um martingale. Como $S_{n \wedge \tau}$ é limitado, pelo Teorema da Amostragem Opcional,

$$x = \mathbb{E}S_0 = \mathbb{E}S_\tau = 0 \cdot (1 - \alpha(x)) + N \cdot \alpha(x).$$

Portanto $\alpha(x) = \frac{x}{N}$ para todo $x \in \{0, \dots, N\}$.

No caso $p \neq \frac{1}{2}$, observamos que a sequência definida por $M_n = (\frac{1-p}{p})^{S_n}$ é um martingale com respeito à mesma filtração. Tirar um martingale do chapéu é uma técnica muito comum em Probabilidade! Usando-se novamente Teorema da Amostragem Opcional, obtemos

$$(\frac{1-p}{p})^x = (\frac{1-p}{p})^0 \cdot (1 - \alpha(x)) + (\frac{1-p}{p})^N \cdot \alpha(x),$$

e, resolvendo,

$$\alpha(x) = \frac{1 - \left(\frac{1-p}{p}\right)^x}{1 - \left(\frac{1-p}{p}\right)^N},$$

para todo $x \in \{0, \dots, N\}$. \triangle

Teorema 13.22 (Identidade de Wald). *Sejam $(X_n)_n$ uma sequência de variáveis aleatórias i.i.d. e integráveis. Seja τ é um tempo de parada integrável com respeito à filtração natural de $(X_n)_n$. Então*

$$\mathbb{E}[X_1 + \dots + X_\tau] = \mathbb{E}\tau \cdot \mathbb{E}X_1.$$

Demonstração. Definindo $S_n = X_1 + \dots + X_n - n\mathbb{E}X_1$, temos que $(S_n)_n$ é martingale e satisfaz

$$\mathbb{E}\left[|S_{n+1} - S_n| \middle| \mathcal{F}_n\right] \leq \mathbb{E}|X_{n+1} - \mathbb{E}X_1| \leq 2\mathbb{E}|X_1| < \infty.$$

Pelo Teorema da Amostragem Opcional, $\mathbb{E}S_\tau = \mathbb{E}S_0 = 0$, portanto

$$\mathbb{E}[X_1 + \dots + X_\tau - \tau \cdot \mathbb{E}X_1] = 0,$$

o que conclui a prova. \square

Exemplo 13.23 (Tempo médio de retorno do passeio aleatório). No passeio aleatório simétrico, definia o tempo de parada $\tau = \inf\{n : S_n = 1\}$. Vamos mostrar que $\mathbb{E}\tau = +\infty$. Sabe-se que $\mathbb{P}(\tau < \infty) = 1$ (será mostrado na próxima seção, e se fosse falso teríamos $\mathbb{E}\tau = +\infty$ trivialmente). Se τ fosse integrável, teríamos $\mathbb{E}S_\tau = \mathbb{E}X_1 \cdot \mathbb{E}\tau = 0$ pela identidade de Wald. Como $S_\tau = 1$ q.c., podemos concluir que $\mathbb{E}\tau = +\infty$. \triangle

13.4 Convergência quase certa

Nesta seção veremos que supermartingales cujo primeiro momento é limitado têm que convergir quase certamente. A razão por trás disso é a seguinte.

Para que o processo não convirja, deve haver uma faixa $[a, b]$ tal que ele assumia valores abaixo de a e acima de b infinitas vezes. Pensemos que um supermartingale reflete o preço de um ativo que, na média, não sobe. Se o preço desse ativo atravessasse a faixa $[a, b]$ muitas vezes, um investidor poderia acumular lucro comprando uma ação cada vez que o preço está abaixo de a e vendendo essa ação cada vez que está acima de b . Como não é possível enganar um supermartingale, esse investidor ainda tem lucro médio negativo, o que implica que o preço desse ativo deve ser cada vez mais disperso, no sentido de que $\mathbb{E}|X_n| \rightarrow +\infty$. Portanto, exceto nesse caso, o processo tem que convergir.

Teorema 13.24 (Teorema de Convergência de Martingales). *Seja $(X_n)_n$ um supermartingale. Se $\sup_n \mathbb{E}|X_n| < \infty$, então existe uma variável aleatória integrável X_∞ tal que $X_n \rightarrow X_\infty$ quase certamente. Em particular, todo supermartingale não-negativo converge quase certamente.*

Demonstração. Começamos mostrando que $\liminf_n X_n = \limsup_n X_n$ q.c. No evento $\liminf_n X_n < \limsup_n X_n$, existem $a < b \in \mathbb{Q}$ tais que $X_n \leq a$ i.v. e $X_n \geq b$ i.v. Portanto, por subaditividade basta mostrar que

$$\mathbb{P}(X_n \leq a \text{ i.v. e } X_n \geq b \text{ i.v.}) = 0 \quad (13.25)$$

para todo par de números reais $a < b$.

Sejam $a < b$ números reais. Analisemos a estratégia de comprar em baixa e vender em alta. Para isso, definimos os tempos de parada:

$$\begin{aligned} \tau_1 &= \min\{n \geq 0 : X_n \leq a\}, & \tau_2 &= \min\{n > \tau_1 : X_n \geq b\}, \dots \\ \tau_{2k+1} &= \min\{n > \tau_{2k} : X_n \leq a\}, & \tau_{2k+2} &= \min\{n > \tau_{2k+1} : X_n \geq b\}, \dots \end{aligned}$$

com a convenção de que $\min \emptyset = +\infty$. Definimos também, para cada $m \in \mathbb{N}$,

$$T_m(a, b) = \max\{k : \tau_{2k} \leq m\},$$

que conta o número de *travessias ascendentes completas* do processo $(X_n)_n$

sobre o intervalo $[a, b]$ até o tempo m . Por último, definimos

$$Z_n = \begin{cases} 1, & \text{se } \tau_k < n \leq \tau_{k+1} \text{ e } k \text{ é ímpar;} \\ 0, & \text{se } \tau_k < n \leq \tau_{k+1} \text{ e } k \text{ é par.} \end{cases}$$

Observe que Z_n é \mathcal{F}_{n-1} -mensurável. Essa variável indica se o investidor possui uma ação do ativo $(X_n)_n$ logo antes do instante n . O processo

$$W_n = \sum_{j=1}^n Z_j \cdot (X_j - X_{j-1})$$

descreve o lucro líquido acumulado até on instante n . Observe que

$$W_n \geq (b - a) T_n(a, b) - [X_n - a]^-,$$

pois $(b - a) T_n(a, b)$ é uma cota inferior para o lucro obtido com as vendas em

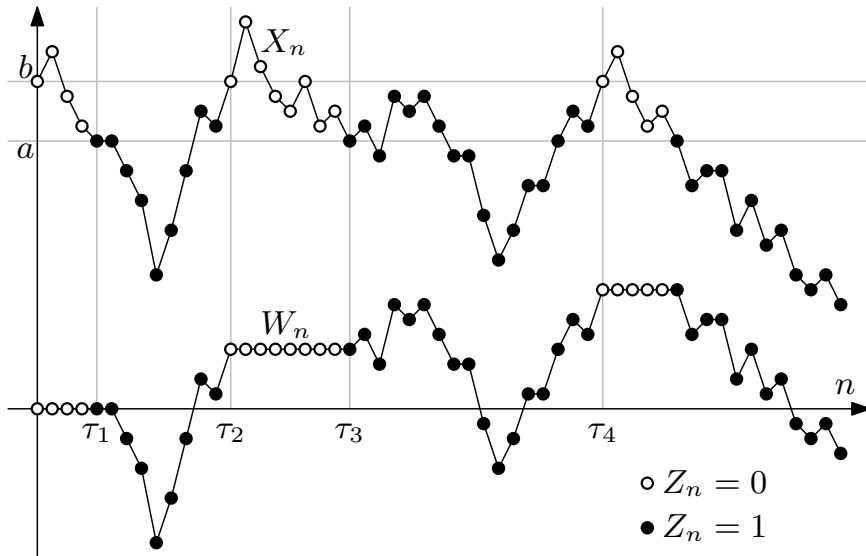


Figura 13.1. Argumento de travessias ascendentes completas.

alta e $[X_n - a]^-$ é uma cota superior para a perda acumulada desde a última compra, veja Figura 13.1. Mas $(W_n)_n$ também é supermartingale, pois

$$\begin{aligned}\mathbb{E}[W_{n+1} - W_n | \mathcal{F}_n] &= \mathbb{E}[Z_{n+1}(X_{n+1} - X_n) | \mathcal{F}_n] = \\ &= Z_{n+1} \cdot \mathbb{E}[X_{n+1} - X_n | \mathcal{F}_n] \leq 0.\end{aligned}$$

Logo, $\mathbb{E}W_n \leq \mathbb{E}W_0 = 0$, donde concluímos que

$$\mathbb{E}[T_n(a, b)] \leq \frac{\mathbb{E}[X_n - a]^-}{b - a}.$$

Agora definimos $T_\infty(a, b) = \lim_n T_n(a, b)$, que conta as travessias ascendentes completas do processo $(X_n)_n$ sobre o intervalo $[a, b]$, sem limite de tempo. Pelo Teorema da Convergência Monótona,

$$\mathbb{E}[T_\infty(a, b)] = \lim_n \mathbb{E}[T_n(a, b)] \leq \sup_n \frac{\mathbb{E}[X_n - a]^-}{b - a} \leq \sup_n \frac{\mathbb{E}|X_n| + |a|}{b - a},$$

que é finito por hipótese. Sendo integrável, $T_\infty(a, b)$ é finito quase certamente, o que prova (13.25).

Portanto, $X_n \xrightarrow{\text{q.c.}} X_\infty$ para alguma variável aleatória estendida X_∞ . Pelo Lema de Fatou, $\mathbb{E}|X_\infty| \leq \liminf_n \mathbb{E}|X_n| \leq \sup_n \mathbb{E}|X_n| < \infty$. Ou seja, $|X_\infty|$ é integrável, logo quase certamente finito. \square

Exemplo 13.26 (Processo de ramificação). Seja $(X_{k,n})_{k,n \in \mathbb{N}}$ uma sequência duplamente indexada de variáveis aleatórias i.i.d. assumindo valores em \mathbb{N}_0 . Definimos a sequência de variáveis aleatória $(Z_n)_n$, por

$$Z_0 = 1 \quad \text{e} \quad Z_n = \sum_{k=1}^{Z_{n-1}} X_{k,n}, \quad \text{para todo } n \in \mathbb{N}.$$

Podemos interpretar o processo $(Z_n)_n$ como um modelo de crescimento populacional: cada indivíduo dá origem à próxima geração e logo desaparece, sendo que a prole gerada por cada indivíduo é independente dos demais e

com a mesma distribuição. Deste modo, Z_n é o número de indivíduos da n -ésima geração. Gostaríamos de determinar se essa população se extingue ou não e, caso não se extinga, como cresce.

Para estudar o crescimento dessa população, vamos supor que as $X_{k,n}$ têm segundo momento finito, e denotar sua média por $\lambda = \mathbb{E}X_{1,1}$, e a variância por $\sigma^2 = \mathbb{V}X_{1,1}$. Defina $\mathcal{F}_n = \sigma((X_{k,j})_{k \in \mathbb{N}, j=1, \dots, n})$ e

$$M_n = \lambda^{-n} Z_n$$

para todo $n \in \mathbb{N}$.

Afirmamos que $(M_n)_n$ é um martingale com respeito a $(\mathcal{F}_n)_n$. Com efeito, Z_n é mensurável com respeito a \mathcal{F}_n e

$$\mathbb{E}[Z_{n+1} | \mathcal{F}_n] = \sum_k \mathbb{E}[X_{k,n+1} \mathbb{1}_{\{Z_n \geq k\}} | \mathcal{F}_n] = \sum_k \lambda \mathbb{1}_{\{Z_n \geq k\}} = \lambda Z_n,$$

onde usamos que $X_{k,n+1}$ é independente de \mathcal{F}_n e $\{Z_n \geq k\} \in \mathcal{F}_n$ (e que as variáveis envolvidas são não-negativas). Tomando a esperança iterada, Z_{n+1} é integrável, pois $\mathbb{E}Z_{n+1} = \lambda \mathbb{E}Z_n = \dots = \lambda^{n+1} < \infty$. Sabendo que $(M_n)_n$ é um martingale, passemos a estudar o comportamento de $(Z_n)_n$ em termos de λ .

O caso $0 \leq \lambda < 1$ é o mais fácil. Como $\mathbb{P}(Z_n > 0) = \mathbb{P}(Z_n \geq 1) \leq \mathbb{E}Z_n = \lambda^{n-1}$, temos que $Z_n \xrightarrow{\text{q.c.}} 0$ quando $n \rightarrow \infty$ pelo Lema de Borel-Cantelli. Ou seja, a população se extinguirá quase certamente.

Consideremos agora o caso $\lambda = 1$. Se $p_1 = 1$, então o processo $(Z_n)_n$ se torna trivial com $Z_n = 1$ para todo $n \in \mathbb{N}$ q.c.. Supomos então que $p_1 < 1$. Como $(Z_n)_n$ é um martingale não-negativo, pelo Teorema de Convergência de Martingales, existe uma variável aleatória Z_∞ , tal que $Z_n \xrightarrow{\text{q.c.}} Z_\infty$. Como Z_n é sempre um número inteiro, $Z_n = Z_\infty$ para todo n grande, quase certamente. Por outro lado, como $p_0 > 0$, temos $\mathbb{P}(Z_n = k, \text{ para todo } n \text{ grande}) = 0$ para todo $k \in \mathbb{N}$, pois $\mathbb{P}(Z_n = Z_{n+1} = \dots = Z_{n+j} = k) \leq (1 - p_0^k)^j$ para todo j . Portanto, $Z_\infty = 0$ q.c., e a população se extinguirá nesse caso.

O caso $\lambda > 1$ exige mais ferramentas. Pelo Teorema de Convergência de Martingales, $M_n \xrightarrow{\text{q.c.}} M_\infty$ para alguma variável aleatória M_∞ . Se $p_0 > 0$, a população tem chance de se extinguir logo nas primeiras gerações. Por outro lado, no evento $\{M_\infty > 0\}$, a população não apenas sobrevive como também cresce exponencialmente rápido, pois $Z_n \geq \lambda^{n-1} M_\infty$ para todo n suficientemente grande. Gostaríamos de mostrar que $\mathbb{P}(M_\infty > 0) > 0$, o que será feito na próxima seção. \triangle

Exemplo 13.27. Um exemplo trivial que ilustra a necessidade da hipótese $\sup_n \mathbb{E}|X_n| < \infty$ é o submartingale determinístico dado por $X_n = n$ para todo $n \in \mathbb{N}$, que obviamente não satisfaz tal hipótese e não converge. \triangle

Exemplo 13.28. O passeio aleatório simétrico $(S_n)_n$, não converge pois sempre dá saltos de ± 1 . Podemos concluir pelo Teorema de Convergência de Martingales que $\sup_n \mathbb{E}|S_n| = +\infty$. Como $|S_n|$ é um submartingale, $\mathbb{E}|S_n|$ é não-decrescente em n , logo $\mathbb{E}|S_n| \rightarrow +\infty$. \triangle

Exemplo 13.29 (Recorrência do passeio aleatório). Sejam x e $y \in \mathbb{Z}$. Considere $(S_n)_n$ o passeio aleatório começando de $S_0 = x$ e defina o tempo de parada $\tau = \inf\{n \geq 0 : S_n = y\}$. Afirmamos que

$$\mathbb{P}(\tau < \infty) = 1.$$

Podemos supor sem perda de generalidade que $y = 0$ e $x \geq 0$ (caso contrário consideramos $S_n - y$ ou $-S_n$ no lugar de S_n). Pelo Teorema do Martingale Parado, $(S_{n \wedge \tau})_n$ é um martingale. Como $S_{n \wedge \tau} \geq 0$, pelo Teorema de Convergência de Martingales, $(S_{n \wedge \tau})_n$ converge quase certamente. Porém, $(S_n)_n$ sempre dá saltos de ± 1 , logo não pode convergir. Logo, a única forma de $(S_{n \wedge \tau})_n$ convergir é que $\tau < \infty$, donde concluímos que este evento é quase certo. Observamos que esta prova da recorrência tem a particularidade de não usar estimativas quantitativas de nenhum tipo. \triangle

13.5 Integrabilidade uniforme

Na seção anterior, estudamos condições para que um submartingale convirja quase certamente, o que não necessariamente implica a convergência em \mathcal{L}^p , em particular, na convergência dos respectivos momentos, conforme podemos observar no exemplo abaixo.

Exemplo 13.30. Seja $(X_n)_n$ uma sequência de variáveis aleatórias i.i.d. com $\mathbb{P}(X_n = 0) = \mathbb{P}(X_n = 2) = \frac{1}{2}$, e considere sua filtração natural. Defina $M_n = X_1 \times \cdots \times X_n$. Então $(M_n)_n$ é um martingale não-negativo e $M_n \rightarrow 0$ quase certamente. Observe que o martingale $(M_n)_n$ não converge em \mathcal{L}^1 pois $\mathbb{E}[\lim_n M_n] \neq \lim_n \mathbb{E}M_n$. \triangle

Definição 13.31 (Integrabilidade uniforme). Dizemos que uma sequência de variáveis aleatórias $(X_n)_n$ é *uniformemente integrável* se

$$\lim_{k \rightarrow +\infty} \sup_n \int_{\{|X_n| \geq k\}} |X_n| \, d\mathbb{P} = 0.$$

Teorema 13.32 (Teorema de Convergência de Vitali). *Seja $(X_n)_n$ uma sequência uniformemente integrável. Então $\sup_n \mathbb{E}|X_n| < \infty$. Se, ademais, $X_n \xrightarrow{\text{q.c.}} X$, então X é integrável e $X_n \rightarrow X$ em \mathcal{L}^1 .*

Demonstração. Para a primeira afirmação, basta tomar k tal que

$$\sup_n \int_{\{|X_n| \geq k\}} |X_n| \, d\mathbb{P} \leq 1,$$

pois isso nos dá $\sup_n \mathbb{E}|X_n| \leq k + 1$ para todo n .

Para a segunda, suponha que $X_n \xrightarrow{\text{q.c.}} X$. Pelo Lema de Fatou, $\mathbb{E}|X| \leq \liminf_n \mathbb{E}|X_n| \leq \sup_n \mathbb{E}|X_n| < \infty$, logo X é integrável.

Agora seja $\varepsilon > 0$. Tome k tal que $\int_{\{|X| > k\}} |X| \, d\mathbb{P} < \varepsilon$ e $\int_{\{|X_n| > k\}} |X_n| \, d\mathbb{P} < \varepsilon$ para todo $n \in \mathbb{N}$. Defina $g(x) = x \mathbb{1}_{[-k, k]}(x) + k \mathbb{1}_{(k, +\infty)}(x) - k \mathbb{1}_{(-\infty, -k)}(x)$.

Estimaremos

$$\mathbb{E}|X_n - X| \leq \mathbb{E}|g(X_n) - g(X)| + \mathbb{E}|g(X_n) - X_n| + \mathbb{E}|g(X) - X|.$$

Como g é contínua, $g(X_n) \xrightarrow{\text{q.c.}} g(X)$ e, pelo Teorema da Convergência Dominada, $\mathbb{E}|g(X_n) - g(X)| \rightarrow 0$. Como $|g(x) - x| < |x| \mathbf{1}_{|x| > k}$, temos que $\mathbb{E}|g(X_n) - X_n| \leq \varepsilon$ e $\mathbb{E}|g(X) - X| \leq \varepsilon$. Portanto, $\limsup_n \mathbb{E}|X_n - X| \leq 2\varepsilon$, para todo ε , concluindo a prova. \square

Teorema 13.33. *Seja $(X_n)_{n \in \mathbb{N}_0}$ um submartingale uniformemente integrável. Então, existe uma variável aleatória X_∞ , tal que $X_n \rightarrow X_\infty$ quase certamente e em \mathcal{L}^1 . Além disso, $\mathbb{E}[X_\infty | \mathcal{F}_k] \geq X_k$ q.c. para todo $k \in \mathbb{N}_0$. Em particular, se $(X_n)_n$ é um martingale uniformemente integrável, $\mathbb{E}[X_\infty | \mathcal{F}_k] = X_k$ q.c.*

Demonstração. Pelo Teorema de Convergência de Vitali, $\sup_n \mathbb{E}|X_n| < \infty$. Logo, pelo Teorema da Convergência de Martingales, existe uma variável aleatória estendida X_∞ tal que $X_n \xrightarrow{\text{q.c.}} X_\infty$. Pelo Teorema de Convergência de Vitali novamente, X_∞ é integrável e $X_n \rightarrow X_\infty$ em \mathcal{L}^1 . Finalmente, seja $A \in \mathcal{F}_k$. Como $X_n \rightarrow X_\infty$ em \mathcal{L}^1 , temos

$$\int_A \mathbb{E}[X_\infty | \mathcal{F}_k] d\mathbb{P} = \int_A X_\infty d\mathbb{P} = \lim_n \int_A X_n d\mathbb{P} \geq \int_A X_k d\mathbb{P}.$$

Como ambos $\mathbb{E}[X_\infty | \mathcal{F}_k]$ e X_k são \mathcal{F}_k -mensuráveis e a desigualdade vale para todo $A \in \mathcal{F}_k$, pelo Exercício 5.62 concluímos que $\mathbb{E}[X_\infty | \mathcal{F}_k] \geq X_k$ q.c. \square

Podemos observar que o martingale definido no Exemplo 13.30, que converge certamente mas não em \mathcal{L}^1 , não é uniformemente integrável. Abaixo, fornecemos um outro exemplo simples.

Exemplo 13.34. Sejam $(S_n)_n$ o passeio aleatório simétrico como definido no Exemplo 13.8 e o tempo de parada $\tau = \min\{n : S_n = 1\}$. Definindo $M_n = S_{n \wedge \tau}$ para todo $n \in \mathbb{N}$, pelo Teorema do Martingale Parado, $(M_n)_n$ é um martingale. Além disso, $M_n \xrightarrow{\text{q.c.}} 1$, apesar de não valer a convergência

em \mathcal{L}^1 , pois $\mathbb{E}M_n = 0$ para todo $n \in \mathbb{N}$. Portanto, a sequência $(M_n)_n$ não é uniformemente integrável. \triangle

Proposição 13.35. *Seja $(X_n)_n$ uma sequência de variáveis aleatórias. Se $\sup_n \mathbb{E}|X_n|^p < \infty$ para algum $p > 1$, então $(X_n)_n$ é uniformemente integrável.*

Demonstração. Basta observar que

$$\sup_n \int_{\{|X_n| \geq k\}} |X_n| \, d\mathbb{P} \leq \sup_n \int_{\{|X_n| \geq k\}} \frac{|X_n|^p}{k^{p-1}} \, d\mathbb{P} \leq k^{1-p} \sup_n \mathbb{E}|X_n|^p \rightarrow 0$$

quando $k \rightarrow \infty$, pois $\sup_n \mathbb{E}|X_n|^p < \infty$. \square

Proposição 13.36. *Seja $(X_n)_n$ um martingale tal que $X_0 = 0$ q.c. Suponha que $\mathbb{E}(X_k - X_{k-1})^2 < \infty$ para todo n . Então*

$$\mathbb{E}X_n^2 = \sum_{k=1}^n \mathbb{E}(X_k - X_{k-1})^2 \text{ para todo } n.$$

Em particular, se $(M_n)_n$ é um martingale tal que $\sum_{k=1}^{\infty} \mathbb{E}(M_k - M_{k-1})^2 < \infty$ então $(M_n)_n$ é uniformemente integrável, logo converge q.c. e em \mathcal{L}^1 .

Demonstração. Mostraremos a primeira parte por indução em n . Expandindo, podemos ver que

$$\mathbb{E}X_{n+1}^2 = \mathbb{E}X_n^2 + \mathbb{E}(X_{n+1} - X_n)^2 + 2\mathbb{E}[X_n(X_{n+1} - X_n)].$$

Como $(X_n)_n$ é um martingale,

$$\mathbb{E}[X_n(X_{n+1} - X_n)|\mathcal{F}_n] = X_n \mathbb{E}[X_{n+1} - X_n|\mathcal{F}_n] = 0 \text{ q.c.,}$$

pois pela Desigualdade de Cauchy-Schwarz o produto é integrável. Tomando a esperança iterada, obtemos $\mathbb{E}[X_n(X_{n+1} - X_n)] = 0$, o que termina a prova por indução.

Para a segunda parte, tome $X_n = M_n - M_0$, observe que $\sup_n \mathbb{E}X_n^2 = \sum_n \mathbb{E}(M_{n+1} - M_n)^2 < \infty$. Pela Proposição 13.35, $(X_n)_n$ é uniformemente integrável. Pelo Teorema 13.33, $(X_n)_n$ converge q.c. e em \mathcal{L}^1 para alguma X_∞ . Portanto, $\mathbb{E}|M_n - M_0 - X_\infty| \rightarrow 0$, donde concluímos que $(M_n)_n$ converge q.c. e em \mathcal{L}^1 para $X_\infty + M_0$. \square

Exemplo 13.37 (Processo de ramificação supercrítico). Continuando o Exemplo 13.26, mostraremos que quando $\lambda > 1$ há probabilidade positiva de a população crescer exponencialmente ao invés de se extinguir. Como $(M_n)_n$ é um martingale não-negativo, sabemos que converge quase certamente para alguma variável aleatória M_∞ .

Para isso, queremos estimar $\mathbb{E}(M_n - M_{n-1})^2$. Observe que

$$\begin{aligned} (M_n - M_{n-1})^2 &= \lambda^{-2n} (Z_n - \lambda Z_{n-1})^2 \\ &= \lambda^{-2n} \left[\sum_k \mathbb{1}_{\{Z_{n-1}=k\}} \left(\sum_{j=1}^k X_{j,n} - \lambda \right)^2 \right] \end{aligned}$$

Tomando a esperança e suando independência entre Z_{n-1} e $(X_{j,n})_j$,

$$\begin{aligned} \mathbb{E}(M_n - M_{n-1})^2 &= \lambda^{-2n} \left[\sum_k \mathbb{P}(Z_{n-1} = k) \cdot \mathbb{E} \left(\sum_{j=1}^k X_{j,n} - \lambda \right)^2 \right] \\ &= \lambda^{-2n} \left[\sum_k \mathbb{P}(Z_{n-1} = k) \cdot k \sigma^2 \right] \\ &= \lambda^{-2n} \sigma^2 \mathbb{E}[Z_{n-1}] = \sigma^2 \lambda^{-n-1}. \end{aligned}$$

Logo, $\mathbb{E}(M_n - M_{n-1})^2$ é somável. Pela Proposição 13.36, $(M_n)_n$ converge em \mathcal{L}^1 . Portanto, $\mathbb{E}M_\infty = \mathbb{E}M_1 = 1$ e $\mathbb{P}(M_\infty > 0) > 0$. \triangle

O teorema abaixo diz que uma variável aleatória pode ser aproximada por sua esperança condicional dada uma σ -álgebra de uma filtração qualquer.

Teorema 13.38. *Sejam $(\mathcal{F}_n)_n$ uma filtração e Z uma variável aleatória*

integrável. Defina $\mathcal{F}_\infty = \sigma(\cup_n \mathcal{F}_n)$. Então

$$\mathbb{E}[Z|\mathcal{F}_n] \rightarrow \mathbb{E}[Z|\mathcal{F}_\infty] \text{ q.c. e em } \mathcal{L}^1.$$

Demonstração. Para todo $n \in \mathbb{N}$, definimos $X_n = \mathbb{E}[Z|\mathcal{F}_n]$, que é um martingale com respeito à filtração $(\mathcal{F}_n)_n$ conforme vimos no Exemplo 13.5. Mostraremos inicialmente que $(X_n)_n$ é uniformemente integrável. Seja $\varepsilon > 0$. Como Z é integrável, podemos tomar β de modo que $\int_{\{|Z|>\beta\}} |Z| \, d\mathbb{P} < \frac{\varepsilon}{2}$. Sendo assim,

$$\begin{aligned} \int_{\{|X_n|>k\}} |X_n| \, d\mathbb{P} &\leq \int_{\{|X_n|>k\}} \mathbb{E}[|Z||\mathcal{F}_n] \, d\mathbb{P} = \int_{\{|X_n|>k\}} |Z| \, d\mathbb{P} \\ &= \int_{\{|X_n|>k, |Z|\leq\beta\}} |Z| \, d\mathbb{P} + \int_{\{|X_n|>k, |Z|>\beta\}} |Z| \, d\mathbb{P} \\ &\leq \beta \mathbb{P}(|X_n| \geq k) + \int_{\{|Z|>\beta\}} |Z| \, d\mathbb{P} \\ &\leq \frac{\beta \mathbb{E}|X_n|}{k} + \frac{\varepsilon}{2} \leq \frac{\beta \mathbb{E}|Z|}{k} + \frac{\varepsilon}{2} \leq \varepsilon, \end{aligned}$$

onde na última desigualdade, tomamos $k > \frac{2\beta \mathbb{E}|Z|}{\varepsilon}$. Isto mostra a integrabilidade uniforme de $(X_n)_n$. Portanto, pelo Teorema 13.33, $X_n = \mathbb{E}[Z|\mathcal{F}_n] \rightarrow X_\infty$ q.c. e em \mathcal{L}^1 .

Resta mostrar que $\mathbb{E}[Z|\mathcal{F}_\infty] = X_\infty$. Primeiro, podemos tomar $X_\infty = \lim_n X_n \cdot \mathbf{1}_{\{(X_n)_n \text{ converge}\}}$, de forma que X_∞ é \mathcal{F}_∞ -mensurável pelo Lema 3.46. Observe que para todos $A \in \mathcal{F}_n$ e $m \geq n$, pela definição de X_m temos que

$$\int_A X_m \, d\mathbb{P} = \int_A Z \, d\mathbb{P}.$$

Como $X_m \xrightarrow{\mathcal{L}^1} X_\infty$, podemos tomar o limite na integral, obtendo

$$\int_A X_\infty \, d\mathbb{P} = \lim_m \int_A X_m \, d\mathbb{P} = \int_A Z \, d\mathbb{P} \text{ para todo } A \in \cup_{n \in \mathbb{N}} \mathcal{F}_n$$

Lembrando que Z e X_∞ são integráveis, podemos definir

$$\mu(A) = \int_A (Z^+ + X_\infty^-) \, d\mathbb{P} \quad \text{e} \quad \nu(A) = \int_A (X_\infty^+ + Z^-) \, d\mathbb{P},$$

obtendo duas medidas finitas μ e ν , que coincidem na família $\cup_{n \in \mathbb{N}} \mathcal{F}_n$. Como essa família é um π -sistema, pelo Teorema 3.32 (unicidade de medidas), as medidas coincidem na σ -álgebra $\sigma(\cup_n \mathcal{F}_n) = \mathcal{F}_\infty$. Assim,

$$\int_A X_\infty \, d\mathbb{P} = \int_A Z \, d\mathbb{P} \quad \text{para todo } A \in \mathcal{F}_\infty.$$

Como X_∞ é \mathcal{F}_∞ -mensurável, segue que $X_\infty = \mathbb{E}[Z | \mathcal{F}_\infty]$ q.c. \square

13.6 Exercícios

§ 13.1

1. Sejam $(X_n)_n$ um submartingale e $g : \mathbb{R} \rightarrow \mathbb{R}$ uma função convexa, não-decrescente tais que $g(X_n)$ é integrável para todo $n \in \mathbb{N}$. Mostre que $(g(X_n))_n$ é um submartingale.

2. Seja $(S_n)_n$ o passeio aleatório em \mathbb{Z} e (\mathcal{F}_n) a filtração definidos no Exemplo 13.8. Defina $M_n = \left(\frac{1-p}{p}\right)^{S_n}$ para todo $n \in \mathbb{N}$. Mostre que $(M_n)_n$ é um martingale.

§ 13.2

3. Se τ_1 e τ_2 são tempos de parada com respeito à mesma filtração $(\mathcal{F}_n)_n$, então podemos afirmar que as variáveis abaixo são tempos de parada? Prove ou dê contra-exemplo.

- (a) $\tau_1 \cdot \tau_2$.
- (b) $|\tau_1 - \tau_2|$.
- (c) $\max\{\tau_1, \tau_2\}$.
- (d) $\tau_1 \wedge \tau_2$.

(e) $\tau_1 \wedge k$ para $k \in \mathbb{N}$.

4. Sejam $(X_n)_n$ um processo adaptado e $B \in \mathcal{B}$. Definimos o tempo de última passagem em B como $\sigma_B = \sup\{n : X_n \in B\}$. Dê um exemplo ilustrando que σ_B não é tempo de parada.

§13.3

5 (Critério de integrabilidade para tempos de parada). Seja τ em tempo de para com respeito à filtração $(\mathcal{F}_n)_n$ tal que existem $C, \varepsilon > 0$ satisfazendo

$$\mathbb{P}(\tau \leq n + C | \mathcal{F}_n) \geq \varepsilon, \text{ para todo } n \in \mathbb{N}_0.$$

Mostre por indução em k que

$$\mathbb{P}(T > kC) \leq (1 - \varepsilon)^k$$

para todo $k \in \mathbb{N}$ e, em particular, $\mathbb{E}\tau < \infty$.

6. No problema da ruína do apostador, mostre que $\mathbb{E}\tau < \infty$.

§ 13.4

7. Seja $(X_n)_n$ uma sequência i.i.d. assumindo valores ± 1 com probabilidade $\frac{1}{2}$ cada. Defina $Z_1 = \frac{1}{3}$ e $Z_{n+1} = Z_n + (1 - Z_n)Z_n X_n$ para todo $n \in \mathbb{N}$. Mostre que $Z_n \xrightarrow{d} \text{Bernoulli}(\frac{1}{3})$.

§ 13.5

8. Mostre que a posição do passeio aleatório $(S_n)_n$ não é uniformemente integrável.

9. Mostre que o processo de ramificação com $\lambda > 1$ tem probabilidade positiva de sobreviver, sem supor que $\sigma^2 < \infty$.

10. Forneça uma nova prova da Lei 0-1 de Kolmogorov utilizando o Teorema 13.38 e a Proposição 12.5.

Capítulo 14

Teoria Ergódica

Este capítulo explora os conceitos mais básicos da Teoria Ergódica, que são fundamentais para o estudo de Probabilidade e Processos Estocásticos em geral. Observe que todas as versões de Leis dos Grandes Números vistas no Capítulo 8 assumem que as variáveis da sequência $(X_n)_n$ são, no mínimo, não-correlacionadas. Um notável avanço nessa direção é o estudo dos chamados processos estacionários, que estudaremos neste capítulo. Essa convergência pode ser quase certa, o que chamamos Teorema Ergódico de Birkhoff, ou em \mathcal{L}^p , o que chamamos Teorema Ergódico de von Neumann. A maioria dos usos práticos de Teoria Ergódica em Probabilidade consiste na simples observação de que determinado evento definido em termos de algum processo estocástico ergódico deverá ter probabilidade 0 ou 1 caso a sua ocorrência seja insensível a deslocamentos no índice do processo (essas definições serão vistas no início das Seções 14.1 e 14.3). Ou seja, teremos mais uma lei 0-1.

14.1 Transformações que preservam medida

Nesta seção introduzimos conceitos básicos que serão usados no restante deste capítulo, e apresentaremos o Teorema de Recorrência de Poincaré.

Definição 14.1 (Sequência aleatória e operador deslocamento). No espaço das sequências de números, definimos o *operador deslocamento* $\theta : \mathbb{R}^{\mathbb{N}} \rightarrow \mathbb{R}^{\mathbb{N}}$, dado por $\theta(x_1, x_2, x_3, \dots) = (x_2, x_3, x_4, \dots)$. Se $\mathbf{X} = (X_1, X_2, \dots)$ é uma sequência aleatória, $\theta\mathbf{X}$ é a sequência deslocada $\theta\mathbf{X} = (X_2, X_3, \dots)$.

Definição 14.2 (Sequência estacionária). A sequência $\mathbf{X} = (X_1, X_2, \dots)$ é dita *estacionária* se $\theta\mathbf{X} \sim \mathbf{X}$. Isto é,

$$\mathbb{P}(\mathbf{X} \in B) = \mathbb{P}(\theta\mathbf{X} \in B)$$

para todo $B \in \mathcal{B}(\mathbb{R}^{\mathbb{N}})$, onde a σ -álgebra $\mathcal{B}(\mathbb{R}^{\mathbb{N}})$ foi definida na Seção 12.1.

Vejamos alguns exemplos de sequências estacionárias, com algumas observações preliminares sobre o comportamento de sua média observada.

Exemplo 14.3. Toda sequência $(X_n)_n$ i.i.d. é estacionária. Se X_1 é integrável, pela Lei Forte dos Grandes Números, $n^{-1}(X_1 + \dots + X_n) \xrightarrow{\text{q.c.}} \mathbb{E}X_1$, ou seja, a média observada converge a um valor determinístico. \triangle

Exemplo 14.4 (Sequência estacionária com correlações não-nulas). Seja $(Z_n)_n$ i.i.d. com distribuição $\mathcal{U}[-1, 1]$ e $Y \sim \mathcal{U}[-1, 1]$ independente de $(Z_n)_n$. Defina $X_n = Z_n + Y$. Essa sequência é estacionária mas $\mathbf{Cov}(X_j, X_k) = \frac{1}{3}$ para todos $j, k \in \mathbb{N}$ distintos. Este é um exemplo de sequência que tem “muita memória”. Veja que $n^{-1}(X_1 + \dots + X_n) \xrightarrow{\text{q.c.}} Y$, ou seja, o limite é aleatório. \triangle

Exemplo 14.5 (Sequência estacionária com correlações não-nulas). Defina \mathbf{X} de forma que $\mathbf{X} = (0, 1, 0, 1, 0, 1, \dots)$ e $\mathbf{X} = (1, 0, 1, 0, 1, 0, \dots)$ com probabilidade $\frac{1}{2}$ cada. Essa sequência é estacionária mas $\mathbf{Cov}(X_j, X_k) = \frac{1}{4}(-1)^{k-j}$ para todos $j, k \in \mathbb{N}$. Veja que, apesar de que essa sequência tem “muita memória”, $n^{-1}(X_1 + \dots + X_n) \xrightarrow{\text{q.c.}} \frac{1}{2} = \mathbb{E}X_1$, que é determinístico. \triangle

O estudo de sequências estacionárias pode servir-se da Teoria Ergódica a partir da conexão que agora passamos a descrever.

Seja $(\Omega, \mathcal{F}, \mathbb{P})$ um espaço de probabilidade que modela um certo experimento aleatório. Seja \mathbf{X} uma sequência de variáveis aleatórias que são observadas ao longo desse experimento. Podemos ver \mathbf{X} como uma função definida em Ω ,

que toma valores no espaço $E = \mathbb{R}^N$, mensurável com respeito às σ -álgebras \mathcal{F} em Ω e $\mathcal{E} = \mathcal{B}(\mathbb{R}^N)$ em E . (Alguns livros dizem que \mathbf{X} nada mais é do que uma variável aleatória que toma valores em E ao invés de \mathbb{R} , mas é mais comum dizer que \mathbf{X} é um “elemento aleatório” e reservar o termo “variável aleatória” para o caso em que tomam-se valores em \mathbb{R} .)

Voltemos a falar de \mathbf{X} . Definindo a medida $\mu = \mathbb{P}_{\mathbf{X}}$ em (E, \mathcal{E}) , temos que (E, \mathcal{E}, μ) é um espaço de probabilidade. Chamemos de T o operador de deslocamento θ nesse espaço. Observe que $T : E \rightarrow E$ é um operador \mathcal{E} -mensurável. Além disso, \mathbf{X} é uma sequência estacionária se e somente se $\mu(T^{-1}(A)) = \mu(A)$ para todo $A \in \mathcal{E}$.

Neste capítulo, vamos estudar operadores determinísticos T definidos em espaços de probabilidade (E, \mathcal{E}, μ) , sem perder de vista que tudo o que fizermos com essa notação e terminologia terá suas consequências no estudo de sequências de variáveis aleatórias.

Definição 14.6 (Transformação que preserva medida). Dado um espaço de probabilidade (E, \mathcal{E}, μ) e um operador mensurável $T : E \rightarrow E$, dizemos que T é uma *transformação que preserva medida* se $\mu T^{-1} = \mu$, isto é, $\mu(T^{-1}(A)) = \mu(A)$ para todo $A \in \mathcal{E}$.

Exemplo 14.7. Sejam $E = \{1, \dots, n\}$, $\mathcal{E} = \mathcal{P}(E)$ e $\mu(A) = \frac{\#A}{n}$, então toda bijeção $T : E \rightarrow E$ é uma transformação que preserva medida. \triangle

Observamos que, se T preserva a medida μ , então $\int_{\Omega} f \, d\mu = \int_{\Omega} (f \circ T) \, d\mu$ para toda função boreliana estendida não-negativa f .

A proposição abaixo segue do Teorema 3.32 (unicidade de medidas).

Proposição 14.8. *Sejam (E, \mathcal{E}, μ) um espaço de probabilidade e $T : E \rightarrow E$ um operador mensurável. Se $\mu(T^{-1}(A)) = \mu(A)$ para todo A em algum π -sistema que gera \mathcal{E} , então T é uma transformação que preserva medida.*

Exemplo 14.9 (Rotação do círculo). Sejam $E = [0, 1)$, $\mathcal{E} = \mathcal{B}([0, 1))$ e μ a medida de Lebesgue em $[0, 1)$. Dado $\lambda \in E$, defina $T(x) = x + \lambda - \lfloor x + \lambda \rfloor \in E$. Se interpretamos o espaço E como sendo um círculo (“colando” os

extremos do intervalo), essa transformação é equivalente a uma rotação de $2\pi\lambda$ radianos. Observe que $\mu(T^{-1}[a, b)) = \mu([a, b))$ para todo $[a, b) \subseteq [0, 1)$. Pela Proposição 14.8, podemos concluir que T preserva medida. \triangle

Exemplo 14.10. Sejam $E = [0, 1)$, $\mathcal{E} = \mathcal{B}([0, 1))$ e μ a medida de Lebesgue em $[0, 1)$. Fixe $n \in \mathbb{N}$, e defina $S(x) = nx - \lfloor nx \rfloor \in E$. Novamente, $\mu(S^{-1}[a, b)) = \mu([a, b))$ para todo $[a, b) \subseteq [0, 1)$. Pela Proposição 14.8, podemos concluir que S preserva medida. \triangle

Em geral estaremos interessados em estudar o comportamento da trajetória definida através de iterações sucessivas de uma transformação que preserva medida a partir de um ponto do espaço amostral. De modo mais preciso, dados $x \in E$ e T uma transformação que preserva medida, definimos a *órbita de x* como a sequência $(x, T(x), T^2(x), \dots)$. O teorema a seguir nos diz que, dado qualquer conjunto mensurável, a órbita de quase todo ponto que passa pelo conjunto deve regressar ao conjunto infinitas vezes.

Teorema 14.11 (Teorema de Recorrência de Poincaré). *Sejam (E, \mathcal{E}, μ) um espaço de probabilidade e $T : E \rightarrow E$ uma transformação que preserva medida. Dado $A \in \mathcal{E}$, tomando $A' = \{x \in A : T^n(x) \in A \text{ i.v.}\}$, temos $\mu(A \setminus A') = 0$.*

Demonstração. Para cada $n \in \mathbb{N}$, seja

$$C_n = \{x \in A : T^k(x) \notin A, \forall k \geq n\}.$$

Neste caso podemos escrever $A' = A \setminus \bigcup_{n=1}^{\infty} C_n$. Como

$$C_n = A \setminus \bigcup_{k=n}^{\infty} T^{-k}(A) \subseteq \left(\bigcup_{k=0}^{\infty} T^{-k}(A) \right) \setminus \bigcup_{k=n}^{\infty} T^{-k}(A)$$

e T é mensurável, $C_n \in \mathcal{E}$ para todo $n \in \mathbb{N}$, segue que $A' \in \mathcal{E}$. Como μ é finita e T preserva medida,

$$\begin{aligned} \mu(C_n) &\leq \mu\left(\left(\bigcup_{k=0}^{\infty} T^{-k}(A)\right) \setminus \bigcup_{k=n}^{\infty} T^{-k}(A)\right) \\ &= \mu\left(\bigcup_{k=0}^{\infty} T^{-k}(A)\right) - \mu\left(\bigcup_{k=n}^{\infty} T^{-k}(A)\right) \\ &= \mu\left(\bigcup_{k=0}^{\infty} T^{-k}(A)\right) - \mu\left(T^{-n}\left(\bigcup_{k=0}^{\infty} T^{-k}(A)\right)\right) \end{aligned}$$

$$= \mu(\cup_{k=0}^{\infty} T^{-k}(A)) - \mu(\cup_{k=0}^{\infty} T^{-k}(A)) = 0,$$

concluindo a prova. \square

Observe que o fato de μ ser uma media finita foi crucial nessa demonstração, pois nesse caso $\mu(B \setminus D) = \mu(B) - \mu(D)$ sempre que $D \subseteq B$. Intuitivamente, como o espaço E tem medida finita, as órbitas que começam em A não têm para onde fugir, restando-lhes apenas a alternativa de retornar ao conjunto A . Como contra-exemplo, considere $(\mathbb{R}, \mathcal{B}, m)$, $T(x) = x + 2$, $A = [0, 1]$. Veja que T é uma translação, logo preserva a medida de Lebesgue, mas a órbita de todo ponto do intervalo $[0, 1]$ foge para a direita sem nunca retornar.

Em termos de sequências estacionárias, o Teorema de Recorrência de Poincaré diz que, se uma dada condição é observada em alguma região de índices de um processo estocástico estacionário, então essa mesma será cumprida em infinitas outras regiões.

14.2 Teorema Ergódico de Birkhoff

Sejam T uma transformação que preserva medida e $A \in \mathcal{E}$. O Teorema de Recorrência de Poincaré nos diz que a órbita de quase todo ponto $x \in A$, retornará ao conjunto A infinitas vezes. É natural perguntarmos com que frequência ocorrem tais visitas. Mais precisamente, será que a frequência relativa

$$\frac{\#\{k \in \{0, \dots, n-1\} : T^k(x) \in A\}}{n}$$

com que a órbita de x visita A durante seus n primeiros passos tem algum comportamento assintótico quando $n \rightarrow \infty$?

A pergunta acima pode ser colocada em um contexto mais geral. Seja $f : E \rightarrow \mathbb{R}$ uma função mensurável, um observável que depende do estado x da nossa dinâmica. O valor médio dos valores observados de f ao longo dos

n primeiros passos da órbita de x é dado pelo quociente

$$\frac{1}{n} \sum_{k=0}^{n-1} f(T^k(x)).$$

Há algum comportamento de longo prazo para o quociente acima? Ele converge? Se sim, para qual função? Converge em que sentido? Poderia convergir para o valor médio de f com respeito a μ ?²¹

Daqui em diante vamos usar \mathbf{E} para denotar a integral com respeito a μ . Com isso, poderemos usar a conveniente notação de esperança condicional.

É intuitivo que este comportamento de longo prazo deva depender do quanto a transformação T revolve o espaço E .

Definição 14.12. Dizemos que um evento $A \in \mathcal{E}$ é T -invariante se $T^{-1}(A) = A$. Denotamos por $\mathcal{I}_T = \{A \in \mathcal{E} : T^{-1}(A) = A\}$ a classe dos conjuntos T -invariantes. Dizemos que uma função mensurável $f : E \rightarrow \mathbb{R}$ é T -invariante se $f = f \circ T$.

Em palavras, a classe \mathcal{I}_T é formada pelas regiões do espaço E que não se mesclam com seu complementar quando aplicamos T .

Exercício 14.13. Mostre que \mathcal{I}_T é uma σ -álgebra. Mostre que f é T -invariante se, e somente se for \mathcal{I}_T -mensurável. \triangle

Teorema 14.14 (Teorema Ergódico de Birkhoff). *Sejam T uma transformação que preserva medida no espaço de probabilidade (E, \mathcal{E}, μ) e $f : E \rightarrow \mathbb{R}$ uma função boreliana finita integrável. Então,*

$$\lim_{n \rightarrow \infty} \frac{1}{n} \sum_{k=0}^{n-1} f \circ T^k = \mathbf{E}[f | \mathcal{I}_T] \quad q.t.p.$$

²¹Questões como estas precederam à abordagem matemática e têm suas origens na Física-Estatística, notadamente no desenvolvimento da Teoria dos Gases com Boltzmann e outros. Um grande avanço, do ponto de vista matemático, ocorreu no ano de 1931 quando Birkhoff e von Neumann anunciaram, de modo independente, suas versões do Teorema Ergódico.

Antes da demonstração do Teorema de Birkhoff, precisaremos do lema abaixo

Lema 14.15. *Seja $g : E \rightarrow \mathbb{R}$ função integrável tal que $\mathbf{E}[g|\mathcal{I}_T] < 0$ q.t.p. Então*

$$\limsup_{n \rightarrow \infty} \frac{1}{n} \sum_{k=0}^{n-1} g \circ T^k \leq 0 \quad \text{q.t.p.}$$

Demonstração. Apesar de curta, a prova é um pouco misteriosa. Defina a sequência não-decrescente de funções mensuráveis $(G_n)_n$ por

$$G_n = \max_{1 \leq k \leq n} \sum_{j=0}^{k-1} g \circ T^j,$$

e o evento $A = \{x : G_n \uparrow +\infty\} \in \mathcal{I}_T$. Como para todo $x \in A^c$, vale

$$\limsup_{n \rightarrow \infty} \frac{1}{n} \sum_{k=0}^{n-1} g \circ T^k \leq \limsup_{n \rightarrow \infty} \frac{G_n}{n} \leq 0,$$

basta então mostrar que $\mu(A) = 0$. Observe que

$$G_{n+1} = g + [G_n \circ T]^+.$$

Assim, $G_{n+1} - G_n \circ T = g + [G_n \circ T]^- \downarrow g$ para todo $x \in A$. Observe também que $0 \leq [G_n \circ T]^- \leq [g \circ T]^-$, e, como $g \circ T$ é integrável, pelo Teorema da Convergência Dominada obtemos

$$0 \leq \int_A (G_{n+1} - G_n) d\mu = \int_A (G_{n+1} - G_n \circ T) d\mu \rightarrow \int_A g d\mu = \int_A \mathbf{E}[g|\mathcal{I}_T] d\mu.$$

Em particular, se $\mathbf{E}[g|\mathcal{I}_T] < 0$ q.t.p., então $\mu(A) = 0$. \square

Demonstração do Teorema Ergódico de Birkhoff. Seja $\varepsilon > 0$. Tome $g = f - \mathbf{E}[f|\mathcal{I}_T] - \varepsilon$, de forma que $\mathbf{E}[g|\mathcal{I}_T] = -\varepsilon < 0$ q.t.p. Como $f = \mathbf{E}[f|\mathcal{I}_T] + \varepsilon + g$

e os dois primeiros termos são invariantes,

$$\frac{1}{n} \sum_{k=0}^{n-1} f \circ T^k = \mathbf{E}[f|\mathcal{I}_T] + \varepsilon + \frac{1}{n} \sum_{k=0}^{n-1} g \circ T^k \quad \text{q.t.p.}$$

para todo $n \in \mathbb{N}$. Portanto, segue do Lema 14.15 que

$$\limsup_{n \rightarrow \infty} \frac{1}{n} \sum_{k=0}^{n-1} f \circ T^k \leq \mathbf{E}[f|\mathcal{I}_T] + \varepsilon \quad \text{q.t.p.}$$

Aplicando o mesmo argumento a função $g = -f + \mathbf{E}[f|\mathcal{I}_T] - \varepsilon$, obtemos

$$\liminf_{n \rightarrow \infty} \frac{1}{n} \sum_{k=0}^{n-1} f \circ T^k \geq \mathbf{E}[f|\mathcal{I}_T] - \varepsilon \quad \text{q.t.p.}$$

e como ε é arbitrário, isso conclui a prova. \square

Corolário 14.16. *Se T preserva a medida μ , então, para todos $A, B \in \mathcal{E}$,*

$$\lim_n \frac{1}{n} \sum_{k=0}^{n-1} \mu(T^{-k}(A) \cap B) = \mathbf{E}[\mathbb{1}_B \cdot \mathbf{E}[\mathbb{1}_A|\mathcal{I}_T]].$$

Demonstração. Denotando $f = \mathbb{1}_A$, temos $\mu(T^{-k}(A) \cap B) = \mathbf{E}[\mathbb{1}_B \cdot f \circ T^k]$. Assim,

$$\frac{1}{n} \sum_{k=0}^{n-1} \mu(T^{-k}(A) \cap B) = \mathbf{E}\left[\mathbb{1}_B \cdot \frac{1}{n} \sum_{k=0}^{n-1} f \circ T^k\right] \rightarrow \mathbf{E}\left[\mathbb{1}_B \cdot \mathbf{E}[\mathbb{1}_A|\mathcal{I}_T]\right].$$

A convergência vale pelos Teorema Ergódico de Birkhoff e Teorema da Convergência Dominada, já que $|\mathbb{1}_B(x)| \leq 1$ e $|\frac{1}{n} \sum_{k=0}^{n-1} f \circ T^k(x)| \leq 1$ para todo $x \in E$. \square

14.3 Transformações ergódicas e misturadoras

Voltemos à questão da frequência com que as órbitas visitam um dado conjunto. Seja (E, \mathcal{E}, μ) um espaço de probabilidade e T uma transformação que preserva medida. Dado $B \in \mathcal{E}$, tomando $f = \mathbb{1}_B$, o Teorema Ergódico nos diz que essa frequência está bem definida e é dada por

$$\frac{\#\{k \in \{0, \dots, n-1\} : T^k(x) \in B\}}{n} \rightarrow \mathbf{E}[\mathbb{1}_B | \mathcal{I}_T] \quad (14.17)$$

para μ -q.t.p. x . A pergunta então é como deve ser a transformação T de modo a assegurar que o limite seja simplesmente $\mu(B)$. Para isso T deve revolver o espaço E de forma que a frequência de visitas ao conjunto A não dependa do ponto de partida. Tendo em vista (14.17), queremos saber sob quais condições $\mathbf{E}[\mathbb{1}_B | \mathcal{I}_T] = \mu(B)$ q.t.p., e próxima definição surge naturalmente.

Definição 14.18 (Transformação ergódica). Uma transformação T que preserva medida é dita *ergódica* se $\mu(A) = 0$ ou 1 para todo $A \in \mathcal{I}_T$.

Em outras palavras, a transformação T é ergódica se não há forma de separar hermeticamente o espaço em regiões A ou A^c , ambas com medida positiva, de forma que cada órbita de T fique restrita a uma dessas duas regiões.

O próximo teorema responde à pergunta colocada no início desta seção.

Teorema 14.19. *Seja T uma transformação que preserva medida. São equivalentes:*

- (i) *A transformação T é ergódica;*
- (ii) *Toda função boreliana T -invariante é constante q.t.p.;*
- (iii) *Para toda f integrável, vale $\mathbf{E}[f | \mathcal{I}_T] = \mathbf{E}f$ q.t.p.;*
- (iv) *Para todos $A, B \in \mathcal{E}$, vale $\frac{1}{n} \sum_{k=0}^{n-1} \mu(T^{-k}(A) \cap B) \rightarrow \mu(A) \cdot \mu(B)$.*

Demonstração. A estratégia será mostrar a seguinte cadeia de implicações:

$(i) \Rightarrow (ii) \Rightarrow (iii) \Rightarrow (iv) \Rightarrow (i)$. A demonstração da primeira implicação é quase idêntica à prova do Corolário 12.13 e será omitida.

Assuma (ii) e seja f integrável. Pelo Exercício 14.13, $\mathbf{E}[f|\mathcal{I}_T]$ é T -invariante. Por (ii), $\mathbf{E}[f|\mathcal{I}_T] = c$ q.t.p. Tomando a esperança em ambos os membros, concluímos que $\mathbf{E}[f|\mathcal{I}_T] = \mathbf{E}f$ q.t.p., o que prova (iii).

Dados quaisquer $A, B \in \mathcal{E}$ e assumindo o item (iv), $\mathbf{E}[\mathbf{1}_A|\mathcal{I}_T] = \mu(A)$ q.t.p. e, pelo Corolário 14.16,

$$\lim_n \frac{1}{n} \sum_{k=0}^{n-1} \mu(T^{-k}(A) \cap B) = \mathbf{E}[\mathbf{1}_B \cdot \mathbf{E}[\mathbf{1}_A|\mathcal{I}_T]] = \mu(A) \cdot \mu(B).$$

Isso mostra o item (iv).

Finalmente, seja $A \in \mathcal{I}_T$ e tome $B = A$. Assumindo o item (iv),

$$\mu(A) = \lim_n \frac{1}{n} \sum_{k=0}^{n-1} \mu(T^{-k}(A) \cap A) = \mu(A) \cdot \mu(A),$$

logo, $\mu(A) = 0$ ou 1 , ou seja, T é ergódica. \square

Corolário 14.20. *Sejam T uma transformação ergódica e $f \in \mathcal{L}^1$. Então*

$$\lim_n \frac{1}{n} \sum_{k=0}^{n-1} f \circ T^k = \mathbf{E}f \quad \mu\text{-q.t.p.}$$

Em palavras, o corolário acima nos diz que a “média temporal” (tomada ao longo dos sucessivos passos da órbita) do observável f converge para a sua “média espacial” $\mathbf{E}f$ (calculada sobre o espaço E).

Exemplo 14.21 (Rotação do círculo). O operador de rotação no círculo $T : [0, 1) \rightarrow [0, 1)$, definido no Exemplo 14.9, é ergódico se, e somente se, seu parâmetro λ for irracional. Ao final desta seção daremos uma prova curta que usa séries de Fourier e uma mais maçante baseada em aproximações. \triangle

Outro exemplo, que veremos mais abaixo, é o de sequências de variáveis i.i.d. Consideraremos agora um tipo especial de transformação que preserva medida. São transformações cuja dinâmica não apenas revolve o espaço mas também

misturam todas as suas regiões.

Definição 14.22 (Transformação misturadora). Uma transformação que preserva medida $T : E \rightarrow E$ é dita *misturadora* se

$$\lim_n \mu(T^{-n}(A) \cap B) = \mu(A) \cdot \mu(B)$$

para todos $A, B \in \mathcal{E}$.

A definição acima nos diz que os eventos $T^{-n}(A)$ e B se tornam praticamente independentes quando n cresce. Isto é bem mais forte do que o comportamento médio das órbitas não depender da condição inicial.

Teorema 14.23. *Toda transformação misturadora é ergódica.*

Demonstração. Sejam T uma transformação misturadora e $A \in \mathcal{I}_T$. Tomando $B = A$ na Definição 14.22, temos

$$\mu(A) \cdot \mu(A) = \lim_n \mu(T^{-n}(A) \cap A) = \mu(A),$$

pois $T^{-n}(A) \cap A = A$, logo $\mu(A) = 0$ ou 1 , isto é, T é ergódica. \square

Sequências de variáveis i.i.d. são misturadoras, como veremos mais abaixo. A transformação do Exemplo 14.10 também é misturadora.²² Vejamos alguns exemplos de transformações ergódicas que não são misturadoras.

Contra-exemplo 14.24. Tome $E = \{0, 1\}$, $\mu(\{0\}) = \mu(\{1\}) = \frac{1}{2}$, e $T(x) = 1 - x$. Neste caso, $\mathcal{I}_T = \{\emptyset, \{0, 1\}\}$, logo T é ergódica. Tomando $A = B = \{0\}$, vemos que $\mu(A) \cdot \mu(B) = \frac{1}{4}$, enquanto $\mu(T^{-n}(A) \cap B) = 0$ ou $\frac{1}{2}$ dependendo da paridade de n . Logo, T não pode ser misturadora. Este exemplo é equivalente ao Exemplo 14.5. \triangle

Contra-exemplo 14.25 (Rotação do círculo). Outro exemplo de transformação ergódica que não é misturadora é a rotação irracional no círculo $[0, 1)$, vista no Exemplo 14.21. Daremos mais detalhes ao final desta seção. \triangle

²²De fato, esse exemplo é equivalente a aplicar o operador deslocamento em uma sequência i.i.d., no espírito do Lema 4.26, mas não entraremos em detalhes.

Sequências estacionárias

Seja $\mathbf{X} = (X_1, X_2, \dots)$ uma sequência estacionária definida no espaço de probabilidade $(\Omega, \mathcal{F}, \mathbb{P})$. Como visto na Seção 14.1, há uma correspondência entre sequências estacionárias definidas no contexto de um experimento aleatório e sequências da forma $(f \circ T^k)_{k \in \mathbb{N}_0}$, onde T é uma transformação que preserva medida. Sendo assim, todas as definições e teoremas obtidos podem ser reformulados em termos de sequências estacionárias.

Sejam \mathbf{X} sequência estacionária e $A \in \mathcal{F}$ um evento da forma $A = \{\omega : \mathbf{X}(\omega) \in B\}$, para algum $B \in \mathcal{B}(\mathbb{R}^{\mathbb{N}})$ dado. Dizemos que A é invariante por translações de \mathbf{X} se $A = \{\theta \mathbf{X}(\omega) \in B\}$. Denotaremos por $\mathcal{I}_{\mathbf{X}}$ a σ -álgebra dos eventos invariantes por translações de \mathbf{X} . Dizemos que a sequência estacionária \mathbf{X} é *ergódica*, se $\mathbb{P}(A) = 0$ ou 1 para todo $A \in \mathcal{I}_{\mathbf{X}}$. Isso é equivalente à propriedade de o operador de deslocamento T ser ergódico no espaço de probabilidade induzido $(\mathbb{R}^{\mathbb{N}}, \mathcal{B}(\mathbb{R}^{\mathbb{N}}), \mathbb{P}_{\mathbf{X}})$.

Enunciamos agora uma consequência imediata do Teorema Ergódico.

Teorema 14.26 (Teorema Ergódico para sequências estacionárias). *Seja $\mathbf{X} = (X_1, X_2, \dots)$ uma sequência estacionária com X_1 integrável. Então,*

$$\lim_n \frac{1}{n} \sum_{k=1}^n X_k = \mathbb{E}[X_1 | \mathcal{I}_{\mathbf{X}}]$$

q.t.p. Se \mathbf{X} for uma sequência ergódica, então $\mathbb{E}[X_1 | \mathcal{I}_{\mathbf{X}}] = \mathbb{E}X_1$ q.t.p.

Passemos ao exemplo mais forte de sequência ergódica.

Proposição 14.27. *Se \mathbf{X} é uma sequência i.i.d., então é ergódica.*

Demonstração. A ideia é bem semelhante à prova da Lei 0-1 de Kolmogorov. Dado qualquer $A \in \mathcal{I}_{\mathbf{X}}$, por definição existe $B \in \mathcal{B}(\mathbb{R}^{\mathbb{N}})$ tal que $A = \{(X_n, X_{n+1}, \dots) \in B\}$ para todo $n \in \mathbb{N}$. Pelo Teorema 12.8 (aproximação

por álgebras), existe uma sequência de eventos $B_n \in \mathcal{B}(\mathbb{R}^n)$ tais que

$$\mathbb{P}(A \triangle A_n) \rightarrow 0,$$

onde $A_n = \{(X_1, \dots, X_n) \in B_n\}$. Logo,

$$\mathbb{P}(A_n) \rightarrow \mathbb{P}(A) \quad \text{e} \quad \mathbb{P}(A \cap A_n) \rightarrow \mathbb{P}(A).$$

Seja $n \in \mathbb{N}$ fixo. Como $A \in \mathcal{I}_{\mathbf{X}}$, temos $A = \{(X_{n+1}, X_{n+2}, \dots) \in B\}$, logo A e A_n são independentes, isto é,

$$\mathbb{P}(A \cap A_n) = \mathbb{P}(A) \cdot \mathbb{P}(A_n).$$

Tomando o limite em n , obtemos $\mathbb{P}(A) = \mathbb{P}(A) \cdot \mathbb{P}(A)$. □

Combinando os enunciados acima, temos o seguinte corolário.

Corolário 14.28 (Lei Forte dos Grandes Números). *Seja $\mathbf{X} = (X_1, X_2, \dots)$ uma sequência de variáveis aleatórias i.i.d. com X_1 integrável. Então*

$$\frac{1}{n} \sum_{k=1}^n X_k \xrightarrow{\text{q.c.}} \mathbb{E}X_1.$$

Dizemos que a sequência estacionária \mathbf{X} é *misturadora* se

$$\mathbb{P}(\theta^n \mathbf{X} \in A | \mathbf{X} \in B) \rightarrow \mathbb{P}(\mathbf{X} \in A)$$

para todos $A, B \in \mathcal{B}(\mathbb{R}^{\mathbb{N}})$. Isso é equivalente à propriedade de o operador de deslocamento T ser misturador no espaço de probabilidade induzido $(\mathbb{R}^{\mathbb{N}}, \mathcal{B}(\mathbb{R}^{\mathbb{N}}), \mathbb{P}_{\mathbf{X}})$.

Exemplo 14.29 (Deslocamento de sequências i.i.d.). Se as variáveis aleatórias X_1, X_2, \dots são i.i.d., então a sequência $\mathbf{X} = (X_1, X_2, \dots)$ é misturadora.

Tome $\mu = \mathbb{P}_{\mathbf{X}}$ em $\mathbb{R}^{\mathbb{N}}$. Sejam $A, B \in \mathcal{B}(\mathbb{R}^{\mathbb{N}})$. Seja $\varepsilon > 0$. Pelo Teorema 12.8 (aproximação por álgebras), existem $n \in \mathbb{N}$ e eventos $\tilde{A}, \tilde{B} \in \mathcal{B}(\mathbb{R}^{\mathbb{N}})$ que

dependem apenas das n primeiras coordenadas, tais que $\mu(A \Delta \tilde{A}) < \varepsilon$ e $\mu(B \Delta \tilde{B}) < \varepsilon$. Por invariância, $\mu(\theta^{-k}(A) \Delta \theta^{-k}(\tilde{A})) < \varepsilon$. Para $k \geq n$, como (X_1, \dots, X_n) é independente de $(X_{k+1}, \dots, X_{k+n})$, temos

$$\mu(\theta^{-k}(\tilde{A}) \cap \tilde{B}) = \mu(\theta^{-k}(\tilde{A})) \cdot \mu(\tilde{B}) = \mu(\tilde{A}) \cdot \mu(\tilde{B}).$$

Assim,

$$\begin{aligned} \limsup_k |\mu(\theta^{-k}(A) \cap B) - \mu(A)\mu(B)| &\leq \\ &\leq \limsup_k |\mu(\theta^{-k}(\tilde{A}) \cap \tilde{B}) - \mu(\tilde{A})\mu(\tilde{B})| + 4\varepsilon = 4\varepsilon \end{aligned}$$

e, como ε é arbitrário, obtemos $\mu(\theta^{-k}(A) \cap B) \rightarrow \mu(A)\mu(B)$. \triangle

Eventos e funções quase invariantes

Em muitas situações práticas, temos uma transformação ergódica T e gostaríamos de concluir que um dado evento A satisfaz $\mu(A) = 0$ ou 1 , ou que uma dada função f é constante q.t.p. Para isso, basta que A ou f sejam invariantes, porém essa condição é muito forte. Vejamos outra mais fácil de verificar.

Definição 14.30 (Quase invariante). Dizemos que um evento $A \in \mathcal{E}$ é *quase T -invariante* se $\mu(A \Delta T^{-1}(A)) = 0$. Denotamos por \mathcal{I}_T^* a classe dos conjuntos quase T -invariantes. Dizemos que uma função mensurável $f : E \rightarrow \mathbb{R}$ é *quase T -invariante* se $f = f \circ T$ q.t.p.

Exercício 14.31. Mostre que \mathcal{I}_T^* é uma σ -álgebra. Mostre que f é quase T -invariante se, e somente se for \mathcal{I}_T^* -mensurável. \triangle

As proposições abaixo estabelecem as relações entre conjuntos T -invariantes, quase T -invariantes e transformações ergódicas.

Proposição 14.32. Para todo $A \in \mathcal{I}_T^*$, existe $B \in \mathcal{I}_T$ tal que $\mu(A \Delta B) = 0$.

Demonstração. Seja $A \in \mathcal{E}$. Tome $B = \{x : T^n(x) \in A \text{ i.v.}\}$. Observamos que $B \in \mathcal{I}_T$, pois $T^{-1}(B) = \{x : T^{n+1}(x) \in A \text{ i.v.}\} = B$. Observe que $A \triangle B \subseteq \bigcup_{k=0}^{\infty} (T^{-k}(A) \triangle T^{-k-1}(A))$. Por outro lado, como T preserva medida e $A \in \mathcal{I}_T^*$,

$$\mu(T^{-k}(A) \triangle T^{-k-1}(A)) = \mu(T^{-k}(A \triangle T^{-1}(A))) = \mu(A \triangle T^{-1}(A)) = 0,$$

o que conclui a prova. \square

Proposição 14.33. *Se T é ergódica, então $\mu(A) = 0$ ou 1 para todo A quase T -invariante e toda f quase T -invariante é constante q.t.p.*

Demonstração. Dado $A \in \mathcal{I}_T^*$, pela Proposição 14.32, existe $B \in \mathcal{I}_T$ com $\mu(A \triangle B) = 0$, logo $\mu(A) = \mu(B) = 0$ ou 1 , pois T é ergódica. A prova da afirmação sobre f quase T -invariante idêntica à do Corolário 12.13 e será omitida. \square

Rotação irracional do círculo

Aqui justificaremos os Exemplos 14.21 e 14.25. Começamos pelo caso mais simples, quando $\lambda = \frac{p}{q} \in \mathbb{Q}$ com $p \in \mathbb{Z}$ e $q \in \mathbb{N}$. Considerando o evento

$$A = \bigcup_{k=1}^q \left[\frac{2k-1}{2q}, \frac{2k}{2q} \right],$$

podemos ver que A é T -invariante e $\mu(A) = \frac{1}{2}$, logo T não é ergódica.

Vamos supor daqui em diante que λ é irracional.

Provaremos inicialmente que T é ergódica usando séries de Fourier. Uma prova auto-contida porém mais tediosa será dada mais abaixo.

Seja $f : \mathbb{R} \rightarrow \mathbb{R}$ uma função boreliana limitada, periódica de período 1. Da Análise de Fourier, sabemos que existe a única sequência $(a_n)_{n \in \mathbb{Z}}$ tal que

$g_k \rightarrow f$ em \mathcal{L}^2 quando $k \rightarrow \infty$, onde

$$g_k(x) = \sum_{n=-k}^k a_n e^{2\pi i n x}.$$

Substituindo x por $x + \lambda$ na equação acima,

$$g_k(T(x)) = g(x + \lambda) = \sum_{n=-k}^k (e^{2\pi i n \lambda} a_n) e^{2\pi i n x}.$$

Por outro lado, $g_k \circ T \rightarrow f \circ T = f$ em \mathcal{L}^2 , pois f é T -invariante. Pela unicidade da sequência $(a_n)_{n \in \mathbb{Z}}$, concluímos que

$$a_n = e^{2\pi i n \lambda} a_n$$

para todo $n \in \mathbb{Z}$. Entretanto, para todo $n \neq 0$, como λ é irracional, $e^{2\pi i n \lambda} \neq 1$, donde concluímos que $a_n = 0$. Logo, f é constante q.t.p. Finalmente, dado $A \in \mathcal{I}_T$, tomando $f = \mathbb{1}_A$, segue que $\mu(A) = 0$ ou 1 , portanto T é ergódica.

Vejam agora que T não é misturadora.

Observamos inicialmente que, para todos $x \in [0, 1)$ e $I \subseteq [0, 1)$ intervalo aberto não-vazio, $T^n(x) \in I$ para infinitos valores de n , isto é, a órbita de x é densa em $[0, 1)$. A demonstração fica como um exercício quase recreativo.

Agora tome $A = B = [0, \frac{1}{2})$. Como consequência do fato de que as órbitas são densas, teremos $\mu(T^{-n}(A) \cap B) < \frac{1}{8}$ para infinitos valores de n , mas $\mu(A) \cdot \mu(B) = \frac{1}{4}$, logo T não pode ser misturadora.

Passemos, finalmente, à prova alternativa de que T é ergódica.

Seja $A \in \mathcal{I}_T$. Faremos uma sucessão de aproximações para concluir que

$$\int_0^1 |\mathbb{1}_A(x) - \mu(A)| dx = 0$$

donde segue que $\mathbb{1}_A(x) = \mu(A)$ q.t.p. e, portanto, $\mu(A) = 0$ ou 1 . Seja $\varepsilon > 0$.

Pelo Teorema 12.8 (aproximação por álgebras), existe um boreliano $B \subseteq [0, 1]$ da forma $B = \cup_{k=1}^n [a_k, b_k)$ e tal que $\mu(A \triangle B) < \varepsilon$. Agora defina $f(x) = 0$ para $x \notin B$, $f(x) = 1$ se $a_k + \frac{\varepsilon}{n} \leq x \leq b_k - \frac{\varepsilon}{n}$ para algum k , e interpolando linearmente nos intervalos restantes. Essa função satisfaz $\int_0^1 |f(x) - \mathbb{1}_B(x)| dx < \varepsilon$ e, portanto,

$$\int_0^1 |\mathbb{1}_A(x) - f(x)| dx < 2\varepsilon.$$

Por conveniência, estendemos a $f : \mathbb{R} \rightarrow [0, 1]$ de forma periódica. Observamos também que $|f(x) - f(y)| < \varepsilon$ sempre que $|x - y| < \varepsilon^2$. Ademais,

$$\begin{aligned} \int_0^1 |f \circ T^n - f| d\mu &\leq \int_0^1 |f \circ T^n - \mathbb{1}_B \circ T^n| d\mu + \int_0^1 |f - \mathbb{1}_B \circ T^n| d\mu \\ &= 2 \int_0^1 |f - \mathbb{1}_B| d\mu < 2\varepsilon, \end{aligned}$$

onde a igualdade vale porque T preserva medida e B é T -invariante.

Como as órbitas de T são densas em $[0, 1]$, para todo $y \in [0, 1]$, existe $n \in \mathbb{N}$, que depende de y , tal que $|T^n(0) - y| < \varepsilon^2$. Daí decorre que

$$|f(x + y) - f(T^n(x))| < \varepsilon$$

para todo $x \in [0, 1]$. Das duas últimas desigualdades, obtemos

$$\int_0^1 |f(x + y) - f(x)| dx < 3\varepsilon$$

para todo $y \in [0, 1]$. Tomando $\alpha = \int_0^1 f d\mu$ e desenvolvendo,

$$\begin{aligned} \int_0^1 |f(x) - \alpha| dx &= \int_0^1 \left| \int_0^1 [f(x + y) - f(x)] dy \right| dx \\ &\leq \int_0^1 \left(\int_0^1 |f(x + y) - f(x)| dy \right) dx \end{aligned}$$

$$= \int_0^1 \left(\int_0^1 |f(x+y) - f(x)| dx \right) dy \leq 3\varepsilon,$$

onde usamos o Teorema de Tonelli para inverter as integrais. Finalmente,

$$\int_0^1 |\mathbb{1}_A - \mu(A)| d\mu \leq \int_0^1 (|\mathbb{1}_A - f| + |f - \alpha| + |\alpha - \mu(A)|) d\mu \leq 6\varepsilon.$$

Como ε é arbitrário, $\int_0^1 |\mathbb{1}_A - \mu(A)| d\mu = 0$, concluindo a prova.

14.4 Convergência em \mathcal{L}^p

Recordemos que estamos trabalhando em um espaço de probabilidade (E, \mathcal{E}, μ) e denotando a integral por \mathbf{E} . Fixado $p \geq 1$, definimos

$$\|f\|_p = (\mathbf{E}|f|^p)^{\frac{1}{p}}.$$

Definimos o conjunto \mathcal{L}^p das funções borelianas estendidas f tais que $\|f\|_p < \infty$. Provaremos no Apêndice D.7 que vale a desigualdade triangular

$$\|f + g\|_p \leq \|f\|_p + \|g\|_p$$

para todas $f, g \in \mathcal{L}^p$. Observe também que $\|cf\|_p = |c| \cdot \|f\|_p$ para todo $c \in \mathbb{R}$, logo \mathcal{L}^p é um espaço vetorial real.²³

Teorema 14.34 (Teorema Ergódico de von Neumann). *Se $f \in \mathcal{L}^p$, com $p \geq 1$, então $\|\mathbf{E}[f | \mathcal{I}_T]\|_p \leq \|f\|_p$ e*

$$\frac{1}{n} \sum_{k=0}^{n-1} f \circ T^k \xrightarrow{\mathcal{L}^p} \mathbf{E}[f | \mathcal{I}_T]. \quad (14.35)$$

²³Observamos que $\|\cdot\|_p$ não é exatamente uma norma, nem mesmo restrito ao espaço \mathcal{L}^p , pois $\|f\|_p = 0$ não implica necessariamente que f seja a função constante igual a zero, apenas que $f(x) = 0$ para μ -quase todo x . Em Análise Funcional, costuma-se definir \mathcal{L}^p como a classe de equivalência de funções que coincidem μ -q.t.p., mas não nos preocuparemos com isso e usaremos a notação $\|\cdot\|_p$ mesmo sabendo que não é de fato uma norma.

Demonstração. Segue direto do Teorema 11.51 que $\|\mathbf{E}[f | \mathcal{I}_T]\|_p \leq \|f\|_p$.

Para a demonstração da convergência em \mathcal{L}^p , consideremos inicialmente o caso onde f é limitada q.t.p., isto é, existe constante $c > 0$ tal que $f \leq c$ q.t.p. Combinando o Teorema Ergódico de Birkhoff com o Teorema da Convergência Dominada em \mathcal{L}^p , podemos concluir que vale (14.35).

Consideramos agora o caso geral. Seja $\varepsilon > 0$. Como $|f|^p$ é integrável, usando truncamento e o Teorema da Convergência Dominada, podemos obter g limitada tal que $\|f - g\|_p < \varepsilon$. Usando desigualdade triangular várias vezes,

$$\begin{aligned} & \left\| \mathbf{E}[f | \mathcal{I}_T] - \frac{1}{n} \sum_{k=0}^{n-1} f \circ T^k \right\|_p \leq \\ & \leq \left\| \mathbf{E}[f | \mathcal{I}_T] - \mathbf{E}[g | \mathcal{I}_T] \right\|_p + \left\| \mathbf{E}[g | \mathcal{I}_T] - \frac{1}{n} \sum_{k=0}^{n-1} g \circ T^k \right\|_p + \\ & \quad + \left\| \frac{1}{n} \sum_{k=0}^{n-1} (f - g) \circ T^k \right\|_p \\ & \leq \left\| \mathbf{E}[f - g | \mathcal{I}_T] \right\|_p + \left\| \mathbf{E}[g | \mathcal{I}_T] - \frac{1}{n} \sum_{k=0}^{n-1} g \circ T^k \right\|_p + \|f - g\|_p \\ & \leq 2\|f - g\|_p + \left\| \mathbf{E}[g | \mathcal{I}_T] - \frac{1}{n} \sum_{k=0}^{n-1} g \circ T^k \right\|_p \rightarrow 2\|f - g\|_p < 2\varepsilon, \end{aligned}$$

onde uma desigualdade é o Teorema 11.51, e o limite vale pelo caso anterior. Como a desigualdade acima é válida para todo $\varepsilon > 0$, concluímos que (14.35) vale para toda $f \in \mathcal{L}^p$. \square

14.5 Exercícios

§14.1

1. Sejam U variável aleatória com distribuição uniforme em $[0, 1)$, $l \in \mathbb{N}$ e $\mathbf{k} = (k_1, \dots, k_l) \in \{0, 1, \dots, 9\}^l$ uma sequência de l dígitos fixada. Defina a

sequência (Z_n^k) , onde $Z_n^k = \mathbb{1}_{\{X_n=k_1, \dots, X_{n+l-1}=k_l\}}$. Mostre que a sequência (Z_n^k) é estacionária.

2. Seja (X_1, X_2, \dots) uma sequência estacionária com $\mathbb{E}X_1^2 < \infty$. Mostre que $\mathbb{E}X_n$ não depende de n e a covariância entre duas variáveis da sequência é da forma $\mathbf{Cov}(X_n, X_k) = g(n - k)$ para alguma função $g : \mathbb{R} \rightarrow \mathbb{R}$.

3 (Transformação de Gauss). Considere $T : [0, 1] \rightarrow [0, 1]$ dada por

$$T(x) = \begin{cases} \frac{1}{x} - \lfloor \frac{1}{x} \rfloor, & \text{se } x \neq 0, \\ 0, & \text{se } x = 0. \end{cases}$$

Mostre que T é uma transformação que preserva a medida μ dada por

$$\mu(A) = \frac{1}{\log 2} \int_A \frac{dx}{1+x} \quad A \in \mathcal{B}([0, 1]).$$

4. Em um espaço de probabilidade, sejam A um evento com $\mathbb{P}(A) > 0$, T uma transformação que preserva \mathbb{P} , \mathbb{P}_A a medida de probabilidade condicional definida por

$$\mathbb{P}(\cdot) = \frac{\mathbb{P}(\cdot \cap A)}{\mathbb{P}(A)} \quad \text{e} \quad \tau_A(\omega) = \min\{n \in \mathbb{N} : T^n(\omega) \in A\}$$

o tempo de primeiro retorno em A . Mostre que a *transformação de primeiro retorno em A* , $T_A(\omega) := T^{\tau_A(\omega)}(\omega)$, preserva a medida \mathbb{P}_A .

§14.2

5. Sejam $E = \{1, \dots, n\}$, $\mathcal{E} = \mathcal{P}(E)$, $\mu(A) = \frac{\#A}{n}$ e $T : E \rightarrow E$ uma bijeção. Determine o limite quase certo de

$$\frac{1}{n} \sum_{k=0}^{n-1} f(T^k(x)),$$

onde $f : E \rightarrow \mathbb{R}$ é uma função qualquer.

6. Sejam $\Omega = \mathbb{R}$, μ a medida de Lebesgue em \mathbb{R} , $T(x) = x+1$ e $g(x) = \mathbb{1}_{[0,1]}(x)$. Quanto vale o limite

$$\bar{g}(x) = \lim_n \frac{1}{n} \sum_{k=0}^{n-1} g(T^k(x))?$$

A função limite \bar{g} é T -invariante?

7. Dê um exemplo de uma sequência estacionária (X_1, X_2, \dots) com X_1 integrável tal que

$$\mathbb{P}\left(\lim_{n \rightarrow \infty} \frac{1}{n} \sum_{k=1}^n X_k = \mathbb{E}X_1\right) = 0.$$

§14.3

8. Estabeleça condições para que a transformação T definida no Exercício 5 seja ergódica.

9. Seja S a transformação definida no Exemplo 14.10.

- (a) Mostre que S é uma transformação ergódica (Dica: Pense nos pontos de $[0, 1)$ escritos na base n).
- (b) Utilize o Teorema Ergódico para fornecer uma prova alternativa que quase todo número em $[0, 1)$ é absolutamente normal (conforme definido na Seção 8.4).

10. Sejam $n, k \in \mathbb{N}$, $E = \{1, \dots, n\}$, $\mathcal{E} = \mathcal{P}(E)$ e $\mu(A) = \frac{\#A}{n}$. Defina $T_k : E \rightarrow E$ por $T(x) = x + k$ se $x + k < n$ e $x + k - n$ caso contrário.

- (a) Mostre que T preserva a medida μ .
- (b) Mostre que T é ergódica se, e somente se, n e k são primos entre si.
- (c) Nos casos em que T for ergódica, podemos afirmar que T é misturadora?

11. Mostre que uma transformação que preserva medida T é misturadora se, e somente se,

$$\lim_n \mathbf{Cov}(f \circ T^n, g) = 0$$

para todas f e g funções borelianas limitadas.

12. Prove o Teorema 14.26.

13. Sejam $\mathbf{X} = (X_1, X_2, \dots)$ sequência de variáveis aleatórias e $f : \mathbb{R}^{\mathbb{N}} \rightarrow \mathbb{R}$ uma função $\mathcal{B}(\mathbb{R}^{\mathbb{N}})$ -mensurável. Defina a sequência $\mathbf{Z} = (Z_1, Z_2, \dots)$, onde $Z_n = f(X_n, X_{n+1}, \dots)$. Mostre que:

- (a) Se \mathbf{X} é estacionário, então \mathbf{Z} é estacionário.
- (b) $\mathcal{I}_{\mathbf{Z}} \subseteq \mathcal{I}_{\mathbf{X}}$.
- (c) Se \mathbf{X} é ergódico, então \mathbf{Z} é ergódico.
- (d) Se \mathbf{X} é estacionário e Z_1 é integrável, então

$$\lim_{n \rightarrow \infty} \frac{1}{n} \sum_{k=1}^n Z_k = \mathbb{E}[Z_1 | \mathcal{I}_{\mathbf{X}}] = \mathbb{E}[Z_1 | \mathcal{I}_{\mathbf{Z}}] \quad \text{q.c.}$$

- (e) Se \mathbf{X} é ergódico e Z_1 é integrável, então

$$\mathbb{E}[Z_1 | \mathcal{I}_{\mathbf{X}}] = \mathbb{E}[Z_1] \quad \text{q.c.}$$

Capítulo 15

Grandes Desvios

Seja $(X_n)_n$ uma sequência de variáveis aleatórias i.i.d. com média μ e variância σ^2 . Escrevendo $S_n = X_1 + \cdots + X_n$, a Lei dos Grandes Números nos diz que

$$\frac{S_n}{n} \rightarrow \mu,$$

e o Teorema do Limite Central mostra que

$$\frac{S_n - n\mu}{\sigma\sqrt{n}} \xrightarrow{d} \mathcal{N}.$$

Em palavras, a Lei dos Grandes Números mostra que a média observada $\frac{S_n}{n}$ converge para μ , enquanto o Teorema do Limite Central nos diz que os desvios de S_n em torno de sua média $n\mu$ são tipicamente da ordem de \sqrt{n} . Neste capítulo estudamos

$$\mathbb{P}\left(\left|\frac{S_n}{n} - \mu\right| \geq \varepsilon n\right)$$

para n grande, isto é, consideramos o evento, muito improvável, de que $S_n - n\mu$ seja um múltiplo de n . Mais precisamente, vamos estudar a Desigualdade de Concentração de Chernoff e o Princípio dos Grande Desvios de Cramér.

Notação. O termo $o(b_n)$ denota alguma função $g(n)$ satisfazendo $\frac{g(n)}{b_n} \rightarrow 0$ quando $n \rightarrow \infty$. Cada vez que aparece, pode denotar uma função diferente.

15.1 Desigualdade de concentração

Seja X uma variável aleatória integrável com média μ . Sejam $(X_n)_n$ independentes e com a mesma distribuição de X , e tome $S_n = X_1 + \cdots + X_n$.

A Lei dos Grandes Números de Tchebyshev para este caso foi provada da seguinte forma: dado qualquer $a \in (\mu, +\infty)$,

$$\mathbb{P}\left(\frac{S_n}{n} \geq a\right) \leq \mathbb{P}\left(\left(\frac{S_n}{n} - \mu\right)^2 \geq (a - \mu)^2\right) \leq \frac{1}{(a - \mu)^2} \mathbb{E}\left(\frac{S_n}{n} - \mu\right)^2 = \frac{\mathbb{V}X}{(a - \mu)^2} \cdot \frac{1}{n}$$

A desigualdade acima diz que, quando $\mathbb{E}X^2 < \infty$, a probabilidade de $\frac{S_n}{n}$ diferir de μ por mais que uma quantidade fixa $a - \mu$ decai pelo menos tão rápido quanto $\frac{1}{n}$. Na prova da Lei dos Grandes Números de Cantelli, vimos que, quando $\mathbb{E}X^4 < \infty$, esta probabilidade decai pelo menos tão rápido quanto $\frac{1}{n^2}$. Em geral, se $\mathbb{E}X^{2k} < \infty$ ela decai pelo menos tão rápido quanto $\frac{1}{n^k}$.

Tentaremos agora obter estimativas melhores usando momentos de e^{tX} ao invés de X^{2k} . Para todos $t \geq 0$ e $a \in (\mu, +\infty)$,

$$\mathbb{P}\left(\frac{S_n}{n} \geq a\right) \leq \mathbb{P}\left[e^{tS_n} \geq e^{atn}\right] \leq \frac{1}{e^{atn}} \mathbb{E}[e^{tS_n}] = e^{-atn} M(t)^n = e^{-[at - \log M(t)]n},$$

onde $M(t) = \mathbb{E}[e^{tX}]$ é a função geradora de momentos de X ; observe que na penúltima igualdade utilizamos que as variáveis (X_n) são i.i.d com distribuição comum X . Da mesma forma, para $a \in (-\infty, \mu)$ e $t \leq 0$, temos

$$\mathbb{P}\left(\frac{S_n}{n} \leq a\right) \leq e^{-[at - \log M(t)]n}. \quad (15.1)$$

Portanto, se mostrarmos que a expressão entre colchetes é positiva para algum t , teremos estabelecido que essa probabilidade de fato decai pelo menos

exponencialmente rápido. Sabemos que a função geradora de momentos é finita em um intervalo que contém o ponto $t = 0$. Denotaremos os extremos desse intervalo por $\mathcal{D}_M^- \leq 0$ e $\mathcal{D}_M^+ \geq 0$.

Teorema 15.2 (Desigualdade de Concentração de Chernoff). *Se $\mathcal{D}_M^+ > 0$, então, para qualquer $a > \mu$, existe $t > 0$ tal que $[at - \log M(t)] > 0$. Como*

$$\mathbb{P}\left(\frac{S_n}{n} \geq a\right) \leq e^{-[at - \log M(t)]n},$$

segue que essa probabilidade decai pelo menos exponencialmente rápido em n . Analogamente, se $\mathcal{D}_M^- < 0$ e $a < \mu$, então $[at - \log M(t)] > 0$ para algum $t < 0$ e a estimativa em (15.1) decai exponencialmente rápido.

Demonstração. Suponha que $\mathcal{D}_M^+ > 0$ e seja $a > \mu$. Provaremos inicialmente a existência $t > 0$ tal que $[at - \log M(t)] > 0$ assumindo que $\mathcal{D}_M^- < 0$. Neste caso, pela Proposição 10.7, $(\log M)'(0) = M'(0) = \mu < a$ e, por conseguinte, $[at - \log M(t)] > 0$ para todo $t > 0$ suficientemente pequeno.

Para abandonar a hipótese de que $\mathcal{D}_M^- < 0$, vamos truncar as variáveis X_n . Para cada n e j , tome $X_{n;j} = X_n \mathbb{1}_{\{X_n \geq -j\}}$. Pelo Teorema da Convergência Dominada, $\lim_j \mathbb{E}X_{n;j} = \mu$ e $\lim_j (as - \log \mathbb{E}[e^{sX_{n;j}}]) = as - \log M(s)$ para todo $s \in [0, \mathcal{D}_M^+)$. Tome k tal que $\mathbb{E}X_{n;k} < a$. Pelo caso anterior, podemos tomar $t > 0$ tal que $(at - \log \mathbb{E}[e^{tX_{n;k}}]) > 0$. Como $X_n \leq X_{n;k}$, vale $[at - \log M(t)] > 0$, concluindo a prova. O caso em que $\mathcal{D}_M^- < 0$ e $a < \mu$ segue do anterior trocando-se os sinais de a , μ , t e X_k . \square

15.2 Princípio dos Grandes Desvios

Começamos com o conceito fundamental de função taxa.

Definição 15.3 (Função taxa). Seja X uma variável aleatória. Definimos a *função taxa* I associada à distribuição de X , como a função $I : \mathbb{R} \rightarrow \overline{\mathbb{R}}$ dada por

$$I(a) = \sup_{t \in \mathbb{R}} [at - \log M(t)], \quad (15.4)$$

onde $M(t)$ é a função geradora de momentos da variável X .

Podemos pensar na função taxa como uma tentativa de obter a melhor estimativa possível a partir de (15.1). A razão pela qual a função I merece esse nome é que, uma vez que maximizamos $[at - \log M(t)]$ sobre todo t , a desigualdade (15.1) deixa de ser apenas mais uma cota superior, sendo de fato a melhor cota superior possível. A maximização em (15.4) é conhecida como a *transformada de Legendre*, isto é, a função taxa é a transformada de Legendre do logaritmo da função geradora de momentos.

Dado $A \subseteq \mathbb{R}$, para descrever a maneira mais fácil (ou menos difícil) de $\frac{S_n}{n}$ estar em A , vamos denotar

$$I(A) = \inf_{a \in A} I(a).$$

Se A for um intervalo da reta, denotaremos por A° e A^* seu interior (o intervalo excluindo as extremidades de A) e seu fecho (o intervalo incluindo as extremidades de A caso sejam números reais), respectivamente.

Teorema 15.5 (Princípio dos Grandes Desvios de Cramér). *Sejam $(X_n)_n$ variáveis aleatórias i.i.d., com distribuição comum X , e J um intervalo de \mathbb{R} . Se $I(J) < +\infty$, então*

$$e^{-I(J^\circ) \cdot n + o(n)} \leq \mathbb{P}\left(\frac{S_n}{n} \in J\right) \leq e^{-I(J^*) \cdot n + o(n)},$$

onde I é a função taxa da variável X . Em particular, quando $I(J^\circ) = I(J^*)$, temos a taxa exata de decaimento exponencial para estas probabilidades:

$$\mathbb{P}\left(\frac{S_n}{n} \in J\right) = e^{-I(J) \cdot n + o(n)}.$$

Caso $I(J^*) = +\infty$, vale

$$\mathbb{P}\left(\frac{S_n}{n} \in J\right) \leq e^{-cn + o(n)}$$

para todo $c \in \mathbb{R}$.

A demonstração do teorema acima será dada nas duas próximas seções. Antes disto vamos discutir a relação entre M e I .

Vejamos como encontrar $I(a)$ graficamente e algebricamente. No caso de o supremo em (15.4) ser atingido em $t = y$ para algum $y \in \mathbb{R}$, a derivada de $at - \log M(t)$ se anula em $t = y$, donde

$$a = \frac{M'(y)}{M(y)}.$$

Às vezes é possível expressar y em termos de a , e assim calcular I por

$$I(a) = a \cdot y - \log M(y), \quad y = y(a).$$

Esse processo de encontrar y tal que $(\log M)'(y) = a$ e expressar $I(a) = ay - \log M(y)$ está ilustrado na Figura 15.1 e nos exemplos abaixo.

Reciprocamente, se existe y tal que $(\log M)'(y) = a$, então o supremo em (15.4) é atingido em $t = y$, pois, como veremos mais abaixo, $\log M$ é uma função convexa.

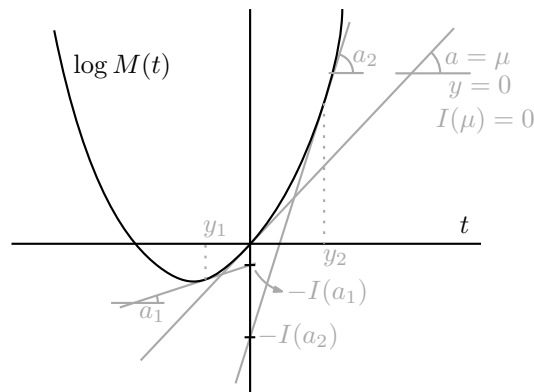


Figura 15.1. Obtenção da função taxa a partir da função $\log M_X$.

Exemplo 15.6. Se $X \sim \mathcal{N}(\mu, \sigma^2)$, temos

$$\log M(t) = \frac{\sigma^2 t^2}{2} + t\mu,$$

assim

$$a = (\log M)'(y) = \sigma^2 y + \mu, \quad y = \frac{a - \mu}{\sigma^2},$$

portanto,

$$I(a) = \frac{a(a - \mu)}{\sigma^2} - \left[\frac{(a - \mu)^2}{2\sigma^2} + \frac{\mu(a - \mu)}{\sigma^2} \right] = \frac{(a - \mu)^2}{2\sigma^2}, \quad a \in \mathbb{R}. \quad \triangle$$

Exemplo 15.7. Se $X \sim \text{Poisson}(\lambda)$, temos

$$\log M(t) = \lambda(e^t - 1).$$

Analisando o gráfico de $\log M(t)$, observamos que o supremo de $at - \log M(t)$ é atingido em algum $y \in \mathbb{R}$ somente se $a > 0$. Neste caso,

$$a = [\log M(y)]' = \lambda e^y, \quad y = \log \frac{a}{\lambda},$$

e

$$I(a) = ay - \log M(y) = a \log \frac{a}{\lambda} - a + \lambda.$$

Se $a = 0$, o supremo vale λ , pois $\log M(t)$ tende a $-\lambda$ quando $t \rightarrow -\infty$. Se $a < 0$, o supremo vale $+\infty$ pois $at - \log M(t) \geq at - \lambda$ para todo $t < 0$.

Em resumo,

$$I(a) = \begin{cases} +\infty, & a < 0, \\ \lambda, & a = 0, \\ a \log \frac{a}{\lambda} - a + \lambda, & a > 0. \end{cases}$$

Os casos $a = 0$ e $a < 0$ refletem o fato de que variáveis de Poisson nunca tomam valores negativos, e tomam o valor zero com probabilidade $e^{-\lambda}$. \triangle

Exercício 15.8. Calcule a função taxa da variável X nos seguintes casos:

- (a) $X \sim \text{Bernoulli}(p)$.
- (b) $X \sim \text{Exp}(\lambda)$.
- (c) $X = \mu$ q.c.

△

As funções I e $\log M$ têm a seguinte propriedade.

Proposição 15.9. *As funções I e $\log M$ são convexas.*

Demonstração. Consideremos inicialmente a função I . Sejam $0 < \alpha < 1$ e $\beta = 1 - \alpha$. Para a_1 e $a_2 \in \mathbb{R}$,

$$\begin{aligned}
 I(\alpha a_1 + \beta a_2) &= \sup_{t \in \mathbb{R}} [(\alpha a_1 + \beta a_2)t - (\alpha_1 + \alpha_2)M(t)] \\
 &= \sup_{t \in \mathbb{R}} [\alpha(a_1 t - M(t)) + \beta(a_2 t - M(t))] \\
 &\leq \sup_{t \in \mathbb{R}} [\alpha(a_1 t - M(t))] + \sup_{t \in \mathbb{R}} [\beta(a_2 t - M(t))] \\
 &= \alpha I(a_1) + \beta I(a_2),
 \end{aligned}$$

o que mostra que a função taxa I é convexa. Passemos agora à convexidade de M . Sejam t_1 e $t_2 \in \mathbb{R}$. Usando a Desigualdade de Hölder (Apêndice D.7),

$$\begin{aligned}
 \log M(\alpha t_1 + \beta t_2) &= \log \mathbb{E}[e^{\alpha t_1 X} \cdot e^{\beta t_2 X}] \\
 &\leq \log \left\{ \left(\mathbb{E}[e^{\alpha t_1 X}]^{\frac{1}{\alpha}} \right)^{\alpha} \left(\mathbb{E}[e^{\beta t_2 X}]^{\frac{1}{\beta}} \right)^{\beta} \right\} \\
 &= \alpha \log \mathbb{E}[e^{t_1 X}] + \beta \log \mathbb{E}[e^{t_2 X}] \\
 &= \alpha \log M(t_1) + \beta \log M(t_2),
 \end{aligned}$$

o que conclui a prova. □

15.3 Demonstração do Teorema de Cramér

Dividiremos a prova do Teorema de Cramér em duas partes distintas, uma dedicada à prova da cota inferior e outra dedicada à cota superior.

Prova da cota inferior

O teorema abaixo vale tal como enunciado, supondo apenas as hipóteses do Teorema 15.5 sem suposições adicionais sobre a distribuição de X . No entanto, vamos supor que o supremo em (15.4) é atingido, ou seja,

$$I(a) = a \cdot y - \log M(y)$$

para algum $y \in (\mathcal{D}_M^-, \mathcal{D}_M^+)$. Abandonar essa hipótese requer passos técnicos e complicados que vão além dos nossos objetivos.

Teorema 15.10. *Para quaisquer $a \in \mathbb{R}$ e $\delta > 0$, vale que*

$$\mathbb{P}\left(\frac{S_n}{n} \in [a - \delta, a + \delta]\right) \geq e^{-I(a) \cdot n + o(n)}.$$

Demonstração. Estamos supondo que o supremo é atingido no ponto $y \in (\mathcal{D}_M^-, \mathcal{D}_M^+)$. Como vimos na seção anterior, isso implica que derivada de $at - \log M(t)$ se anula em $t = y$, donde $\frac{M'(y)}{M(y)} = a$, ou seja,

$$\frac{\mathbb{E}[Xe^{yX}]}{\mathbb{E}[e^{yX}]} = a.$$

A principal observação é que a expressão do lado esquerdo corresponde à esperança de uma variável aleatória Y cuja distribuição é obtida a partir da distribuição de X , distorcida por um fator da forma $f(x) = e^{yx}$, $x \in \mathbb{R}$. Ou seja, para uma variável aleatória Y cuja distribuição é dada por

$$\mathbb{P}(Y \in B) = \frac{\mathbb{E}[\mathbb{1}_B(X)e^{yX}]}{\mathbb{E}[e^{yX}]} = \mathbb{E}\left[\mathbb{1}_B(X) \frac{e^{yX}}{M(y)}\right],$$

temos $\mathbb{E}Y = a$. Portanto, para Y_1, Y_2, \dots i.i.d. distribuídos como esta versão distorcida de X , a ocorrência de $\frac{Y_1 + \dots + Y_n}{n} \approx a$ não é um evento raro.

A prova então consiste em controlar a razão entre as probabilidades de (X_1, \dots, X_n) e (Y_1, \dots, Y_n) tomarem valores em um subconjunto de \mathbb{R}^n que é típico para este último vetor, de forma tal que tal razão não fique menor

que $e^{-I(a) \cdot n - o(n)}$.

Seja $\delta > 0$. Fixe $\varepsilon \in (0, \delta]$, e defina o conjunto

$$B_n^\varepsilon = \{(z_1, \dots, z_n) : \left| \frac{z_1 + \dots + z_n}{n} - a \right| \leq \varepsilon\} \subseteq \mathbb{R}^n.$$

Então

$$\begin{aligned} \mathbb{P}\left(\frac{S_n}{n} \in [a - \varepsilon, a + \varepsilon]\right) &= \mathbb{E}[\mathbf{1}_{B_n^\varepsilon}(X_1, \dots, X_n)] \\ &= \mathbb{E}\left[\frac{M(y)^n}{e^{y(X_1 + \dots + X_n)}} \mathbf{1}_{B_n^\varepsilon}(X_1, \dots, X_n) \frac{e^{yX_1}}{M(y)} \dots \frac{e^{yX_n}}{M(y)}\right] \\ &\geq \mathbb{E}\left[\frac{M(y)^n}{e^{ayn + |y|\varepsilon n}} \mathbf{1}_{B_n^\varepsilon}(X_1, \dots, X_n) \frac{e^{yX_1}}{M(y)} \dots \frac{e^{yX_n}}{M(y)}\right] \\ &= e^{-[ay - \log M(y) - |y|\varepsilon] \cdot n} \cdot \mathbb{P}((Y_1, \dots, Y_n) \in B_n^\varepsilon) \\ &= e^{-[ay - \log M(y) - |y|\varepsilon] \cdot n} \cdot \mathbb{P}\left(\frac{Y_1 + \dots + Y_n}{n} \in [a - \varepsilon, a + \varepsilon]\right). \end{aligned}$$

Esta última probabilidade converge para um pela Lei dos Grandes Números, e portanto

$$\mathbb{P}\left(\left|\frac{S_n}{n} - a\right| \leq \delta\right) \geq \mathbb{P}\left(\left|\frac{S_n}{n} - a\right| \leq \varepsilon\right) \geq e^{-I(a) \cdot n - 2|y|\varepsilon \cdot n}$$

para todo n suficientemente grande. Como $\varepsilon \in (0, \delta]$ é arbitrário, isso implica

$$\mathbb{P}\left(\left|\frac{S_n}{n} - a\right| \leq \delta\right) \geq e^{-I(a) \cdot n + o(n)},$$

completando a prova. □

Demonstração da cota inferior no Teorema 15.5. Seja. $\varepsilon > 0$. Tome $a \in J^\circ$ tal que $I(a) \leq I(J^\circ) + \varepsilon$. Tome $\delta > 0$ tal que $[a - \delta, a + \delta] \subseteq J$. Então, pelo Teorema 15.10,

$$\mathbb{P}\left(\frac{S_n}{n} \in J\right) \geq \mathbb{P}\left(\frac{S_n}{n} \in [a - \delta, a + \delta]\right) \geq e^{-I(a) \cdot n + o(n)} \geq e^{-I(J^\circ) \cdot n - \varepsilon n + o(n)}.$$

Como a desigualdade acima é válida para todo $\varepsilon > 0$, vale que

$$\mathbb{P}\left(\frac{S_n}{n} \in J\right) \geq e^{-I(J^\circ) \cdot n + o(n)},$$

o que conclui a prova da cota inferior. \square

Prova da cota superior

Vejamos como a cota superior no Teorema 15.5 é uma consequência imediata do Teorema 15.2. Começamos com propriedades de monotonicidade da função taxa.

Proposição 15.11. *A função taxa I é não-crescente em $(-\infty, \mu]$ e não-decrescente em $[\mu, +\infty)$. Além disso, $I(\mu) = 0$,*

$$I(a) = \sup_{t \geq 0} [at - \log M(t)] \text{ para } a \geq \mu \text{ e } I(a) = \sup_{t \leq 0} [at - \log M(t)] \text{ para } a \leq \mu.$$

Demonstração. Tomando $t = 0$ temos $[at - \log M(t)] = 0$, logo $I(a) \geq 0$ para todo a . Agora, pela desigualdade de Jensen, $M(t) = \mathbb{E}[e^{tX}] \geq e^{\mathbb{E}tX} = e^{t\mu}$, donde

$$\mu t - \log M(t) \leq 0.$$

Isso implica que $I(\mu) = 0$. Isso também implica que, para $a > \mu$ e $t < 0$, $at - \log M(t) < 0$, assim $I(a) = \sup_{t \geq 0} [at - \log M(t)]$. Analogamente, para $a < \mu$ temos $I(a) = \sup_{t \leq 0} [at - \log M(t)]$.

Para provar monotonicidade em $[\mu, +\infty)$, vejamos que, para $a > c > \mu$,

$$I(a) = \sup_{t \geq 0} [at - \log M(t)] \geq \sup_{t \geq 0} [ct - \log M(t)] = I(c) \geq 0 = I(\mu).$$

Monotonicidade em $(-\infty, \mu]$ se prova da mesma forma. \square

Demonstração da cota superior no Teorema 15.5. Escrevemos $J^* = [c, a] \subseteq \mathbb{R}$. Se $c \leq \mu \leq a$, $I(J^*) = 0$ e não há nada a provar. Podemos então assumir

que $a < \mu$, pois o caso $c > \mu$ é análogo. Seja $\varepsilon > 0$. Pela Proposição 15.11, temos

$$I(J^*) = I(a) = \sup_{t \leq 0} [at - \log M(t)],$$

e podemos tomar $t \leq 0$ tal que $[at - \log M(t)] \geq I(J^*) - \varepsilon$. Agora, usando a estimativa (15.1) obtemos

$$\mathbb{P}\left(\frac{S_n}{n} \in J\right) \leq \mathbb{P}\left(\frac{S_n}{n} \leq a\right) \leq e^{-I(J^*) \cdot n + \varepsilon n}.$$

Como ε é arbitrário, $\mathbb{P}\left(\frac{S_n}{n} \in J\right) \leq e^{-I(J^*) \cdot n + o(n)}$, concluindo a prova. \square

Apêndice A

Preliminares

Neste apêndice vamos listar alguns conceitos preliminares que serão utilizados ao longo do livro. Na Seção A.1, listamos um conjunto de conceitos do Cálculo que suporemos como pré-requisito para todo o livro. Se alguma parte dessa seção parece muito difícil ou misteriosa, isso indica que uma base mais sólida de Cálculo é necessária antes que se comece a ler este livro.

Na Seção A.2, faremos uma exposição auto-contida de um tópico que não é visto em qualquer curso de Cálculo: a expansão de Taylor. Ter familiaridade com esse tópico não é pré-requisito, ele pode ser aprendido com uma breve leitura da própria Seção A.2 e somente será usado nas Seções 9.2, 9.3, e 10.2.

Na Seção A.3, listamos um conjunto de conceitos de Análise Real que suporemos como pré-requisito para as partes mais avançadas do livro. O leitor que já está familiarizado com esses conceitos poderá ver as generalizações de \limsup e \liminf na Seção C.2, e com isso cobrir todo o livro.

A.1 Cálculo

Dada uma sequência $(x_n)_n$ de números reais e $L \in \mathbb{R}$, dizemos que

$$x_n \rightarrow L \text{ quando } n \rightarrow \infty,$$

e lê-se “ x_n tende a L quando n tende a infinito”, também denotado por

$$\lim_{n \rightarrow \infty} x_n = L$$

se, para todos $L' < L$ e $L'' > L$ existe n_0 tal que $L' \leq x_n \leq L''$ para todo $n \geq n_0$. Se for óbvio que o índice em questão é n e o ponto é ∞ , podemos escrever apenas

$$x_n \rightarrow L$$

omitindo o “quando $n \rightarrow \infty$ ”. Também podemos omitir o “ ∞ ”, escrevendo apenas

$$\lim_n x_n = L.$$

De forma similar, dizemos que

$$x_n \rightarrow +\infty$$

se, para todo $L' < \infty$, existe n_0 tal que $x_n \geq L'$ para todo $n \geq n_0$. A definição de $x_n \rightarrow -\infty$ é análoga com $L'' > -\infty$. Se não for o caso que $x_n \rightarrow L$, escrevemos $x_n \not\rightarrow L$. Dizemos que $(x_n)_n$ *converge* se $\lim_n x_n$ existe e é finito. Caso contrário, ou seja, se $\lim_n x_n$ não existe ou é $\pm\infty$, dizemos que a sequência $(x_n)_n$ *diverge*.

Teorema A.1. *Toda sequência monótona tem um limite, possivelmente infinito.*

Escrevemos $x_n \uparrow a$ ou $x_n \downarrow a$ para indicar que $(x_n)_n$ é não-decrescente, ou não-crescente, e $x_n \rightarrow a$. De forma análoga, escrevemos $x_n \uparrow +\infty$ ou $x_n \downarrow -\infty$ para limites infinitos.

Teorema A.2 (Sanduíche). *Se $a_n \leq b_n \leq c_n$ para todo n , $a_n \rightarrow L$ e $c_n \rightarrow L$, então $b_n \rightarrow L$. Aqui L pode ser um número real ou $\pm\infty$.*

Teorema A.3 (Linearidade). *Se $x_n \rightarrow a$ e $y_n \rightarrow b$, então $x_n + cy_n \rightarrow a + bc$ para todo $c \in \mathbb{R}$.*

Usando-se bisseção e os três teoremas acima, pode-se provar o seguinte.

Teorema A.4 (Separação). *Sejam $A, B \subseteq \mathbb{R}$ não-vazios tais que $a \leq b$ para todo $a \in A$ e $b \in B$. Então existe $c \in \mathbb{R}$ tal que $a \leq c \leq b$ para todos $a \in A$ e $b \in B$.*

Séries

Dada uma sequência $(x_n)_n$ de números, definimos a *série*

$$\sum_{n=1}^{\infty} x_n = \lim_n \sum_{k=1}^n x_k$$

como o limite das somas parciais, caso exista. Se ademais o limite for finito, diremos que a *série converge*. Pelo Teorema A.1, a soma de números não-negativos sempre está bem definida.

Teorema A.5 (Cauda pequena). *Se a série $\sum_{n=1}^{\infty} x_n$ converge, então*

$$\lim_{n \rightarrow \infty} \sum_{k=n}^{\infty} x_k = 0.$$

Dada uma sequência $(x_n)_n$ de números reais, dizemos que a série $\sum_{n=1}^{\infty} x_n$ *converge* se o limite $\lim_n \sum_{k=1}^n x_k$ existe e é finito. Por outro lado, dizemos que os termos x_n são *somáveis* se $\sum_{n=1}^{\infty} |x_n| < \infty$. Há séries que convergem apesar de seus termos não serem somáveis, como por exemplo a série harmônica alternada $\sum_{n=1}^{\infty} \frac{(-1)^n}{n}$.

Limites de funções

Dizemos que

$$\lim_{x \rightarrow a} f(x) = L$$

se, para toda sequência $(x_n)_n$ tal que $x_n \neq a$ para todo n e $x_n \rightarrow a$, vale $f(x_n) \rightarrow L$. Dizemos que

$$\lim_{x \rightarrow a^+} f(x) = L$$

ou

$$f(a+) = L$$

se, para toda sequência $(x_n)_n$ tal que $x_n > a$ para todo n e $x_n \rightarrow a$, vale $f(x_n) \rightarrow L$. Definição análoga vale para $\lim_{x \rightarrow a^-} f(x) = f(a-) = L$.

Dizemos que f é *contínua em* $a \in \mathbb{R}$ se $f(a) = \lim_{x \rightarrow a} f(x)$. Dizemos que f é *contínua* se f é contínua em todos os pontos do seu domínio; por exemplo, a função $f(x) = \frac{1}{x}$ é contínua. Dizemos que f é *contínua por partes* se, em cada intervalo finito, f tem no máximo uma quantidade finita de pontos onde é descontínua e, nos pontos onde f é descontínua, f tem ambos os limites laterais definidos e finitos. Dizemos que f é uma *função-degrau* se f é contínua por partes e, em todo intervalo finito, f assume apenas finitos valores.

Integral de Riemann

Seja $f : [a, b] \rightarrow \mathbb{R}$ e $L \in \mathbb{R}$. Dizemos que a *integral de Riemann* de f em $[a, b]$ é igual a L , o que denotamos por

$$\int_a^b f(x) \, dx = L,$$

se, para todos $L' < L$ e $L'' > L$, existe $\varepsilon > 0$ tal que, para todo $k \in \mathbb{N}$, para todos $x_0 < x_1 < \dots < x_k$ com $x_0 = a$, $x_k = b$ e $x_j - x_{j-1} < \varepsilon$ para cada

$j = 1, \dots, k$, vale que

$$L' \leq \sum_{j=1}^k f(y_j)(x_j - x_{j-1}) \leq L'', \text{ para todos } y_j \in [x_{j-1}, x_j].$$

O somatório na expressão acima é chamado *soma de Riemann*. Dizemos que f é *Riemann-integrável* se existe $L \in \mathbb{R}$ tal que $\int_a^b f(x) dx = L$.

Teorema A.6. *Se $f : [a, b] \rightarrow \mathbb{R}$ é contínua, então f é Riemann-integrável.*

Teorema A.7. *Se $f : [a, b] \rightarrow \mathbb{R}$ é monótona, então f é Riemann-integrável.*

Teorema A.8. *Se $f : [a, b] \rightarrow \mathbb{R}$ é uma função Riemann-integrável e $g : [a, b] \rightarrow \mathbb{R}$ é uma função contínua, então fg é Riemann-integrável.*

Integrais impróprias e iteradas

Seja $f : \mathbb{R} \rightarrow \mathbb{R}$ uma função não-negativa. Definimos as *integrais impróprias*

$$\begin{aligned} \int_a^{+\infty} f(x) dx &= \lim_{b \rightarrow +\infty} \int_a^b f(x) dx, \\ \int_{-\infty}^b f(x) dx &= \lim_{a \rightarrow -\infty} \int_a^b f(x) dx, \\ \int_{-\infty}^{+\infty} f(x) dx &= \int_0^{+\infty} f(x) dx + \int_{-\infty}^0 f(x) dx. \end{aligned}$$

Seja $f : \mathbb{R}^d \rightarrow \mathbb{R}$ uma função não-negativa. Dizemos que f é *Riemann-integrável* se, para qualquer escolha de $-\infty < a_j < b_j < \infty$, a integral iterada

$$\int_{a_d}^{b_d} \cdots \int_{a_1}^{b_1} f(x_1, \dots, x_d) dx_1 \cdots dx_d$$

está definida, é finita, e não depende da ordem de integração.

A.2 Expansão de Taylor

Teorema A.9 (Expansão de Taylor). *Sejam $f : (a, b) \rightarrow \mathbb{R}$ e $z \in (a, b)$. Se f for k vezes derivável no ponto z , então*

$$f(z + h) = f(z) + f'(z)h + \frac{1}{2}f''(z)h^2 + \cdots + \frac{1}{k!}f^{(k)}(z)h^k + r(h),$$

para todo h tal que $z + h \in (a, b)$, onde a função resto r é tal que

$$\frac{r(h)}{h^k} \rightarrow 0$$

quando $h \rightarrow 0$. Se $f^{(k+1)}$ existe e é contínua em (a, b) , então

$$r(h) = \frac{f^{(k+1)}(x)}{(k+1)!}h^{k+1}$$

para algum x entre z e $z + h$.

Para lembrar-se da fórmula, basta ignorar o resto e impor que o valor da função e das k primeiras derivadas de ambos lados da equação coincidam no ponto $h = 0$. A última fórmula se chama *resto de Lagrange*.

Demonstração. Veja que

$$r(h) = f(z + h) - \left[f(z) + f'(z) \cdot h + \frac{1}{2}f''(z)h^2 + \cdots + \frac{1}{k!}f^{(k)}(z)h^k \right]$$

satisfaz

$$r(0) = r'(0) = r''(0) = \cdots = r^{(k)}(0) = 0. \quad (\text{A.10})$$

Aplicando a regra de L'Hôpital $k - 1$ vezes, obtemos

$$\lim_{h \rightarrow 0} \frac{r(h)}{h^k} = \frac{1}{k!} \lim_{h \rightarrow 0} \frac{r^{(k-1)}(h)}{h} = \frac{1}{k!} r^{(k)}(0) = 0,$$

provando a primeira parte. Para a segunda parte, consideramos o caso $h > 0$, pois $h < 0$ é idêntico e $h = 0$ é trivial. Sejam M' e M o mínimo e o máximo

de $r^{(k+1)}$ em $[0, h]$. Pelo Teorema do Valor Extremo, M' e M são atingidos por $r^{(k+1)}$ em pontos de $[0, h]$. Usando (A.10) e integrando $k+1$ vezes, pela cota $M' \leq r^{(k+1)}(s) \leq M$ obtemos $M' \leq \frac{(k+1)!}{h^{k+1}} r(h) \leq M$. Pelo Teorema do Valor Intermediário, existe $t \in [0, h]$ tal que $h^{(k+1)}(t) = \frac{(k+1)!}{h^{k+1}} r(h)$. Como $f^{(k+1)}(z+t) = h^{(k+1)}(t)$, isso conclui a prova. \square

A.3 Análise Real

Este apêndice lista os principais tópicos de um curso introdutório de Análise Real que serão necessários para acessar as partes mais avançadas deste livro, como por exemplo as Seções 1.4 e 7.4, e portanto todas aquelas que dependem direta ou indiretamente delas, incluindo os Capítulos 12, 13 e 14.

Teorema A.11 (Subsubsequências). *Seja $(x_n)_n$ e $L \in \mathbb{R}$. Então $\lim_n x_n = L$ se, e somente se, toda subsequência $(x_{n_k})_k$ possui uma subsubsequência $(x_{n_{k_j}})_j$ tal que $\lim_j x_{n_{k_j}} = L$. A mesma equivalência vale quando $L = \pm\infty$.*

Dado um conjunto $A \subseteq \mathbb{R}$, dizemos que A é *aberto* se, para todo $x \in A$, existe $\varepsilon > 0$ tal que $(x - \varepsilon, x + \varepsilon) \subseteq A$. Dizemos que A é *fechado* se A^c é aberto. Dizemos que A é *denso* em \mathbb{R} se $A \cap B \neq \emptyset$ para todo aberto $B \subseteq \mathbb{R}$.

Teorema A.12. *Se $A \subseteq \mathbb{R}$ é um conjunto aberto, então existem intervalos abertos I_1, I_2, I_3, \dots tais que $A = \cup_k I_k$.*

Dado um conjunto $A \subseteq \mathbb{R}^n$, dizemos que A é *aberto* se, para todo $\mathbf{x} \in A$, existe $\varepsilon > 0$ tal que $\{\mathbf{y} : \|\mathbf{y} - \mathbf{x}\| < \varepsilon\} \subseteq A$.

Teorema A.13. *Uma função $f : \mathbb{R}^n \rightarrow \mathbb{R}$ é contínua se, e somente se, $f^{-1}(A)$ é aberto para todo $A \subseteq \mathbb{R}$ aberto.*

Teorema A.14. *Se $A \subseteq \mathbb{R}^n$ é um conjunto aberto, então existem paralelepípedos abertos I_1, I_2, I_3, \dots tais que $A = \cup_k I_k$. Um paralelepípedo aberto é um conjunto da forma $I = (a_1, b_1) \times \dots \times (a_n, b_n) \subseteq \mathbb{R}^n$.*

Recordemos a definição de conjunto enumerável dada na página 24. Mais formalmente, um conjunto qualquer J é enumerável e somente se J é finito ou existe uma função $f : \mathbb{N} \rightarrow J$ sobrejetiva.

Teorema A.15. *O conjunto \mathbb{R} não é enumerável.*

Corolário A.16. *Todo intervalo não-degenerado é não-enumerável*

Dizemos que um conjunto $K \subseteq \mathbb{R}$ é *compacto* se K é fechado e limitado.

Observação A.17. Em alguns livros há uma definição mais abstrata de conjuntos compactos, e o Teorema de Heine-Borel diz que a definição mais abstrata é equivalente à definição acima. \triangle

Teorema A.18. *Se $\mathbb{R} \supseteq K_1 \supseteq K_2 \supseteq K_3 \supseteq \dots$ são compactos e $K_n \neq \emptyset$ para todo $n \in \mathbb{N}$ então $\bigcap_n K_n \neq \emptyset$.*

Teorema A.19 (Bolzano-Weierstrass). *Se $K \subseteq \mathbb{R}$ é compacto, então toda sequência $(x_n)_n$ de números em K tem uma subsequência convergente.*

Teorema A.20 (Weierstrass). *Seja $g : \mathbb{R} \rightarrow \mathbb{R}$ uma função contínua e periódica, de período 2π . Então, para todo $\varepsilon > 0$, existem $m \in \mathbb{N}$ e $a_{-m}, \dots, a_m \in \mathbb{C}$ tais que*

$$\left| \sum_{k=-m}^m a_k e^{ikx} - g(x) \right| \leq \varepsilon$$

para todo $x \in \mathbb{R}$.

Apêndice B

Fórmula de Stirling

Este apêndice tem como objetivo demonstrar a importante aproximação abaixo.

Teorema B.1 (Fórmula de Stirling). *Quando $n \rightarrow \infty$,*

$$\frac{n!}{n^n e^{-n} \sqrt{2\pi n}} \rightarrow 1.$$

Obtenção da fórmula e demonstração

Para entender como surge essa a fórmula, observe que

$$\log n! = \log 1 + \log 2 + \cdots + \log n = \sum_{k=1}^n \log k$$

é uma aproximação para

$$\int_0^n \log x \, dx = n \log n - n = \log(n^n e^{-n}).$$

Seguindo argumentos de aproximação, poderíamos mostrar que

$$\log n! = n \log n - n + r(n), \quad \text{onde } \frac{r(n)}{n} \rightarrow 0.$$

Isto já seria o suficiente em muitas aplicações, mas queremos obter uma aproximação mais fina. De fato, queremos aproximar assintoticamente $n!$ e não apenas $\log n!$.

Admitindo uma correção polinomial, busquemos uma aproximação da forma

$$\lambda n^n e^{-n} n^\alpha$$

com $\lambda > 0$ e $\alpha \in \mathbb{R}$. Veremos agora que tal aproximação é de fato válida com $\alpha = \frac{1}{2}$ e $\lambda > 0$ desconhecido. Posteriormente, descobriremos que $\lambda = \sqrt{2\pi}$.

Escrevendo

$$c_n = \log \left(\frac{n^n e^{-n} n^\alpha}{n!} \right),$$

temos

$$\begin{aligned} c_{n+1} - c_n &= \log \left((n+1) \left(\frac{n+1}{n} \right)^n \frac{e^{-n-1}}{e^{-n}} \left(\frac{n+1}{n} \right)^\alpha \frac{n!}{(n+1)!} \right) \\ &= \left[n \log \left(1 + \frac{1}{n} \right) - 1 \right] + \alpha \log \left(1 + \frac{1}{n} \right). \end{aligned}$$

Fazendo a expansão de Taylor de $\log(1+x)$ para $x \in [0, 1]$ temos

$$\log(1+x) = x - \frac{x^2}{2} + r(x),$$

onde $r(x)$ é igual a $\frac{2}{(1+z)^3} \frac{x^3}{6}$ para algum $z \in [0, x]$ e satisfaz $0 \leq r(x) \leq \frac{x^3}{3}$.

Continuando o desenvolvimento de $c_{n+1} - c_n$, temos

$$\begin{aligned} c_{n+1} - c_n &= \left[n \left(\frac{1}{n} - \frac{1}{2n^2} + r\left(\frac{1}{n}\right) \right) - 1 \right] + \alpha \left(\frac{1}{n} - \frac{1}{2n^2} + r\left(\frac{1}{n}\right) \right) \\ &= \frac{\alpha}{n} - \frac{1}{2n} + n r\left(\frac{1}{n}\right) - \frac{\alpha}{2n^2} + \alpha r\left(\frac{1}{n}\right). \end{aligned}$$

Para anular os termos de ordem $\frac{1}{n}$, vamos escolher $\alpha = \frac{1}{2}$. Assim sendo,

$$c_{n+1} - c_n = n r\left(\frac{1}{n}\right) + \frac{1}{2} r\left(\frac{1}{n}\right) - \frac{1}{4n^2}.$$

Combinando a identidade acima com expansão de Taylor, obtemos

$$|c_{n+1} - c_n| \leq \frac{1}{2n^2},$$

que é somável. Logo $c_n \rightarrow c$ para algum $c \in \mathbb{R}$ e, portanto,

$$\frac{n!}{n^n e^{-n} \sqrt{n}} \rightarrow e^{-c} = \lambda$$

para algum $\lambda > 0$. Resta mostrar que essa constante é dada por $\lambda = \sqrt{2\pi}$.

Cálculo da constante

Vamos provar que $\lambda = \sqrt{2\pi}$ de duas formas diferentes.

Usando a demonstração do Teorema de De Moivre-Laplace A primeira prova supõe que o leitor viu a demonstração do Teorema de De Moivre-Laplace na Seção 9.2. Observe inicialmente que a demonstração do Teorema de De Moivre-Laplace funciona assumindo a fórmula de Stirling com uma constante desconhecida λ no lugar de $\sqrt{2\pi}$.

Pela Desigualdade de Tchebyshev,

$$1 - \frac{1}{m^2} \leq \mathbb{P}\left(-m \leq \frac{S_n - np}{\sqrt{npq}} \leq +m\right) \leq 1.$$

Fazendo $n \rightarrow \infty$, temos pelo Teorema de De Moivre-Laplace que

$$1 - \frac{1}{m^2} \leq \frac{1}{\lambda} \int_{-m}^m e^{-\frac{x^2}{2}} dx \leq 1.$$

Fazendo agora $m \rightarrow \infty$ obtemos

$$\frac{1}{\lambda} \int_{-\infty}^{\infty} e^{-\frac{x^2}{2}} dx = 1,$$

logo $\lambda = \sqrt{2\pi}$.

Usando o produto de Wallis O produto de Wallis é dado pela seguinte identidade

$$\frac{\pi}{2} = \prod_{n=1}^{\infty} \left(\frac{2n}{2n-1} \cdot \frac{2n}{2n+1} \right) = \lim_{n \rightarrow \infty} \frac{2}{1} \cdot \frac{2}{3} \cdot \frac{4}{3} \cdot \frac{4}{5} \cdot \frac{6}{5} \cdot \frac{6}{7} \cdots \frac{2n}{2n-1} \cdot \frac{2n}{2n+1},$$

que será demonstrada mais abaixo.

Tomando a raiz quadrada e usando que $\frac{2n}{2n+1} \rightarrow 1$ obtemos

$$\sqrt{\frac{\pi}{2}} = \lim_{n \rightarrow \infty} \frac{2 \cdot 4 \cdot 6 \cdots (2n-2)}{3 \cdot 5 \cdot 7 \cdots (2n-1)} \cdot \sqrt{2n}.$$

Multiplicando numerador e denominador da fração acima pelo produto dos n primeiros números pares chegamos a

$$\begin{aligned} \sqrt{\frac{\pi}{2}} &= \lim_{n \rightarrow \infty} \frac{2 \cdot 2 \cdot 4 \cdot 4 \cdot 6 \cdot 6 \cdots (2n-2) \cdot (2n-2)}{2 \cdot 3 \cdot 4 \cdot 5 \cdot 6 \cdot 7 \cdots (2n-2) \cdot (2n-1)} \cdot \frac{2n \cdot 2n}{2n} \cdot \frac{\sqrt{2n}}{2n} \\ &= \lim_{n \rightarrow \infty} \frac{2^{2n} (1^2 \cdot 2^2 \cdot 3^2 \cdots n^2)}{(2n)!} \cdot \frac{1}{\sqrt{2n}} = \lim_{n \rightarrow \infty} \frac{2^{2n} (n!)^2}{(2n)! \sqrt{2n}}. \end{aligned}$$

Finalmente, substituindo na fórmula de Stirling chegamos a

$$\sqrt{\frac{\pi}{2}} = \lim_{n \rightarrow \infty} \frac{2^{2n} n^{2n} e^{-2n} \lambda^2 n}{(2n)^{2n} e^{-2n} \sqrt{2\lambda^2 n} \sqrt{2n}} = \sqrt{\frac{\lambda^2}{4}},$$

e portanto $\lambda = \sqrt{2\pi}$.

Demonstração do produto de Wallis Daremos a demonstração sob a forma de exercício. Seja

$$I_n = \int_0^{\pi/2} \operatorname{sen}^n x \, dx, \quad n \geq 0.$$

(a) Mostre que para todo $n \geq 2$ vale

$$I_n = \frac{n-1}{n} I_{n-2}.$$

Sugestão: Integrando $\operatorname{sen}^n x = \operatorname{sen}^{n-1} x \cdot \operatorname{sen} x$ por partes, mostre que $\int_0^{\pi/2} \operatorname{sen}^n x \, dx = (n-1) \int_0^{\pi/2} (\operatorname{sen}^{n-2} x)(\cos^2 x) \, dx = (n-1)[I_{n-2} - I_n]$.

(b) Verifique que para todo $n \geq 1$ vale

$$\frac{I_{2n-2}}{I_{2n-1}} = \frac{2n}{2n-1} \cdot \frac{2n}{2n+1} \cdot \frac{I_{2n}}{I_{2n+1}}.$$

(c) Verifique que $I_0 = \frac{\pi}{2}$ e $I_1 = 1$.

(d) Mostre por indução que para todo $n \geq 0$ vale

$$\frac{\pi}{2} = \frac{2}{1} \cdot \frac{2}{3} \cdot \frac{4}{3} \cdot \frac{4}{5} \cdot \frac{6}{5} \cdot \frac{6}{7} \cdots \frac{2n}{2n-1} \cdot \frac{2n}{2n+1} \cdot \frac{I_{2n}}{I_{2n+1}}.$$

(e) Mostre que $\frac{2n}{2n+1} = \frac{I_{2n+1}}{I_{2n-1}} \leq \frac{I_{2n+1}}{I_{2n}} \leq 1$, e portanto $\frac{I_{2n}}{I_{2n+1}} \rightarrow 1$, concluindo a prova do produto de Wallis.

Apêndice C

A Reta Real e o Infinito

O objetivo deste apêndice é tornar certos conceitos mais gerais e robustos. Alguns dos enunciados e argumentos vistos na Seção 5.2 em diante se tornam mais sucintos se permitirmos que determinadas quantidades sejam infinitas. Com este objetivo introduziremos inicialmente a noção de reta estendida e na segunda parte definiremos os conceitos de supremo e ínfimo que generalizam as noções de máximo e mínimo, além dos conceitos de limites superior e inferior de uma sequência de elementos da reta estendida.

C.1 Reta estendida

Definimos o conjunto dos números reais estendidos, denotado por $\overline{\mathbb{R}}$ ou $[-\infty, +\infty]$, agregando-se os símbolos $+\infty$ e $-\infty$ ao conjunto \mathbb{R} . Salientamos que os símbolos $+\infty$ e $-\infty$ não são números reais.

Adotaremos as seguintes convenções:

- Declaramos que $-\infty < +\infty$ e $-\infty < c < +\infty$ para todo $c \in \mathbb{R}$. Quando escrevemos $z < \infty$, está implícito que queremos dizer $z < +\infty$, pois $z < -\infty$ é sempre falso.
- Deixamos sem definir $(+\infty) + (-\infty)$, ao que chamamos “ $\infty - \infty$ ”.

Temos que cuidar que tudo o que escrevamos não contenha $\infty - \infty$.

- Também deixamos sem definir $\frac{z}{\pm\infty}$, qualquer que seja $z \in \mathbb{R}$.
- Definimos $0 \cdot (\pm\infty) = 0$.

No Cálculo, $0 \cdot (\pm\infty)$ era considerada uma forma indeterminada, mas em Teoria da Medida e Teoria da Probabilidade, essa definição é muito conveniente e faz sentido. Por exemplo, a área de um retângulo de largura zero e altura infinita é igual a zero.

- Definimos $(+\infty) + (+\infty) = +\infty$, $(-\infty) + (-\infty) = -\infty$, $(+\infty) \cdot (\pm\infty) = \pm\infty$, $(-\infty) \cdot (\pm\infty) = \mp\infty$, $-(-\infty) = +\infty$, $|\pm\infty| = +\infty$. Ademais, $c + (\pm\infty) = \pm\infty$ para todo $c \in \mathbb{R}$ e $a \cdot (\pm\infty) = \pm\infty$ para todo $a > 0$. Estas convenções fazem com que a soma e produto em $\overline{\mathbb{R}}$ sejam operações comutativas, distributivas e associativas sempre que bem definidas, ou seja, exceto pela restrição do $\infty - \infty$.

Observe que algumas propriedades antes válidas para números reais agora exigem maior escrutínio. Mais precisamente, para $x, y, z \in \overline{\mathbb{R}}$, a relação $x + z = y + z$ não necessariamente implica que $x = y$, pois não podemos subtrair z de ambos os lados de uma igualdade antes de verificar que $|z| < \infty$. Da mesma forma, $x < y$ não implica que $x + z < y + z$.

Com a definição $0 \cdot (\pm\infty) = 0$ ao invés da forma indeterminada, não podemos dizer que $\lim_n (a_n b_n) = (\lim_n a_n)(\lim_n b_n)$ mesmo que os limites existam em $\overline{\mathbb{R}}$, pois a igualdade pode falhar em exemplos como $a_n = n$ e $b_n = \frac{1}{n}$. Entretanto, vale essa igualdade se as sequências são não-negativas e não-decrescentes.

Apesar do problema acima, limites funcionam bem com a soma, como em

$$\lim_{n \rightarrow \infty} (2 + n^2) = \lim_{n \rightarrow \infty} 2 + \lim_{n \rightarrow \infty} n^2 = 2 + (+\infty) = +\infty.$$

O mais importante é lembrar que sempre teremos problema se encontrarmos $\infty - \infty$.

C.2 Supremo e limite superior

A cada subconjunto $A \subseteq \overline{\mathbb{R}}$ podemos associar um elemento $\sup(A) \in \overline{\mathbb{R}}$, chamado *supremo de A*, dado pela menor cota superior possível para A . De modo análogo definimos o *ínfimo de A*, denotado por $\inf(A)$, como a maior das cotas inferiores de A (observe que $+\infty$ e $-\infty$ são sempre cotas superior e inferior, respectivamente, para qualquer $A \subseteq \overline{\mathbb{R}}$). Com essas definições, temos por exemplo que $\sup(\mathbb{N}) = +\infty$, $\inf(\mathbb{N}) = 1$, $\sup(\emptyset) = -\infty$, $\inf(\emptyset) = +\infty$ e $\sup(\mathbb{R}) = \sup(\overline{\mathbb{R}}) = +\infty$. Se $A \subseteq B \subseteq \overline{\mathbb{R}}$, então $\sup(A) \leq \sup(B)$ e $\inf(A) \geq \inf(B)$.

Dada uma sequência $(x_n)_n$ de elementos de $\overline{\mathbb{R}}$, podemos sempre definir seu *limite superior* e seu *limite inferior*, denotados por $\limsup_n x_n$ e $\liminf_n x_n$, como

$$\limsup_n x_n = \inf_n \sup_{k \geq n} x_k \quad \text{e} \quad \liminf_n x_n = \sup_n \inf_{k \geq n} x_k.$$

Sempre vale $\liminf_n x_n \leq \limsup_n x_n$ e, quando há igualdade, dizemos que a sequência tem um limite dado por

$$\lim_n x_n = \liminf_n x_n = \limsup_n x_n.$$

Quando os números da sequência são todos reais, essa definição de $\lim_n x_n$ coincide com a definição dada no Apêndice A.1.

Uma propriedade útil é que $\limsup_n (x_n + y_n) \leq \limsup_n x_n + \limsup_n y_n$ desde que as somas não resultem em $\infty - \infty$. Ademais, se $x_n \leq y_n$ para todo n , vale $\limsup_n x_n \leq \limsup_n y_n$ e $\liminf_n x_n \leq \liminf_n y_n$. Além disso, $\liminf_n (-x_n) = -\limsup_n x_n$.

O uso de \sup e \limsup é muito robusto porque nem todo conjunto tem um elemento maximal, e nem toda sequência tem um limite, mas todo conjunto tem um supremo e toda sequência tem um limite superior. Uma técnica poderosa para mostrar que $x_n \rightarrow L$ é a seguinte. Verificamos que, para qualquer $\varepsilon > 0$ dado, $\limsup_n x_n \leq L + \varepsilon$ e $\liminf_n x_n \geq L - \varepsilon$, donde concluímos que, sendo ε arbitrário, $\limsup_n x_n = \liminf_n x_n = L$. A grande

vantagem é que podemos estimar o limite superior comparando com outras seqüências que sim têm limite, mesmo sem saber *a priori* que a seqüência $(x_n)_n$ o tem.

Somas de números em $[0, +\infty]$ estão sempre bem definidas, através de uma fórmula bem simples. Se Λ denota um conjunto de índices em $x_\alpha \in [0, +\infty]$ para todo $\alpha \in \Lambda$, definimos

$$\sum_{\alpha \in \Lambda} x_\alpha = \sup_{\substack{A \subseteq \Lambda \\ A \text{ finito}}} \sum_{\alpha \in A} x_\alpha. \quad (\text{C.1})$$

Apesar de que o conjunto Λ pode ser um conjunto não-enumerável, observamos que a soma acima será finita se, no máximo, uma quantidade enumerável dos termos são positivos (exercício). Observe que, neste caso, $\sum_{n \in \mathbb{N}} x_n$ estende a definição de $\sum_{n=1}^{\infty} x_n$ dada no Apêndice A.1.

Teorema C.2. *Dada uma seqüência $x_{j,k} \in [0, +\infty]$ duplamente indexada,*

$$\sum_{j=1}^{\infty} \sum_{k=1}^{\infty} x_{j,k} = \sum_{k=1}^{\infty} \sum_{j=1}^{\infty} x_{j,k}.$$

Demonstração. Mostraremos que cada soma domina a outra. Seja $a < \sum_{j=1}^{\infty} \sum_{k=1}^{\infty} x_{j,k}$. Podemos tomar m tal que $\sum_{j=1}^m \sum_{k=1}^{\infty} x_{j,k} > a$. Logo, $\sum_{k=1}^{\infty} (\sum_{j=1}^m x_{j,k}) > a$ e podemos tomar n tal que $\sum_{k=1}^n \sum_{j=1}^m x_{j,k} > a$, o que implica que $\sum_{k=1}^{\infty} \sum_{j=1}^{\infty} x_{j,k} > a$. Portanto, $\sum_{k=1}^{\infty} \sum_{j=1}^{\infty} x_{j,k} \geq \sum_{j=1}^{\infty} \sum_{k=1}^{\infty} x_{j,k}$. A outra desigualdade é provada de forma idêntica. \square

Apêndice D

Elementos de Teoria da Medida

O presente apêndice é mais extenso e detalhado que os demais. Seu propósito é fornecer os elementos de Teoria da Medida necessários para compreender os tópicos mais avançados deste livro. As demonstrações de alguns teoremas mais sofisticados podem ser ignoradas em uma primeira leitura.

D.1 Teorema π - λ de Dynkin

Nesta seção estudaremos o Teorema π - λ de Dynkin e o usaremos para provar o Teorema 3.32 (unicidade de medidas).

Antes de introduzir os conceitos usados na sua prova, vejamos de onde eles surgem. Suponha que queiramos verificar se duas medidas *finitas* μ e ν em um espaço mensurável (Ω, \mathcal{F}) coincidem em uma grande classe de conjuntos, como \mathcal{F} . Suponha também que $\mu(\Omega) = \nu(\Omega)$. Em quantos conjuntos A precisamos testar que $\mu(A) = \nu(A)$? Testar todos $A \in \mathcal{F}$ seria demais. Havendo testado para uma sequência de conjuntos disjuntos $(A_n)_n$, a propriedade valerá para $(A_n^c)_n$ e também para $\cup_n A_n$, por propriedades básicas das medidas finitas.

Entretanto, havendo testado para um par $A, B \in \mathcal{F}$ de conjuntos mensuráveis, não há garantia de que as duas medidas coincidam em $A \cap B$. Queremos mostrar que a classe

$$\mathcal{D} = \{A \in \mathcal{F} : \mu(A) = \nu(A)\} \quad (\text{D.1})$$

contém muitos conjuntos. Essa classe já tem uma estrutura proveniente da forma como medidas finitas tratam complementares e uniões disjuntas, que formalizamos com a seguinte definição.

Definição D.2 (λ -sistema). Seja Ω um espaço amostral. Uma classe \mathcal{D} de subconjuntos de Ω é um λ -sistema de Ω , se $\Omega \in \mathcal{D}$ e é fechada por complementos e uniões enumeráveis disjuntas, isto é,

- (1) $\Omega \in \mathcal{D}$,
- (2) Se $A \in \mathcal{D}$, então $A^c \in \mathcal{D}$,
- (3) Se $\{A_k\}_{k=1}^{\infty} \subseteq \mathcal{D}$, $A_k \cap A_j = \emptyset$ para todos $k \neq j$, então $\bigcup_{k=1}^{\infty} A_k \in \mathcal{D}$.

Formalizamos a discussão acima em forma de proposição.

Proposição D.3. Se μ e ν são medidas em um espaço mensurável (Ω, \mathcal{F}) tais que $\mu(\Omega) = \nu(\Omega) < \infty$, então a classe \mathcal{D} definida em (D.1) é um λ -sistema.

Demonstração. Seja $A \in \mathcal{D}$. Temos $\mu(A^c) = \mu(\Omega) - \mu(A) = \nu(\Omega) - \nu(A) = \nu(A^c)$, logo $A^c \in \mathcal{D}$. Agora considere uma coleção enumerável $\{A_n\}_n \subseteq \mathcal{D}$ de conjuntos disjuntos. Então $\mu(\bigcup_n A_n) = \sum_n \mu(A_n) = \sum_n \nu(A_n) = \nu(\bigcup_n A_n)$, logo $\bigcup_n A_n \in \mathcal{D}$. \square

Agora observamos que, à estrutura da classe definida em (D.1) lhe falta um aspecto: ser fechada por interseções. Essa é a razão da definição de π -sistemas dada na Seção 3.6.

Lema D.4. Um λ -sistema fechado por interseções é uma σ -álgebra.

Demonstração. Seja \mathcal{F} um λ -sistema fechado por interseções. Como \mathcal{F} é não-vazio e fechado por complementos, basta mostrar que é fechado por uniões

enumeráveis. Seja $\{A_n\}_n \subseteq \mathcal{F}$. Defina $B_1 = A_1$ e $B_n = A_1^c \cap \dots \cap A_{n-1}^c \cap A_n$ para todo $n \geq 2$. Observe que $B_n \in \mathcal{F}$ para todo n , pois \mathcal{F} é fechado por interseções e complemento, e que $\cup_n A_n = \cup_n B_n$, sendo esta última uma união disjunta. Como \mathcal{F} é fechado por uniões enumeráveis disjuntas, $\cup_n A_n = \cup_n B_n \in \mathcal{F}$. Isso conclui a prova. \square

Os conceitos de π -sistemas e λ -sistemas são úteis quando, por um lado, a classe \mathcal{D} (grande e complicada) de conjuntos satisfazendo determinada propriedade formam naturalmente um λ -sistema e, por outro lado, podemos encontrar uma *subclasse* \mathcal{C} (menor e mais simples) que forma um π -sistema e gera a σ -álgebra desejada. Este é o caso do Teorema 3.32 (unicidade de medidas). Para aplicar esses conceitos, usamos uma poderosa e conhecida ferramenta.

Teorema D.5 (Teorema π - λ de Dynkin). *Seja Ω um espaço amostral. Suponha que \mathcal{C} é um π -sistema de subconjuntos de Ω e \mathcal{D} é um λ -sistema em Ω . Se \mathcal{D} contém \mathcal{C} , então \mathcal{D} contém $\sigma(\mathcal{C})$.*

Demonstração. Definimos \mathcal{G} como o menor λ -sistema²⁴ que contém o π -sistema \mathcal{C} , e vamos mostrar que \mathcal{G} também é um π -sistema.

A ideia principal é considerar, para cada $B \in \mathcal{G}$, a coleção

$$\mathcal{F}_B = \{A \in \mathcal{G} : A \cap B \in \mathcal{G}\}.$$

Podemos ver que \mathcal{F}_B é um λ -sistema usando $A^c \cap B = ((A \cap B) \cup B^c)^c$.

Agora, seja $B \in \mathcal{C}$. Como \mathcal{C} é um π -sistema, $\mathcal{C} \subseteq \mathcal{F}_B$. Mas \mathcal{G} é o menor λ -sistema que contém \mathcal{C} , logo $\mathcal{F}_B = \mathcal{G}$.

Finalmente, seja $D \in \mathcal{G}$. Dado $B \in \mathcal{C}$, temos $D \in \mathcal{F}_B$, o que é equivalente a $B \in \mathcal{F}_D$. Portanto, $\mathcal{C} \subseteq \mathcal{F}_D$. Mas \mathcal{G} é o menor λ -sistema que contém \mathcal{C} , donde $\mathcal{F}_D = \mathcal{G}$. Como isso vale para todo $D \in \mathcal{G}$, concluímos que \mathcal{G} é um

²⁴ Isso é definido da mesma forma que a menor σ -álgebra que contém uma dada classe.

π -sistema. Pelo Lema D.4, \mathcal{G} é uma σ -álgebra, logo $\mathcal{C} \subseteq \sigma(\mathcal{C}) \subseteq \mathcal{G} \subseteq \mathcal{D}$, provando o teorema. \square

Demonstração do Teorema 3.32 (unicidade de medidas). Suponha momentaneamente que $\mu(\Omega) = \nu(\Omega) < \infty$. Defina a classe \mathcal{D} como em (D.1). Pela Proposição D.3, \mathcal{D} é um λ -sistema. Pelo Teorema π - λ , $\sigma(\mathcal{C}) \subseteq \mathcal{D}$, o que quer dizer precisamente que $\mu = \nu$ em $\sigma(\mathcal{C})$, como queríamos demonstrar.

Agora abandonamos a suposição inicial, e supomos apenas que $\mu(A_n) = \nu(A_n) < \infty$ para alguma sequência $A_n \uparrow \Omega$ de conjuntos em \mathcal{C} , tal como enunciado. Para cada $n \in \mathbb{N}$, defina as medidas μ_n e ν_n por $\mu_n(A) = \mu(A \cap A_n)$ e $\nu_n(A) = \nu(A \cap A_n)$. Com essa definição, $\mu_n(\Omega) = \mu(A_n) = \nu(A_n) = \nu_n(\Omega) < \infty$. Repare que, para cada $C \in \mathcal{C}$, temos $C \cap A_n \in \mathcal{C}$ porque \mathcal{C} é um π -sistema. Logo, $\mu_n(C) = \mu(C \cap A_n) = \nu(C \cap A_n) = \nu_n(C)$ para todo $C \in \mathcal{C}$.

Portanto, para cada n , as medidas μ_n e ν_n estão no caso anterior e, para todo $A \in \sigma(\mathcal{C})$, temos $\mu_n(A) = \nu_n(A)$. Usando continuidade por baixo de μ e ν , temos

$$\mu(A) = \lim_n \mu(A \cap A_n) = \lim_n \mu_n(A) = \lim_n \nu_n(A) = \lim_n \nu(A \cap A_n) = \nu(A),$$

o que conclui a prova. \square

D.2 Teorema de Extensão de Carathéodory

Nesta seção estudaremos o Teorema de Extensão de Carathéodory e o usaremos para provar o Teorema 1.51 (existência da medida de Lebesgue).

Recordemo-nos da definição de álgebra vista na Seção 12.1. Dado um espaço amostral Ω e uma álgebra \mathcal{A} , dizemos que a função $\mu : \mathcal{A} \rightarrow [0, +\infty]$ é uma *medida finitamente aditiva* se $\mu(\emptyset) = 0$ e $\mu(A \cup B) = \mu(A) + \mu(B)$ para todo par $A, B \in \mathcal{A}$ disjuntos. Note que medidas finitamente aditivas podem não ser medidas. A teoria das medidas finitamente aditivas é bastante limitada, pois elas podem não ter a propriedade de serem contínuas por baixo. Felizmente,

se uma medida finitamente aditiva está definida em uma álgebra, é suficiente pedir que μ seja “ σ -aditiva sempre que possível” para garantir que ela não apresente anomalias. Dado um espaço amostral Ω e uma álgebra \mathcal{A} , dizemos que uma medida finitamente aditiva $\mu : \mathcal{A} \rightarrow [0, +\infty]$ é uma *pré-medida* se for σ -aditiva, isto é, $\mu(\bigcup_n A_n) = \sum_n \mu(A_n)$ para toda família de conjuntos disjuntos $A_n \in \mathcal{A}$ cuja união A por acaso esteja em \mathcal{A} .

Teorema D.6 (Teorema de Extensão de Carathéodory). *Seja \mathcal{A} uma álgebra em Ω . Se μ é uma pré-medida em (Ω, \mathcal{A}) , então existe uma medida $\bar{\mu}$ em $(\Omega, \sigma(\mathcal{A}))$ tal que $\bar{\mu}(B) = \mu(B)$ para todo $A \in \mathcal{A}$. Ademais, se $\bar{\mu}$ for σ -finita, então ela é a única medida com essas propriedades.*

A demonstração será dada mais abaixo.

Agora fixe $\Omega = (0, 1]$ e seja $\mathcal{E} = \{(a, b] : 0 \leq a \leq b \leq 1\}$, a classe dos intervalos contidos em $(0, 1]$, abertos à esquerda e fechados à direita. Definimos \mathcal{A} como a classe de todos os conjuntos que podem ser escritos como união disjunta e finita de elementos de \mathcal{E} . Observe que \mathcal{A} é uma álgebra em $(0, 1]$.

Vamos definir uma pré-medida μ em \mathcal{A} da seguinte maneira. Dado $A = (a_1, b_1] \cup \dots \cup (a_n, b_n]$ com $a_1 \leq b_1 \leq a_2 \leq b_2 \leq \dots \leq a_n \leq b_n$, definimos

$$\mu(A) = \mu((a_1, b_1] \cup \dots \cup (a_n, b_n]) = \sum_{j=1}^n b_j - a_j.$$

Afirmamos que a fórmula acima está bem definida ainda que A possa ser escrito de muitas formas diferentes como união finita disjunta de elementos de \mathcal{E} . Omitimos a tediosa prova deste fato, mas enfatizamos uma consequência importante, que a função $\mu : \mathcal{A} \rightarrow [0, +\infty]$ é finitamente aditiva.

Lema D.7. *A função $\mu : \mathcal{A} \rightarrow [0, +\infty]$ é uma pré-medida.*

Demonstração. É suficiente mostrar que, se $A_n \downarrow \emptyset$ e $A_n \in \mathcal{A}$ para todo n , então $\mu(A_n) \rightarrow 0$. Com efeito, dados D_n conjuntos disjuntos em \mathcal{A} tais que $\bigcup_n D_n = D \in \mathcal{A}$, podemos definir $A_n = D \setminus \bigcup_{j=1}^n D_j$ de forma que

$A_n \in \mathcal{A}$, $A_n \downarrow \emptyset$ e $\mu(D) = \mu(A_n) + \sum_{j=1}^n \mu(D_j)$. Seja $\{A_n\}_n \subseteq \mathcal{A}$ uma sequência decrescente com $\mu(A_n) \geq 2\varepsilon$ para todo n . Vamos provar que $\cap_n A_n \neq \emptyset$. Para cada $k \in \mathbb{N}$, podemos tomar $B_k \in \mathcal{A}$ tal que $\overline{\Omega B_k} \subseteq A_k$ e $\mu(A_k \setminus B_k) \leq \varepsilon 2^{-k}$, basta fazer os intervalos A_k um pouco mais curtos do lado esquerdo. Pela aditividade de μ em \mathcal{A} , temos $\mu(\cup_{k=1}^n (A_k \setminus B_k)) \leq \varepsilon$ para cada n . Por outro lado, $A_n \setminus \cap_{k=1}^n B_k = \cup_{k=1}^n (A_n \setminus B_k) \subseteq \cup_{k=1}^n A_k \setminus B_k$, logo $\mu(A_n \setminus \cap_{k=1}^n B_k) \leq \varepsilon$, e como $\mu(A_n) \geq 2\varepsilon$, temos $\mu(\cap_{k=1}^n B_k) \geq \varepsilon$. Definimos então $K_n = \cap_{k=1}^n \overline{B_k} \neq \emptyset$. Como os K_n são conjuntos compactos, $\cap_{n=1}^\infty K_n \neq \emptyset$ pelo Teorema A.18. Portanto, $\cap_{n=1}^\infty A_n \supseteq \cap_{n=1}^\infty \overline{B_n} = \cap_{n=1}^\infty K_n \neq \emptyset$, concluindo a prova. \square

Combinando o lema acima com o Teorema de Extensão de Carathéodory, podemos estender μ a $\mathcal{B}((0, 1])$. Munidos da existência de tal medida, podemos finalmente justificar a existência da medida de Lebesgue em \mathbb{R} .

Demonstração do Teorema 1.51. Para todo $k \in \mathbb{Z}$, podemos definir a medida μ_k em $(\mathbb{R}, \mathcal{B})$ por $\mu_k(A) = \mu((A - k) \cap (0, 1])$, onde μ é a medida em $(0, 1]$ obtida acima, e finalmente $m(A) = \sum_{k \in \mathbb{Z}} \mu_k(A)$. Observe que a m é uma medida. Observe também que $m((a, b]) = b - a < \infty$ para todo $a \leq b \in \mathbb{R}$. A unicidade segue do Teorema 3.32 (unicidade de medidas): consideramos novamente o π -sistema $\mathcal{C} = \{(a, b] : a \leq b \in \mathbb{R}\}$, observamos que $\sigma(\mathcal{C}) = \mathcal{B}$, e que $(-n, n]$ são conjuntos de medida finita cuja união é \mathbb{R} . \square

Daqui em diante, vamos provar o Teorema de Extensão de Carathéodory.

Para cada subconjunto E de Ω , consideramos a coleção \mathcal{D}_E de todas as sequências $(A_n)_n$ de conjuntos em \mathcal{A} que cobrem E :

$$\mathcal{D}_E = \left\{ (A_n)_n : A_n \in \mathcal{A} \text{ para todo } n \text{ e } E \subseteq \bigcup_n A_n \right\}.$$

Definição D.8 (Medida exterior). Seja μ uma pré-medida em (Ω, \mathcal{A}) .

Definimos a *medida exterior* $\mu^* : \mathcal{P}(\Omega) \rightarrow [0, +\infty]$ como

$$\mu^*(E) = \inf_{(A_n)_n \in \mathcal{D}_E} \sum_n \mu(A_n).$$

Podemos pensar na medida exterior como uma forma de medir o conjunto visto de fora. Observe que ela está definida para qualquer subconjunto de Ω e não apenas para os elementos de \mathcal{A} .

Lema D.9 (Propriedades da medida exterior). *A medida exterior μ^* satisfaz:*

- (1) Para todos $E \subseteq F \subseteq \Omega$, $\mu^*(E) \leq \mu^*(F)$,
- (2) Para $(E_n)_{n \in \mathbb{N}}$ subconjuntos de Ω , vale $\mu^*(\cup_n E_n) \leq \sum_n \mu^*(E_n)$,
- (3) Para $A \in \mathcal{A}$, vale $\mu^*(A) = \mu(A)$.

Demonstração. Se $E \subseteq F$, então $\mathcal{D}_F \subseteq \mathcal{D}_E$, o que implica $\mu^*(E) \leq \mu^*(F)$.

Provaremos agora que $\mu^*(\cup_n E_n) \leq \sum_n \mu^*(E_n)$. Seja $\varepsilon > 0$. Para cada $n \in \mathbb{N}$, pela definição de $\mu^*(E_n)$ podemos tomar $(A_{n,k})_k$ em \mathcal{A} tais que $E_n \subseteq \cup_k A_{n,k}$ e $\sum_k \mu(A_{n,k}) \leq \mu^*(E_n) + \varepsilon 2^{-n}$. Como $\cup_n E_n \subseteq \cup_{n,k} A_{n,k}$, pela definição de $\mu^*(\cup_n E_n)$ temos que $\mu^*(\cup_n E_n) \leq \sum_{n,k} \mu(A_{n,k}) = \sum_n \sum_k \mu(A_{n,k}) \leq \sum_n (\mu^*(E_n) + \varepsilon 2^{-n}) = \varepsilon + \sum_n \mu^*(E_n)$. Como ε é arbitrário, a desigualdade segue.

Finalmente provaremos que $\mu^*(A) = \mu(A)$ para $A \in \mathcal{A}$. Que $\mu^*(A) \leq \mu(A)$ segue imediatamente tomando-se $(A, \emptyset, \emptyset, \emptyset, \dots) \in \mathcal{D}_A$. Mostraremos que $\mu^*(A) \geq \mu(A)$ usando a hipótese de que μ é σ -aditiva em \mathcal{A} . Seja $(A_n)_n \in \mathcal{D}_A$. Tome $B_n = A \cap A_n \cap (\cap_{k=1}^{n-1} A_k^c)$, de forma que eles formam uma partição de A . Logo, $\mu(A) = \sum_n \mu(B_n) \leq \sum_n \mu(A_n)$. Como isso vale para qualquer $(A_n)_n \in \mathcal{D}_A$, temos $\mu(A) \leq \mu^*(A)$, concluindo a prova. \square

Informalmente, os conjuntos problemáticos são maiores quando vistos por fora do que por dentro. Tentaremos excluir esse tipo de problema considerando conjuntos $A \subseteq \Omega$ tais que, para todo $E \subseteq \Omega$, vale que

$$\mu^*(E) = \mu^*(E \cap A) + \mu^*(E \cap A^c).$$

Os conjuntos A satisfazendo a essa condição são chamados μ^* -mensuráveis, e \mathcal{F}^* denota a coleção desses conjuntos; isto é,

$$\mathcal{F}^* = \{A \subseteq \Omega : \mu^*(E) = \mu^*(E \cap A) + \mu^*(E \cap A^c) \text{ para todo } E \subseteq \Omega\}.$$

A segunda propriedade listada no lema acima implica que

$$\mu^*(E) \leq \mu^*(E \cap A) + \mu^*(E \cap A^c),$$

de forma que os conjuntos problemáticos são aqueles $A \subseteq \Omega$ para os quais a desigualdade acima é estrita para algum $E \subseteq \Omega$.

Proposição D.10 (Carathéodory). *A classe \mathcal{F}^* de conjuntos μ^* -mensuráveis é uma σ -álgebra em Ω que contém \mathcal{A} , e a restrição de μ^* a \mathcal{F}^* é uma medida.*

Demonstração. Faremos uso extensivo do Lema D.9. Vamos provar primeiro que $\mathcal{A} \subseteq \mathcal{F}^*$. Sejam $A \in \mathcal{A}$, $E \subseteq \Omega$ e $\varepsilon > 0$. Pela definição de μ^* existem $A_1, A_2, \dots \in \mathcal{A}$ com $E \subseteq \cup_n A_n$ e $\sum_n \mu(A_n) \leq \mu^*(E) + \varepsilon$. Logo,

$$\begin{aligned} \mu^*(E) &\leq \mu^*(E \cap A) + \mu^*(E \cap A^c) \leq \sum_n \mu^*(A_n \cap A) + \sum_n \mu^*(A_n \cap A^c) \\ &= \sum_n \mu(A_n \cap A) + \sum_n \mu(A_n \cap A^c) = \sum_n \mu(A_n) \leq \mu^*(E) + \varepsilon, \end{aligned}$$

onde na segunda desigualdade usamos subaditividade de μ^* duas vezes e na primeira igualdade, o fato de que $\mu^* = \mu$ em \mathcal{A} . Como ε é arbitrário, temos que $A \in \mathcal{F}^*$, logo $\mathcal{A} \subseteq \mathcal{F}^*$.

Agora provaremos que \mathcal{F}^* é uma σ -álgebra e μ^* é σ -aditiva em \mathcal{F}^* .

Passo 1. A classe \mathcal{F}^* é uma álgebra.

Trivialmente, $\Omega \in \mathcal{F}^*$ e $A^c \in \mathcal{F}^*$ para todo $A \in \mathcal{F}^*$. Sejam $A, B \in \mathcal{F}^*$, usando a subaditividade de μ^* obtemos

$$\begin{aligned} \mu^*(E) &\leq \mu^*(E \cap (A \cap B)) + \mu^*(E \cap (A \cap B)^c) \leq \mu^*(E \cap A \cap B) \\ &\quad + \mu^*(E \cap A \cap B^c) + \mu^*(E \cap A^c \cap B) + \mu^*(E \cap A^c \cap B^c) \end{aligned}$$

$$= \mu^*(E \cap A) + \mu^*(E \cap A^c) = \mu^*(E),$$

logo $A \cap B \in \mathcal{F}^*$; concluindo que \mathcal{F}^* é uma álgebra.

Passo 2. Sejam $A_1, \dots, A_n \in \mathcal{F}^*$ disjuntos. Mostraremos que

$$\mu^*(E \cap (\cup_{k=1}^n A_k)) = \sum_{k=1}^n \mu^*(E \cap A_k)$$

para todo $E \subseteq \Omega$. Com efeito, como $A_1 \in \mathcal{F}^*$, temos que

$$\begin{aligned} \mu^*(E \cap (\cup_{k=1}^n A_k)) &= \mu^*(E \cap (\cup_{k=1}^n A_k) \cap A_1) + \mu^*(E \cap (\cup_{k=1}^n A_k) \cap A_1^c) \\ &= \mu^*(E \cap A_1) + \mu^*(E \cap (\cup_{k=2}^n A_k)), \end{aligned}$$

onde a última igualdade é devida ao fato que A_1 e $(\cup_{k=2}^n A_k)$ são disjuntos. Utilizando o mesmo argumento para A_2 , depois A_3 , e assim por diante até A_n , obtemos a identidade desejada.

Passo 3. Sejam $A_1, A_2, \dots \in \mathcal{F}^*$ disjuntos. Mostraremos que $\cup_n A_n \in \mathcal{F}^*$ e $\mu^*(\cup_n A_n) = \sum_n \mu^*(A_n)$.

Para isso, vamos mostrar que

$$\mu^*(E) \leq \mu^*(E \cap G) + \mu^*(E \cap G^c) \leq \sum_{k=1}^{\infty} \mu^*(E \cap A_k) + \mu^*(E \cap G^c) \leq \mu^*(E),$$

onde $G = \cup_n A_n$.

As duas primeiras desigualdades seguem da subaditividade de μ^* . Para mostrar a última desigualdade, definindo $G_n = \cup_{k=1}^n A_k$, temos

$$\begin{aligned} \mu^*(E) &= \mu^*(E \cap G_n) + \mu^*(E \cap G_n^c) = \sum_{k=1}^n \mu^*(E \cap A_k) + \mu^*(E \cap G_n^c) \\ &\geq \sum_{k=1}^n \mu^*(E \cap A_k) + \mu^*(E \cap G^c) \rightarrow \sum_{k=1}^{\infty} \mu^*(E \cap A_k) + \mu^*(E \cap G^c), \end{aligned}$$

onde a primeira igualdade segue do Passo 1, pois $G_n \in \mathcal{F}^*$, e a segunda

igualdade segue do Passo 2. Isso conclui a demonstração do Passo 3.

Como \mathcal{F}^* é uma álgebra fechada por uniões de conjuntos disjuntos, é um λ -sistema fechado por interseções, logo, Lema D.4, \mathcal{F}^* é uma σ -álgebra. Como μ^* é σ -aditiva em \mathcal{F}^* , isso conclui a prova da proposição. \square

Demonstração do Teorema de Extensão de Carathéodory. Observe que, pela Proposição D.10, $\mathcal{A} \subseteq \mathcal{F}^*$, logo $\sigma(\mathcal{A}) \subseteq \mathcal{F}^*$. Ademais, μ^* , restrita a $\sigma(\mathcal{A})$, é σ -aditiva, logo é uma medida. Além disso, μ^* , restrita a \mathcal{A} , coincide com μ . Isso prova a parte de existência. Para unicidade, suponha que μ^* seja σ -finita, de forma que exista uma coleção enumerável $\{A_n\}_n$ em $\sigma(\mathcal{A})$ tal que $\mu^*(A_n) < \infty$ para todo n , e $\cup_n A_n = \Omega$. Da Definição D.8, para cada n existe uma coleção enumerável $\{A_{n,k}\}_k$ tal que $\cup_k A_{n,k} \supseteq A_n$ e $\mu^*(A_{n,k}) < \infty$. Reindexando essa coleção enumerável $\{A_{n,k}\}_{n,k}$ como $\{B_j\}_{j \in \mathbb{N}}$ e definindo $C_\ell = B_1 \cup \dots \cup B_\ell$, temos que $C_\ell \in \mathcal{A}$, $\mu(C_\ell) < \infty$ e $C_\ell \uparrow \Omega$. Observando-se que \mathcal{A} é um π -sistema, segue do Teorema 3.32 (unicidade de medidas) que μ^* é a única medida em $\sigma(\mathcal{A})$ que coincide com μ em \mathcal{A} , concluindo essa demonstração. \square

D.3 Operações com funções borelianas estendidas

Esta seção é uma continuação da Seção 3.7 e consiste em fornecer as demonstrações omitidas dos últimos lemas. Estas demonstrações não são particularmente difíceis, mas podem ser omitidas sem prejuízo à compreensão de outras seções do livro.

Demonstração do Lema 3.43. Como \mathbb{Q} é denso em \mathbb{R} , para cada $\omega \in \Omega$, $f(\omega) < g(\omega)$ se, e somente se, existe $r \in \mathbb{Q}$ tal que $f(\omega) < r < g(\omega)$. Portanto, podemos expressar $\{\omega : f(\omega) < g(\omega)\}$ como a união de $\{\omega : f(\omega) < r < g(\omega)\}$ sobre todo $r \in \mathbb{Q}$. Então, podemos escrever

$$\{f < g\} = \bigcup_{r \in \mathbb{Q}} (\{f < r < g\}) = \bigcup_{r \in \mathbb{Q}} (\{f < r\} \cap \{r < g\}).$$

Como $\{f < r\}, \{r < g\} \in \mathcal{F}$, pois todo intervalo é boreliano, e \mathbb{Q} é enumerável, $\{f < g\} \in \mathcal{F}$.

Além disso, vemos que

$$\begin{aligned}\{f \neq g\} &= \{f < g\} \cup \{f > g\} \in \mathcal{F}, \\ \{f = g\} &= \{f \neq g\}^c \in \mathcal{F}, \\ \{f \leq g\} &= \{f < g\} \cup \{f = g\} \in \mathcal{F}.\end{aligned}$$

O que prova o lema. □

Demonstração do Lema 3.44. Primeiramente, mostramos que $af + b$ é uma função boreliana estendida para todo $a, b \in \mathbb{R}$. Para $a = 0$, esta propriedade vale trivialmente, então podemos assumir que $a \in \overline{\mathbb{R}} \setminus \{0\}$. Temos que

$$\{af + b < c\} = \{af < c - b\} = \begin{cases} \{f < \frac{c-b}{a}\}, & a > 0 \\ \{f > \frac{c-b}{a}\}, & a < 0 \end{cases}$$

onde $\{f < \frac{c-b}{a}\}, \{f > \frac{c-b}{a}\} \in \mathcal{F}$ pois intervalos são borelianos.

Agora suponha que a soma $f(\omega) + g(\omega)$ esteja bem definida para todo ω . Para cada $b \in \mathbb{R}$, segue que

$$\{f + g < b\} = \{f < b - g\} \in \mathcal{F},$$

pois $b - g$ é uma função boreliana estendida pelo Lema 3.43. Agora mostraremos que a função fg é boreliana estendida, tratando os valores infinitos separadamente. Considerando inicialmente a função f^2 , temos que

$$\{f^2 > a\} = \begin{cases} \Omega, & a < 0 \\ \{f < -\sqrt{a}\} \cup \{f > \sqrt{a}\}, & a \geq 0 \end{cases}$$

Como $\Omega \in \mathcal{F}$ e $\{f < -\sqrt{a}\} \cup \{f > \sqrt{a}\} \in \mathcal{F}$, segue que f^2 é uma função boreliana estendida.

Agora suponha que f e g sejam ambas borelianas. Note que podemos escrever

$$fg = \frac{1}{4}[(f+g)^2 - (f-g)^2],$$

como $(f+g)^2$ e $(f-g)^2$ são ambas borelianas, pois $f+g$ e $f-g$ o são, concluímos que fg também é boreliana.

Finalmente, consideremos o caso onde f e g são ambas funções borelianas estendidas. Seja $A = \{\omega : f(\omega) \in \mathbb{R} \text{ e } g(\omega) \in \mathbb{R}\}$; note que $A \in \mathcal{F}$. Defina $f_1 = f\mathbb{1}_A$, $f_2 = f\mathbb{1}_{A^c}$, $g_1 = g\mathbb{1}_A$, $g_2 = g\mathbb{1}_{A^c}$. Então f_2g_2 é boreliana estendida (exercício!), e pelo caso anterior f_1g_1 é boreliana. Como $fg = f_1g_1 + f_2g_2$, concluímos que fg é boreliana estendida. \square

Segue do Lema 3.44 que, se f é uma função boreliana estendida e $a \in \overline{\mathbb{R}}$, então $-f$ e af são funções borelianas estendidas.

Demonstração do Lema 3.45. Basta observar que para todo $a \in \mathbb{R}$, vale

$$\{\max\{f, g\} < a\} = \{f < a\} \cap \{g < a\} \in \mathcal{F},$$

pois $\{f < a\}, \{g < a\} \in \mathcal{F}$. Para concluir a prova, basta observar que $\max\{f, g\} = -\min\{-f, -g\}$. \square

Demonstração do Lema 3.46. Para provar que $\sup_{n \geq 1} f_n$ é boreliana estendida, a ideia é semelhante à prova do Lema 3.45. Para qualquer $a \in \mathbb{R}$, podemos escrever

$$\left\{ \sup_{n \geq 1} f_n \leq a \right\} = \bigcap_{n=1}^{\infty} \{f_n \leq a\} \in \mathcal{F}.$$

pois $\{f_n \leq a\} \in \mathcal{F}$ para todo $n \geq 1$ e \mathcal{F} é fechada por interseções enumeráveis. Observando que

$$\inf_{n \geq 1} f_n = -\sup_{n \geq 1} (-f_n),$$

concluimos que $\inf_{n \geq 1} f_n$ também é uma função boreliana estendida. Da definição de \limsup e \liminf , temos

$$\begin{aligned}\limsup_n f_n &= \inf_{n \geq 1} \sup_{m \geq n} f_m, \\ \liminf_n f_n &= \sup_{n \geq 1} \inf_{m \geq n} f_m,\end{aligned}$$

logo, ambas são funções borelianas estendidas. Finalmente, a função f definida no enunciado é dada pelo produto de $\limsup_n f_n$ pela função indicadora do conjunto $\{\limsup_n f_n = \liminf_n f_n\}$ e, como ambas são mensuráveis, o produto também é mensurável, o que conclui a prova. \square

D.4 Teoremas de Fubini e de Tonelli

Nesta seção vamos provar o Teorema 5.80 (existência da medida produto), o Lema 5.81, e os Teoremas de Fubini e de Tonelli.

Ao final da seção, vamos estender a teoria para o produto de n espaços, e com isso justificar o Teorema 4.4, a Proposição 4.9 e a Observação 5.88.

Observe que o Lema 5.81 e o Teorema de Tonelli valem trivialmente se g é a função indicadora de algum retângulo $A \times B$, pois, neste caso, $g(x, y) = \mathbb{1}_A(x) \cdot \mathbb{1}_B(y)$ é mensurável em cada variável, $\int_{\Omega_2} g(x, y) \nu(dy) = \nu(B) \cdot \mathbb{1}_A(x)$ é mensurável em x , $\int_{\Omega_1} g(x, y) \mu(dx) = \mu(A) \cdot \mathbb{1}_B(y)$ é mensurável em y , e $\int_{\Omega_1} (\int_{\Omega_2} g(x, y) \nu(dy)) \mu(dx) = \mu(A) \cdot \nu(B) = \int_{\Omega_2} (\int_{\Omega_1} g(x, y) \mu(dx)) \nu(dy)$.

Lema D.11. *Sejam $(\Omega_1, \mathcal{F}_1, \mu)$ e $(\Omega_2, \mathcal{F}_2, \nu)$ espaços de medida. Seja $E \in \mathcal{F}_1 \otimes \mathcal{F}_2$ e defina $g(x, y) = \mathbb{1}_E(x, y)$. Para todo $x \in \Omega_1$ fixo, $g(x, y)$ é uma função mensurável de y . Ademais, $\int_{\Omega_2} g(x, y) \nu(dy)$ define uma função mensurável de x .*

Demonstração. Para a primeira afirmação, basta observar que a classe de conjuntos E com essa propriedade forma uma σ -álgebra, que, pela observação acima, contém $\mathcal{F}_1 \times \mathcal{F}_2$ e portanto contém $\mathcal{F}_1 \otimes \mathcal{F}_2$.

Passemos à prova da segunda afirmação. Suponhamos inicialmente que ν seja uma medida finita. Seja \mathcal{D} a classe dada pelos conjuntos E para os quais $\int_{\Omega_2} \mathbb{1}_E(x, y) \nu(dy)$ define uma função mensurável de x . Pela observação feita no início desta seção, \mathcal{D} contém o π -sistema $\mathcal{F}_1 \times \mathcal{F}_2$, que gera $\mathcal{F}_1 \otimes \mathcal{F}_2$. Usando o Teorema π - λ , basta verificar que \mathcal{D} é um λ -sistema. Para $E = \Omega_1 \times \Omega_2$, temos $g(x, y) = 1$ para todo $(x, y) \in \Omega_1 \times \Omega_2$ e a propriedade vale trivialmente. Se $E \in \mathcal{D}$, então $\int_{\Omega_2} \mathbb{1}_{E^c}(x, y) \nu(dy) = \nu(\Omega_2) - \int_{\Omega_2} \mathbb{1}_E(x, y) \nu(dy)$ é mensurável, logo $E^c \in \mathcal{D}$. Sejam $\{E_n\}_n \subseteq \mathcal{D}$ disjuntos. Neste caso, pelo Corolário 5.57, $\int_{\Omega_2} \mathbb{1}_{\cup_n E_n}(x, y) \nu(dy) = \int_{\Omega_2} \sum_n \mathbb{1}_{E_n}(x, y) \nu(dy) = \sum_n \int_{\Omega_2} \mathbb{1}_{E_n}(x, y) \nu(dy)$, que é mensurável pelo Corolário 3.47. Logo, $\cup_n E_n \in \mathcal{D}$, e portanto \mathcal{D} é um λ -sistema, o que prova o lema no caso em que ν é finita.

Supondo agora que ν é σ -finita, tome $B_n \uparrow \Omega_2$ tais que $\nu(B_n) < \infty$ para todo n , e defina $\nu_n(B) = \nu(B \cap B_n)$ para todos $B \in \mathcal{F}_2$ e $n \in \mathbb{N}$. Pelo Teorema da Convergência Monótona, $\int_{\Omega_2} \mathbb{1}_E(x, y) \nu_n(dy) = \lim_n \int_{\Omega_2} \mathbb{1}_E(x, y) \mathbb{1}_{B_n}(y) \nu(dy) = \lim_n \int_{\Omega_2} \mathbb{1}_E(x, y) \nu_n(dy)$, que, pelo caso anterior combinado com o Lema 3.46, é uma função mensurável de x . \square

Lema D.12. *Sejam $(\Omega_1, \mathcal{F}_1, \mu)$ e $(\Omega_2, \mathcal{F}_2, \nu)$ dois espaços de medidas σ -finitas. Então, existe uma única medida $\mu \otimes \nu$ na σ -álgebra $\mathcal{F}_1 \otimes \mathcal{F}_2$ tal que $(\mu \otimes \nu)(A \times B) = \mu(A)\nu(B)$ para todos $A \in \mathcal{F}_1$ e $B \in \mathcal{F}_2$. Essa medida é dada por $(\mu \otimes \nu)(E) = \int_{\Omega_1} (\int_{\Omega_2} \mathbb{1}_E(x, y) \nu(dy)) \mu(dx)$.*

Demonstração. A integral iterada está bem definida pelo Lema D.11, é uma função σ -aditiva de E pelo Corolário 5.57 aplicado a ambas integrais, e vale zero quando $E = \emptyset$, portanto define uma medida. Esta medida atribui o valor correto aos retângulos devido à observação do início desta seção. Isso prova a existência. Para a unicidade, usaremos novamente que $\mathcal{F}_1 \times \mathcal{F}_2$ é um π -sistema que gera $\mathcal{F}_1 \otimes \mathcal{F}_2$. Tomando $A_n \uparrow \Omega_1$, com $\mu(A_n) < \infty$ para todo n , e $B_n \uparrow \Omega_2$ com $\nu(B_n) < \infty$ para todo n (o que é possível pois μ e ν são σ -finitas), temos que $A_n \times B_n \in \mathcal{F}_1 \times \mathcal{F}_2$ satisfaz $A_n \times B_n \uparrow \Omega_1 \times \Omega_2$ e $(\mu \otimes \nu)(A_n \times B_n) < \infty$ para todo n . Sendo assim, podemos aplicar o Teorema 3.32 (unicidade de medidas), o que conclui esta demonstração. \square

Observe que o Teorema 5.80 segue do lema acima.

Demonstração do Lema 5.81. Se $g = \mathbb{1}_E$ para algum $E \in \mathcal{F}_1 \otimes \mathcal{F}_2$, basta aplicar o Lema D.11 diretamente e também com os papéis de x e y trocados, provando o lema para o caso de funções indicadores. Estendemos a propriedade para funções simples não-negativas usando a linearidade da integral e o Lema 3.44. Estendemos a propriedade para uma funções borelianas estendidas não-negativas usando o Teorema da Convergência Monótona e o Lema 3.46. \square

Demonstração do Teorema de Tonelli. Suponha inicialmente que $g = \mathbb{1}_E$ para algum $E \in \mathcal{F}_1 \otimes \mathcal{F}_2$. Aplicando o Lema D.12, temos $\int_{\Omega_1 \times \Omega_2} g \, d(\mu \otimes \nu) = \int_{\Omega_1} (\int_{\Omega_2} g(x, y) \nu(dy)) \mu(dx)$. Aplicando o lema com x e y trocados, temos $\int_{\Omega_1 \times \Omega_2} g \, d(\mu \otimes \nu) = \int_{\Omega_2} (\int_{\Omega_1} g(x, y) \mu(dx)) \nu(dy)$, o que prova o teorema no caso de funções indicadores. Estendemos o teorema para uma funções simples não-negativas usando a linearidade das integrais. Finalmente, estendemos o teorema para uma funções borelianas estendidas não-negativas usando o Teorema da Convergência Monótona para cada integral envolvida. \square

Demonstração do Teorema de Fubini. Estamos supondo que

$$\int_{\Omega_1} \left(\int_{\Omega_2} |f(x, y)| \nu(dy) \right) \mu(dx) < \infty.$$

Como $\int_{\Omega_2} |f(x, y)| \nu(dy)$ é μ -integrável em x , é finito para μ -quase todo $x \in \Omega_1$. Logo, o conjunto N definido por

$$N = \left\{ x \in \Omega_1 : \int_{\Omega_2} |f(x, y)| \nu(dy) = +\infty \right\}$$

satisfaz $\mu(N) = 0$. Portanto, $\int_{\Omega_2} f(x, y) \nu(dy)$ está definido para μ -quase todo $x \in \Omega_1$, pois está definido para todo $x \in N^c$.

Observe que, pelo Lema 5.81, $f^+(x, y)$ e $f^-(x, y)$ são funções mensuráveis de y para todo x fixo e, ademais, $\int_{\Omega_2} f^+(x, y) \nu(dy)$ e $\int_{\Omega_2} f^-(x, y) \nu(dy)$ são

funções mensuráveis de x . Usando que $\mu(N) = 0$, podemos desenvolver

$$\begin{aligned}
 \int_{\Omega_1 \times \Omega_2} f \, d(\mu \otimes \nu) &= \int_{\Omega_1 \times \Omega_2} f^+ \, d(\mu \otimes \nu) - \int_{\Omega_1 \times \Omega_2} f^- \, d(\mu \otimes \nu) \\
 &= \int_{\Omega_1} \left(\int_{\Omega_2} f^+(x, y) \, \nu(dy) \right) \mu(dx) - \int_{\Omega_1} \left(\int_{\Omega_2} f^-(x, y) \, \nu(dy) \right) \mu(dx) \\
 &= \int_{N^c} \left(\int_{\Omega_2} f^+(x, y) \, \nu(dy) \right) \mu(dx) - \int_{N^c} \left(\int_{\Omega_2} f^-(x, y) \, \nu(dy) \right) \mu(dx) \\
 &= \int_{N^c} \left(\int_{\Omega_2} f(x, y) \, \nu(dy) \right) \mu(dx) \\
 &= \int_{\Omega_1} \left(\int_{\Omega_2} f(x, y) \, \nu(dy) \right) \mu(dx).
 \end{aligned}$$

A prova de que $\int_{\Omega_1 \times \Omega_2} f \, d(\mu \otimes \nu) = \int_{\Omega_2} \left(\int_{\Omega_1} f(x, y) \, \mu(dx) \right) \nu(dy)$ é análoga, o que conclui esta demonstração. \square

Estendemos agora a teoria para o produto de n fatores.

Dados n espaços de medidas σ -finitas $(\Omega_j, \mathcal{F}_j, \mu_j)$ para $j = 1, \dots, n$, podemos definir, recursivamente, a σ -álgebra produto como

$$\mathcal{F}_1 \otimes \dots \otimes \mathcal{F}_n = (\mathcal{F}_1 \otimes \dots \otimes \mathcal{F}_{n-1}) \otimes \mathcal{F}_n$$

e a medida produto como

$$\mu_1 \otimes \dots \otimes \mu_n = (\mu_1 \otimes \dots \otimes \mu_{n-1}) \otimes \mu_n.$$

Pode parecer arbitrária essa definição recursiva da direita para a esquerda. Entretanto, mais abaixo vamos mostrar que, de fato,

$$\mathcal{F}_1 \otimes \dots \otimes \mathcal{F}_n = \sigma(\mathcal{F}_1 \times \dots \times \mathcal{F}_n). \quad (\text{D.13})$$

Como $\mathcal{F}_1 \times \dots \times \mathcal{F}_n$ é um π -sistema, podemos concluir que $\mu_1 \otimes \dots \otimes \mu_n$ é a única medida ν em $(\Omega_1 \times \dots \times \Omega_n, \mathcal{F}_1 \otimes \dots \otimes \mathcal{F}_n)$ tal que

$$\nu(A_1 \times \dots \times A_n) = \mu_1(A_1) \dots \mu_n(A_n)$$

para todos $A_1 \in \mathcal{F}_1, \dots, A_n \in \mathcal{F}_n$.

Proposição D.14. *A σ -álgebra de Borel em \mathbb{R}^n , $\mathcal{B}(\mathbb{R}^n)$, aquela gerada pela classe dos conjuntos abertos, também é dada por*

$$\mathcal{B}(\mathbb{R}^n) = \mathcal{B}(\mathbb{R}) \otimes \cdots \otimes \mathcal{B}(\mathbb{R}).$$

Essa σ -álgebra também é gerada pelos ortantes fechados, i.e., conjuntos da forma $(-\infty, a_1] \times \cdots \times (-\infty, a_n]$ com $a_1, \dots, a_n \in \mathbb{R}$.

Como os ortantes fechados formam um π -sistema que gera $\mathcal{B}(\mathbb{R}^n)$ e que contém a sequência $(-\infty, k]^n \uparrow \mathbb{R}^n$, podemos usar o Teorema 3.32 (unicidade de medidas) para concluir que $F_{\mathbf{X}} = F_{\mathbf{Y}}$ implica $\mathbb{P}_{\mathbf{X}} = \mathbb{P}_{\mathbf{Y}}$, provando o Teorema 4.4. Da mesma forma, a condição $F_{\mathbf{X}}(\mathbf{x}) = F_{X_1}(x_1) \cdots F_{X_n}(x_n)$ para todo $\mathbf{x} \in \mathbb{R}^n$ significa que $\mathbb{P}_{\mathbf{X}}(B) = (\mathbb{P}_{X_1} \otimes \cdots \otimes \mathbb{P}_{X_n})(B)$ para todo ortante fechado B , o que implica (pelo Teorema 3.32) que

$$\mathbb{P}_{\mathbf{X}} = \mathbb{P}_{X_1} \otimes \cdots \otimes \mathbb{P}_{X_n},$$

o que, por sua vez, implica que X_1, \dots, X_n são independentes. Isso prova a Proposição 4.9.

Como tanto a σ -álgebra produto quanto a medida produto foram definidas recursivamente, o uso recursivo do Teorema de Tonelli feito na Observação 5.88 está bem justificado. Também está justificada a identidade $\mathcal{B}(\mathbb{R}) \otimes \cdots \otimes \mathcal{B}(\mathbb{R})$, diretamente pela a proposição acima.

Para provar (D.13) e a Proposição D.14, usaremos o seguinte fato, cuja prova fica como exercício: dados dois conjuntos não-vazios Ω' e Ω'' e uma classe \mathcal{E} de subconjuntos de Ω' , vale $\sigma(\mathcal{E} \times \{\Omega''\}) = \sigma(\mathcal{E}) \times \{\Omega''\}$.

Demonstração de (D.13). Por indução, $\mathcal{F}_1 \times \cdots \times \mathcal{F}_n \subseteq (\mathcal{F}_1 \otimes \cdots \otimes \mathcal{F}_{n-1}) \times \mathcal{F}_n$, donde $\sigma(\mathcal{F}_1 \times \cdots \times \mathcal{F}_n) \subseteq \mathcal{F}_1 \otimes \cdots \otimes \mathcal{F}_n$ restando mostrar a inclusão oposta.

Primeiro observamos que

$$\begin{aligned}
(\mathcal{F}_1 \otimes \cdots \otimes \mathcal{F}_{n-1}) \times \{\Omega_n\} &= \sigma(\mathcal{F}_1 \times \cdots \times \mathcal{F}_{n-1}) \times \{\Omega_n\} = \\
&= \sigma(\mathcal{F}_1 \times \cdots \times \mathcal{F}_{n-1} \times \{\Omega_n\}) \subseteq \sigma(\mathcal{F}_1 \times \cdots \times \mathcal{F}_n).
\end{aligned}$$

Por outro lado, $\{\Omega_1 \times \cdots \times \Omega_{n-1}\} \times \mathcal{F}_n \subseteq \mathcal{F}_1 \times \cdots \times \mathcal{F}_n \subseteq \sigma(\mathcal{F}_1 \times \cdots \times \mathcal{F}_n)$. Assim, dado $B \in (\mathcal{F}_1 \otimes \cdots \otimes \mathcal{F}_{n-1}) \times \mathcal{F}_n$, podemos escrever

$$B = (A' \times \Omega_n) \cap ((\Omega_1 \times \cdots \times \Omega_{n-1}) \times A'')$$

com $A' \in \mathcal{F}_1 \otimes \cdots \otimes \mathcal{F}_{n-1}$ e $A'' \in \mathcal{F}_n$, donde $B \in \sigma(\mathcal{F}_1 \times \cdots \times \mathcal{F}_n)$. Logo, $(\mathcal{F}_1 \otimes \cdots \otimes \mathcal{F}_{n-1}) \times \mathcal{F}_n \subseteq \sigma(\mathcal{F}_1 \times \cdots \times \mathcal{F}_n)$ e, portanto, $\mathcal{F}_1 \otimes \cdots \otimes \mathcal{F}_n \subseteq \sigma(\mathcal{F}_1 \times \cdots \times \mathcal{F}_n)$, o que conclui a prova. \square

Demonstração da Proposição D.14. Definimos \mathcal{C}_n como a classe dos ortantes fechados em \mathbb{R}^n , \mathcal{D}_n como a classe dos conjuntos abertos de \mathbb{R}^n , e $\mathcal{E}_n = \mathcal{B}(\mathbb{R}^{n-1}) \times \mathcal{B}(\mathbb{R})$. Vamos provar por indução em n que $\sigma(\mathcal{C}_n) = \sigma(\mathcal{D}_n) = \sigma(\mathcal{E}_n)$. O caso $n = 1$ já foi visto na Observação 1.42. Suponha que a identidade vale para um certo $n \in \mathbb{N}$. Seja $C \in \mathcal{C}_{n+1}$. Como C é fechado, $C^c \in \mathcal{D}_{n+1}$, logo $C \in \sigma(\mathcal{D}_{n+1})$. Ou seja, $\mathcal{C}_{n+1} \subseteq \sigma(\mathcal{D}_{n+1})$, portanto $\sigma(\mathcal{C}_{n+1}) \subseteq \sigma(\mathcal{D}_{n+1})$. Seja $D \in \mathcal{D}_{n+1}$. Pelo Teorema A.14, podemos escrever $D = \cup_{k \in \mathbb{N}} E_k$, onde $E_k \in \mathcal{E}_{n+1}$ para cada k , logo $D \in \sigma(\mathcal{E}_{n+1})$. Ou seja, $\mathcal{D}_{n+1} \subseteq \sigma(\mathcal{E}_{n+1})$, portanto $\sigma(\mathcal{D}_{n+1}) \subseteq \sigma(\mathcal{E}_{n+1})$. Dado $A \in \mathcal{C}_n$, podemos tomar $B_k = A \times (-\infty, k] \in \mathcal{C}_{n+1}$, que satisfaz $\cup_k B_k = A \times \mathbb{R}$, donde $A \times \mathbb{R} \in \sigma(\mathcal{C}_{n+1})$, ou seja, $\mathcal{C}_n \times \{\mathbb{R}\} \subseteq \sigma(\mathcal{C}_{n+1})$, portanto $\mathcal{B}(\mathbb{R}^n) \times \{\mathbb{R}\} \subseteq \sigma(\mathcal{C}_{n+1})$. De forma análoga, mostramos que $\{\mathbb{R}^n\} \times \mathcal{B}(\mathbb{R}) \subseteq \sigma(\mathcal{C}_{n+1})$. Dados $A \in \mathcal{B}(\mathbb{R}^n)$ e $B \in \mathcal{B}(\mathbb{R})$, podemos escrever $A \times B = (A \times \mathbb{R}) \cap (\mathbb{R}^n \times B) \in \sigma(\mathcal{C}_{n+1})$. Ou seja, $\mathcal{E}_{n+1} \subseteq \sigma(\mathcal{C}_{n+1})$, portanto $\sigma(\mathcal{E}_{n+1}) \subseteq \sigma(\mathcal{C}_{n+1})$, concluindo a prova. \square

D.5 Teorema de Radon-Nikodým

Nesta seção provaremos o Teorema de Radon-Nikodým.

Começamos motivando a ideia da prova. Suponha que μ e ν são medidas

finitas e $\nu \ll \mu$. Estamos à busca de uma função boreliana f tal que

$$\nu(A) = \int_A f \, d\mu \quad \forall A \in \mathcal{F}. \quad (\text{D.15})$$

Descrever f é o mesmo que descrever os subconjuntos de Ω onde f assume determinados valores. Seja $D_{a,b} = \{\omega : a \leq f(\omega) \leq b\}$. Por (D.15),

$$a \cdot \mu(A \cap D_{a,b}) \leq \nu(A \cap D_{a,b}) \leq b \cdot \mu(A \cap D_{a,b}) \quad \forall A \in \mathcal{F}.$$

Observe que a relação acima não faz referência explícita a f . Para percorrer o caminho oposto, gostaríamos de ir fatiando Ω em conjuntos da forma $D_{a,b}$ com essa propriedade, e usar esses conjuntos para ir construindo f . O primeiro passo seria decompor $\Omega = N_a \cup N_a^c$ de forma que

$$\nu(A \cap N_a) \leq a \cdot \mu(A \cap N_a) \text{ e } \nu(A \cap N_a^c) \geq a \cdot \mu(A \cap N_a^c) \quad \forall A \in \mathcal{F}. \quad (\text{D.16})$$

Para isso, vamos estudar a função $\lambda : \mathcal{F} \rightarrow \mathbb{R}$ dada por

$$\lambda(A) = \nu(A) - a\mu(A).$$

Uma *carga* (ou medida com sinal) em (Ω, \mathcal{F}) é uma função $\lambda : \mathcal{F} \rightarrow \mathbb{R}$ tal que $\lambda(\emptyset) = 0$ e, para $(A_n)_n$ disjuntos em \mathcal{F} , $\lambda(\cup_n A_n) = \sum_n \lambda(A_n)$. Dizemos que $N \in \mathcal{F}$ é um *conjunto negativo para λ* se $\lambda(A \cap N) \leq 0$ para todo $A \in \mathcal{F}$. O conjunto vazio é um exemplo trivial de conjunto negativo.

Lema D.17. *Seja λ uma carga em (Ω, \mathcal{F}) . Para todo $D \in \mathcal{F}$, existe $A \in \mathcal{F}$ tal que A é negativo, $A \subseteq D$ e $\lambda(A) \leq \lambda(D)$.*

Demonstração. Podemos supor que $\lambda(D) < 0$, pois caso contrário podemos tomar $A = \emptyset$. Vamos definir uma sequência decrescente $(A_n)_n$ e verificar que $A = \cap_n A_n$ é o conjunto procurado. Definimos inicialmente $A_0 = D$. Se A_n já foi definido, tome $t_n = \sup\{\lambda(B) : B \in \mathcal{F}, B \subseteq A_n\}$ e note que $t_n \geq \lambda(\emptyset) = 0$. Seja $\varepsilon_n = \min\{\frac{t_n}{2}, 1\}$ (precisamos do mínimo para assegurar-nos de que $\varepsilon_n < t_n$ no caso $t_n = +\infty$) e tome $B_n \in \mathcal{F}$ tal que $B_n \subseteq A_n$ e $\lambda(B_n) \geq \varepsilon_n$.

Defina $A_{n+1} = A_n \setminus B_n$ e $A = \cap_n A_n \subseteq D$.

Observando que $\cup_n B_n \subseteq D$ e que esta última união é disjunta,

$$\lambda(D) = \lambda(A) + \sum_n \lambda(B_n) \geq \lambda(A) + \sum_n \varepsilon_n \geq \lambda(A).$$

Falta mostrar que A é negativo. Observe que $\sum_n \lambda(B_n) < +\infty$, pois caso contrário teríamos $\lambda(D) = +\infty$. Portanto, $\lambda(B_n) \rightarrow 0$ quando $n \rightarrow \infty$ e, por conseguinte, $t_n \rightarrow 0$. Agora seja $C \in \mathcal{F}$ tal que $C \subseteq A = \cap_n A_n$. Como $C \subseteq A_n$, pela definição de t_n , temos $\lambda(C) \leq t_n$ para todo $n \in \mathbb{N}$. Portanto, $\lambda(C) \leq \inf_n t_n = 0$, o que mostra que A é um conjunto negativo. \square

Teorema D.18 (Teorema de Decomposição de Hahn). *Seja λ uma carga em (Ω, \mathcal{F}) . Então existe um conjunto $N \in \mathcal{F}$ tal que $\lambda(B \cap N) \leq 0$ e $\lambda(B \cap N^c) \geq 0$ para todo $B \in \mathcal{F}$.*

Demonstração. Como preliminar, observamos que λ não pode assumir ambos os valores $-\infty$ e $+\infty$. Com efeito, se $\lambda(A) = -\infty$ para algum $A \in \mathcal{F}$, segue que $\lambda(\Omega) = \lambda(A) + \lambda(A^c) = -\infty$ e, analogamente, se $\lambda(B) = +\infty$ para algum $B \in \mathcal{F}$, então $\lambda(\Omega) = +\infty$. Portanto, podemos supor, sem perda de generalidade, que $\lambda(A) \neq -\infty$ para todo $A \in \mathcal{F}$ (caso contrário bastaria considerar $-\lambda$ ao invés de λ e tomar N^c no lugar de N).

Seja $\alpha = \inf\{\lambda(A) : A \in \mathcal{F} \text{ é um conjunto negativo para } \lambda\}$ e note que $\alpha \leq \lambda(\emptyset) = 0$. Tome uma sequência $(A_n)_n$ de conjuntos negativos tal que $\lambda(A_n) \rightarrow \alpha$, e defina $N = \cup_n A_n$. Como a união enumerável de conjuntos negativos é negativa (exercício!), segue que N é um conjunto negativo.

Afirmamos que $\alpha = \lambda(N)$ e, em particular, $\alpha \neq -\infty$. Com efeito,

$$\alpha \leq \lambda(N) = \lambda(A_n) + \lambda(N \setminus A_n) \leq \lambda(A_n) \rightarrow \alpha,$$

onde as desigualdades seguem da definição de α e da negatividade de N .

Finalmente, seja $B \in \mathcal{F}$. Como N é negativo, segue que $\lambda(B \cap N) \leq 0$, e

resta mostrar que $\lambda(B \cap N^c) \geq 0$. Pelo Lema D.17, existe $A \in \mathcal{F}$ tal que $A \subseteq B \cap N^c$, A é negativo e $\lambda(A) \leq \lambda(B \cap N^c)$. Para mostrar que $\lambda(A) \geq 0$, observamos que, como $A \cup N$ é um conjunto negativo,

$$\alpha \leq \lambda(A \cup N) = \lambda(A) + \lambda(N) = \lambda(A) + \alpha,$$

e podemos subtrair α pois $-\infty < \alpha \leq 0$, completando a prova. \square

Prova do Teorema de Radon-Nikodým. Vamos supor inicialmente que ν e μ sejam medidas finitas, e posteriormente extrapolar para o caso geral.

Para cada $a > 0$, pelo Teorema de Decomposição de Hahn existe $N_a \in \mathcal{F}$ satisfazendo (D.16). Definimos $D_{0,1} = N_1$, $D_{1,2} = N_2 \cap N_1^c$, $D_{2,3} = N_3 \cap N_1^c \cap N_2^c$, e assim por diante. Observe que esses conjuntos são disjuntos e $\cup_k D_{k-1,k} = \cup_k N_k$. Defina $S = \Omega \setminus \cup_k N_k$.

Observamos que $S, D_{0,1}, D_{1,2}, D_{2,3}, \dots$ formam uma partição de Ω . Além disso, como $S \subseteq N_k^c$ temos por (D.16) que $\nu(S) \geq k\mu(S)$ e, como isso vale para todo k e $\nu(S) < \infty$, temos $\mu(S) = 0$. Como $\nu \ll \mu$, segue que $\nu(S) = 0$. Como observação à parte, sem a hipótese de $\nu \ll \mu$, podemos decompor $\nu = \nu|_S + \nu|_{S^c}$ e vamos encontrar a derivada de $\nu|_{S^c}$ com respeito a μ .

Nossa primeira aproximação para f será dada por

$$f_0(\omega) = \sum_j j \cdot \mathbb{1}_{D_{j,j+1}}(\omega).$$

De (D.16), obtemos, para todo $A \in \mathcal{F}$ e todo $j \in \mathbb{N}$,

$$\nu(A \cap D_{j,j+1}) \geq j\mu(A \cap D_{j,j+1}) = \int_{A \cap D_{j,j+1}} f_0 \, d\mu$$

e

$$\nu(A \cap D_{j,j+1}) \leq (j+1)\mu(A \cap D_{j,j+1}) = \int_{A \cap D_{j,j+1}} (f_0 + 1) \, d\mu.$$

Somando sobre j , temos

$$\int_A f_0 \, d\mu \leq \nu(A) \leq \int_A f_0 \, d\mu + \mu(A) \quad \forall A \in \mathcal{F}.$$

Vamos agora subdividir cada intervalo ao meio. Para cada $j \in \mathbb{N}_0$, definimos $D_{j,j+1/2} = D_{j,j+1} \cap N_{j+1/2}$ e $D_{j+1/2,j+1} = D_{j,j+1} \cap N_{j+1/2}^c$. Novamente, a família $\{D_{j/2,(j+1)/2}\}_{j \in \mathbb{N}_0}$ forma uma partição de $\Omega \setminus S$. Definimos

$$f_1(\omega) = \sum_j 2^{-1} j \cdot \mathbf{1}_{D_{2^{-1}j, 2^{-1}(j+1)}}(\omega).$$

Com essa definição, temos $f_1 \geq f_0 \geq 0$ e, de forma análoga à relação anterior,

$$\int_A f_1 \, d\mu \leq \nu(A) \leq \int_A f_1 \, d\mu + 2^{-1} \mu(A) \quad \forall A \in \mathcal{F}.$$

Partindo novamente os intervalos ao meio, construímos $f_2 \geq f_1$ tal que

$$\int_A f_2 \, d\mu \leq \nu(A) \leq \int_A f_2 \, d\mu + 2^{-2} \mu(A) \quad \forall A \in \mathcal{F},$$

e assim por diante obtemos $f_k \geq f_{k-1}$ tal que

$$\int_A f_k \, d\mu \leq \nu(A) \leq \int_A f_k \, d\mu + 2^{-k} \mu(A) \quad \forall A \in \mathcal{F}.$$

Tomando $f = \lim_k f_k$, pelo Teorema da Convergência Monótona temos (D.15) pois $\mu(A) < \infty$, o que prova o teorema no caso de μ e ν finitas.

Mostraremos agora o caso geral, ou seja, quando μ e ν são σ -finitas. Neste caso, existe uma partição mensurável $(A_n)_{n \in \mathbb{N}}$ de Ω tal que $\mu_n = \mu|_{A_n}$ e $\nu_n = \nu|_{A_n}$ são medidas finitas e $\nu_n \ll \mu_n$. Tome $f_n = \frac{d\nu_n}{d\mu_n}$, e defina $f = \sum_n f_n \mathbf{1}_{A_n}$. Verificar que $f = \frac{d\nu}{d\mu}$ é imediato:

$$\nu(A) = \sum_n \nu_n(A) = \sum_n \int_A f_n \, d\mu_n = \sum_n \int_A f_n \mathbf{1}_{A_n} \, d\mu = \int_A \sum_n f_n \mathbf{1}_{A_n} \, d\mu.$$

Isso conclui a prova do teorema. \square

D.6 Distribuição condicional regular

Nesta seção vamos provar os Teoremas 11.57 e 11.58.

Para isso, vamos construir uma função $F_{X|Y}$ mensurável em ambas as variáveis e tal que

$$F_{X,Y}(x, y) = \int_{-\infty}^y F_{X|Y}(x|y) \mathbb{P}_Y(dy)$$

para todos $x, y \in \mathbb{R}$. Começamos estudando uma função $G : \mathbb{R}^2 \rightarrow \mathbb{R}$ que terá determinadas propriedades em “quase todos” os pontos x e y , depois usar G para construir $F_{X|Y}$, e finalmente usar $F_{X|Y}$ para construir $\mathbb{P}_{X|Y}$.

Sejam X e Y variáveis aleatórias definidas em um mesmo espaço de probabilidade.

Lema D.19. *Para todo $x \in \mathbb{R}$, existe $A_x \in \mathcal{B}$ tal que $\mathbb{P}_Y(A_x) = 1$, e uma função boreliana $G(x|\cdot) : A_x \rightarrow [0, 1]$, tal que*

$$\mathbb{P}(X \leq x, Y \in C) = \int_C G(x|y) \mathbb{P}_Y(dy)$$

para todo $C \in \mathcal{B}$.

Demonstração. Seja $x \in \mathbb{R}$ fixo. Defina

$$\nu(C) = \mathbb{P}(X \leq x, Y \in C), \quad \mu(C) = \mathbb{P}(Y \in C)$$

para todo $C \in \mathcal{B}$. Como $\nu \ll \mu$, pelo Teorema de Radon-Nikodým, existe uma função boreliana $G(x|\cdot) : \mathbb{R} \rightarrow \mathbb{R}$, tal que

$$\mathbb{P}(X \leq x, Y \in C) = \int_C G(x, y) \mathbb{P}_Y(dy) \quad \text{para todo } C \in \mathcal{B}.$$

Como essa integral nunca é negativa, $G(x, y) \geq 0$ para \mathbb{P}_Y -quase todo $y \in \mathbb{R}$.

Como $\mathbb{P}(X > x, Y \in C) = \int_C [1 - G(x, y)] \mathbb{P}_Y(dy)$ nunca é negativo, segue que $G(x, y) \leq 1$ para \mathbb{P}_Y -quase todo $y \in \mathbb{R}$. Modificando $G(x, y)$ em um conjunto de medida \mathbb{P}_Y nula, podemos supor que $G(x, y) \in [0, 1]$ para todo $y \in \mathbb{R}$. \square

Para construir $F_{X|Y}$ a partir de G , usaremos o fato de que \mathbb{Q} é enumerável e denso em \mathbb{R} , e que uniões enumeráveis de conjuntos de medida nula têm medida nula.

Lema D.20. *Existe uma função $F_{X|Y}(\cdot|\cdot) : \mathbb{R}^2 \rightarrow \mathbb{R}$ com as seguintes propriedades:*

- (1) $F_{X|Y}(\cdot|y)$ é uma função de distribuição para todo $y \in \mathbb{R}$ fixo,
- (2) $F_{X|Y}(q|\cdot)$ é uma função boreliana para todo $q \in \mathbb{Q}$ fixo,
- (3) $F_{X,Y}(q, y) = \int_{-\infty}^y F_{X|Y}(q|s) \mathbb{P}_Y(ds)$ para todos $q \in \mathbb{Q}$ e $y \in \mathbb{R}$.

Demonstração. Tome G como no Lema D.19.

Primeiramente, para cada $q \in \mathbb{Q}$, definimos $A_{1,q} \in \mathcal{B}$ como o conjunto dos $y \in \mathbb{R}$ tais que $G(q|y)$ está bem definido. Pelo Lema D.19, temos $A_{1,q} \in \mathcal{B}$ e $\mathbb{P}_Y(A_{1,q}) = 1$. Definimos $A_1 = \bigcap_{q \in \mathbb{Q}} A_{1,q} \in \mathcal{B}$, e vale $\mathbb{P}_Y(A_1) = 1$.

Agora, para cada par de racionais $r < q$, seja

$$A_{2,r,q} = \{y \in A_1 : G(r|y) \leq G(q|y)\} \in \mathcal{B}.$$

Definimos $A_2 = \bigcap_{r,q} A_{2,r,q}$, e observamos que $\mathbb{P}_Y(A_2) = 1$. Com efeito, $\int_C [G(q|y) - G(r|y)] \mathbb{P}_Y(dy) = \mathbb{P}(r < X \leq q, Y \in C) \geq 0$ para todo $C \in \mathcal{B}$, donde concluímos que o integrando é não-negativo para \mathbb{P}_Y -quase todo $y \in \mathbb{R}$.

Em seguida, para cada $q \in \mathbb{Q}$, definimos

$$A_{3,q} = \{y \in A_2 : G(q + \frac{1}{n}|y) \rightarrow G(q|y)\} \in \mathcal{B}.$$

Observe que

$$\int_{\mathbb{R}} G(q + \frac{1}{n}|y) \mathbb{P}_Y(dy) = \mathbb{P}(X \leq q + \frac{1}{n}) \rightarrow \mathbb{P}(X \leq q) = \int_{\mathbb{R}} G(q|y) \mathbb{P}_Y(dy),$$

logo, pelo Teorema da Convergência Dominada,

$$\int_{\mathbb{R}} [\lim_n G(q + \frac{1}{n}|y)] \mathbb{P}_Y(dy) = \int_{\mathbb{R}} G(q|y) \mathbb{P}_Y(dy),$$

e, como o integrando do lado direito é cotado superiormente pelo integrando do lado esquerdo, eles têm que ser iguais para \mathbb{P}_Y -quase todo y , ou seja, $\mathbb{P}(A_{3,q} = 1)$. Novamente, tomamos $A_3 = \cap_{q \in \mathbb{Q}} A_{3,q}$. Definimos agora

$$A = \{y \in A_3 : \lim_{k \rightarrow +\infty} G(k|y) = 1, \lim_{k \rightarrow -\infty} G(k|y) = 0\} \in \mathcal{B}$$

e, pelo mesmo argumento que para $A_{3,q}$, pode-se mostrar que $\mathbb{P}_Y(A) = 1$.

Finalmente definimos, para $y \in A$ e $x \in \mathbb{R}$

$$F_{X|Y}(x|y) = \inf\{G(q|y) : q \in \mathbb{Q}, q > x\}.$$

Para $y \in A^c$, definimos $F_{X|Y}(x|y) = F_X(x)$.

Observe que, pela definição de G e $F_{X|Y}$, a função $F_{X|Y}(\cdot|y)$ é uma função de distribuição para todo $y \in \mathbb{R}$, como afirmado. Agora seja $x \in \mathbb{Q}$ fixo. Observe que $F_{X|Y}(x|y) = G(x|y)\mathbb{1}_A(y) + F_X(x)\mathbb{1}_{A^c}(y)$ e, pelo Lema D.19, isso define uma função boreliana de y . Ademais, como $\mathbb{P}_Y(A) = 1$, o item (3) também segue diretamente do Lema D.19. \square

Na demonstração acima, a função $F_{X|Y}$ foi obtida através do Lema D.19, que não diz como calculá-la. Ressaltamos que a função definida por (11.56) também satisfaz a essas três propriedades, porém a demonstração desse fato exige ferramentas de Teoria da Medida que vão muito além do escopo deste livro (ver Teorema 6.66 em Giaquinta e Modica (2009)).

Demonstração do Teorema 11.57. Seja $F_{X|Y}$ como dada pelo Lema D.20.

Preliminarmente, afirmamos que, para todo $q \in \mathbb{Q}$, vale

$$\mathbb{P}(X \leq q, Y \in C) = \int_C F_{X|Y}(q|s) \mathbb{P}_Y(ds) \quad \text{para todo } C \in \mathcal{B}. \quad (\text{D.21})$$

Com efeito, ambos os lados determinam medidas de probabilidade em C e, pelo item (3) do Lema D.20, essas medidas coincidem na classe $\{(-\infty, y]\}_{y \in \mathbb{R}}$, que forma um π -sistema e contém $\{(-\infty, n]\}_n$, cuja união é \mathbb{R} , logo, pelo Teorema 3.32 (unicidade de medidas), elas coincidem para todo $C \in \mathcal{B}$.

Para cada $y \in \mathbb{R}$, definimos $\mathbb{P}_{X|Y}(\cdot | y)$ como a medida de probabilidade em \mathbb{R} correspondente à função de distribuição $F_{X|Y}(\cdot | y)$. Seja \mathcal{D} a classe de conjuntos $B \in \mathcal{B}$ tais que $\mathbb{P}_{X|Y}(B | y)$ é uma função boreliana de y e tais que

$$\mathbb{P}(X \in B, Y \in C) = \int_C \mathbb{P}_{X|Y}(B | y) \mathbb{P}_Y(dy) \quad \text{para todo } C \in \mathcal{B}. \quad (\text{D.22})$$

Observe que \mathcal{D} é um λ -sistema (exercício!). Seja \mathcal{C} a classe dos conjuntos da forma $B = (-\infty, q]$ com $q \in \mathbb{Q}$. Para $B \in \mathcal{C}$, $\mathbb{P}_{X|Y}(B | y)$ é uma função boreliana de y pelo item (2) do Lema D.20; ademais, (D.22) se reduz a (D.21). Ou seja, $\mathcal{C} \subseteq \mathcal{D}$. Como \mathcal{C} é um π -sistema e $\sigma(\mathcal{C}) = \mathcal{B}$, segue do Teorema π - λ que $\mathcal{D} = \mathcal{B}$, o que prova o Teorema 11.57. \square

Demonstração do Teorema 11.58. A ideia da prova é estudar a classe das funções g para as quais vale o enunciado do teorema. Consideramos inicialmente $g(x, y) = \mathbb{1}_A(x, y)$ para $A \in \mathcal{B}(\mathbb{R}^2)$. Seja \mathcal{D} a classe dos conjuntos $A \in \mathcal{B}(\mathbb{R}^2)$ para os quais a integral interna em (11.59), com $\mathbb{1}_A$ no lugar de g , fornece uma função mensurável de y e vale a igualdade (11.59). Observe que \mathcal{D} é um λ -sistema (exercício!). Seja $\mathcal{C} = \{B \times C : B, C \in \mathcal{B}(\mathbb{R})\}$. Pela Definição 11.55, temos que, para todos $B, C \in \mathcal{B}(\mathbb{R})$

$$\int_{\mathbb{R}} \mathbb{1}_{B \times C}(x, y) \mathbb{P}_{X|Y}(dx | y) = \mathbb{1}_C(y) \mathbb{P}_{X|Y}(B | y),$$

que é uma função mensurável de y e cuja integral com respeito a \mathbb{P}_Y é igual a $\mathbb{E}[\mathbb{1}_{B \times C}(X, Y)]$. Ou seja, $\mathcal{C} \subseteq \mathcal{D}$. Como \mathcal{C} é um π -sistema e $\sigma(\mathcal{C}) = \mathcal{B}(\mathbb{R}^2)$, segue do Teorema π - λ que $\mathcal{D} = \mathcal{B}(\mathbb{R}^2)$. Isso prova o teorema para funções mensuráveis g que apenas assumem valores 0 e 1. Por linearidade, vale o teorema para funções simples não-negativas. Finalmente, seja $g : \mathbb{R}^2 \rightarrow [0, +\infty]$ uma função boreliana estendida qualquer. Tome $0 \leq g_n \uparrow g$,

onde as funções g_n são simples. Pelo Teorema da Convergência Monótona, $\int_{\mathbb{R}} g(x, y) \mathbb{P}_{X|Y}(\mathrm{d}x|y) = \lim_n \int_{\mathbb{R}} g_n(x, y) \mathbb{P}_{X|Y}(\mathrm{d}x|y)$ e, como limite de funções mensuráveis é mensurável, segue que a integral interna em (11.59) fornece uma função mensurável de y . Como

$$\mathbb{E}[g_n(X, Y)] = \int_{\mathbb{R}} \left(\int_{\mathbb{R}} g_n(x, y) \mathbb{P}_{X|Y}(\mathrm{d}x|y) \right) \mathbb{P}_Y(\mathrm{d}y)$$

para todo n , pelo Teorema da Convergência Monótona, vale a igualdade em (11.59). Isso conclui prova do Teorema 11.58. \square

D.7 Desigualdades de Hölder e de Minkowski

Nesta seção vamos enunciar e provar as Desigualdades de Hölder e Minkowski. Começamos pela Desigualdade de Young, que será usada na prova. Salientamos que nesta seção estamos no contexto de espaços de medida que não são necessariamente espaços de probabilidade.

Dado um espaço de medida $(\Omega, \mathcal{F}, \mu)$, uma função boreliana estendida f e $p \geq 1$, definimos

$$\|f\|_p = \left(\int_{\Omega} |f|^p \mathrm{d}\mu \right)^{1/p}.$$

Definimos \mathcal{L}^p como o conjunto das funções borelianas estendidas f tais que $\|f\|_p < \infty$. No caso $p = 1$, vale a desigualdade triangular pois

$$\|f + g\|_1 = \int_{\Omega} |f + g| \mathrm{d}\mu \leq \int_{\Omega} (|f| + |g|) \mathrm{d}\mu = \|f\|_1 + \|g\|_1,$$

e por isso daqui em diante vamos supor que $p > 1$.

Seja $p > 1$ fixo. Tome $q > 1$ tal que

$$\frac{1}{p} + \frac{1}{q} = 1.$$

Dessa identidade, seguem: $p - 1 = \frac{1}{q-1}$ e $(p - 1)q = p$

Teorema D.23 (Desigualdade de Young). *Para $a, b \geq 0$,*

$$ab \leq \frac{a^p}{p} + \frac{b^q}{q}.$$

Demonstração. Considere a curva $s = r^{p-1}$, ou seja, $r = s^{q-1}$, no quadrante $\{(r, s) \in [0, \infty)^2\}$. A Desigualdade de Young segue de

$$\frac{a^p}{p} + \frac{b^q}{q} = \int_0^a r^{p-1} dr + \int_0^b s^{q-1} ds \geq ab,$$

que vale porque as integrais acima correspondem a áreas de regiões cuja união contém o retângulo $[0, a] \times [0, b]$. \square

Teorema D.24 (Desigualdade de Hölder). *Dados um espaço de medida $(\Omega, \mathcal{F}, \mu)$ e funções borelianas estendidas f e g , vale*

$$\int_{\Omega} |fg| d\mu \leq \|f\|_p \cdot \|g\|_q.$$

Demonstração. Podemos supor que $\|f\|_p > 0$ e $\|g\|_q > 0$, caso contrário $f \cdot g = 0$ q.t.p. e a desigualdade vale trivialmente. Também podemos supor que $\|f\|_p < \infty$ e $\|g\|_q < \infty$, caso contrário $\|f\|_p \cdot \|g\|_q = +\infty$, e a desigualdade vale trivialmente. Dividindo f por $\|f\|_p$ e g por $\|g\|_q$, podemos supor que $\|f\|_p = 1$ e $\|g\|_q = 1$. Aplicando a desigualdade de Young,

$$\int_{\Omega} |fg| d\mu \leq \int_{\Omega} \left(\frac{|f|^p}{p} + \frac{|g|^q}{q} \right) d\mu = \frac{1}{p} + \frac{1}{q} = 1 = \|f\|_p \|g\|_q,$$

o que prova a Desigualdade de Hölder. \square

Teorema D.25 (Desigualdade de Minkowski). *Dados um espaço de medida $(\Omega, \mathcal{F}, \mu)$ e funções borelianas estendidas $f, g \in \mathcal{L}^p$, $f + g$ está definida q.t.p. e*

$$\|f + g\|_p \leq \|f\|_p + \|g\|_p.$$

Demonstração. Observe que f e g são finitas q.t.p., donde $f + g$ está definida q.t.p. Ademais, $|f + g|^p \leq |2f|^p + |2g|^p$, logo $\|f + g\|_p < \infty$. Podemos supor também que $\|f + g\|_p > 0$, caso contrário a desigualdade vale trivialmente. Desenvolvendo as integrais e usando a Desigualdade de Hölder,

$$\begin{aligned}
 \int_{\Omega} |f + g|^p \, d\mu &= \int_{\Omega} |f + g| \cdot |f + g|^{p-1} \, d\mu \\
 &\leq \int_{\Omega} |f| \cdot |f + g|^{p-1} \, d\mu + \int_{\Omega} |g| \cdot |f + g|^{p-1} \, d\mu \\
 &\leq (\|f\|_p + \|g\|_p) \left(\int_{\Omega} (|f + g|^{p-1})^q \, d\mu \right)^{\frac{1}{q}} \\
 &= (\|f\|_p + \|g\|_p) \left(\int_{\Omega} |f + g|^p \, d\mu \right)^{1 - \frac{1}{p}} \\
 &= \frac{\|f\|_p + \|g\|_p}{\|f + g\|_p} \int_{\Omega} |f + g|^p \, d\mu
 \end{aligned}$$

e, simplificando, obtemos a Desigualdade de Minkowski. \square

Lista de Figuras

1.1	Tabuleiro de Galton.	18
1.2	Modelo do azulejo usado no Exemplo 1.3.	20
1.3	Agulha de Buffon.	27
1.4	Correspondência entre árvores e excursões.	38
1.5	Princípio da reflexão.	39
3.1	Gráfico de uma função de distribuição discreta.	80
3.2	Gráfico de uma função de distribuição contínua.	82
4.1	Exemplo de função de distribuição conjunta.	113
5.1	A esperança de X como o centro de massa de p_X	138
5.2	Esperança a partir da função de distribuição.	144
5.3	Gráfico de ψ_2 e a aproximação $\psi_n(z) \uparrow z$ para um z fixo. . . .	156
5.4	Integral de Riemann e integral de Lebesgue.	161
6.1	Reta que minimiza o erro quadrático médio.	197
6.2	Prova da desigualdade de Jensen.	202

7.1	Primeiros elementos do contra-exemplo da “onda dançante”. .	209
7.2	Diagrama de implicações entre os tipos de convergência. . . .	220
9.1	Aproximação de binomial a normal.	252
11.1	Ilustração da definição de esperança condicional.	294
13.1	Argumento de travessias ascendentes completas.	361
15.1	Obtenção da função taxa a partir da função $\log M_X$	399

Notação

$\#A$	Cardinalidade de A	19
$A_n \downarrow A$	Interseção decrescente	42
$A_n \uparrow A$	União crescente.....	42
A^c	Complementar de A	23
$a \wedge b$	Mínimo entre a e b	353
$A \triangle B$	Diferença simétrica.....	332
$\text{Bernoulli}(p)$	Distribuição de Bernoulli	87
$\binom{n}{k}$	Combinações de n , k a k	35
$\text{Binom}(n, p)$	Distribuição binomial	87
$\text{Exp}(\lambda)$	Distribuição exponencial.....	92
$F(x+)$	Limite lateral pela direita.....	410
$F(x-)$	Limite lateral pela esquerda.....	410
$\text{Geom}(p)$	Distribuição geométrica.....	87
$\mathbb{1}_A$	Função indicadora	78

i.i.d.	Independentes e identicamente distribuídas	115
\mathbb{N}	Inteiros positivos, $\mathbb{N} = \{1, 2, 3, \dots\}$	22
\mathbb{N}_0	Inteiros não-negativos, $\mathbb{N}_0 = \{0, 1, 2, \dots\}$	22
$\mathcal{N}(\mu, \sigma^2)$	Distribuição normal	92
$o(\cdot)$	ordem pequena; qualquer função satisfazendo $\frac{o(w)}{ w } \rightarrow 0$	395
$\mathcal{P}(\Omega)$	Conjunto das partes	24
$\text{Poisson}(\lambda)$	Distribuição de Poisson	88
$\mathcal{U}[a, b]$	Distribuição uniforme	91
\mathbf{X}	Vetor aleatório	112
\mathbf{x}	Um vetor com n coordenadas	112
$x_n \downarrow a$	Sequência não-crescente que converge para a	408
$x_n \uparrow a$	Sequência não-decrescente que converge para a	408
$X \sim Y$	X e Y têm a mesma distribuição	80
X, Y	Variáveis aleatórias	78

Bibliografia

- Bartle, R. G. (1995). *The elements of integration and Lebesgue measure*. Wiley Classics Library. John Wiley & Sons, Inc., New York.
- Billingsley, P. (1968). *Convergence of Probability Measures*. New York: Wiley.
- Chung, K. L. e F. AitSahlia (2003). *Elementary probability theory*. 4^a ed. Undergraduate Texts in Mathematics. New York: Springer-Verlag.
- Cohn, D. L. (2013). *Measure theory*. Second. Birkhäuser Advanced Texts: Basel Textbooks. Birkhäuser/Springer, New York.
- Durrett, R. (2010). *Probability: theory and examples*. Fourth. Cambridge Series in Statistical and Probabilistic Mathematics. Cambridge University Press, Cambridge.
- Feller, W. (1971). *An Introduction to Probability Theory and Its Applications*. 2^a ed. Vol. 2. New York: Wiley.
- Giaquinta, M. e G. Modica (2009). *Mathematical analysis*. Birkhäuser Boston, Ltd., Boston, MA.
- Grimmett, G. e D. Welsh (2014). *Probability – an introduction*. 2^a ed. Oxford University Press, Oxford.
- Grimmett, G. R. e D. R. Stirzaker (2020). *Probability and random processes*. 4^a ed. Oxford University Press, Oxford.
- Isnard, C. (2013). *Introdução à medida e integração*. 3^a ed. Projeto Euclides. Instituto de Matemática Pura e Aplicada (IMPA), Rio de Janeiro.
- James, B. R. (2004). *Probabilidade: Um Curso em Nível Intermediário*. 3^a ed. Rio de Janeiro: IMPA.

- Klenke, A. (2014). *Probability theory*. Second. Universitext. Springer, London.
- Kubrusly, C. S. (2015). *Essentials of measure theory*. Springer, Cham.
- Pitman, J. (1993). *Probability*. Springer New York.
- Ross, S. (2009). *Probabilidade: Um Curso Moderno com Aplicações*. Bookman.
- Shiryaev, A. N. (1996). *Probability*. 2^a ed. Vol. 95. Graduate Texts in Mathematics. New York: Springer-Verlag.
- Tao, T. (2011). *An introduction to measure theory*. Vol. 126. Graduate Studies in Mathematics. Available [online](#) as of June 2020. American Mathematical Society.
- Walsh, J. B. (2012). *Knowing the odds: An introduction to probability*. Vol. 139. Graduate Studies in Mathematics. American Mathematical Society.

Tabela Normal

No verso apresentamos os valores da distribuição normal $\Phi(z) = \mathbb{P}(X \leq z)$ se X tem distribuição normal padrão.

Para formar a tabela escrevemos $z = x + y$, onde x corresponde à parte inteira de z e à primeira casa decimal, e y corresponde à segunda casa decimal de z . Nas linhas temos x variando de 0,0 a 3,4 e nas colunas y varia de 0,00 a 0,09.

Portanto, temos 350 valores de z , de 0,00 a 3,49.

É importante observar que a tabela tem sérias limitações. Primeiro, se z é conhecido somente até a segunda casa decimal (tendo, pois, dois ou três algarismos significativos), é necessário comparar com os valores de $z \pm 0,01$ para saber quantas casas decimais de precisão terá $\Phi(z)$. Há que se notar também que $1 - \Phi(z)$, que dá a probabilidade de $X \geq z$, pode ter muito menos dígitos significativos que $\Phi(z)$, principalmente para $z \geq 2,3$ e ainda pior para $z \geq 3,1$.

Tabela Normal: $\Phi(x + y)$, onde x são os valores das linhas e y os das colunas.

	0,00	0,01	0,02	0,03	0,04	0,05	0,06	0,07	0,08	0,09
0,0	0,5000	0,5040	0,5080	0,5120	0,5160	0,5199	0,5239	0,5279	0,5319	0,5359
0,1	0,5398	0,5438	0,5478	0,5517	0,5557	0,5596	0,5636	0,5675	0,5714	0,5753
0,2	0,5793	0,5832	0,5871	0,5910	0,5948	0,5987	0,6026	0,6064	0,6103	0,6141
0,3	0,6179	0,6217	0,6255	0,6293	0,6331	0,6368	0,6406	0,6443	0,6480	0,6517
0,4	0,6554	0,6591	0,6628	0,6664	0,6700	0,6736	0,6772	0,6808	0,6844	0,6879
0,5	0,6915	0,6950	0,6985	0,7019	0,7054	0,7088	0,7123	0,7157	0,7190	0,7224
0,6	0,7257	0,7291	0,7324	0,7357	0,7389	0,7422	0,7454	0,7486	0,7517	0,7549
0,7	0,7580	0,7611	0,7642	0,7673	0,7704	0,7734	0,7764	0,7794	0,7823	0,7852
0,8	0,7881	0,7910	0,7939	0,7967	0,7995	0,8023	0,8051	0,8078	0,8106	0,8133
0,9	0,8159	0,8186	0,8212	0,8238	0,8264	0,8289	0,8315	0,8340	0,8365	0,8389
1,0	0,8413	0,8438	0,8461	0,8485	0,8508	0,8531	0,8554	0,8577	0,8599	0,8621
1,1	0,8643	0,8665	0,8686	0,8708	0,8729	0,8749	0,8770	0,8790	0,8810	0,8830
1,2	0,8849	0,8869	0,8888	0,8907	0,8925	0,8944	0,8962	0,8980	0,8997	0,9015
1,3	0,9032	0,9049	0,9066	0,9082	0,9099	0,9115	0,9131	0,9147	0,9162	0,9177
1,4	0,9192	0,9207	0,9222	0,9236	0,9251	0,9265	0,9279	0,9292	0,9306	0,9319
1,5	0,9332	0,9345	0,9357	0,9370	0,9382	0,9394	0,9406	0,9418	0,9429	0,9441
1,6	0,9452	0,9463	0,9474	0,9484	0,9495	0,9505	0,9515	0,9525	0,9535	0,9545
1,7	0,9554	0,9564	0,9573	0,9582	0,9591	0,9599	0,9608	0,9616	0,9625	0,9633
1,8	0,9641	0,9649	0,9656	0,9664	0,9671	0,9678	0,9686	0,9693	0,9699	0,9706
1,9	0,9713	0,9719	0,9726	0,9732	0,9738	0,9744	0,9750	0,9756	0,9761	0,9767
2,0	0,9772	0,9778	0,9783	0,9788	0,9793	0,9798	0,9803	0,9808	0,9812	0,9817
2,1	0,9821	0,9826	0,9830	0,9834	0,9838	0,9842	0,9846	0,9850	0,9854	0,9857
2,2	0,9861	0,9864	0,9868	0,9871	0,9875	0,9878	0,9881	0,9884	0,9887	0,9890
2,3	0,9893	0,9896	0,9898	0,9901	0,9904	0,9906	0,9909	0,9911	0,9913	0,9916
2,4	0,9918	0,9920	0,9922	0,9925	0,9927	0,9929	0,9931	0,9932	0,9934	0,9936
2,5	0,9938	0,9940	0,9941	0,9943	0,9945	0,9946	0,9948	0,9949	0,9951	0,9952
2,6	0,9953	0,9955	0,9956	0,9957	0,9959	0,9960	0,9961	0,9962	0,9963	0,9964
2,7	0,9965	0,9966	0,9967	0,9968	0,9969	0,9970	0,9971	0,9972	0,9973	0,9974
2,8	0,9974	0,9975	0,9976	0,9977	0,9977	0,9978	0,9979	0,9979	0,9980	0,9981
2,9	0,9981	0,9982	0,9982	0,9983	0,9984	0,9984	0,9985	0,9985	0,9986	0,9986
3,0	0,9987	0,9987	0,9987	0,9988	0,9988	0,9989	0,9989	0,9989	0,9990	0,9990
3,1	0,9990	0,9991	0,9991	0,9991	0,9992	0,9992	0,9992	0,9992	0,9993	0,9993
3,2	0,9993	0,9993	0,9994	0,9994	0,9994	0,9994	0,9994	0,9995	0,9995	0,9995
3,3	0,9995	0,9995	0,9995	0,9996	0,9996	0,9996	0,9996	0,9996	0,9996	0,9997
3,4	0,9997	0,9997	0,9997	0,9997	0,9997	0,9997	0,9997	0,9997	0,9997	0,9998

Índice Remissivo

- agulha de Buffon, **27**
- álgebra, **330**
- axiomas de Kolmogorov, **40**
- Bayes, *veja* fórmula
- Bernoulli, *veja* distribuição, *veja* lei dos grandes números
- Bernstein, *veja* polinômio
- Beta, *veja* distribuição
- Birkhoff, *veja* teorema ergódico
- Borel, *veja* σ -álgebra de Borel, *veja* lema, *veja* lei dos grandes números
- borelianos, *veja* σ -álgebra de Borel
- Buffon, *veja* agulha
- Cantelli, *veja* lema, *veja* lei dos grandes números
- Carathéodory, *veja* teorema
- Catalan, *veja* número
- Cauchy, *veja* distribuição, *veja* desigualdade
- Cauchy-Schwarz, *veja* ver desigualdade
- Chebyshev, *veja* Tchebyshev
- Chernoff, *veja* desigualdade
- coeficiente binomial, **37**
- coeficiente de correlação, **194**
- combinações de n , k a k , **35**
- côncava, *veja* função côncava
- condicional, *veja* probabilidade condicional, *veja* esperança condicional
- conjunto
 - das partes, **24**
 - denso, **413**
 - enumerável, **24**
 - mensurável, **44**
 - pequeno, **98**
- continuidade
 - por baixo, **47**
- convergência
 - de variáveis aleatórias, **207**
 - em \mathcal{L}^p , **210**
 - em distribuição, **281**
 - em probabilidade, **207**
 - quase certa, **209**
 - relações de implicação, **220**
 - unicidade do limite, **222**
- convexa, *veja* função convexa
- correlação, **194**

- covariância, **192**
- Cramér, *veja* princípio dos grandes desvios
- De Moivre, *veja* teorema
- densidade, *veja* função de densidade
- desigualdade
 - de Cauchy-Schwarz, **199**
 - de Chernoff, **396**
 - de Hölder, **452**
 - de Jensen, **202, 313**
 - de Lyapunov, **203**
 - de Markov, **198**
 - de Minkowski, **452**
 - de Paley-Zygmund, **200**
 - de Tchebyshev, **198**
 - de Young, **451**
 - maximal de Kolmogorov, **340**
- desvio-padrão, **191**
- Dirac, *veja* medida
- Dirichlet, *veja* integral
- distribuição
 - Beta, **95**
 - binomial, **87, 272**
 - condicional
 - dado um evento, **95**
 - regular, **317**
 - de Bernoulli, **87, 272**
 - de Cauchy, **94**
 - de Gumbel, **94**
 - de Laplace, **94**
 - de Poisson, **88, 272, 277, 280**
 - de uma variável aleatória, **79**
 - exponencial, **92, 291**
 - função de, *veja* função de distribuição
 - Gama, **94**
 - geométrica, **87, 272**
 - normal, **92, 291**
 - padrão, **92**
 - soma de, **127**
 - tabela, **462**
 - singular, *veja* variável aleatória singular
 - uniforme, **91, 291**
 - contínua, **91**
 - discreta, **86**
- Dynkin, *veja* teorema π - λ
- enumerável, *veja* conjunto
- equiprovável, **25, 86**
- espaço
 - amostral, **21**
 - discreto, **26**
 - de probabilidade, **17, 43**
 - mensurável, **46**
- espaço de probabilidade
 - induzido, **79, 112**
- esperança
 - caso contínuo, **147**
 - caso discreto, **146, 151**
 - condicional
 - dada uma partição, **294**
 - dado um evento, **158**
 - propriedades, **310**

- de variáveis independentes, **143**, **149**
- de variável aleatória simples, **138**
- definição, **145**
- iterada, **295**, **307**, **309**
- linearidade, **148**
- monotonicidade, **148**
- propriedades, **148**
- unitariedade, **148**
- Etemadi, *veja* lei dos grandes números
- Euler, *veja* fórmula
- evento
 - aleatório, **22**
 - certo, **23**
 - impossível, **23**
 - incompatível, **23**
- expansão de Taylor, **412**
 - com resto de Lagrange, **412**
 - da função característica, **280**
- Fatou, *veja* lema
- fórmula
 - de Bayes, **60**
 - de Euler, **275**
 - de Stirling, **415**
- Fourier, *veja* transformada
- Fubini, *veja* teorema
- função
 - característica, **276**
 - côncava, **201**
 - contínua, **410**
 - contínua por partes, **410**
 - convexa, **201**
- de densidade, **90**
 - condicional, **96**, **303**
 - conjunta, **118**
 - marginal, **118**
- de distribuição, **80**
 - condicional, **95**
 - conjunta, **112**
 - marginal, **113**
 - propriedades, **81**
- de probabilidade, **85**
 - condicional, **96**, **298**
 - marginal, **117**
- degrau, **410**
- geradora de momentos, **271**
- indicadora, **78**
- Riemann-integrável, **411**
- taxa, **397**
- Galton, *veja* tabuleiro
- grandes desvios, *veja* princípio
- grandes números, *veja* lei
- Gumbel, *veja* distribuição
- Hahn, *veja* teorema
- Hewitt, *veja* lei 0-1
- Hölder, *veja* desigualdade
- identidade de Wald, **359**
- independência
 - de eventos, **62**
 - coletiva, **64**
 - dois a dois, **63**
 - de variáveis aleatórias, **114**

- caso contínuo, **119**
- caso discreto, **117**
- critério, **115**
- indicadora, *veja* função indicadora
- infinitas vezes, **212**
- integral
 - de Dirichlet, **173**, **288**, **289**
 - de Lebesgue, **153**
 - de Riemann, **410**
 - iterada, **178**
- Jacobi, *veja* método do jacobiano
- jacobiano, *veja* método do jacobiano
- Jensen, *veja* desigualdade
- Khintchine, *veja* lei dos grandes números
- Kolmogorov, *veja* axiomas, *veja* lei dos grandes números, *veja* lei 0-1, *veja* desigualdade
- Lagrange, *veja* multiplicador, *veja* expansão
- λ -sistema, **426**
- Laplace, *veja* distribuição, *veja* teorema, *veja* transformada
- Lebesgue, *veja* integral, *veja* teorema
- lei
 - da probabilidade total, **59**
 - de um vetor aleatório, **112**
 - de uma variável aleatória, **79**
- lei 0-1
 - de Hewitt-Savage, **335**
 - de Kolmogorov, **333**
- lei dos grandes números, **232**
- de Bernoulli, **233**
- de Borel, **235**
- de Cantelli, **235**
- de Etemadi, **238**
- de Khintchine, **234**
- de Kolmogorov, **236**, **240**
- de Tchebyshev, **233**
- forte, **234**
- fraca, **233**
- lema
 - de Borel-Cantelli, **213**
 - de Fatou, **169**
- Lévy, *veja* teorema
- Lindeberg, *veja* teorema
- Lyapunov, *veja* desigualdade, *veja* teorema
- Markov, *veja* desigualdade
- martingale, **349**
- média, *veja* esperança
- medida, **46**
 - de contagem, **46**
 - de Dirac, **46**
 - de Lebesgue, **47**
 - de probabilidade, **24**, **41**
 - finita, **46**
 - produto, **177**
 - σ -finita, **46**
- mensurável, *veja* conjunto, *veja* espaço
- função, **100**

- método do jacobiano, **125**
- método dos mínimos quadrados, **196**
- Minkowski, *veja* desigualdade
- momentos, **189**
- mudança de variável, *veja* método do jacobiano
- multiplicador de Lagrange, **106**
- método
 - do primeiro momento, **200**
 - do segundo momento, **200**
- normal, *veja* distribuição normal
- número
 - de Catalan, **38**
- Paley, *veja* desigualdade
- partes, *veja* conjunto
- partição, **59**
 - mais fina, **297**
 - mensurabilidade, **296**
- π -sistema, **99**
- Poincaré, *veja* teorema
- Poisson, *veja* processo, *veja* distribuição
- polinômio
 - de Bernstein, **242**
 - de Taylor, *veja* expansão
 - trigonométrico, **286**
- princípio
 - da reflexão, **38**
 - dos grandes desvios, **398**
- probabilidade
 - condicional, **56**
 - total, *veja* Lei da Probabilidade Total
- Processo de Poisson, **65**
- produto de Wallis, **418**
- quase certamente, **149**
- regra
 - da cadeia, **175**
 - do produto, **58**
- relação de Stifel, **35**
- Riemann, *veja* soma
- Savage, *veja* lei 0-1
- Schwarz, *veja* ver desigualdade
- σ -álgebra, **41**
 - de Borel, **79, 112**
 - produto, **177**
- σ -aditividade, **41, 46**
- σ -subaditividade, **47**
- singular, *veja* variável aleatória singular, *veja* vetor aleatório singular
- soma de Riemann, **411**
- Stifel, *veja* relação
- Stirling, *veja* fórmula
- tabela normal, **462**
- tabuleiro de Galton, **17**
- Taylor, *veja* expansão de
- Tchebyshev, *veja* desigualdade, *veja* lei dos grandes números
- teorema
 - binomial, **36**

- central do limite, *veja* teorema do limite central
- da amostragem opcional, **357**
- da continuidade de Lévy, **281**
- da convergência
 - dominada, **157**, **170**
 - monótona, **154**, **162**
- das linhas, **36**
- de aproximação por álgebras, **332**
- de convergência de martingales, **360**
- de convergência de Vitali, **365**
- de decomposição de Hahn, **444**
- de extensão de Carathéodory, **429**
- de Fubini, **179**
- de Helly-Bray, **224**
- de recorrência de Poincaré, **376**
- de Tonelli, **178**
- de unicidade de medidas, **99**
- do limite central, **249**
 - de De Moivre-Laplace, **253**
 - de Lindeberg, **259**
 - de Lyapunov, **256**
 - para variáveis i.i.d., **250**
- do martingale parado, **353**
- ergódico
 - de Birkhoff, **378**
 - de von Neumann, **390**
- π - λ , **427**
- Tonelli, *veja* teorema
- transformada, **271**
 - de Fourier, *veja* função caracte-
 - rística
 - de Laplace, *veja* função geradora de momentos
- valor esperado, *veja* esperança
- variável aleatória, **78**
 - absolutamente contínua, **90**
 - complexa, **275**
 - densidade, *veja* função de densidade
 - discreta, **85**
 - estendida, **102**, **167**
 - independente, *veja* independência
 - mista, **97**, **151**
 - não-correlacionada, **192**
 - simples, **138**
 - singular, **98**
- variância, **190**
- vetor aleatório, **111**
 - absolutamente contínuo, **118**
 - discreto, **116**
- Vitali, *veja* teorema de convergência
- von Neumann, *veja* teorema ergódico
- Wald, *veja* identidade
- Wallis, *veja* produto
- Young, *veja* desigualdade
- Zygmund, *veja* desigualdade